

# Les occupations pré et protohistoriques du Clos de Roque, à Saint-Maximin-la Sainte-Baume

Provence-Alpes-Côtes-d'Azur, Var (83)

Opération d'archéologie préventive du 02 mai au 13 juillet 2011

Code INSEE de la commune : 83116

Code opération Patriarche : OA9785

Arrêté de prescription : AF/N° 2040/23-03-2011



## Rapport Final d'Opération

Volume 2 / 3 : figures

**Responsable d'opération :** Maxime Remicourt

**Auteurs :** Valérie Andrieu-Ponel, Cédric Audibert, Audrey Baradat, Janet Battentier, Dahvya Belkacem, Emilie Blaise, Sandrine Bonnardin, Jean-Baptiste Caverne, Marion Dousse, Paul Fernandes, Magali Gerbe, Benjamin Girard, Thibault Lachenal, Cédric Lepère, Christine Locatelli, Lucie Martin, Benoît Paravel, Nina Parisot, Philippe Ponel, Didier Pousset, Maxime Remicourt, Mathieu Rué, Aurore Schmitt, Ingrid Sénépart, Pascal Tallet, Eric Thirault



Villard de Lans, octobre 2012





REMICOURT M. AVEC LA COLLABORATION DE ANDRIEU-PONEL V., AUDIBERT C., BARADAT A., BATTENTIER J., BELKACEM D., BLAISE E., BONNARDIN S., DOUSSE M., CAVERNE J.-B., FERNANDES P., GERBE M., GIRARD B., LACHENAL T., LEPÈRE C., LOCATELLI C., MARTIN L., PARAVEL B., PARISOT N., PONEL P., POUSSET D., RUÉ M., SCHMITT A., SÉNÉPART I., TALLET P., THIRAUT E. (2012) - *Les occupations pré et protohistoriques du Clos de Roque, à Saint-Maximin-la-Sainte-Baume (Var)*, Rapport final d'opération, Paléotime, Aix-en-Provence, Service Régional de l'Archéologie Provence-Alpes-Côte-d'Azur, 3 vol., 1084 p., 433 fig., 22 tbl.

Crédits couverture © Paléotime :  
Cliché : Lucie Martin ; Dessin : Maxime Remicourt  
Mise en page du Rapport final d'opération : Maxime Remicourt

# Les occupations pré et protohistoriques du Clos de Roque, à Saint-Maximin-la Sainte-Baume

Provence-Alpes-Côtes-d'Azur, Var (83)

Opération d'archéologie préventive du 02 mai au 13 juillet 2011

Code INSEE de la commune : 83116

Code opération Patriarche : OA9785

Arrêté de prescription : AF/N° 2040/23-03-2011

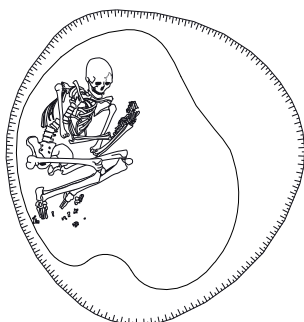


## Rapport Final d'Opération

Volume 2 / 3 : figures

**Responsable d'opération :** Maxime Remicourt

**Auteurs :** Valérie Andrieu-Ponel, Cédric Audibert, Audrey Baradat, Janet Battentier, Dahvya Belkacem, Emilie Blaise, Sandrine Bonnardin, Jean-Baptiste Caverne, Marion Dousse, Paul Fernandes, Magali Gerbe, Benjamin Girard, Thibault Lachenal, Cédric Lepère, Christine Locatelli, Lucie Martin, Benoît Paravel, Nina Parisot, Philippe Ponel, Didier Pousset, Maxime Remicourt, Mathieu Rué, Aurore Schmitt, Ingrid Sénépart, Pascal Tallet, Eric Thirault



Villard de Lans, octobre 2012



### *Avertissement*

Les rapports de fouille constituent des documents administratifs communicables au public dès leur remise au Service régional de l'archéologie, suivant les prescriptions de la loi n° 78-753 du 17 juillet 1978 modifiée, relative à l'amélioration des relations entre l'administration et le public. Aux termes de la circulaire du 26 mars 1993, ils pourront être consultés ; les agents des Services régionaux de l'archéologie rappelleront à tout demandeur les droits de propriété littéraire et artistique possédés par les auteurs et les contraintes qui en résultent pour tout consultant. Les prises de notes et les photocopies sont utilisées pour un usage exclusivement privé et non destiné à une utilisation collective (article L122-5 du code de la propriété intellectuelle). Toute reproduction du texte accompagnée ou non de photographies, cartes ou schémas, n'est possible que dans le cadre du droit de courte utilisation, avec les références exactes et complètes de l'auteur et de l'ouvrage. Par ailleurs, l'exercice du droit à la communication exclut, pour ses bénéficiaires ou pour les tiers, la possibilité de reproduire, de diffuser ou d'utiliser à des fins commerciales les documents communiqués (Loi n° 78-753 du 17 juillet 1978, art. 10).

Le non respect de ces règles constitue un délit de contrefaçon puni par l'article 425 du code pénal.





***Sections 1 et 2 :***  
***Résultats scientifiques de l'opération :***  
***figures et illustrations***



## Liste des figures et des illustrations

<b>Figure 1</b> - Le Clos de Roque, Saint-Maximin-la-Sainte-Baume (83). Localisation du gisement sur fond cartographique à l'échelle 1/200000 <sup>ème</sup> (haut) et à l'échelle 1/10000 <sup>ème</sup> (bas).	p. 334
<b>Figure 2</b> - Le Clos de Roque, Saint-Maximin-la-Sainte-Baume (83). Localisation du gisement sur fond cadastral à l'échelle 1/3000 <sup>ème</sup>	p. 335
<b>Figure 3</b> - Le Clos de Roque, Saint-Maximin-la-Sainte-Baume (83). Localisation du gisement sur le cadastre napoléonien de Saint-Maximin-la-Sainte-Baume, 1811. Tableau d'assemblage (haut), Section B (bas)	p. 336
<b>Figure 4</b> - Le Clos de Roque, Saint-Maximin-la-Sainte-Baume (83). Localisation des tranchées du diagnostic de 2010 sur le cadastre (d'après Laurier 2010) à l'échelle 1/5000 <sup>ème</sup>	p. 337
<b>Figure 5</b> - Le Clos de Roque, Saint-Maximin-la-Sainte-Baume (83). Localisation des tranchées du diagnostic de 2010 (d'après Laurier 2010), des structures du Chemin de Barjols (d'après Cockin, Furestier 2009) et des coupes géomorphologiques sur l'emprise de fouille à l'échelle 1/1000 <sup>ème</sup>	p. 338
<b>Figure 6</b> - Le Clos de Roque, Saint-Maximin-la-Sainte-Baume (83). Localisation des principaux gisements pré et protohistoriques mentionnés dans le rapport	p. 339
<b>Figure 7</b> - Le Clos de Roque, Saint-Maximin-la-Sainte-Baume (83). Frise chronologique pour la pré et protohistoire provençale	p. 340
<b>Figure 8</b> - Le Clos de Roque, Saint-Maximin-la-Sainte-Baume (83). Plan général des structures en fonction des périodes d'occupations découvertes sur l'emprise de fouille et des structures du Chemin de Barjols	p. 341
<b>Figure 9</b> - Le Clos de Roque, Saint-Maximin-la-Sainte-Baume (83). Sélection de photographies illustrant les différents temps et les méthodes employés lors de la fouille	p. 342
<b>Figure 10</b> - Le Clos de Roque, Saint-Maximin-la-Sainte-Baume (83). Contexte géologique	p. 343
<b>Figure 11</b> - Le Clos de Roque, Saint-Maximin-la-Sainte-Baume (83). Vue aérienne IGN de juin 1928	p. 344
<b>Figure 12</b> - Le Clos de Roque, Saint-Maximin-la-Sainte-Baume (83). Topographie de la surface du sol avant (a) et après (b) décapage. Localisation des sondages et coupes stratigraphiques restituées. Echelle 1/1500	p. 345
<b>Figure 13</b> - Le Clos de Roque, Saint-Maximin-la-Sainte-Baume (83). Profondeurs du niveau d'apparition des structures par rapport à la surface du sol. Profondeurs en m. Echelle 1/1500	p. 346
<b>Figure 14</b> - Clos de Roque, Saint-Maximin-la-Sainte-Baume (83). Coupes stratigraphiques 1, 3, 4 et 5. Echelle horizontale : 1/400 ; échelle verticale : 1/100	p. 347
<b>Figure 15</b> - Clos de Roque, Saint-Maximin-la-Sainte-Baume (83). Séquence pédo-sédimentaire illustrée par les coupes 3.1 et 6.1. Echelle des logs : 1/20. Le niveau d'apparition des structures archéologiques se situe juste sous la limite inférieure de l'unité 2	p. 348
<b>Figure 16</b> - Le Clos de Roque, Saint-Maximin-la-Sainte-Baume (83). Structures échantillonnées pour examen des microfaciès	p. 349
<b>Figure 17</b> - Le Clos de Roque, Saint-Maximin-la-Sainte-Baume (83). Coupes des structures échantillonnées et position des lames minces. Echelle 1/50	p. 350
<b>Figure 18</b> - Le Clos de Roque, Saint-Maximin-la-Sainte-Baume (83). Aperçu photographique des prélèvements micromorphologiques	p. 351
<b>Figure 19</b> - Le Clos de Roque, Saint-Maximin-la-Sainte-Baume (83). Lames minces et localisation des clichés. Echelle 2/3	p. 352
<b>Figure 20</b> - Le Clos de Roque, Saint-Maximin-la-Sainte-Baume (83). Aperçu des microfaciès. Lumière polarisée non analysée (gauche) et lumière polarisée analysée (droite)	p. 353
<b>Figure 21</b> - Le Clos de Roque, Saint-Maximin-la-Sainte-Baume (83). Aperçu des microfaciès. Lumière polarisée non analysée (gauche) et lumière polarisée analysée (droite)	p. 354
<b>Figure 22</b> - Le Clos de Roque, Saint-Maximin-la-Sainte-Baume (83). Plan général et numéro indicatif des structures attribuables au Néolithique moyen	p. 355
<b>Figure 23</b> - Le Clos de Roque, Saint-Maximin-la-Sainte-Baume (83). Plan général et numéro indicatif des structures attribuables au Néolithique récent	p. 356
<b>Figure 24</b> - Le Clos de Roque, Saint-Maximin-la-Sainte-Baume (83). Plan général et numéro indicatif des structures attribuables au Néolithique final phase 1	p. 357
<b>Figure 25</b> - Le Clos de Roque, Saint-Maximin-la-Sainte-Baume (83). Plan général et numéro indicatif des structures attribuables au Néolithique final phase 2	p. 358

<b>Figure 26</b> - Le Clos de Roque, Saint-Maximin-la-Sainte-Baume (83).	
Plan général et numéro indicatif des structures attribuables au Néolithique final indéterminé	p. 359
<b>Figure 27</b> - Le Clos de Roque, Saint-Maximin-la-Sainte-Baume (83).	
Plan général et numéro indicatif des structures attribuables au Bronze ancien	p. 360
<b>Figure 28</b> - Le Clos de Roque, Saint-Maximin-la-Sainte-Baume (83).	
Plan général et numéro indicatif des structures attribuables au Hallstatt ancien	p. 361
<b>Figure 29</b> - Le Clos de Roque, Saint-Maximin-la-Sainte-Baume (83).	
Plan général et numéro indicatif des structures attribuables à la période moderne	p. 362
<b>Figure 30</b> - Le Clos de Roque, Saint-Maximin-la-Sainte-Baume (83).	
Plan général et numéro indicatif des structures pré et protohistoriques non attribuables	p. 363
<b>Figure 31</b> - Le Clos de Roque, Saint-Maximin-la-Sainte-Baume (83).	
Photographies illustrant quelques structures attribuables au Néolithique moyen	p. 364
<b>Figure 32</b> - Le Clos de Roque, Saint-Maximin-la-Sainte-Baume (83).	
Photographies illustrant la fouille du puits ST2096 attribuable au Néolithique récent	p. 365
<b>Figure 33</b> - Le Clos de Roque, Saint-Maximin-la-Sainte-Baume (83).	
Inventaire en cours des puits néolithiques découverts dans le sud de la France	p. 366
<b>Figure 34</b> - Le Clos de Roque, Saint-Maximin-la-Sainte-Baume (83). a : Décompte des découvertes de puits ces dernières décennies ; b : Mensuration (profondeur par diamètre) des puits néolithiques dont les caractères morphométriques sont publiés	p. 367
<b>Figure 35</b> - Le Clos de Roque, Saint-Maximin-la-Sainte-Baume (83). a : Datations absolues et relatives des puits néolithiques ; b : Localisation des puits néolithiques découverts dans le sud de la France	p. 368
<b>Figure 36</b> - Le Clos de Roque, Saint-Maximin-la-Sainte-Baume (83).	
Photographies illustrant quelques structures attribuables au Néolithique final phase 1	p. 369
<b>Figure 37</b> - Le Clos de Roque, Saint-Maximin-la-Sainte-Baume (83).	
Photographies illustrant quelques structures attribuables au Néolithique final phase 2	p. 370
<b>Figure 38</b> - Le Clos de Roque, Saint-Maximin-la-Sainte-Baume (83).	
Photographies illustrant quelques structures attribuables au Néolithique final indéterminé	p. 371
<b>Figure 39</b> - Le Clos de Roque, Saint-Maximin-la-Sainte-Baume (83).	
Photographies illustrant quelques structures attribuables au Bronze ancien	p. 372
<b>Figure 40</b> - Le Clos de Roque, Saint-Maximin-la-Sainte-Baume (83).	
Photographies illustrant quelques structures attribuables au Hallstatt ancien	p. 373
<b>Figure 41</b> - Le Clos de Roque, Saint-Maximin-la-Sainte-Baume (83).	
Tableaux diachroniques des volumes estimés (rapport diamètre/profondeur) par type de structure en creux	p. 374
<b>Figure 42</b> - Le Clos de Roque, Saint-Maximin-la-Sainte-Baume (83).	
Courbes de répartition des volumes estimés (rapport diamètre/profondeur) par type de structure en creux	p. 375
<b>Figure 43</b> - Le Clos de Roque, Saint-Maximin-la-Sainte-Baume (83).	
Courbes de répartition cumulatives des volumes estimés (rapport diamètre/profondeur) des structures en creux	p. 376
<b>Figure 44</b> - Le Clos de Roque, Saint-Maximin-la-Sainte-Baume (83).	
Morphologie des structures en creux découvertes lors de la fouille	p. 377
<b>Figure 45</b> - Le Clos de Roque, Saint-Maximin-la-Sainte-Baume (83). Diagrammes de corrélation profondeur sur diamètre maximum et par faciès de remplissage par type de structure en creux : diachroniques (haut), pré et protohistoriques non attribuées (bas)	p. 378
<b>Figure 46</b> - Le Clos de Roque, Saint-Maximin-la-Sainte-Baume (83). Diagrammes de corrélation profondeur sur diamètre maximum et par faciès de remplissage par type de structure en creux : Néolithique final (haut), Néolithique moyen I (bas)	p. 379
<b>Figure 47</b> - Le Clos de Roque, Saint-Maximin-la-Sainte-Baume (83). Diagrammes de corrélation profondeur sur diamètre maximum et par faciès de remplissage par type de structure en creux : Hallstatt (haut), Bronze ancien (bas)	p. 380
<b>Figure 48</b> - Le Clos de Roque, Saint-Maximin-la-Sainte-Baume (83). Plan général diachronique du volume estimé (rapport profondeur sur diamètre maximum) des structures pré et protohistoriques	p. 381
<b>Figure 49</b> - Le Clos de Roque, Saint-Maximin-la-Sainte-Baume (83). Plan général diachronique des types morphologiques des structures pré et protohistoriques rencontrés lors de la fouille	p. 382
<b>Figure 50</b> - Clos de Roque, Saint-Maximin-la-Sainte-Baume (83). Plan général diachronique des types de remplissage des structures pré et protohistoriques rencontrés lors de la fouille	p. 383
<b>Figure 51</b> - Clos de Roque, Saint-Maximin-la-Sainte-Baume (83). Plan et coupe stratigraphique de la structure ST2094	p. 384

<b>Figure 52</b> - Clos de Roque, Saint-Maximin-la-Sainte-Baume (83). Plan et coupe stratigraphique de la structure ST2328	p. 385
<b>Figure 53</b> - Clos de Roque, Saint-Maximin-la-Sainte-Baume (83). Plan de la structure ST2096	p. 386
<b>Figure 54</b> - Clos de Roque, Saint-Maximin-la-Sainte-Baume (83).	
Sections intermédiaires à différentes profondeurs de la structure ST2096	p. 387
<b>Figure 55</b> - Clos de Roque, Saint-Maximin-la-Sainte-Baume (83). Coupe stratigraphique est-ouest de la structure ST2096	p. 388
<b>Figure 56</b> - Clos de Roque, Saint-Maximin-la-Sainte-Baume (83). Coupe stratigraphique nord-sud de la structure ST2096	p. 389
<b>Figure 57</b> - Clos de Roque, Saint-Maximin-la-Sainte-Baume (83). Plan et coupes stratigraphiques de la structure ST2093-ST2311-FS22 qui recouvre la fosse sépulcrale FS23 (d'après Laurier 2010)	p. 390
<b>Figure 58</b> - Clos de Roque, Saint-Maximin-la-Sainte-Baume (83). Plan et coupes stratigraphiques de la structure ST1071-FS40 (d'après Laurier 2010)	p. 391
<b>Figure 59</b> - Clos de Roque, Saint-Maximin-la-Sainte-Baume (83). Plans et coupes stratigraphiques de la structure ST2148 et des structures environnantes	p. 392
<b>Figure 60</b> - Le Clos de Roque, Saint-Maximin-la-Sainte-Baume (83). Plan de la structure FS23 (d'après Laurier 2010)	p. 393
<b>Figure 61</b> - Le Clos de Roque, Saint-Maximin-la-Sainte-Baume (83). Plan et coupe stratigraphique de la structure FS23 (d'après Laurier 2010)	p. 394
<b>Figure 62</b> - Le Clos de Roque, Saint-Maximin-la-Sainte-Baume (83). Plan de la structure ST2209	p. 395
<b>Figure 63</b> - Le Clos de Roque, Saint-Maximin-la-Sainte-Baume (83). Plan et coupe stratigraphique de la structure ST2209	p. 396
<b>Figure 64</b> - Le Clos de Roque, Saint-Maximin-la-Sainte-Baume (83). Plan et coupe stratigraphique de la structure ST2215	p. 397
<b>Figure 65</b> - Le Clos de Roque, Saint-Maximin-la-Sainte-Baume (83). Plan et coupe stratigraphique de la structure ST2224	p. 398
<b>Figure 66</b> - Le Clos de Roque, Saint-Maximin-la-Sainte-Baume (83). Plan et coupe stratigraphique de la structure ST2205	p. 399
<b>Figure 67</b> - Le Clos de Roque, Saint-Maximin-la-Sainte-Baume (83). Plan et coupe stratigraphique de la structure ST2247	p. 400
<b>Figure 68</b> - Le Clos de Roque, Saint-Maximin-la-Sainte-Baume (83). Plan et coupe stratigraphique de la structure ST1058	p. 401
<b>Figure 69</b> - Le Clos de Roque, Saint-Maximin-la-Sainte-Baume (83). Plan et coupe stratigraphique de la structure ST2017	p. 402
<b>Figure 70</b> - Le Clos de Roque, Saint-Maximin-la-Sainte-Baume (83). Plan et coupe stratigraphique de la structure ST2157	p. 403
<b>Figure 71</b> - Le Clos de Roque, Saint-Maximin-la-Sainte-Baume (83). Plan et coupe stratigraphique de la structure ST2015	p. 404
<b>Figure 72</b> - Le Clos de Roque, Saint-Maximin-la-Sainte-Baume (83). Plan et coupe stratigraphique de la structure ST2161	p. 405
<b>Figure 73</b> - Le Clos de Roque, Saint-Maximin-la-Sainte-Baume (83). Plan et coupe stratigraphique de la structure ST2074	p. 406
<b>Figure 74</b> - Le Clos de Roque, Saint-Maximin-la-Sainte-Baume (83). Plan et coupe stratigraphique de la structure ST2187	p. 407
<b>Figure 75</b> - Le Clos de Roque, Saint-Maximin-la-Sainte-Baume (83). Plan et coupe stratigraphique de la structure ST2230	p. 408
<b>Figure 76</b> - Le Clos de Roque, Saint-Maximin-la-Sainte-Baume (83). Plan et coupe stratigraphique de la structure ST2191-ST2192	p. 409
<b>Figure 77</b> - Le Clos de Roque, Saint-Maximin-la-Sainte-Baume (83). Plan et coupe stratigraphique de la structure ST2194	p. 410
<b>Figure 78</b> - Le Clos de Roque, Saint-Maximin-la-Sainte-Baume (83). Plan et coupe stratigraphique de la structure ST2197	p. 411
<b>Figure 79</b> - Le Clos de Roque, Saint-Maximin-la-Sainte-Baume (83). Plan et coupe stratigraphique de la structure ST2229-ST2228	p. 412
<b>Figure 80</b> - Le Clos de Roque, Saint-Maximin-la-Sainte-Baume (83). Plan et coupe stratigraphique de la structure ST2033	p. 413
<b>Figure 81</b> - Le Clos de Roque, Saint-Maximin-la-Sainte-Baume (83). Plan et coupe stratigraphique de la structure ST2185	p. 414
<b>Figure 82</b> - Le Clos de Roque, Saint-Maximin-la-Sainte-Baume (83). Plan et coupe stratigraphique de la structure ST2186	p. 415
<b>Figure 83</b> - Le Clos de Roque, Saint-Maximin-la-Sainte-Baume (83). Plan et coupe stratigraphique de la structure ST2189	p. 416
<b>Figure 84</b> - Le Clos de Roque, Saint-Maximin-la-Sainte-Baume (83). Plan et coupe stratigraphique de la structure ST2195	p. 417
<b>Figure 85</b> - Le Clos de Roque, Saint-Maximin-la-Sainte-Baume (83). Plan et coupe stratigraphique de la structure ST2325	p. 418
<b>Figure 86</b> - Le Clos de Roque, Saint-Maximin-la-Sainte-Baume (83). Plan et coupe stratigraphique de la structure ST2190	p. 419
<b>Figure 87</b> - Le Clos de Roque, Saint-Maximin-la-Sainte-Baume (83). Plan et coupe stratigraphique de la structure ST2201	p. 420
<b>Figure 88</b> - Le Clos de Roque, Saint-Maximin-la-Sainte-Baume (83). Plan et coupe stratigraphique de la structure ST2202	p. 421
<b>Figure 89</b> - Le Clos de Roque, Saint-Maximin-la-Sainte-Baume (83). Plan et coupe stratigraphique de la structure ST2203	p. 422
<b>Figure 90</b> - Le Clos de Roque, Saint-Maximin-la-Sainte-Baume (83). Plan et coupe stratigraphique de la structure ST2204	p. 423
<b>Figure 91</b> - Le Clos de Roque, Saint-Maximin-la-Sainte-Baume (83). Plan et coupe stratigraphique de la structure ST2124	p. 424
<b>Figure 92</b> - Le Clos de Roque, Saint-Maximin-la-Sainte-Baume (83). Plan et coupe stratigraphique de la structure ST2125	p. 425
<b>Figure 93</b> - Le Clos de Roque, Saint-Maximin-la-Sainte-Baume (83). Plan et coupe stratigraphique de la structure ST1001	p. 426
<b>Figure 94</b> - Le Clos de Roque, Saint-Maximin-la-Sainte-Baume (83). Plan et coupe stratigraphique de la structure ST1050	p. 427
<b>Figure 95</b> - Le Clos de Roque, Saint-Maximin-la-Sainte-Baume (83). Plan et coupe stratigraphique de la structure ST2011	p. 428
<b>Figure 96</b> - Le Clos de Roque, Saint-Maximin-la-Sainte-Baume (83). Plan et coupe stratigraphique de la structure ST2030	p. 429
<b>Figure 97</b> - Le Clos de Roque, Saint-Maximin-la-Sainte-Baume (83). Plan et coupe stratigraphique de la structure ST2126	p. 430









<i>Figure 251</i> - Le Clos de Roque, Saint-Maximin-la-Sainte-Baume (83). Plan et coupe stratigraphique de la structure ST2269	p. 584
<i>Figure 252</i> - Le Clos de Roque, Saint-Maximin-la-Sainte-Baume (83). Plan et coupe stratigraphique de la structure ST2333	p. 585
<i>Figure 253</i> - Le Clos de Roque, Saint-Maximin-la-Sainte-Baume (83). Plan et coupe stratigraphique de la structure ST2238	p. 586
<i>Figure 254</i> - Le Clos de Roque, Saint-Maximin-la-Sainte-Baume (83). Etude des variables quantitatives	p. 587
<i>Figure 255</i> - Le Clos de Roque, Saint-Maximin-la-Sainte-Baume (83). Typologie des formes	p. 588
<i>Figure 256</i> - Le Clos de Roque, Saint-Maximin-la-Sainte-Baume (83). Typologie des formes céramiques	p. 589
<i>Figure 257</i> - Le Clos de Roque, Saint-Maximin-la-Sainte-Baume (83). Etude des appendices plastiques	p. 590
<i>Figure 258</i> - Le Clos de Roque, Saint-Maximin-la-Sainte-Baume (83). Typologie des appendices plastiques	p. 591
<i>Figure 259</i> - Le Clos de Roque, Saint-Maximin-la-Sainte-Baume (83). Description des catégories de pâtes	p. 592
<i>Figure 260</i> - Le Clos de Roque, Saint-Maximin-la-Sainte-Baume (83). Description des catégories de pâtes	p. 593
<i>Figure 261</i> - Le Clos de Roque, Saint-Maximin-la-Sainte-Baume (83). Exemples de pâtes	p. 594
<i>Figure 262</i> - Le Clos de Roque, Saint-Maximin-la-Sainte-Baume (83). Exemples de pâtes	p. 595
<i>Figure 263</i> - Le Clos de Roque, Saint-Maximin-la-Sainte-Baume (83). Exemples de pâtes	p. 596
<i>Figure 264</i> - Le Clos de Roque, Saint-Maximin-la-Sainte-Baume (83). Exemples de pâtes	p. 597
<i>Figure 265</i> - Le Clos de Roque, Saint-Maximin-la-Sainte-Baume (83). Relation pâtes / épaisseurs	p. 598
<i>Figure 266</i> - Le Clos de Roque, Saint-Maximin-la-Sainte-Baume (83). a : Lecture des dessins ;	
b : Caractérisation des types de cuisson. a, système descriptif ; b, différents types de cuisson isolés dans la série	p. 599
<i>Figure 267</i> - Le Clos de Roque, Saint-Maximin-la-Sainte-Baume (83). Comptage des restes par type, Zone 1	p. 600
<i>Figure 268a</i> - Le Clos de Roque, Saint-Maximin-la-Sainte-Baume (83). Comptage des restes par type, Zone 2	p. 601
<i>Figure 268b</i> - Le Clos de Roque, Saint-Maximin-la-Sainte-Baume (83). Comptage des restes par type, Zone 2	p. 602
<i>Figure 269</i> - Le Clos de Roque, Saint-Maximin-la-Sainte-Baume (83). Inventaire du mobilier par unité stratigraphique	p. 603
<i>Figure 270</i> - Le Clos de Roque, Saint-Maximin-la-Sainte-Baume (83).	
Distribution des éléments typologiques (formes et appendices) par US, structure 2096	p. 604
<i>Figure 271</i> - Le Clos de Roque, Saint-Maximin-la-Sainte-Baume (83).	
a : Distribution des formats, ST2096 ; b : Relation formes/appendices, ST2096	p. 605
<i>Figure 272</i> - Le Clos de Roque, Saint-Maximin-la-Sainte-Baume (83). Distribution des pâtes. 1, par forme ; 2, par US	p. 606
<i>Figure 273</i> - Le Clos de Roque, Saint-Maximin-la-Sainte-Baume (83). Distribution des méthodes de montage	p. 607
<i>Figure 274</i> - Le Clos de Roque, Saint-Maximin-la-Sainte-Baume (83). Distribution des traitements de surface externe, ST2096	p. 608
<i>Figure 275</i> - Le Clos de Roque, Saint-Maximin-la-Sainte-Baume (83). Distribution des cuissons, ST2096	p. 609
<i>Figure 276</i> - Le Clos de Roque, Saint-Maximin-la-Sainte-Baume (83). Définition des groupes techniques, ST2096	p. 610
<i>Figure 277</i> - Le Clos de Roque, Saint-Maximin-la-Sainte-Baume (83). Distribution des formes par structure	p. 611
<i>Figure 278</i> - Le Clos de Roque, Saint-Maximin-la-Sainte-Baume (83). Distribution des appendices plastique par structures	p. 612
<i>Figure 279</i> - Le Clos de Roque, Saint-Maximin-la-Sainte-Baume (83). Distribution des types de pâtes par structures	p. 613
<i>Figure 280</i> - Le Clos de Roque, Saint-Maximin-la-Sainte-Baume (83). Distribution des méthodes de montage par structures	p. 614
<i>Figure 281</i> - Le Clos de Roque, Saint-Maximin-la-Sainte-Baume (83).	
a : Distribution des traitements de surface externe par structure ; b : Distribution des modes de cuisson par structure	p. 615
<i>Figure 282</i> - Le Clos de Roque, Saint-Maximin-la-Sainte-Baume (83). Partition des occupations	p. 616
<i>Figure 283</i> - Le Clos de Roque, Saint-Maximin-la-Sainte-Baume (83). Tableau croisé des phases et caractères spécifiques	p. 617
<i>Figure 284</i> - Le Clos de Roque, Saint-Maximin-la-Sainte-Baume (83).	
Test du khi <sup>2</sup> (résultats khi <sup>2</sup> par case) comparant les phases 2 et 3. 1, Formes et appendices ; 2, cuissons ; 3, traitements de surface	p. 618
<i>Figure 285</i> - Le Clos de Roque, Saint-Maximin-la-Sainte-Baume (83). Matériel céramique, structure 2096, US 1	p. 619
<i>Figure 286</i> - Le Clos de Roque, Saint-Maximin-la-Sainte-Baume (83). Matériel céramique, structure 2096, US 2	p. 620
<i>Figure 287</i> - Le Clos de Roque, Saint-Maximin-la-Sainte-Baume (83). Matériel céramique, structure 2096, US 2	p. 621
<i>Figure 288</i> - Le Clos de Roque, Saint-Maximin-la-Sainte-Baume (83). Matériel céramique, structure 2096	p. 622
<i>Figure 289</i> - Le Clos de Roque, Saint-Maximin-la-Sainte-Baume (83). Matériel céramique, structure 2096, US 7	p. 623
<i>Figure 290</i> - Le Clos de Roque, Saint-Maximin-la-Sainte-Baume (83). Matériel céramique, structure 2096	p. 624
<i>Figure 291</i> - Le Clos de Roque, Saint-Maximin-la-Sainte-Baume (83). Matériel céramique, structure 2096	p. 625
<i>Figure 292</i> - Le Clos de Roque, Saint-Maximin-la-Sainte-Baume (83). Matériel céramique, structure 2096	p. 626
<i>Figure 293</i> - Le Clos de Roque, Saint-Maximin-la-Sainte-Baume (83). Matériel céramique, structure 2096, US 15	p. 627
<i>Figure 294</i> - Le Clos de Roque, Saint-Maximin-la-Sainte-Baume (83). Matériel céramique, structure 2096	p. 628
<i>Figure 295</i> - Le Clos de Roque, Saint-Maximin-la-Sainte-Baume (83). Matériel céramique, structure 2096, US 15	p. 629

<b>Figure 296</b> - Le Clos de Roque, Saint-Maximin-la-Sainte-Baume (83). Matériel céramique, structure 2096, US15	p. 630
<b>Figure 297</b> - Le Clos de Roque, Saint-Maximin-la-Sainte-Baume (83). Matériel céramique, structure 2096, US15	p. 631
<b>Figure 298</b> - Le Clos de Roque, Saint-Maximin-la-Sainte-Baume (83). Matériel céramique, structure 2096, US15	p. 632
<b>Figure 299</b> - Le Clos de Roque, Saint-Maximin-la-Sainte-Baume (83). Vase 1, petites concavités formant des cannelures parallèles	p. 633
<b>Figure 300</b> - Le Clos de Roque, Saint-Maximin-la-Sainte-Baume (83). Matériel céramique, structure 2319, 2224 et 2226. 83-87a, fosse 2319 ; 48-49, fosse 2224 ; 47, fosse 2226	p. 634
<b>Figure 301</b> - Le Clos de Roque, Saint-Maximin-la-Sainte-Baume (83). Matériel céramique, diagnostic, fosses 4, 18, 21 et 23. 212, coupe en calotte, fosse 4 ; 211, vase à ressaut, fosse 18 ; 194-196, 190 et 191, fosse 21 ; 201 et 202, fosse 23	p. 635.
<b>Figure 302</b> - Le Clos de Roque, Saint-Maximin-la-Sainte-Baume (83). Matériel céramique, diagnostic, fosses 23, 28, 36 et 37. 89, 90, 198 et 199, fosse 23 ; 211, fosse 28 ; 210, fosse 36 ; 208, fosse 37 ; 57, HS	p. 636
<b>Figure 303</b> - Le Clos de Roque, Saint-Maximin-la-Sainte-Baume (83). Matériel céramique, structures 1014, 1023, 1055 et 1062. 176, fosse 1014 ; 172-174, fosse 1023 ; 187 et 188, fosse 1055 ; 182 et 185, fosse 1062	p. 637
<b>Figure 304</b> - Le Clos de Roque, Saint-Maximin-la-Sainte-Baume (83). Mobilier céramique, 43, fosse 2002 ; 61 et 62, fosse 2006 ; 38-40, fosse 2014 ; 113-115, 117 et 290, fosse 2032	p. 638
<b>Figure 305</b> - Le Clos de Roque, Saint-Maximin-la-Sainte-Baume (83). Matériel céramique, fosse 2021	p. 639
<b>Figure 306</b> - Le Clos de Roque, Saint-Maximin-la-Sainte-Baume (83). Matériel céramique, fosse 2021	p. 640
<b>Figure 307</b> - Le Clos de Roque, Saint-Maximin-la-Sainte-Baume (83). Matériel céramique, fosse 2050	p. 641
<b>Figure 308</b> - Le Clos de Roque, Saint-Maximin-la-Sainte-Baume (83). Matériel céramique, fosse 2071	p.642
<b>Figure 309</b> - Le Clos de Roque, Saint-Maximin-la-Sainte-Baume (83). Matériel céramique, structures 2072, 2073 et 2075. 75, fosse 2072 ; 141, fosse 2073 ; 25-29, fosse 2075	p. 643
<b>Figure 310</b> - Le Clos de Roque, Saint-Maximin-la-Sainte-Baume (83). Matériel céramique, structures 2078, 2080, 2085 et 2087. 60, fosse 2078 ; 107-108, fosse 2080 ; 77-78, fosse 2085 ; 58-59, fosse 2087	p. 644
<b>Figure 311</b> - Le Clos de Roque, Saint-Maximin-la-Sainte-Baume (83). Matériel céramique, structure 2088, 2090 et 2224. 21, 23 et 24, fosse 2088 ; 65-66, fosse 2090 ; 80, fosse 2199 ; 48-49, fosse 2224	p. 645
<b>Figure 312</b> - Le Clos de Roque, Saint-Maximin-la-Sainte-Baume (83). Matériel céramique, structure 2093	p. 646
<b>Figure 313</b> - Le Clos de Roque, Saint-Maximin-la-Sainte-Baume (83). Matériel céramique, structure 2237, 2241 et 2247. 63-64, fosse 2237 ; 34-36, fosse 2241 ; 44-45, fosse 2247	p. 647
<b>Figure 314</b> - Le Clos de Roque, Saint-Maximin-la-Sainte-Baume (83). Matériel céramique, structures 2326, 2328 et 2329. 53-54, fosse 2326 ; 123, 124, 128, 130-133, 135, fosse 2328 ; 51-52, fosse 2329 ; 55, fosse 2338	p. 648
<b>Figure 315</b> - Le Clos de Roque, Saint-Maximin-la-Sainte-Baume (83). Matériel céramique. 1, décor incisé (structure 1014) ; 2, tesson épuré (FS21) (DAO et clichés : C. Lepère)	p. 649
<b>Figure 316</b> - Le Clos de Roque, Saint-Maximin-la-Sainte-Baume (83). Exemple de raclage	p. 650
<b>Figure 317</b> - Le Clos de Roque, Saint-Maximin-la-Sainte-Baume (83). Matériel céramique. 1, résidus à la surface du vase 10 ; 2, négatifs (feuilles), vase 13	p. 651
<b>Figure 318</b> - Le Clos de Roque, Saint-Maximin-la-Sainte-Baume (83). Exemple de végétaux en surface	p. 652
<b>Figure 319</b> - Le Clos de Roque, Saint-Maximin-la-Sainte-Baume (83). Principes de description et de classification morphologique des vases	p. 653
<b>Figure 320</b> - Le Clos de Roque, Saint-Maximin-la-Sainte-Baume (83). Nombre de reste et poids de la céramique des principales structures du Bronze ancien	p. 654
<b>Figure 321</b> - Le Clos de Roque, Saint-Maximin-la-Sainte-Baume (83). Planche synthétique des principaux types céramiques reconnus à Chemin de Barjols et à Chemin d'Herbous	p. 655
<b>Figure 322</b> - Le Clos de Roque, Saint-Maximin-la-Sainte-Baume (83). Fréquences des types de dégraissant sur les sites du Bronze ancien de la plaine de Saint-Maximin	p. 656
<b>Figure 323</b> - Le Clos de Roque, Saint-Maximin-la-Sainte-Baume (83). Effectifs et fréquences des types de cuisson de la céramique du Bronze ancien	p. 657
<b>Figure 324</b> - Le Clos de Roque, Saint-Maximin-la-Sainte-Baume (83). Matrice diagonalisée de présence/absence des types de récipients issus des structures de Chemin de Barjols (en italique) et du Clos de Roque (en gras)	p. 658
<b>Figure 325</b> - Le Clos de Roque, Saint-Maximin-la-Sainte-Baume (83). Nombre de reste et poids de la céramique des principales structures du premier âge du Fer	p. 659
<b>Figure 326</b> - Le Clos de Roque, Saint-Maximin-la-Sainte-Baume (83). Effectifs et fréquences des types de cuisson de la céramique du premier âge du Fer	p. 660

<b>Figure 327</b> - Le Clos de Roque, Saint-Maximin-la-Sainte-Baume (83).	
Matrice de présence/absence des types de récipients des structures du premier âge du Fer	p. 661
<b>Figure 328</b> - Le Clos de Roque, Saint-Maximin-la-Sainte-Baume (83). Mobilier céramique de l'âge du Bronze ancien	p. 662
<b>Figure 329</b> - Le Clos de Roque, Saint-Maximin-la-Sainte-Baume (83). Mobilier céramique de l'âge du Bronze ancien	p. 663
<b>Figure 330</b> - Le Clos de Roque, Saint-Maximin-la-Sainte-Baume (83). Mobilier céramique du premier âge du Fer	p. 664
<b>Figure 331</b> - Le Clos de Roque, Saint-Maximin-la-Sainte-Baume (83). Mobilier céramique du premier âge du Fer	p. 665
<b>Figure 332</b> - Le Clos de Roque, Saint-Maximin-la-Sainte-Baume (83). Mobilier céramique du premier âge du Fer	p. 666
<b>Figure 333</b> - Clos de Roque, Saint-Maximin-la-Sainte-Baume (83). Carte des gisements de silex inventoriés en Provence	p. 667
<b>Figure 334</b> - Clos de Roque, Saint-Maximin-la-Sainte-Baume (83). Type 406, échantillon géologique prélevé à la carrière de Mallefougasse (Mallefougasse-Augès), sud de la montagne de Lure à la surface de la formation bédoulienne.	p. 668
<b>Figure 335</b> - Le Clos de Roque, Saint-Maximin-la-Sainte-Baume (83). Type 401, échantillon géologique prélevé à « Saint-Etienne-les-Orgues » (Montagne de Lure), dans les calcaires gris bédouliens.	p. 669
<b>Figure 336</b> - Le Clos de Roque, Saint-Maximin-la-Sainte-Baume (83). Type 401, échantillon géologique prélevé à « Saint-Etienne-les-Orgues » (Montagne de Lure), dans les calcaires gris bédouliens.	p. 670
<b>Figure 337</b> - Le Clos de Roque, Saint-Maximin-la-Sainte-Baume (83). Type 407, échantillon géologique prélevé à « les Paulons » (Peipin), dans les calcaires gris bédouliens.	p. 671
<b>Figure 338</b> - Le Clos de Roque, Saint-Maximin-la-Sainte-Baume (83). Type 402, échantillon géologique prélevé à « Chenerilles » (Saint-Christol), dans les calcaires bédouliens du plateau d'Albion.	p. 672
<b>Figure 339</b> - Le Clos de Roque, Saint-Maximin-la-Sainte-Baume (83). Type 403, échantillon géologique prélevé à « la Jeannette » (Saint-Christol), dans les calcaires beiges bédouliens	p. 673
<b>Figure 340</b> - Le Clos de Roque, Saint-Maximin-la-Sainte-Baume (83). Type 403, échantillons géologiques prélevés à « la Jeannette » (Saint-Christol), dans les calcaires beiges bédouliens.	p. 674
<b>Figure 341</b> - Le Clos de Roque, Saint-Maximin-la-Sainte-Baume (83). Type 404, échantillon géologique prélevé au « Revest du Bion » (Le Revest du Bion), dans les calcaires beiges bédouliens du plateau d'Albion.	p. 675
<b>Figure 342</b> - Le Clos de Roque, Saint-Maximin-la-Sainte-Baume (83). Type 400, échantillons géologiques prélevés le long de la départementale 216 (Le Revest-Saint-Martin), dans les calcaires stampiens lacustres massifs.	p. 676
<b>Figure 343</b> - Le Clos de Roque, Saint-Maximin-la-Sainte-Baume (83). Type 410, échantillon géologique prélevé au « Fontienne » (Fontienne), dans les calcaires en plaquettes de Sigonce.	p. 677
<b>Figure 344</b> - Le Clos de Roque, Saint-Maximin-la-Sainte-Baume (83). Type 436, échantillon géologique prélevé au « Montgervis » (Sisteron), dans les calcaires gris de l'Aptien.	p. 678
<b>Figure 345</b> - Le Clos de Roque, Saint-Maximin-la-Sainte-Baume (83). Type 436, échantillon géologique prélevé au « Montgervis » (Sisteron), dans les calcaires gris de l'Aptien.	p. 679
<b>Figure 346</b> - Le Clos de Roque, Saint-Maximin-la-Sainte-Baume (83). Type 405, échantillons géologiques prélevés à « Clausonne » (le Saix), dans les calcaires gris hauteriviens de la montagne d'Aujourd.	p. 680
<b>Figure 347</b> - Le Clos de Roque, Saint-Maximin-la-Sainte-Baume (83). Type 414 : échantillon géologique prélevé à la « forêt de Sigonce » (Fontienne) dans les poudingues marneux. Formation n° 66 de Stouvenot.	
Type 414b : échantillons géologiques prélevés au « mont Saint-Laurent » (Vachères) dans les poudingues argileux rouges.	p. 681
<b>Figure 348</b> - Le Clos de Roque, Saint-Maximin-la-Sainte-Baume (83). Type 428, échantillons géologiques prélevés à « les Moulières » (Pourcieux), dans les calcaires bajociens inférieurs.	p. 682
<b>Figure 349</b> - Le Clos de Roque, Saint-Maximin-la-Sainte-Baume (83). Type 429, échantillons géologiques prélevés à « les Vallons » (Camps-la-Source), dans les calcaires albiens.	p. 683
<b>Figure 350</b> - Le Clos de Roque, Saint-Maximin-la-Sainte-Baume (83). Type 430, échantillon géologique prélevé à « la Font May » (Nans-les-Pins), dans les calcaires bédouliens	p. 684
<b>Figure 351</b> - Le Clos de Roque, Saint-Maximin-la-Sainte-Baume (83). Type 417, échantillon archéologique.	
Facès supérieure et inférieure du nodule plat décimétrique à néo-cortex issus des formations superficielles	p. 685
<b>Figure 352</b> - Le Clos de Roque, Saint-Maximin-la-Sainte-Baume (83). Type 417, échantillon archéologique.	p. 686
<b>Figure 353</b> - Le Clos de Roque, Saint-Maximin-la-Sainte-Baume (83). Type 417, échantillons archéologiques.	p. 687
<b>Figure 354</b> - Le Clos de Roque, Saint-Maximin-la-Sainte-Baume (83). Type 417, échantillons archéologiques.	p. 688
<b>Figure 355</b> - Le Clos de Roque, Saint-Maximin-la-Sainte-Baume (83). Type 410, échantillon archéologique.	p. 689
<b>Figure 356</b> - Le Clos de Roque, Saint-Maximin-la-Sainte-Baume (83). Type 418, échantillon archéologique.	p. 690
<b>Figure 357</b> - Le Clos de Roque, Saint-Maximin-la-Sainte-Baume (83). Type 419, échantillon archéologique.	p. 691

<i>Figure 358</i> - Le Clos de Roque, Saint-Maximin-la-Sainte-Baume (83). Type 419b, échantillons archéologiques.	p. 692
<i>Figure 359</i> - Le Clos de Roque, Saint-Maximin-la-Sainte-Baume (83). Type 420, échantillons archéologiques.	p. 693
<i>Figure 360</i> - Le Clos de Roque, Saint-Maximin-la-Sainte-Baume (83). Type 420, échantillons archéologiques.	p. 694
<i>Figure 361</i> - Le Clos de Roque, Saint-Maximin-la-Sainte-Baume (83). Type 400, échantillons archéologiques.	p. 695
<i>Figure 362</i> - Le Clos de Roque, Saint-Maximin-la-Sainte-Baume (83). Type 421, échantillons archéologiques.	p. 696
<i>Figure 363</i> - Le Clos de Roque, Saint-Maximin-la-Sainte-Baume (83). Type 414, échantillon archéologique N° 379 à oncoïde.	p. 697
<i>Figure 364</i> - Le Clos de Roque, Saint-Maximin-la-Sainte-Baume (83). Type 422, échantillon archéologique.	p. 698
<i>Figure 365</i> - Le Clos de Roque, Saint-Maximin-la-Sainte-Baume (83). Type 422b, échantillon archéologique.	p. 699
<i>Figure 366</i> - Le Clos de Roque, Saint-Maximin-la-Sainte-Baume (83). Type 423, échantillon archéologique.	p. 700
<i>Figure 367</i> - Le Clos de Roque, Saint-Maximin-la-Sainte-Baume (83). Type 426, échantillons archéologiques.	p. 701
<i>Figure 368</i> - Le Clos de Roque, Saint-Maximin-la-Sainte-Baume (83). Type 426, échantillons archéologiques.	p. 702
<i>Figure 369</i> - Le Clos de Roque, Saint-Maximin-la-Sainte-Baume (83). Type 426c, échantillon archéologique.	p. 703
<i>Figure 370</i> - Le Clos de Roque, Saint-Maximin-la-Sainte-Baume (83). Type 425, échantillon archéologique.	p. 704
<i>Figure 371</i> - Le Clos de Roque, Saint-Maximin-la-Sainte-Baume (83). Type 416, échantillons archéologiques.	p. 705
<i>Figure 372</i> - Le Clos de Roque, Saint-Maximin-la-Sainte-Baume (83). Type 416, échantillons archéologiques.	p. 706
<i>Figure 373</i> - Clos de Roque, Saint-Maximin-la-Sainte-Baume (83). Échantillon archéologique	p. 707
<i>Figure 374</i> - Clos de Roque, Saint-Maximin-la-Sainte-Baume (83).	
Carte des zones supposées d'approvisionnement pour les différentes occupations préhistoriques	p. 708
<i>Figure 375</i> - Le Clos de Roque, Saint-Maximin-la-Sainte-Baume (83).	
Répartition de l'industrie lithique par nature et par type de silex selon les différentes périodes d'occupations	p. 709
<i>Figure 376</i> - Le Clos de Roque, Saint-Maximin-la-Sainte-Baume (83).	
Répartition de l'industrie lithique par nature et par type de silex selon les différentes périodes d'occupations	p. 710
<i>Figure 377</i> - Le Clos de Roque, Saint-Maximin-la-Sainte-Baume (83). Diagrammes des largeurs par rapport à l'épaisseurs et des longueurs par rapport aux largeurs de l'industrie lithique selon les différentes périodes d'occupations	p. 711
<i>Figure 376</i> - Le Clos de Roque, Saint-Maximin-la-Sainte-Baume (83). Tableau des différents critères observés sur l'industrie lithique par types de silex et selon les différentes périodes d'occupations (talons, extrémités distales, rythmes et transformations)	p. 712
<i>Figure 377</i> - Le Clos de Roque, Saint-Maximin-la-Sainte-Baume (83). planches	p. 713
<i>Figure 378</i> - Le Clos de Roque, Saint-Maximin-la-Sainte-Baume (83). planches	p. 714
<i>Figure 379</i> - Le Clos de Roque, Saint-Maximin-la-Sainte-Baume (83). planches	p. 715
<i>Figure 380</i> - Le Clos de Roque, Saint-Maximin-la-Sainte-Baume (83). planches	p. 716
<i>Figure 381</i> - Le Clos de Roque, Saint-Maximin-la-Sainte-Baume (83). planches	p. 717
<i>Figure 382</i> - Le Clos de Roque, Saint-Maximin-la-Sainte-Baume (83). Ensemble des datations radiométriques disponibles	p. 718
<i>Figure 383</i> - Le Clos de Roque, Saint-Maximin-la-Sainte-Baume (83). Ensemble des datations radiométriques disponibles	p. 719
<i>Figure 384</i> - Le Clos de Roque, Saint-Maximin-la-Sainte-Baume (83). Lames de hache et percuteur.	
1 : ST2319, datation Néolithique moyen ; 2 : ST2093, datation Néolithique final ; 3 : ST2192, datation premier âge du fer ; 4 : percuteur, puits ST2096 US15, datation Néolithique récent. Echelle 3:4	p. 720
<i>Figure 385</i> - Le Clos de Roque, Saint-Maximin-la-Sainte-Baume (83). Mobilier de mouture du puits ST2096, US 16 (fond du puits, datation Néolithique récent). 1 : fragment éclaté au feu en grès lité à passées grossières ; 2 : pièce entière en poudingue, probablement une meule. Echelle 1:4	p. 721
<i>Figure 386</i> - Le Clos de Roque, Saint-Maximin-la-Sainte-Baume (83). Mobilier de mouture du puits ST2096, US 15 1 : fragment éclaté au feu en grès/grauwacke ; 2 : fragment en grès grossier ; 3 : extrémité en roche de type gneiss ; 4 : « tranche » de meule en grauwacke, avec surface naturelle abrasée ; 5 : extrémité en grès, sur bloc roulé. Echelle 1:4	p. 722
<i>Figure 387</i> - Le Clos de Roque, Saint-Maximin-la-Sainte-Baume (83).	
ST2324, attribution Néolithique/Protohistoire indéterminée. Meule presque complète en grès grossier à grauwacke. Echelle 1:4	p. 723
<i>Figure 388</i> - Le Clos de Roque, Saint-Maximin-la-Sainte-Baume (83). Mobilier lithique pondéreux divers.	p. 724
<i>Figure 389</i> - Le Clos de Roque, Saint-Maximin-la-Sainte-Baume (83).	
Le matériel de mouture/broyage : répartition des épaisseurs en fonction des types d'instruments	p. 725
<i>Figure 390</i> - Le Clos de Roque, Saint-Maximin-la-Sainte-Baume (83). Lissoirs et objets striés	p. 726
<i>Figure 391</i> - Le Clos de Roque, Saint-Maximin-la-Sainte-Baume (83). Lissoir découvert dans le puits ST 2096 (PT1642) (colonne de droite). Datation : Néolithique récent. Comparaisons avec un lissoir expérimental sur galet	p. 727

<b>Figure 392</b> - Le Clos de Roque, Saint-Maximin-la-Sainte-Baume (83). Lame de hache polie STM11, Structure 2192, PT3482. Présence de stries croisées sur une des faces qui pourraient être liées aux travaux de lissage de la poterie	p. 728
<b>Figure 393</b> - Le Clos de Roque, Saint-Maximin-la-Sainte-Baume (83). ST2096, QNE, US 6, décapage 31	p. 729
<b>Figures 394 à 397</b> - Le Clos de Roque, Saint-Maximin-la-Sainte-Baume (83). ST2096, QNE, US 6, décapage 28	p. 730
<b>Figure 398</b> - Le Clos de Roque, Saint-Maximin-la-Sainte-Baume (83). ST2096, US 1, décapage 3	p. 731
<b>Figure 399</b> - Le Clos de Roque, Saint-Maximin-la-Sainte-Baume (83). ST2096, US 1, décapage 3	p. 732
<b>Figure 400</b> - Le Clos de Roque, Saint-Maximin-la-Sainte-Baume (83). ST2096, QNE, US 6, décapage 33	p. 733
<b>Figure 401</b> - Le Clos de Roque, Saint-Maximin-la-Sainte-Baume (83). ST2096, QNE, US 1, décapage 3	p. 734
<b>Figures 402 (ab)</b> - Le Clos de Roque, Saint-Maximin-la-Sainte-Baume (83). ST2201, ½ Sud	p. 735
<b>Figures 403 (cd)</b> - Le Clos de Roque, Saint-Maximin-la-Sainte-Baume (83). ST2230-10	p. 735
<b>Figure 404</b> - Le Clos de Roque, Saint-Maximin-la-Sainte-Baume (83). ST1057, US 3	p. 736
<b>Figure 405</b> - Le Clos de Roque, Saint-Maximin-la-Sainte-Baume (83). ST1057, US 3	p. 737
<b>Figure 406</b> - Le Clos de Roque, Saint-Maximin-la-Sainte-Baume (83). à gauche : ), STM11 ST 2096 US16 fond puits : Biseaux bifacial (BB, Néolithique final ; à droite : MN1,VBQ. (STM 11 ST 2225 PT 6470), Lissoir (M ( C ))	p. 738
<b>Figure 407</b> - Le Clos de Roque, Saint-Maximin-la-Sainte-Baume (83). Objets de parure	p. 739
<b>Figure 408</b> - Le Clos de Roque, Saint-Maximin-la-Sainte-Baume (83). Chaîne opératoire de fabrication des perles en coquille de <i>Cardiidés</i> et position des objets de Saint-Maximin dans la chaîne opératoire	p. 740
<b>Figure 409</b> - Le Clos de Roque, Saint-Maximin-la-Sainte-Baume (83). Espèces marines actuelles comparables à celles qui furent apportées sur le site. 1 : <i>Columbella rustica</i> ; 2 : <i>Cerastoderma edule</i>	p. 741
<b>Figure 410</b> - Le Clos de Roque, Saint-Maximin-la-Sainte-Baume (83). Objets en métal découverts dans les structures du Bronze ancien et de l'âge du Fer	p. 742
<b>Figure 411</b> - Le Clos de Roque, Saint-Maximin-la-Sainte-Baume (83). Exemples de pinces à épiler attribuables à l'âge du Fer découverts dans le Sud de la France	p. 743
<b>Figure 412</b> - Le Clos de Roque, Saint-Maximin-la-Sainte-Baume (83). a : Fragment de mandibule droite de chien de la fosse 18 ; b : Représentation squelettique du jeune suinés de la fosse 21 (d'après dessin de Helmer 1987)	p. 744
<b>Figure 413</b> - Le Clos de Roque, Saint-Maximin-la-Sainte-Baume (83). Représentation squelettique du bœuf et des caprinés domestiques de la fosse 1057 et localisation des traces observées (d'après dessin de Helmer 1987). a : Le boeuf ; b : Les caprinés domestiques	p. 745
<b>Figure 414</b> - Le Clos de Roque, Saint-Maximin-la-Sainte-Baume (83). Détermination et localisation des ossements schématisés des deux fœtus de la structure 2006	p. 746
<b>Figure 415</b> - Le Clos de Roque, Saint-Maximin-la-Sainte-Baume (83). Représentation squelettique des chiens de la fosse 2096 et localisation des traces observées	p. 747
<b>Figure 416</b> - Le Clos de Roque, Saint-Maximin-la-Sainte-Baume (83). Représentation squelettique des caprinés et des bovins de la structure 2319 (d'après dessin de Helmer 1987). a : Les caprinés domestiques ; b : Le boeuf	p. 748
<b>Figure 417</b> - Le Clos de Roque, Saint-Maximin-la-Sainte-Baume (83). a : Profil d'abattage des bœufs du Néolithique moyen I VBQ, N = 18 ; b : Profil d'abattage des caprinés domestiques de la 2 <sup>ème</sup> phase d'occupation du Néolithique final, N = 12	p. 749
<b>Figure 418</b> - Le Clos de Roque, Saint-Maximin-la-Sainte-Baume (83). a : Vue générale de la structure FS23-US1702 ; b : structure ST2205	p. 750
<b>Figure 419</b> - Le Clos de Roque, Saint-Maximin-la-Sainte-Baume (83). Individu FS23-US1702 : a. tartre sur les dents maxillaires ; b. tartre sur les dents mandibulaires ; c. hyperostose poreuse crânienne ; d. hyperostose poreuse crânienne ; e : <i>cribra orbitalia</i>	p. 751
<b>Figure 420</b> - Le Clos de Roque, Saint-Maximin-la-Sainte-Baume (83). Vues générales de la structure ST2209	p. 752
<b>Figure 421</b> - Le Clos de Roque, Saint-Maximin-la-Sainte-Baume (83). Individu ST2209 : a. inhumation ; b. tartre sur les dents maxillaires ; c. usure des dents antérieures mandibulaires	p. 753
<b>Figure 422</b> - Le Clos de Roque, Saint-Maximin-la-Sainte-Baume (83). Vue générale (a) et inhumation (b) de la structure ST2215	p. 754
<b>Figure 423</b> - Le Clos de Roque, Saint-Maximin-la-Sainte-Baume (83). Individu ST2215 : mise à plat des restes osseux	p. 755
<b>Figure 424</b> - Le Clos de Roque, Saint-Maximin-la-Sainte-Baume (83). Vue générale (a) et dépôt osseux humain (b) de la structure ST2224	p. 756
<b>Figure 425</b> - Le Clos de Roque, Saint-Maximin-la-Sainte-Baume (83). Bois imbibés retrouvés dans le puits ST 2096 (identifiants de prélèvement n° 50, 61 et 64)	p. 757

- Figure 426** - Le Clos de Roque, Saint-Maximin-la-Sainte-Baume (83). Diagramme anthracologique du Clos de Roque p. 758
- Figure 427** - Le Clos de Roque, Saint-Maximin-la-Sainte-Baume (83).  
Localisation spatiale de l'assemblage anthracologique. a. (haut) : Néolithique moyen ; b. (bas) : Néolithique récent p. 759
- Figure 428** - Le Clos de Roque, Saint-Maximin-la-Sainte-Baume (83).  
Localisation spatiale de l'assemblage anthracologique. a. (haut) : Néolithique final phase 2 ; b. (bas) : Néolithique final indéterminé p. 760
- Figure 429** - Le Clos de Roque, Saint-Maximin-la-Sainte-Baume (83).  
Localisation spatiale de l'assemblage anthracologique. a. (haut) : période moderne ; b. (bas) : Pré ou protohistoire p. 761
- Figure 430** - Le Clos de Roque, Saint-Maximin-la-Sainte-Baume (83).  
Localisation spatiale de l'assemblage anthracologique. a. (haut) : Bronze ancien phase 2 ; b. (bas) : Hallstatt ancien p. 762
- Figure 431** - Le Clos de Roque, Saint-Maximin-la-Sainte-Baume (83).  
Diagramme xylogique du Clos de Roque pour le Néolithique récent p. 763
- Figure 432** - Le Clos de Roque, Saint-Maximin-la-Sainte-Baume (83). Vestiges de planches en chêne découvertes dans la ST1071 p. 764
- Figure 433** - Le Clos de Roque, Saint-Maximin-la-Sainte-Baume (83). Restes carpologiques découverts dans le puits ST2096 p. 765



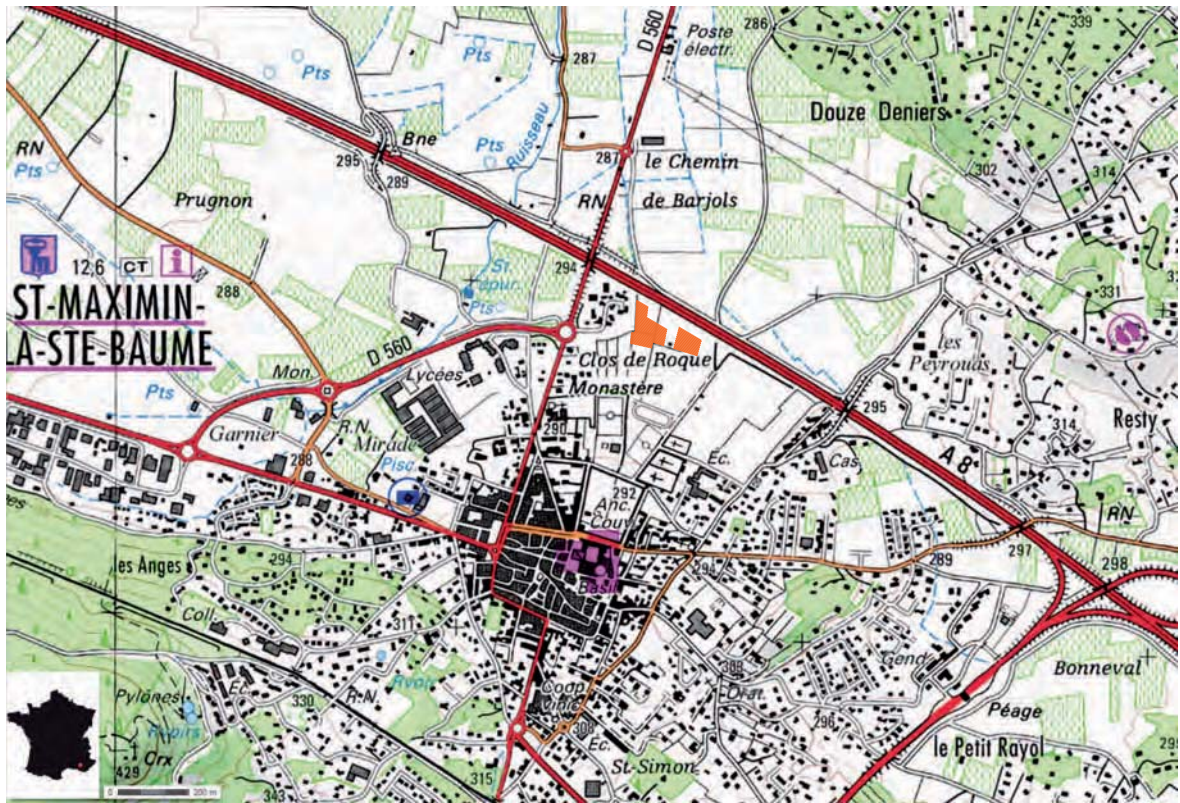
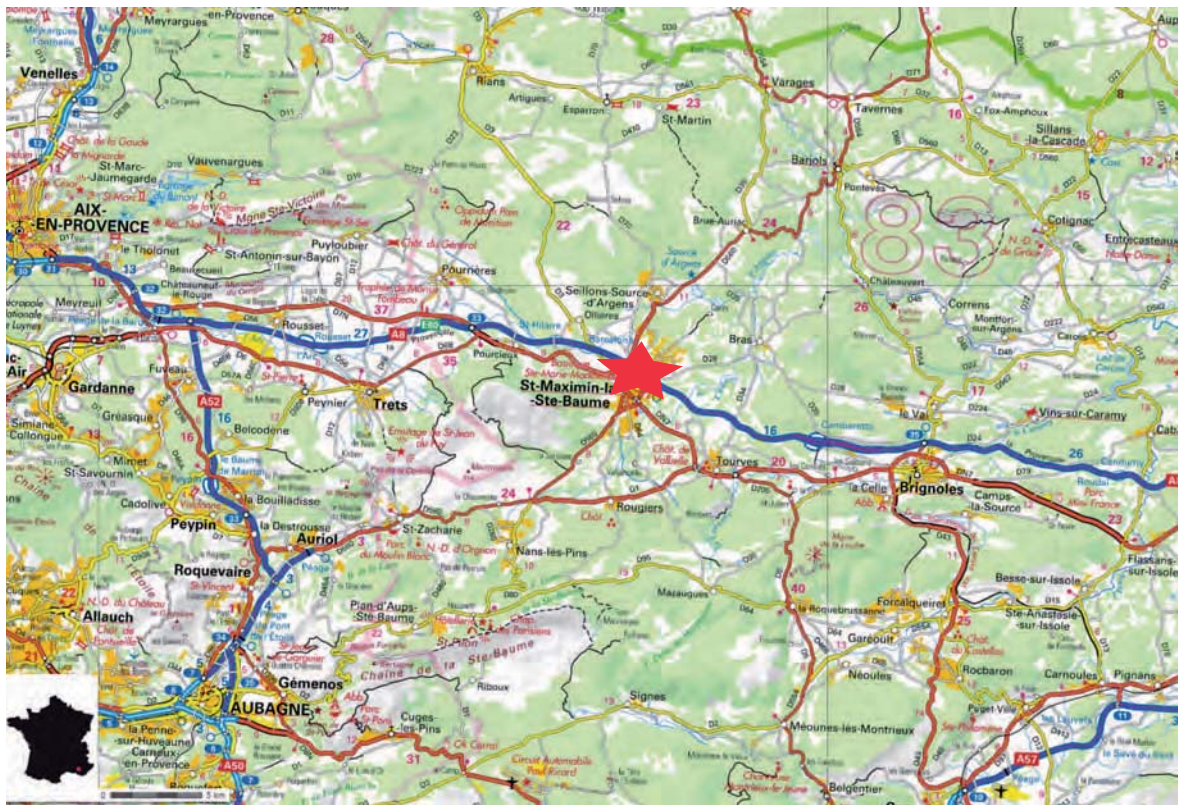


Figure 1 - Le Clos de Roque, Saint-Maximin-la-Sainte-Baume (83). Localisation du gisement sur fond cartographique à l'échelle 1/200000<sup>ème</sup> (haut) et à l'échelle 1/10000<sup>ème</sup> (bas) (www.géoportail.fr ; DAO : M. Remicourt).



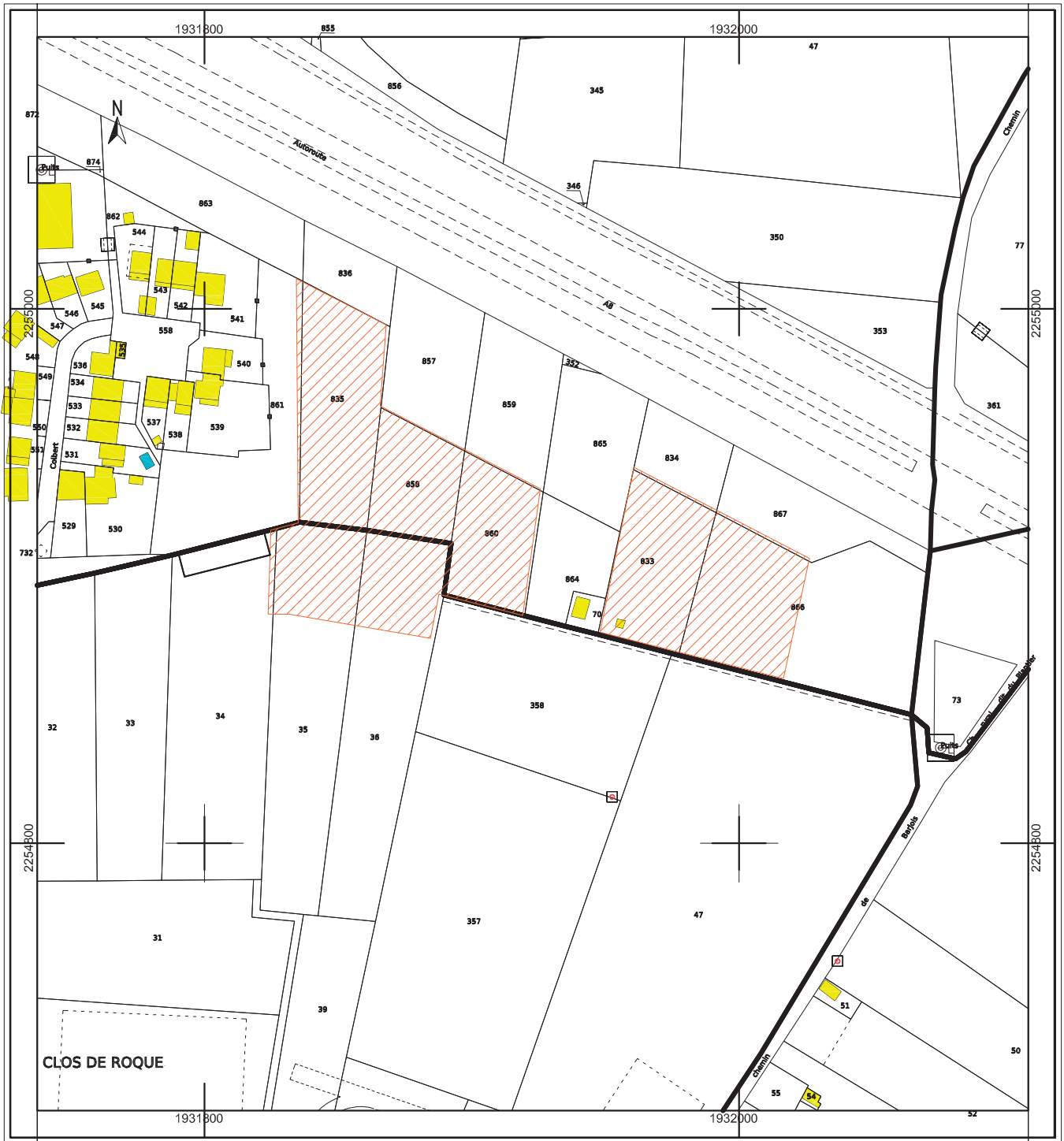


Figure 2 - Le Clos de Roque, Saint-Maximin-la-Sainte-Baume (83). Localisation du gisement sur fond cadastral à l'échelle 1/3000<sup>ème</sup> (www.cadastre.gouv.fr ; DAO : J.-B. Caverne).



Figure 3 - Le Clos de Roque, Saint-Maximin-la-Sainte-Baume (83). Localisation du gisement sur le cadastre napoléonien de Saint-Maximin-la-Sainte-Baume, 1811. Tableau d'assemblage (haut), Section B (bas) ([www.cadastre.gouv.fr](http://www.cadastre.gouv.fr) ; DAO : M. Remicourt).

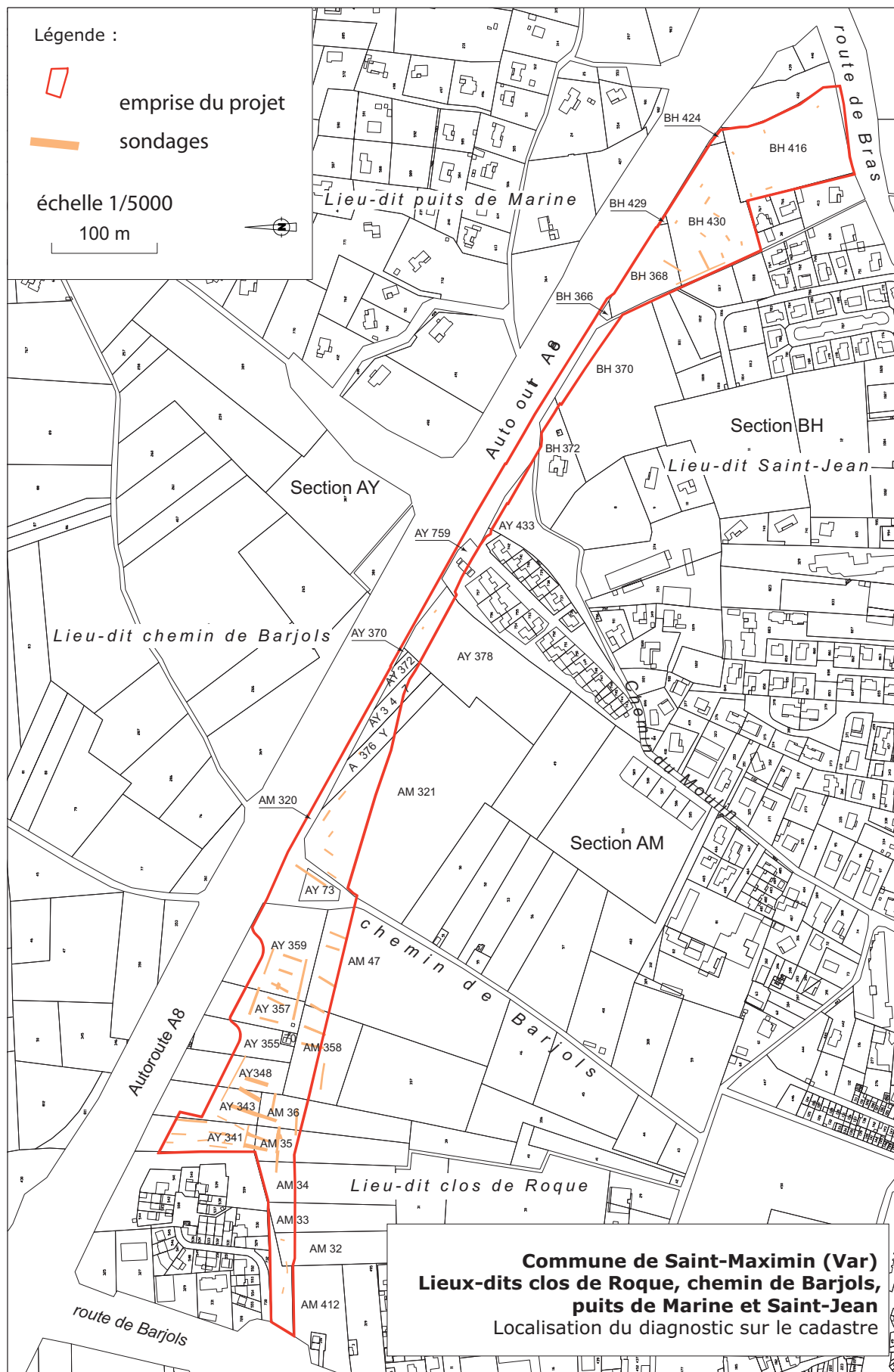


Figure 4 - Le Clos de Roque, Saint-Maximin-la-Sainte-Baume (83). Localisation des tranchées du diagnostic de 2010 sur le cadastre (d'après Laurier 2010) à l'échelle 1/5000<sup>ème</sup> (DAO : M. Remicourt).

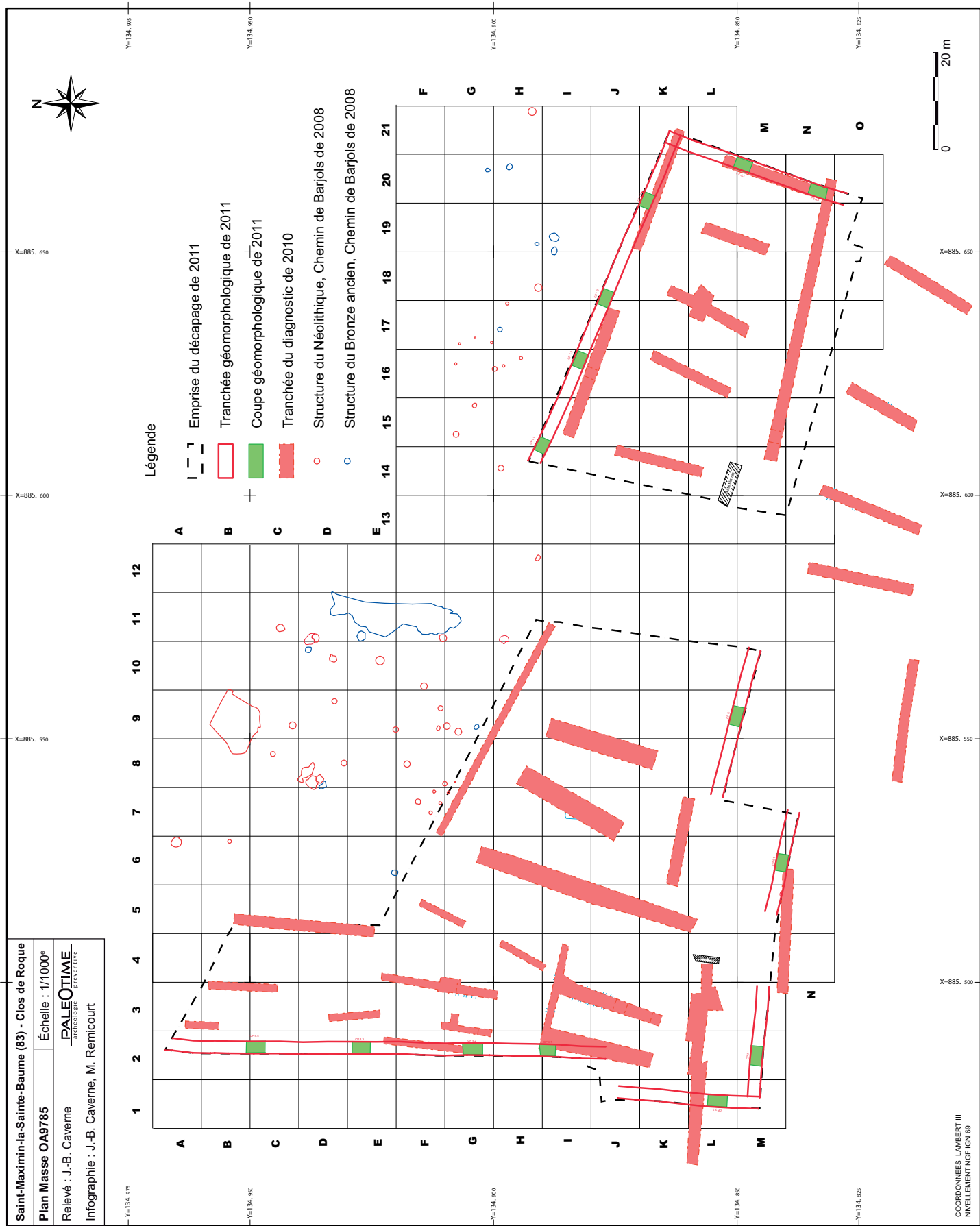


Figure 5 - Le Clos de Roque, Saint-Maximin-la-Sainte-Baume (83). Localisation des tranchées du diagnostic de 2010 (d'après Laurier 2010), des structures du Chemin de Barjols (d'après Cockin, Furestier 2009) et des coupes géomorphologiques sur l'emprise de fouille à l'échelle 1/1000<sup>ème</sup> (DAO : J.-B. Caveme, M. Remicourt).

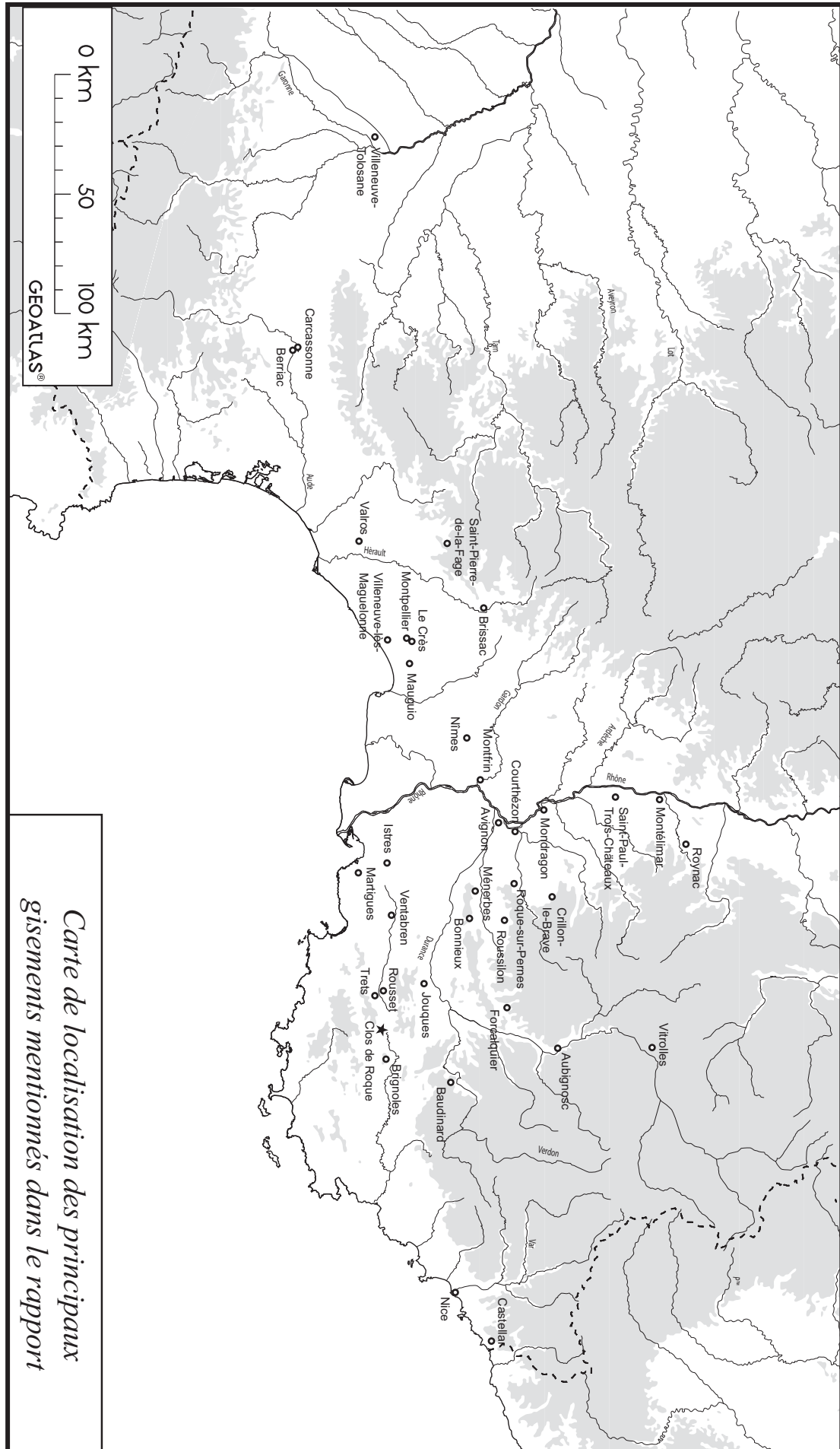


Figure 6 - Le Clos de Roque, Saint-Maximin-la-Sainte-Baume (83). Localisation des principaux gisements pré et protohistoriques mentionnés dans le Rapport final d'opération (DAO : M. Remicourt).

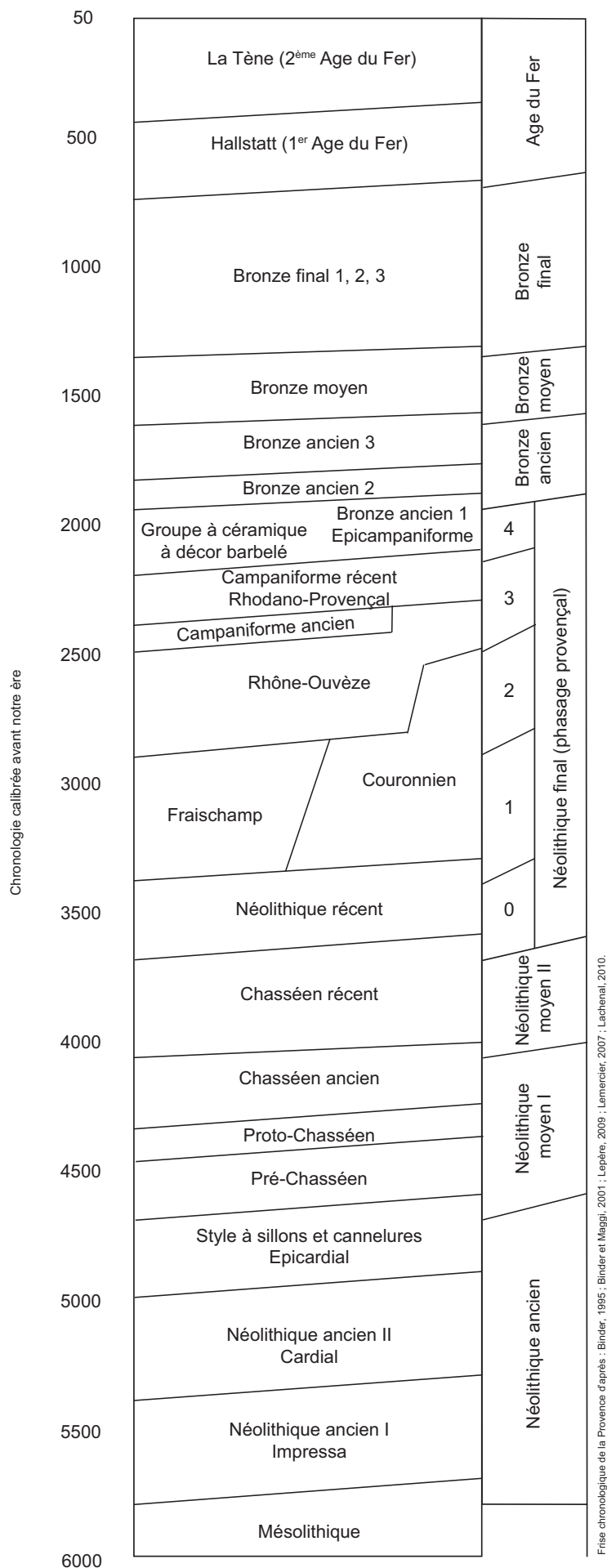


Figure 7 - Le Clos de Roque, Saint-Maximin-la-Sainte-Baume (83). Frise chronologique simplifiée pour la pré et protohistoire provençale (d'après Binder 1995 ; Binder et Maggi 2001 ; Lepère 2009 ; Lemercier 2007 ; Lachenal 2010 ; DAO : M. Remicourt).





a : Tranchées et coupes géomorphologiques initiales



b : Décapage mécanique de la Zone 1



c : Fin du décapage mécanique de la Zone 2



d : Fouilles manuelles de la structure ST2096



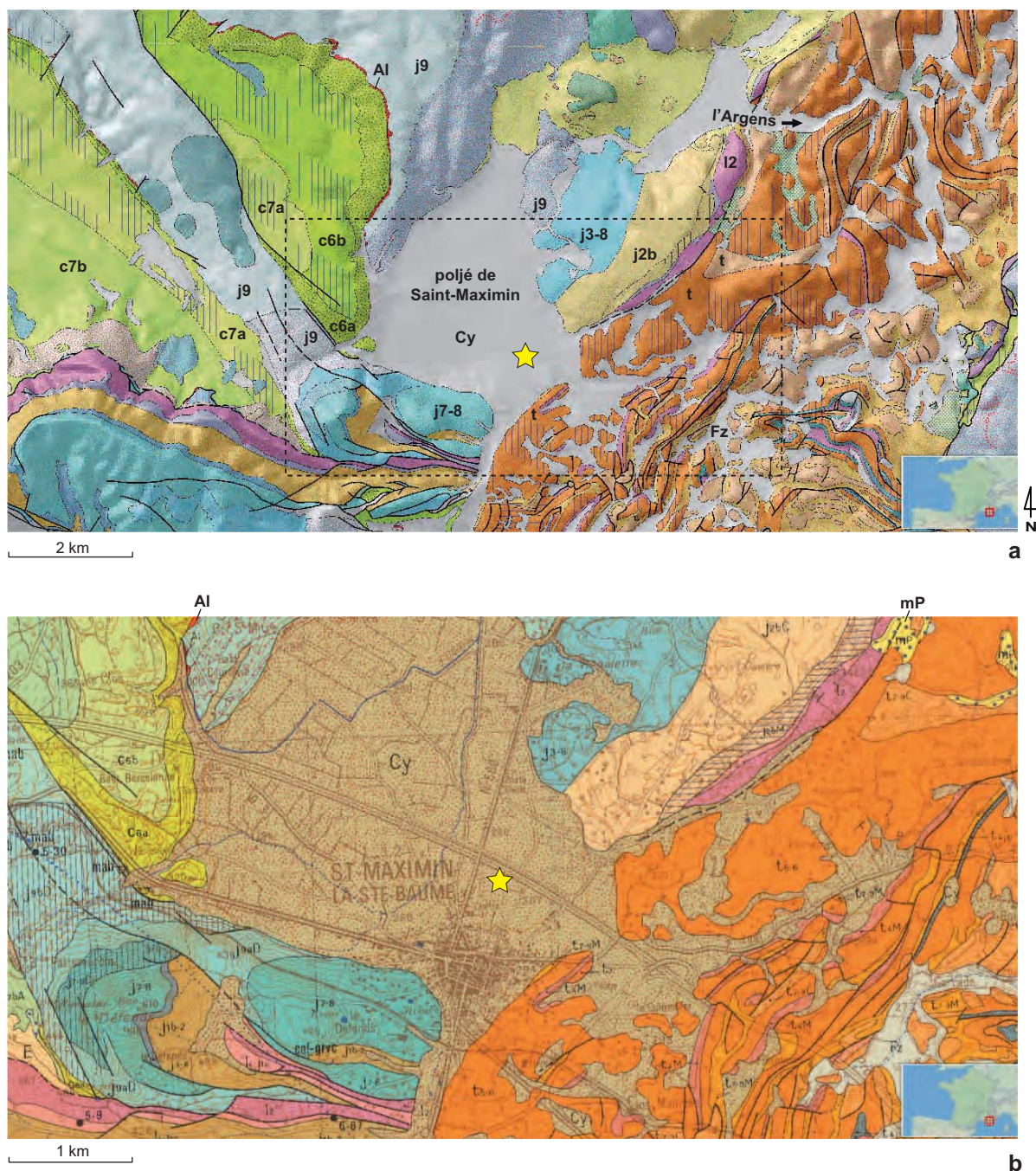
e : Relevé stratigraphique de la structure ST2328



f : Tamisage à l'eau des sédiments du comblement des structures

**Figure 9** - Le Clos de Roque, Saint-Maximin-la-Sainte-Baume (83). Sélection de photographies illustrant les différents temps et les méthodes employés lors de la fouille (Clichés : M. Rué, M. Remicourt).





Principaux ensembles chronostratigraphiques à proximité du site, du plus récent au plus ancien :

**Quaternaire.** Fz : alluvions fluviales récentes : sables, limons, graviers, galets. Cy : Pléistocène supérieur - alluvions fluviales : sables, graviers, galets.

**Tertiaire.** mP : Miocène moyen - conglomérats, cailloutis.

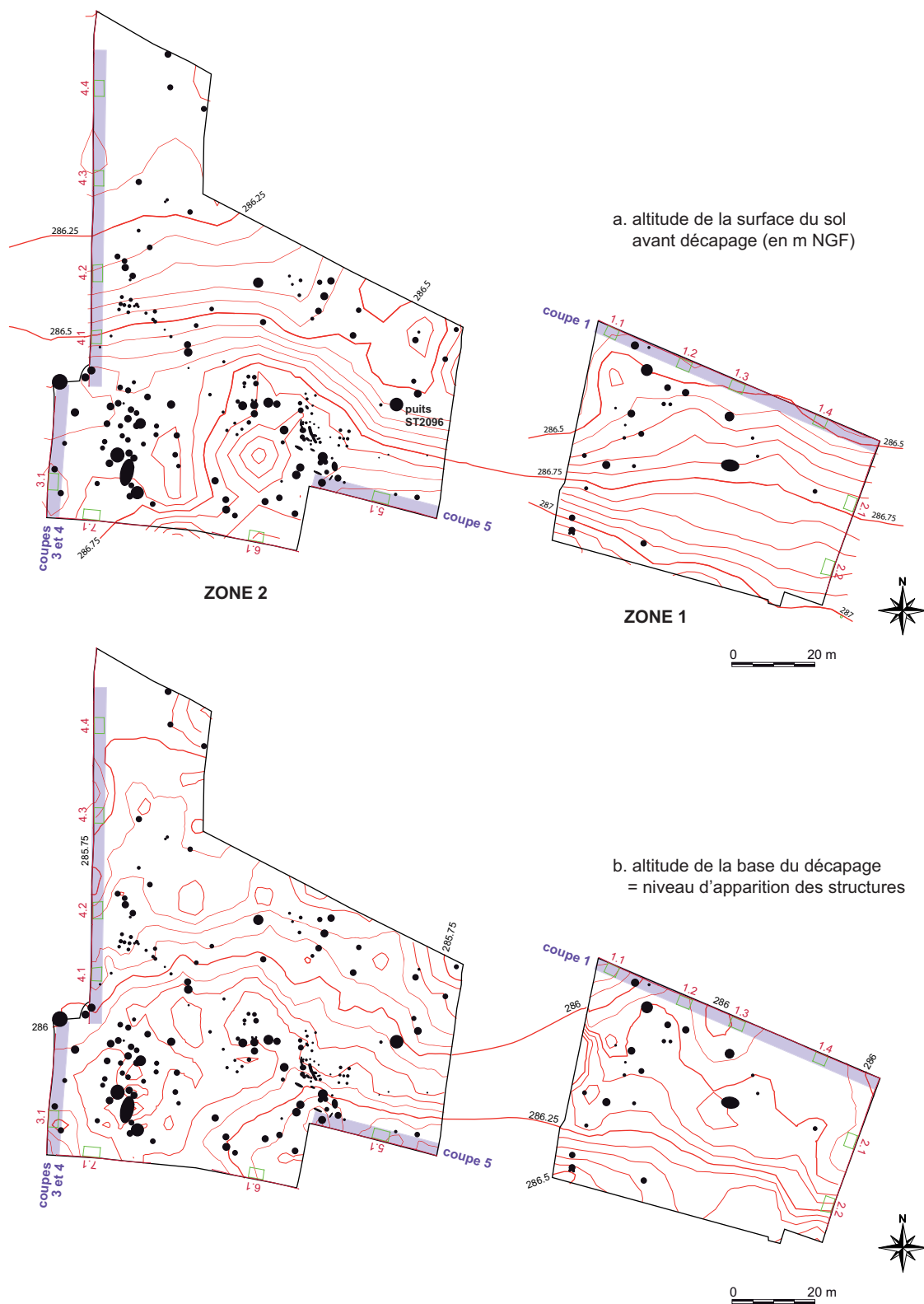
**Secondaire.** c7b : Maastrichtien (Rognacien) - calcaire, argiles, grès. c7a : Maastrichtien (Bégudien) - calcaire, argile, grès, poudingue, brèches. c6a, c6b : Campanien (Valdo-Fuvélien) - calcaire, argiles, lignite. Al : Albien - bauxites. j3 à j9 : Jurassique supérieur - calcaires, dolomies. j1-j2 : Jurassique moyen - calcaires, marno-calcaires. l2-l4 : Lias - calcaires à chailles, dolomies. t : Trias - calcaires, dolomies, marnes, gypse, intercalations volcano-sédimentaires.

**Figure 10** - Le Clos de Roque, Saint-Maximin-la-Sainte-Baume (83). Contexte géologique :

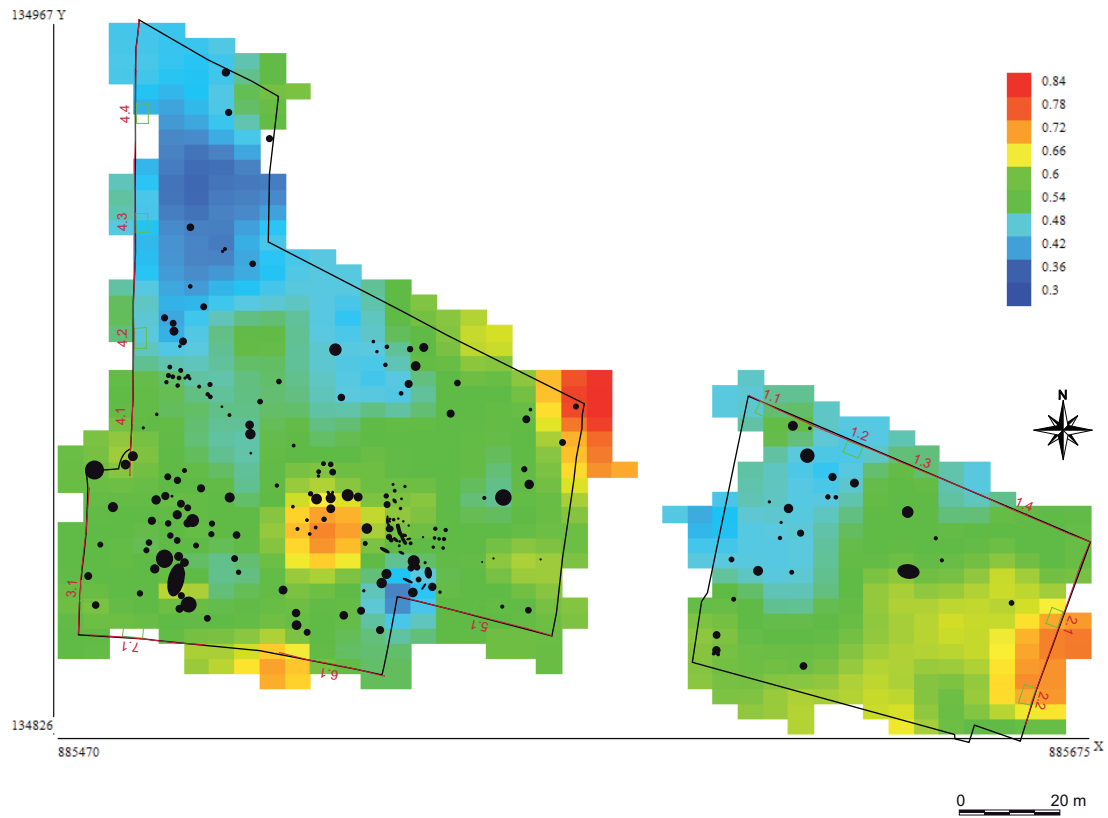
a. Carte harmonisée avec MNT (BRGM, InfoTerre) ; b. Extrait de la carte au 1/50000 de Brignoles, 1981 (BRGM, InfoTerre ; DAO : M. Rué).



**Figure 11** - Le Clos de Roque, Saint-Maximin-la-Sainte-Baume (83). Vue aérienne IGN de juin 1928. Référence du cliché : IGNF\_PVA\_1-0\_1928-06-21\_\_C3344-0101\_1928\_NP3\_20411. Echelle 1/2000 (DAO : M. Rué).



**Figure 12** - Le Clos de Roque, Saint-Maximin-la-Sainte-Baume (83). Topographie de la surface du sol avant (a) et après (b) décapage. Logiciel Quikgrid (John Coulthard, version 5.4). Localisation des sondages et coupes stratigraphiques restituées (les bandes en violet correspondent à la zone de projection horizontale des structures archéologiques). Seules les structures néolithiques et protohistoriques sont représentées. Echelle 1/1500 (DAO : J.-B. Caverne, M. Rué).



**Figure 13** - Le Clos de Roque, Saint-Maximin-la-Sainte-Baume (83). Profondeurs du niveau d'apparition des structures par rapport à la surface du sol. Profondeurs en m. Echelle 1/1500. Logiciel Quikgrid (John Coulthard, version 5.4). Seules les structures néolithiques et protohistoriques sont représentées (DAO : J.-B. Caverne, M. Rué).

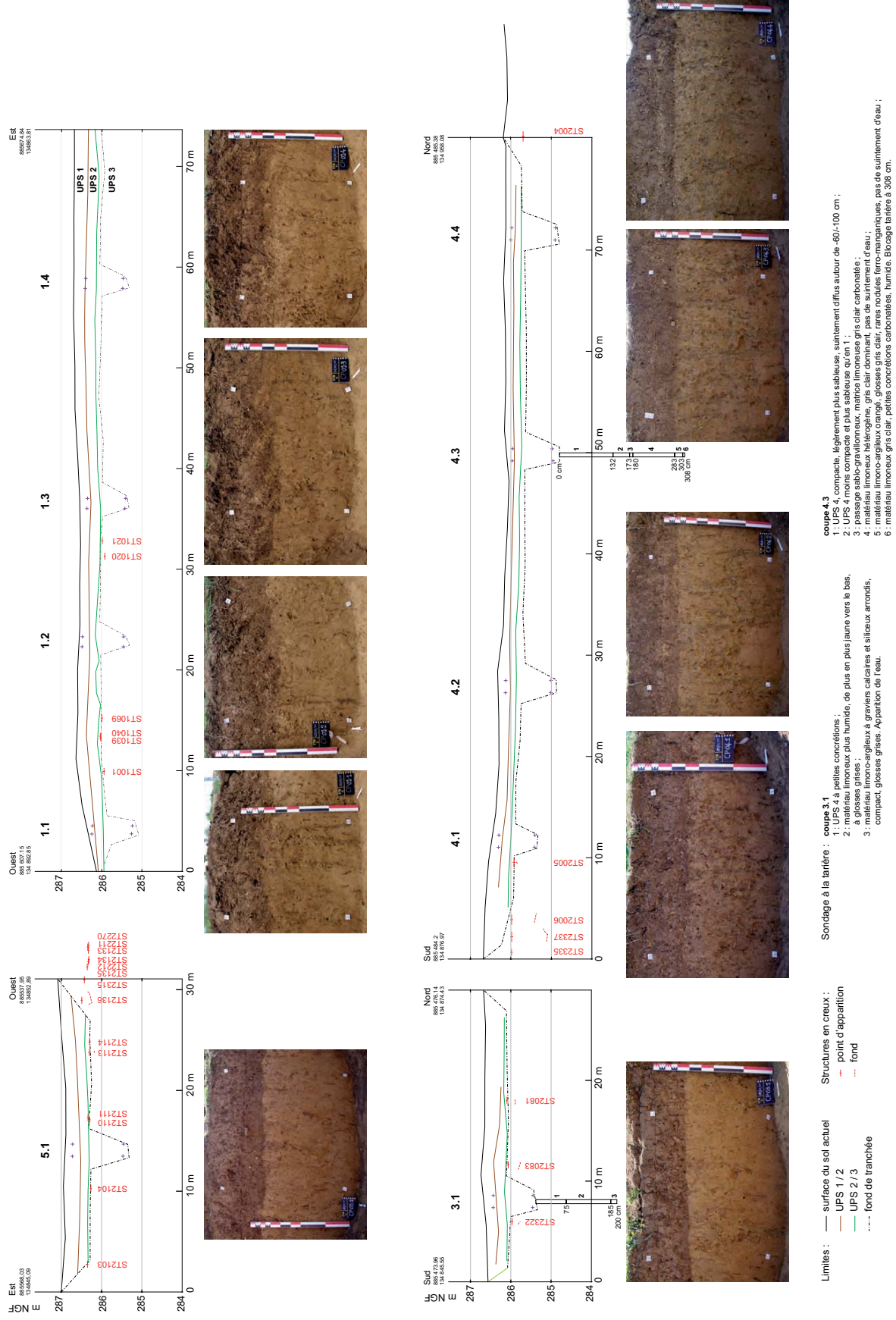


Figure 14 - Clos de Roque, Saint-Maximin-la-Sainte-Baume (83). Coupes stratigraphiques 1, 3, 4 et 5. Echelle horizontale : 1/400 ; échelle verticale : 1/100 (relevés et DAO) ; J.-B. Caverne, M. Rue).

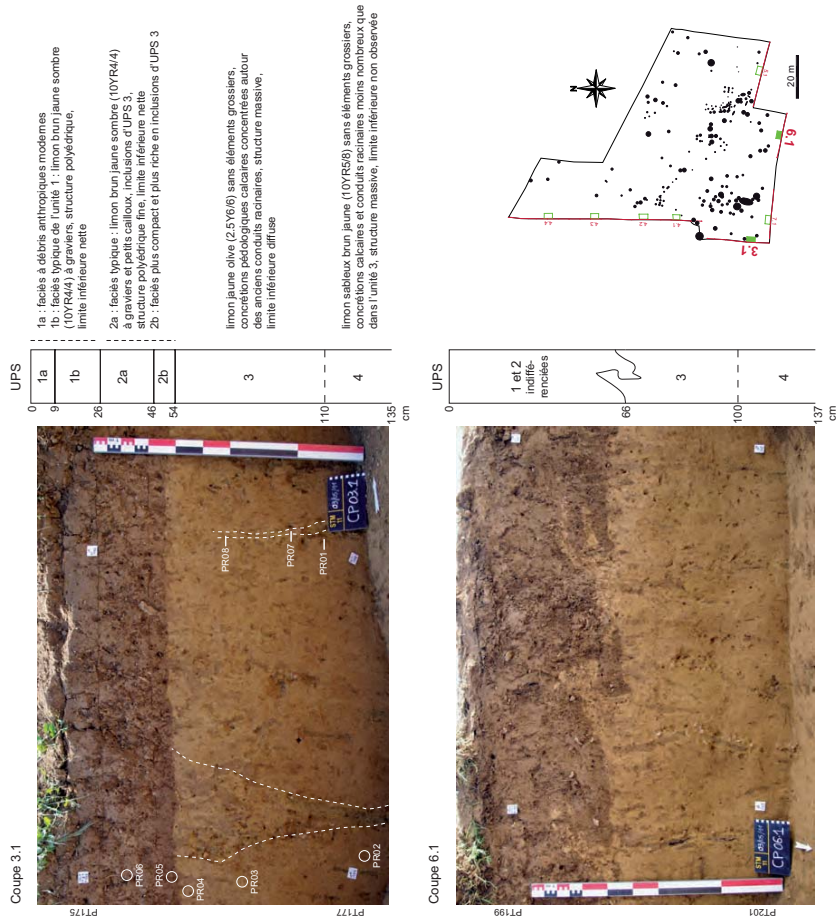
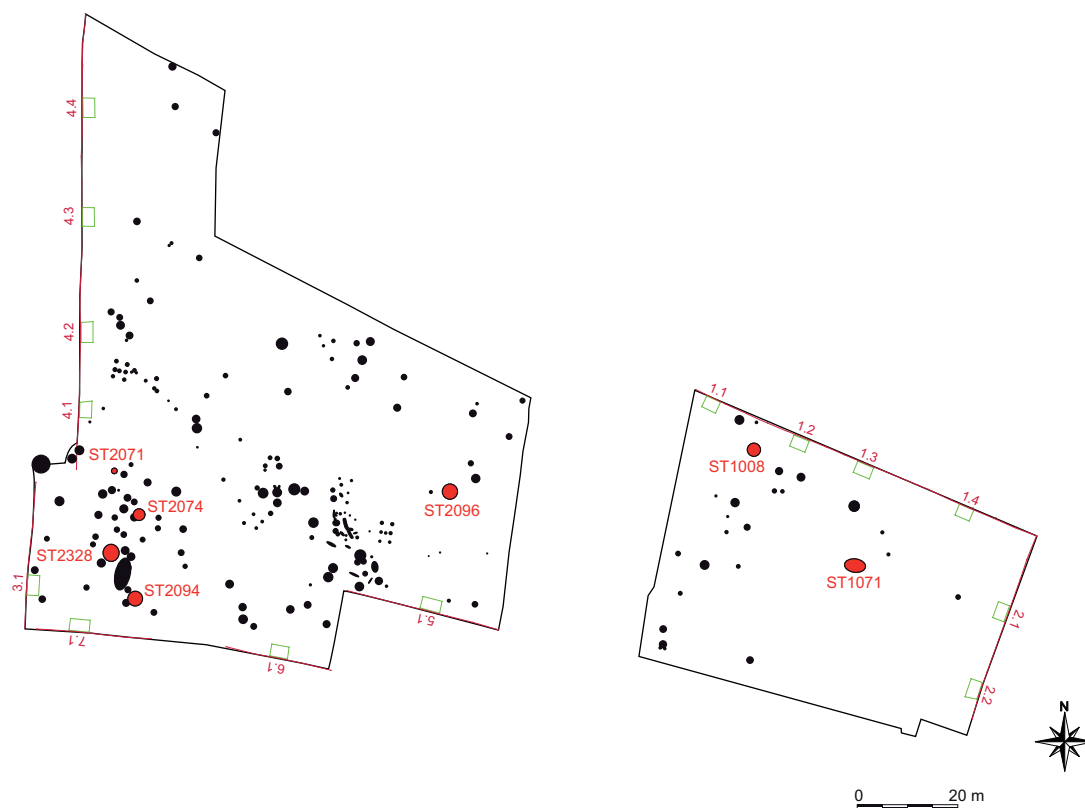


Figure 15 - Clos de Roque, Saint-Maximin-la-Sainte-Baume (83). Séquence pédosédimentaire illustrée par les coupes 3.1 et 6.1. Echelle des logs : 1/20. Le niveau d'apparition des structures archéologiques se situe juste sous la limite inférieure de l'unité 2 (DAO : M. Rue).



Structure	Type	Datation	Forme en plan	Diamètre à l'ouverture (m)	Profondeur observée (m)	Lame mince (référence du prélèvement)	Rapport hauteur lame(s) / prof. observée
ST2074	Fosse	Hallstatt ancien	Circulaire	2,30	0,75	141 - 142	33%
ST1071	Fosse	Bronze ancien phase 2	Polylobée	3,60	0,45	210	20%
ST1008	Fosse	Néolithique final phase 2	Ovalaire	2,60	1,40	66 - 67	16%
ST2071	Fosse	Néolithique final phase 2	Circulaire	1,10	0,90	120	9%
ST2094	Fosse	Néolithique final phase 1	Ovalaire	2,90	1,72	82	8%
ST2328	Fosse	Néolithique final phase 1	Ovalaire	3,00	2,05	91	5%
ST2096	Puits	Néolithique récent/final	Ovalaire	3,00	5,90	106 - 107	4%

Figure 16 - Le Clos de Roque, Saint-Maximin-la-Sainte-Baume (83). Structures échantillonnées pour examen des microfaciès (DAO : M. Rué).







Figure 18 - Le Clos de Roque, Saint-Maximin-la-Sainte-Baume (83). Aperçu photographique des prélèvements micromorphologiques (DAO : M. Rué).

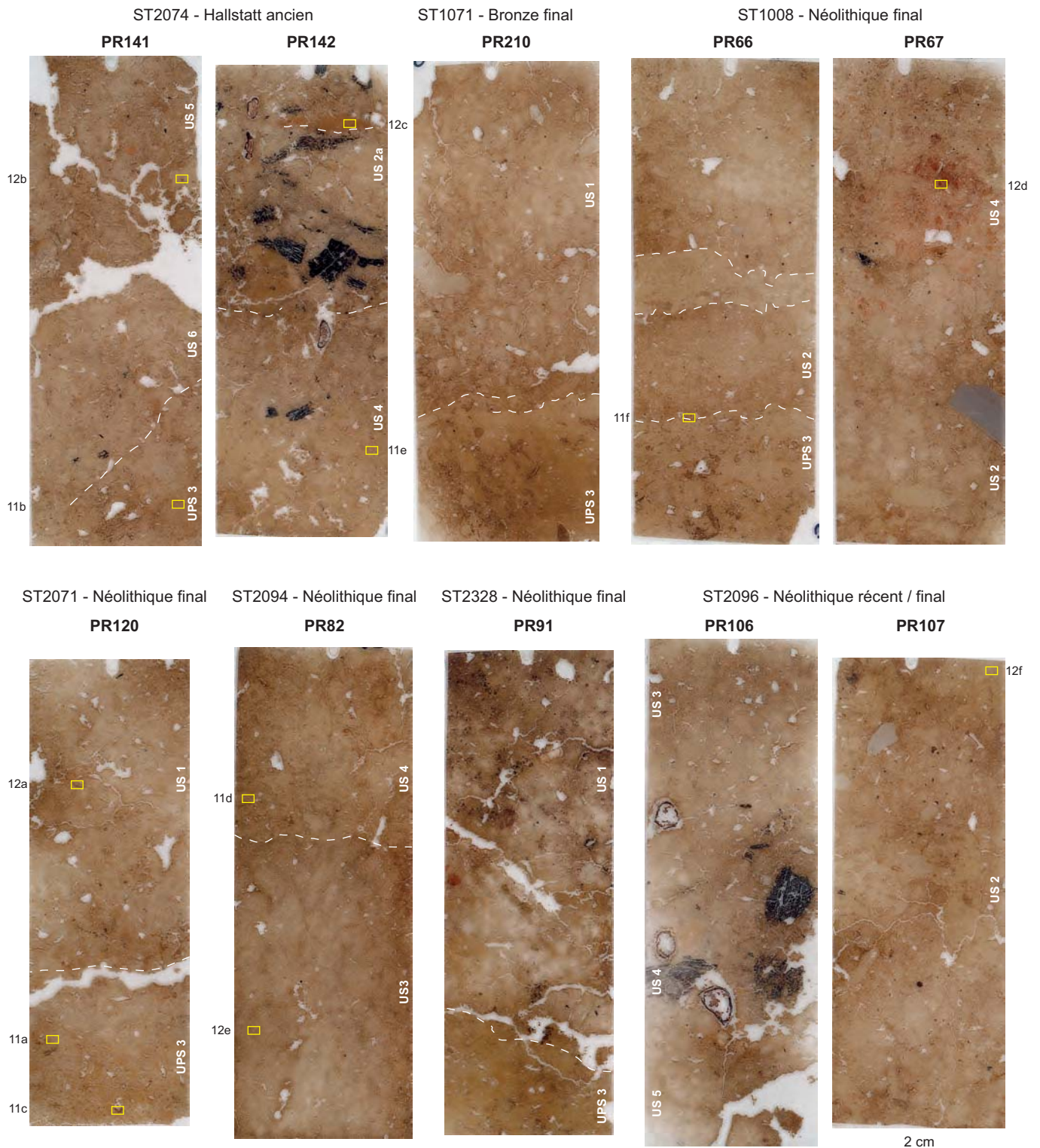
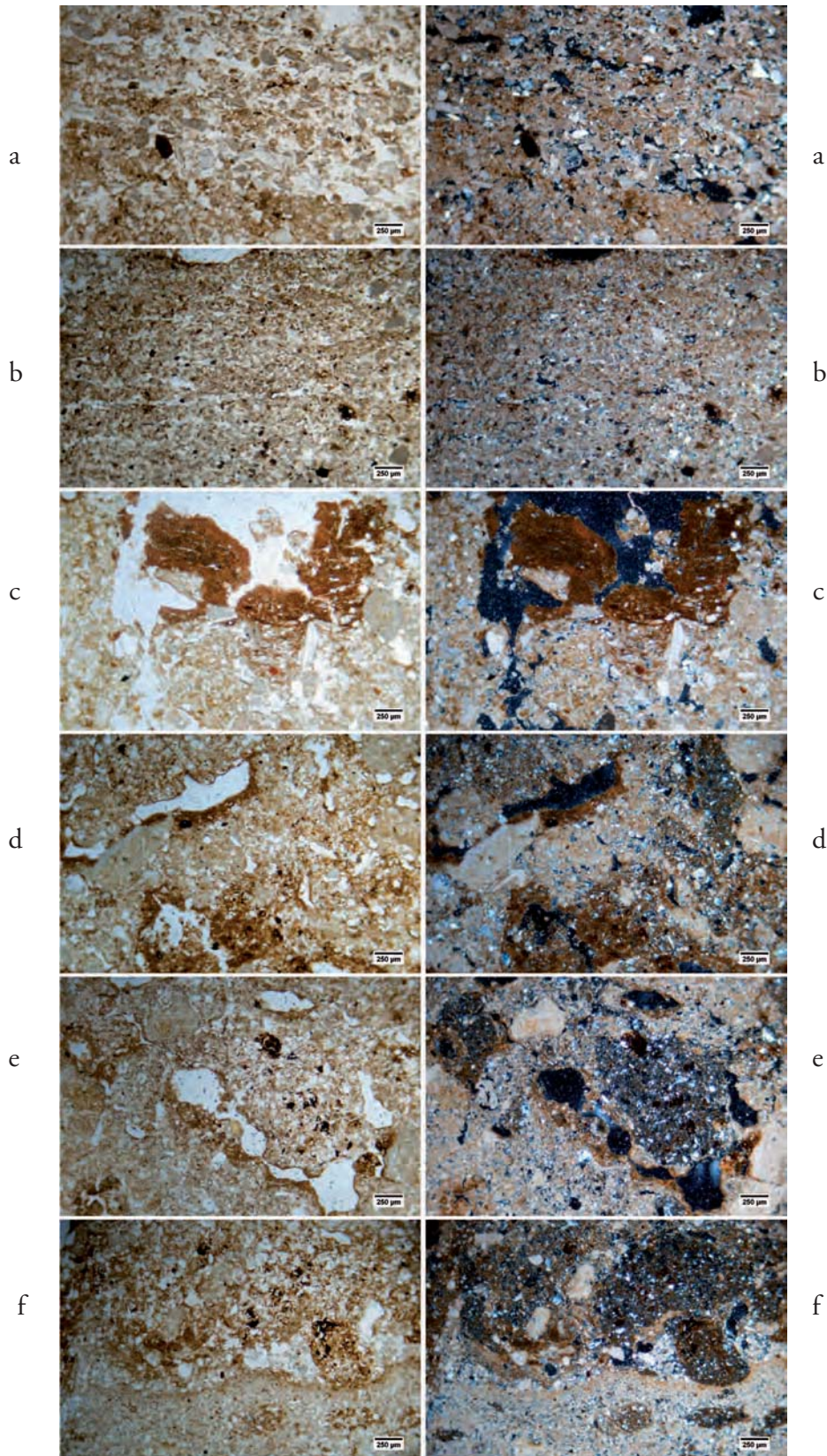


Figure 19 - Le Clos de Roque, Saint-Maximin-la-Sainte-Baume (83). Lames minces et localisation des clichés. Echelle 2/3 (DAO : M. Rué).



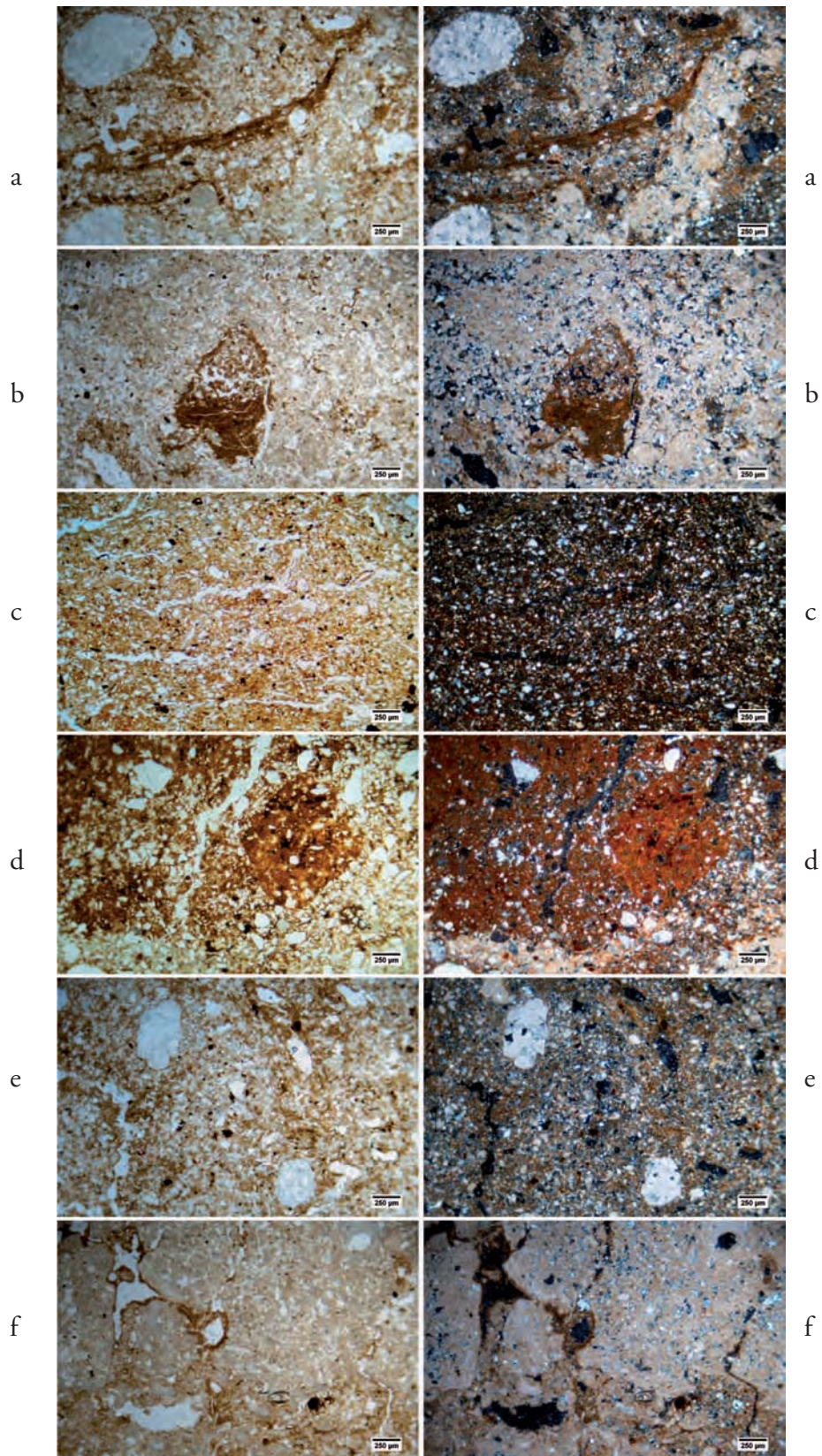
Encaissant des fosses :

- a. fosse néolithique ST2071, lame PR120 : faciès sablo-limoneux lité.
- b. fosse hallstatt ST2074, lame PR141 : structure lamellaire.
- c. fosse néolithique ST2071, lame PR120 : revêtement illuvial argilo-limoneux brun.

Complements :

- d. fosse néolithique ST2094, lame PR82 et e. fosse hallstatt, lame PR142 : assemblage d'agrégats de type 1, carbonatés, en provenance du substrat, et de type 2, décarbonatés, issus du sol d'occupation.
- f. fosse néolithique ST1008, lame PR66 : assemblage d'agrégats et de particules carbonatées détritiques sur le fond de la structure.

**Figure 20** - Le Clos de Roque, Saint-Maximin-la-Sainte-Baume (83). Aperçu des microfaciès. Lumière polarisée non analysée (gauche) et lumière polarisée analysée (droite) (DAO : M. Rué).



Complements :

- a. fosse néolithique ST2071, lame PR120 : intercalations limoneuses brunes (au centre) et biosphères calcitiques de lombricidés (à gauche).
- b. fosse hallstatt ST2074, lame PR141 : revêtement illuvial au sein d'un agrégat de type 1.
- c. fosse hallstatt ST2074, lame PR142 : agrégat de terre brûlée à fissuration horizontale (piétinement).
- d. fosse néolithique ST1008, lame PR67 : agrégats de terre brûlée en position secondaire.
- e. fosse néolithique 2094, lame PR82 : assemblage dense d'agrégats de type 2 et biosphères calcitiques de lombricidés.
- f. puits néolithique 2096, épandage carbonaté, lame PR107 : agrégats de type 1 non altérés.

**Figure 21** - Le Clos de Roque, Saint-Maximin-la-Sainte-Baume (83). Aperçu des microfaciès. Lumière polarisée non analysée (gauche) et lumière polarisée analysée (droite) (DAO : M. Rué).

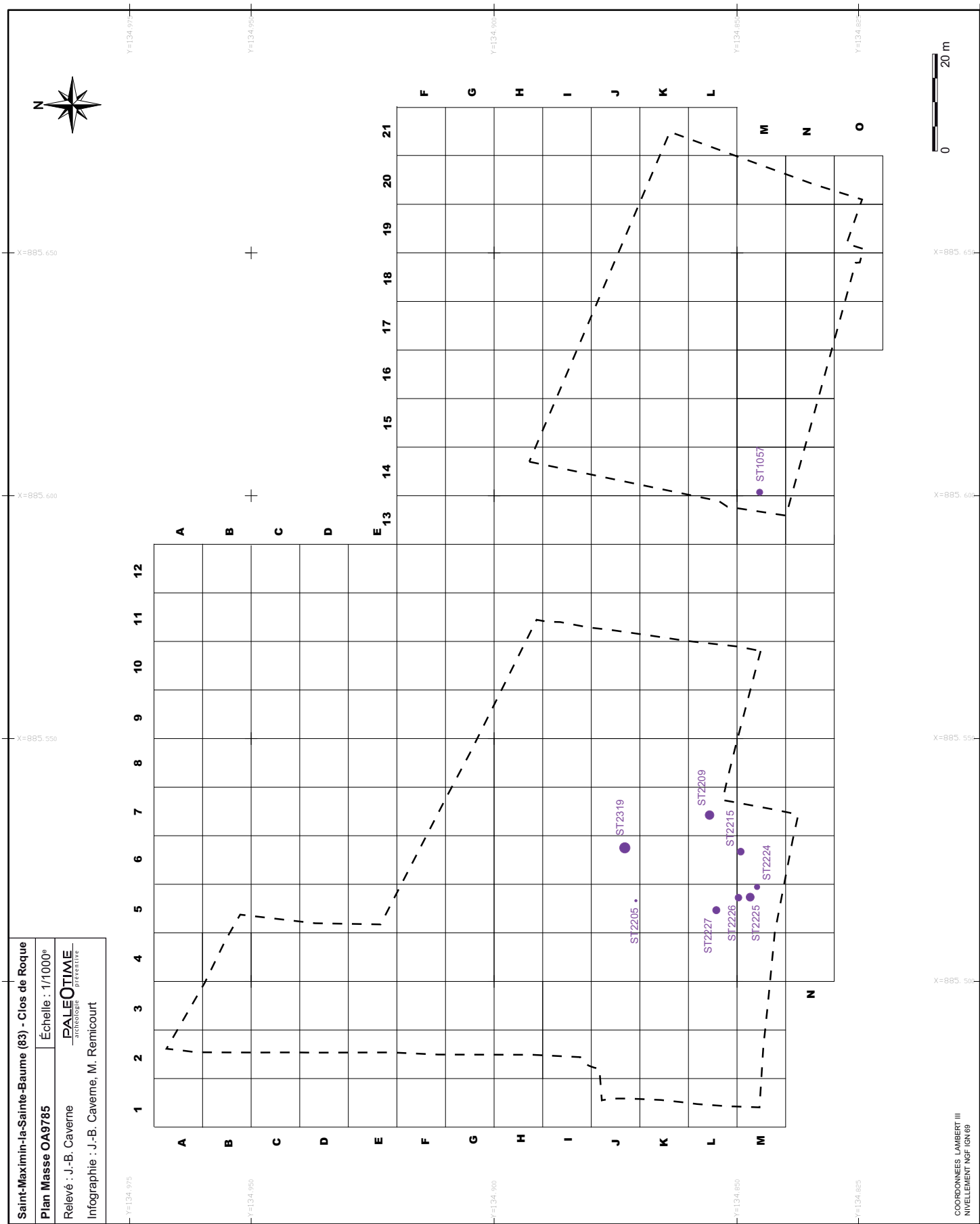


Figure 22 - Le Clos de Roque, Saint-Maximin-la-Sainte-Baume (83). Plan général et numéro indicatif des structures attribuables au Néolithique moyen I (DAO : J.-B. Caverne, M. Remicourt).

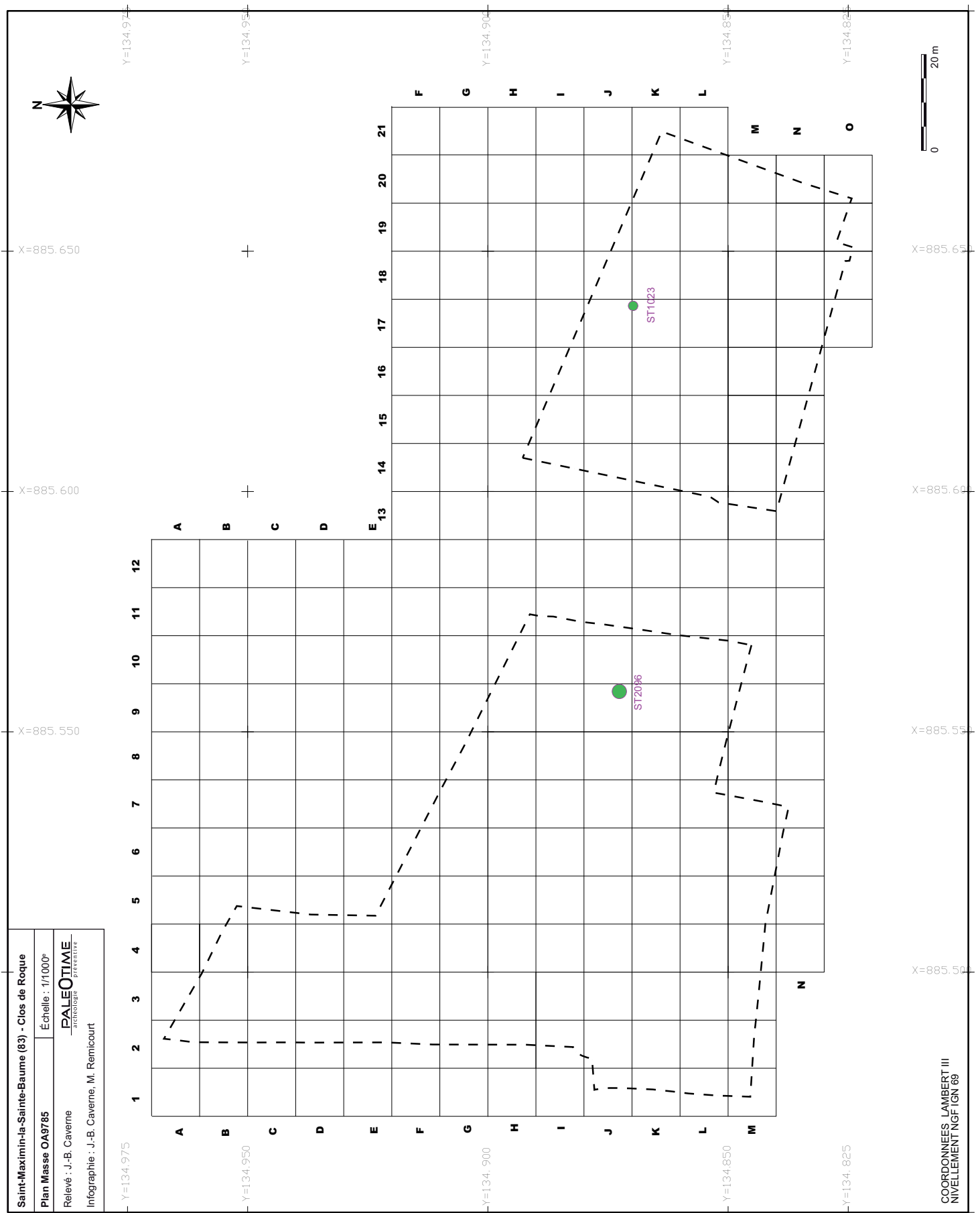


Figure 23 - Le Clos de Roque, Saint-Maximin-la-Sainte-Baume (83). Plan général et numéro indicatif des structures attribuables au Néolithique récent (DAO : J.-B. Caverne, M. Remicourt).

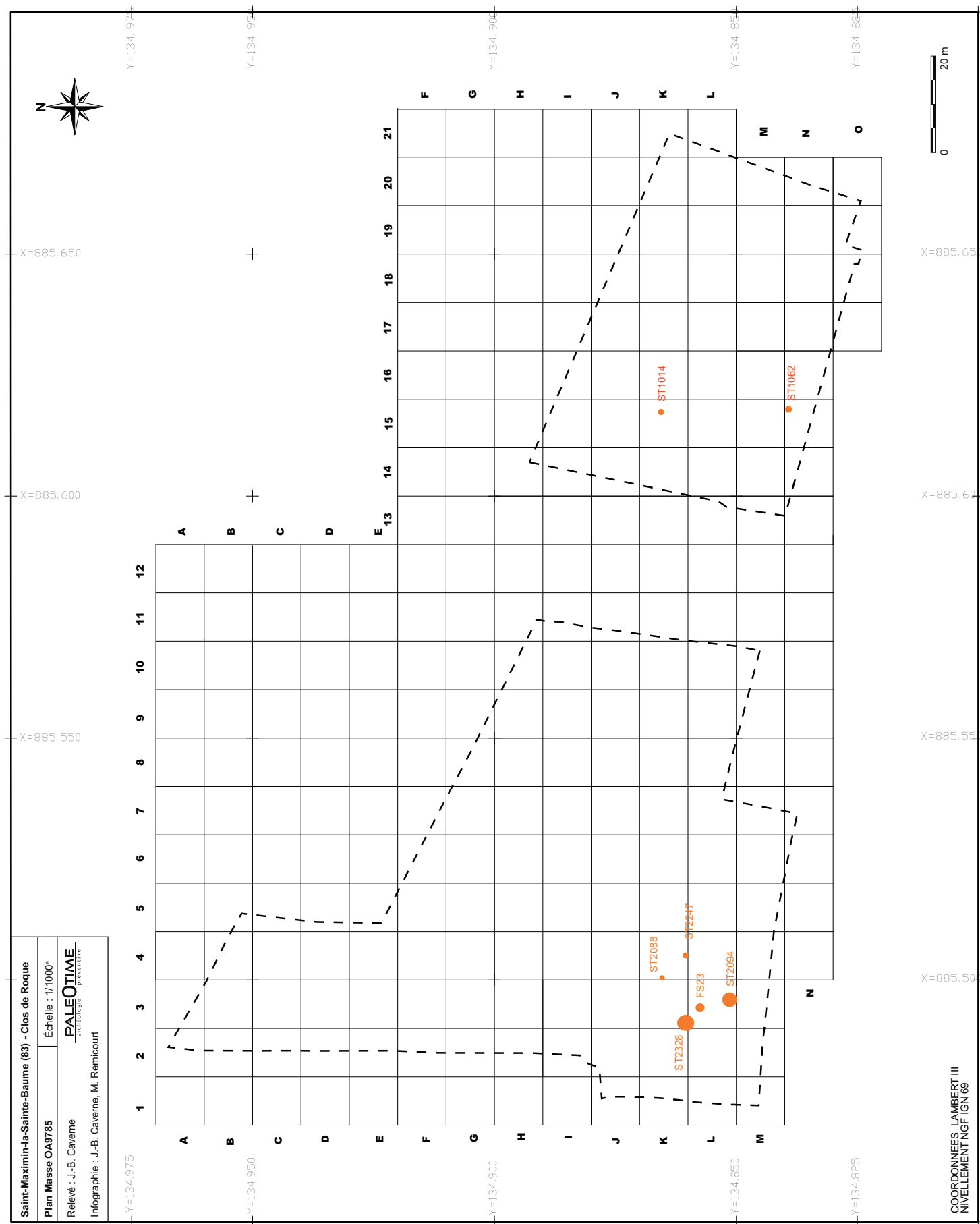


Figure 24 - Le Clos de Roque, Saint-Maximin-la-Sainte-Baume (83). Plan général et numéro indicatif des structures attribuables au Néolithique final phase 1 (DAO : J.-B. Caverne, M. Remicourt).

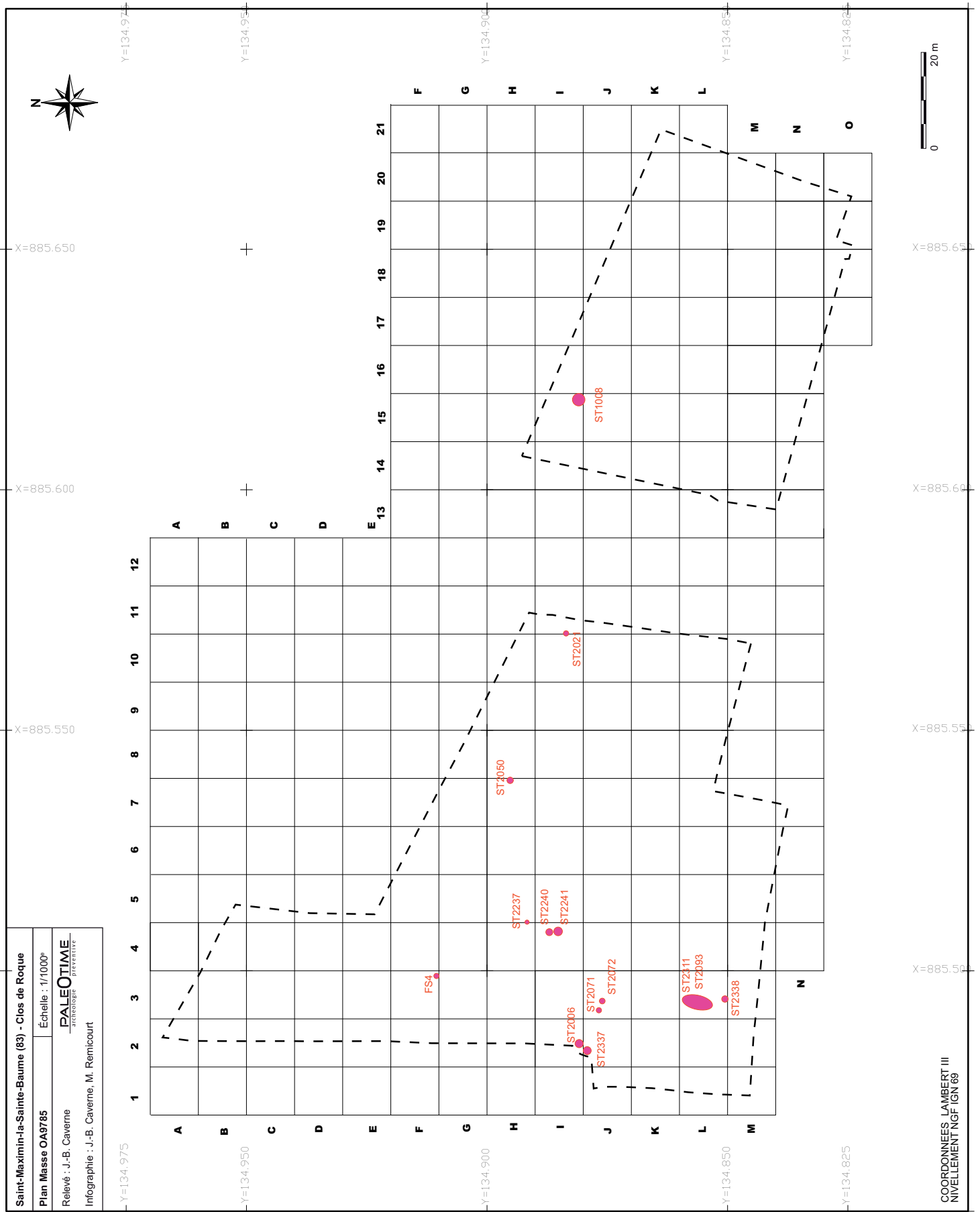


Figure 25 - Le Clos de Roque, Saint-Maximin-la-Sainte-Baume (83). Plan général et numéro indicatif des structures attribuables au Néolithique final phase 2 (DAO : J.-B. Caverne, M. Remicourt).



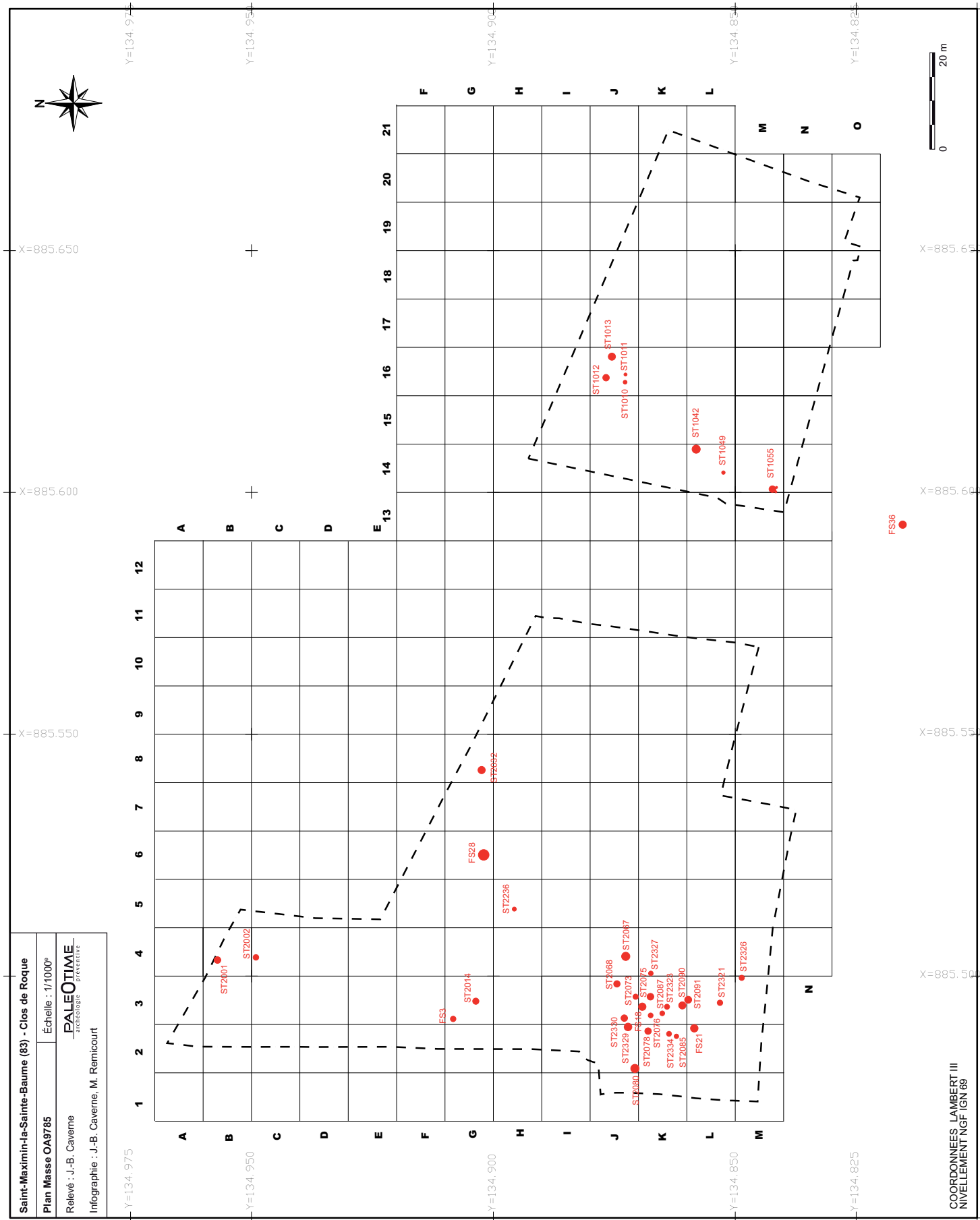


Figure 26 - Le Clos de Roque, Saint-Maximin-la-Sainte-Baume (83). Plan général et numéro indicatif des structures attribuables au Néolithique final indéterminé (DAO : J.-B. Caverne, M. Remicourt).

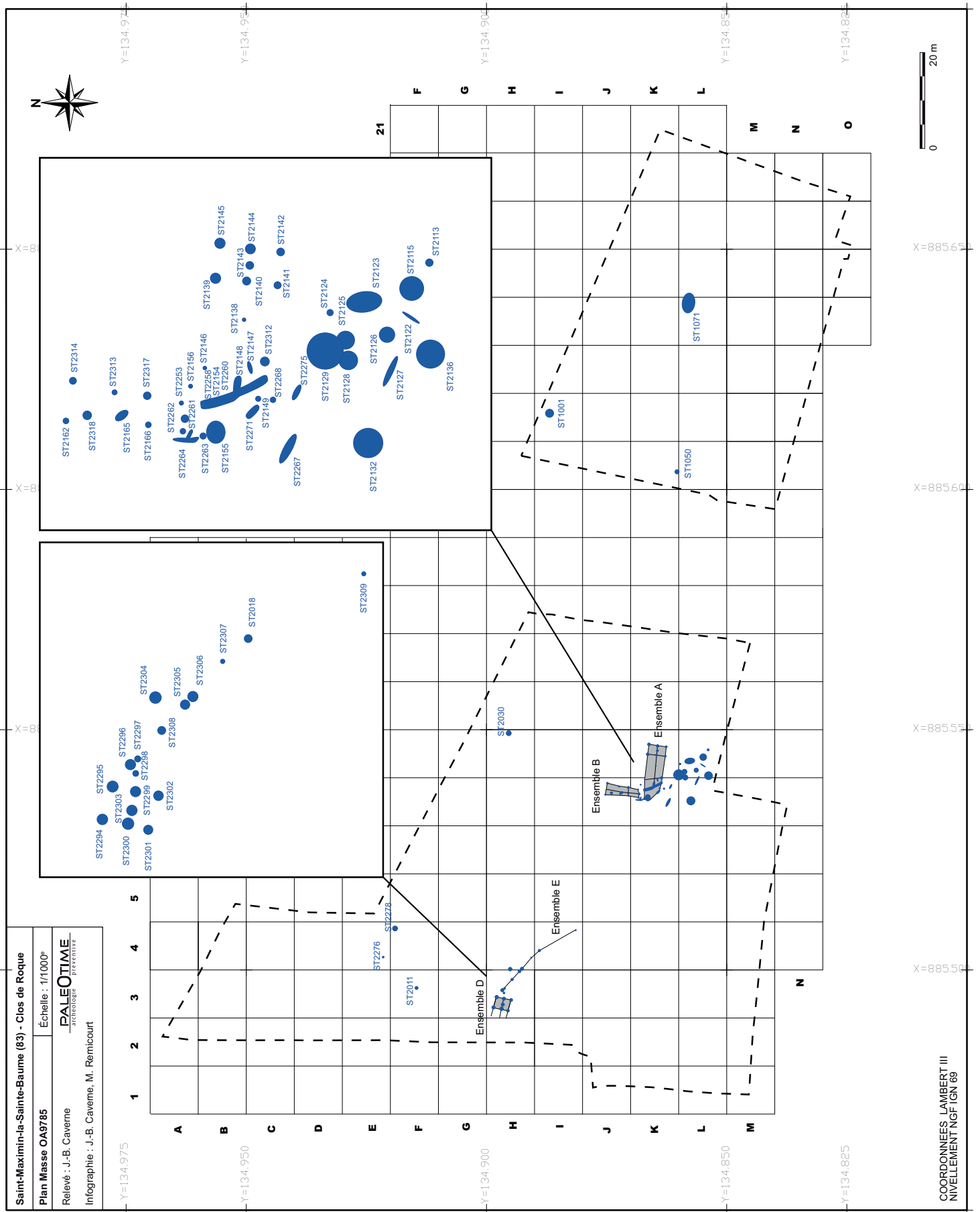


Figure 27 - Le Clos de Roque, Saint-Maximin-la-Sainte-Baume (83). Plan général et numéro indicatif des structures attribuables au Bronze ancien (DAO : J.-B. Caverne, M. Remicourt).

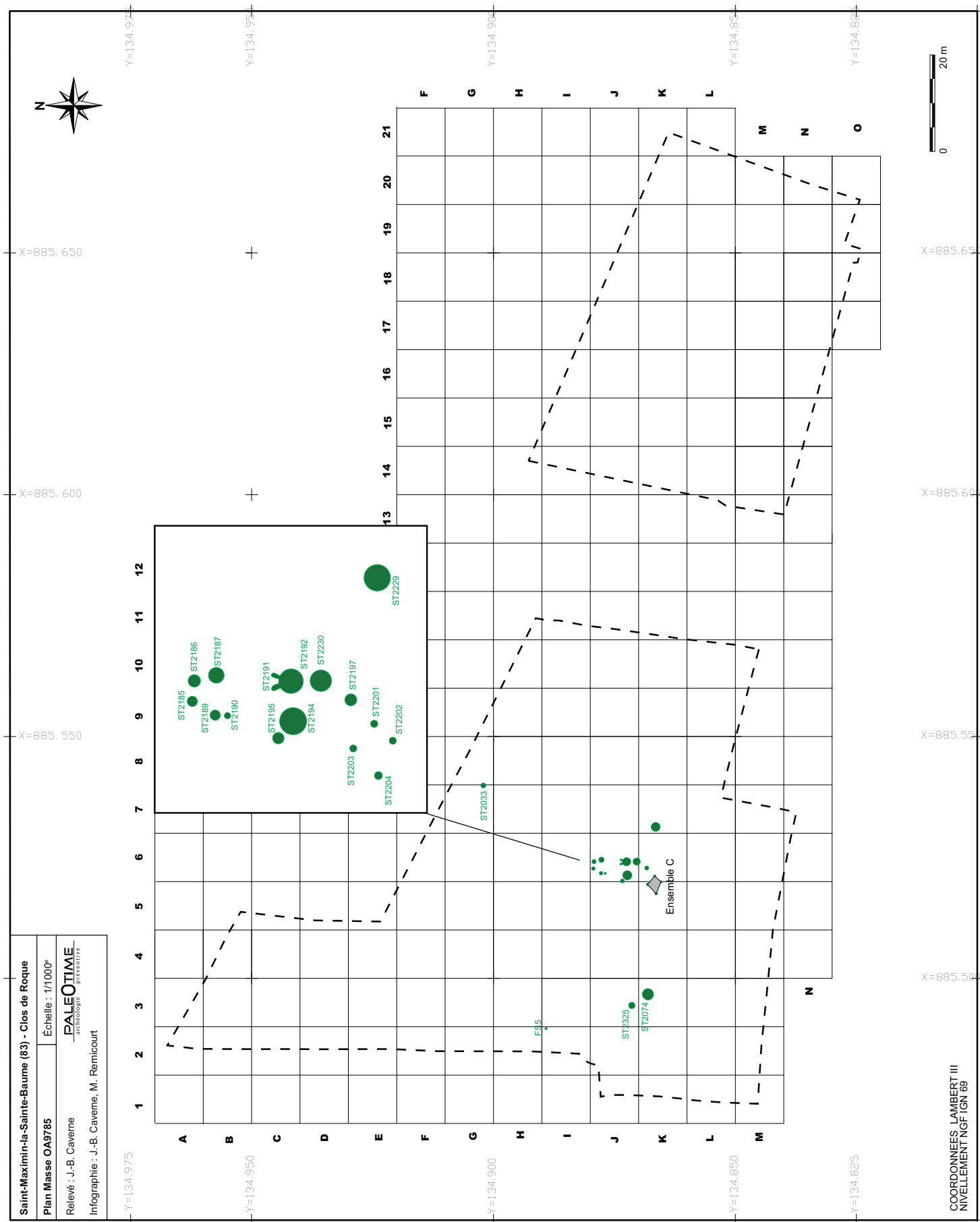


Figure 28 - Le Clos de Roque, Saint-Maximin-la-Sainte-Baume (83). Plan général et numéro indicatif des structures attribuables au Hallstatt ancien (DAO : J.-B. Caverne, M. Remicourt).

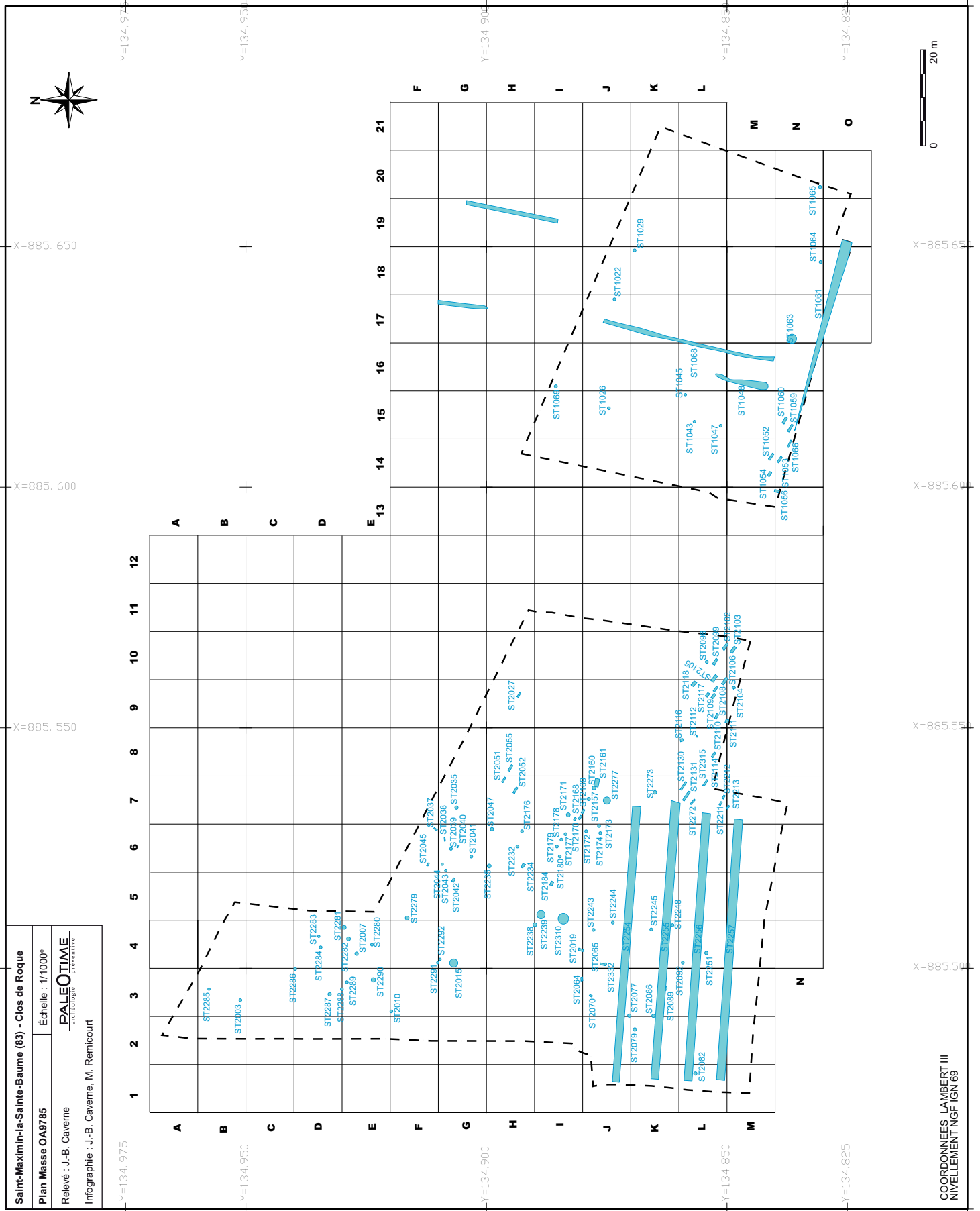


Figure 29 - Le Clos de Roque, Saint-Maximin-la-Sainte-Baume (83). Plan général et numéro indicatif des structures attribuables à la période moderne (DAO : J.-B. Caverne, M. Remicourt).





a : ST2319, crâne de bovidé au fond de la fosse



b : ST2225, restes de faune dans le fond de la fosse



c : ST2209, squelette dans fosse à logette latérale



d : ST2215, squelette dans fosse réaménagée



e : ST2224, squelette en position secondaire



f : ST2205, restes de squelette dans fosse partiellement détruite

**Figure 31** - Le Clos de Roque, Saint-Maximin-la-Sainte-Baume (83). Photographies illustrant quelques structures attribuables au Néolithique moyen I (Clichés : M. Remicourt).



a : ST2096, la structure après le décapage mécanique



b : ST2096, restes d'un canidé découvert dans l'US1



c : ST2096, coupe stratigraphique du sommet du quart nord-est, vue vers le sud-ouest



d : ST2096, coupe stratigraphique du sommet de la zone ouest, vue vers l'ouest (le début du quart sud-ouest a déjà été fouillé)



e : ST2096, vase en céramique découvert dans l'US15



f : ST2096, branche de chêne découvert dans l'US15

**Figure 32** - Le Clos de Roque, Saint-Maximin-la-Sainte-Baume (83). Photographies illustrant la fouille du puits ST2096 attribuable au Néolithique récent (Clichés : M. Remicourt).

Département	Commune	Gisement	Structure	Attribution	Bibliographie
Alpes-M aritim es	N ice	Villa Giribaldi	3	C hasséen ancien	Binder et al. 1994
Alpes-M aritim es	N ice	Villa Giribaldi	7	C hasséen ancien	Binder et al. 1994
A ude	B ram	Buzerens	F 10	N éolithique	Carozza 1997
B ouches-du-Rhône	T rets	les Terres Longues	St. 160	C hasséen	Lepère 2008 ; Pelissier 2007
B ouches-du-Rhône	T rets	les Terres Longues	St. 161	C hasséen ?	Lepère 2008 ; Pelissier 2007
B ouches-du-Rhône	V ernègues	Cazan-L'H éritière 2	St. 6	chasséen	Thirault et al. 2011
B ouches-du-Rhône	V ernègues	Cazan-L'H éritière 2	St. 66	chasséen	Thirault et al. 2011
B ouches-du-Rhône	V ernègues	Cazan-L'H éritière 2 - école	FO 5	C hasséen récent	Gaday et Sargiano 2008
B ouches-du-Rhône	V ernègues	Cazan-L'H éritière 2 - TGV	P 10	C hasséen récent	Chapon et al. 2002
B ouches-du-Rhône	B arbentane	Galavardes		C hasséen ?	Sauzade 1983, p. 110
D rôme	M ontélim ar	P ortes de Provence	69	C hasséen récent	Treffort et Alix à paraître
D rôme	M ontélim ar	Fortuneau, zone C	AS C 41b	C hasséen récent	Cordier 2006, p. 31, 173, fig. 20
G ard	B ernis	Les Figuierassas III	1300	N éolithique m oyen	Beauchamp p 2011, p.60
G ard	B ernis	Les Figuierassas III	1315	N éolithique m oyen	Beauchamp p 2011, p.63
G ard	C aissargues	M oulin Villard		E picardial	Freitas 1987
G ard	C aissargues	M oulin Villard		F ontbouïsse	Freitas 1987
G ard	N îmes	M as de Vignoles IV	PT 5001	N éolithique	Jalot dir. 2004, t. 8
G ard	N îmes	M as de Vignoles IV	PT 8154	F ontbouïsse ?	Jalot dir. 2004, t. 11 p. 105
G ard	N îmes	M as de Vignoles IV	PT 8555	N éolithique	Jalot dir. 2004, t. 11 p. 206
G ard	N îmes	M as de Vignoles IV	FS2096-2366	E piferrières	Jalot dir. 2004 ; Breuil et al. 2006
G ard	N îmes	M as de Vignoles IV	FS3080	F ontbouïsse	Jalot dir. 2004, t. 8 p. 43
G ard	N îmes	M as de Vignoles IV	FS3111	F ontbouïsse	Jalot dir. 2004, t. 8 p. 61
G ard	N îmes	M as de Vignoles IV	PT 1071	C am paniform e ?	Jalot dir. 2004, t. 6 p. 77-78
G ard	N îmes	M as Neuf		N éolithique	com m . Orale P. Séjalon 20/02/2012
G ard	N îmes	M as Neuf		N éolithique	com m . Orale P. Séjalon 20/02/2012
G ard	N îmes	M as de Vignoles IX	1523	N éolithique	com m . Orale P. Séjalon 20/02/2012
G ard	N îmes	M as de Vignoles IX	1051	N éolithique m oyen	com m . Orale P. Séjalon 20/02/2012
G ard	N îmes	M as de Vignoles IX	1157	N éolithique m oyen	com m . Orale P. Séjalon 20/02/2012
G ard	N îmes	M as de Vignoles IX	509	N éolithique m oyen	com m . Orale P. Séjalon 20/02/2012
G ard	N îmes	M as de Vignoles IX	561	N éolithique m oyen	com m . Orale P. Séjalon 20/02/2012
G ard	N îmes	M as de Vignoles XV		N éolithique	com m . Orale P. Séjalon 20/02/2012
H aute-Garonne	M ontesquieu-de-L.	Narbons	1020	C hasséen term inal	Tchérémissinoff et al. 2005
H aute-Garonne	M ontesquieu-de-L.	Narbons	1034	C hasséen ancien	Tchérémissinoff et al. 2005
H aute-Garonne	M ontesquieu-de-L.	Narbons	3035	C hasséen ancien	Tchérémissinoff et al. 2005
H aute-Garonne	M ontesquieu-de-L.	Narbons	3067	C hasséen ancien	Tchérémissinoff et al. 2005
H aute-Garonne	M ontesquieu-de-L.	Narbons	4000	C hasséen ancien	Tchérémissinoff et al. 2005
H aute-Garonne	M ontesquieu-de-L.	Narbons	4002	C hasséen ancien	Tchérémissinoff et al. 2005
H aute-Garonne	Villeneuve-Tolosane	La Terrasse	R 21-1	C hasséen ancien	Vaquier 1990, p. 256-257
H érault	Castelnau-le-Lez	Jardins de Vert Parc	PT 1020	C hasséen récent	Vignaud 2003, Georjon 2003
H érault	M auguio	La Mougère de Vauguières	905	C hasséen	Diez 2010, p. 69
P uy-de-Dôme	Clermont-Ferrand	Petit Beaulieu	2150	C am paniform e ?	Thirault à paraître
P uy-de-Dôme	Clermont-Ferrand	Petit Beaulieu	2151	C am paniform e ?	Thirault à paraître
P uy-de-Dôme	Clermont-Ferrand	Petit Beaulieu	8122	C am paniform e ?	Thirault à paraître
P uy-de-Dôme	Clermont-Ferrand	Petit Beaulieu	8123	C am paniform e ?	Thirault à paraître
V aucluse	Cabrières-d'Aignon	Coustelet		C hasséen ?	Courtin 1974, p. 135
V ar	Saint-Maximin-la-Ste.-B.	Chem in de Barjols	1024	N éolithique récent	Cockin et Furestier 2009
V ar	Saint-Maximin-la-Ste.-B.	Chem in Féraud	Fs 14	C hasséen récent	Borréani et Berre 2009
V ar	Saint-Maximin-la-Ste.-B.	Clos de Roque	ST2096	N éolithique récent	rapport en cours

Figure 33 - Le Clos de Roque, Saint-Maximin-la-Sainte-Baume (83). Inventaire en cours des puits néolithiques découverts dans le sud de la France (Inventaire et DAO : E. Thirault, M. Remicourt).



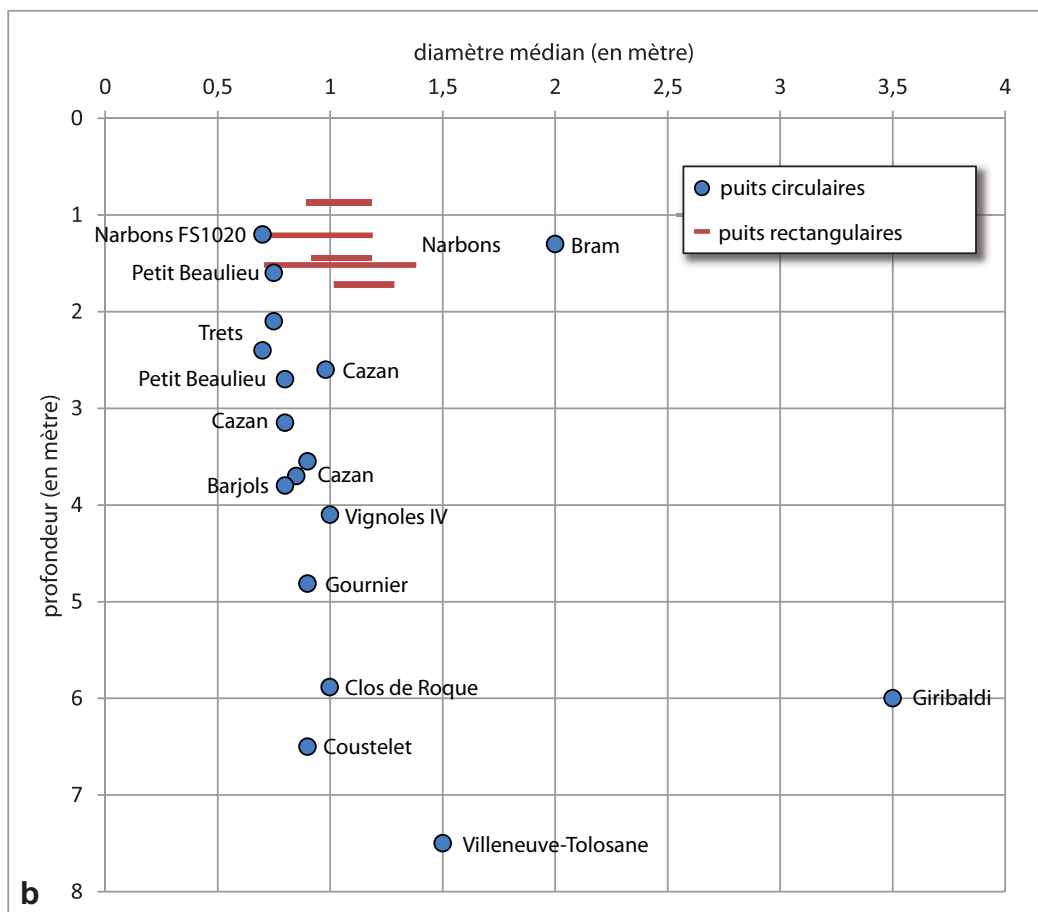
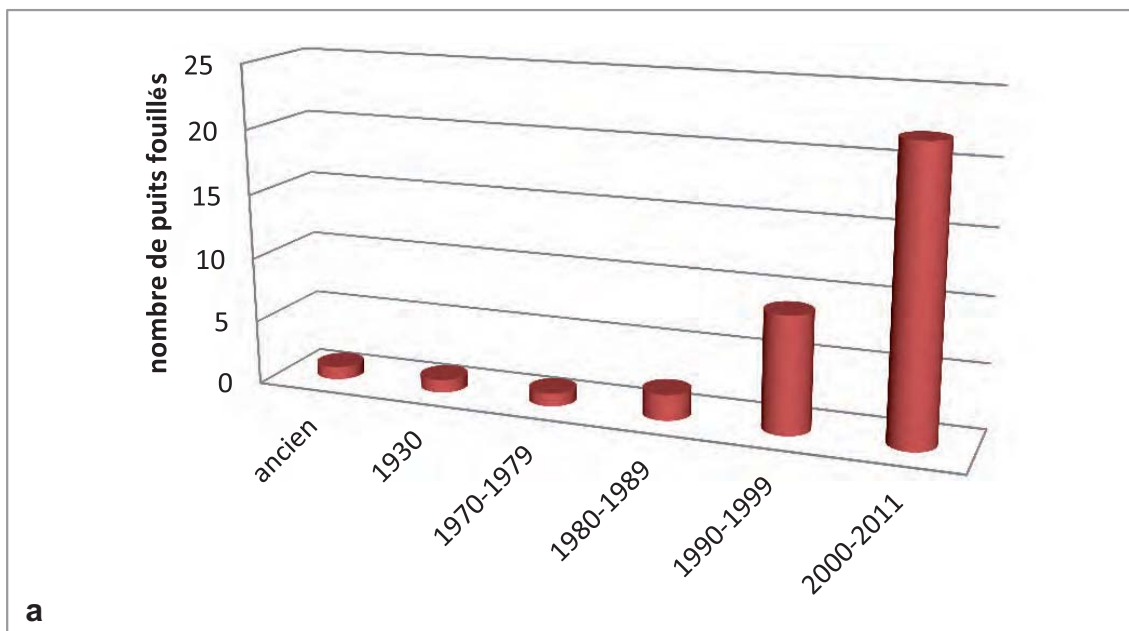


Figure 34 - Le Clos de Roque, Saint-Maximin-la-Sainte-Baume (83). a : Décompte des découvertes de puits ces dernières décennies ; b : Mesuration (profondeur par diamètre) des puits néolithiques dont les caractères morphométriques sont publiés (DAO : E. Thirault, M. Remicourt).

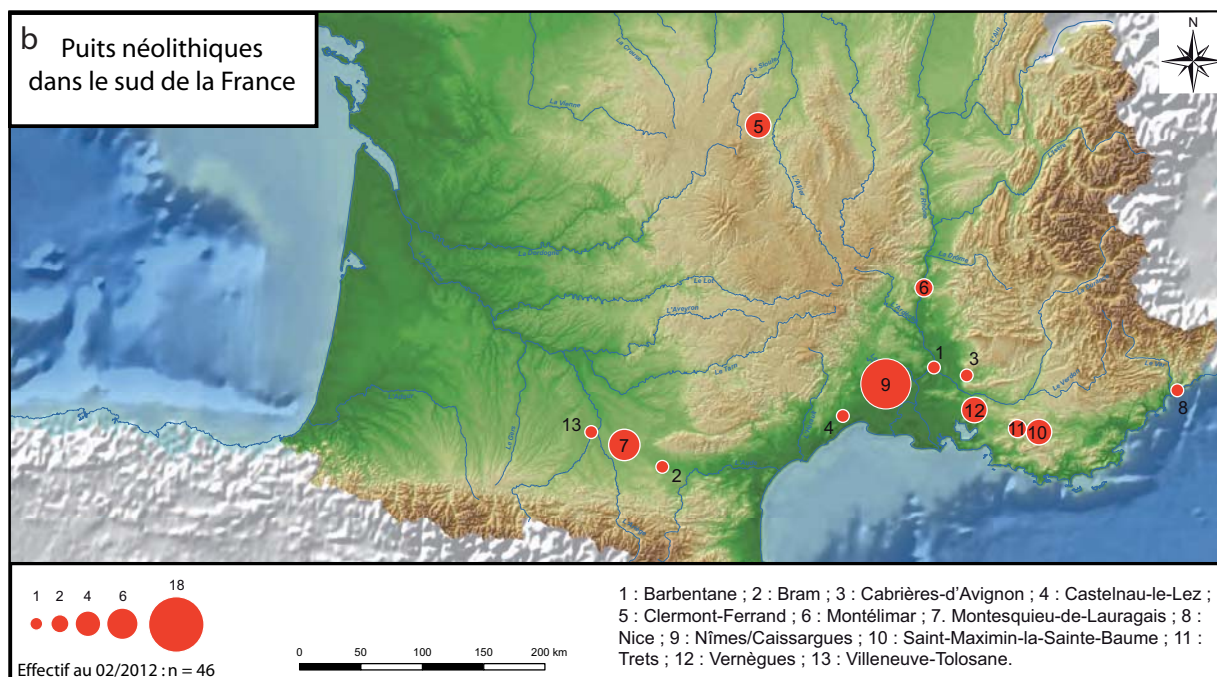
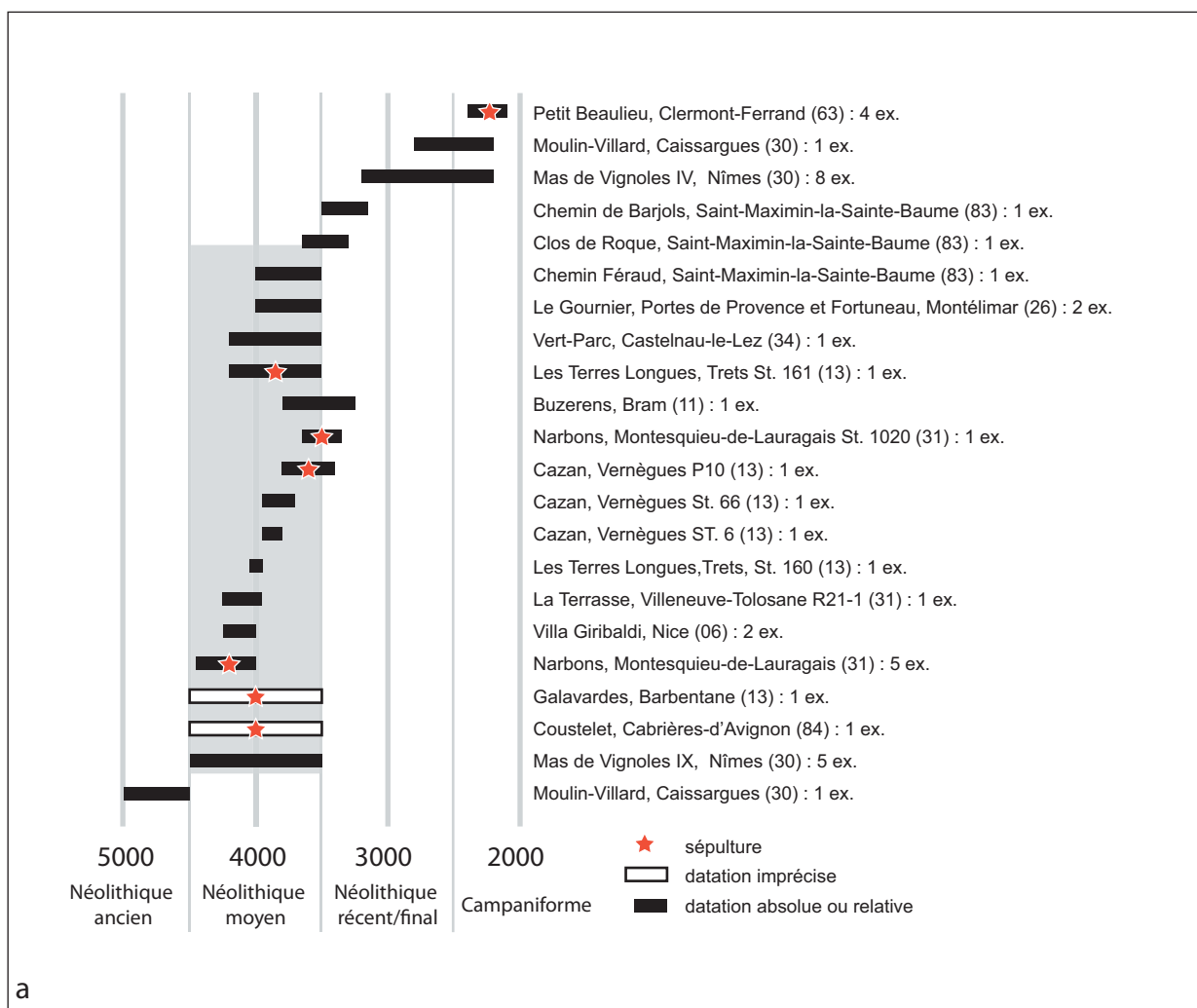


Figure 35 - Le Clos de Roque, Saint-Maximin-la-Sainte-Baume (83). a : Datations absolues et relatives des puits néolithiques ; b : Localisation des puits néolithiques découverts dans le sud de la France (Inventaire et DAO : E. Thirault, M. Remicourt).



a : ST2094, coupe stratigraphique est-ouest, vue vers le sud



b : ST2094, base de la structure, après la fouille, vue vers le sud



c : ST2328, coupe stratigraphique est-ouest, vue vers le nord



d : ST2328, base de la structure, après la fouille, vue vers le sud



e : ST2247, coupe stratigraphique est-ouest, vue vers le sud



f : ST2247, ossements humains épars dans l'US4

**Figure 36** - Le Clos de Roque, Saint-Maximin-la-Sainte-Baume (83). Photographies illustrant quelques structures attribuables au Néolithique final phase 1 (Clichés : M. Remicourt).



a : ST2021, coupe stratigraphique est-ouest, vue vers le sud



b : ST2021, structure après la fouille, vue vers le sud



c : ST2093, coupe stratigraphique est-ouest, vue vers le nord-est



d : ST2093-ST2311, structure après la fouille, vue vers le sud (en avant de la photographie, zone fouillée dans le cadre du diagnostic de 2010, recouvrant la FS22 ; au centre le foyer est partiellement fouillé)



e : ST2093, foyer en cours de fouille, vue vers le nord



f : ST2006, ossements d'ovicapridés et morceau d'ocre, vue vers le nord

**Figure 37** - Le Clos de Roque, Saint-Maximin-la-Sainte-Baume (83). Photographies illustrant quelques structures attribuables au Néolithique final phase 2 (Clichés : M. Remicourt).



a : ST2329, coupe stratigraphique est-ouest, vue vers le sud



b : ST2067, coupe stratigraphique est-ouest, vue vers le sud



c : ST2073, coupe stratigraphique est-ouest, vue vers le sud.  
La structure est coupée au nord par le fossé moderne ST2254



d : ST2073, structure après la fouille, vue vers le nord



e : ST2087, coupe stratigraphique est-ouest, vue vers le nord.



f : ST2087, structure après la fouille, vue vers le nord

**Figure 38** - Le Clos de Roque, Saint-Maximin-la-Sainte-Baume (83). Photographies illustrant quelques structures attribuables au Néolithique final indéterminé (Clichés : M. Remicourt).



a : ST2267, alignement de trous de piquet, vue vers le nord



b : ST2276, céramique en place dans une petite fosse ; elle a été endommagée par le labour profond, vue vers le nord



c : ST2155, structure polylobée à trous de piquet



d : Secteur H3, trous de poteau de l'Ensemble E, vue vers le nord



e : Secteur K8, trous de poteau à l'est de l'Ensemble A, avant fouille, vue vers le sud



f : ST2148, tranchée à trous de piquet à l'ouest de l'Ensemble A, vue vers le sud

**Figure 39** - Le Clos de Roque, Saint-Maximin-la-Sainte-Baume (83). Photographies illustrant quelques structures attribuables au Bronze ancien (Clichés : M. Remicourt).



a : ST2230, coupe stratigraphique est-ouest, vue vers le nord  
La structure est recoupée par le fossé moderne ST2254 au sud



b : ST2230, détail de la zone rubéfiée au nord de la structure,  
vue vers le nord



c : ST2192, structure polylobée à profil asymétrique,  
vue vers le nord



d : ST2074, coupe stratigraphique est-ouest, vue vers le sud



e : ST2074, détail du bracelet en lignite, vue vers l'ouest



f : ST2074, structure après la fouille ; elle a recoupé la ST2075  
attribuable à la fin du Néolithique au sud, vue vers l'est

**Figure 40** - Le Clos de Roque, Saint-Maximin-la-Sainte-Baume (83). Photographies illustrant quelques structures attribuables au Hallstatt ancien (Clichés : M. Remicourt).

Ensembles des structures (type de structure/volume estimé en m³)

	> 0,1	0,1 à 0,2	0,2 à 0,3	0,3 à 0,4	0,4 à 0,5	0,5 à 1	1 à 1,5	1,5 à 2	2 à 2,5	2,5 à 5	<5	Total
A3		1	1	2		4	2	1				11
A4	1					7	3	1		1		13
A5											2	2
B2	82	15	10	3	4	2						116
B3					1	2						3
B4										1		1
C	9	8	2	2		3						24
F1		2	5	3	3	9	4	2	2			30
F2			1	1	1	2	1			3		9
E											1	1
G									1			1
Total	92	26	19	11	9	29	10	4	3	5	3	211

Structures pré et protohistoriques non attribuées (type de structure/volume estimé en m³)

	> 0,1	0,1 à 0,2	0,2 à 0,3	0,3 à 0,4	0,4 à 0,5	0,5 à 1	1 à 1,5	1,5 à 2	2 à 2,5	2,5 à 5	<5	Total
A3		1				1		1				3
A4						1						1
A5												
B2	21	9	3	2								35
B3												
B4												
C	5	2	1									8
F1		1	1	2								4
F2												
E												
G												
Total	26	13	5	4		2		1				51

Structures attribuables au Bronze ancien (type de structure/volume estimé en m³)

Bronze Anc	> 0,1	0,1 à 0,2	0,2 à 0,3	0,3 à 0,4	0,4 à 0,5	0,5 à 1	1 à 1,5	1,5 à 2	2 à 2,5	2,5 à 5	<5	Total
A3												
A4	1											1
A5												
B2	48	3	1		2	1						55
B3												
B4												
C	4	4	1	2		2						13
F1						1						1
F2				2						1		3
E												
G												
Total	53	7	2	4	2	4				1		73

Structures attribuables au Hallstatt (type de structure/volume estimé en m³)

	> 0,1	0,1 à 0,2	0,2 à 0,3	0,3 à 0,4	0,4 à 0,5	0,5 à 1	1 à 1,5	1,5 à 2	2 à 2,5	2,5 à 5	<5	Total
A3												
A4												
A5												
B2	9	2	1		1							13
B3	1											1
B4										1		1
C												
F1			1			1						2
F2		1				1	1					3
E												
G												
Total	10	3	2		1	2	1			1		20

Structures attribuables au Néolithique final/récent (type de structure/volume estimé en m³)

	> 0,1	0,1 à 0,2	0,2 à 0,3	0,3 à 0,4	0,4 à 0,5	0,5 à 1	1 à 1,5	1,5 à 2	2 à 2,5	2,5 à 5	<5	Total
A3			1	2		3	2					8
A4						6	3			1		10
A5											2	2
B2	2	1	3		1	1						8
B3					1	1						2
B4												
C						1						1
F1			3	1	3	5	4	1	2			19
F2			1		1	1				2		5
E											1	1
G												
Total	2	1	8	3	6	18	9	1	2	3	3	56

Structures attribuables au Néolithique moyen I VBQ (type de structure/volume estimé en m³)

	> 0,1	0,1 à 0,2	0,2 à 0,3	0,3 à 0,4	0,4 à 0,5	0,5 à 1	1 à 1,5	1,5 à 2	2 à 2,5	2,5 à 5	<5	Total
A3												
A4												
A5												
B2	1		1	1								3
B3						1						1
B4												
C												
F1						3		1				4
F2												
E												
G									1			1
Total	1		1	1		4		1	1			9

Figure 41 - Le Clos de Roque, Saint-Maximin-la-Sainte-Baume (83). Tableaux diachroniques des volumes estimés (rapport diamètre/profondeur) par type de structure en creux (DAO : M. Remicourt).



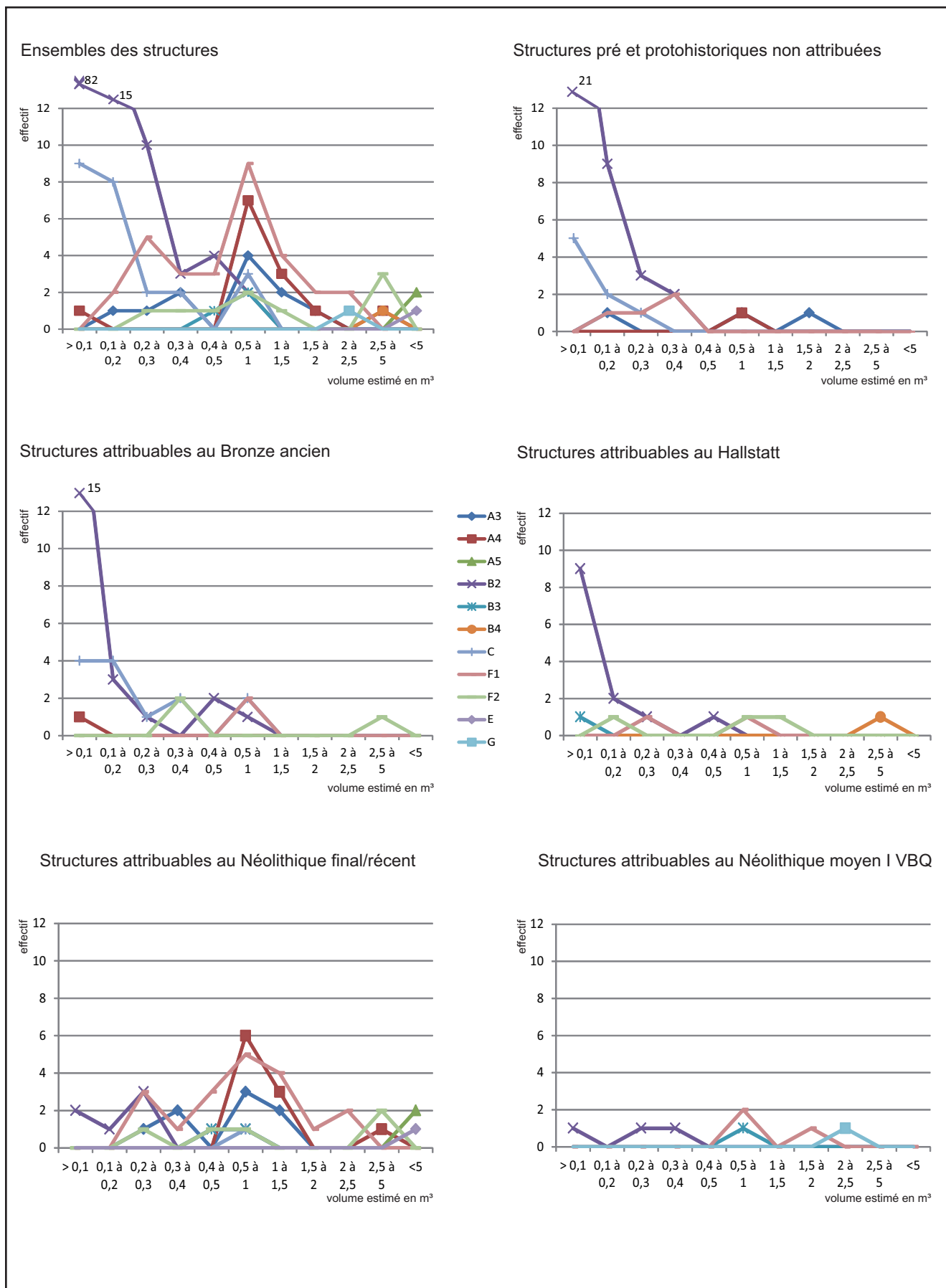


Figure 42 - Le Clos de Roque, Saint-Maximin-la-Sainte-Baume (83). Courbes de répartition des volumes estimés (rapport diamètre/profondeur) par type de structure en creux (DAO : M. Remicourt).

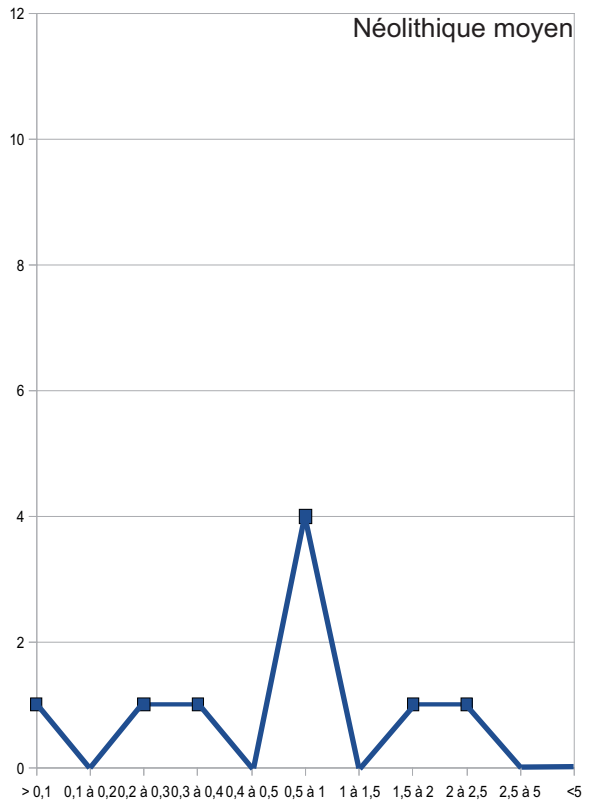
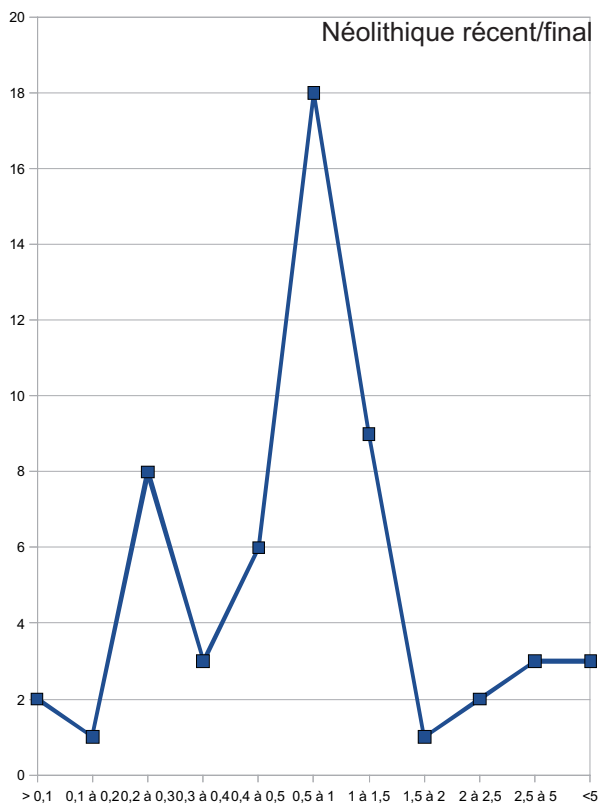
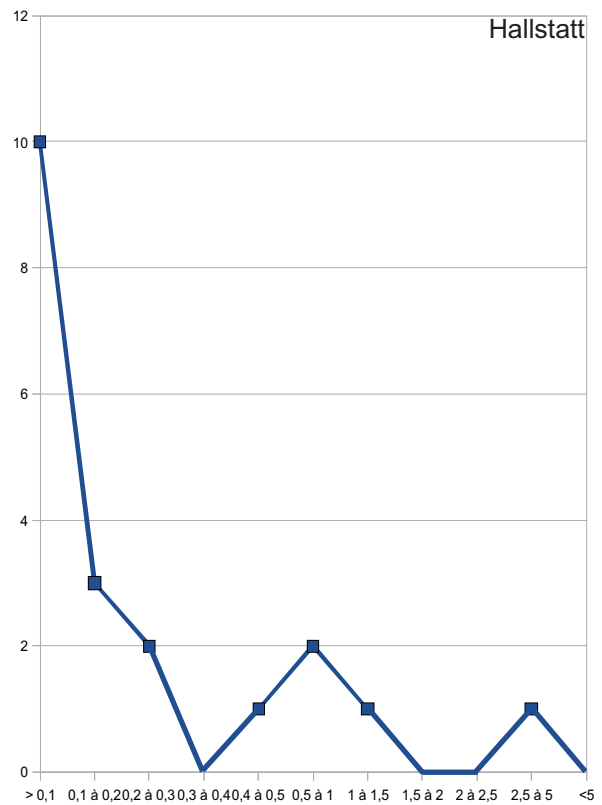
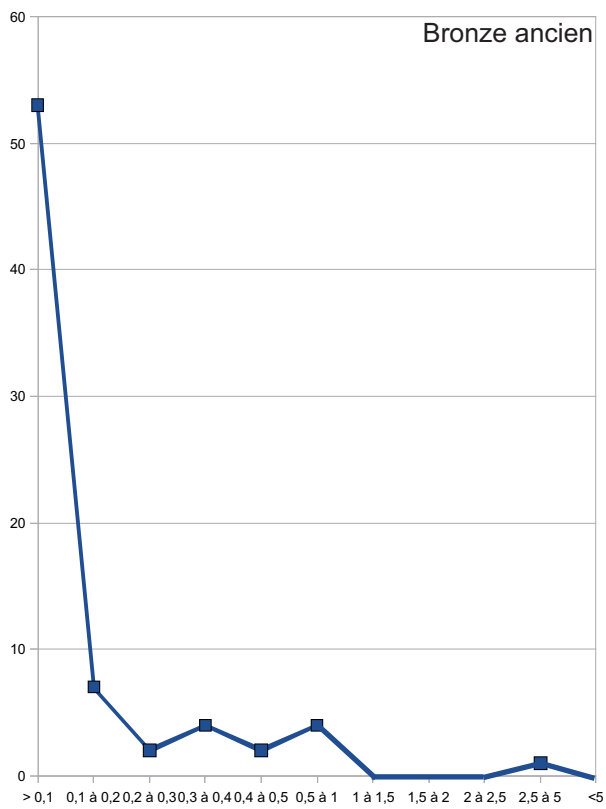


Figure 43 - Le Clos de Roque, Saint-Maximin-la-Sainte-Baume (83). Courbes de répartition cumulatives des volumes estimés (rapport diamètre/profondeur) des structures en creux (DAO : M. Remicourt).

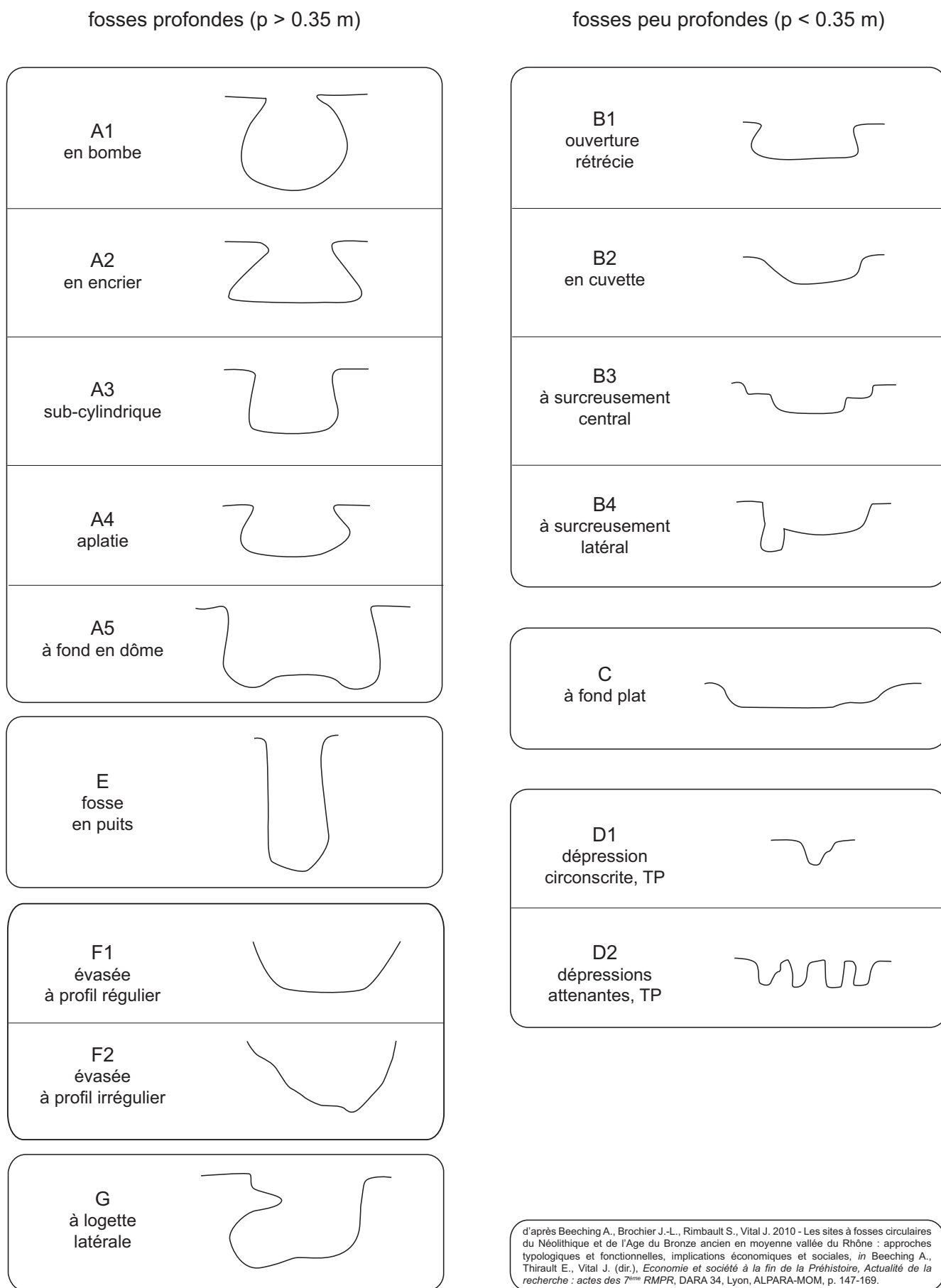


Figure 44 - Le Clos de Roque, Saint-Maximin-la-Sainte-Baume (83). Morphologie des structures en creux découvertes lors de la fouille (d'après Beeching *et al.* 2010 ; DAO : M. Remicourt).

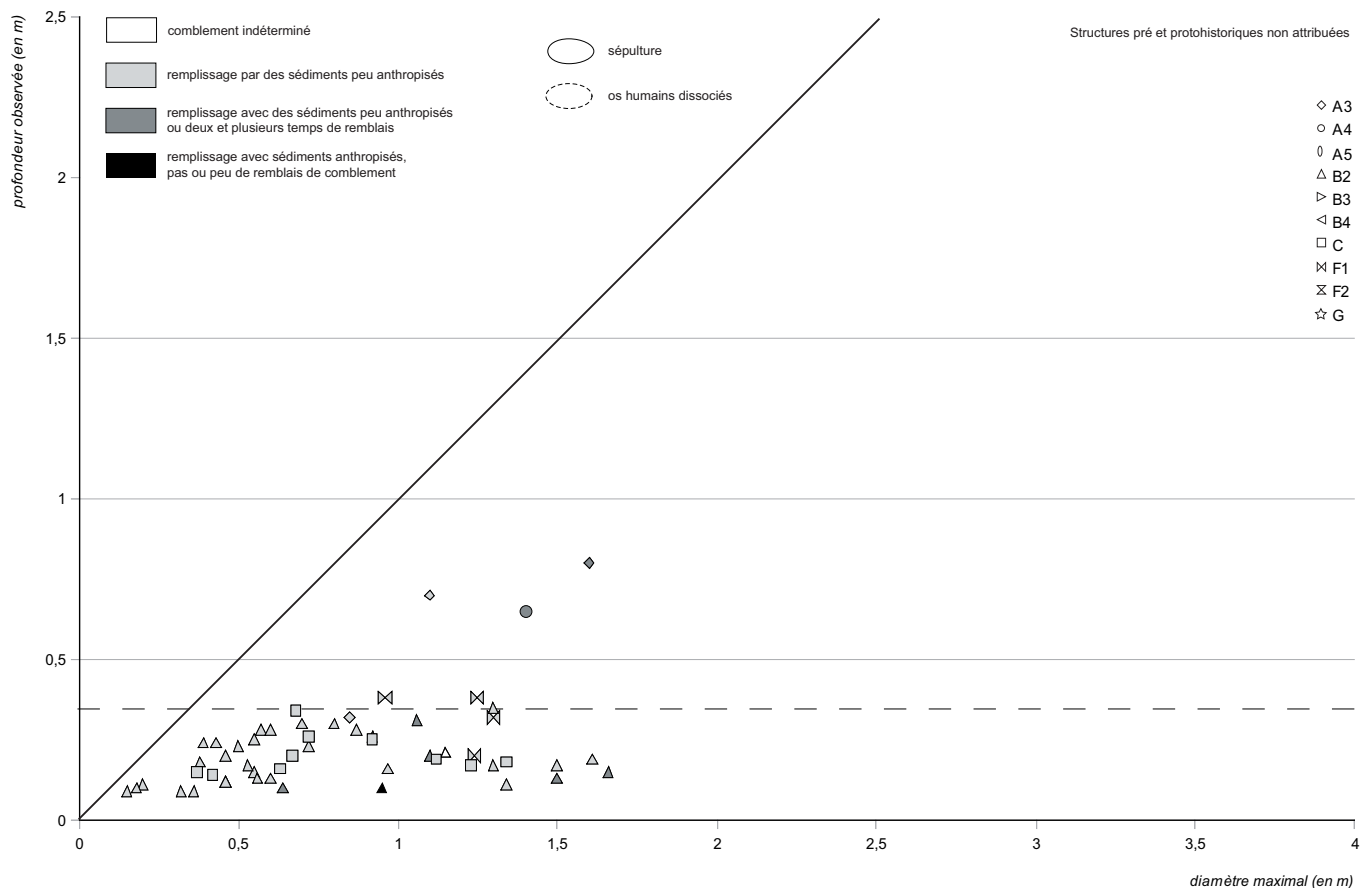
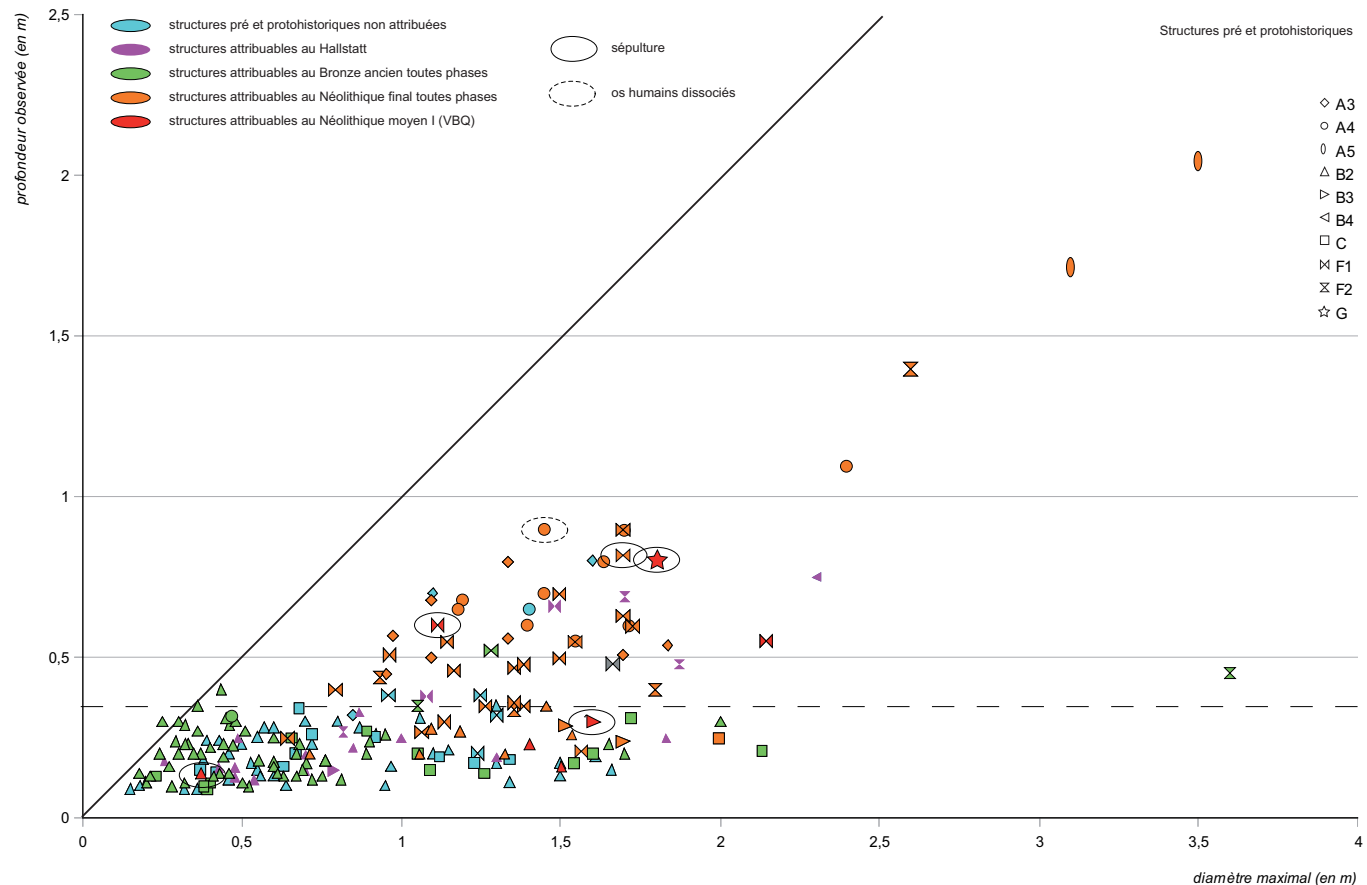


Figure 45 - Le Clos de Roque, Saint-Maximin-la-Sainte-Baume (83). Diagrammes de corrélation profondeur sur diamètre maximum et par faciès de remplissage par type de structure en creux : diachroniques (haut), pré et protohistoriques non attribuées (bas) (DAO : M. Remicourt).

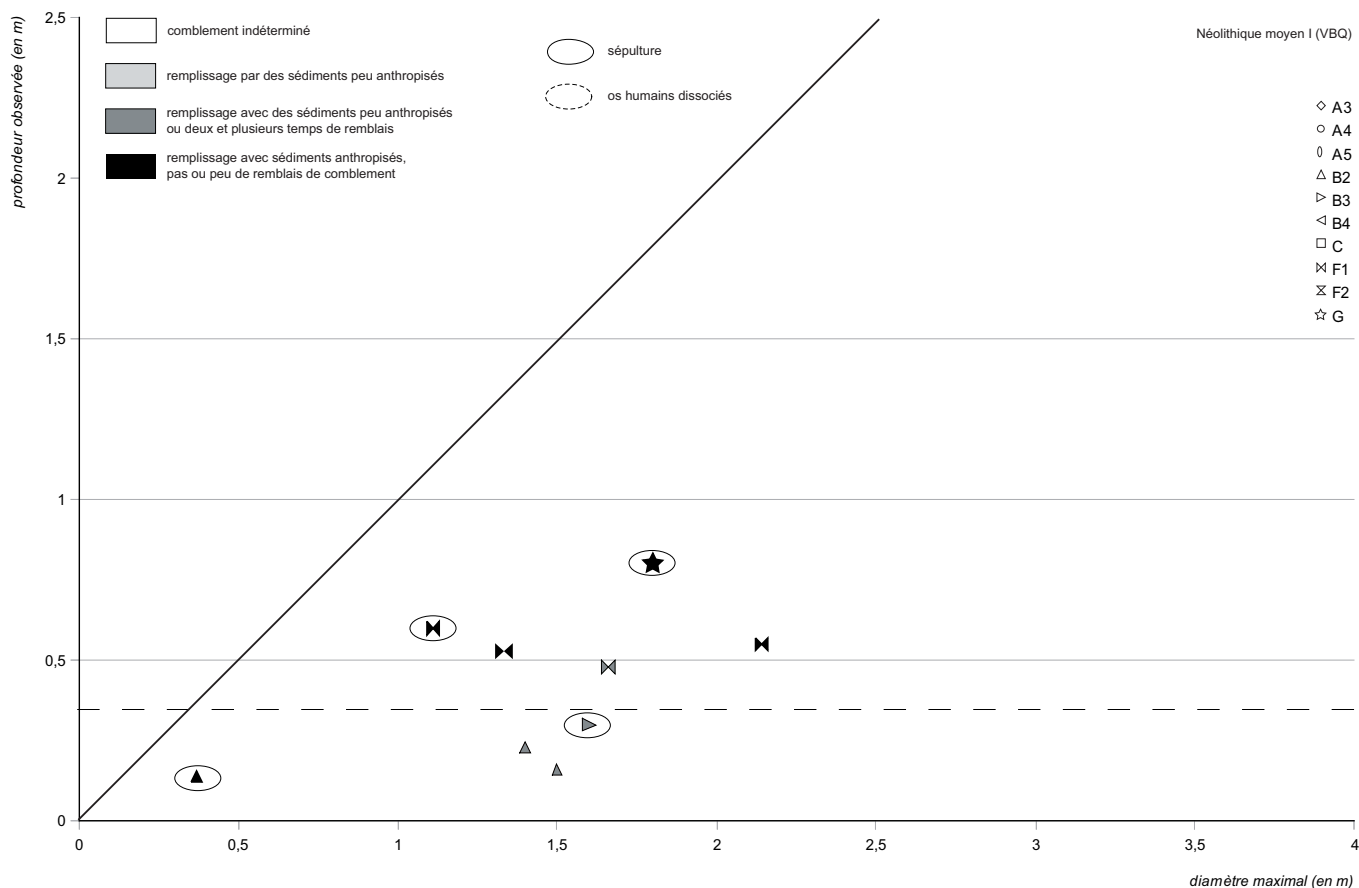
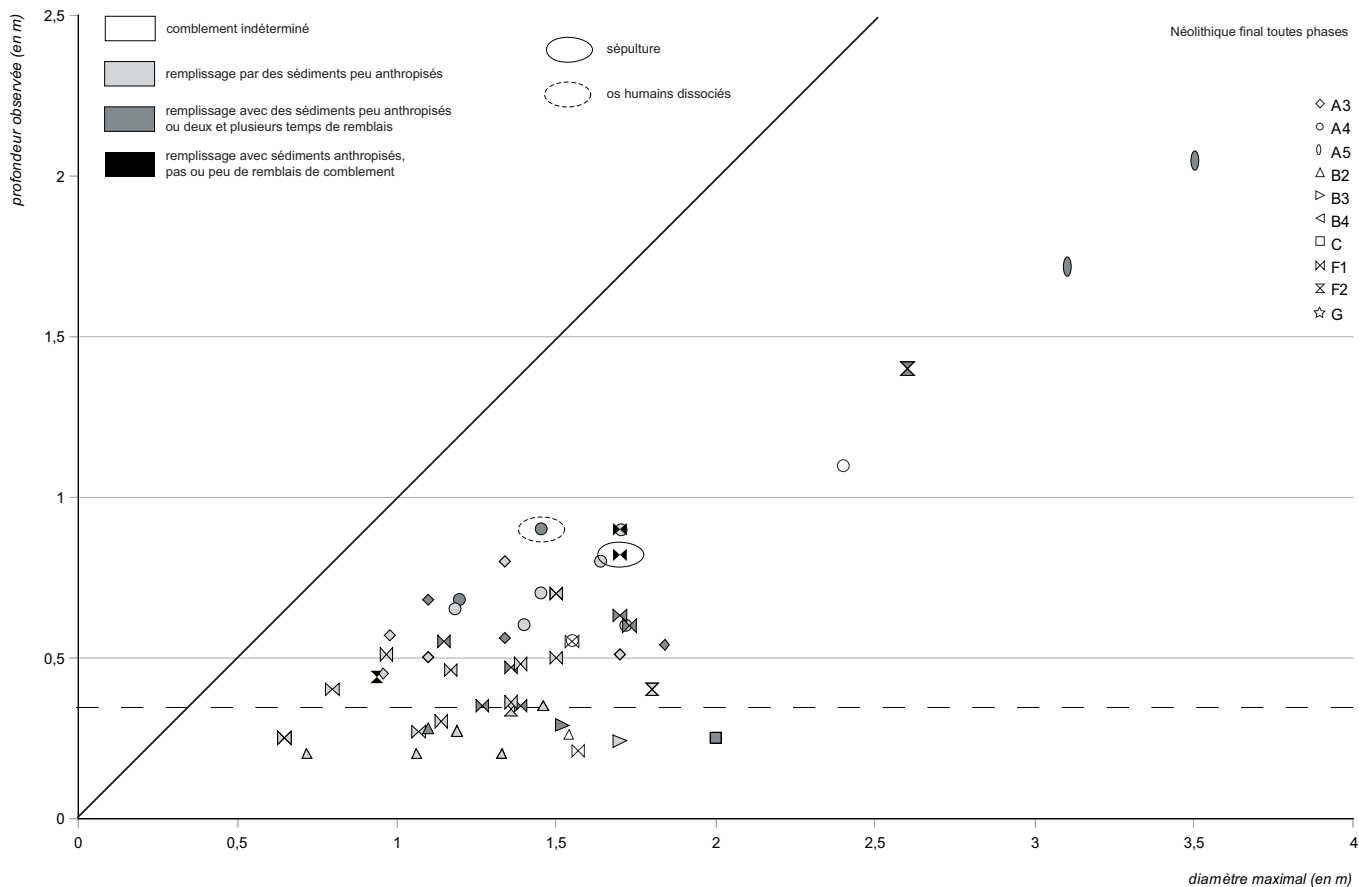


Figure 46 - Le Clos de Roque, Saint-Maximin-la-Sainte-Baume (83). Diagrammes de corrélation profondeur sur diamètre maximum et par faciès de remplissage par type de structure en creux : Néolithique final (haut), Néolithique moyen I (bas) (DAO : M. Remicourt).

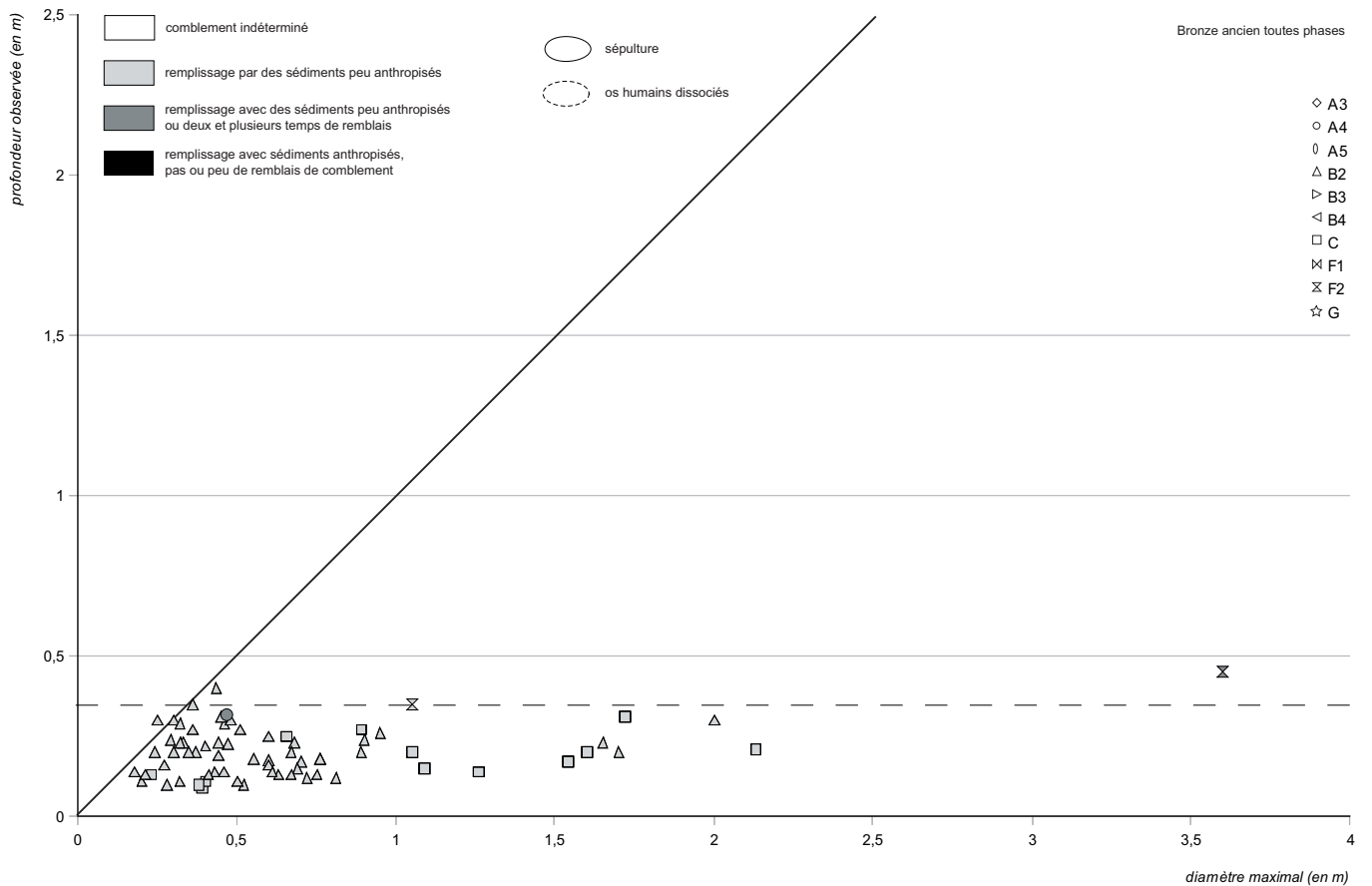
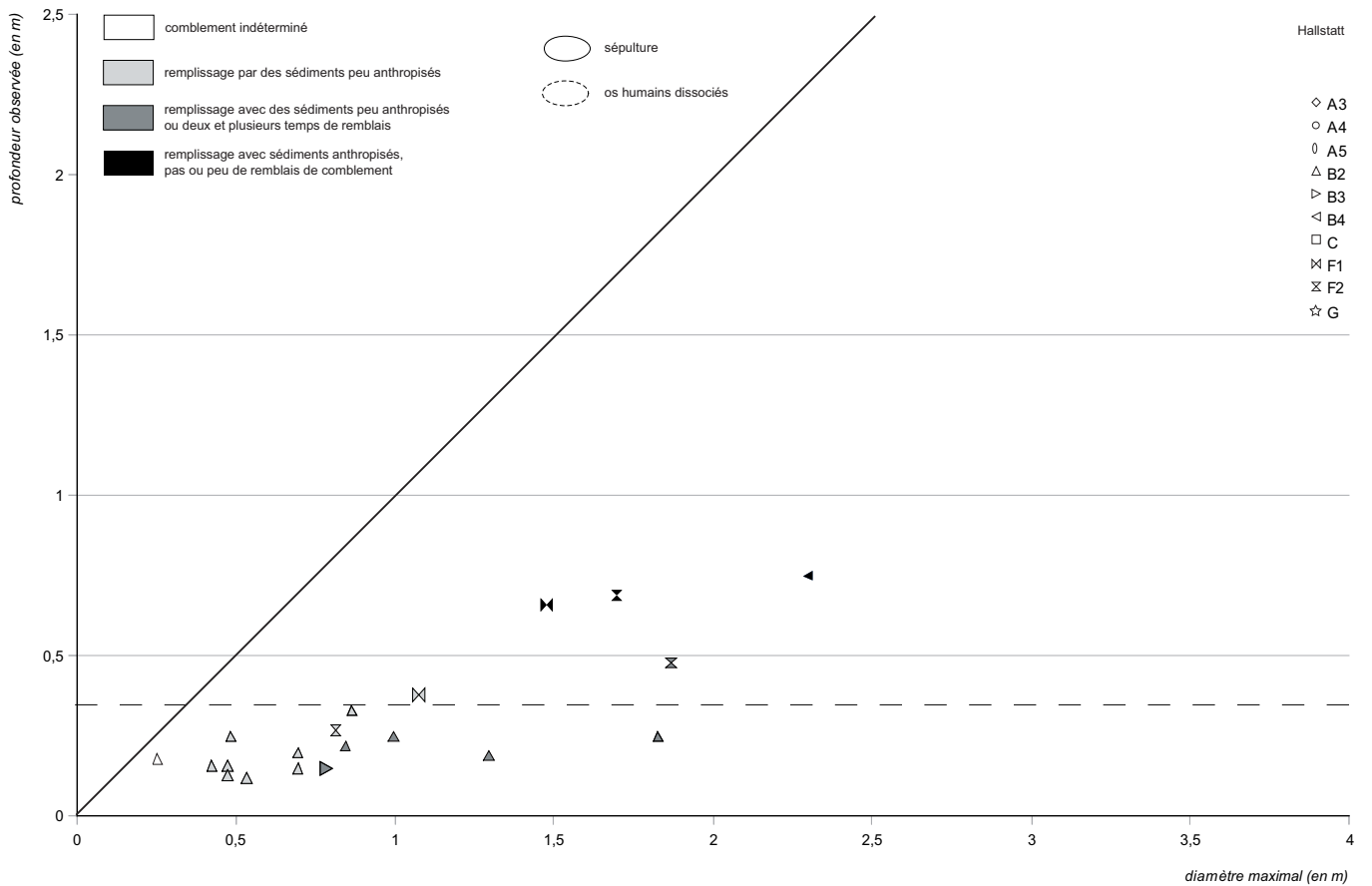


Figure 47 - Le Clos de Roque, Saint-Maximin-la-Sainte-Baume (83). Diagrammes de corrélation profondeur sur diamètre maximum et par faciès de remplissage par type de structure en creux : Hallstatt (haut), Bronze ancien (bas) (DAO : M. Remicourt).

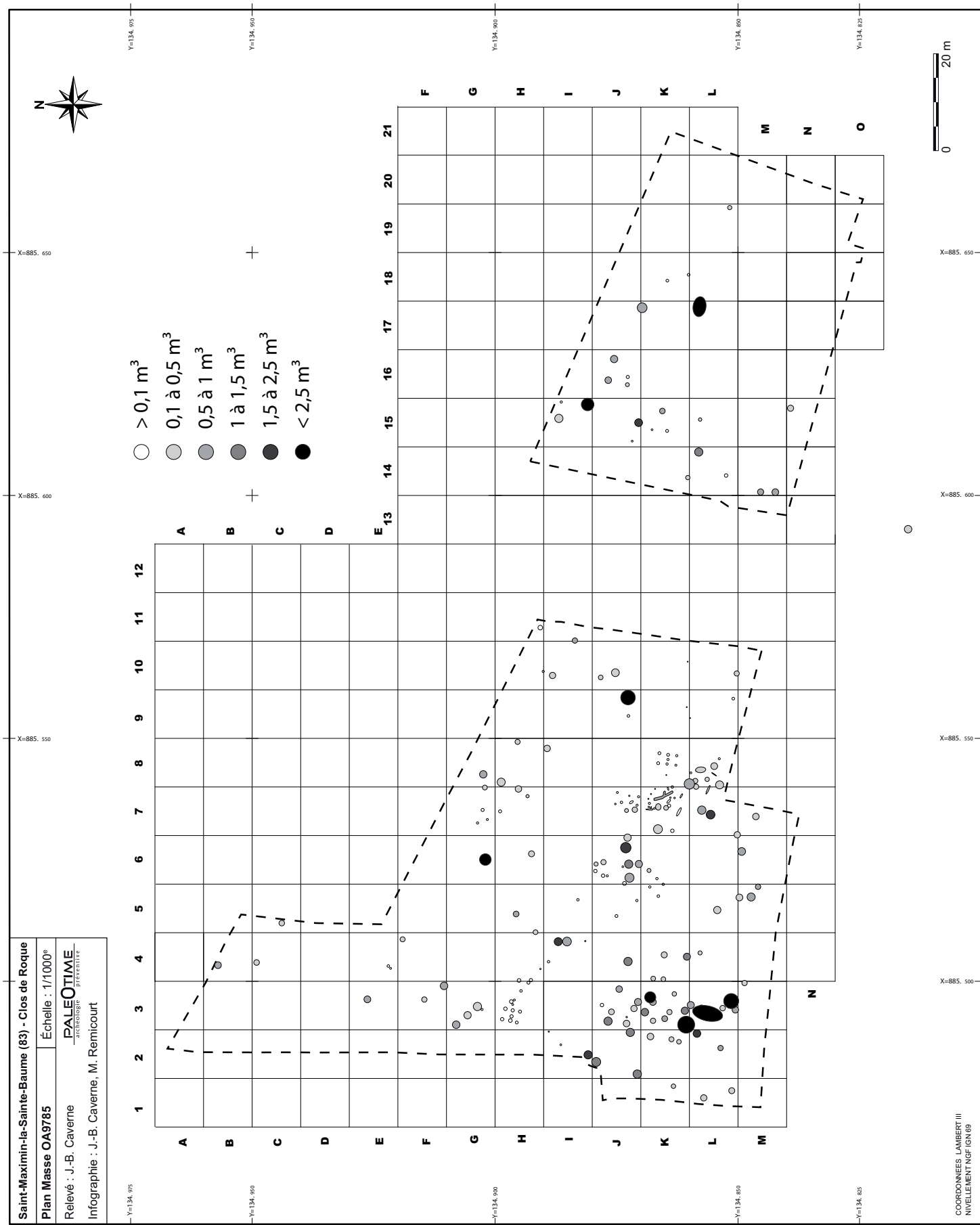


Figure 48 - Le Clos de Roque, Saint-Maximin-la-Sainte-Baume (83). Plan général diachronique du volume estimé (rapport profondeur sur diamètre maximum) des structures pré et protohistoriques (DAO : J.-B. Caverne, M. Remicourt).

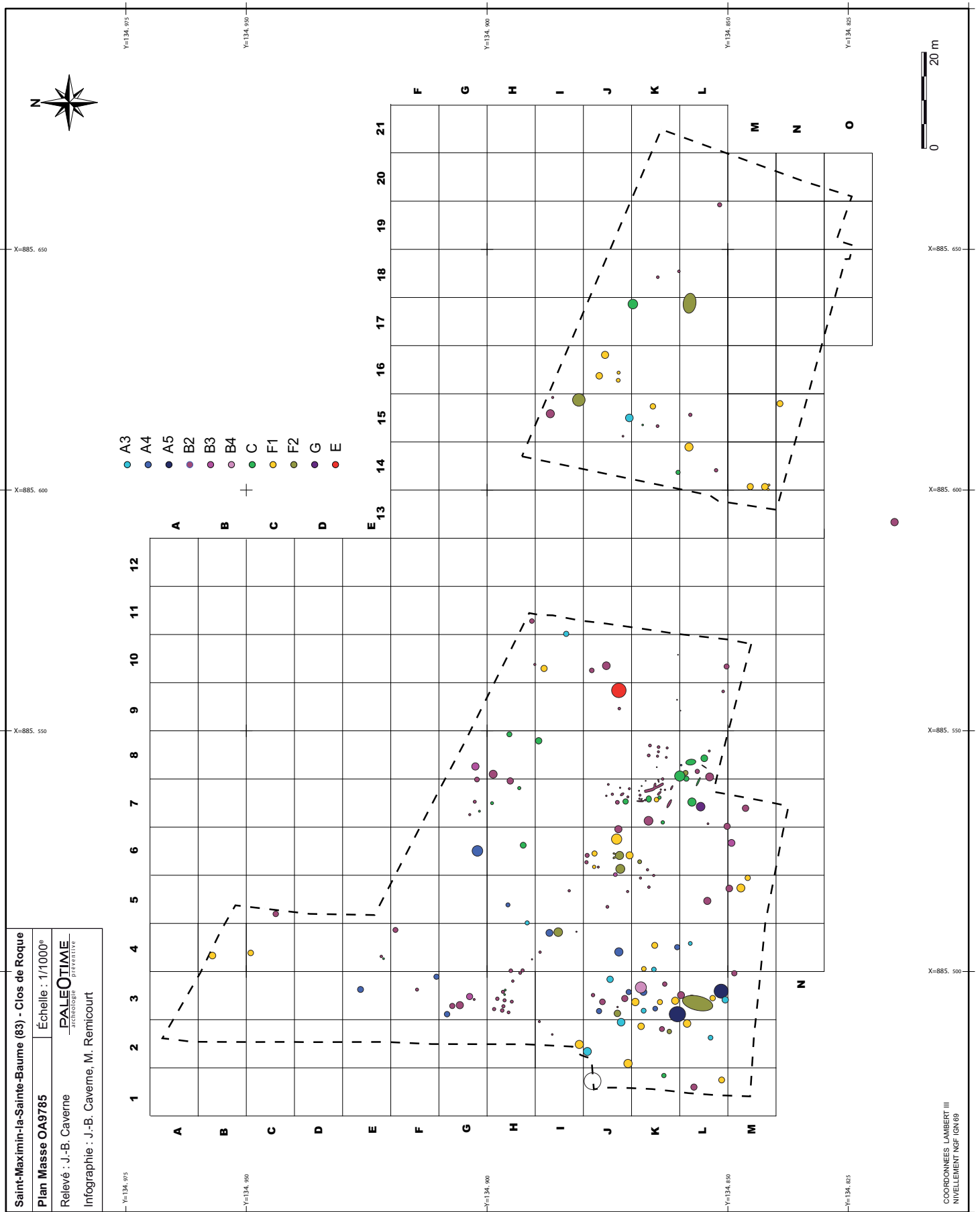
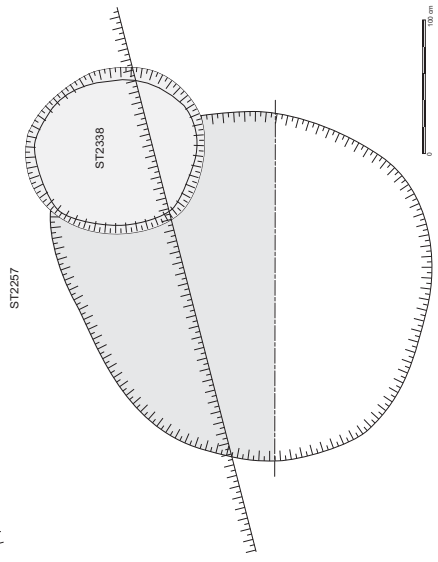
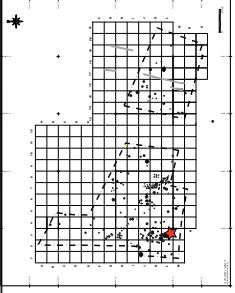


Figure 49 - Le Clos de Roque, Saint-Maximin-la-Sainte-Baume (83). Plan général diachronique des types morphologiques des structures pré et protohistoriques rencontrés lors de la fouille (DAO : J.-B. Caverne, M. Remicourt).





Saint-Maximin-la-Sainte-Baume (83) - Clos de Roque  
 ST2094 Échelle : 1/20<sup>e</sup>  
 Relevé : G. Gazagnol  
 Infographie : M. Remicourt  
**PALEOTIME**  
 ANTHROPOLOGIE



- Légende**
- charbon
  - terre brûlée, caille ou sole
  - céramique
  - os
  - lithique taillé
  - microlithique
  - pierre calcaire
  - zone de lecture de coupe
  - bicuration
  - prélèvement SPIA

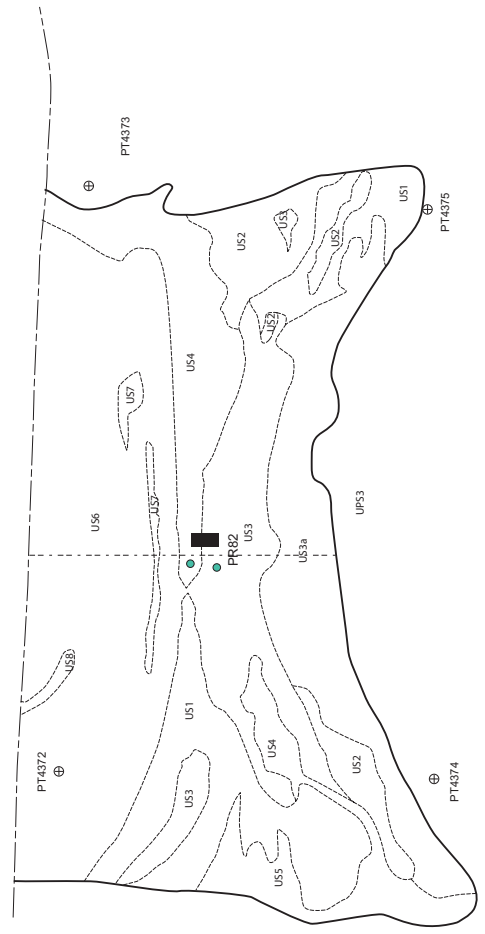
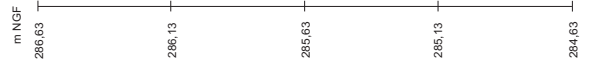
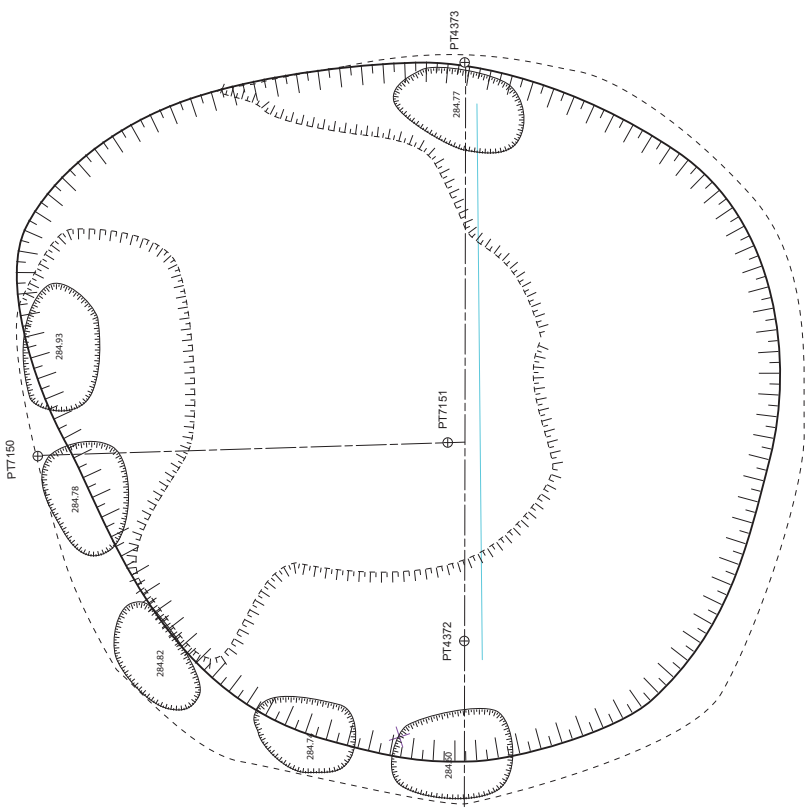


Figure 51 - Clos de Roque, Saint-Maximin-la-Sainte-Baume (83). Plan et coupe stratigraphique de la structure ST2094.



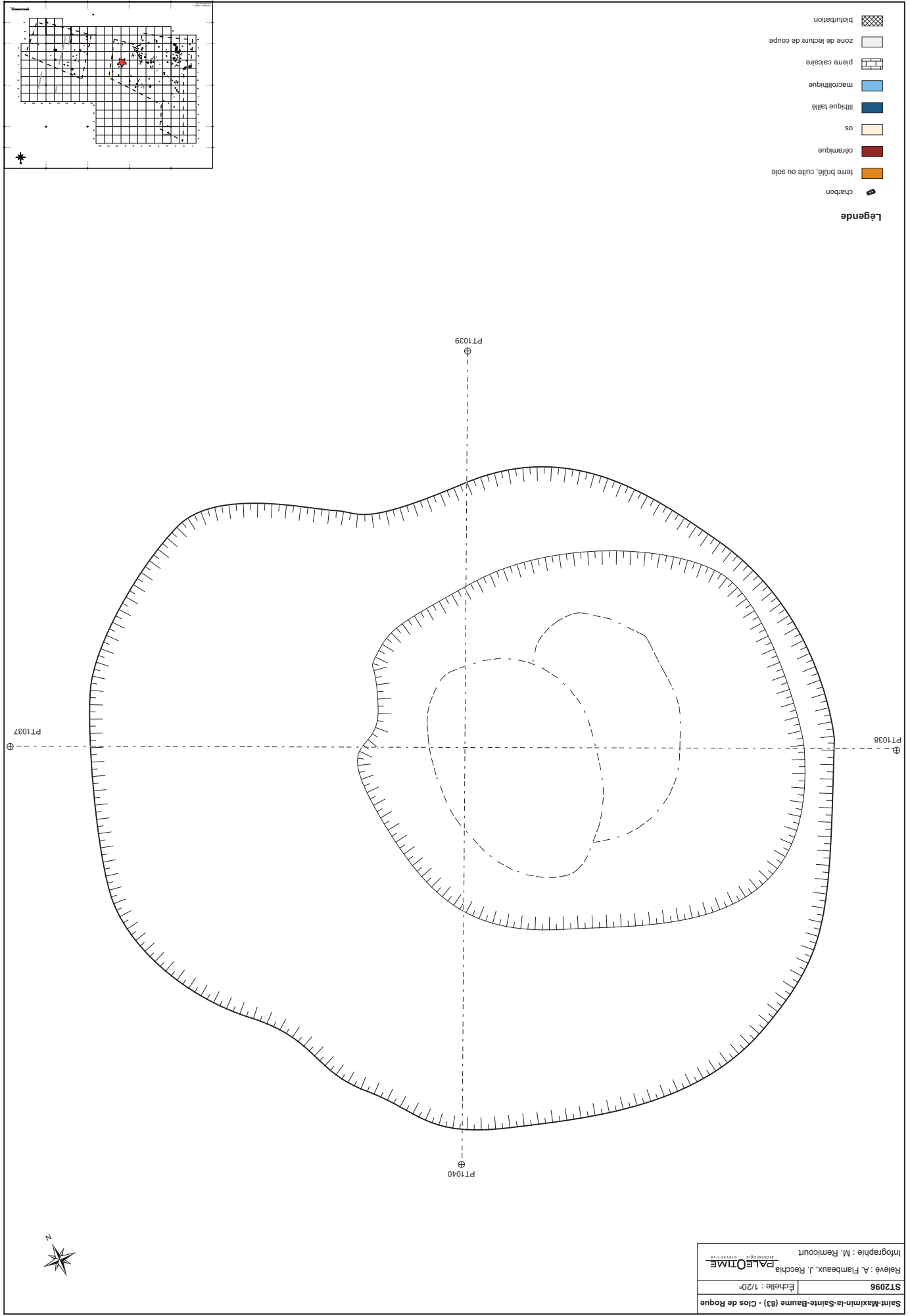


Figure 53 - Clos de Roque, Saint-Maximin-la-Sainte-Baume (83). Plan de la structure ST2096.

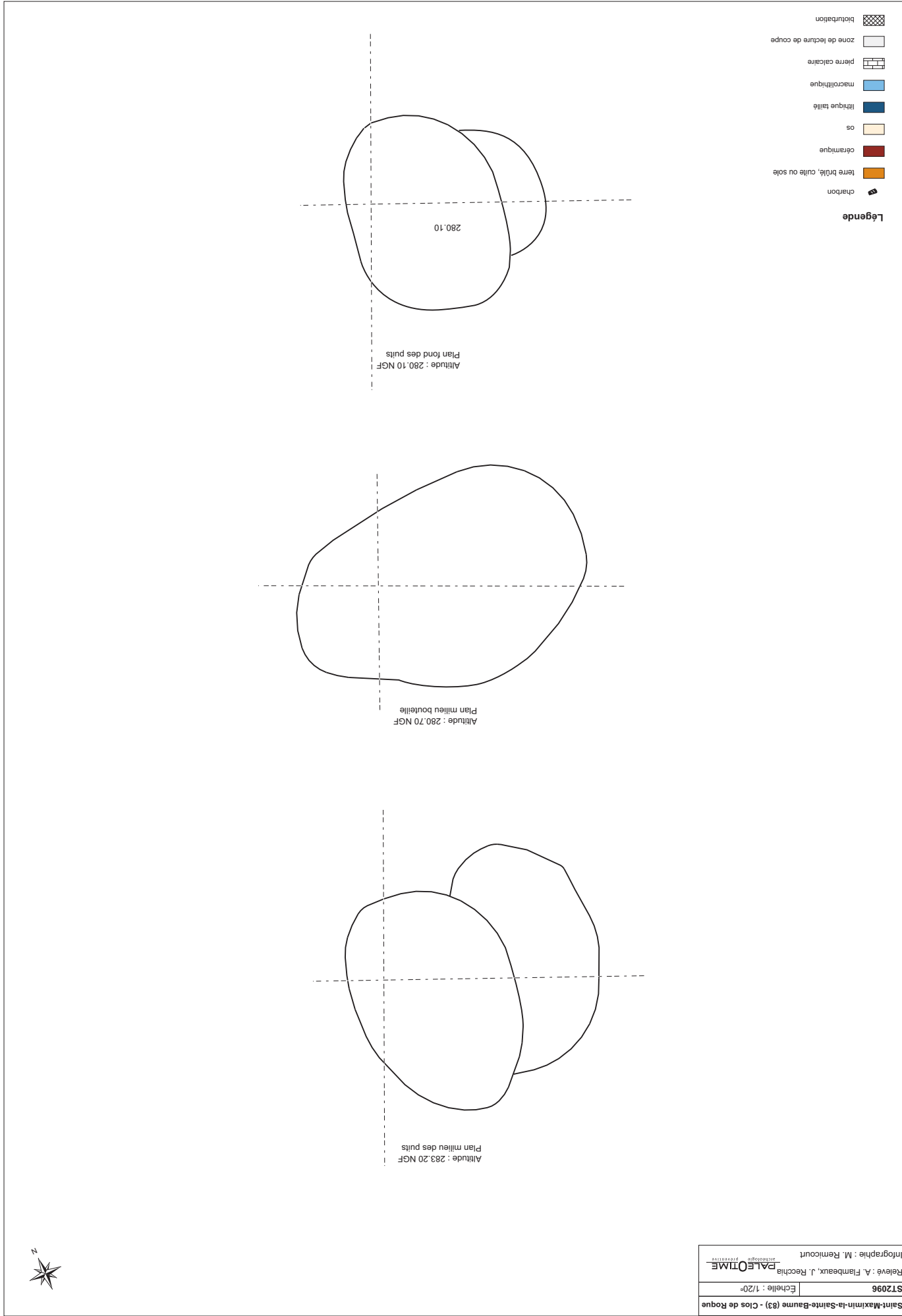


Figure 54 - Clos de Roque, Saint-Maximin-la-Sainte-Baume (83). Sections intermédiaires à différentes profondeurs de la structure ST2096.

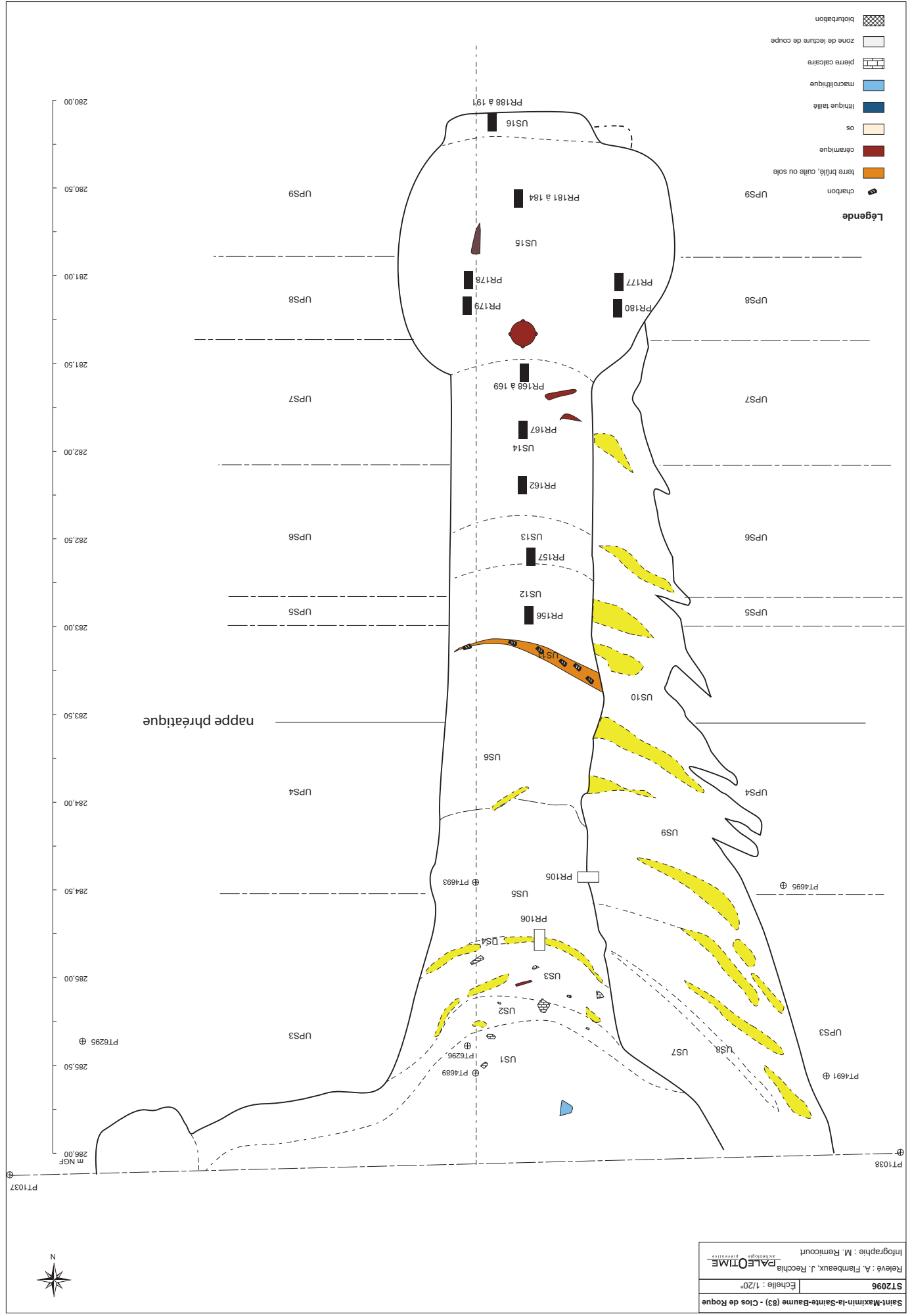


Figure 55 - Clos de Roque, Saint-Maximin-la-Sainte-Baume (83). Coupe stratigraphique est-ouest de la structure ST2096.

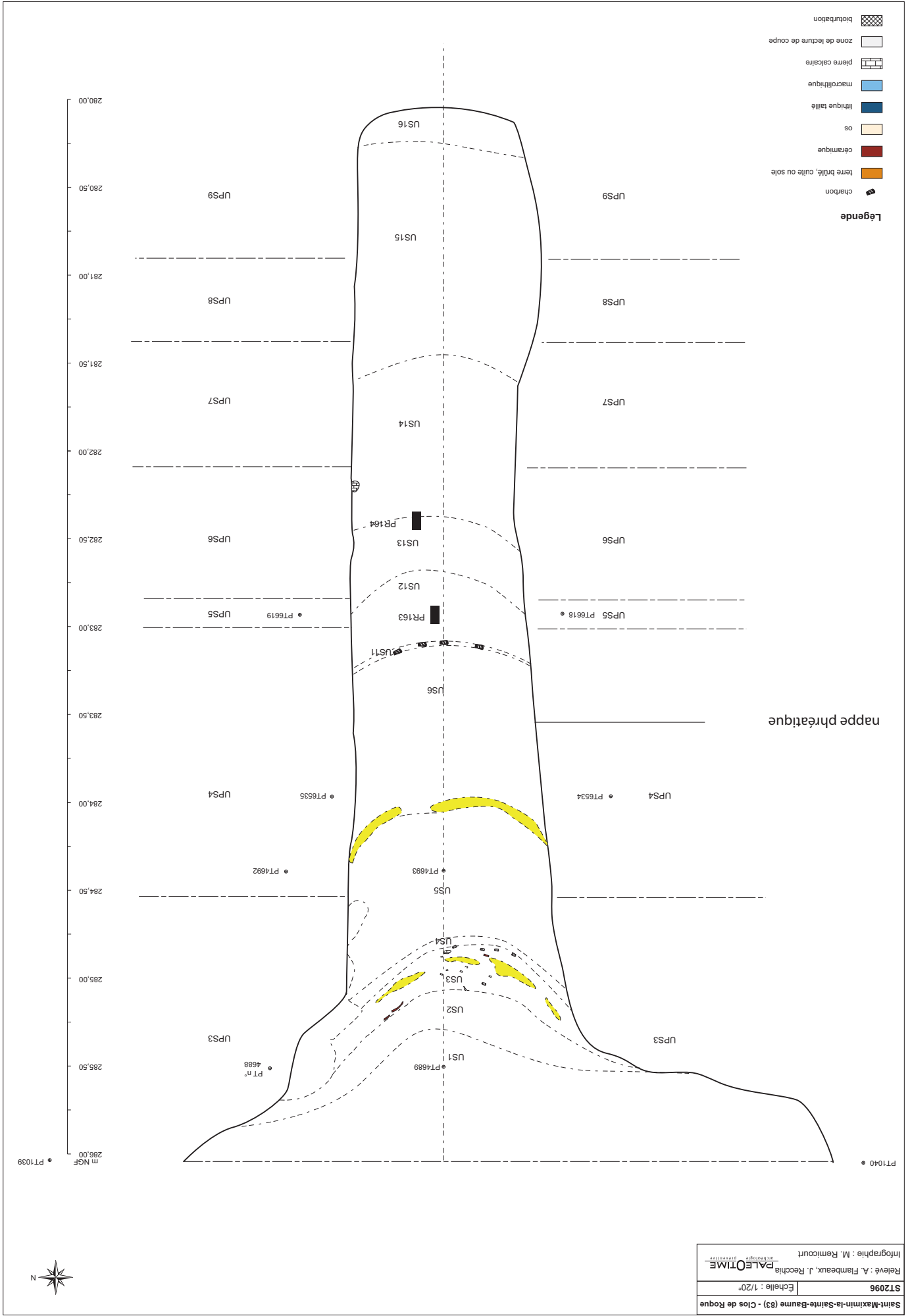


Figure 56 - Clos de Roque, Saint-Maximin-la-Sainte-Baume (83). Coupe stratigraphique nord-sud de la structure ST2096.

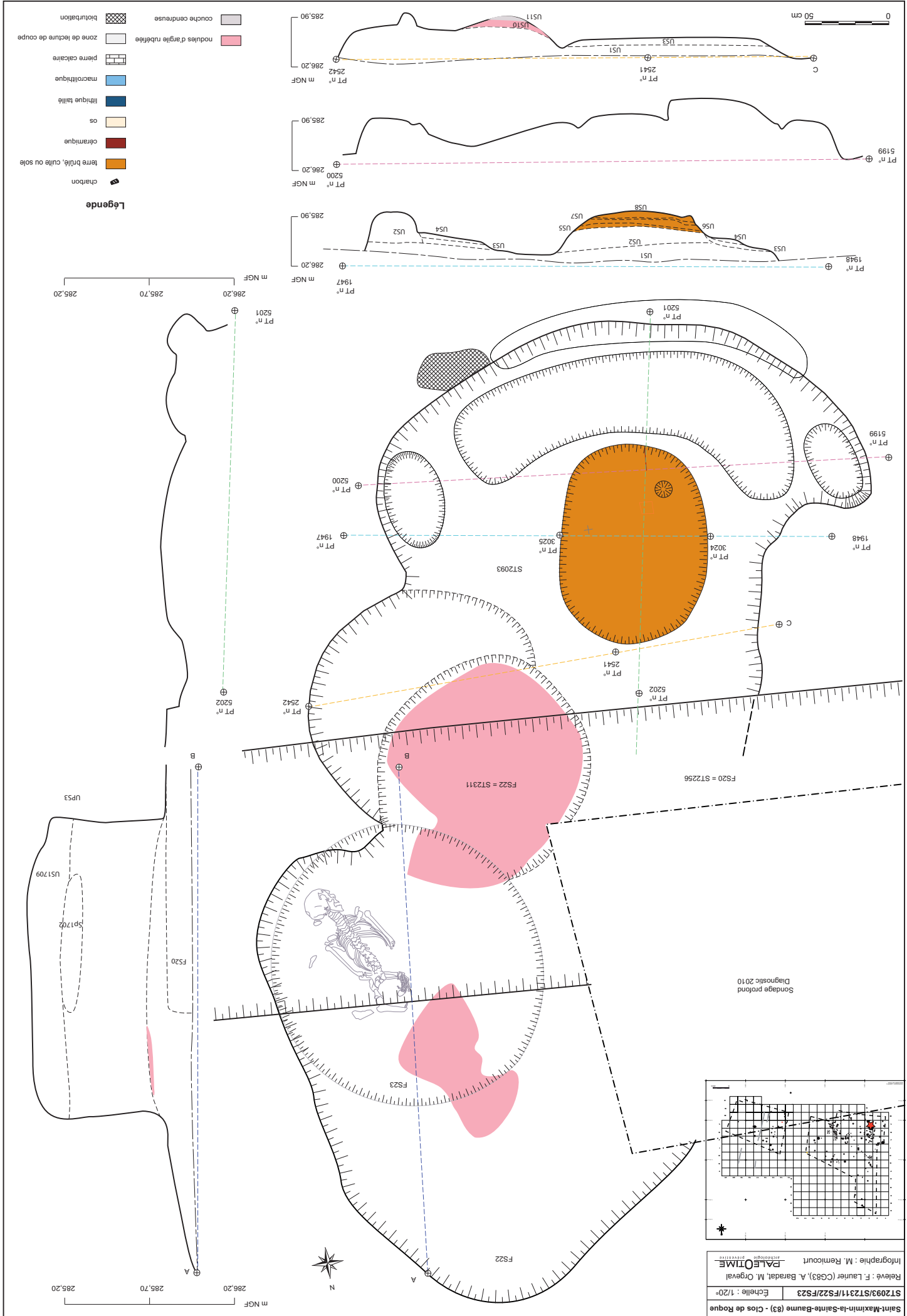


Figure 57 - Clos de Roque, Saint-Maximin-la-Sainte-Baume (83). Plan et coupes stratigraphiques de la structure ST2093-ST2311-FS22 qui recouvre la fosse sépulcrale FS23 (d'après Laurier 2010).



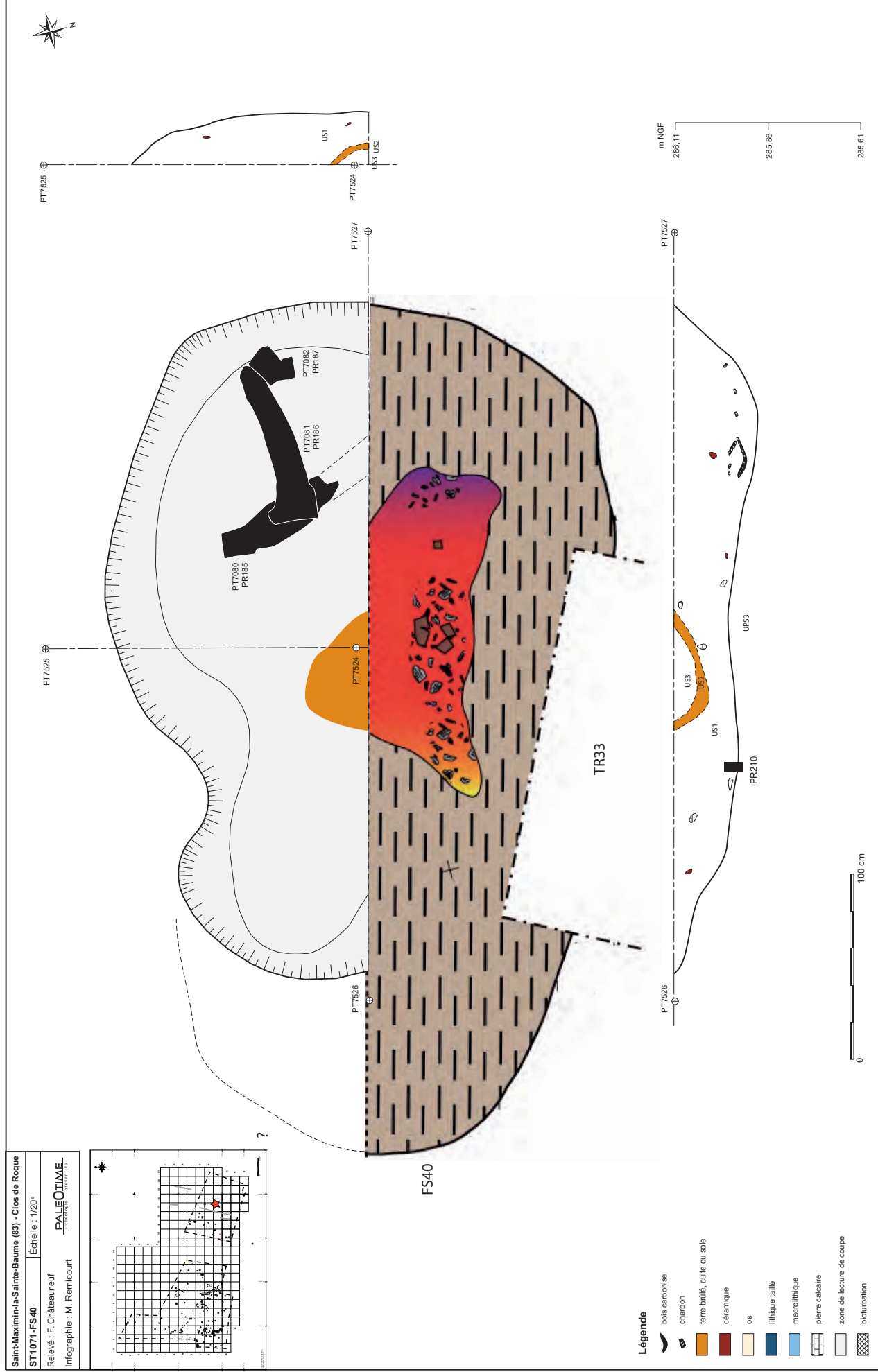


Figure 58 - Clos de Roque, Saint-Maximin-la-Sainte-Baume (83). Plan et coupes stratigraphiques de la structure ST1071-FS40 (d'après Laurier 2010).



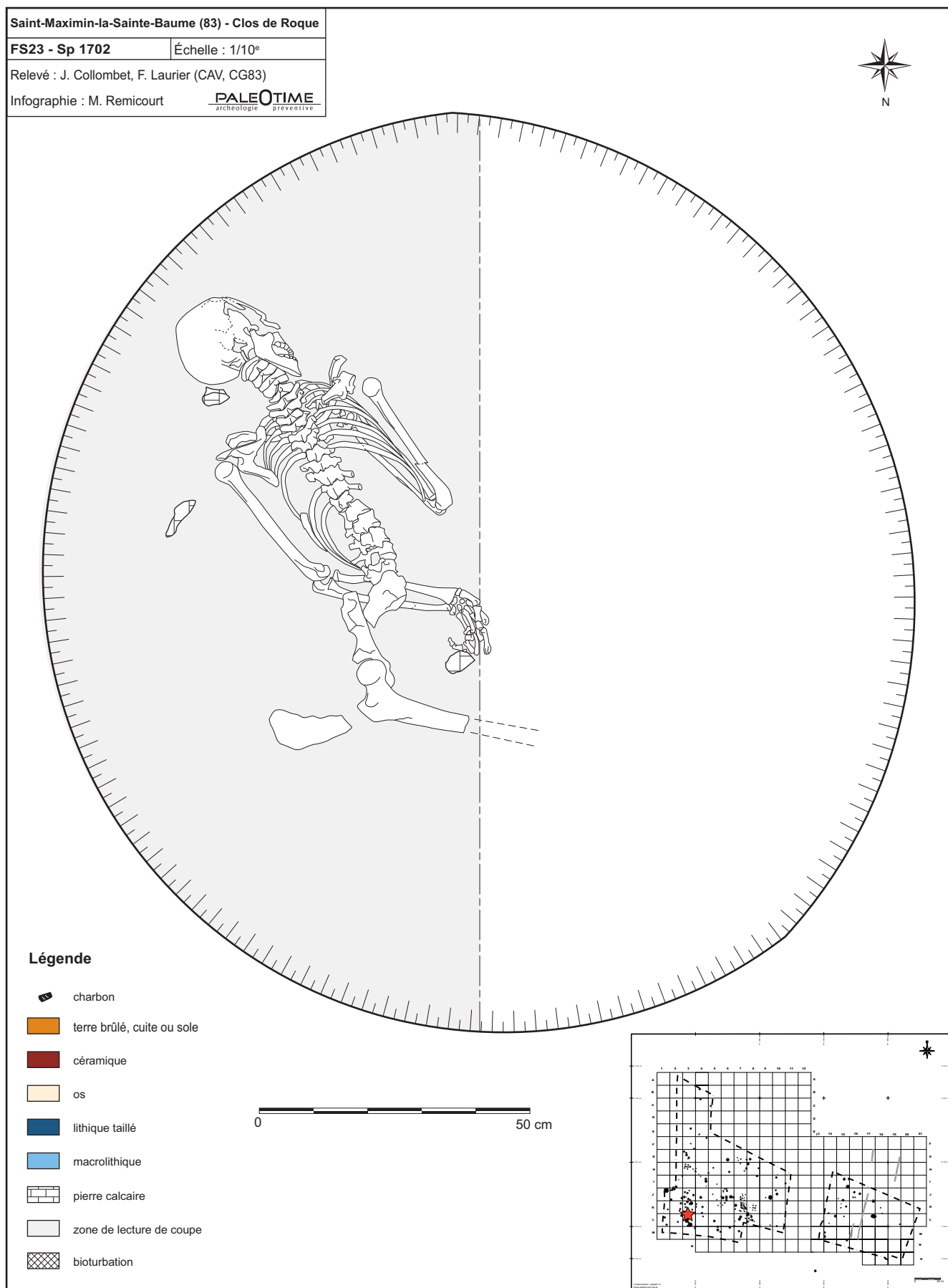


Figure 60 - Le Clos de Roque, Saint-Maximin-la-Sainte-Baume (83). Plan de la structure FS23 (d'après Laurier 2010).

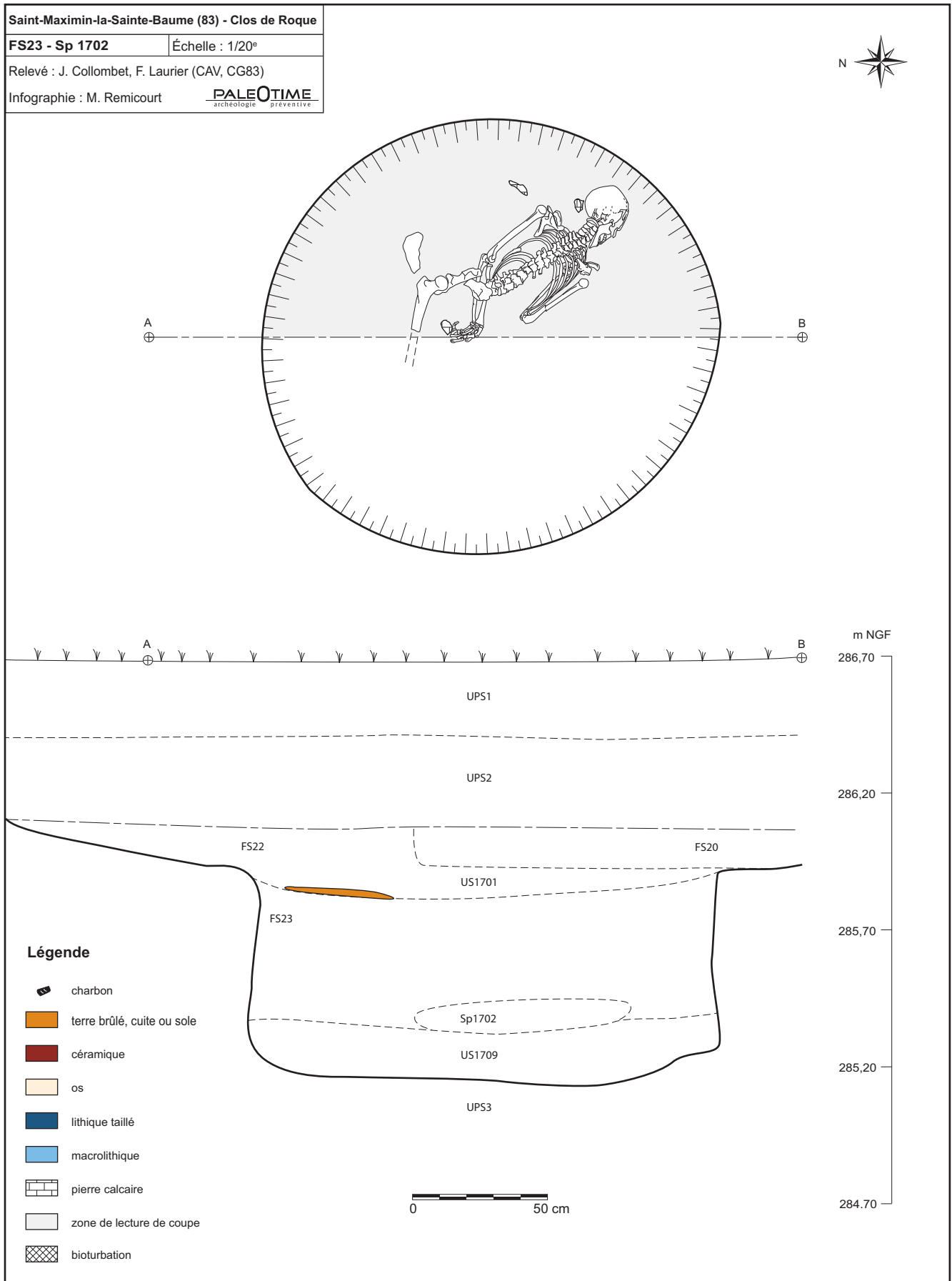


Figure 61 - Le Clos de Roque, Saint-Maximin-la-Sainte-Baume (83). Plan et coupe stratigraphique de la structure FS23 (d'après Laurier 2010).



Figure 62 - Le Clos de Roque, Saint-Maximin-la-Sainte-Baume (83). Plan de la structure ST2209.

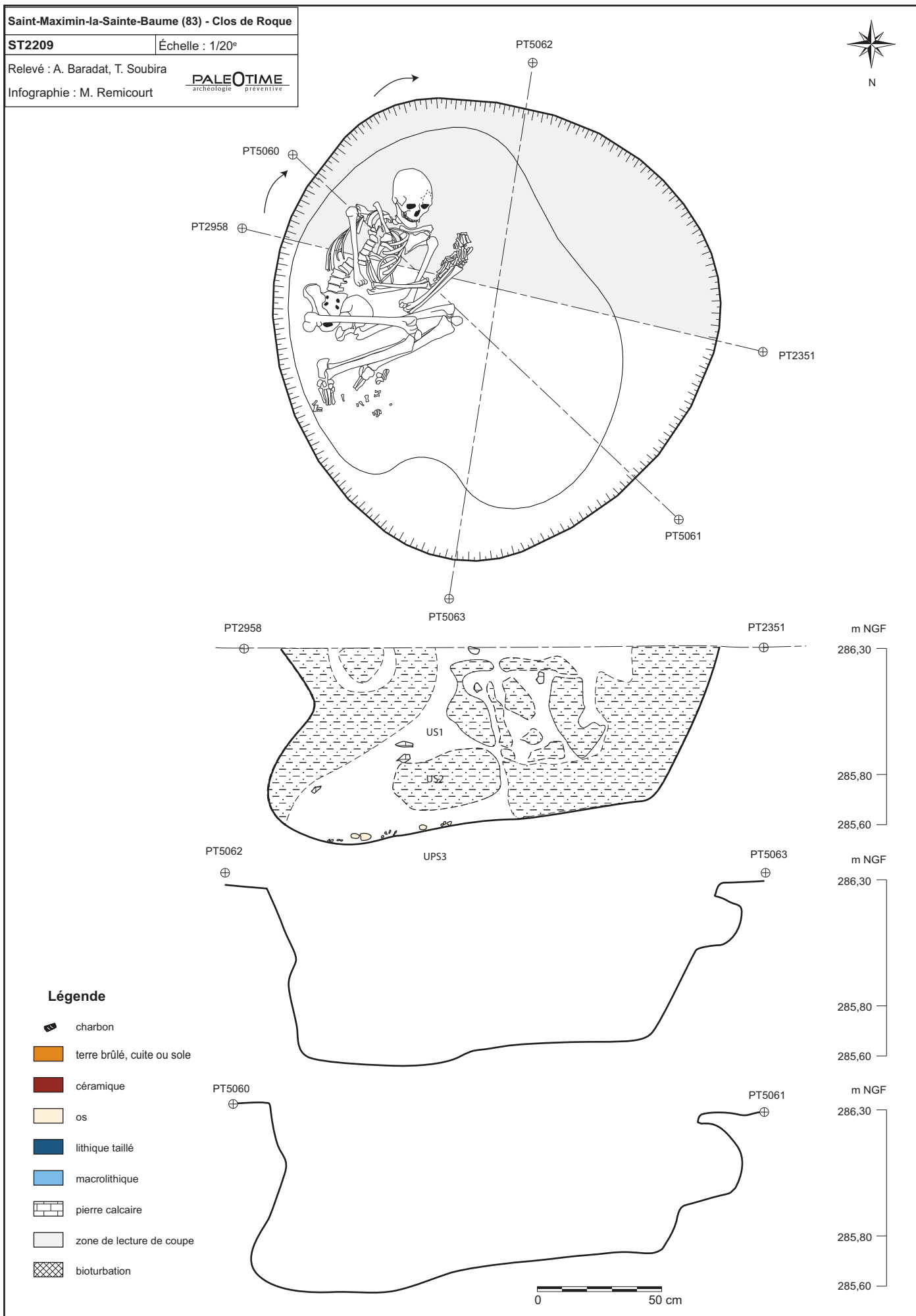


Figure 63 - Le Clos de Roque, Saint-Maximin-la-Sainte-Baume (83). Plan et coupe stratigraphique de la structure ST2209.

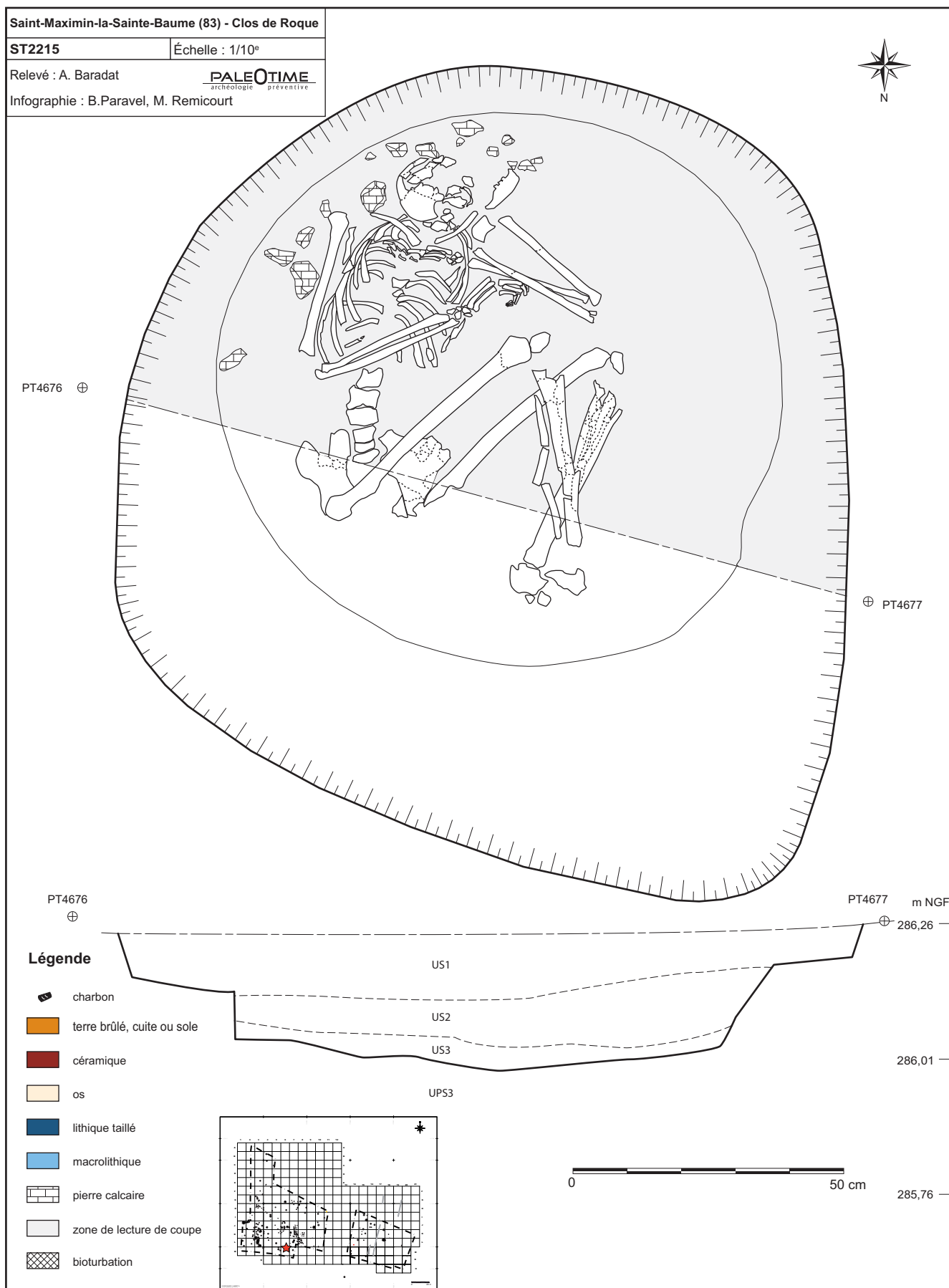


Figure 64 - Le Clos de Roque, Saint-Maximin-la-Sainte-Baume (83). Plan et coupe stratigraphique de la structure ST2215.

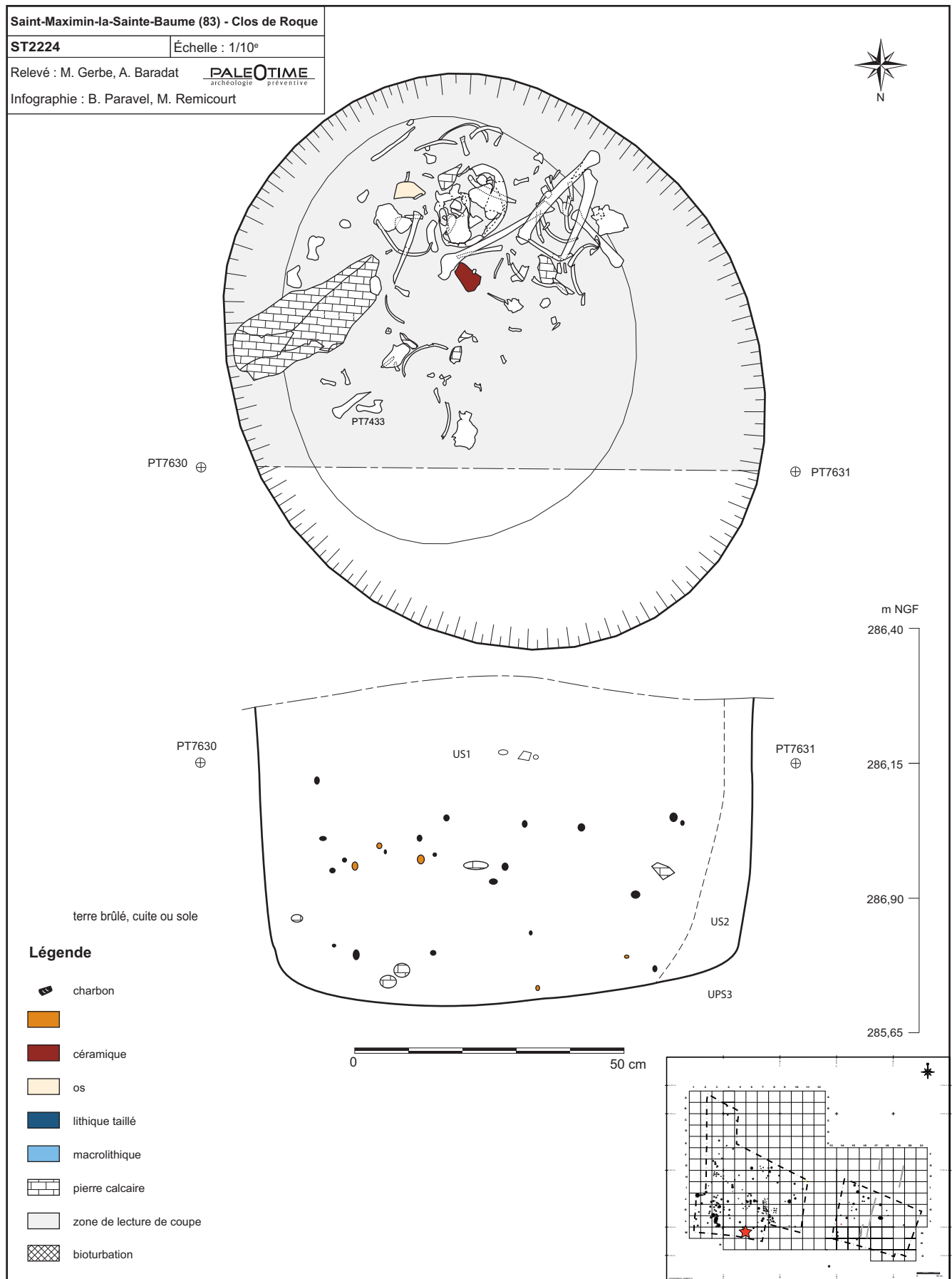


Figure 65 - Le Clos de Roque, Saint-Maximin-la-Sainte-Baume (83). Plan et coupe stratigraphique de la structure ST2224.



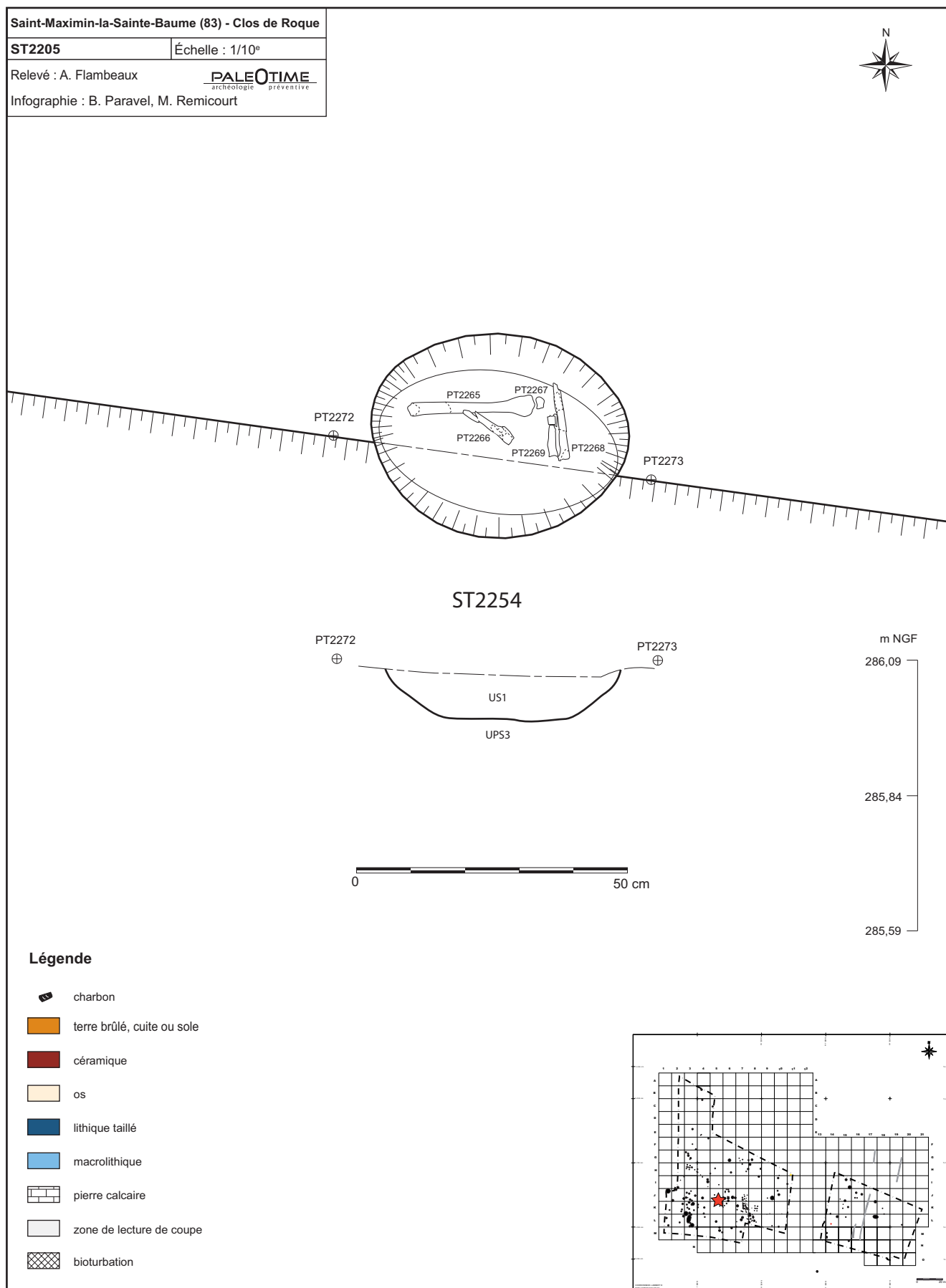


Figure 66 - Le Clos de Roque, Saint-Maximin-la-Sainte-Baume (83). Plan et coupe stratigraphique de la structure ST2205.

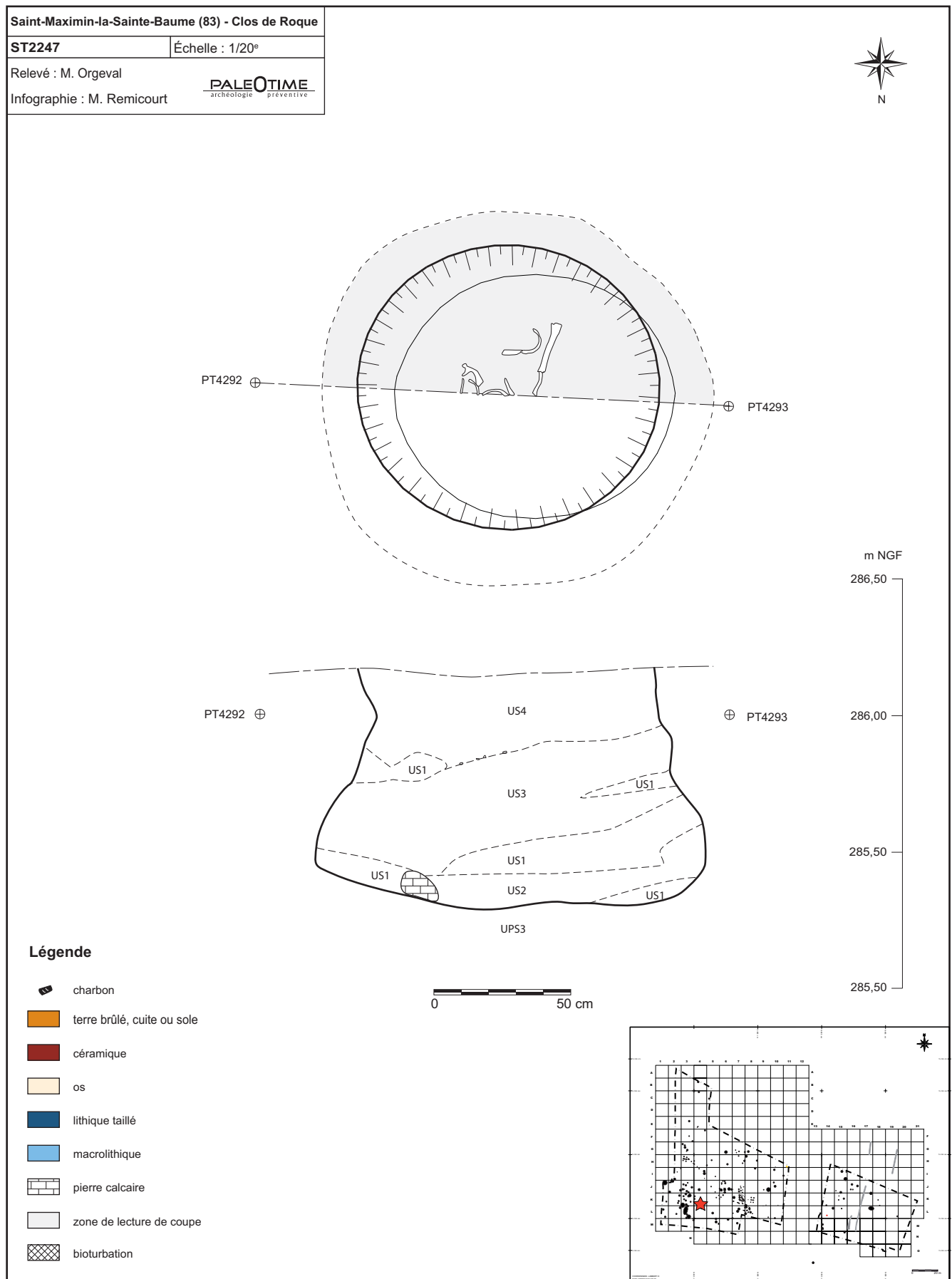


Figure 67 - Le Clos de Roque, Saint-Maximin-la-Sainte-Baume (83). Plan et coupe stratigraphique de la structure ST2247.

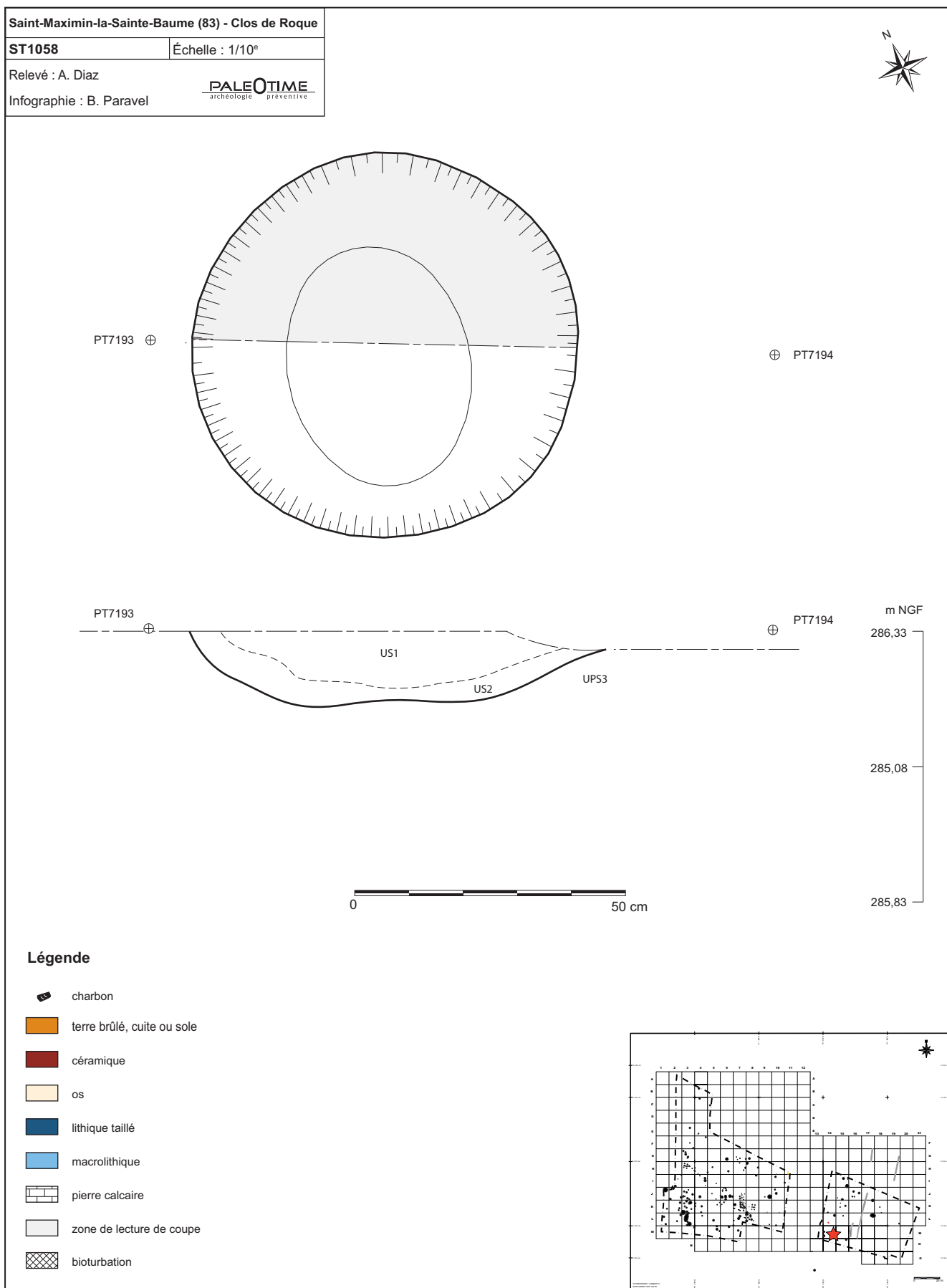


Figure 68 - Le Clos de Roque, Saint-Maximin-la-Sainte-Baume (83). Plan et coupe stratigraphique de la structure ST1058.

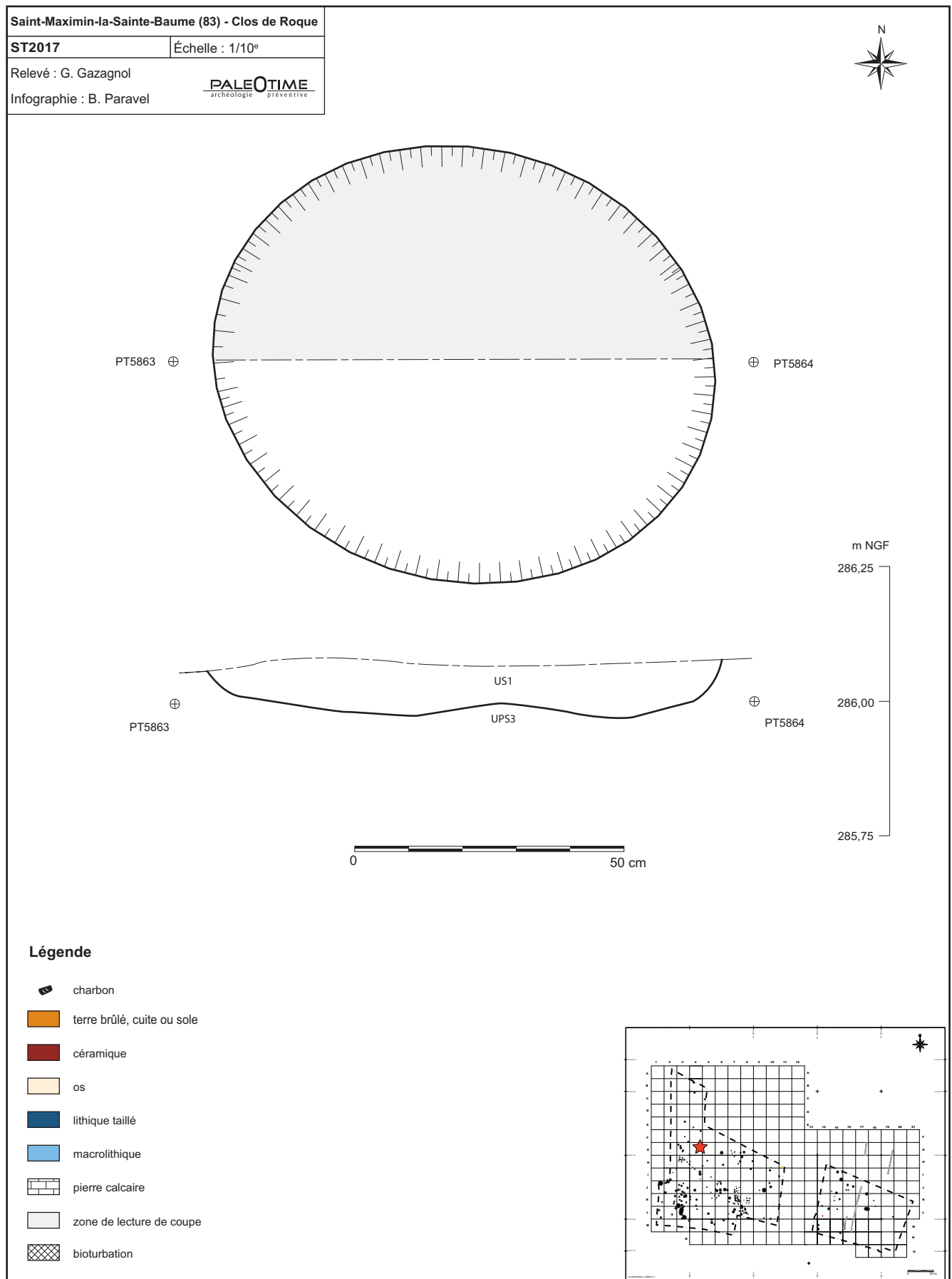


Figure 69 - Le Clos de Roque, Saint-Maximin-la-Sainte-Baume (83). Plan et coupe stratigraphique de la structure ST2017.

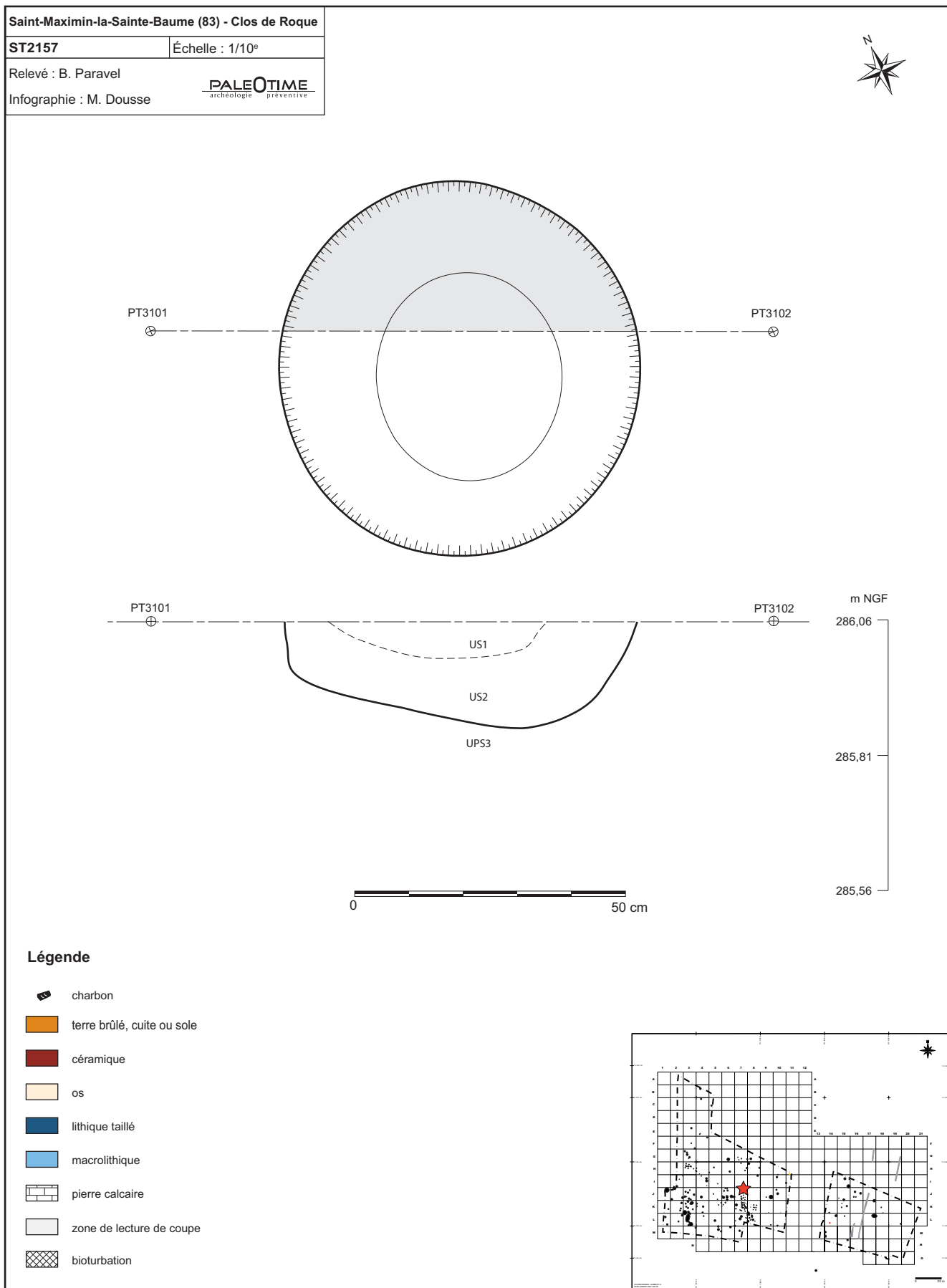


Figure 70 - Le Clos de Roque, Saint-Maximin-la-Sainte-Baume (83). Plan et coupe stratigraphique de la structure ST2157.

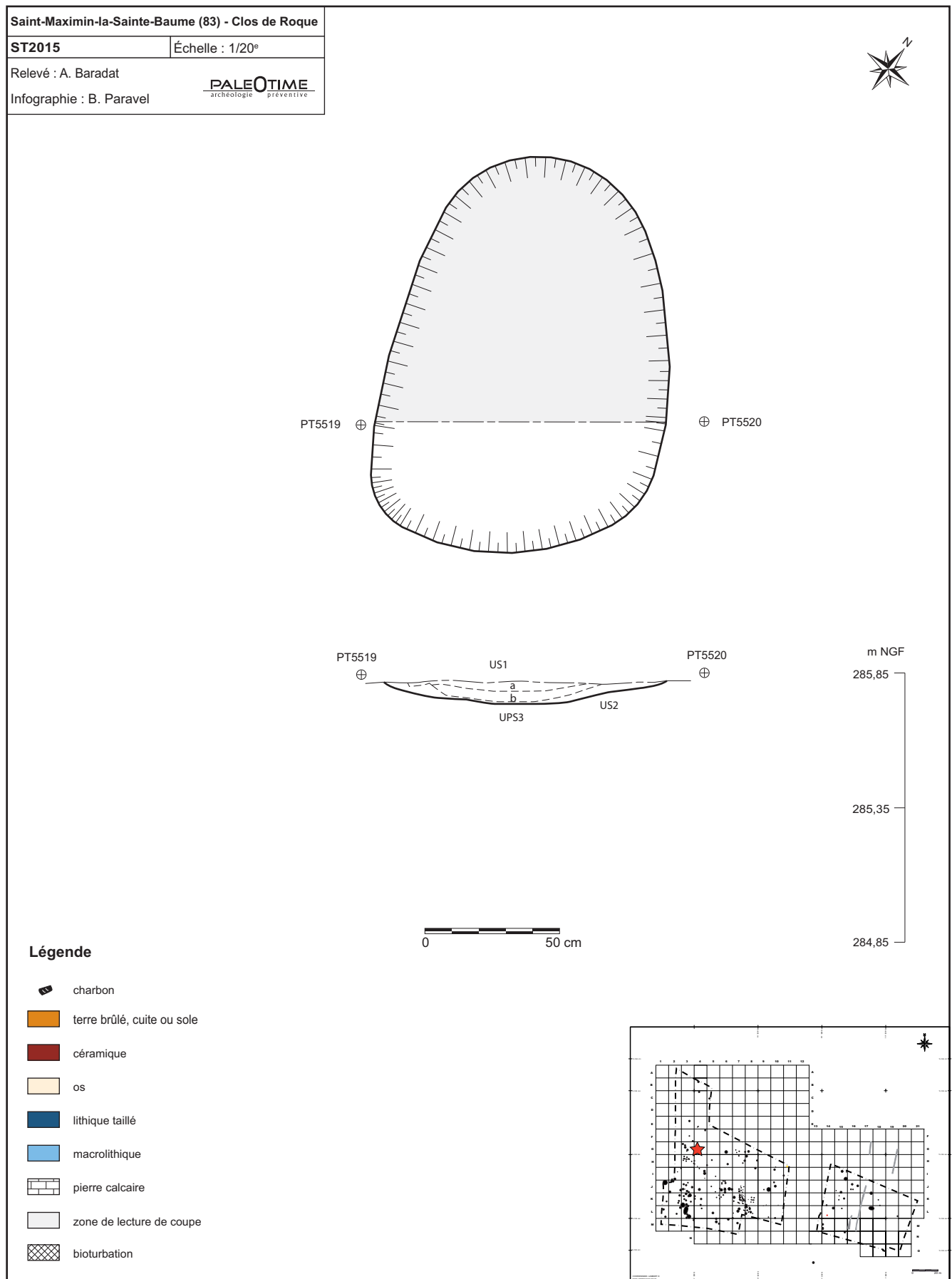


Figure 71 - Le Clos de Roque, Saint-Maximin-la-Sainte-Baume (83). Plan et coupe stratigraphique de la structure ST2015.

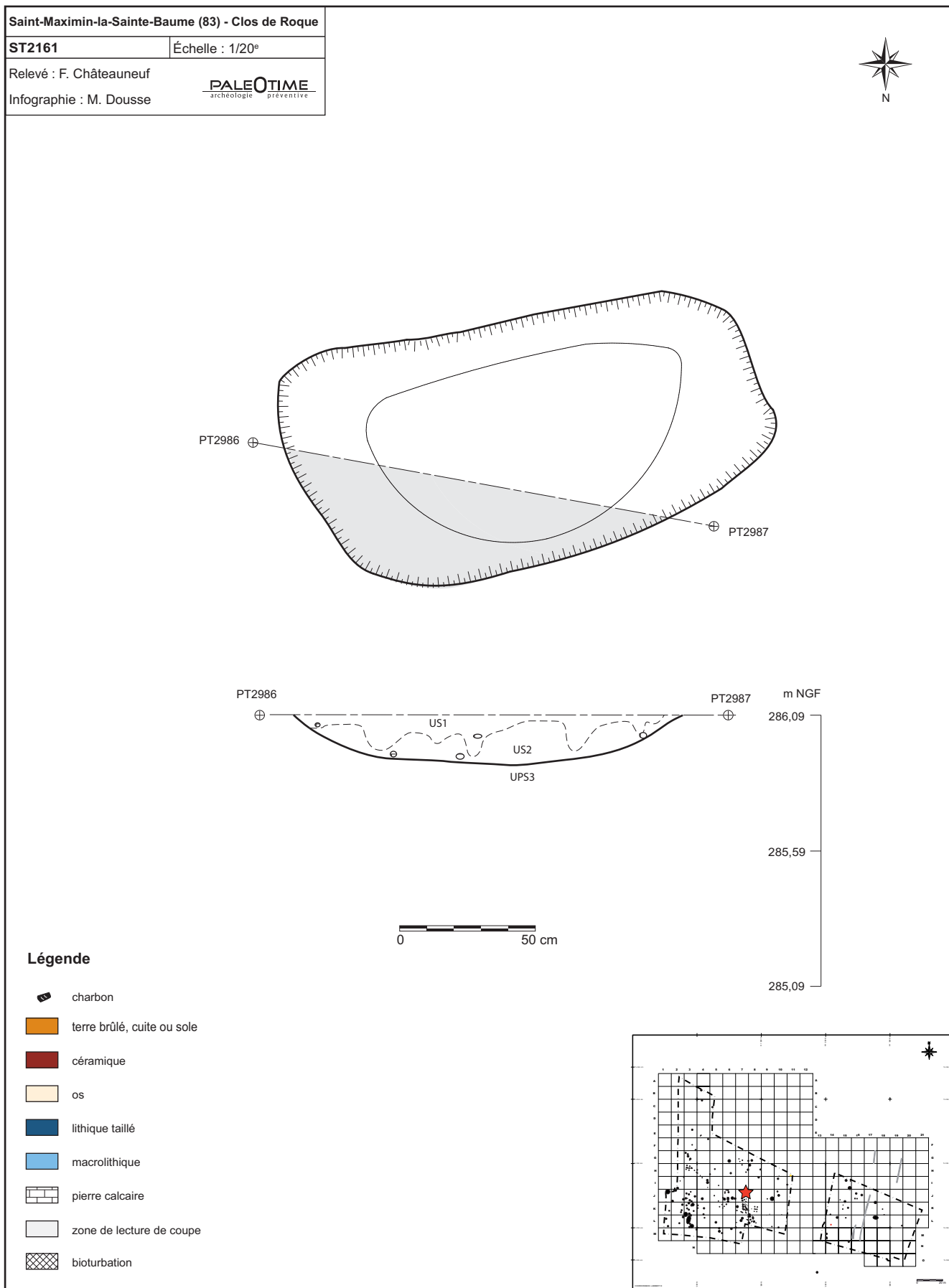


Figure 72 - Le Clos de Roque, Saint-Maximin-la-Sainte-Baume (83). Plan et coupe stratigraphique de la structure ST2161.

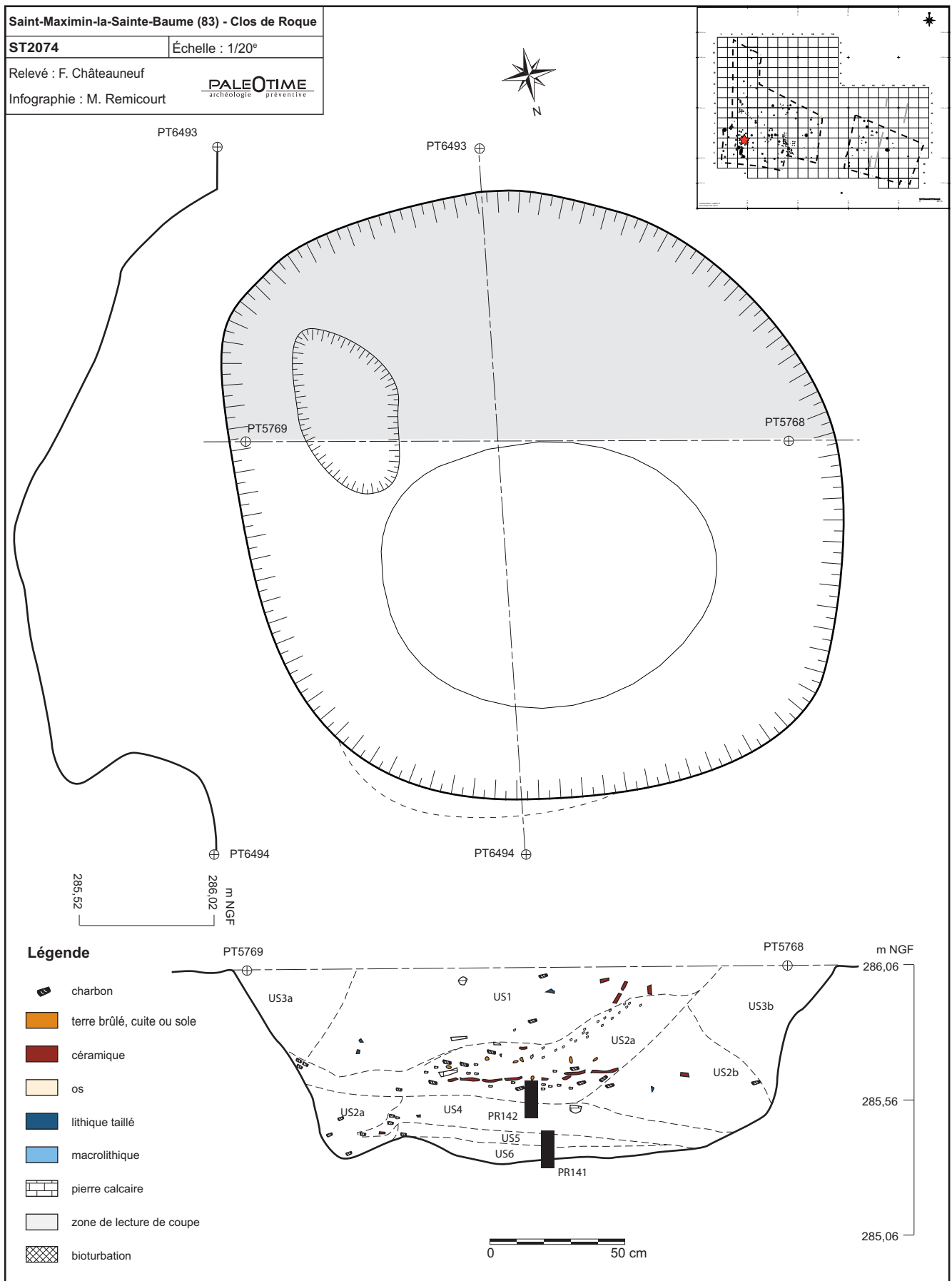


Figure 73 - Le Clos de Roque, Saint-Maximin-la-Sainte-Baume (83). Plan et coupe stratigraphique de la structure ST2074.



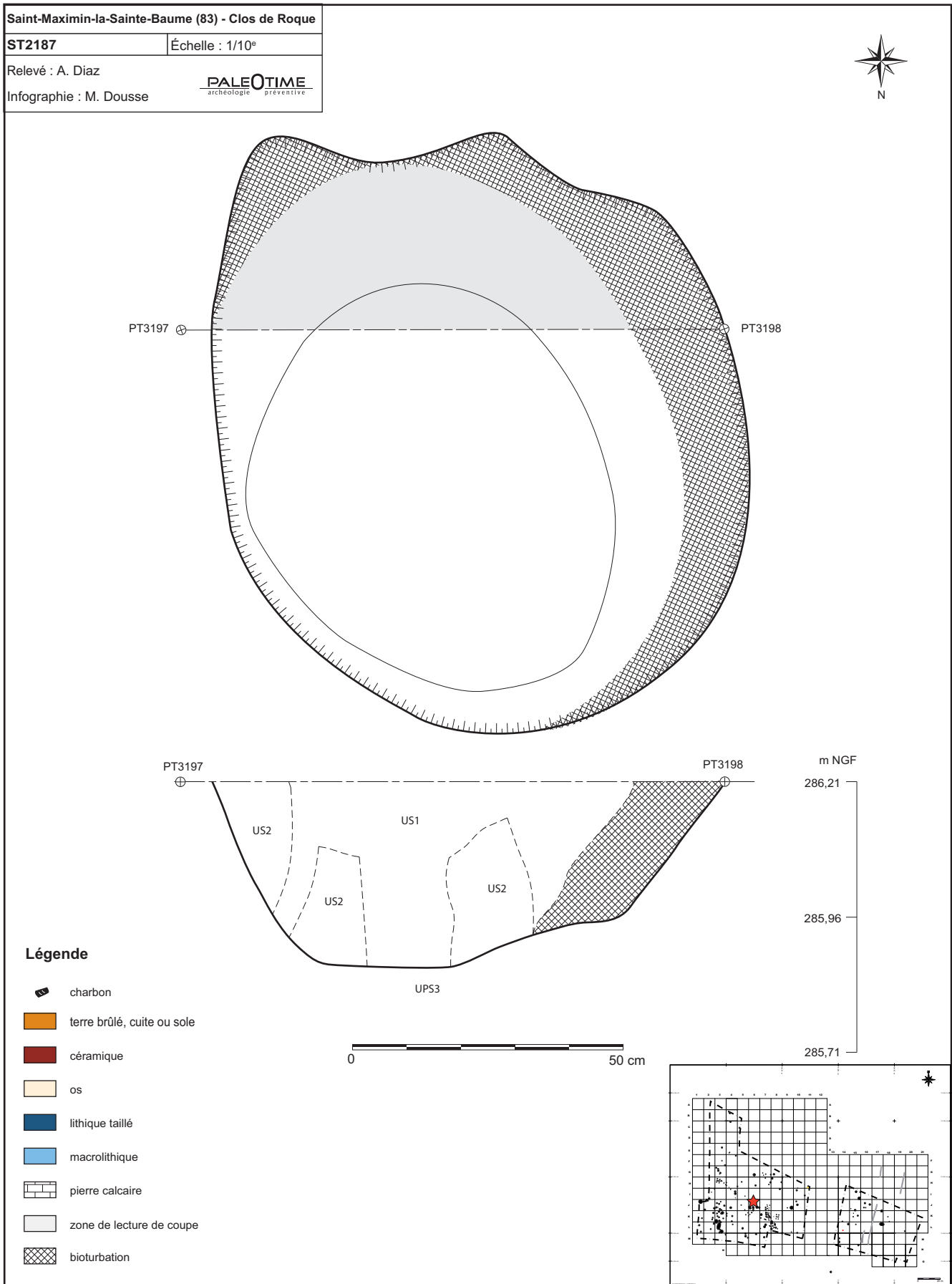


Figure 74 - Le Clos de Roque, Saint-Maximin-la-Sainte-Baume (83). Plan et coupe stratigraphique de la structure ST2187.

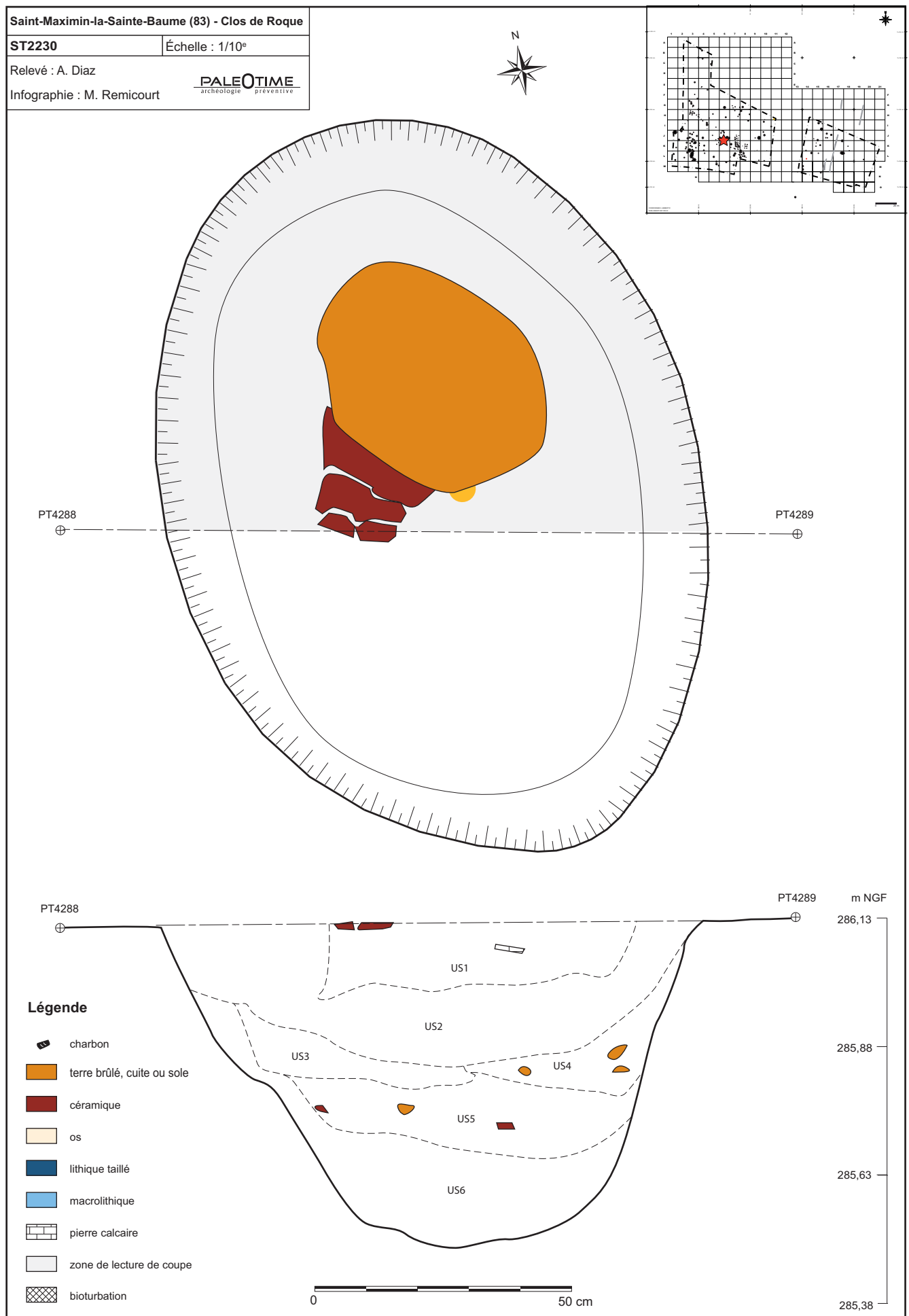


Figure 75 - Le Clos de Roque, Saint-Maximin-la-Sainte-Baume (83). Plan et coupe stratigraphique de la structure ST2230.

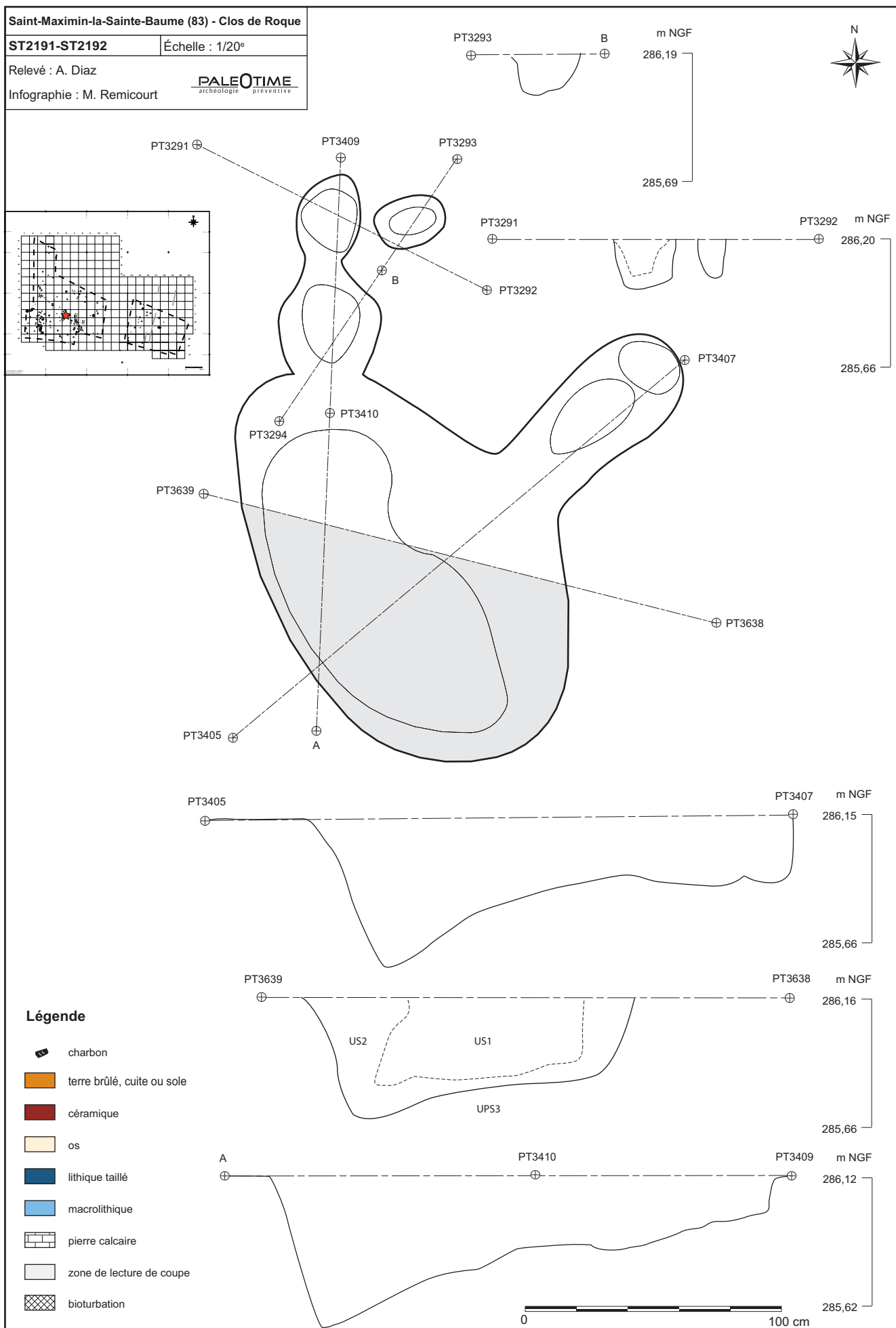


Figure 76 - Le Clos de Roque, Saint-Maximin-la-Sainte-Baume (83). Plan et coupe stratigraphique de la structure ST2191-ST2192.

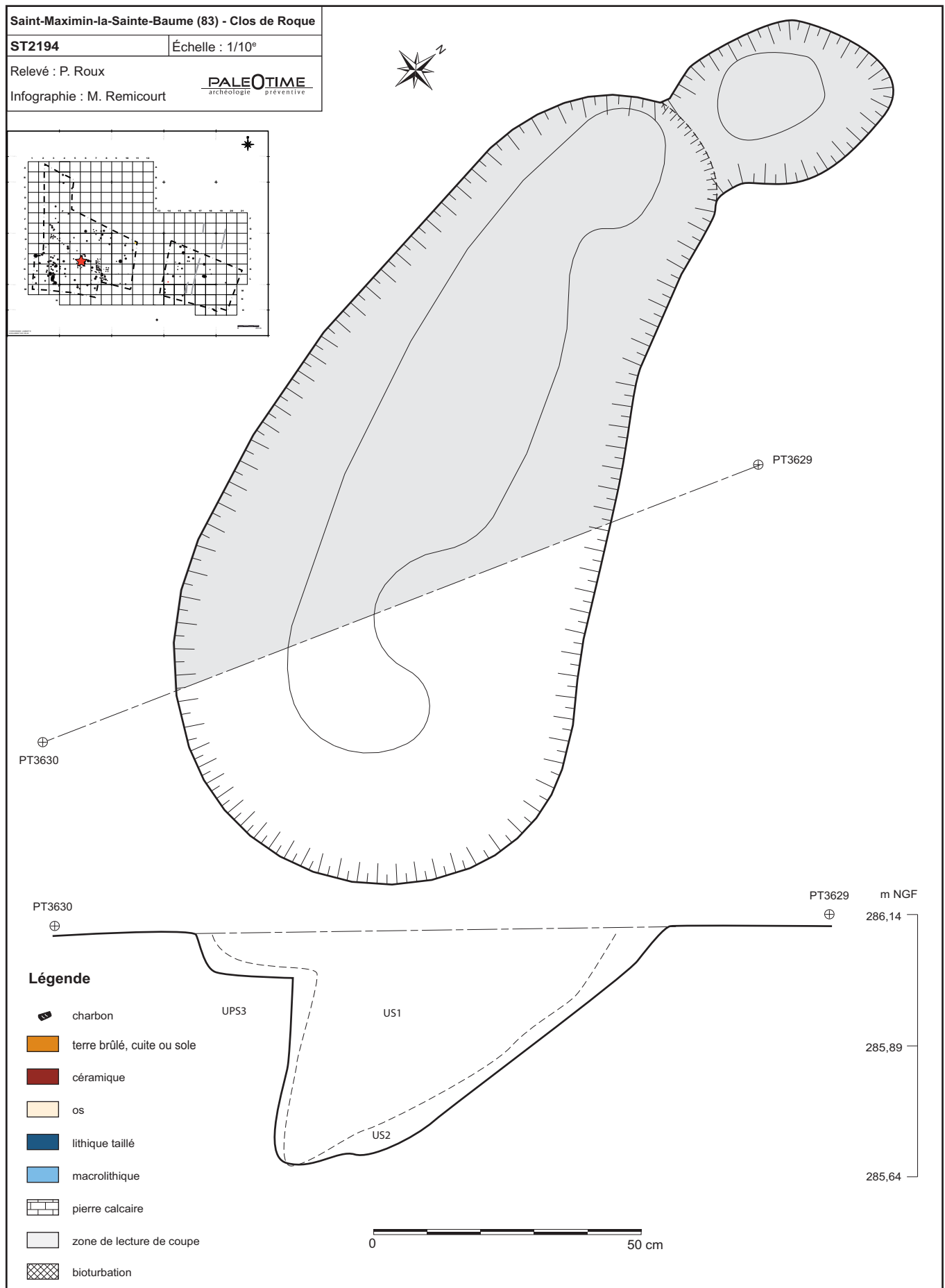


Figure 77 - Le Clos de Roque, Saint-Maximin-la-Sainte-Baume (83). Plan et coupe stratigraphique de la structure ST2194.

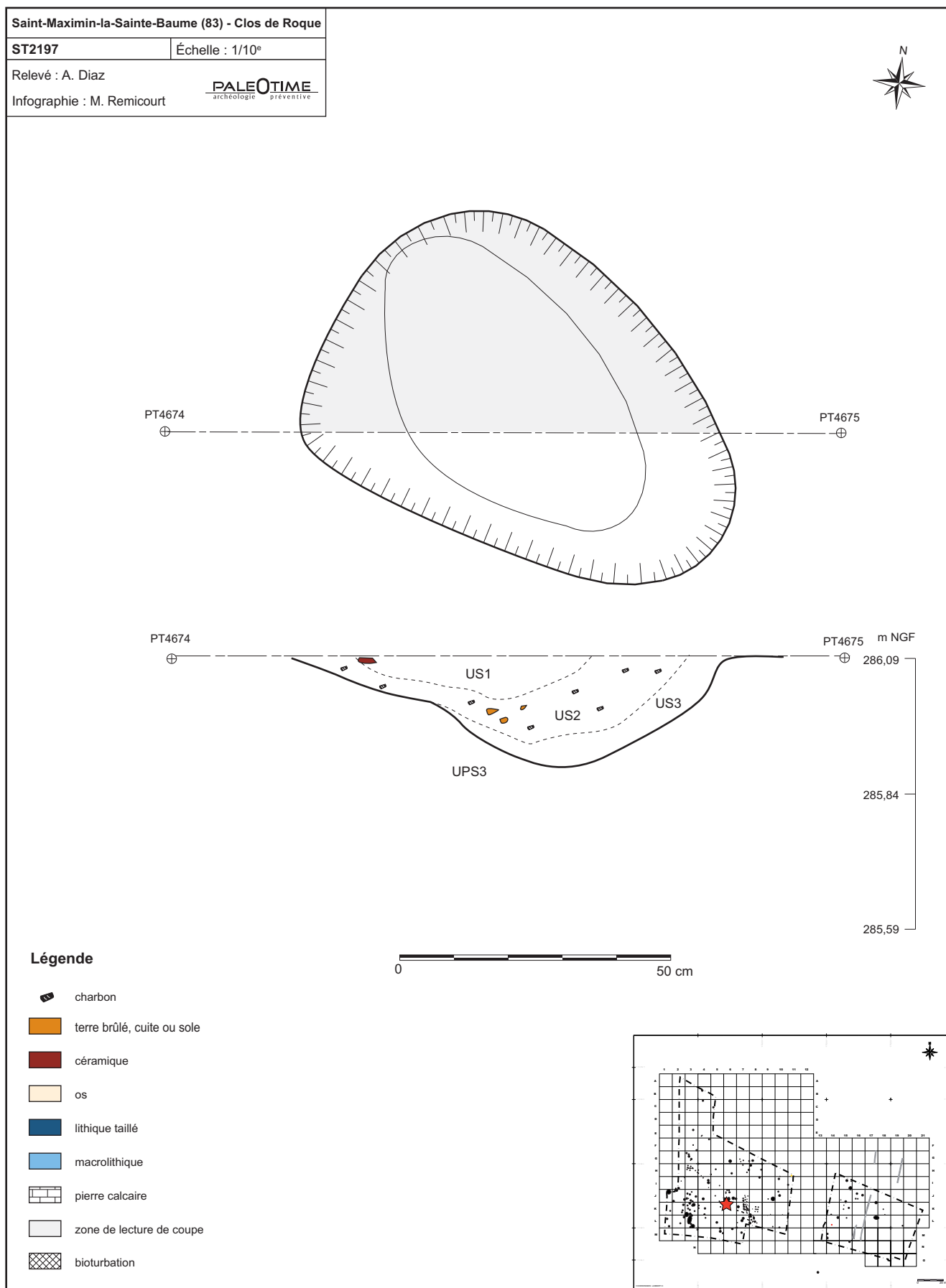


Figure 78 - Le Clos de Roque, Saint-Maximin-la-Sainte-Baume (83). Plan et coupe stratigraphique de la structure ST2197.

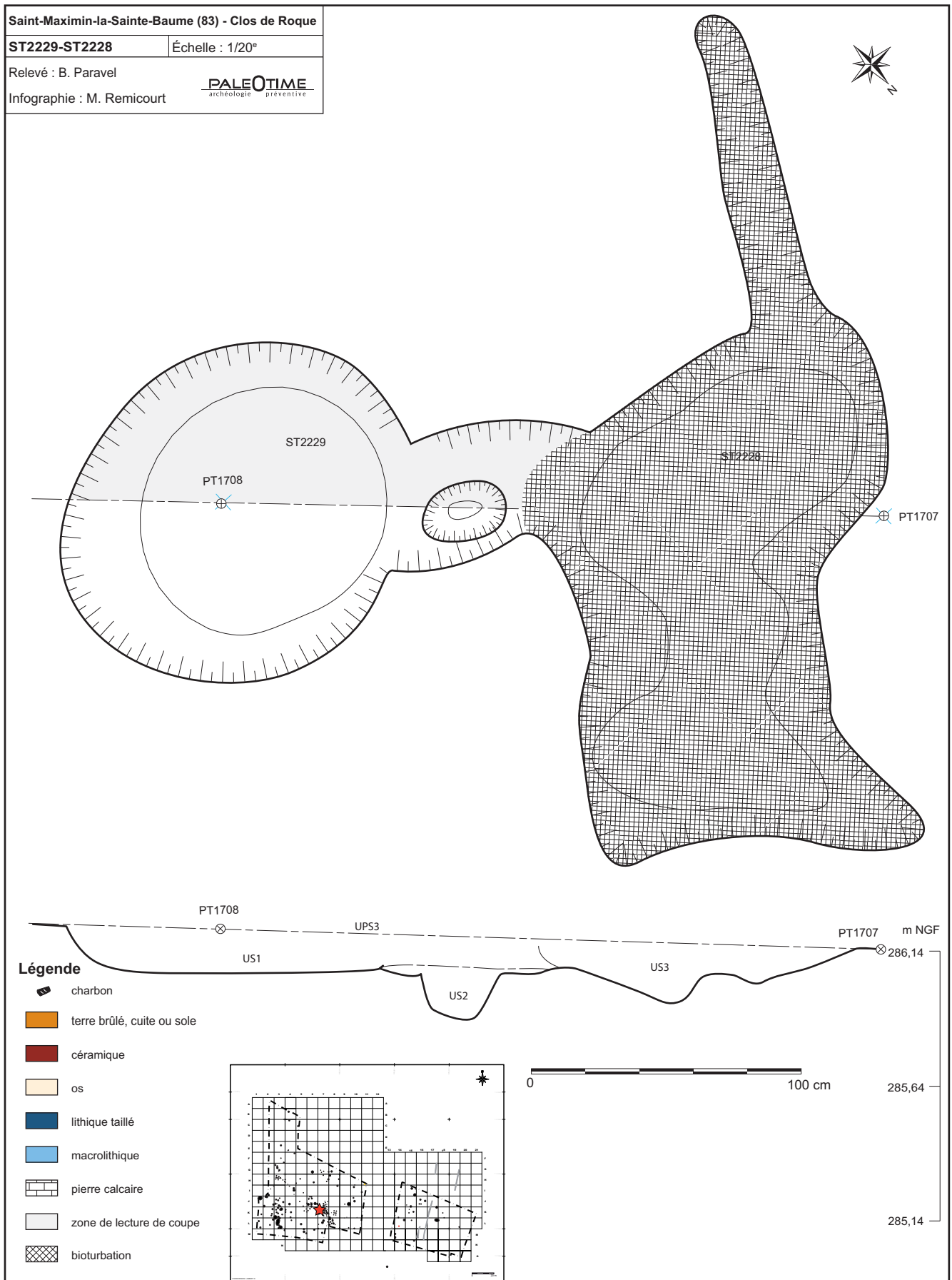


Figure 79 - Le Clos de Roque, Saint-Maximin-la-Sainte-Baume (83). Plan et coupe stratigraphique de la structure ST2229-ST2228.

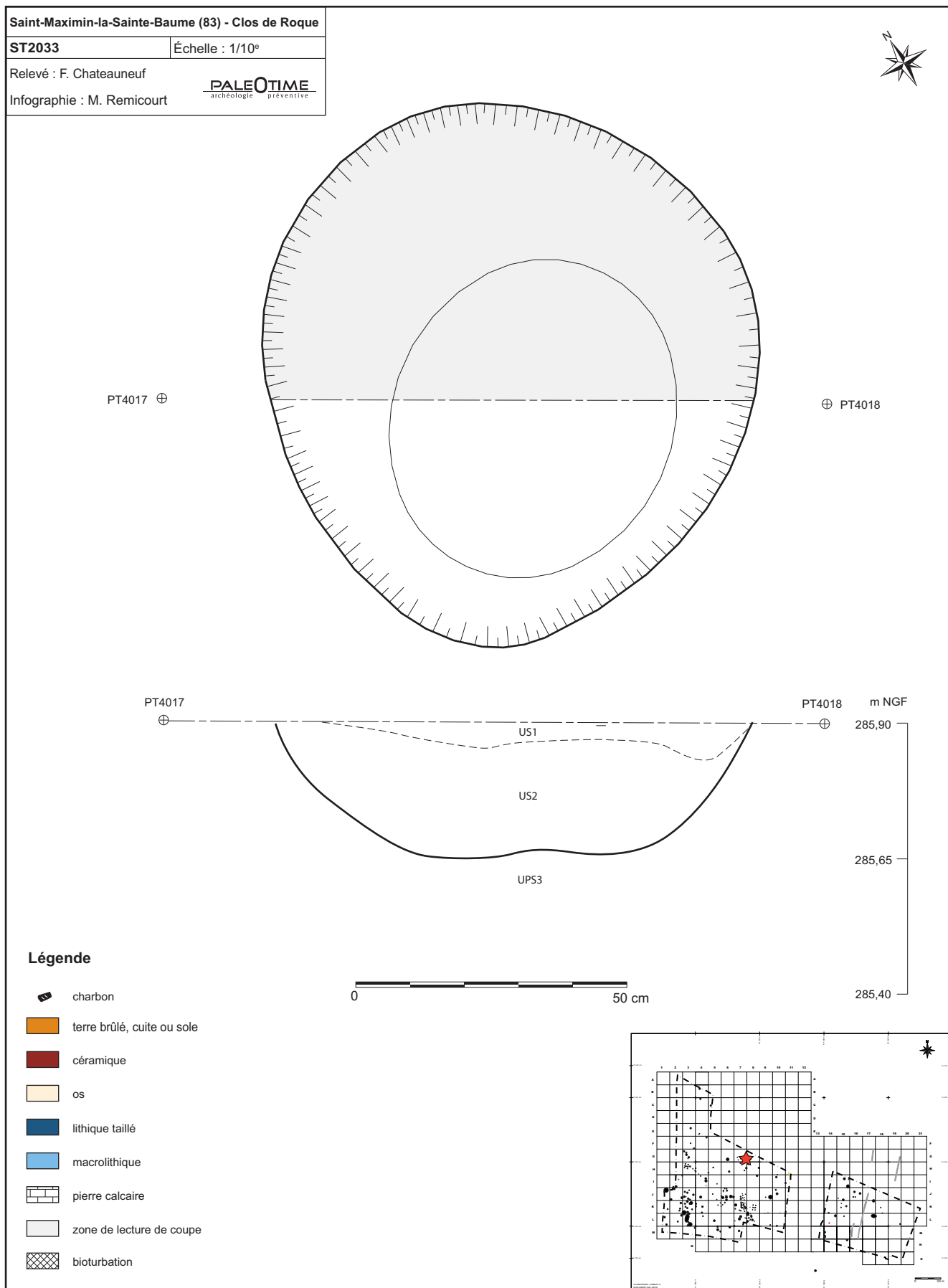


Figure 80 - Le Clos de Roque, Saint-Maximin-la-Sainte-Baume (83). Plan et coupe stratigraphique de la structure ST2033.

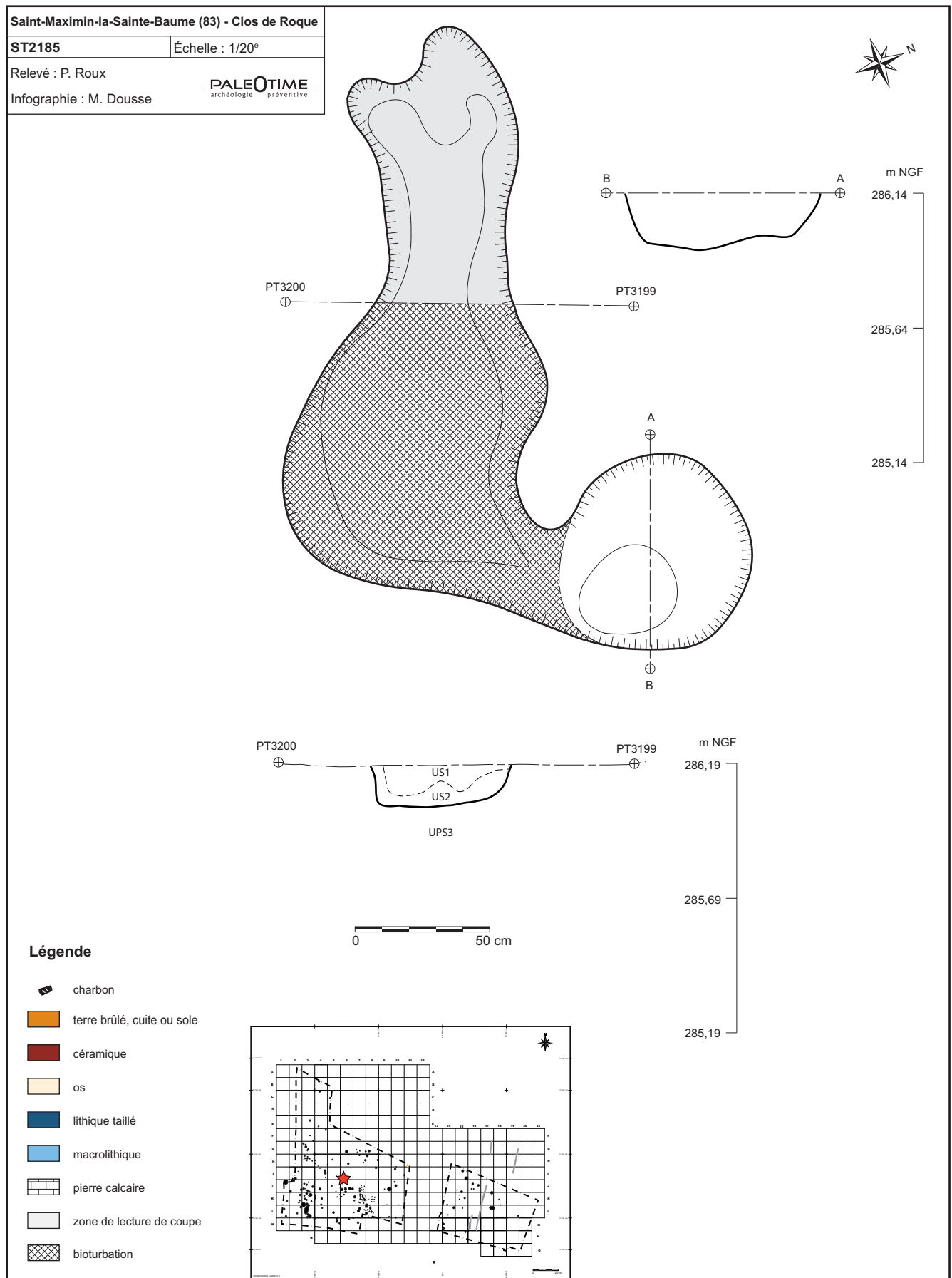


Figure 81 - Le Clos de Roque, Saint-Maximin-la-Sainte-Baume (83). Plan et coupe stratigraphique de la structure ST2185.



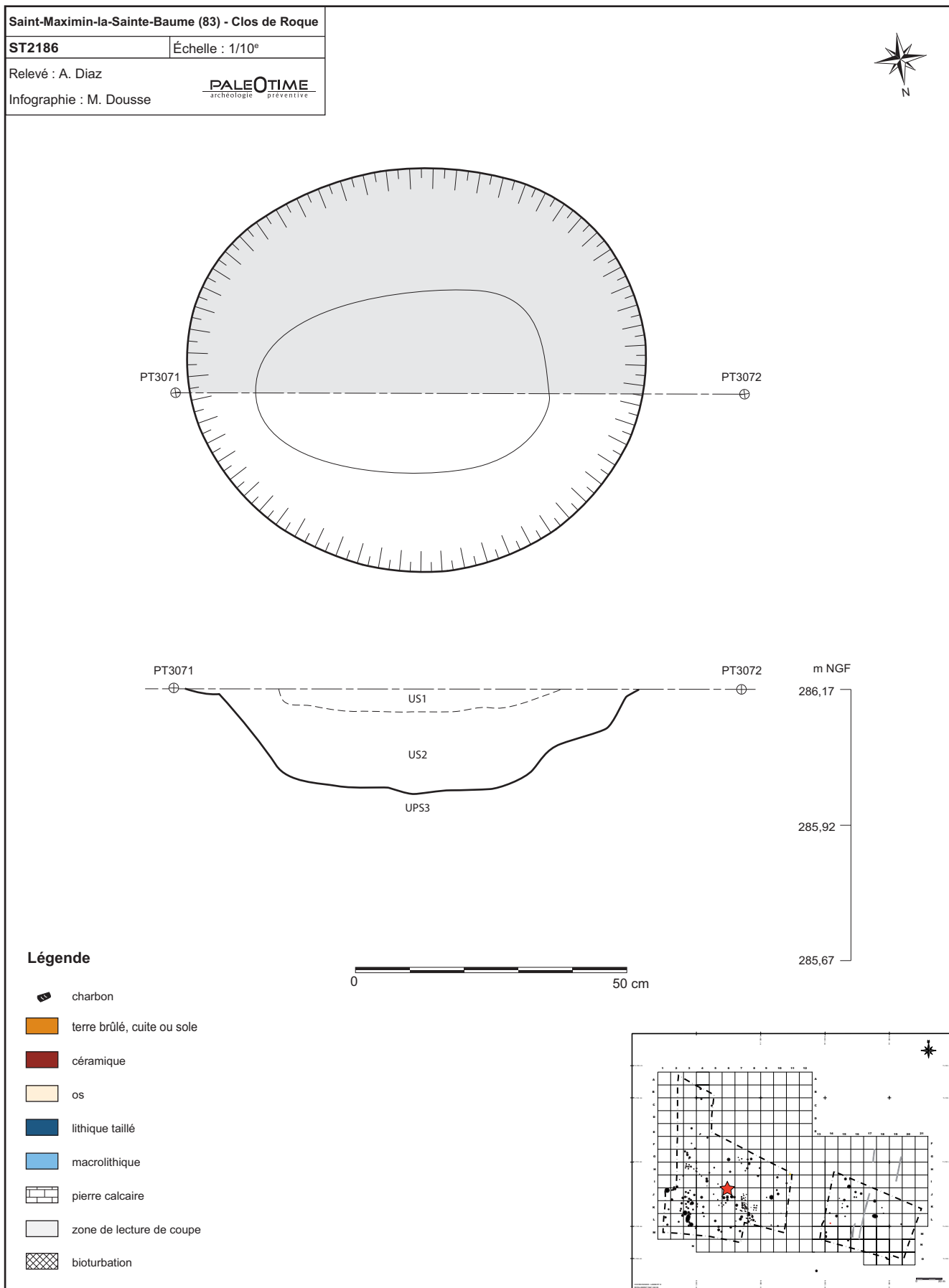


Figure 82 - Le Clos de Roque, Saint-Maximin-la-Sainte-Baume (83). Plan et coupe stratigraphique de la structure ST2186.

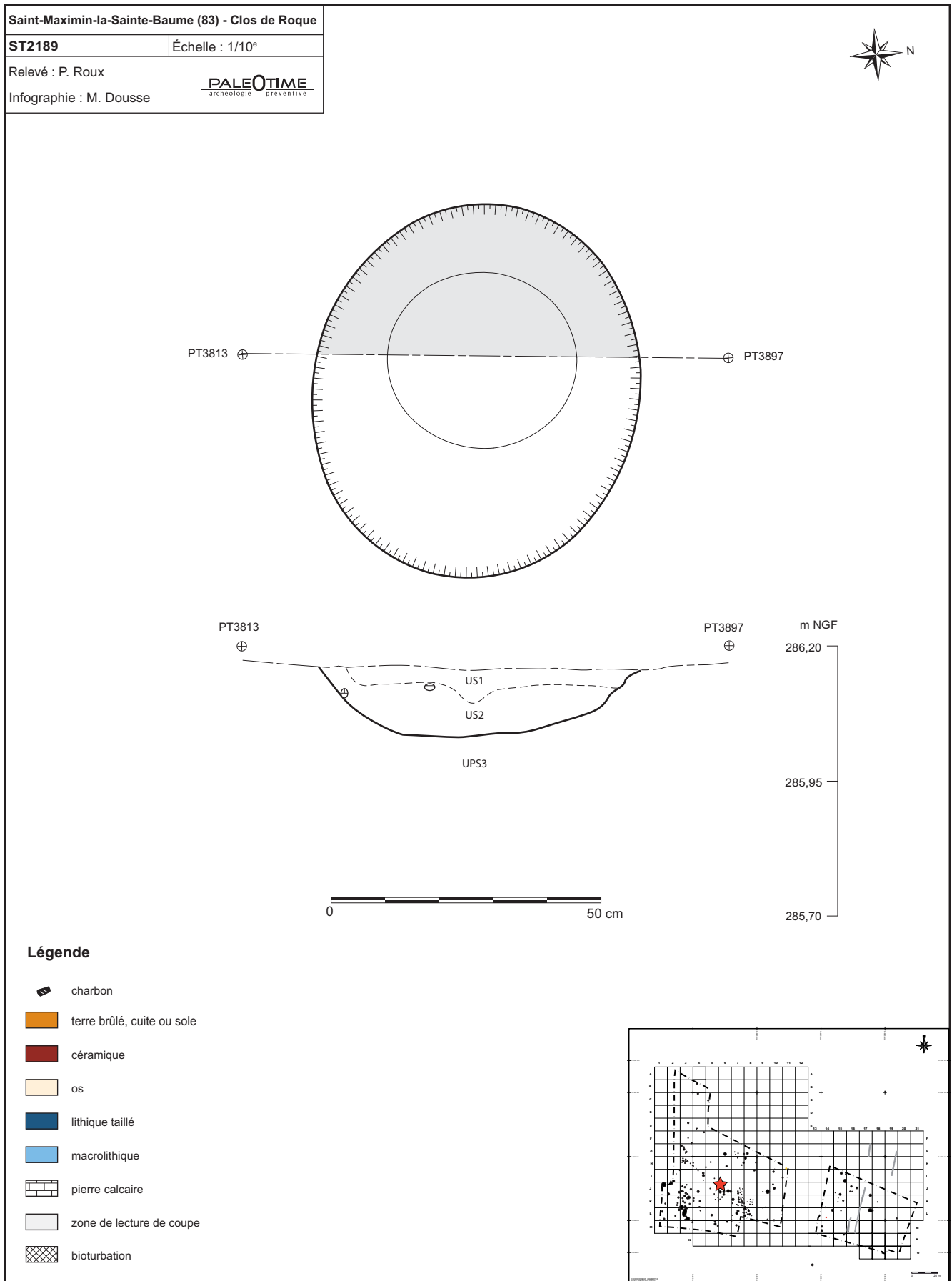


Figure 83 - Le Clos de Roque, Saint-Maximin-la-Sainte-Baume (83). Plan et coupe stratigraphique de la structure ST2189.

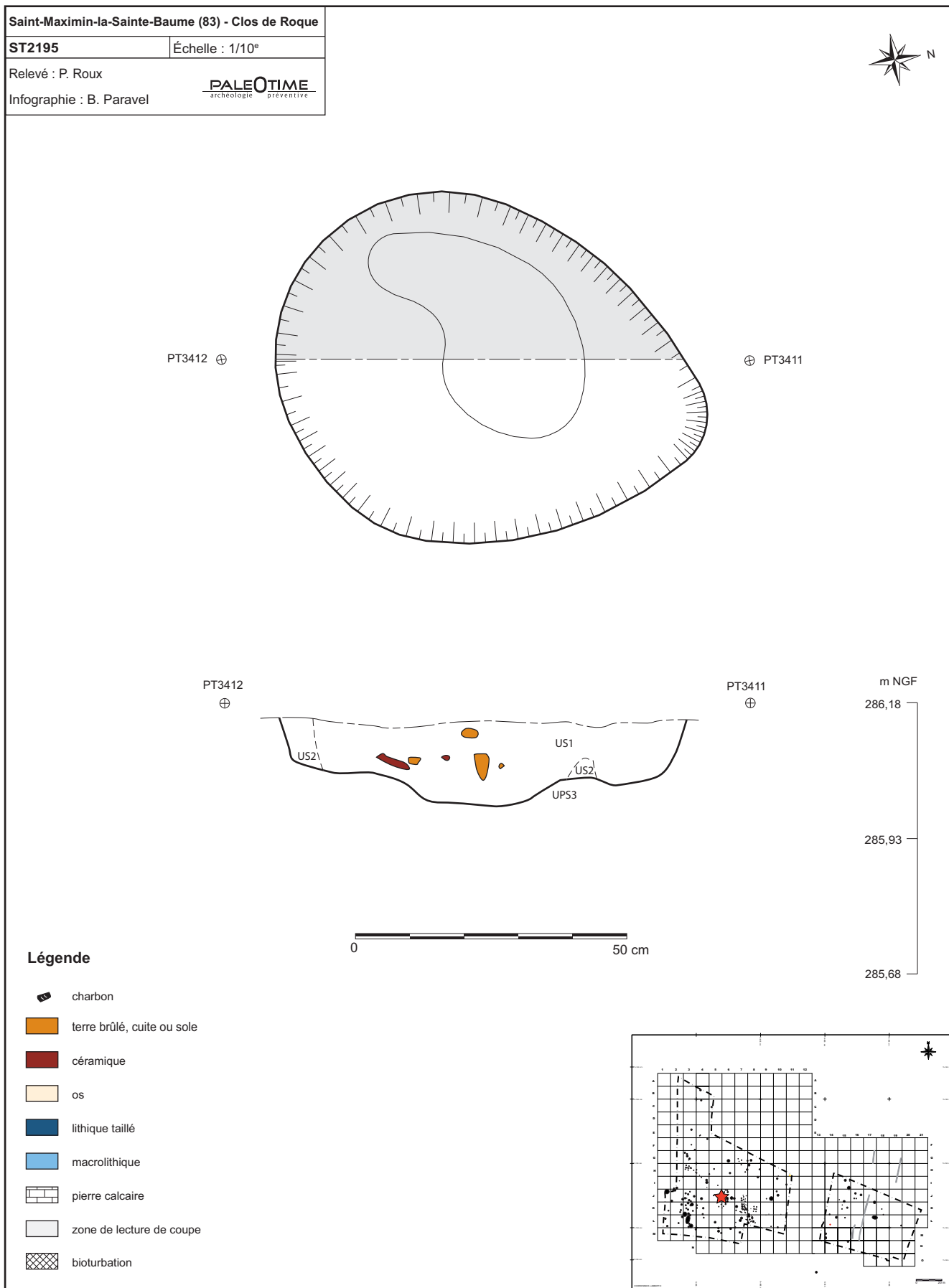


Figure 84 - Le Clos de Roque, Saint-Maximin-la-Sainte-Baume (83). Plan et coupe stratigraphique de la structure ST2195.

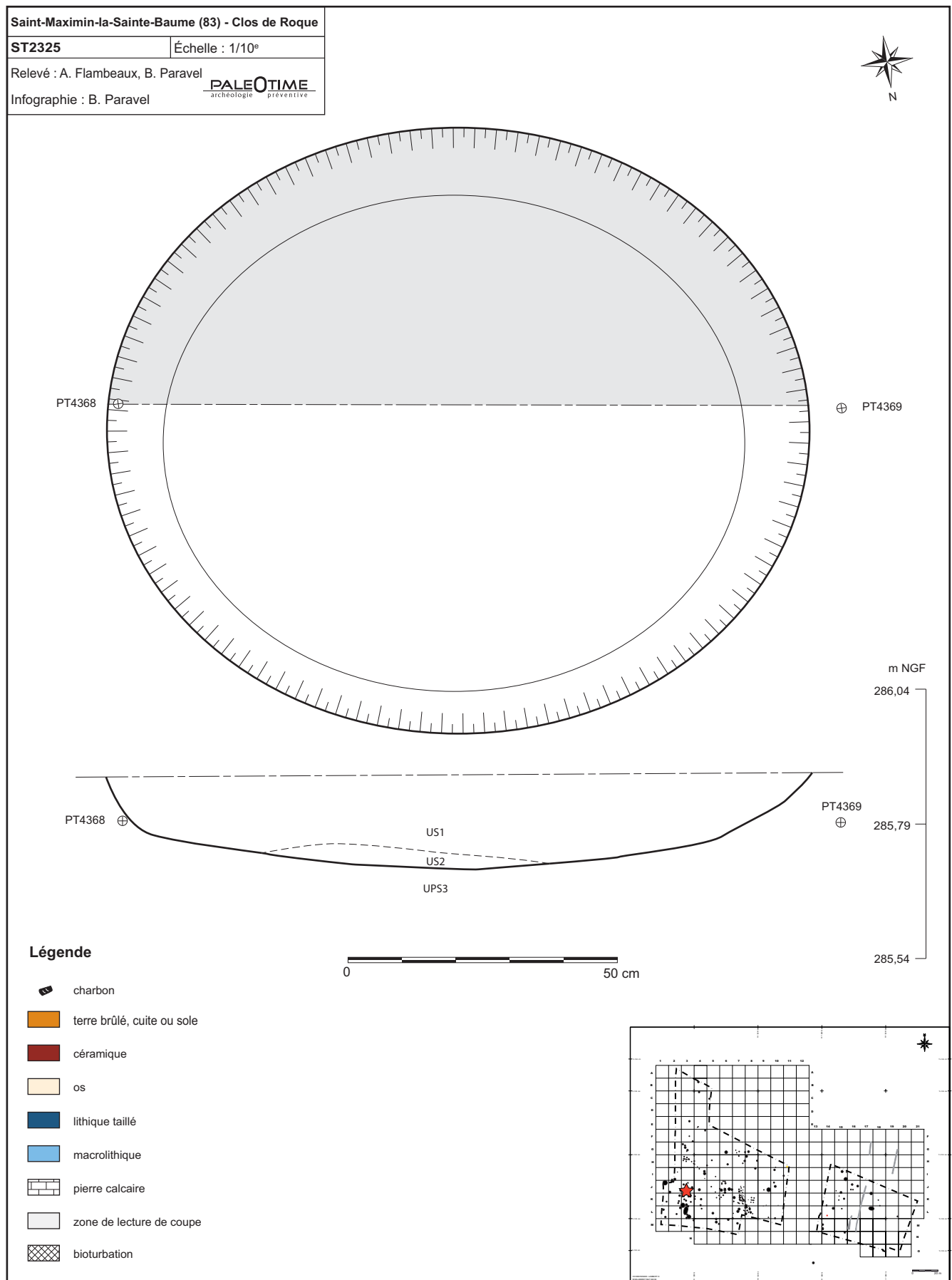


Figure 85 - Le Clos de Roque, Saint-Maximin-la-Sainte-Baume (83). Plan et coupe stratigraphique de la structure ST2325.

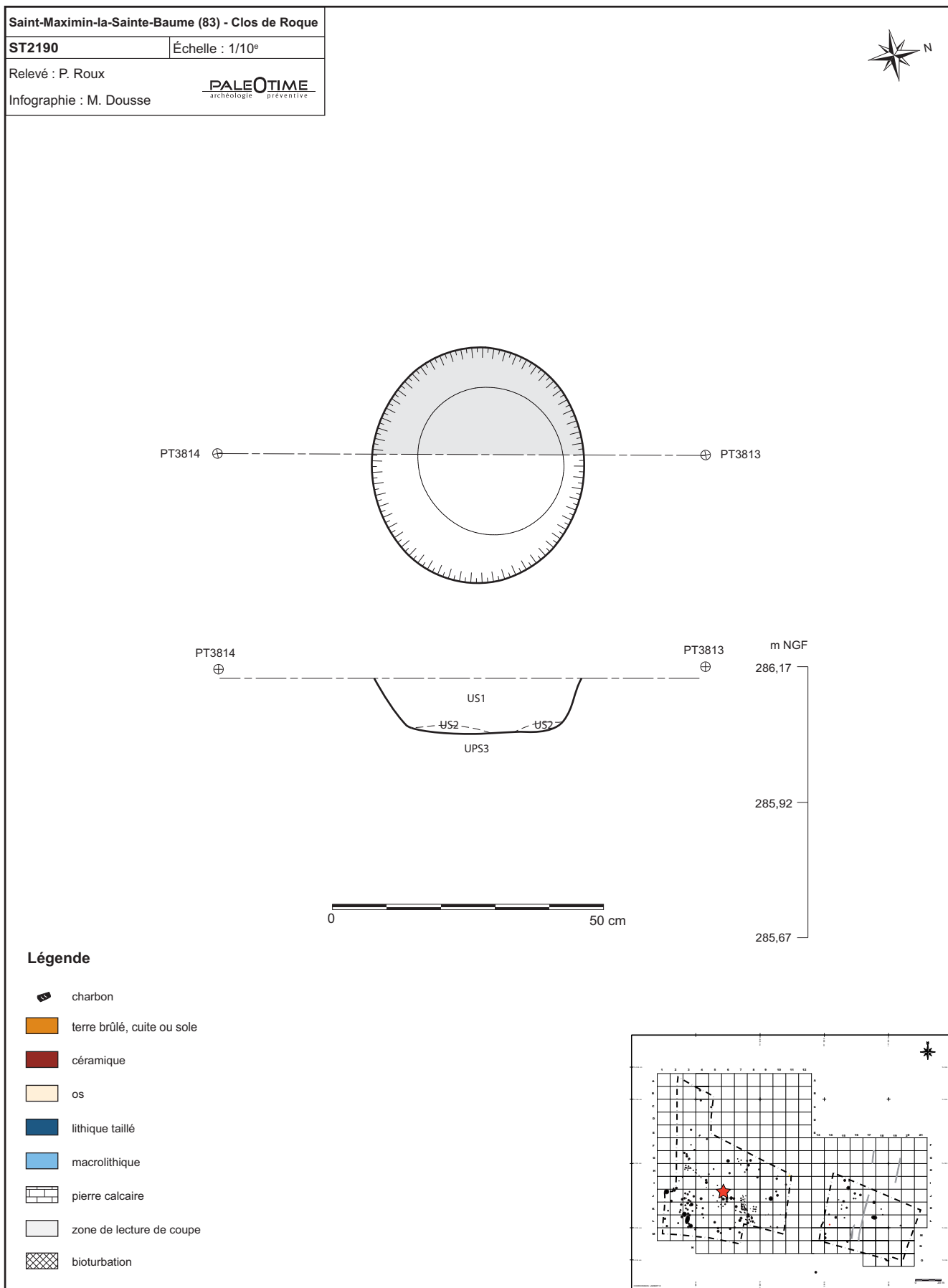


Figure 86 - Le Clos de Roque, Saint-Maximin-la-Sainte-Baume (83). Plan et coupe stratigraphique de la structure ST2190.

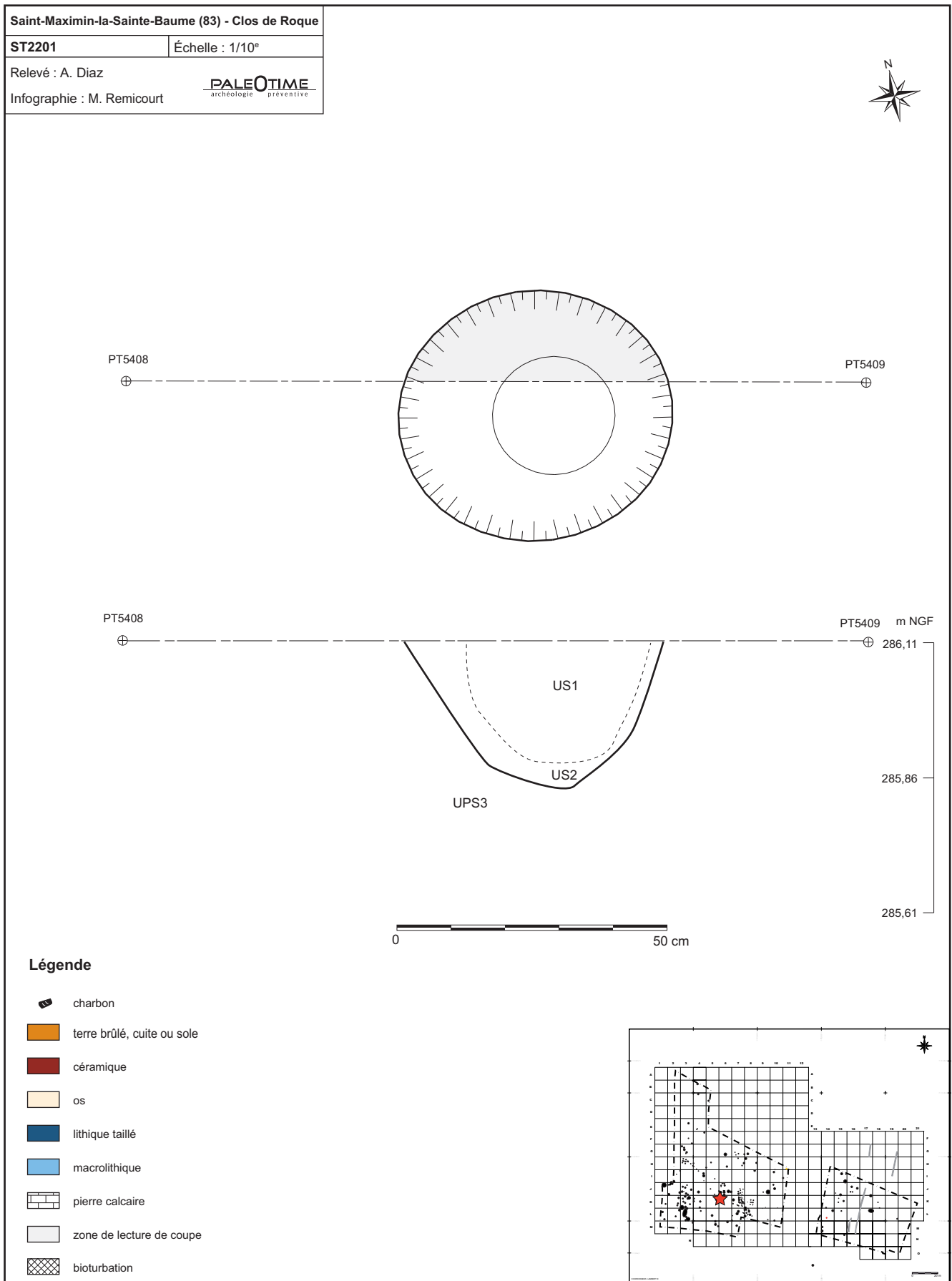


Figure 87 - Le Clos de Roque, Saint-Maximin-la-Sainte-Baume (83). Plan et coupe stratigraphique de la structure ST2201.

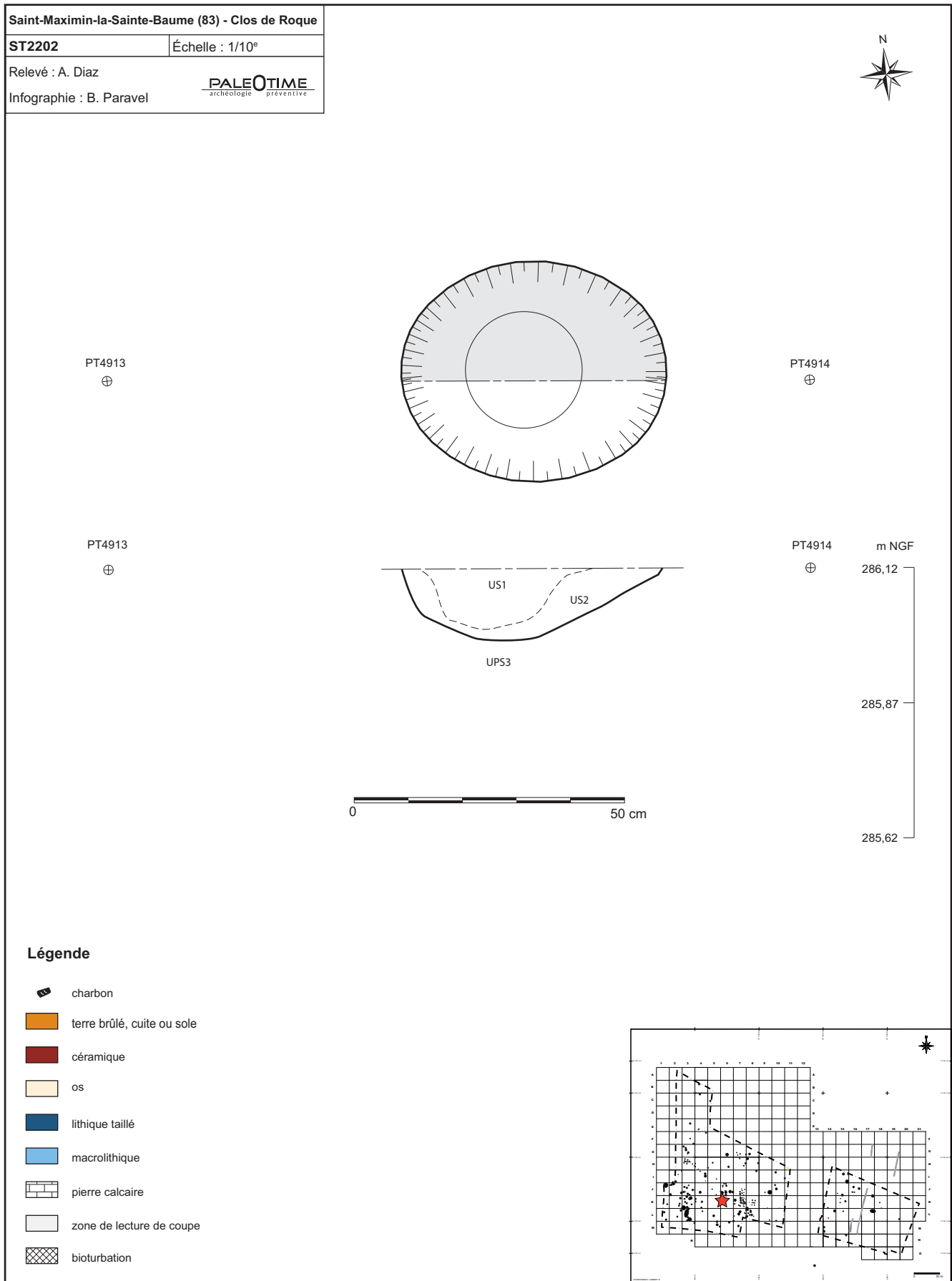


Figure 88 - Le Clos de Roque, Saint-Maximin-la-Sainte-Baume (83). Plan et coupe stratigraphique de la structure ST2202.

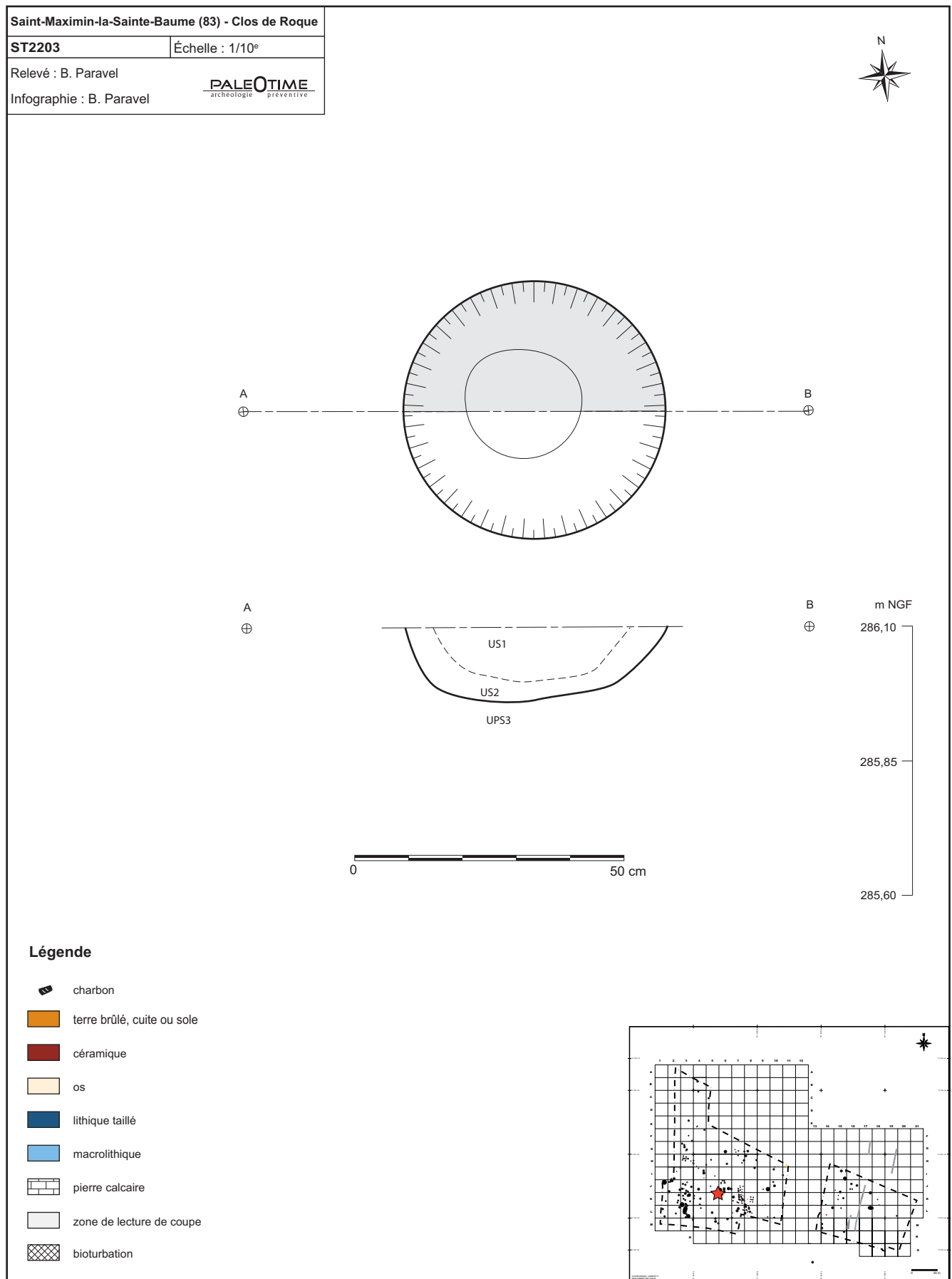


Figure 89 - Le Clos de Roque, Saint-Maximin-la-Sainte-Baume (83). Plan et coupe stratigraphique de la structure ST2203.



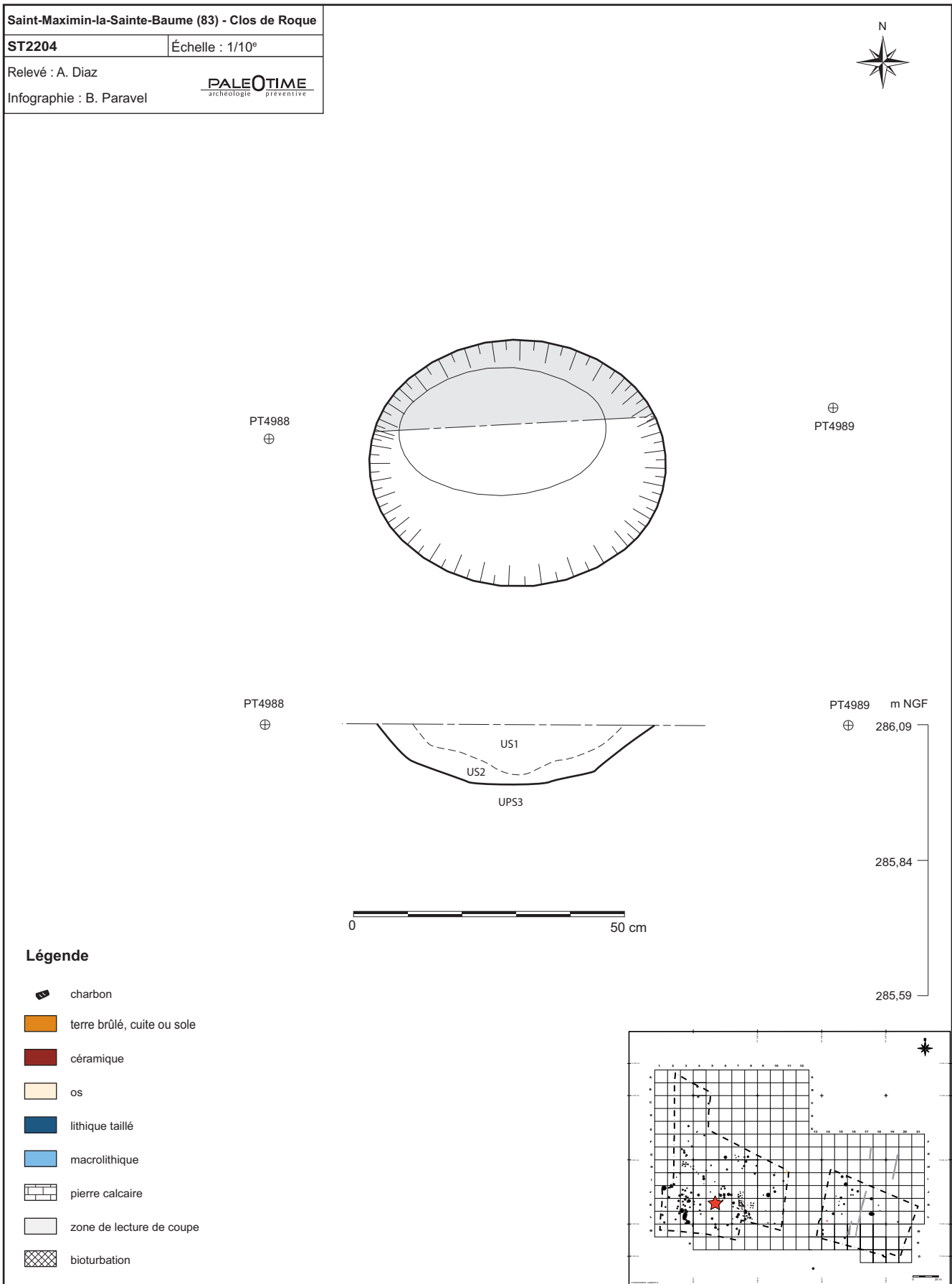


Figure 90 - Le Clos de Roque, Saint-Maximin-la-Sainte-Baume (83). Plan et coupe stratigraphique de la structure ST2204.

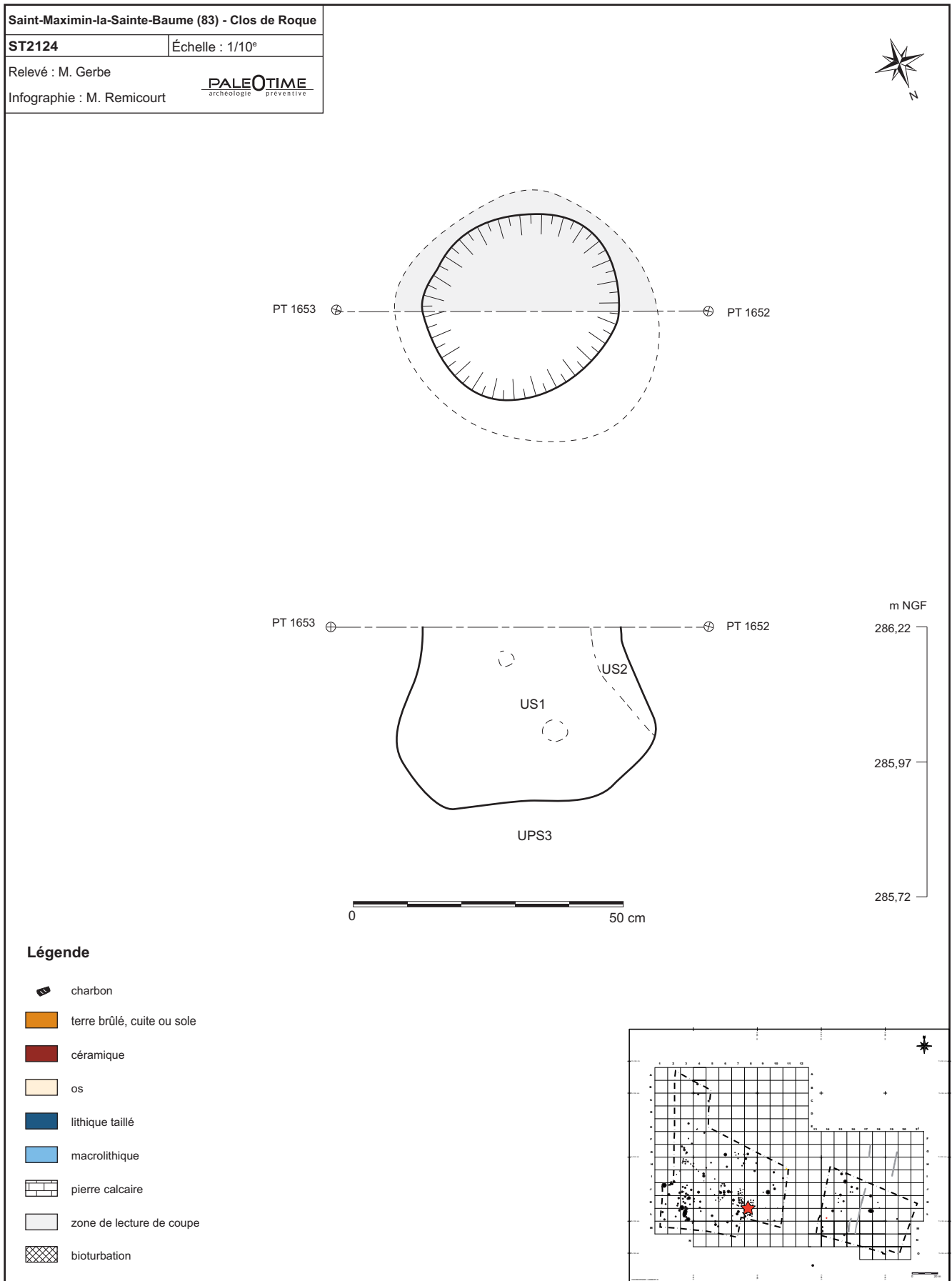


Figure 91 - Le Clos de Roque, Saint-Maximin-la-Sainte-Baume (83). Plan et coupe stratigraphique de la structure ST2124.

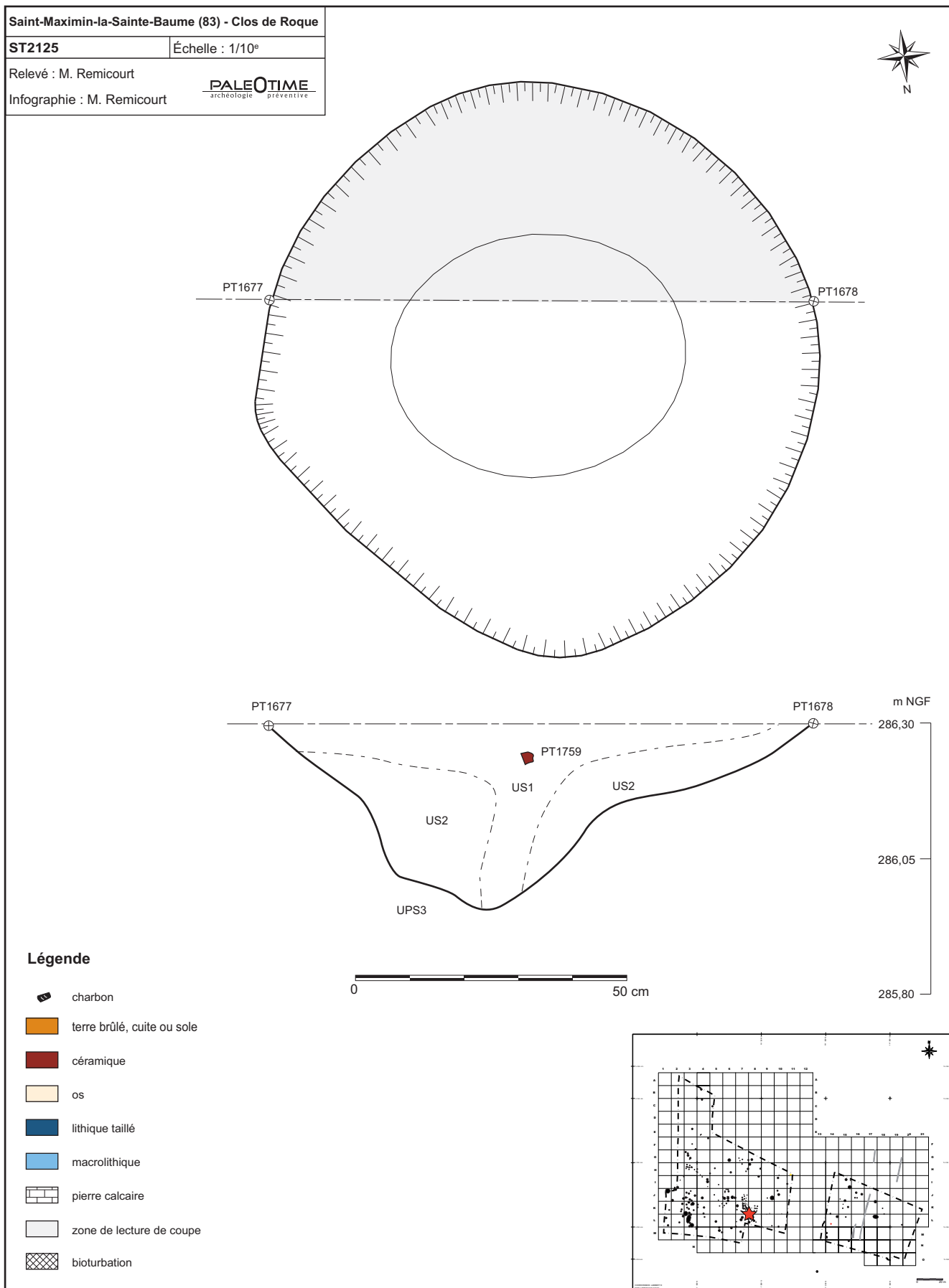


Figure 92 - Le Clos de Roque, Saint-Maximin-la-Sainte-Baume (83). Plan et coupe stratigraphique de la structure ST2125.

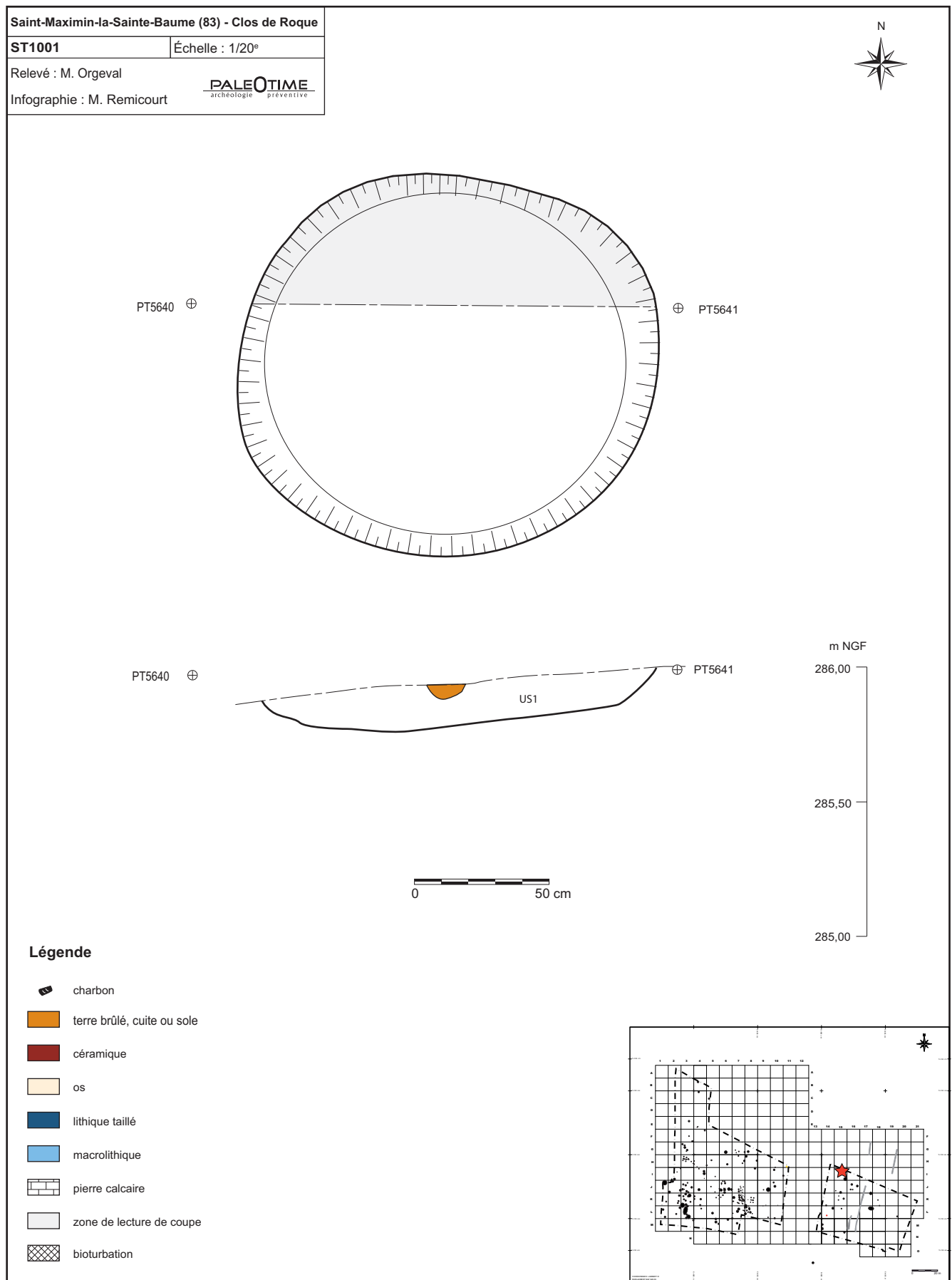


Figure 93 - Le Clos de Roque, Saint-Maximin-la-Sainte-Baume (83). Plan et coupe stratigraphique de la structure ST1001.

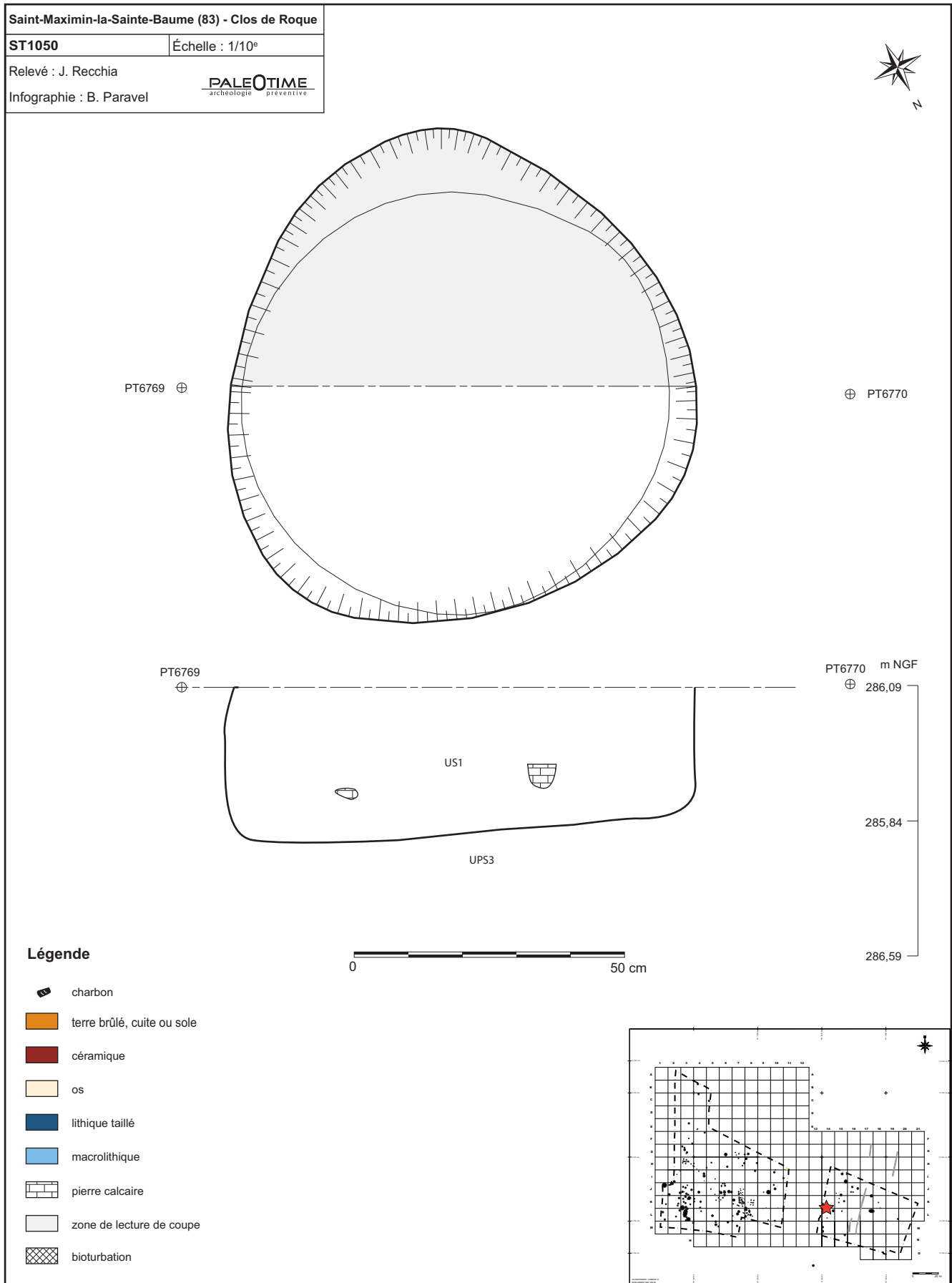


Figure 94 - Le Clos de Roque, Saint-Maximin-la-Sainte-Baume (83). Plan et coupe stratigraphique de la structure ST1050.

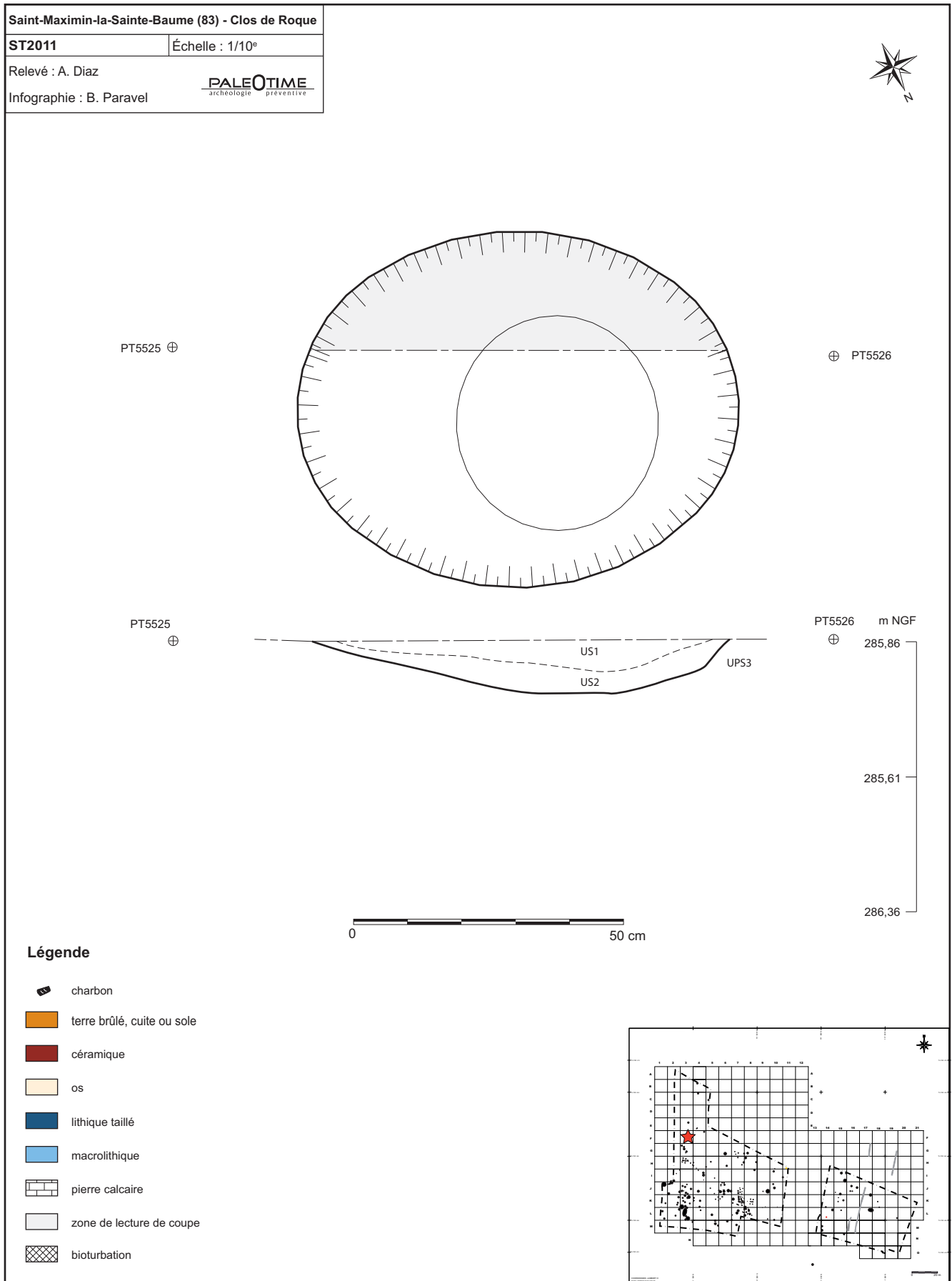


Figure 95 - Le Clos de Roque, Saint-Maximin-la-Sainte-Baume (83). Plan et coupe stratigraphique de la structure ST2011.

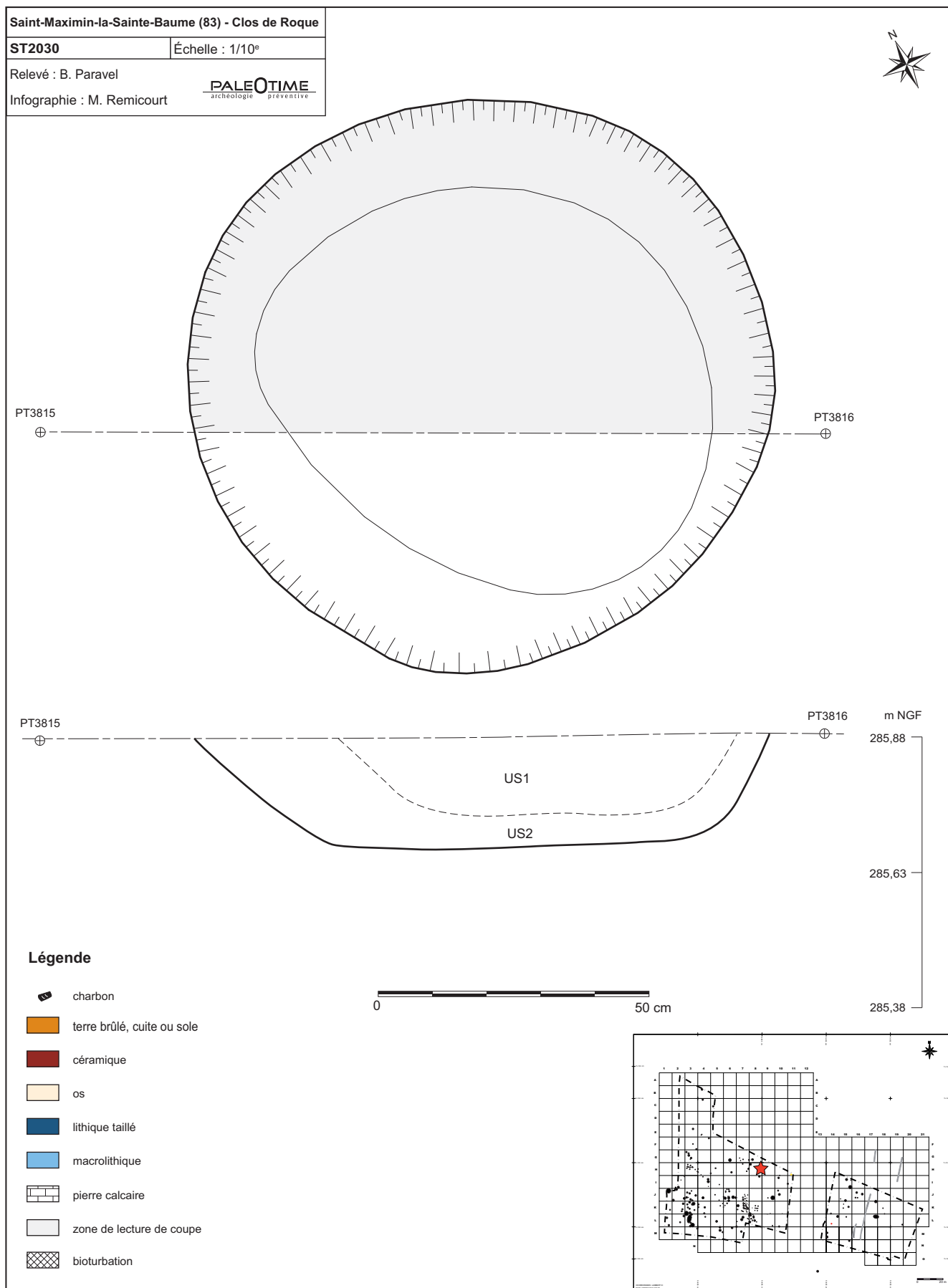


Figure 96 - Le Clos de Roque, Saint-Maximin-la-Sainte-Baume (83). Plan et coupe stratigraphique de la structure ST2030.

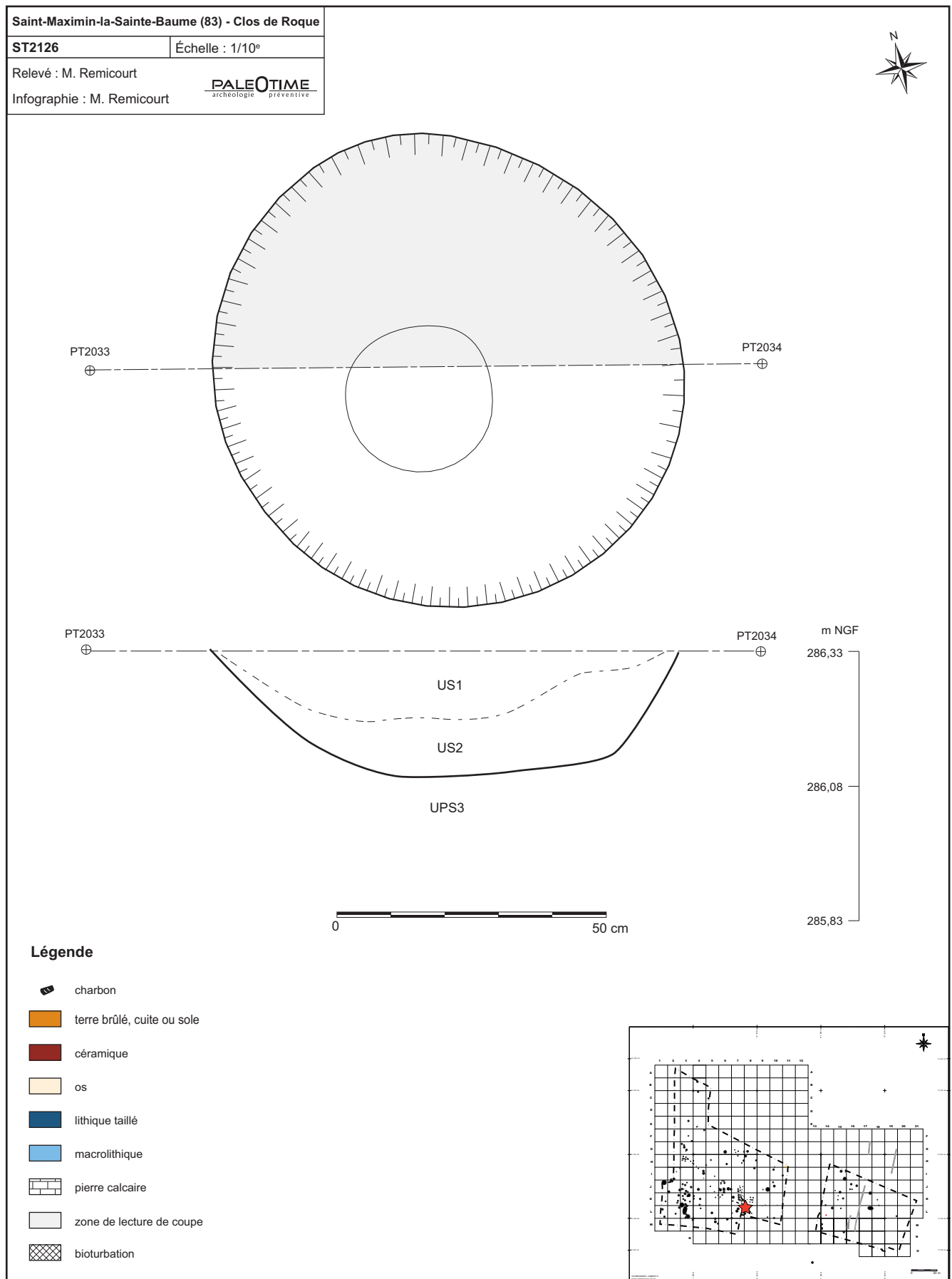


Figure 97 - Le Clos de Roque, Saint-Maximin-la-Sainte-Baume (83). Plan et coupe stratigraphique de la structure ST2126.



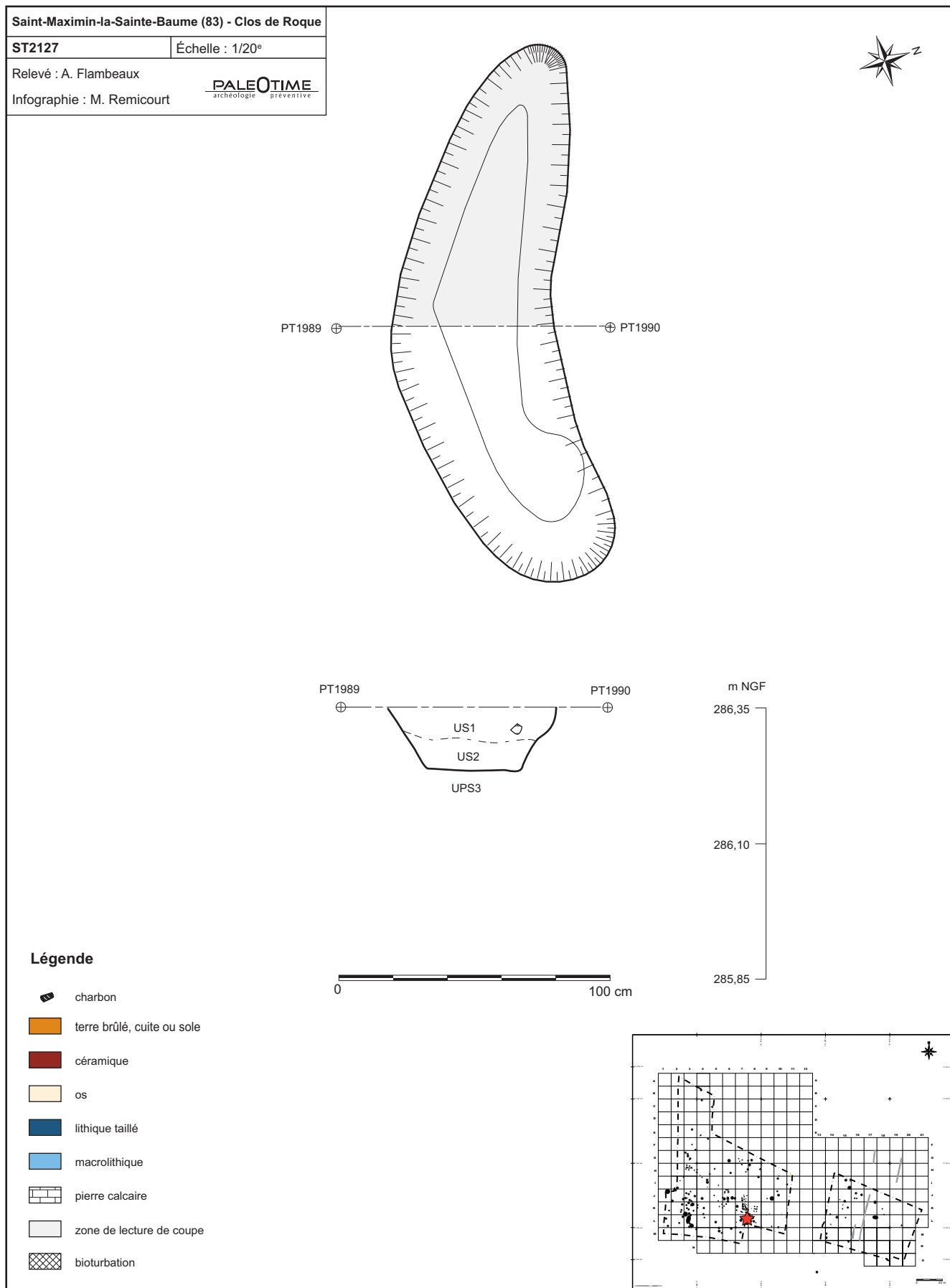


Figure 98 - Le Clos de Roque, Saint-Maximin-la-Sainte-Baume (83). Plan et coupe stratigraphique de la structure ST2127.

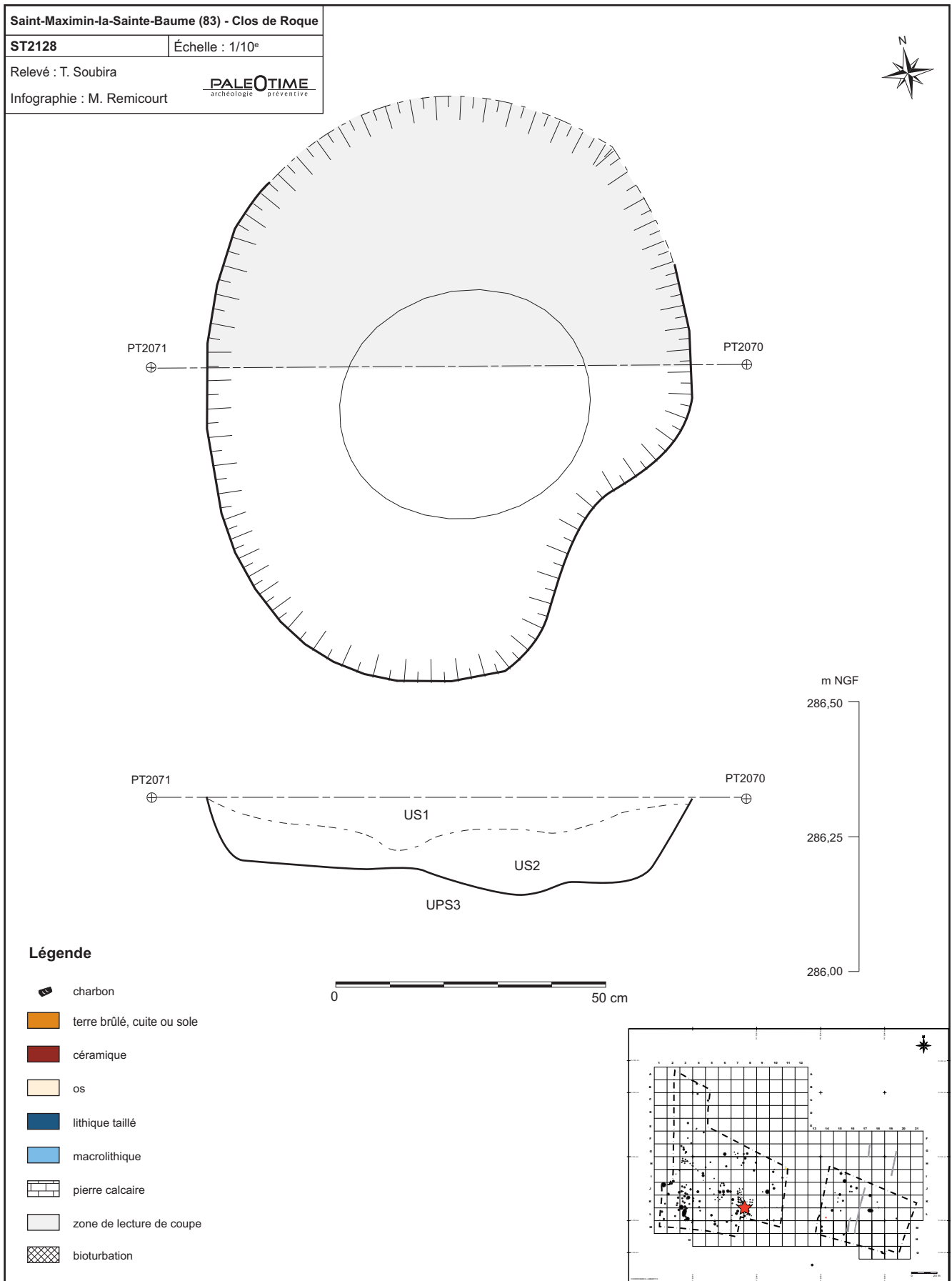


Figure 99 - Le Clos de Roque, Saint-Maximin-la-Sainte-Baume (83). Plan et coupe stratigraphique de la structure ST2128.

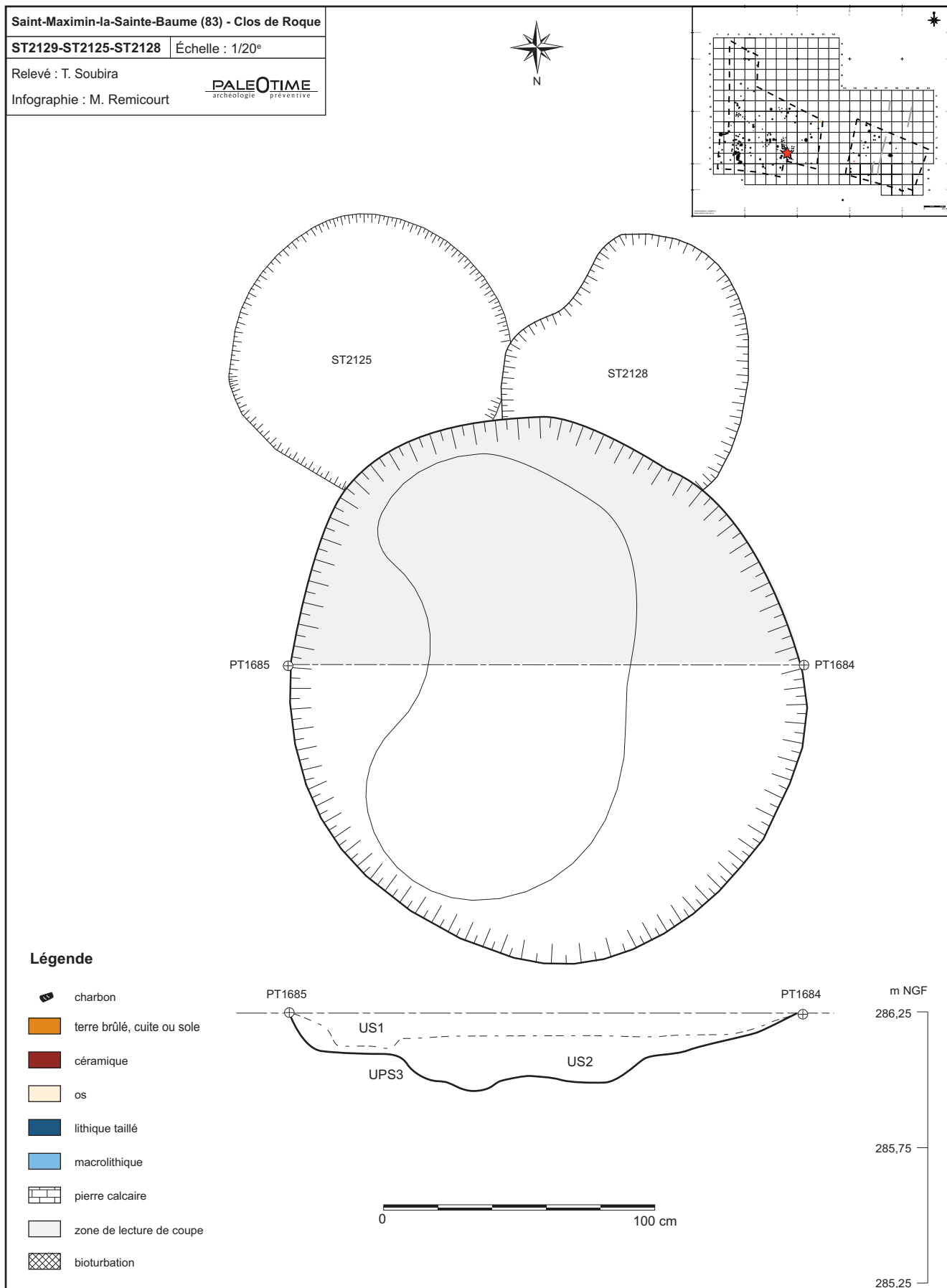


Figure 100 - Le Clos de Roque, Saint-Maximin-la-Sainte-Baume (83). Plan et coupe stratigraphique de la structure ST2129.

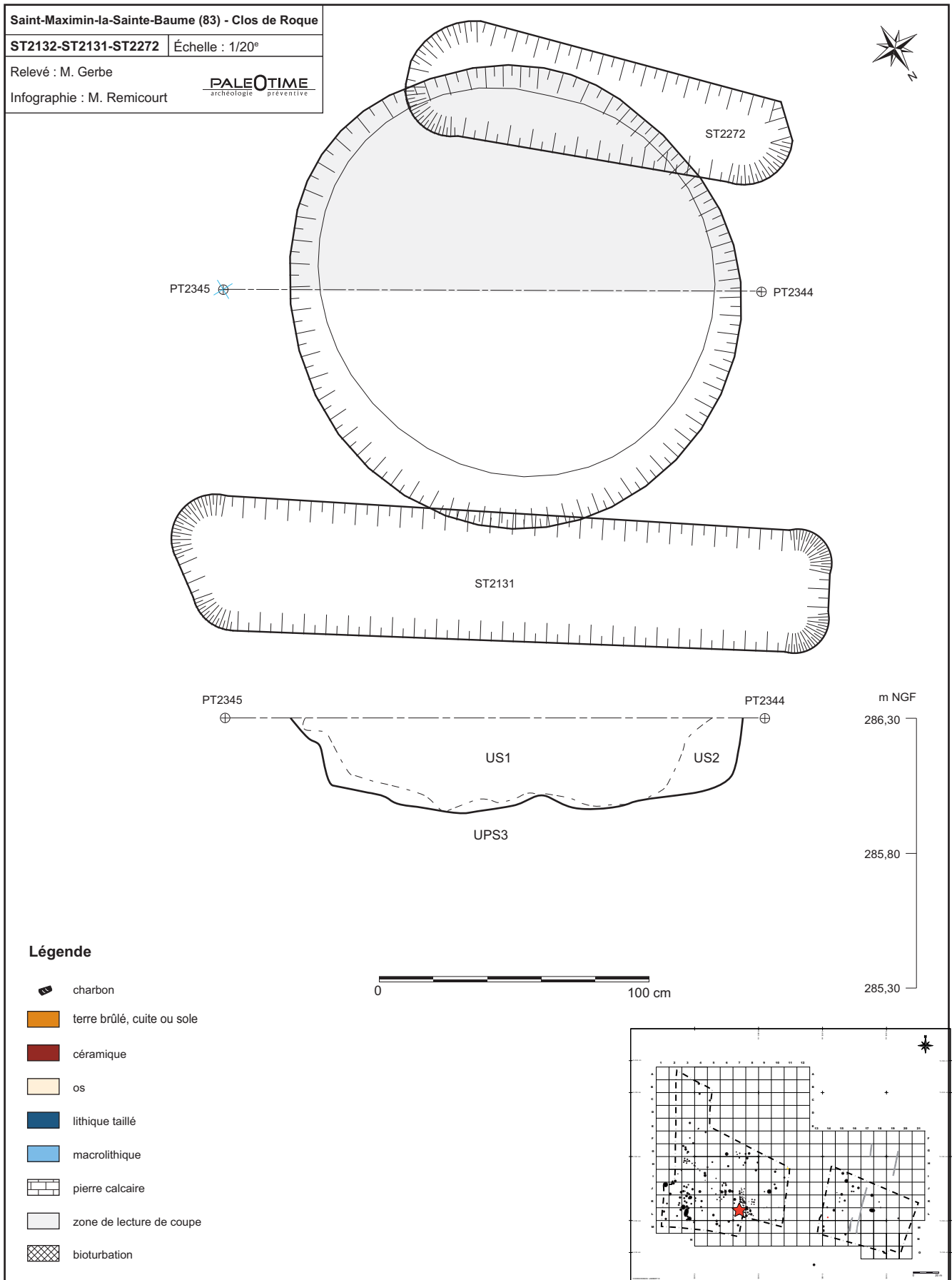


Figure 101 - Le Clos de Roque, Saint-Maximin-la-Sainte-Baume (83). Plan et coupe stratigraphique de la structure ST2132.

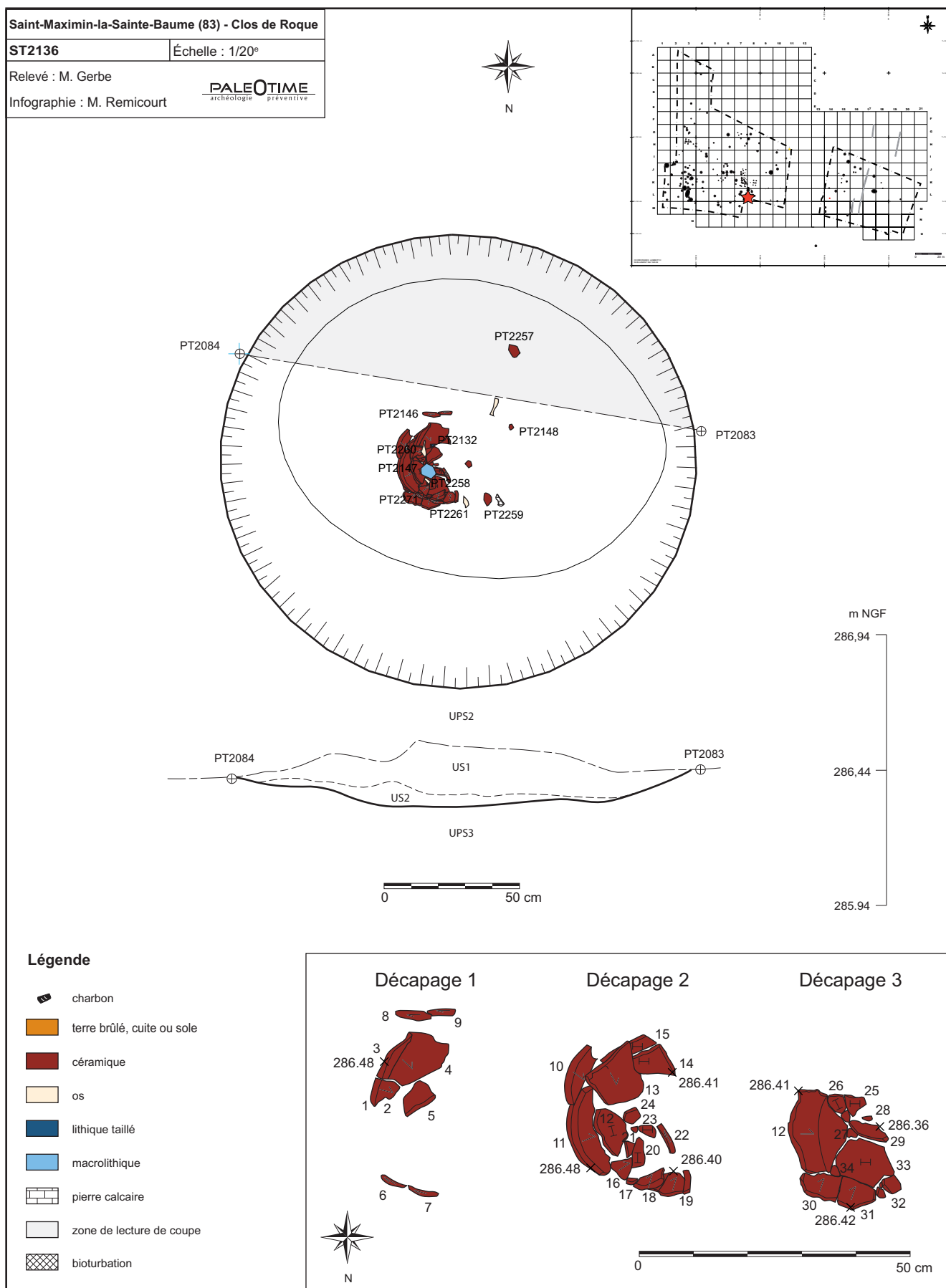


Figure 102 - Le Clos de Roque, Saint-Maximin-la-Sainte-Baume (83). Plan et coupe stratigraphique de la structure ST2136.

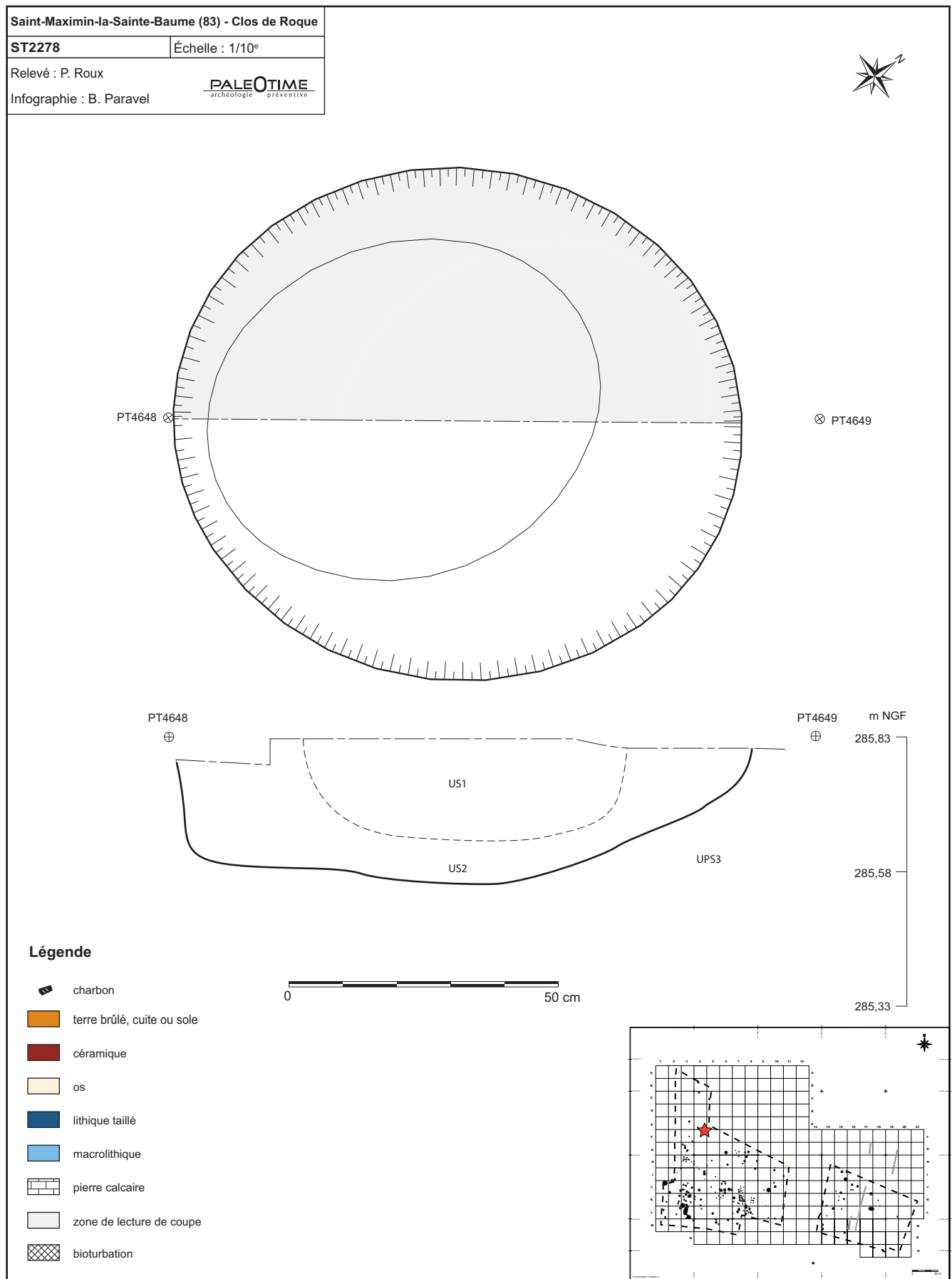


Figure 103 - Le Clos de Roque, Saint-Maximin-la-Sainte-Baume (83). Plan et coupe stratigraphique de la structure ST2278.

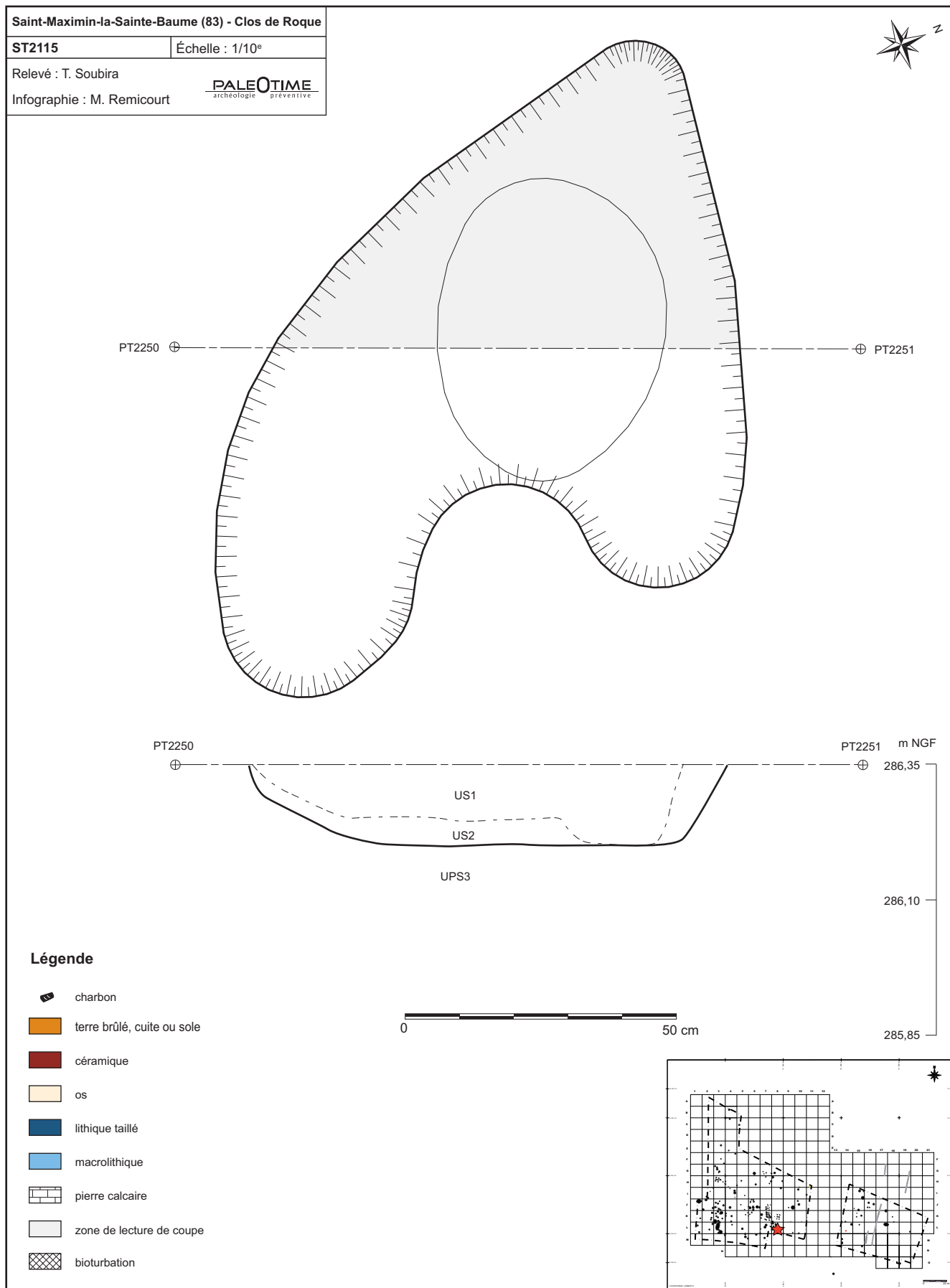


Figure 104 - Le Clos de Roque, Saint-Maximin-la-Sainte-Baume (83). Plan et coupe stratigraphique de la structure ST2115.

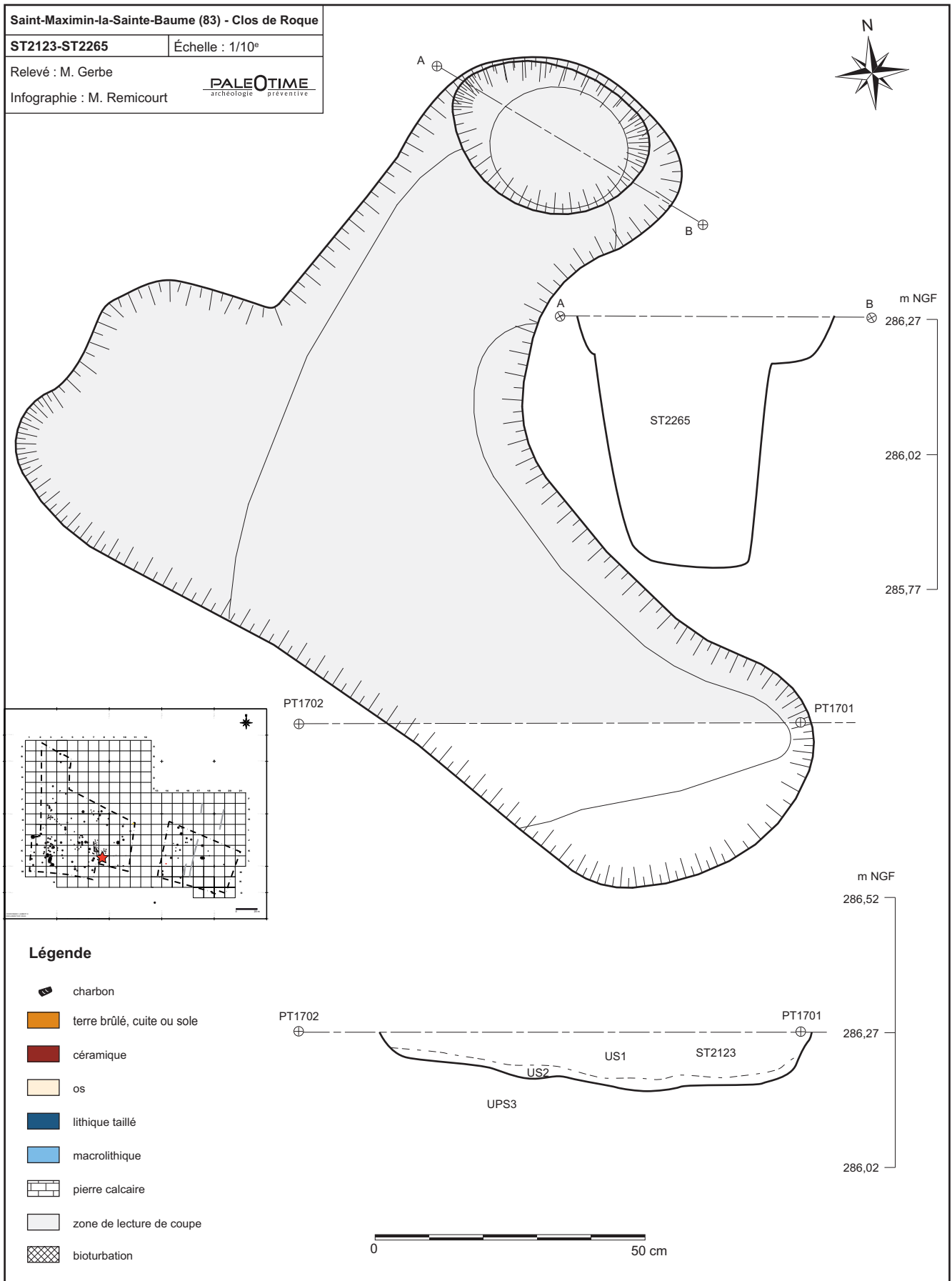


Figure 105 - Le Clos de Roque, Saint-Maximin-la-Sainte-Baume (83). Plan et coupe stratigraphique de la structure ST2123-ST2265.



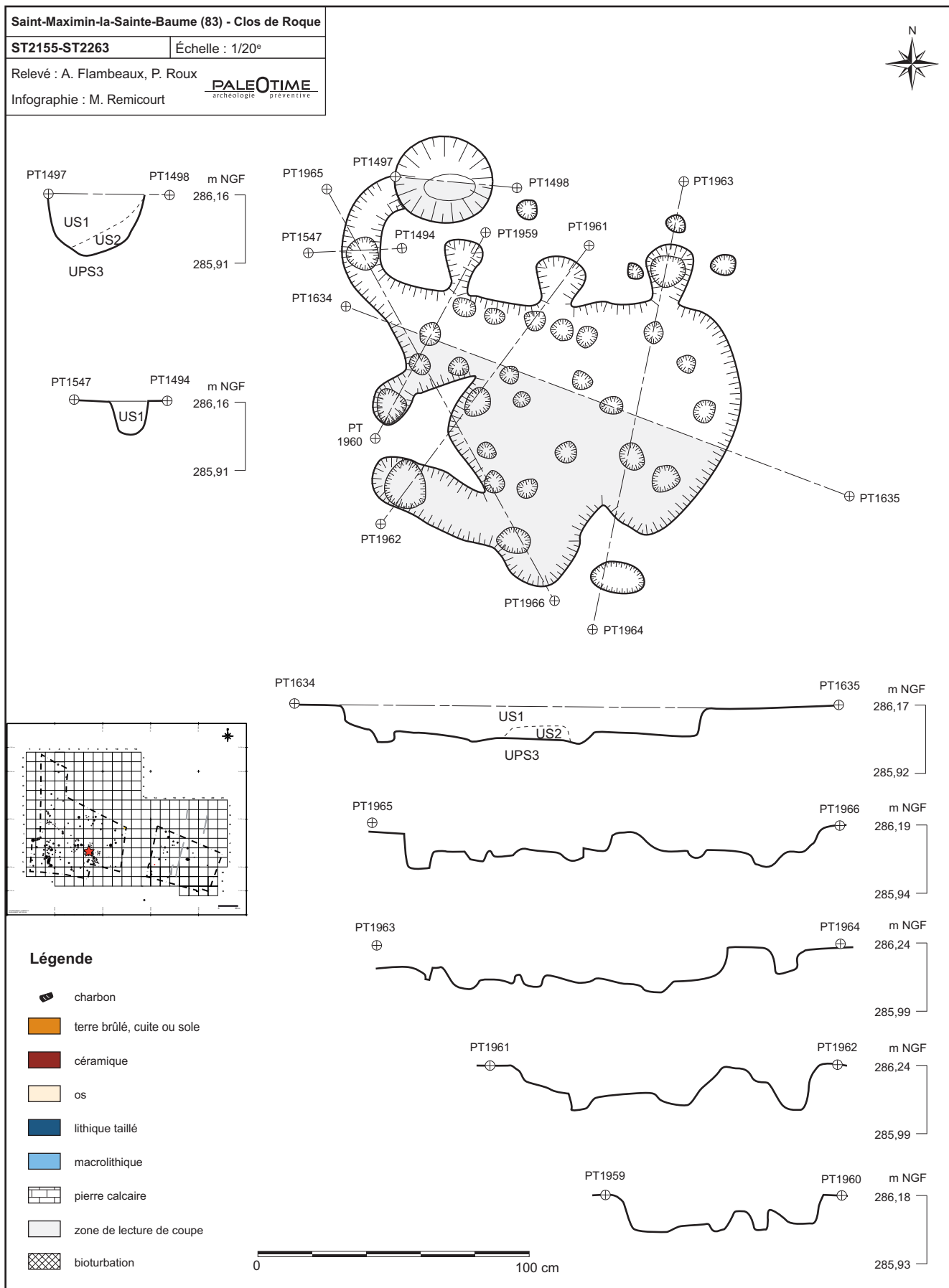


Figure 106 - Le Clos de Roque, Saint-Maximin-la-Sainte-Baume (83). Plan et coupe stratigraphique de la structure ST2155-ST2263.

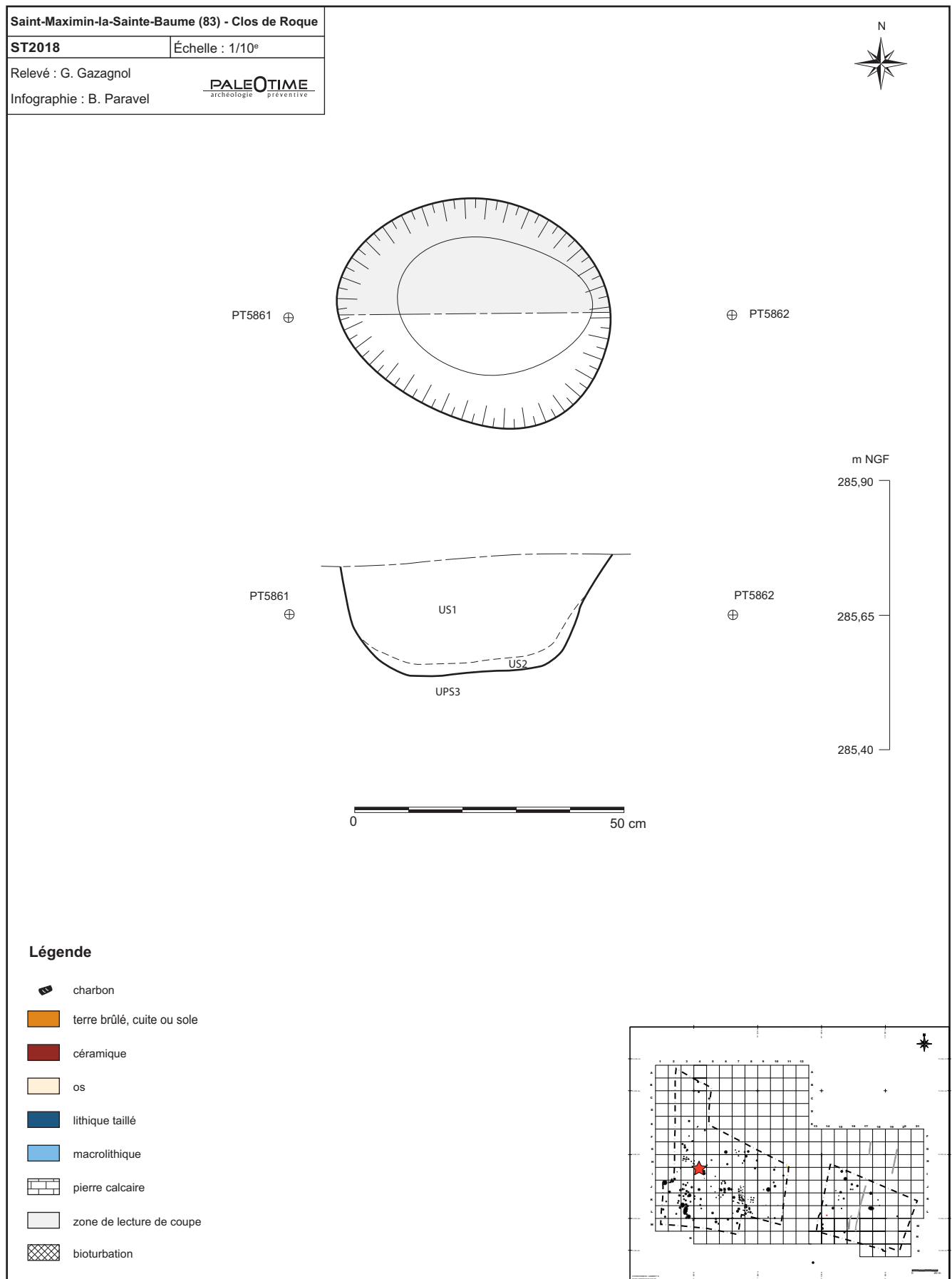


Figure 107 - Le Clos de Roque, Saint-Maximin-la-Sainte-Baume (83). Plan et coupe stratigraphique de la structure ST2018.

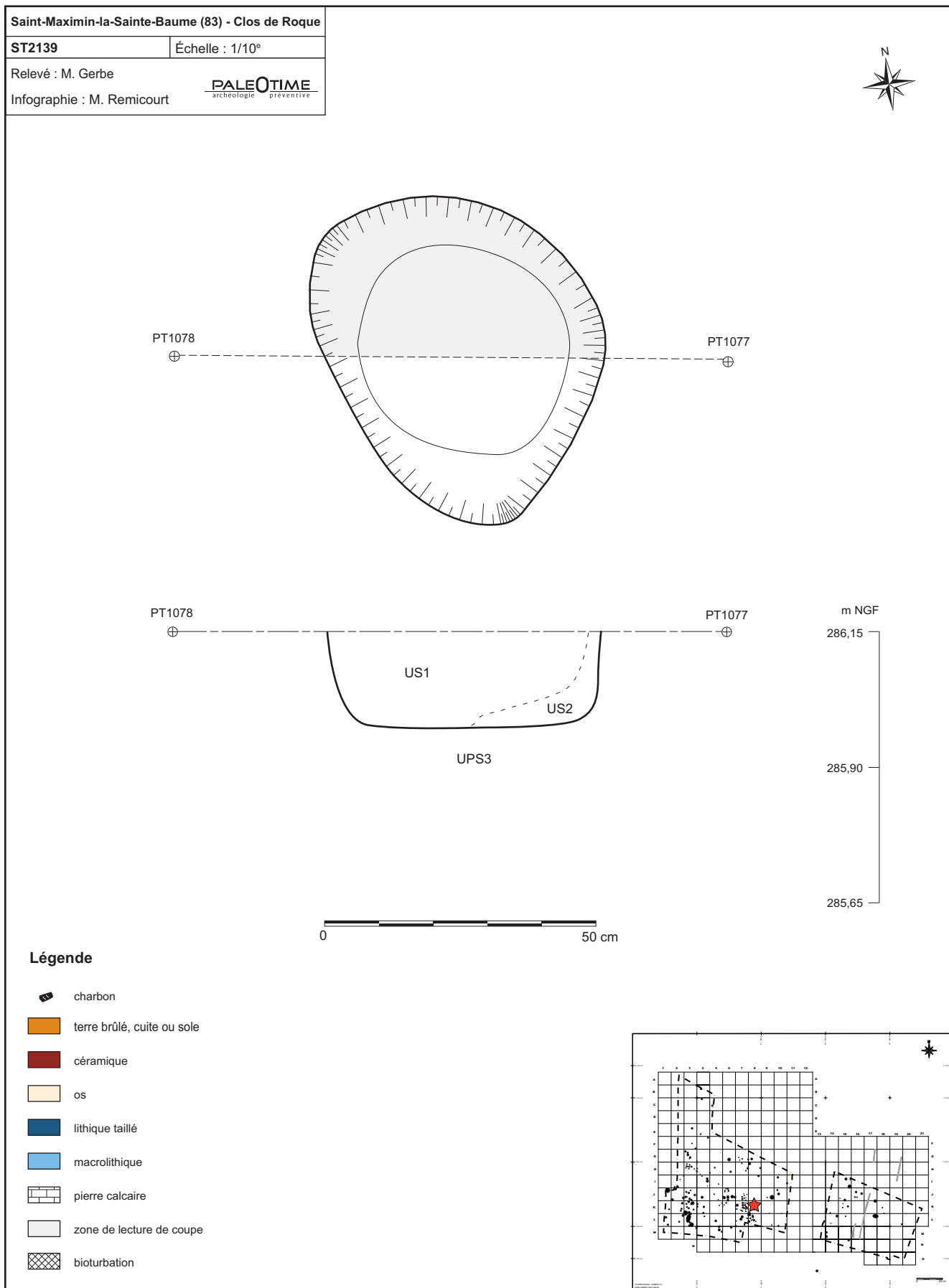


Figure 108 - Le Clos de Roque, Saint-Maximin-la-Sainte-Baume (83). Plan et coupe stratigraphique de la structure ST2139.

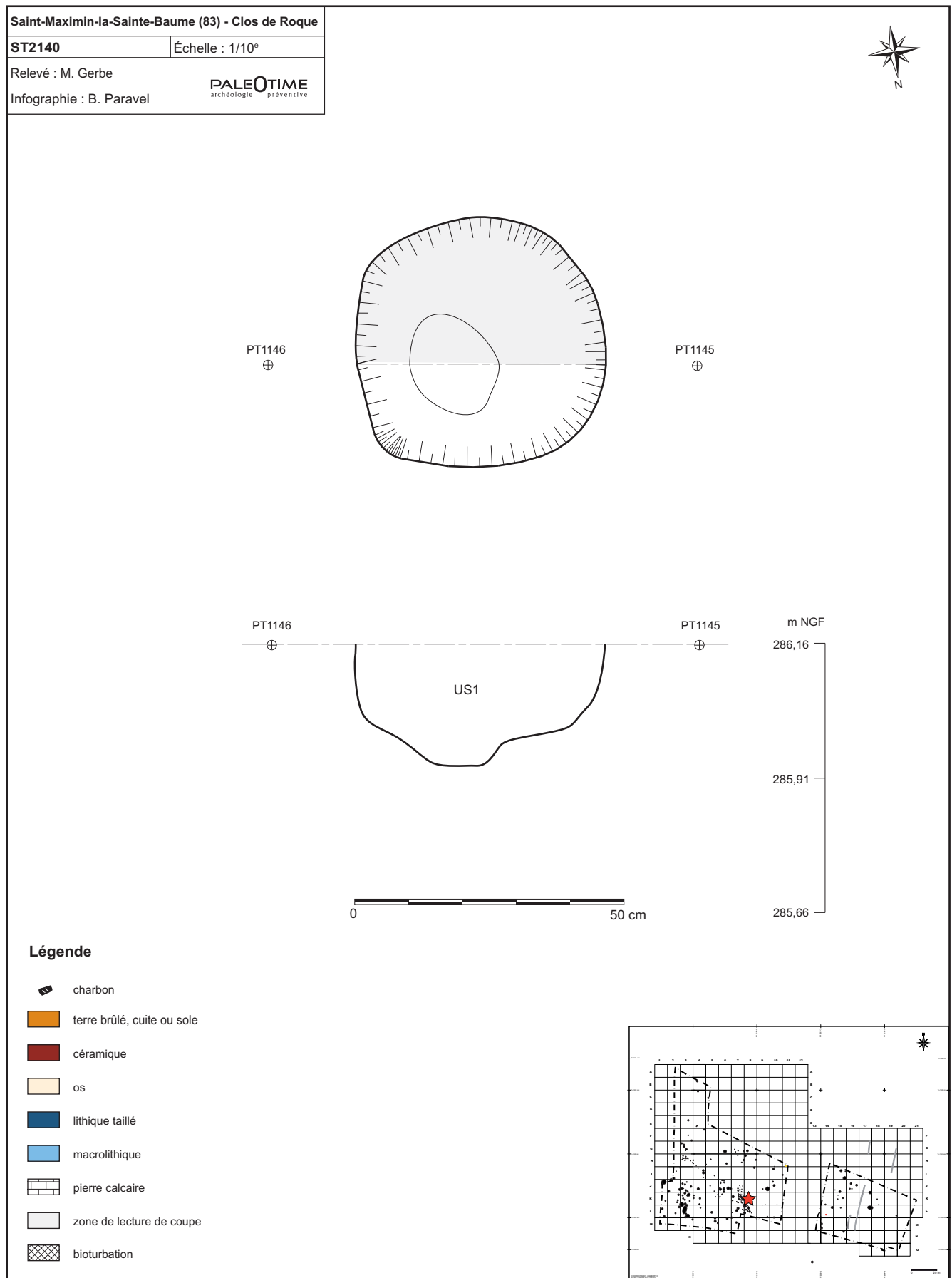


Figure 109 - Le Clos de Roque, Saint-Maximin-la-Sainte-Baume (83). Plan et coupe stratigraphique de la structure ST2140.

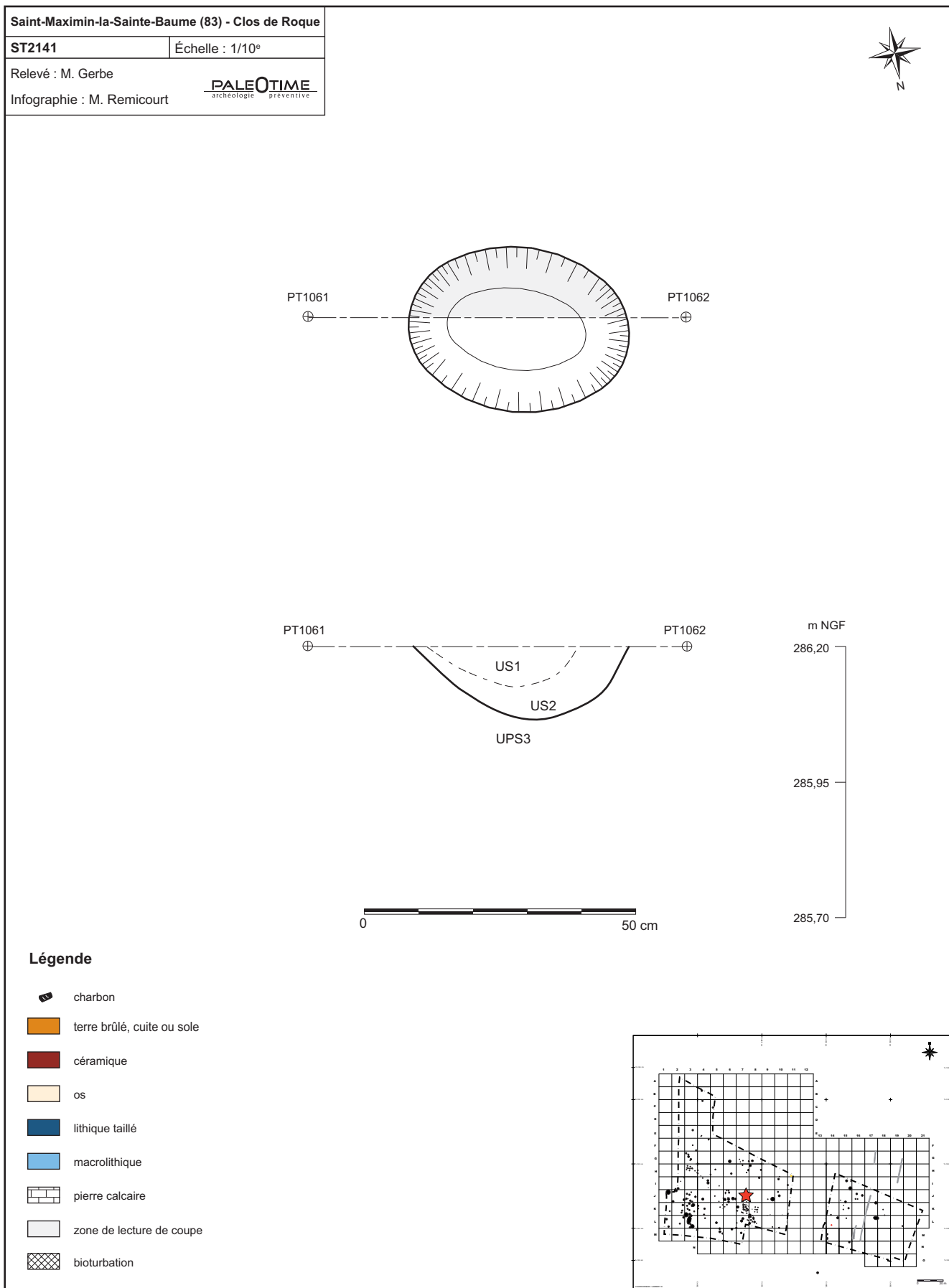


Figure 110 - Le Clos de Roque, Saint-Maximin-la-Sainte-Baume (83). Plan et coupe stratigraphique de la structure ST2141.

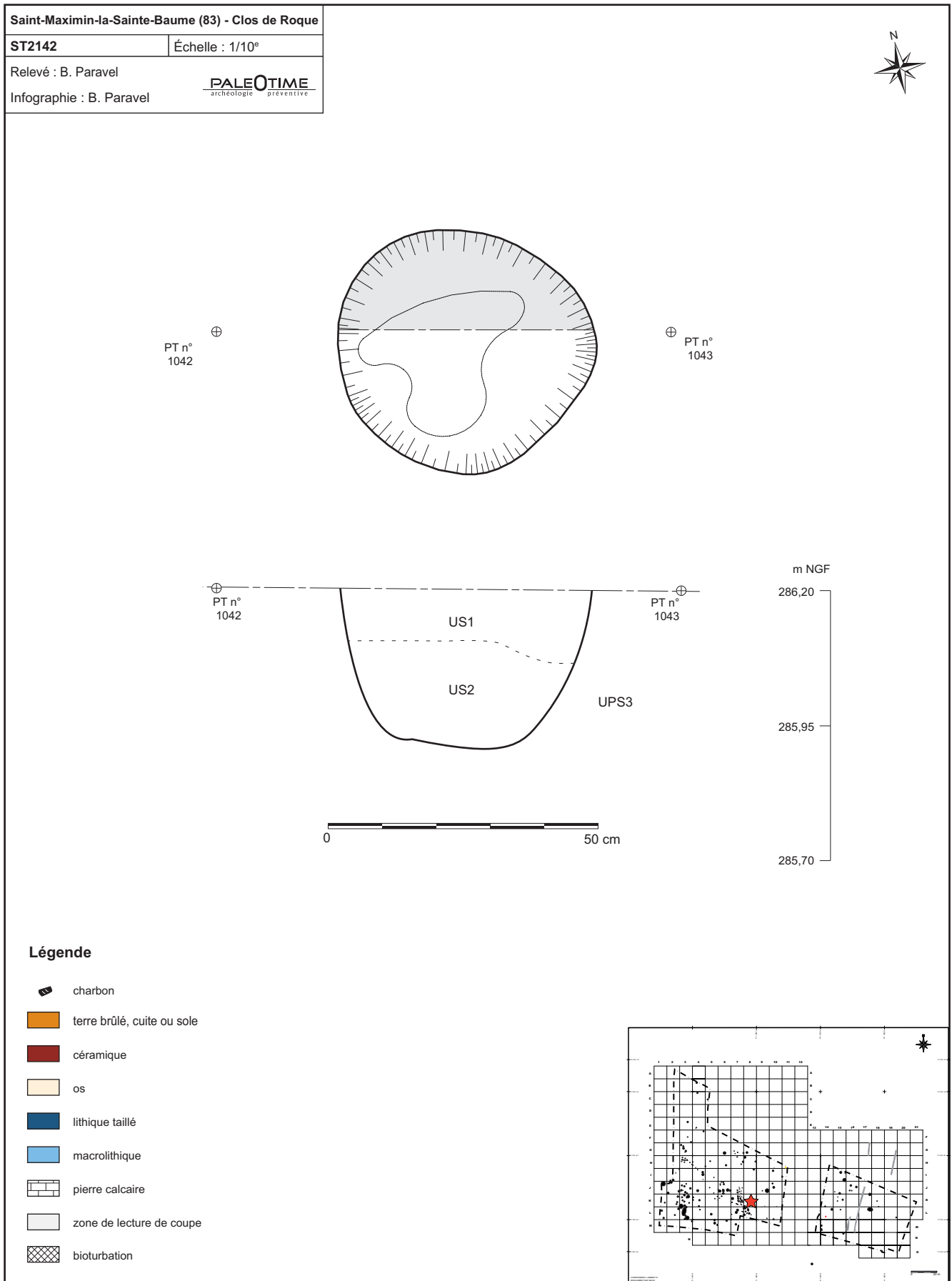


Figure 111 - Le Clos de Roque, Saint-Maximin-la-Sainte-Baume (83). Plan et coupe stratigraphique de la structure ST2142.

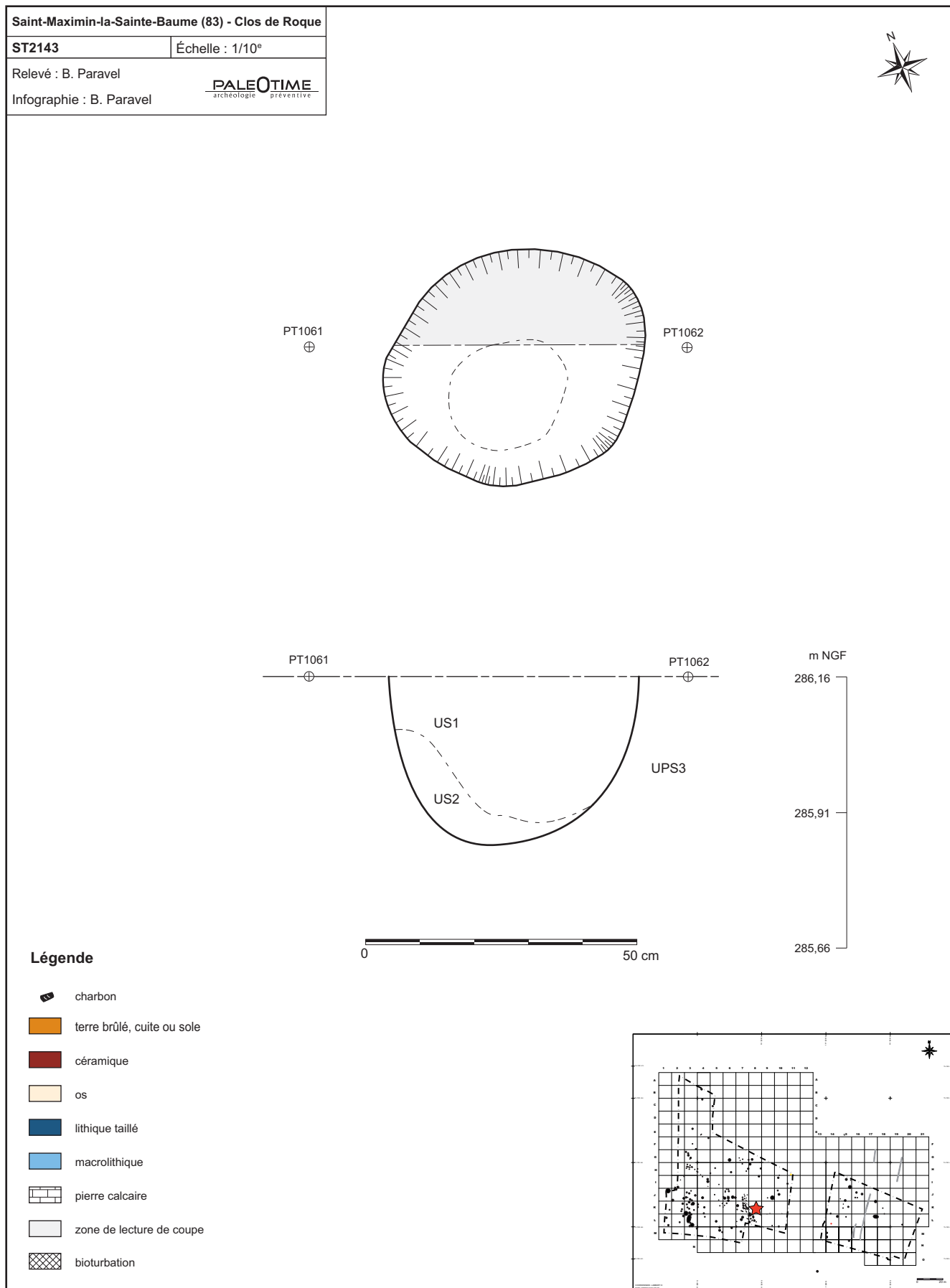


Figure 112 - Le Clos de Roque, Saint-Maximin-la-Sainte-Baume (83). Plan et coupe stratigraphique de la structure ST2143.

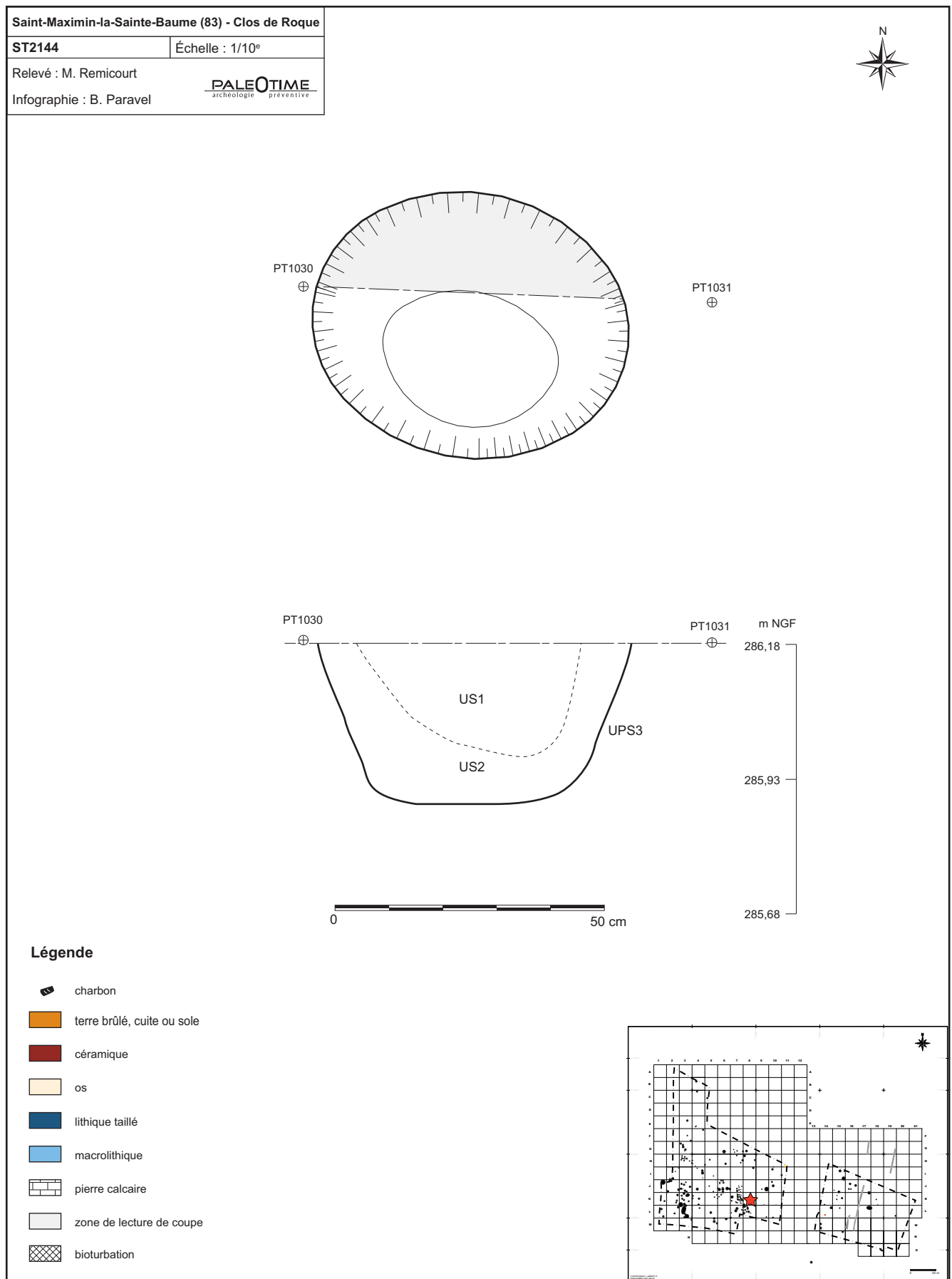


Figure 113 - Le Clos de Roque, Saint-Maximin-la-Sainte-Baume (83). Plan et coupe stratigraphique de la structure ST2144.



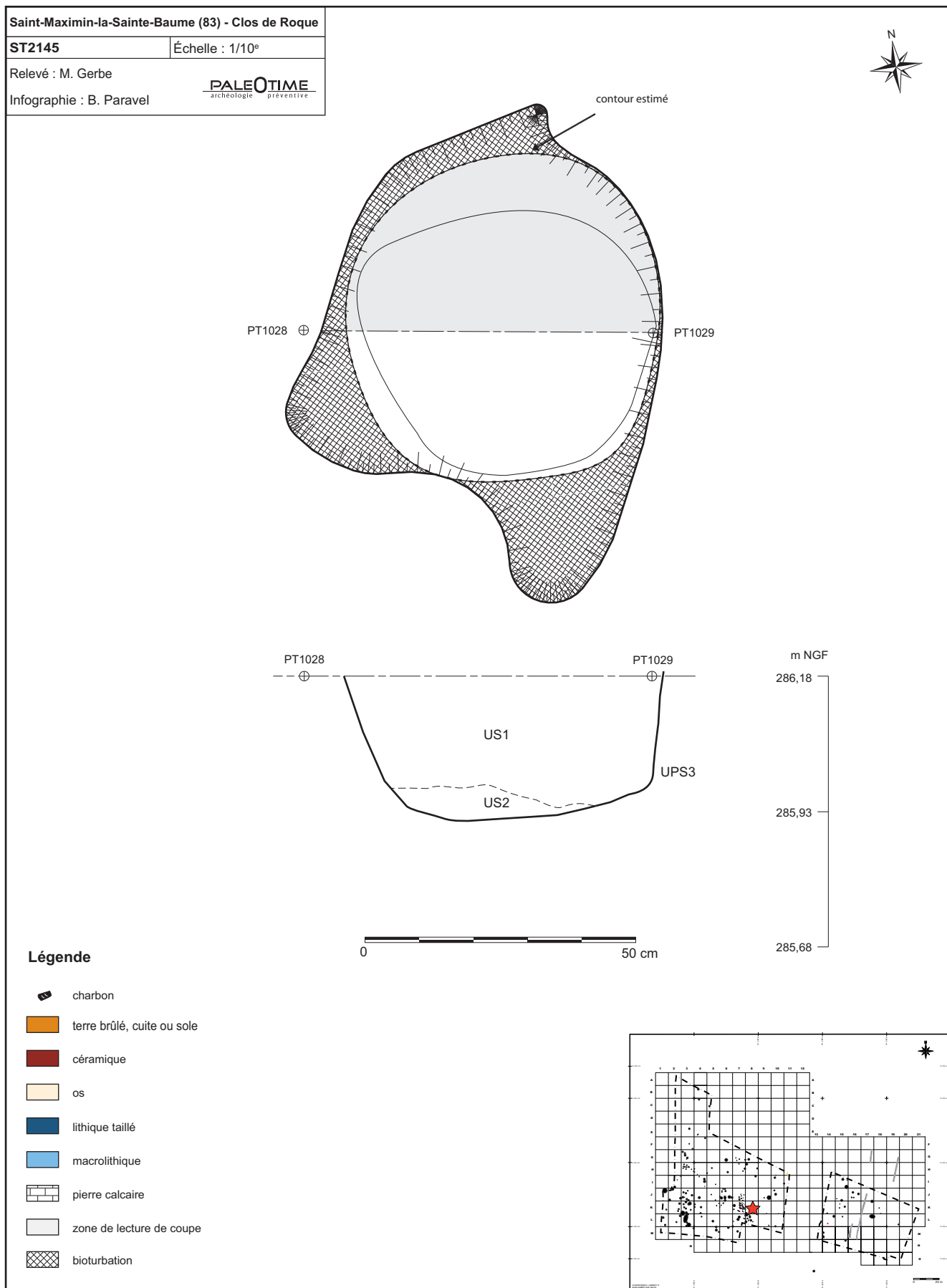


Figure 114 - Le Clos de Roque, Saint-Maximin-la-Sainte-Baume (83). Plan et coupe stratigraphique de la structure ST2145.

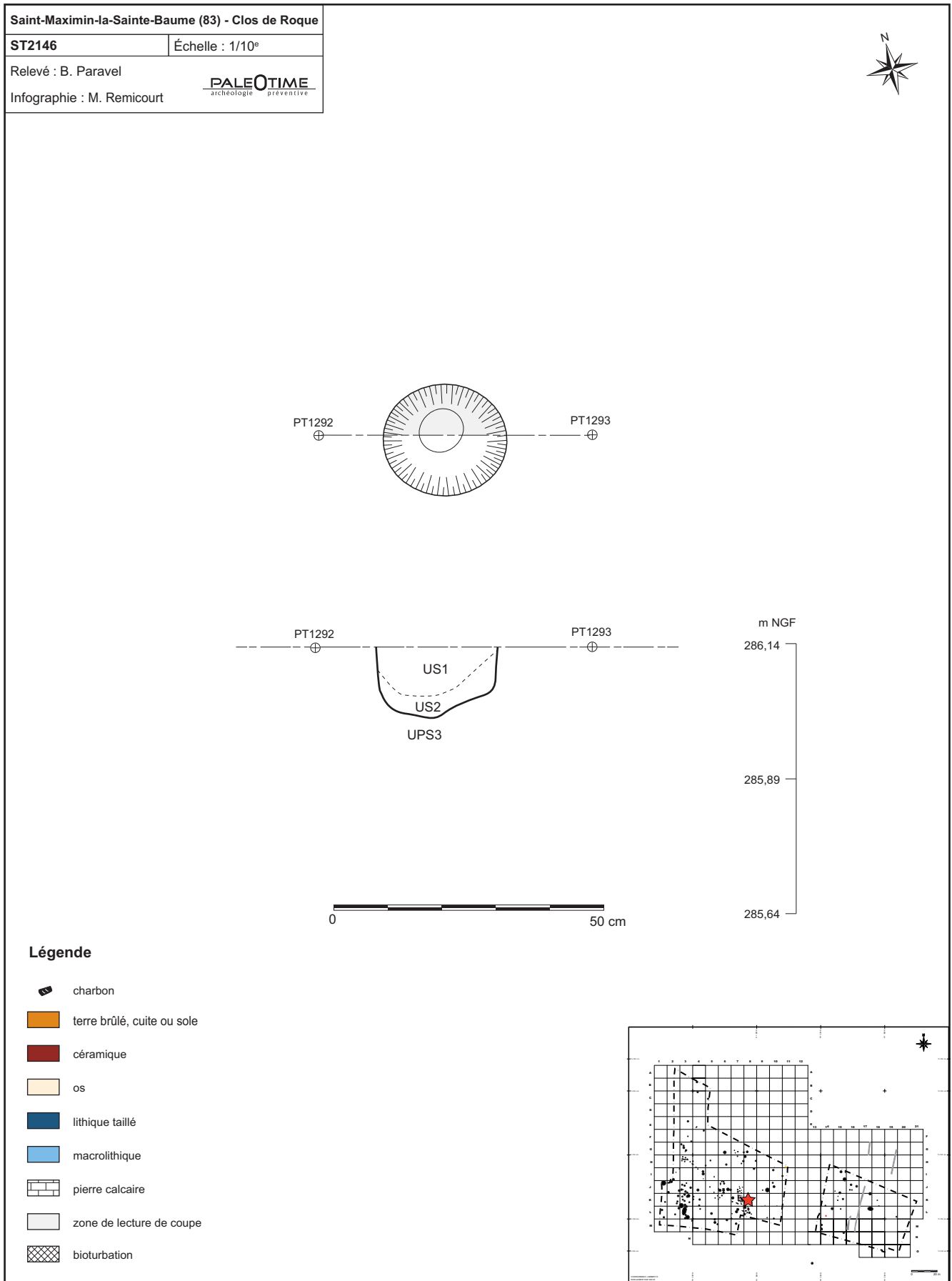


Figure 115 - Le Clos de Roque, Saint-Maximin-la-Sainte-Baume (83). Plan et coupe stratigraphique de la structure ST2146.

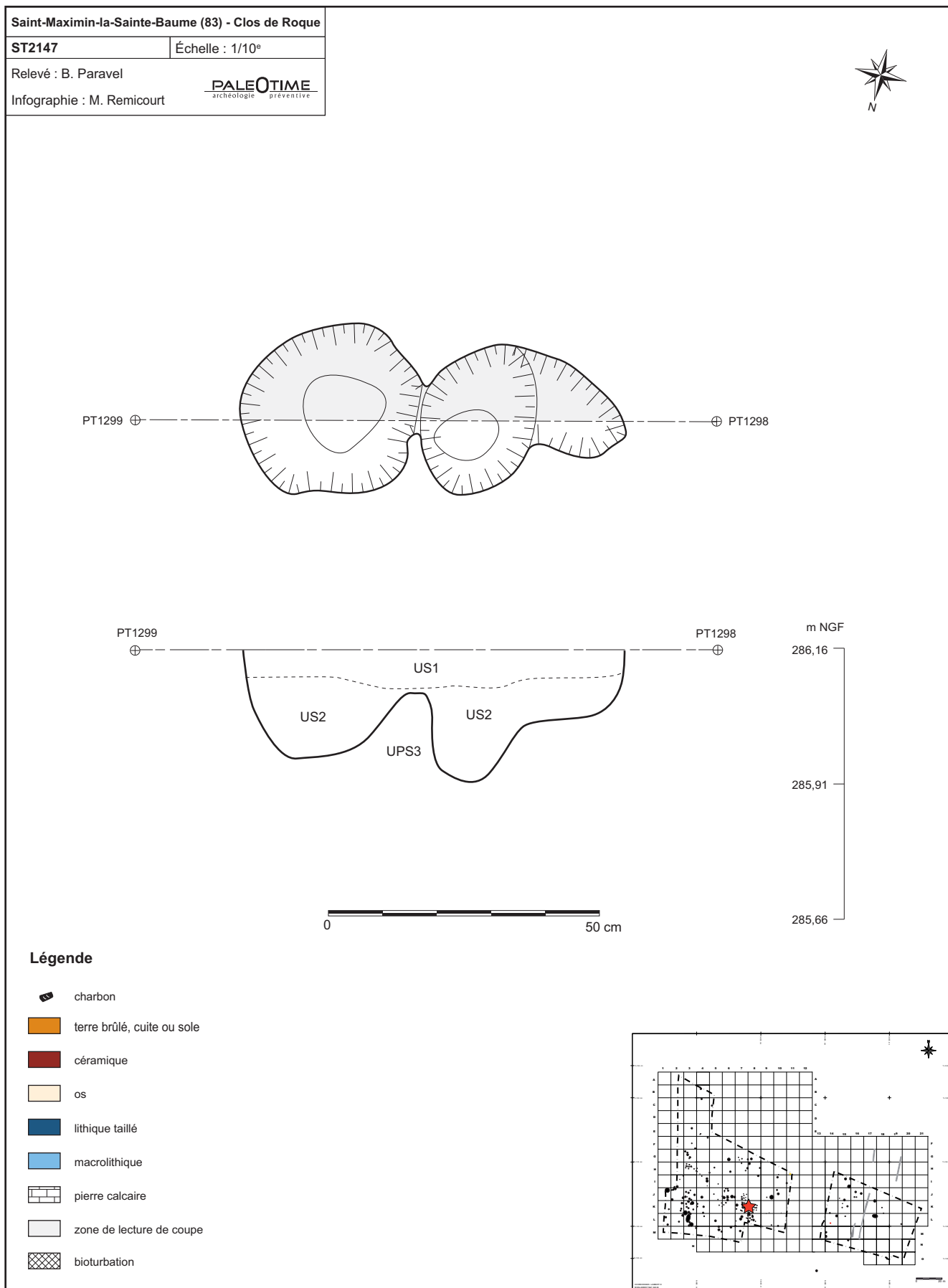


Figure 116 - Le Clos de Roque, Saint-Maximin-la-Sainte-Baume (83). Plan et coupe stratigraphique de la structure ST2147.

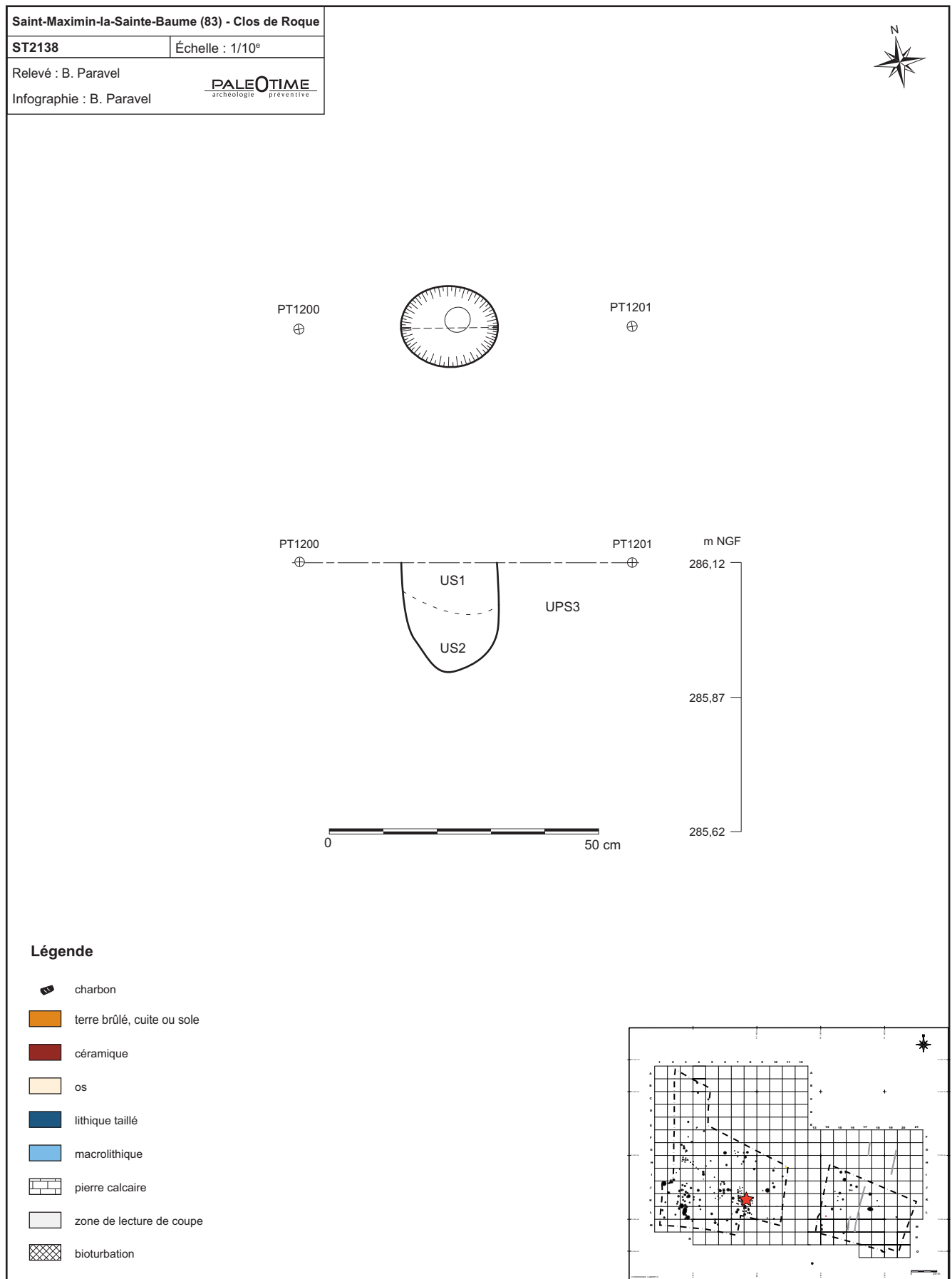


Figure 117 - Le Clos de Roque, Saint-Maximin-la-Sainte-Baume (83). Plan et coupe stratigraphique de la structure ST2138.

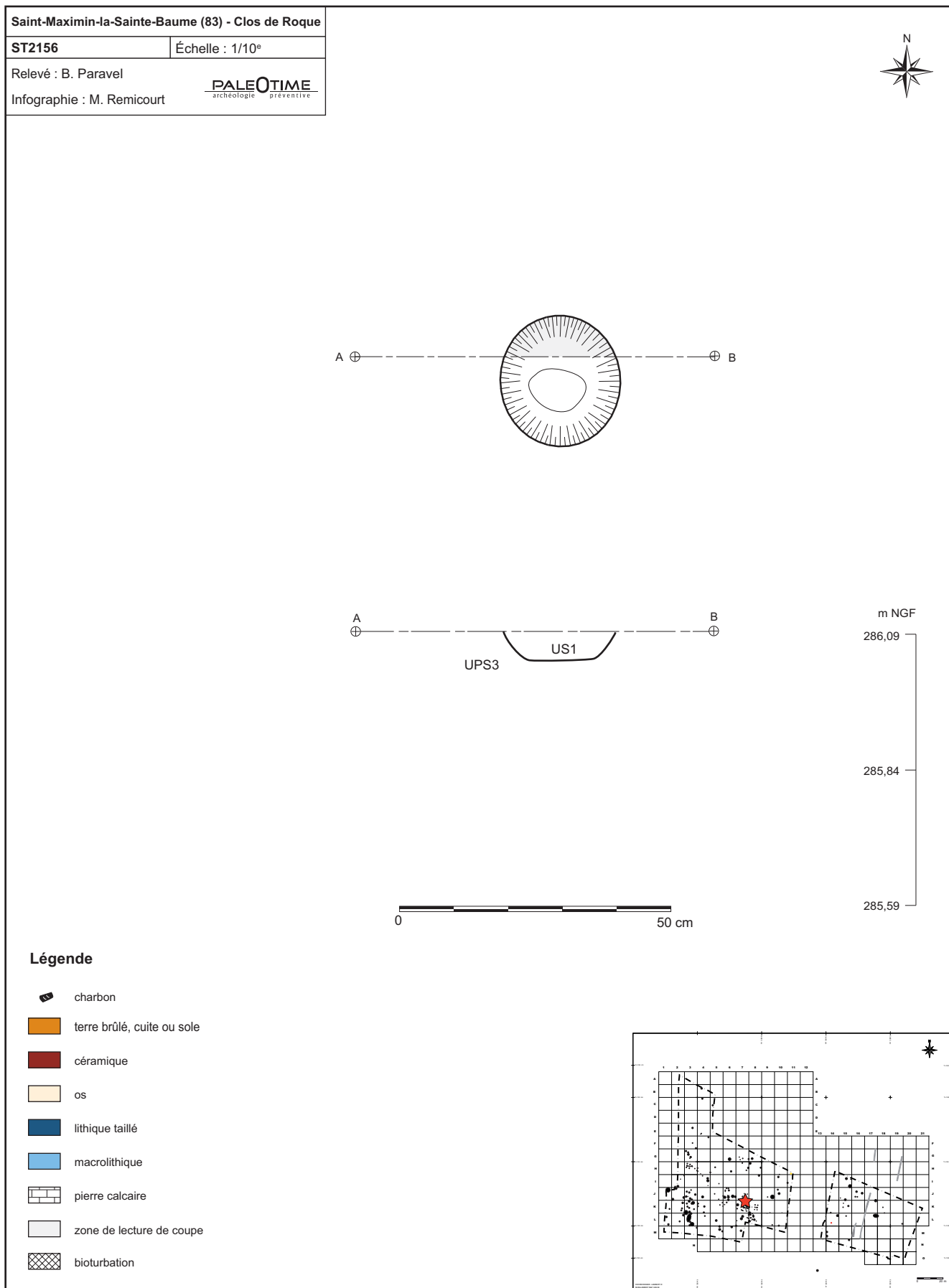


Figure 118 - Le Clos de Roque, Saint-Maximin-la-Sainte-Baume (83). Plan et coupe stratigraphique de la structure ST2156.

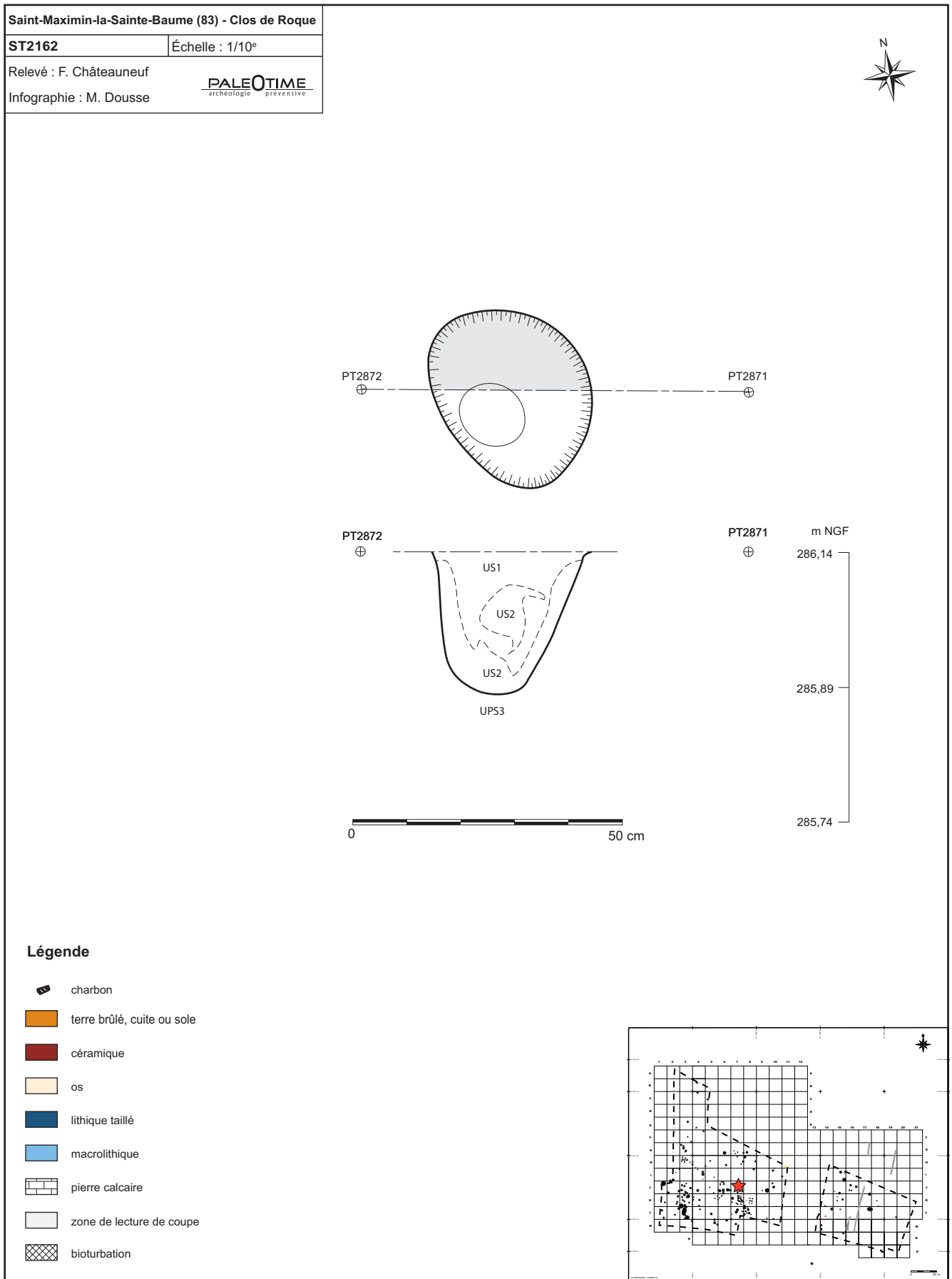


Figure 119 - Le Clos de Roque, Saint-Maximin-la-Sainte-Baume (83). Plan et coupe stratigraphique de la structure ST2162.

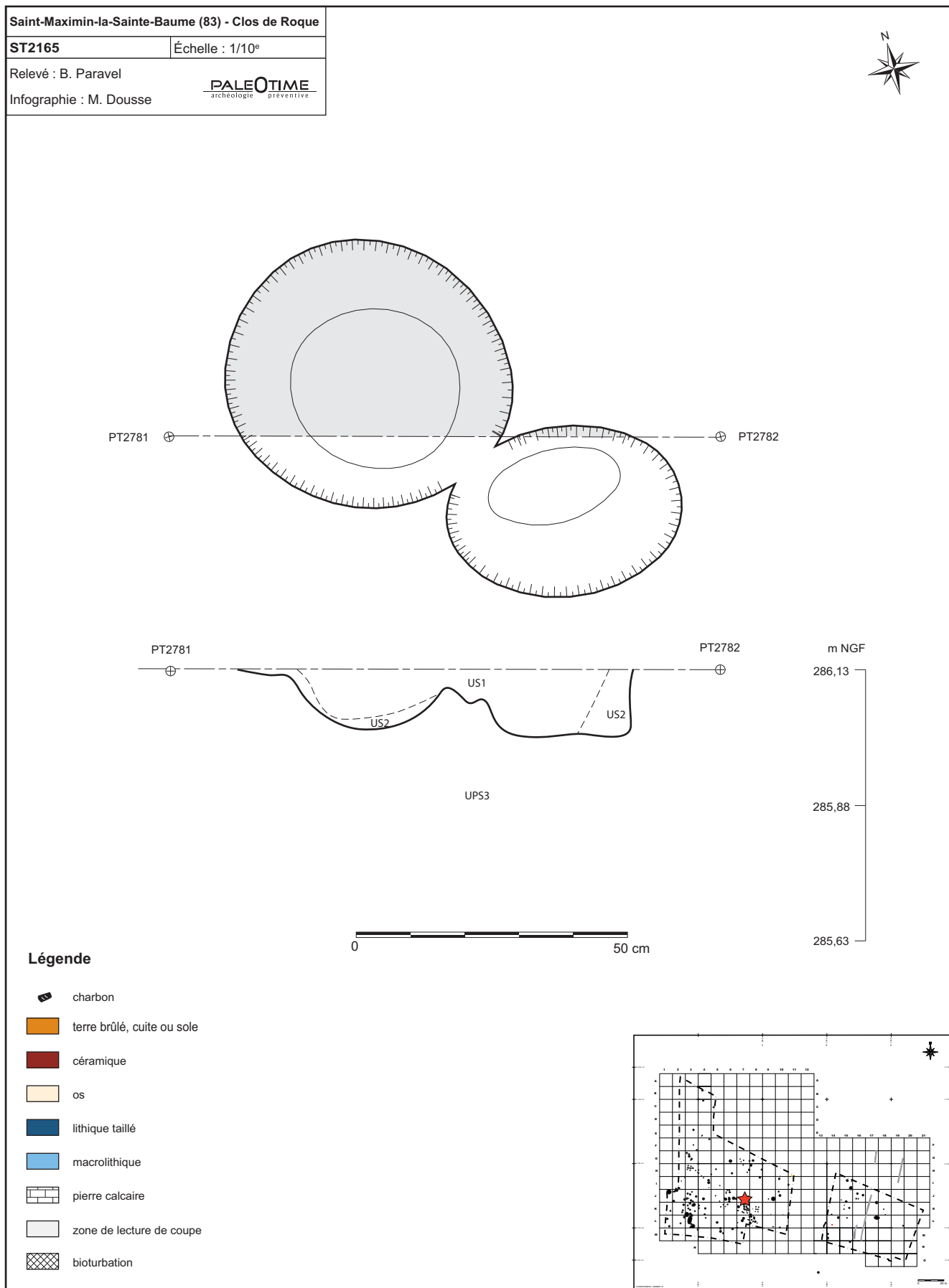


Figure 120 - Le Clos de Roque, Saint-Maximin-la-Sainte-Baume (83). Plan et coupe stratigraphique de la structure ST2165.

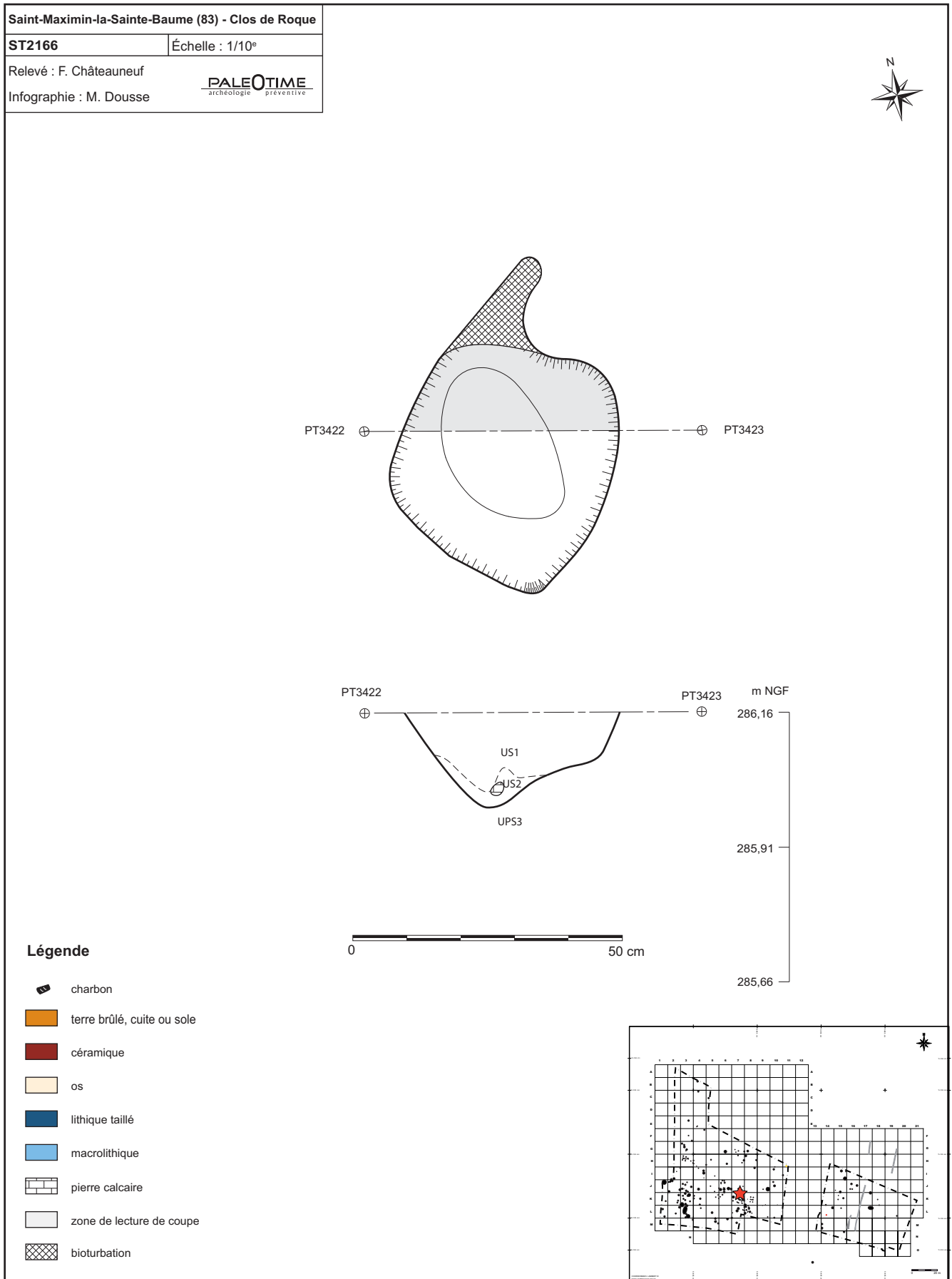


Figure 121 - Le Clos de Roque, Saint-Maximin-la-Sainte-Baume (83). Plan et coupe stratigraphique de la structure ST2166.



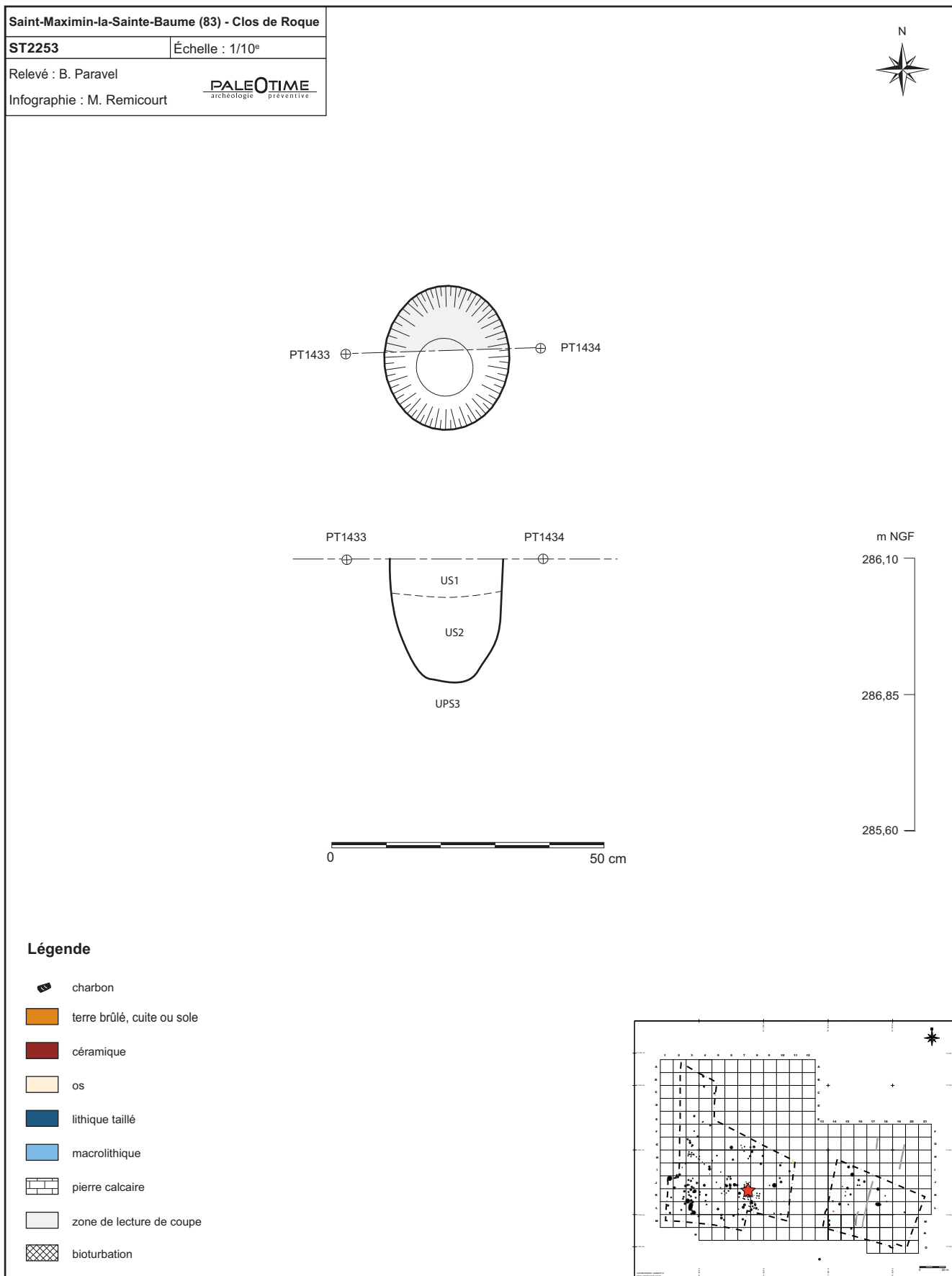


Figure 122 - Le Clos de Roque, Saint-Maximin-la-Sainte-Baume (83). Plan et coupe stratigraphique de la structure ST2253.

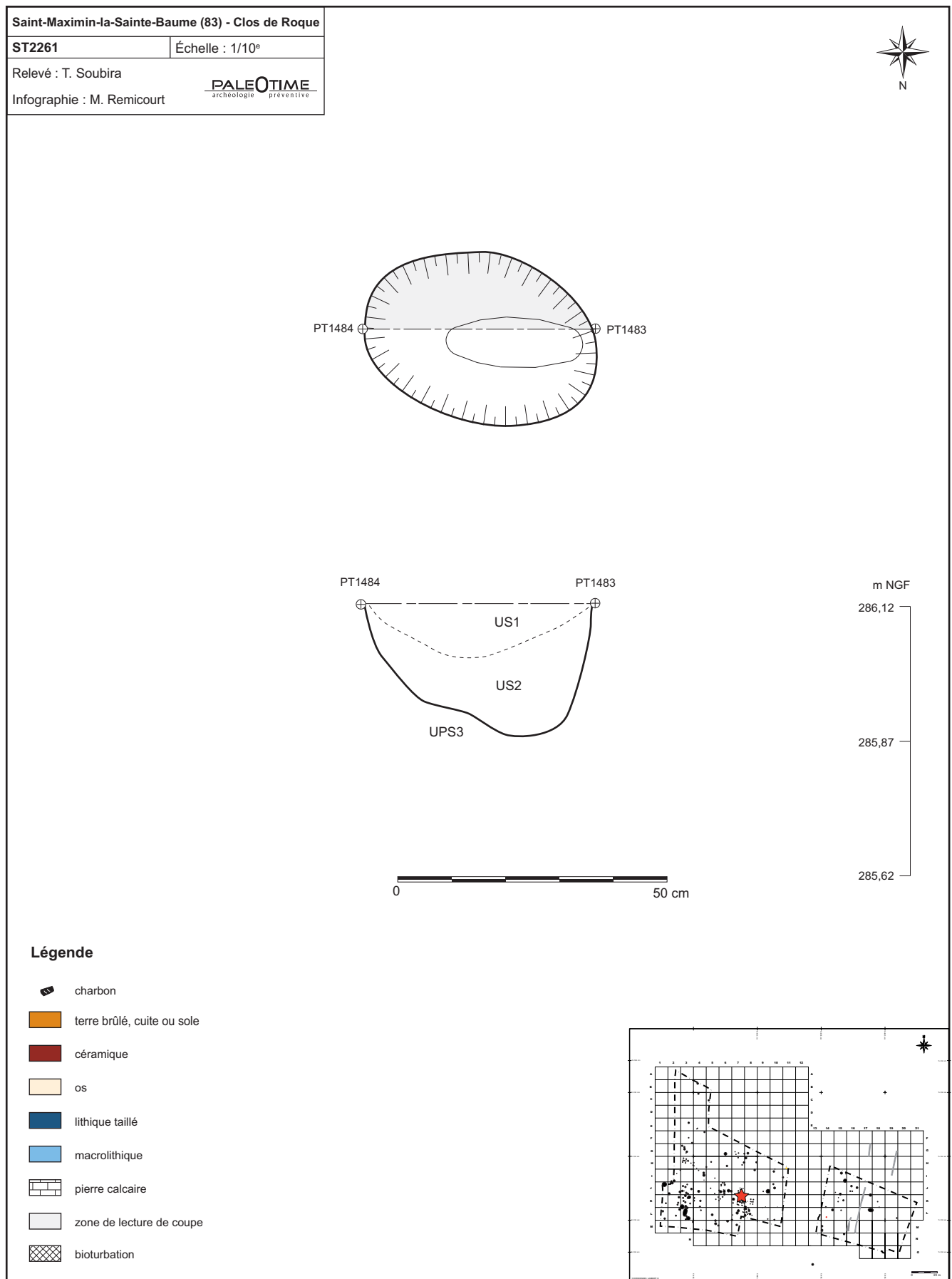


Figure 123 - Le Clos de Roque, Saint-Maximin-la-Sainte-Baume (83). Plan et coupe stratigraphique de la structure ST2261.

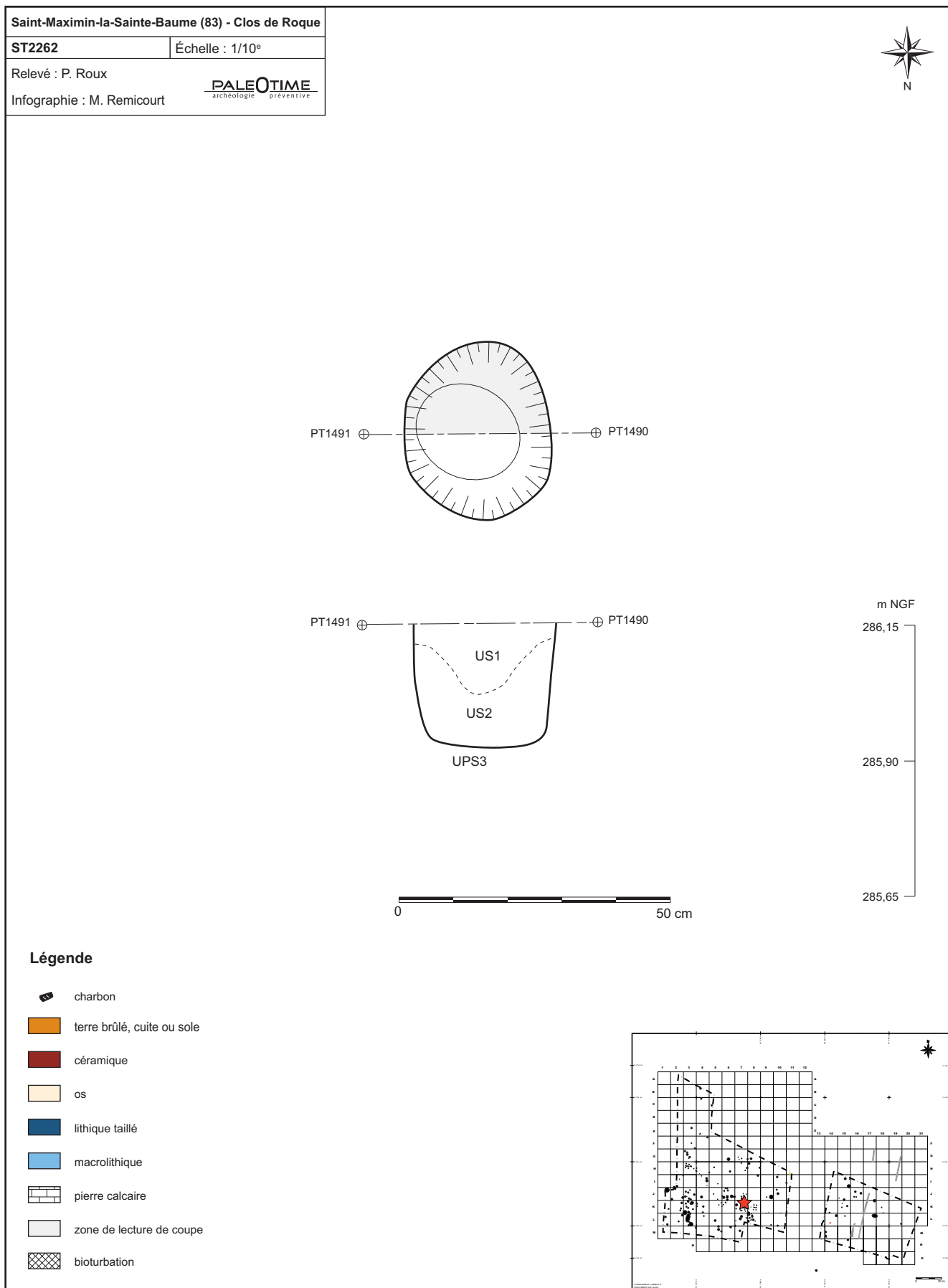


Figure 124 - Le Clos de Roque, Saint-Maximin-la-Sainte-Baume (83). Plan et coupe stratigraphique de la structure ST2262.

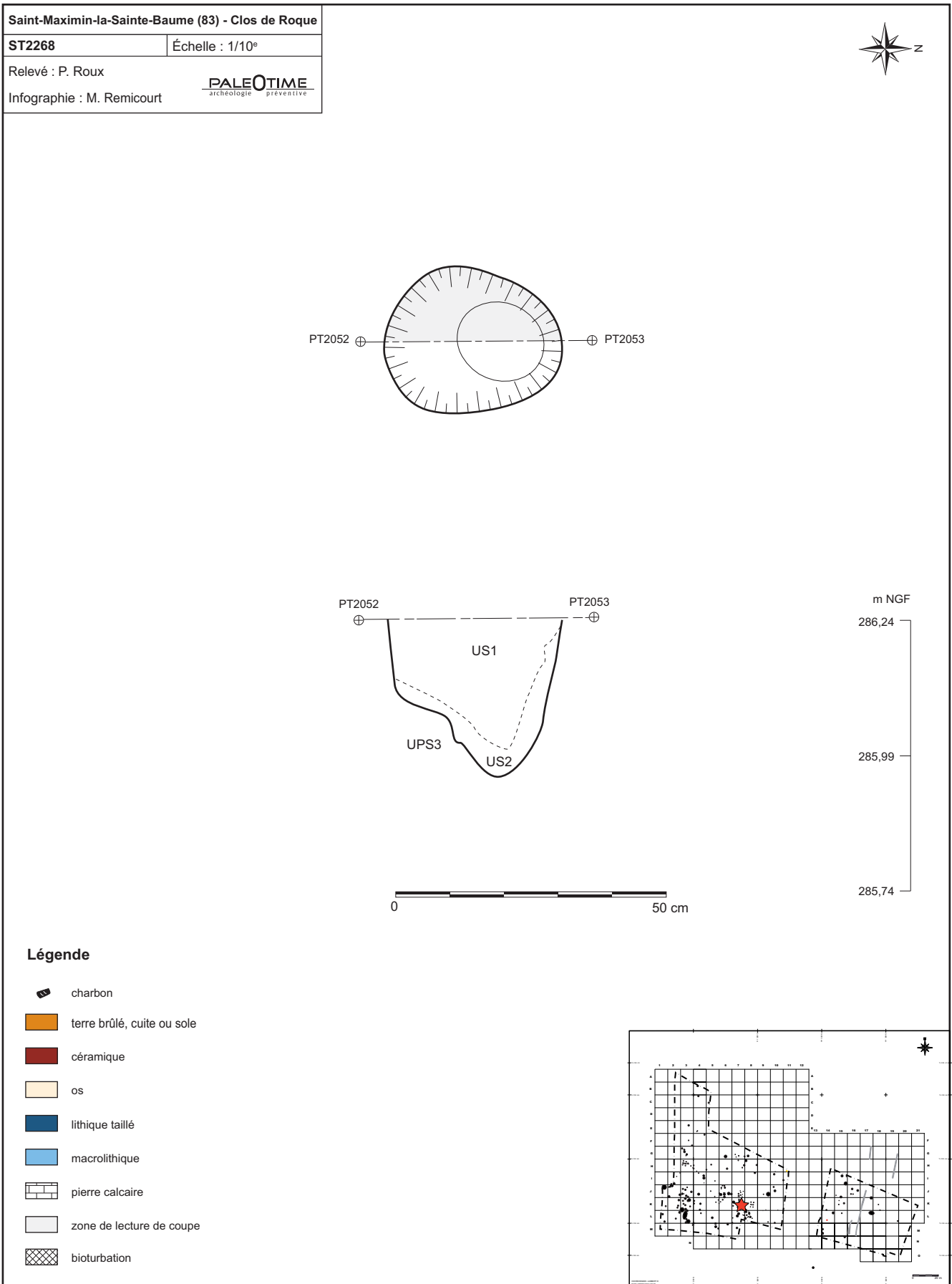


Figure 125 - Le Clos de Roque, Saint-Maximin-la-Sainte-Baume (83). Plan et coupe stratigraphique de la structure ST2268.

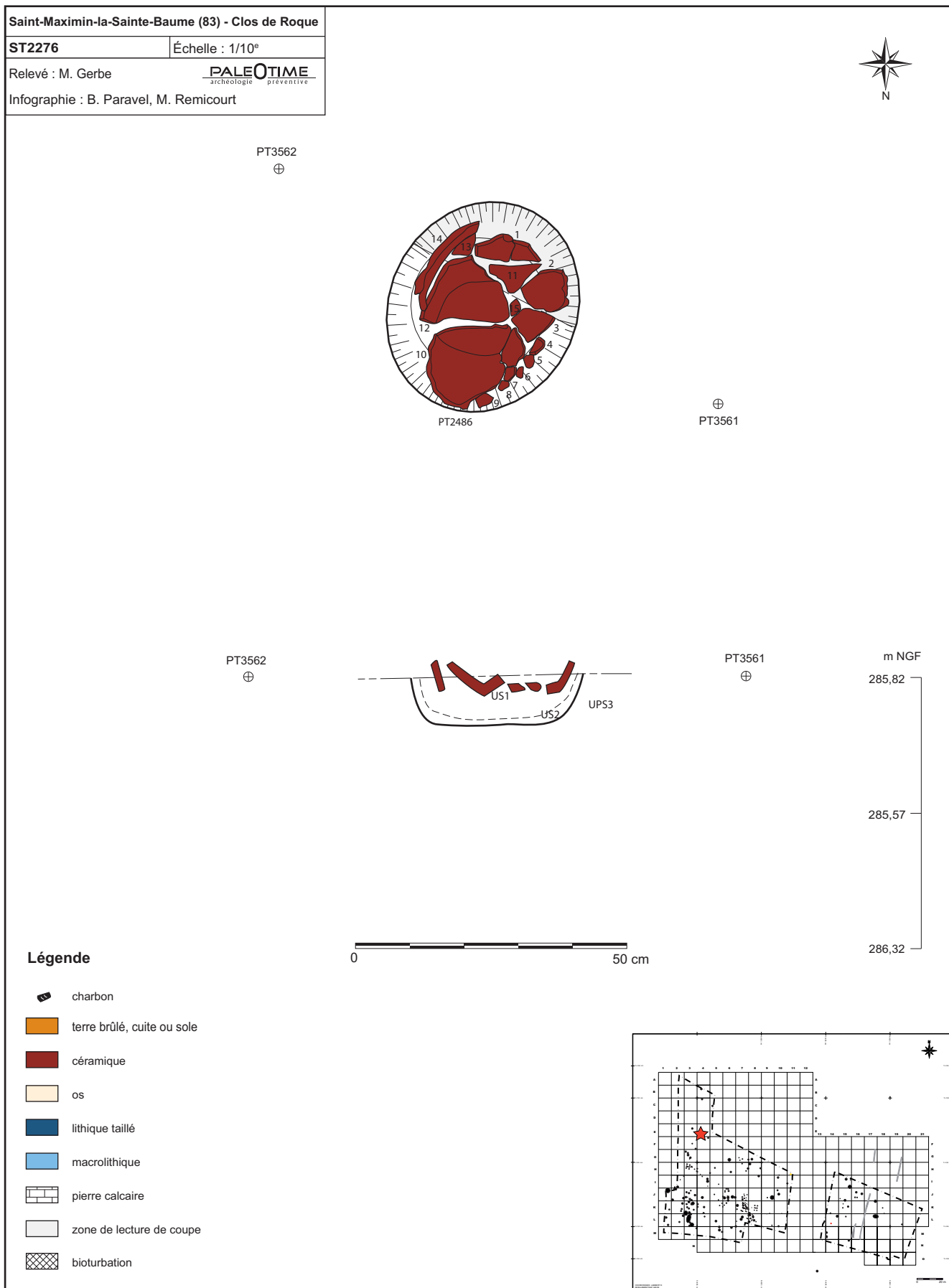


Figure 126 - Le Clos de Roque, Saint-Maximin-la-Sainte-Baume (83). Plan et coupe stratigraphique de la structure ST2276.

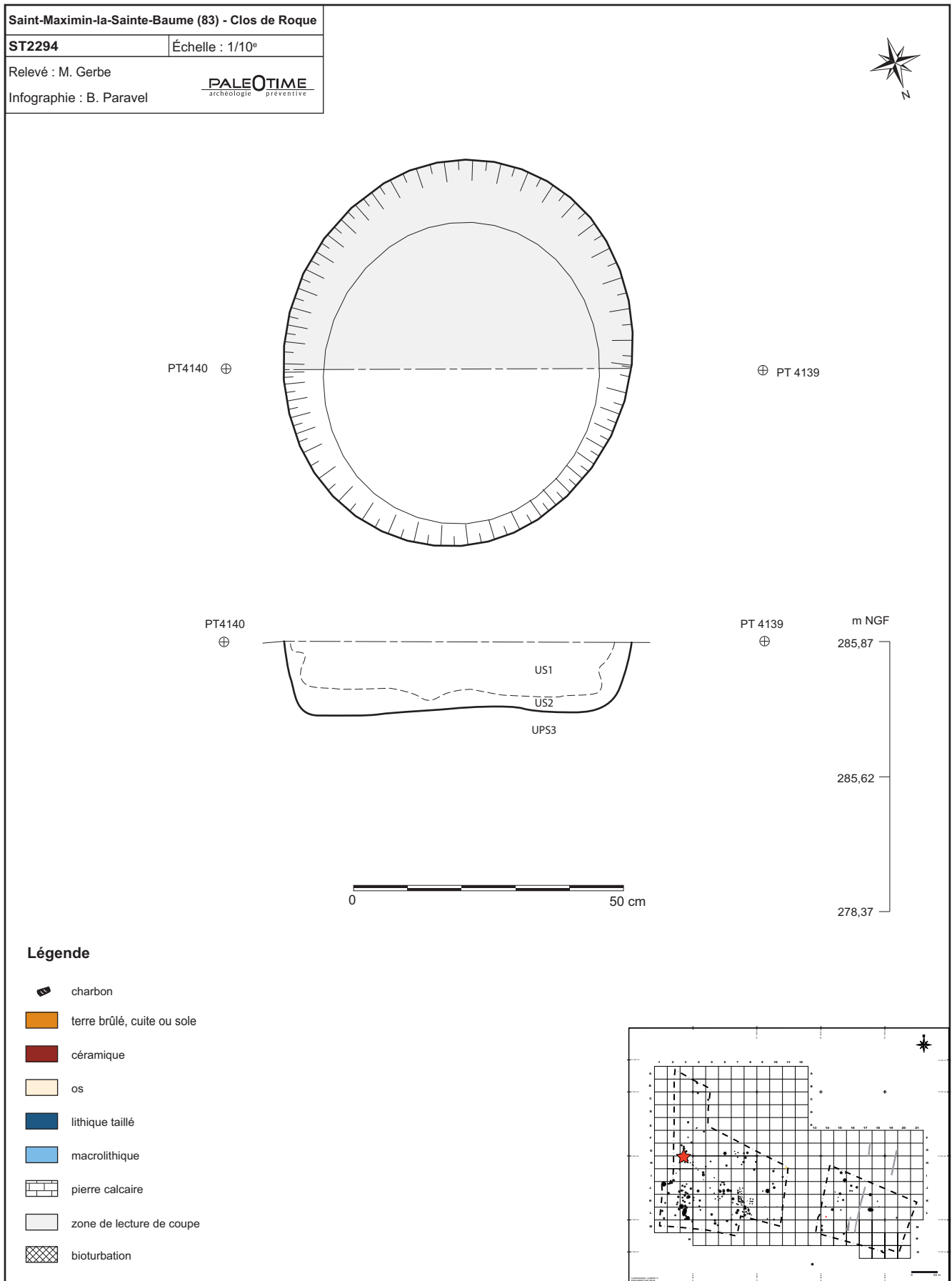


Figure 127 - Le Clos de Roque, Saint-Maximin-la-Sainte-Baume (83). Plan et coupe stratigraphique de la structure ST2294.

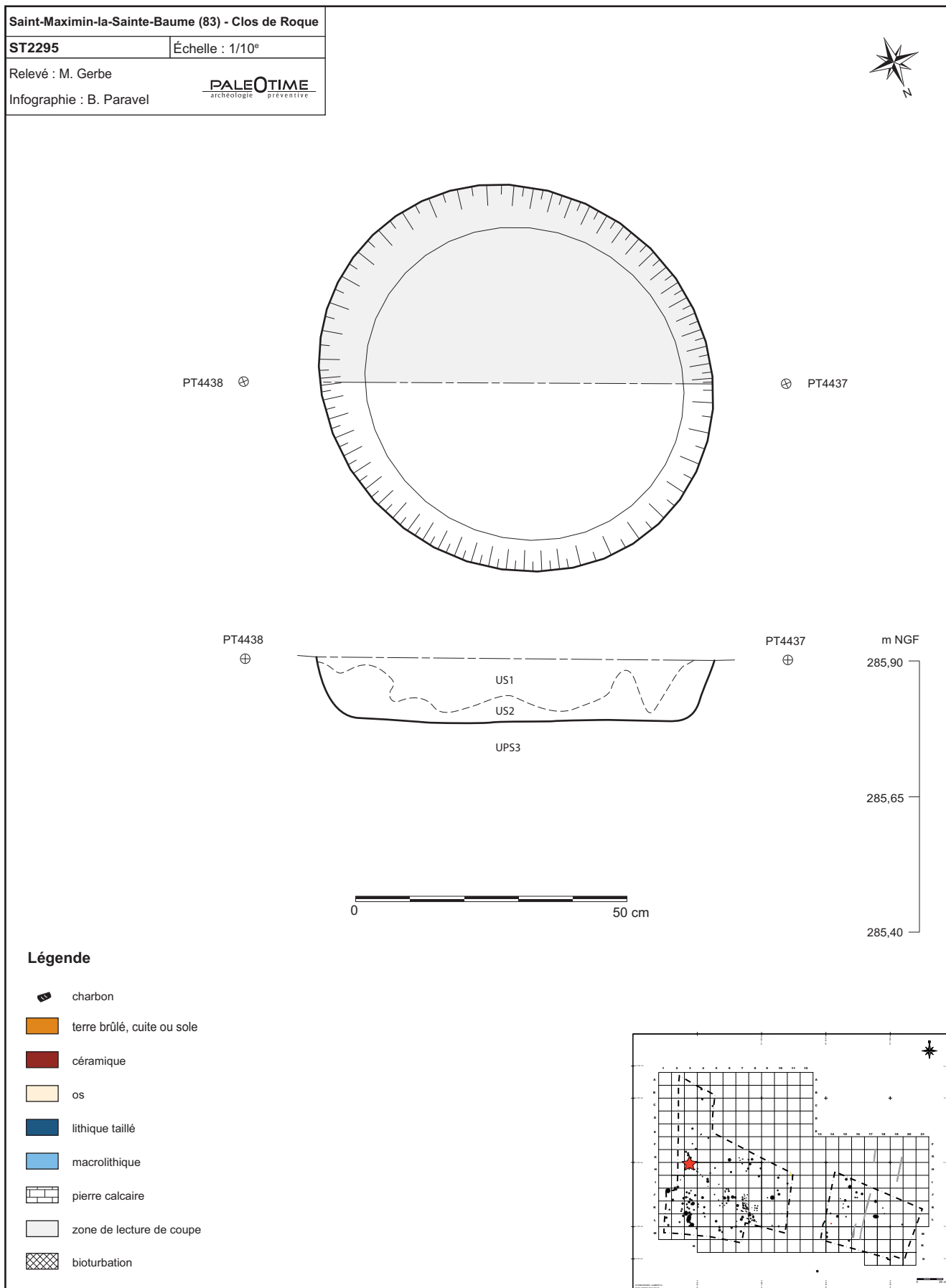


Figure 128 - Le Clos de Roque, Saint-Maximin-la-Sainte-Baume (83). Plan et coupe stratigraphique de la structure ST2295.

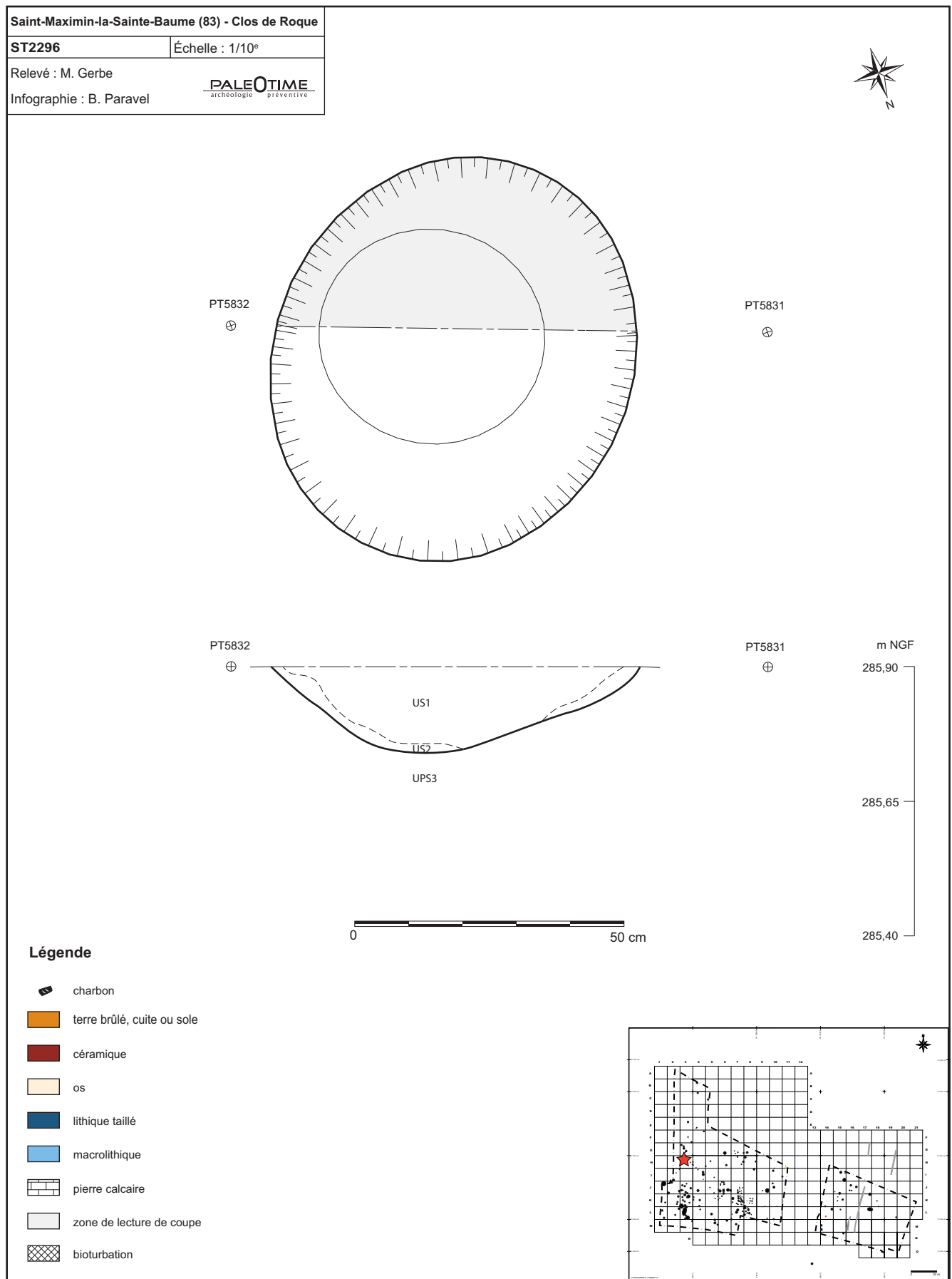


Figure 129 - Le Clos de Roque, Saint-Maximin-la-Sainte-Baume (83). Plan et coupe stratigraphique de la structure ST2296.



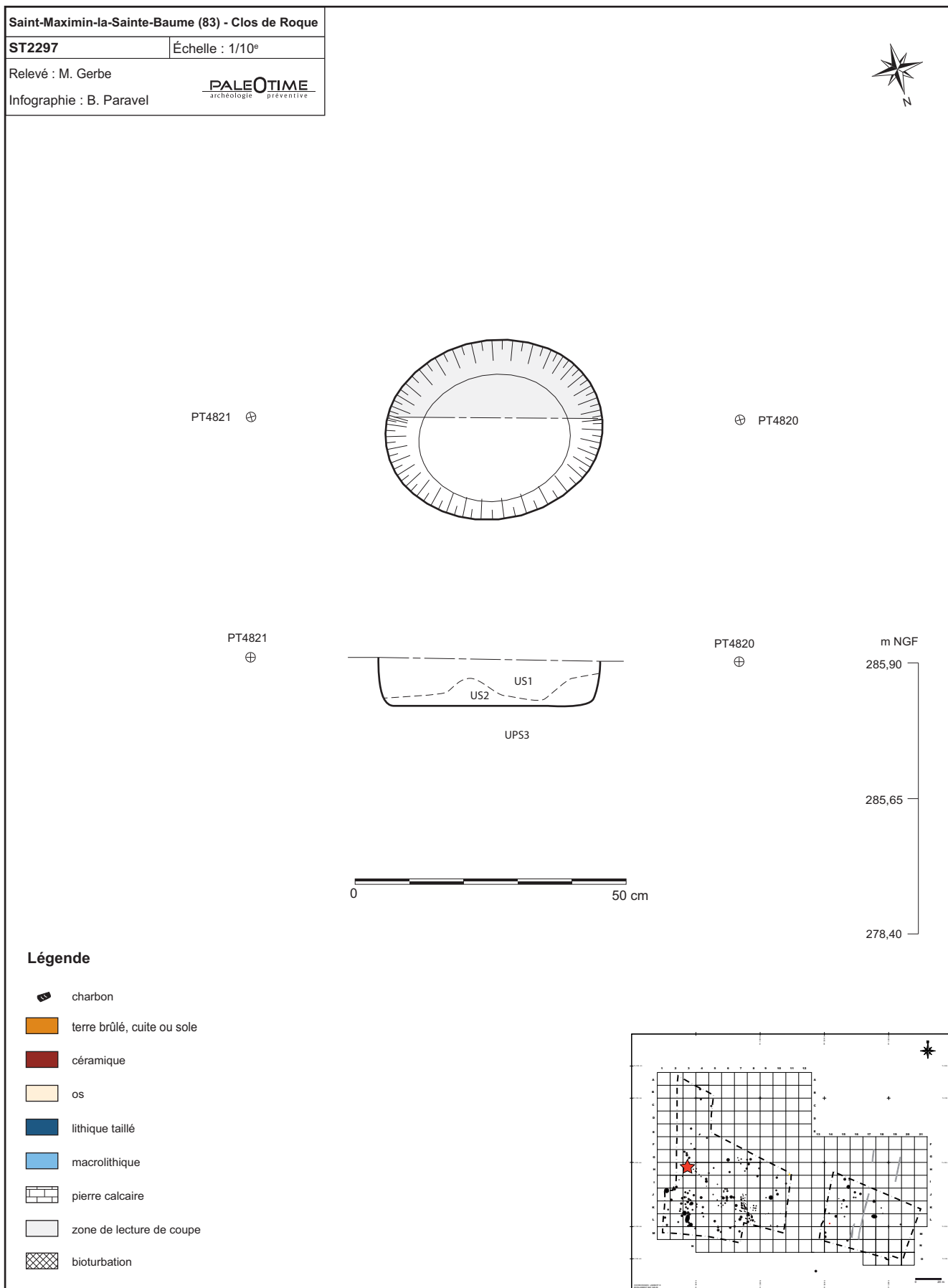


Figure 130 - Le Clos de Roque, Saint-Maximin-la-Sainte-Baume (83). Plan et coupe stratigraphique de la structure ST2297.

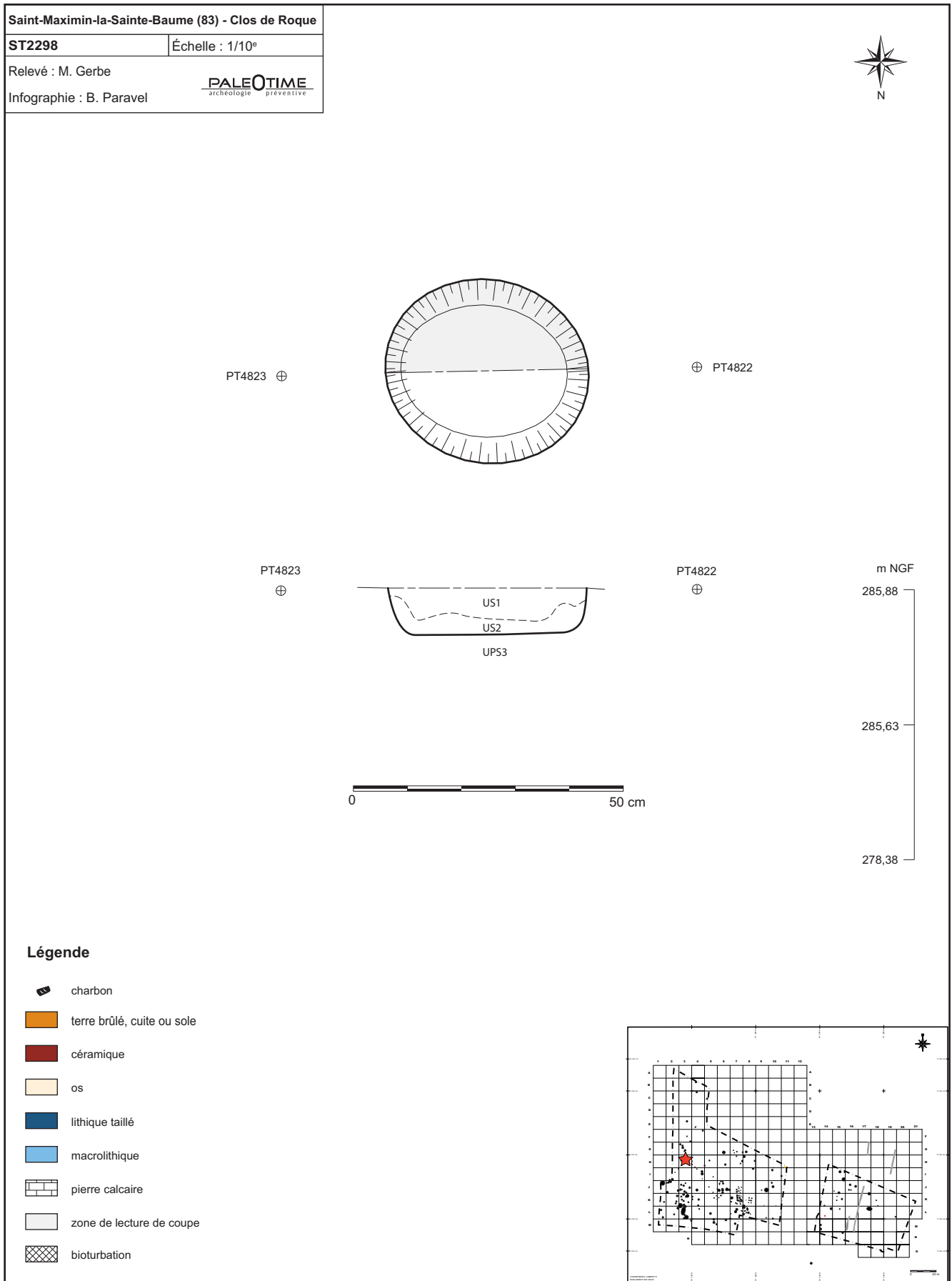


Figure 131 - Le Clos de Roque, Saint-Maximin-la-Sainte-Baume (83). Plan et coupe stratigraphique de la structure ST2298.

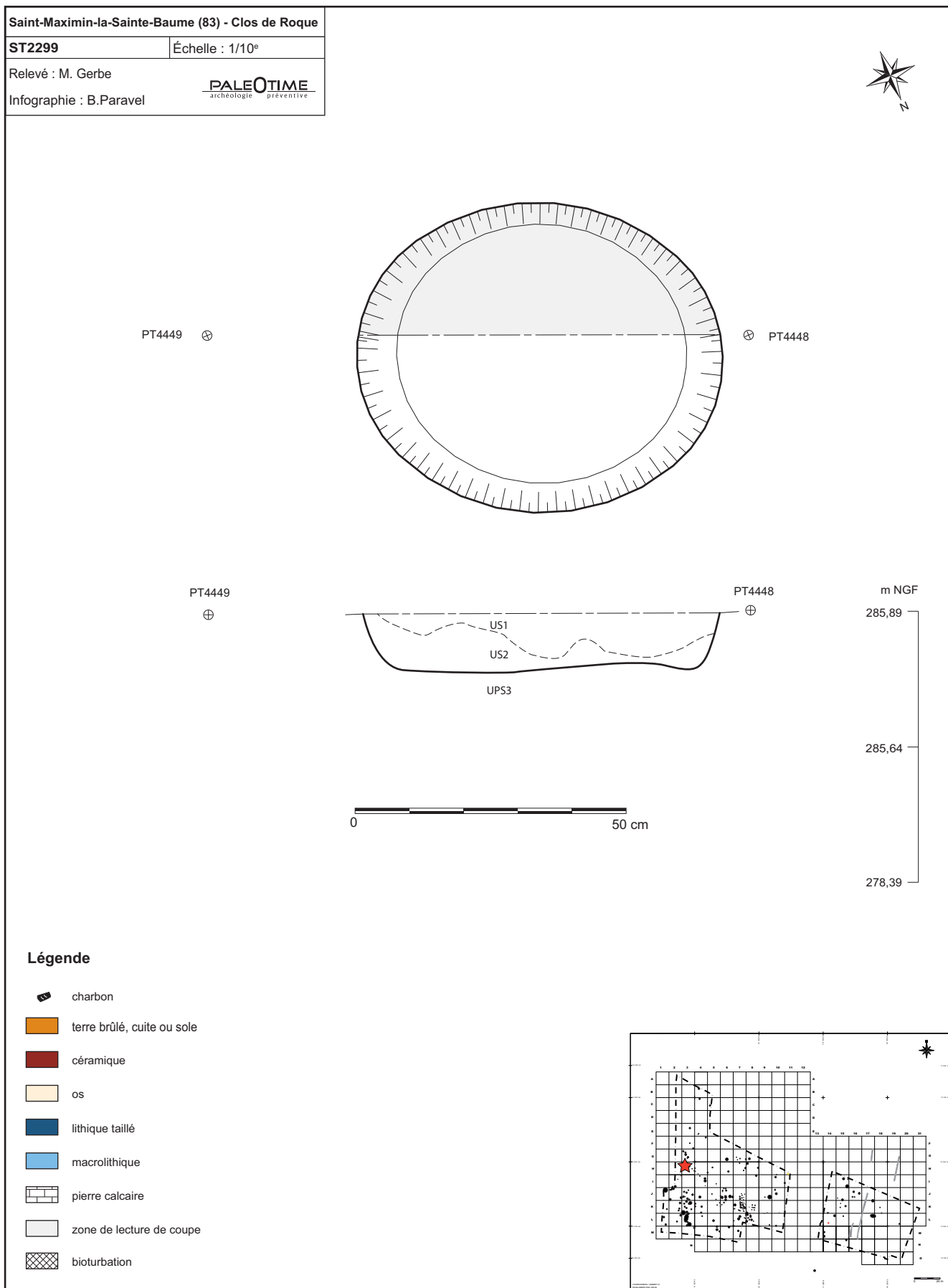


Figure 132 - Le Clos de Roque, Saint-Maximin-la-Sainte-Baume (83). Plan et coupe stratigraphique de la structure ST2299.

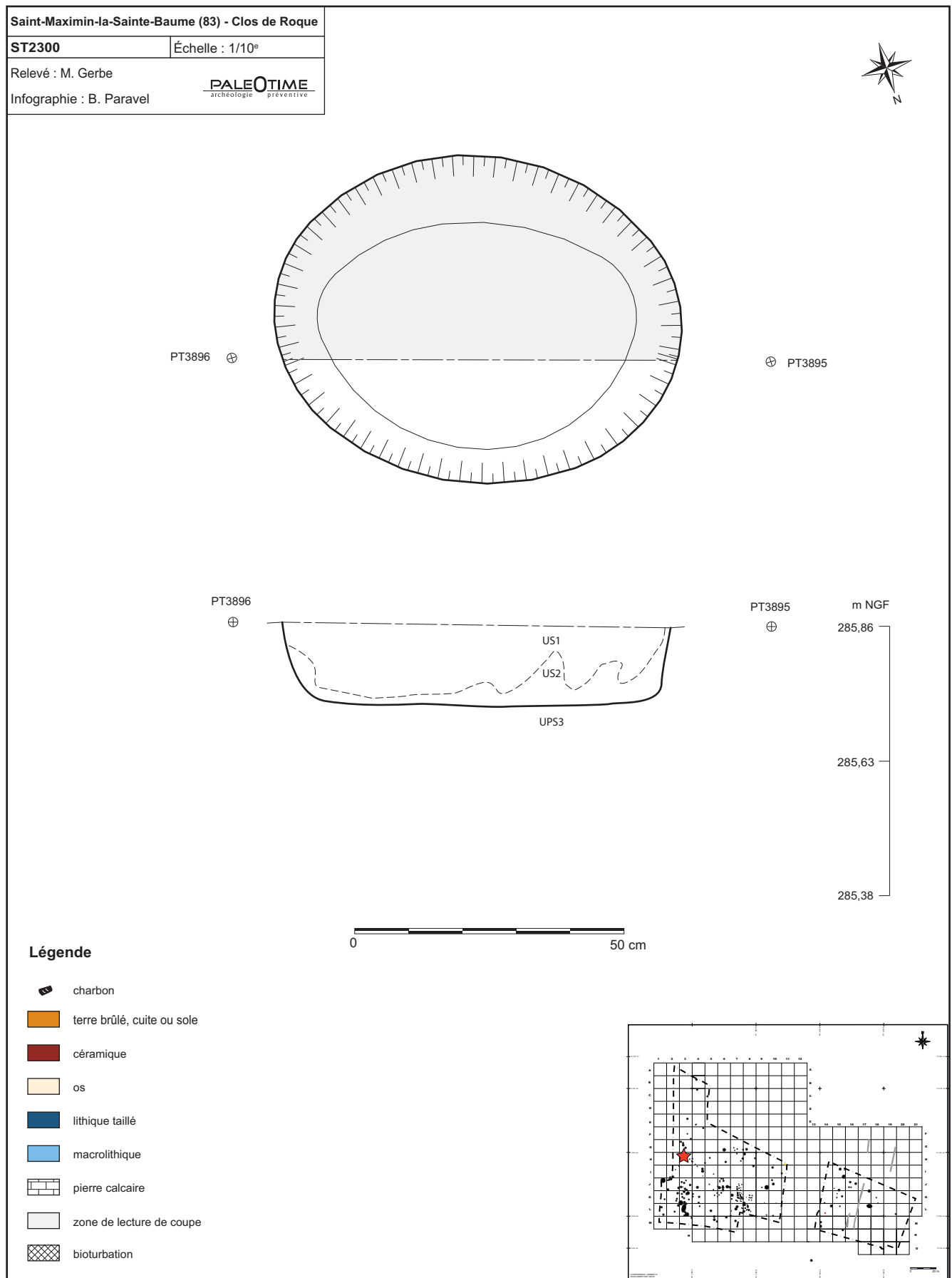


Figure 133 - Le Clos de Roque, Saint-Maximin-la-Sainte-Baume (83). Plan et coupe stratigraphique de la structure ST2300.

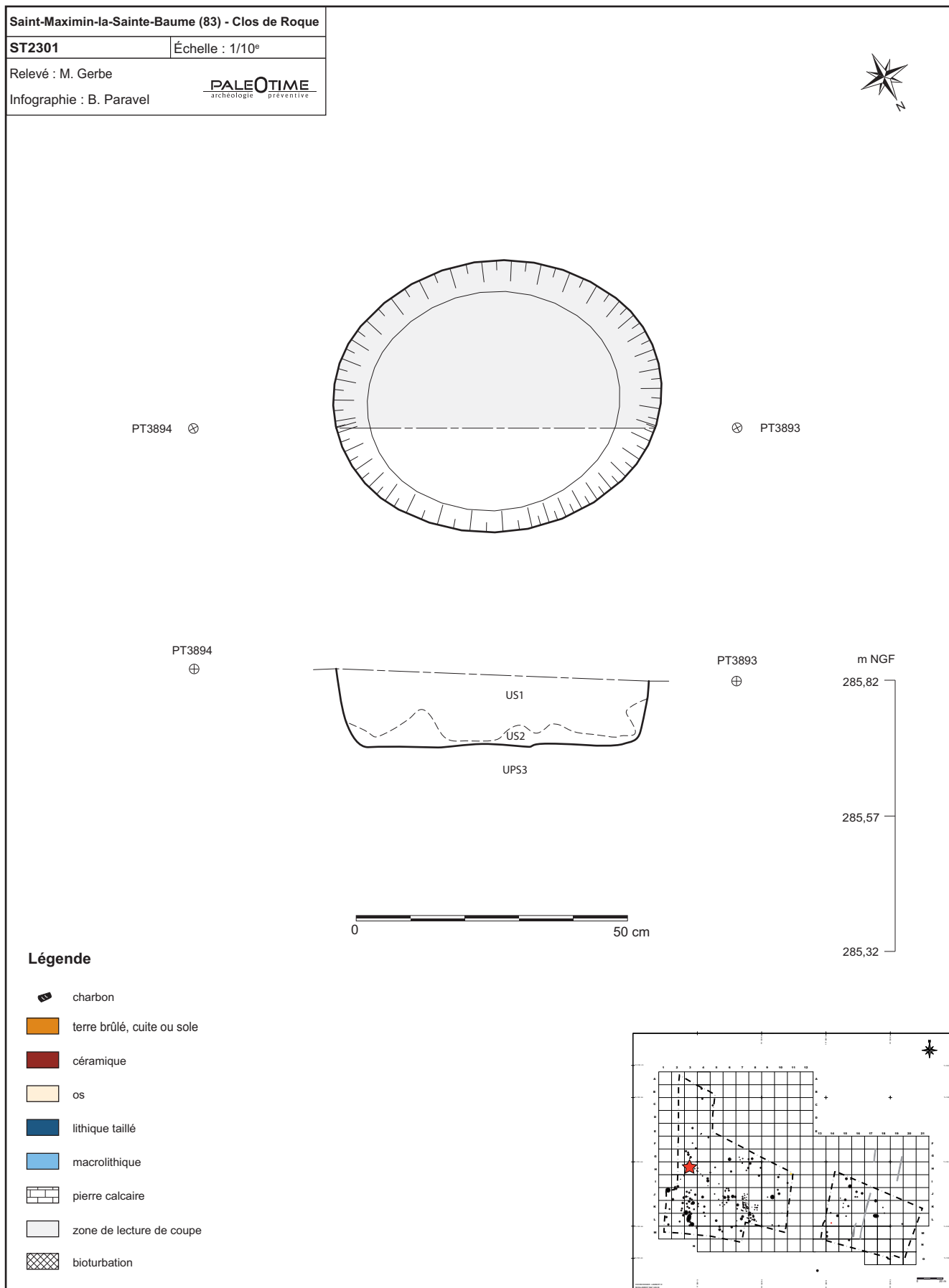


Figure 134 - Le Clos de Roque, Saint-Maximin-la-Sainte-Baume (83). Plan et coupe stratigraphique de la structure ST2301.

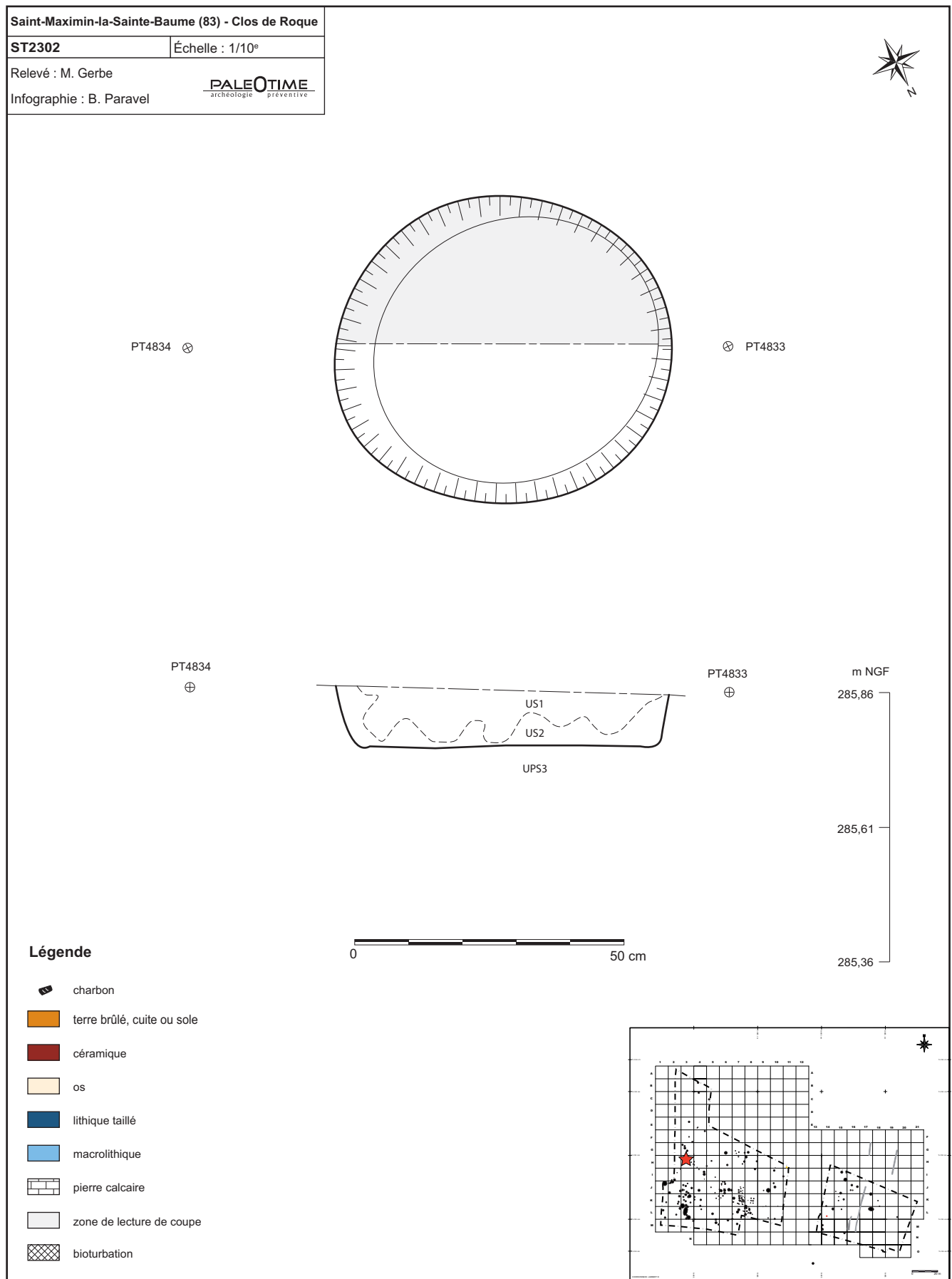


Figure 135 - Le Clos de Roque, Saint-Maximin-la-Sainte-Baume (83). Plan et coupe stratigraphique de la structure ST2302.

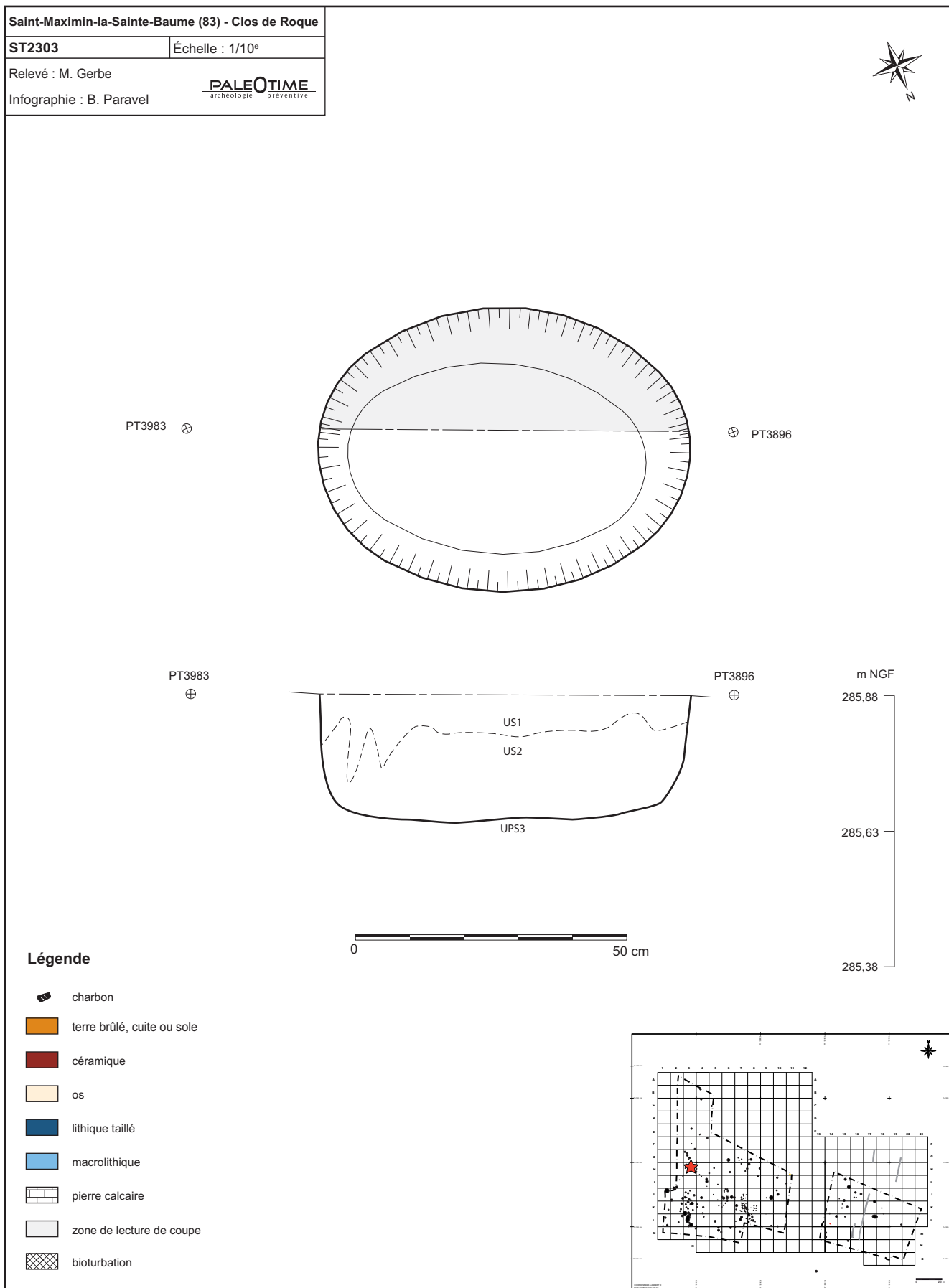


Figure 136 - Le Clos de Roque, Saint-Maximin-la-Sainte-Baume (83). Plan et coupe stratigraphique de la structure ST2303.

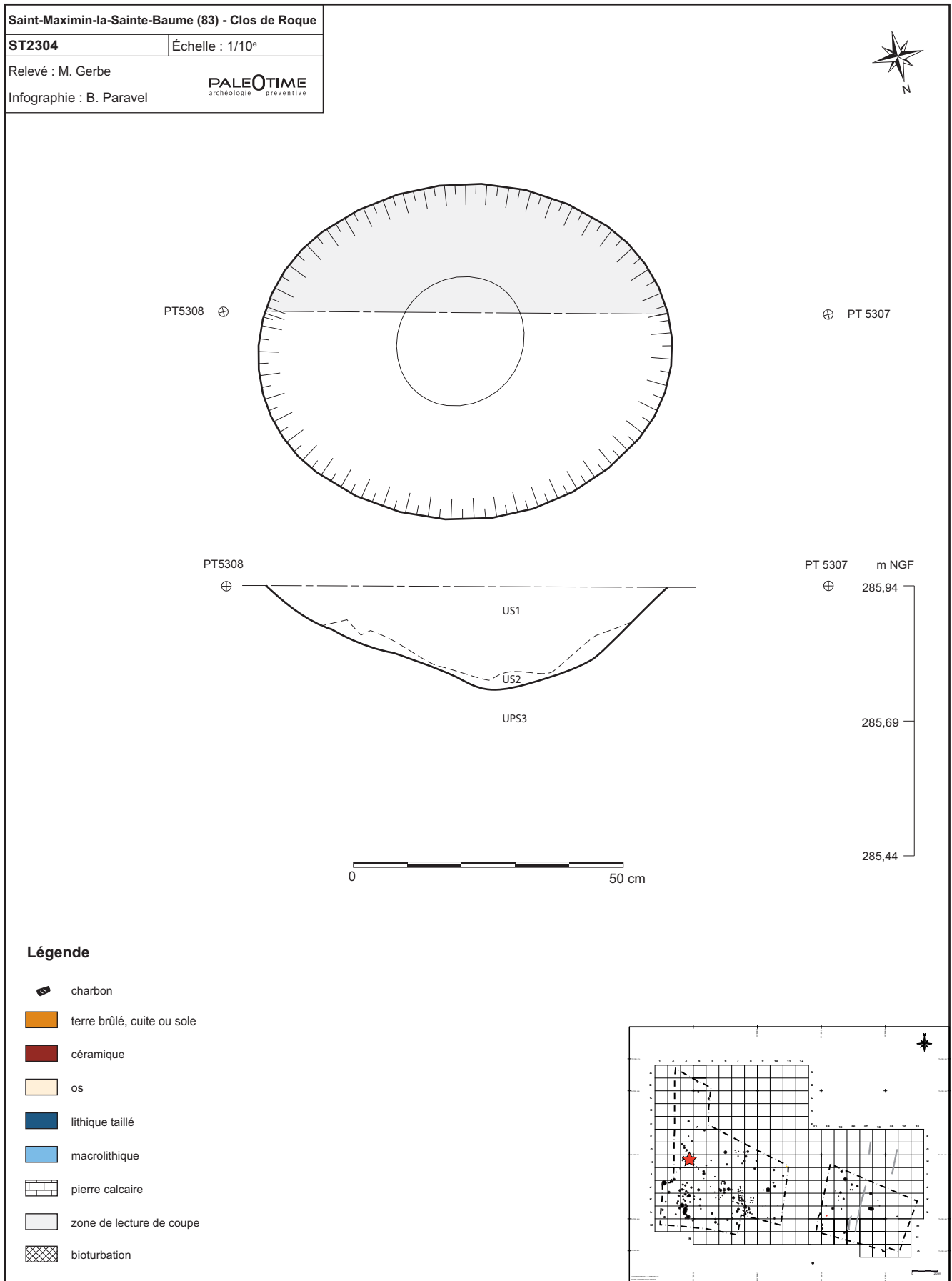


Figure 137 - Le Clos de Roque, Saint-Maximin-la-Sainte-Baume (83). Plan et coupe stratigraphique de la structure ST2304.



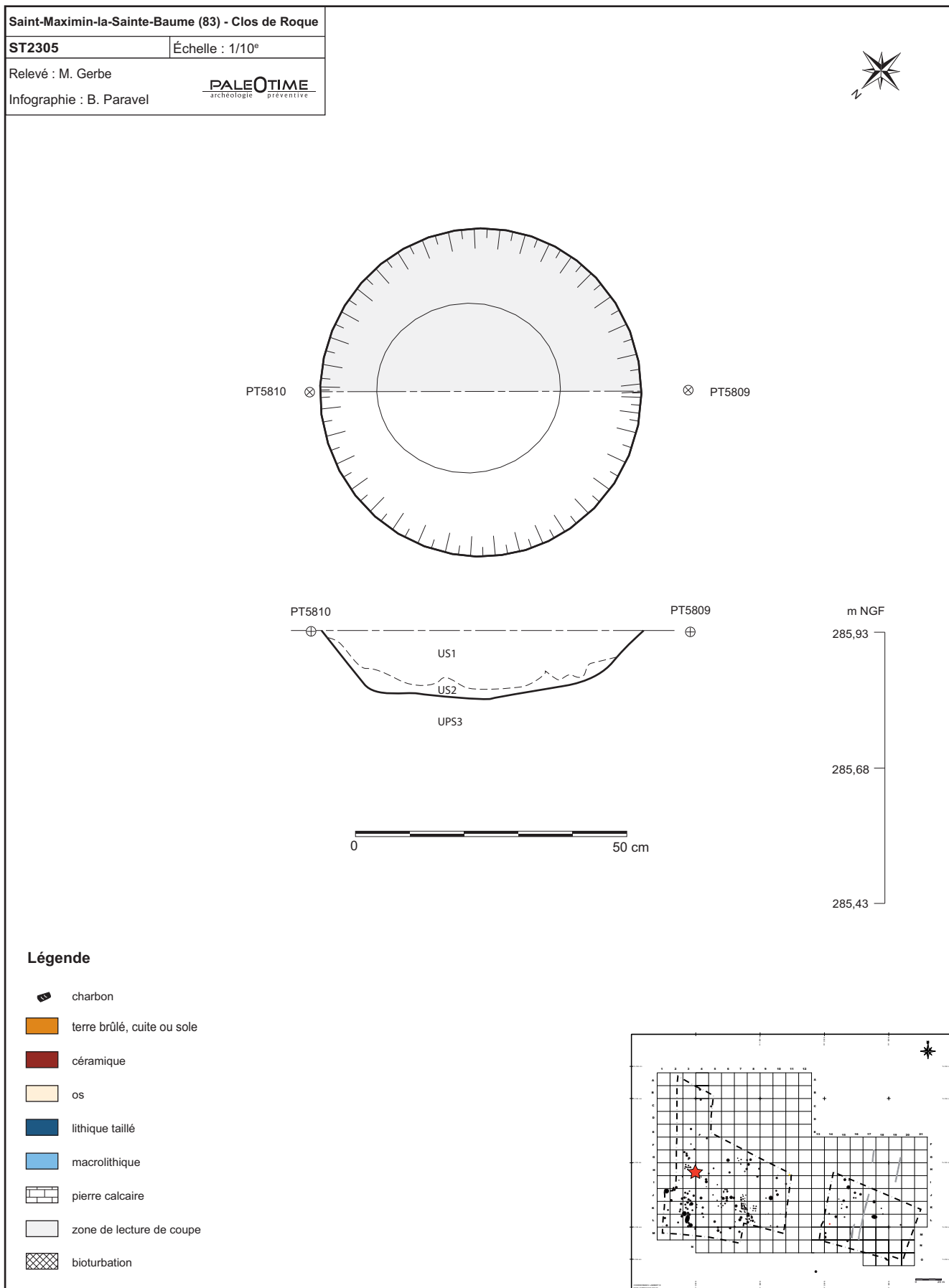


Figure 138 - Le Clos de Roque, Saint-Maximin-la-Sainte-Baume (83). Plan et coupe stratigraphique de la structure ST2305.

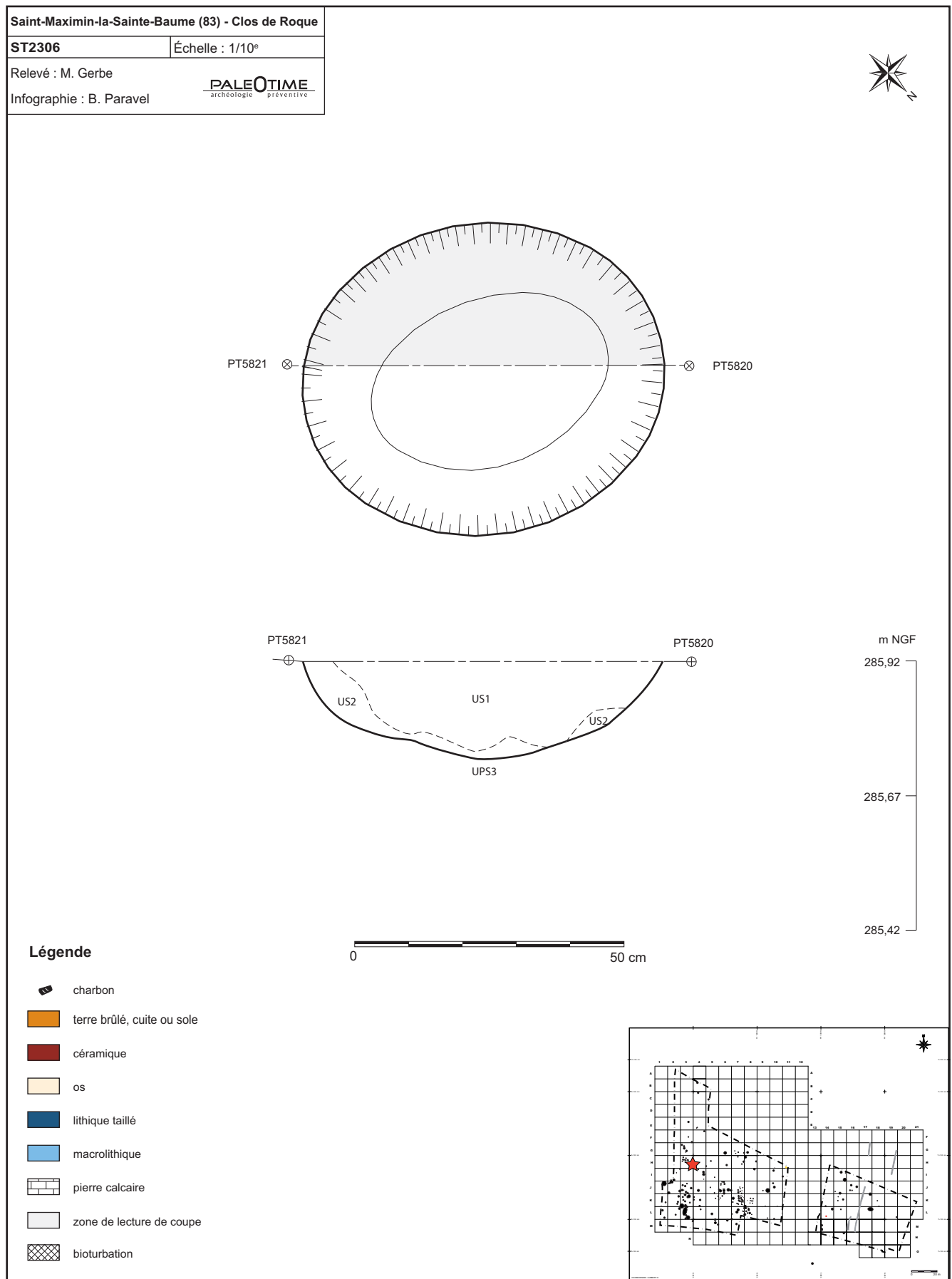


Figure 139 - Le Clos de Roque, Saint-Maximin-la-Sainte-Baume (83). Plan et coupe stratigraphique de la structure ST2306.

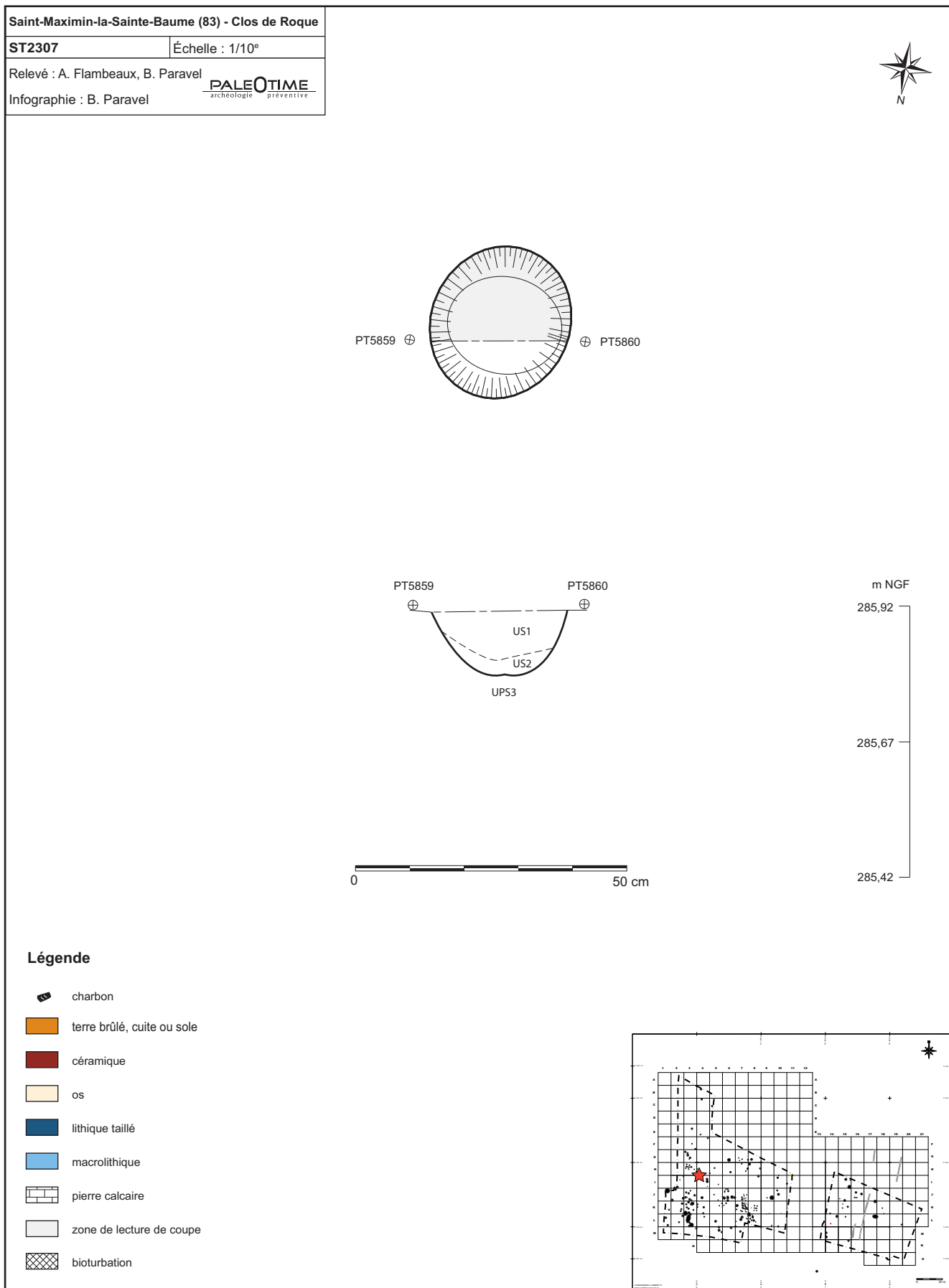


Figure 140 - Le Clos de Roque, Saint-Maximin-la-Sainte-Baume (83). Plan et coupe stratigraphique de la structure ST2307.

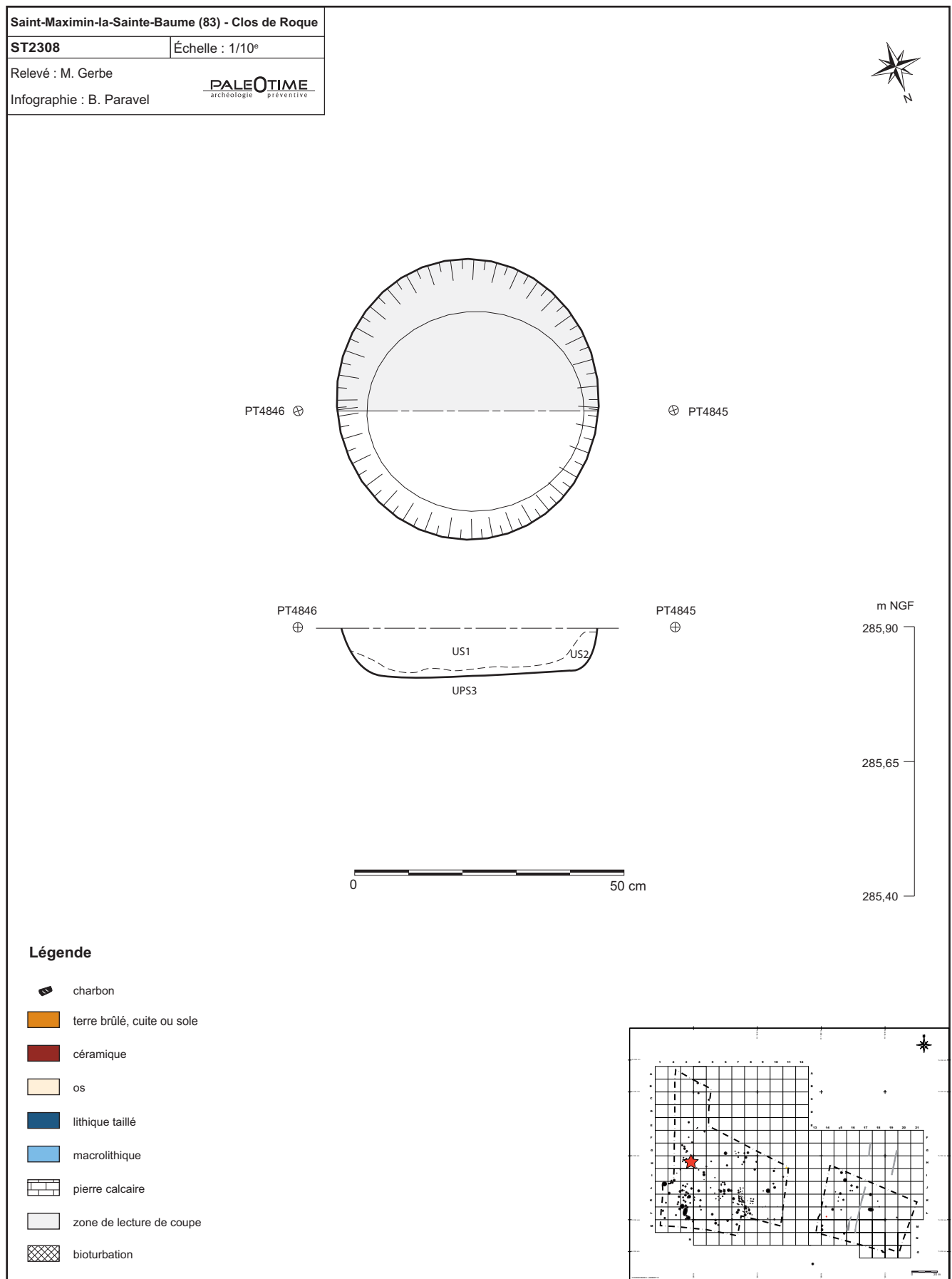


Figure 141 - Le Clos de Roque, Saint-Maximin-la-Sainte-Baume (83). Plan et coupe stratigraphique de la structure ST2308.

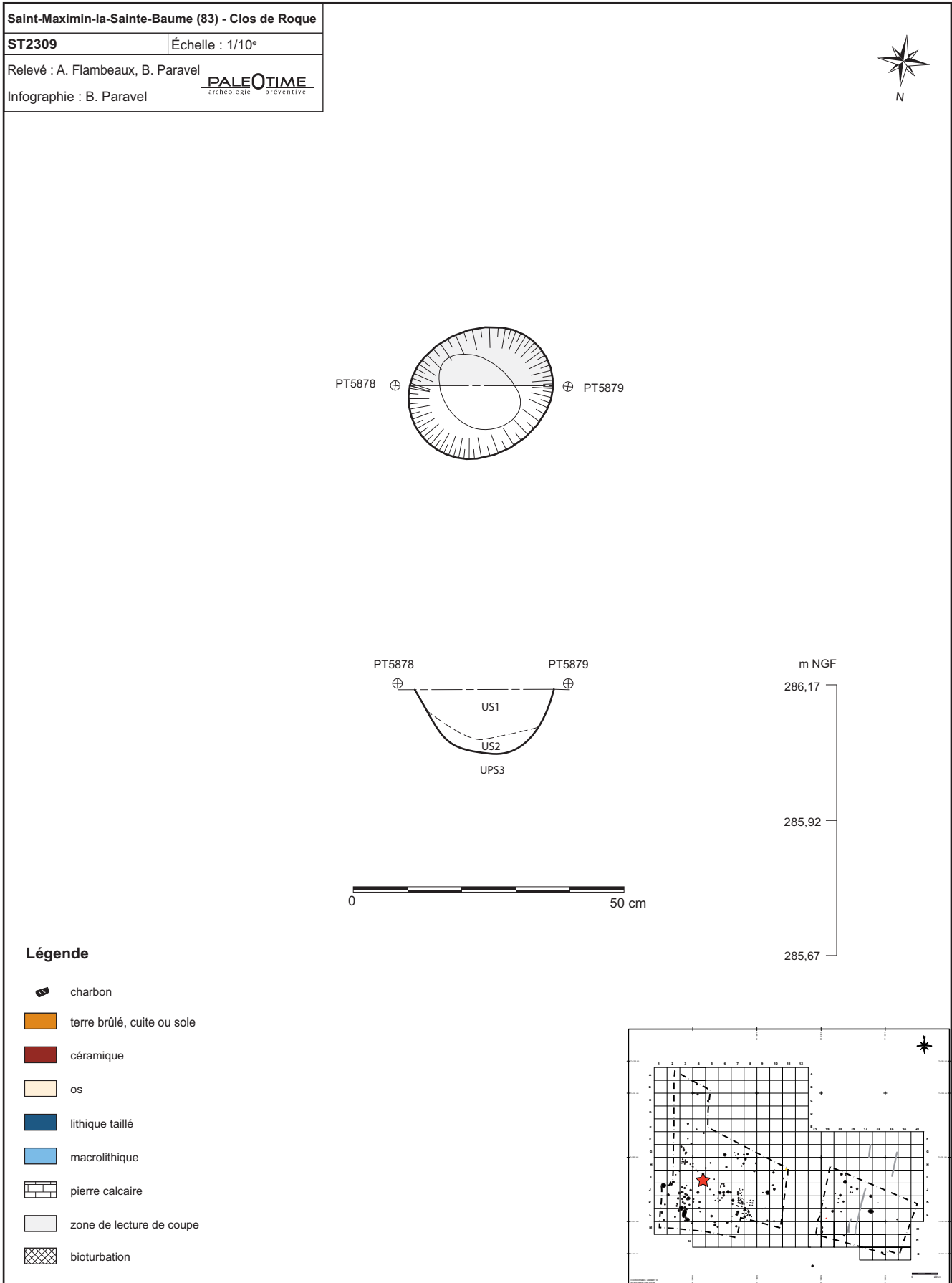


Figure 142 - Le Clos de Roque, Saint-Maximin-la-Sainte-Baume (83). Plan et coupe stratigraphique de la structure ST2309.

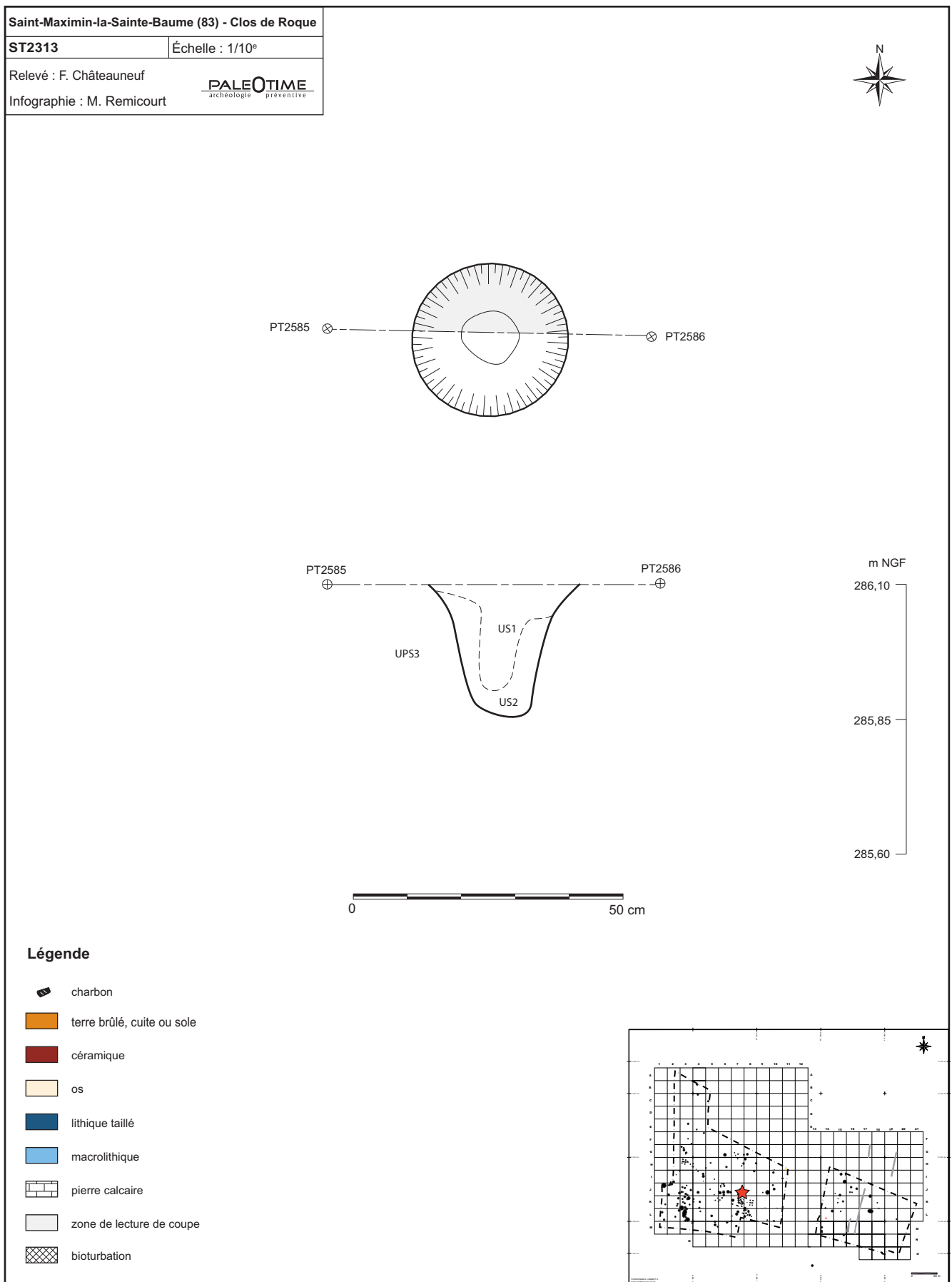


Figure 143 - Le Clos de Roque, Saint-Maximin-la-Sainte-Baume (83). Plan et coupe stratigraphique de la structure ST2313.

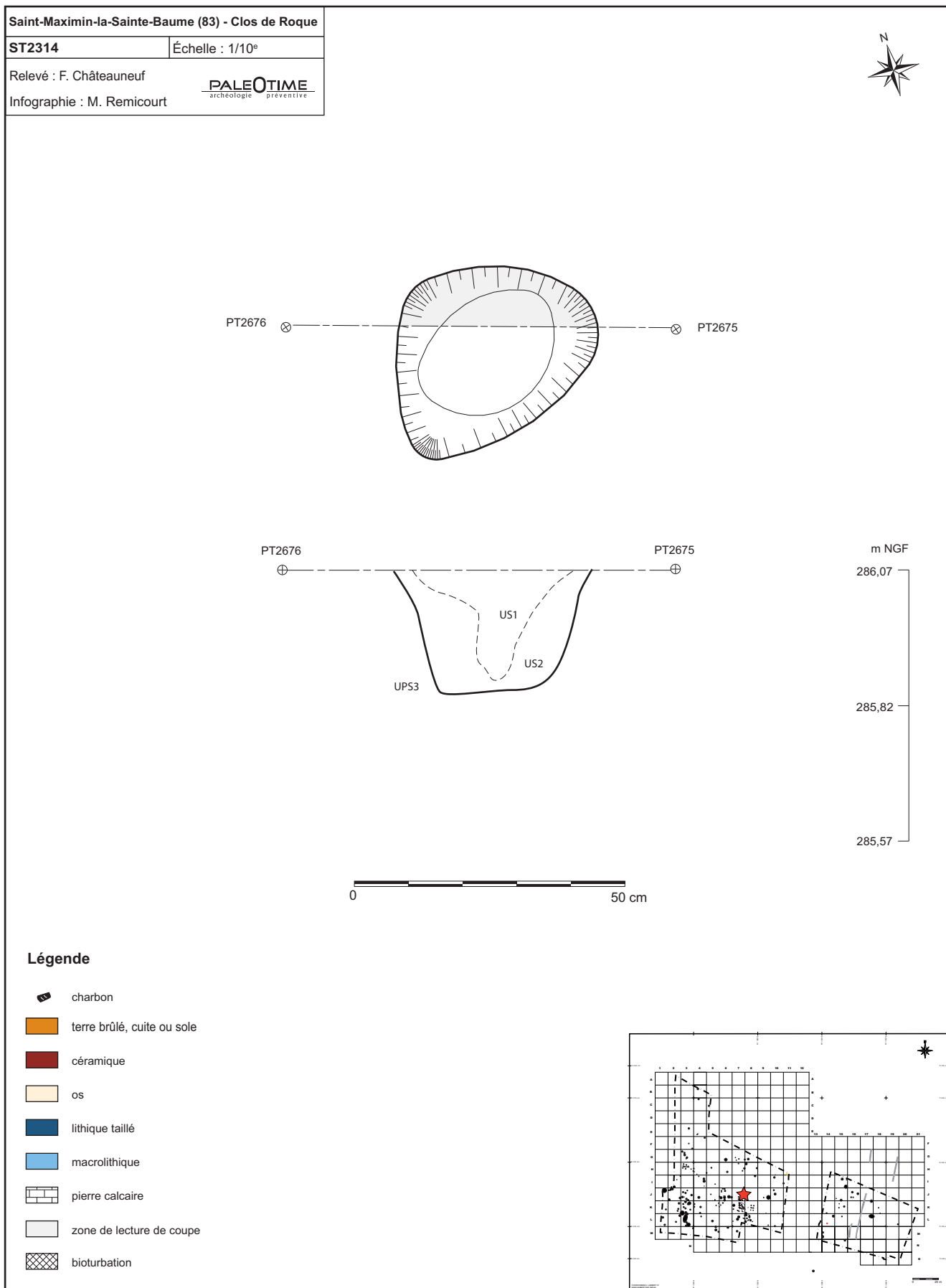


Figure 144 - Le Clos de Roque, Saint-Maximin-la-Sainte-Baume (83). Plan et coupe stratigraphique de la structure ST2314.

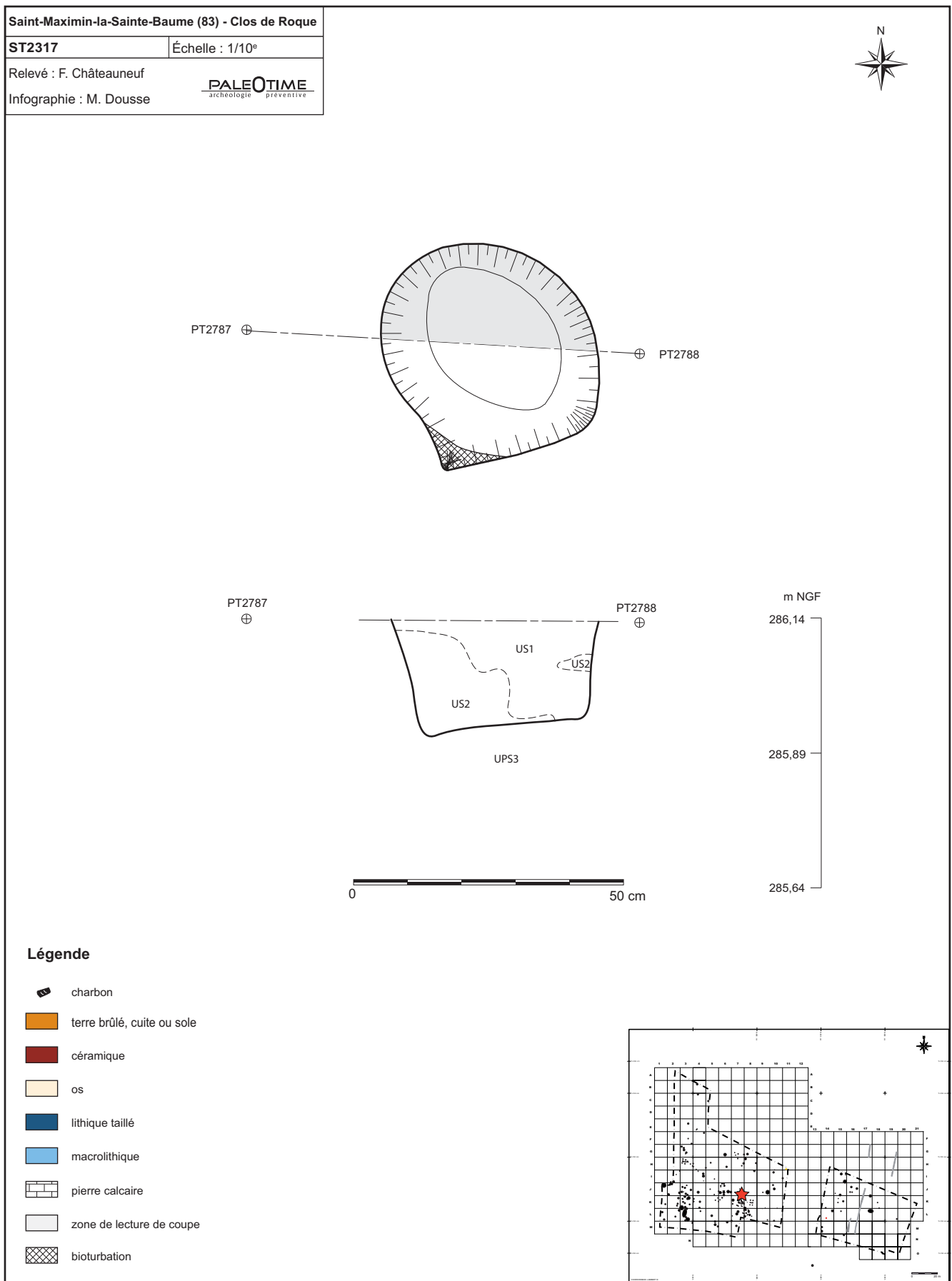


Figure 145 - Le Clos de Roque, Saint-Maximin-la-Sainte-Baume (83). Plan et coupe stratigraphique de la structure ST2317.



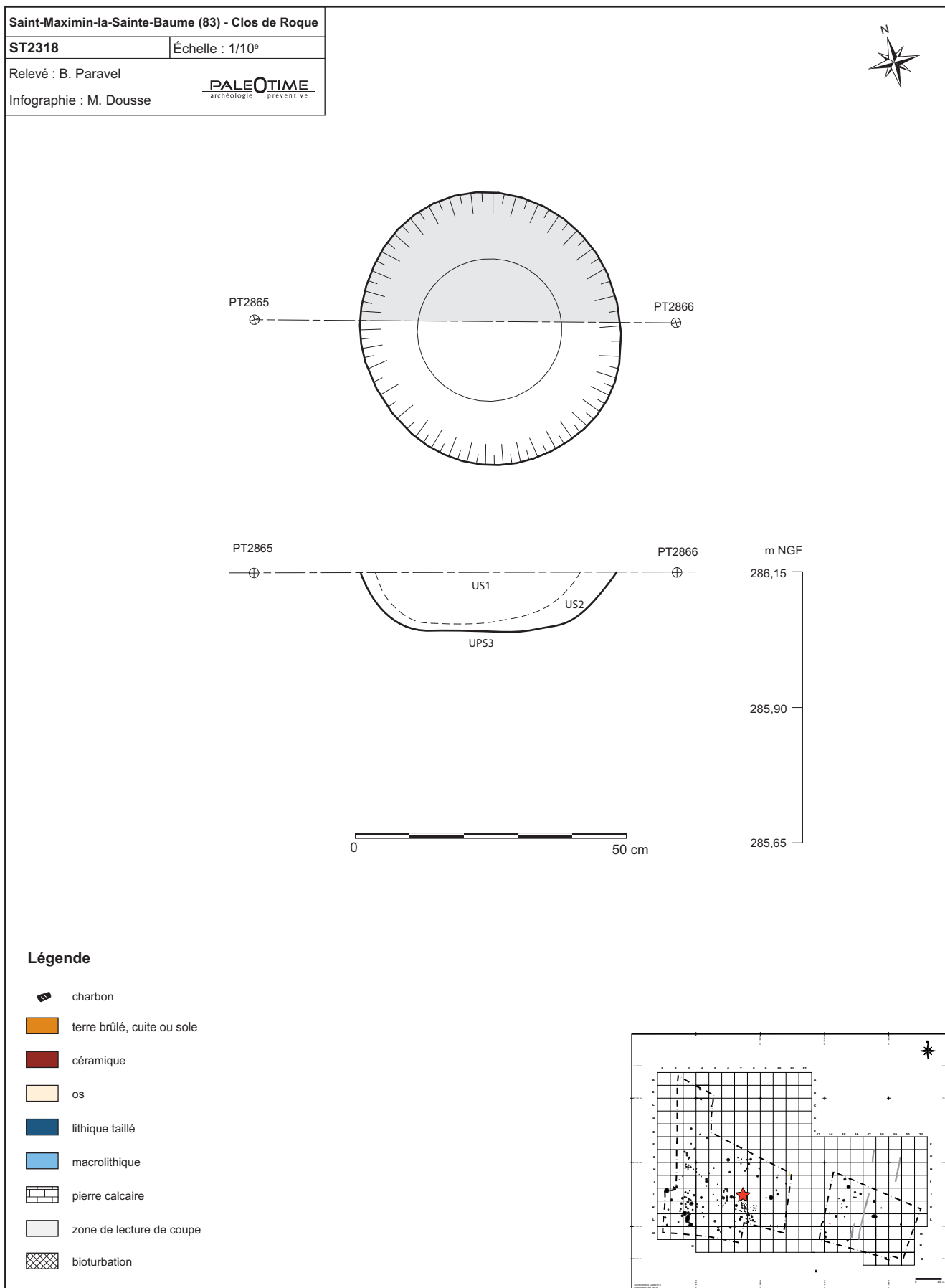


Figure 146 - Le Clos de Roque, Saint-Maximin-la-Sainte-Baume (83). Plan et coupe stratigraphique de la structure ST2318.

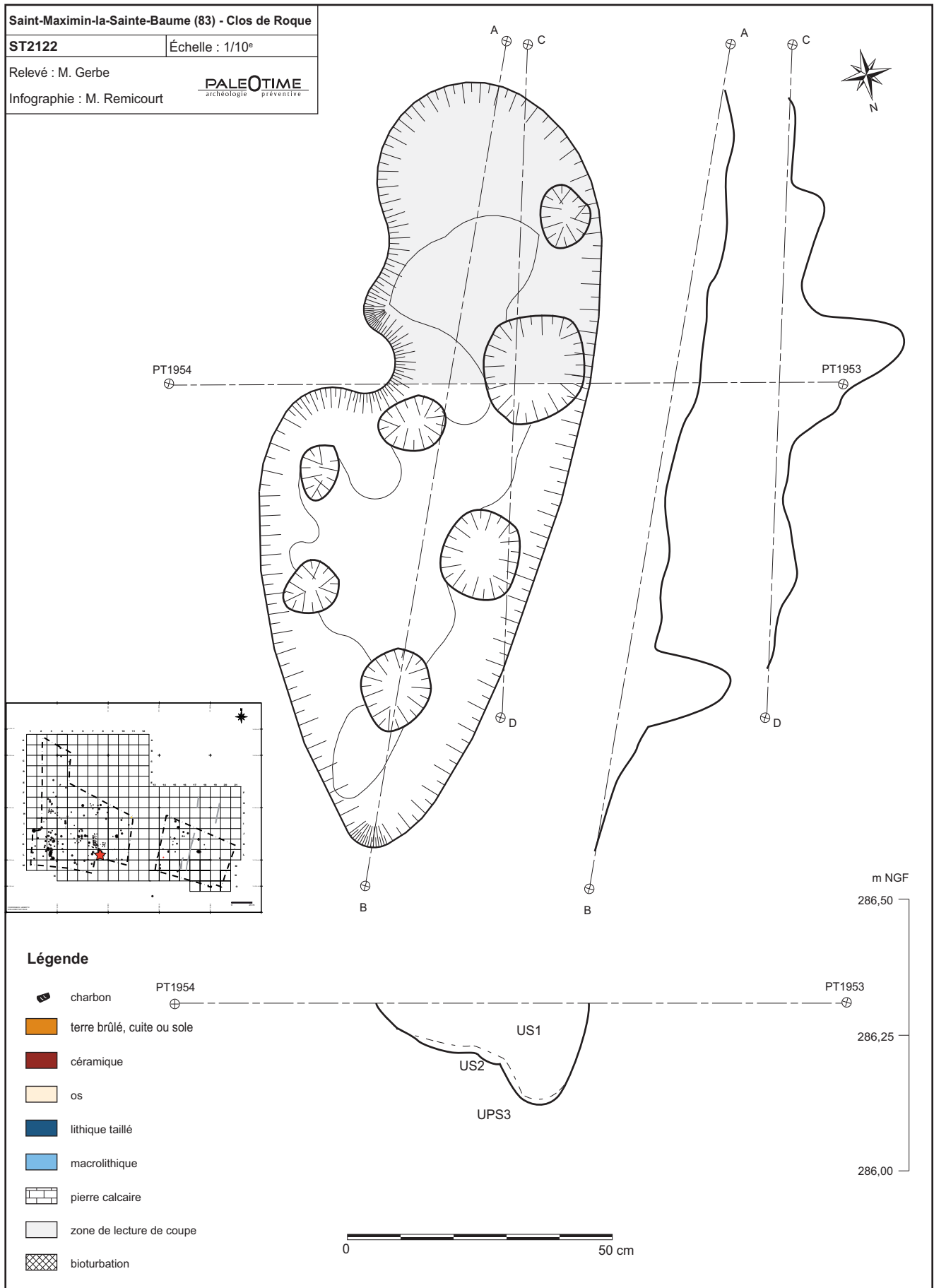


Figure 147 - Le Clos de Roque, Saint-Maximin-la-Sainte-Baume (83). Plan et coupe stratigraphique de la structure ST2122.

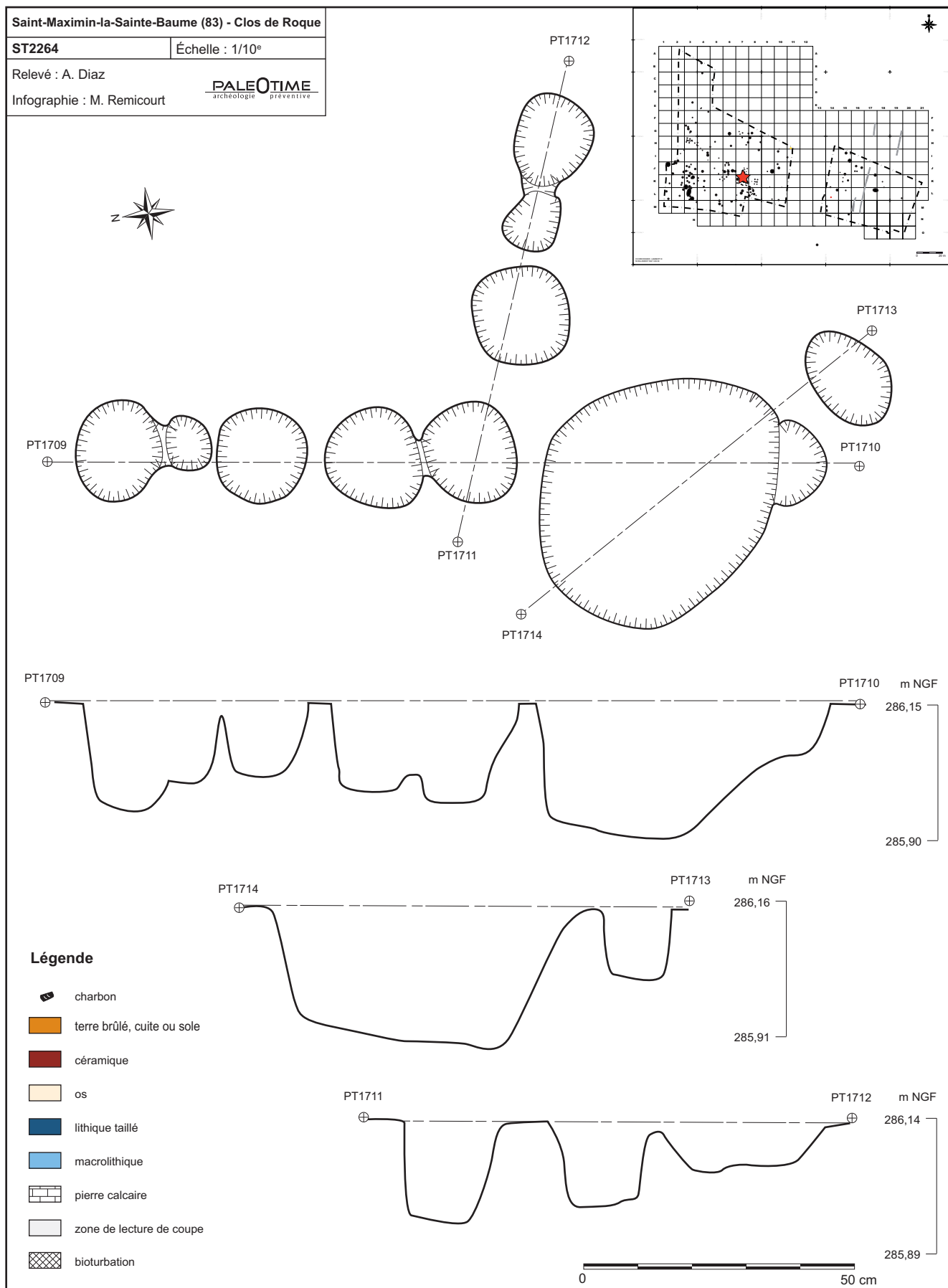


Figure 148 - Le Clos de Roque, Saint-Maximin-la-Sainte-Baume (83). Plan et coupe stratigraphique de la structure ST2264.

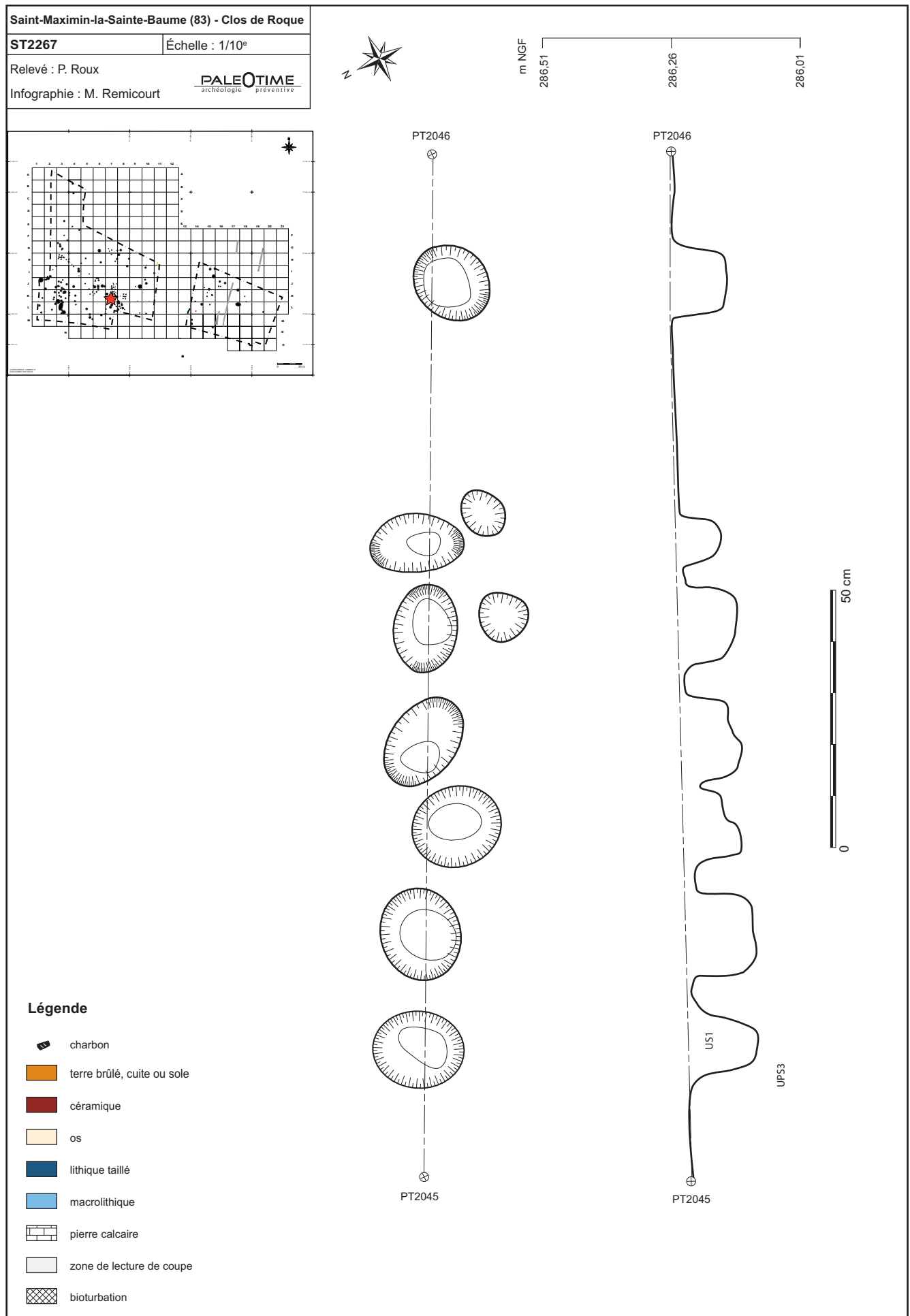


Figure 149 - Le Clos de Roque, Saint-Maximin-la-Sainte-Baume (83). Plan et coupe stratigraphique de la structure ST2267.

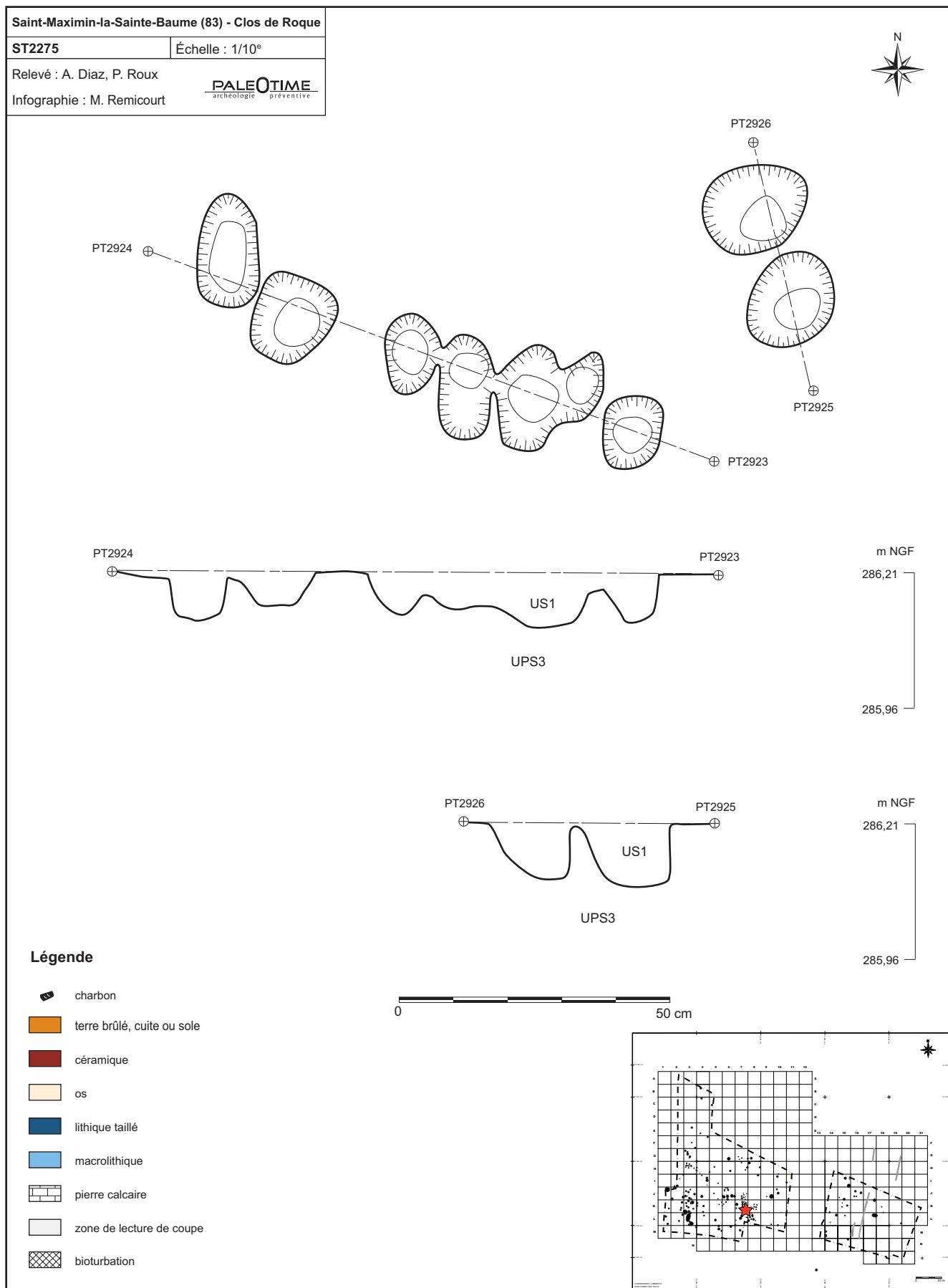


Figure 150 - Le Clos de Roque, Saint-Maximin-la-Sainte-Baume (83). Plan et coupe stratigraphique de la structure ST2275.

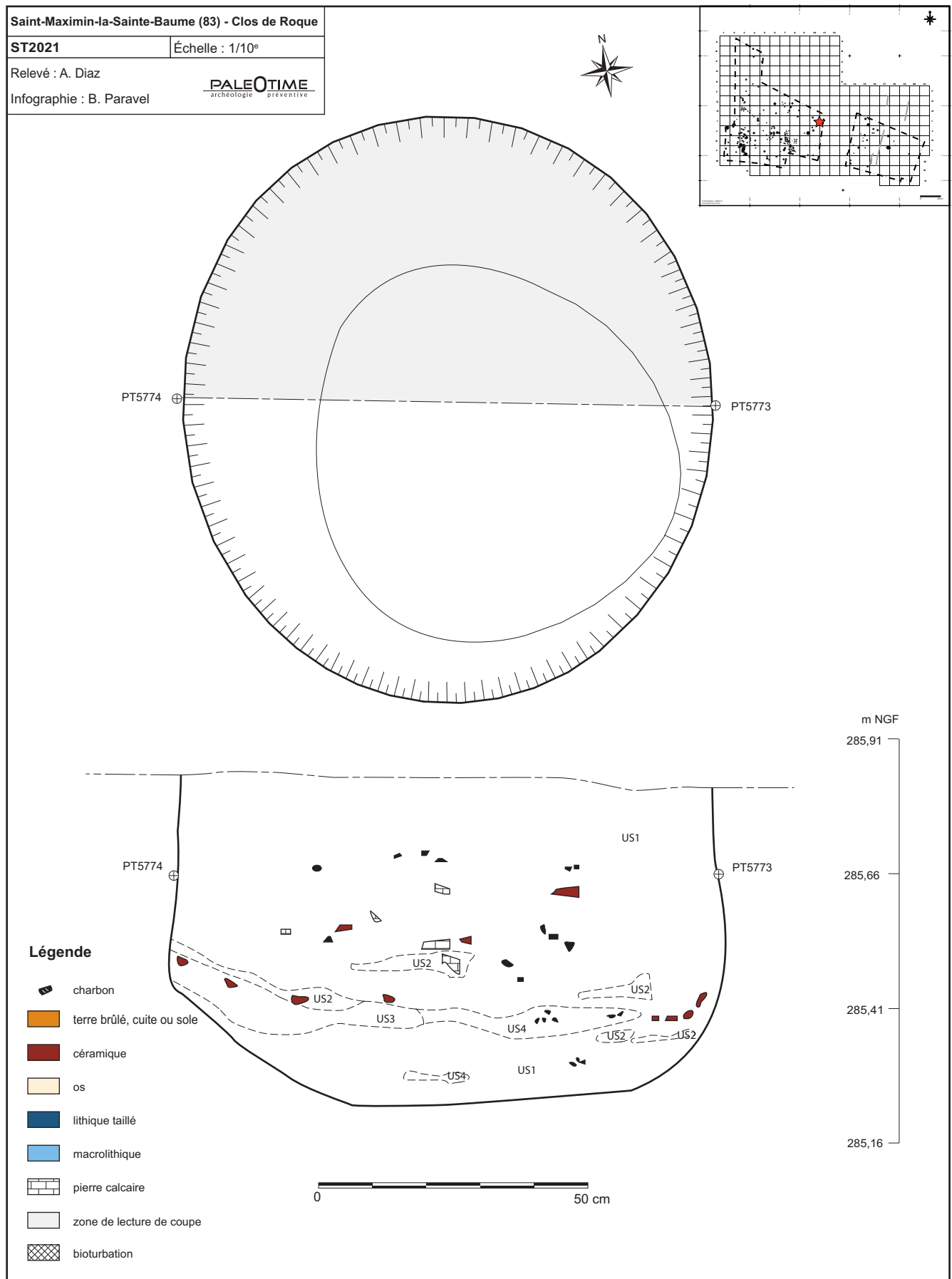


Figure 151 - Le Clos de Roque, Saint-Maximin-la-Sainte-Baume (83). Plan et coupe stratigraphique de la structure ST2021.

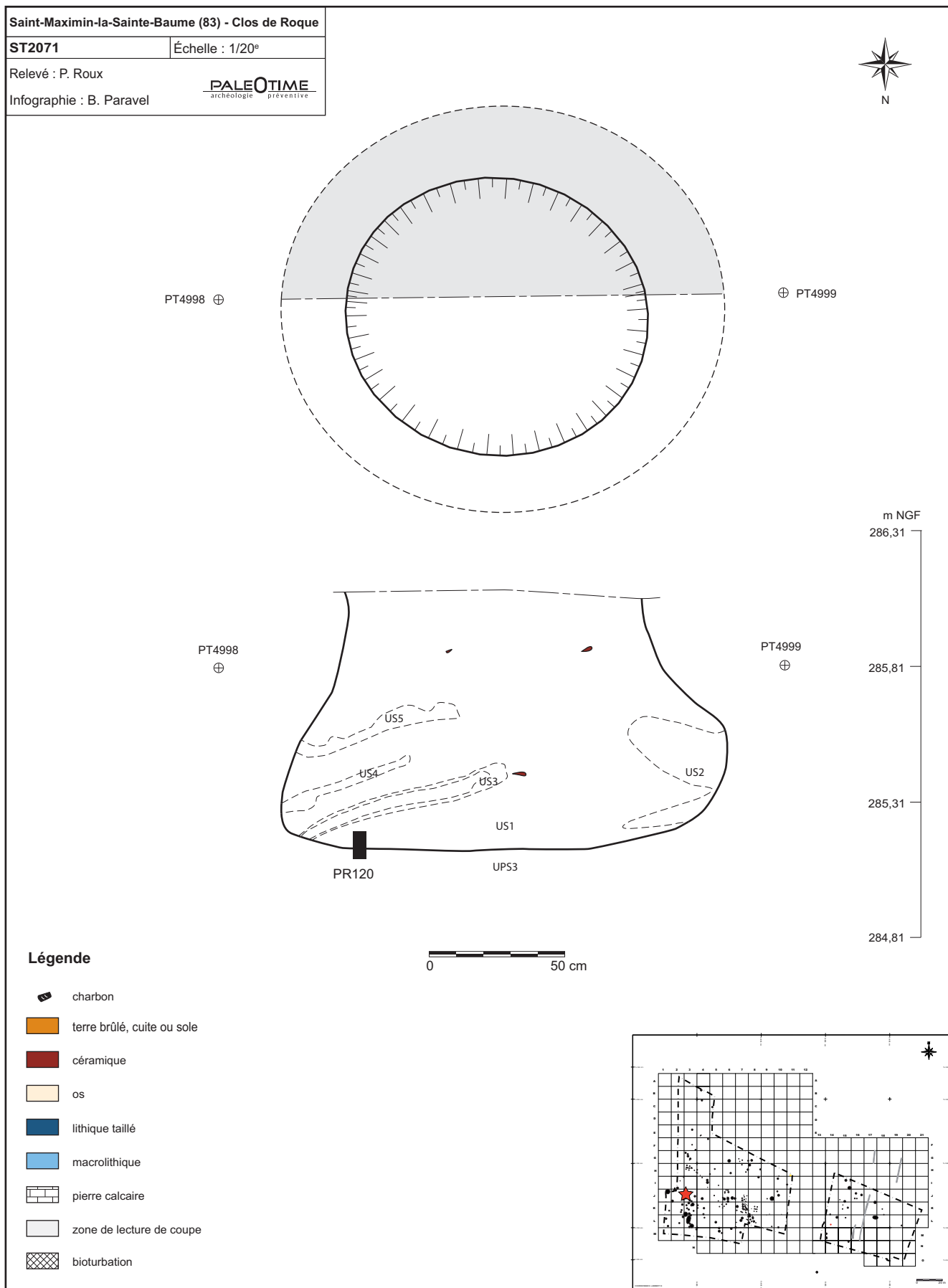


Figure 152 - Le Clos de Roque, Saint-Maximin-la-Sainte-Baume (83). Plan et coupe stratigraphique de la structure ST2071.

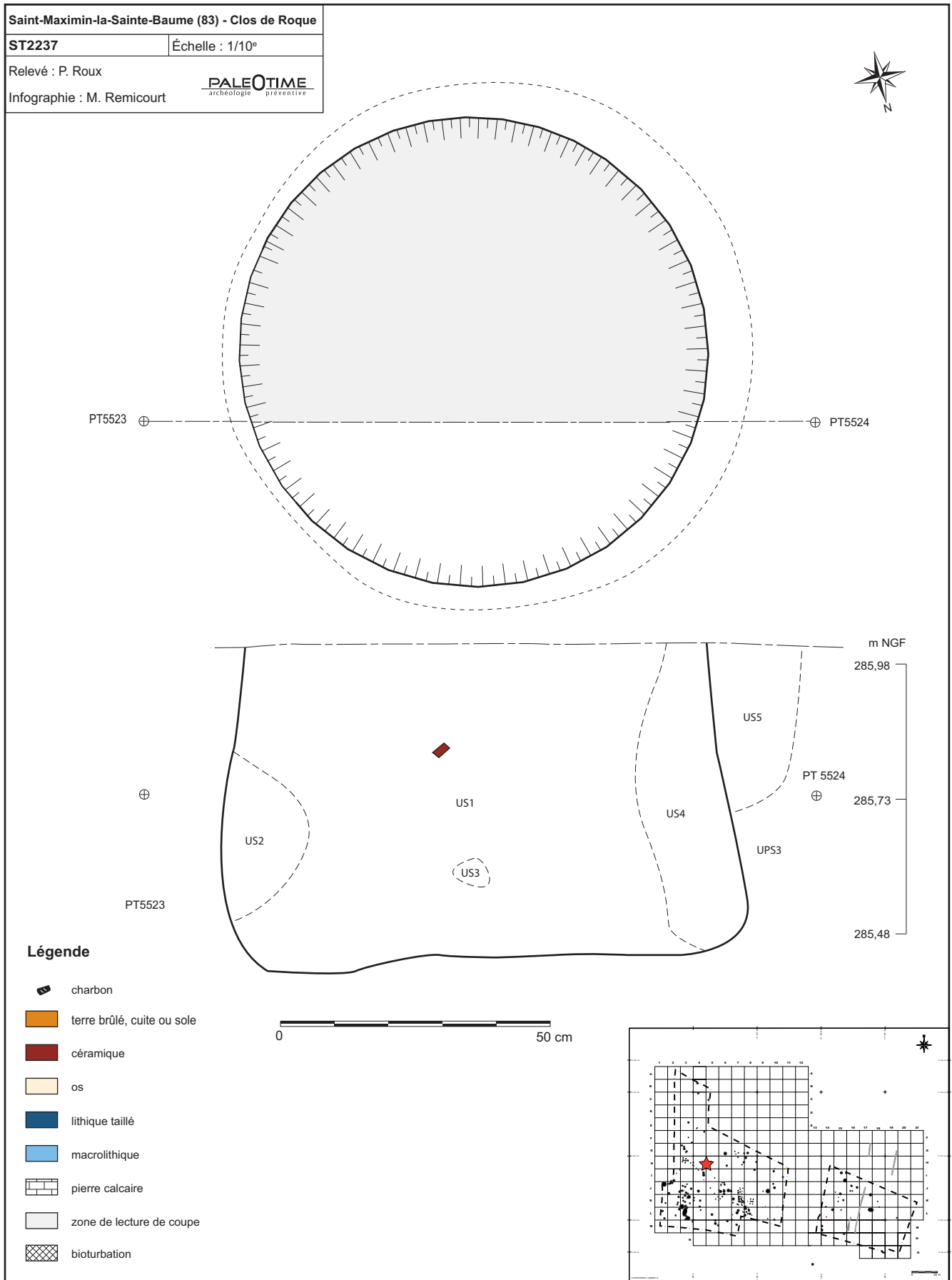


Figure 153 - Le Clos de Roque, Saint-Maximin-la-Sainte-Baume (83). Plan et coupe stratigraphique de la structure ST2237.



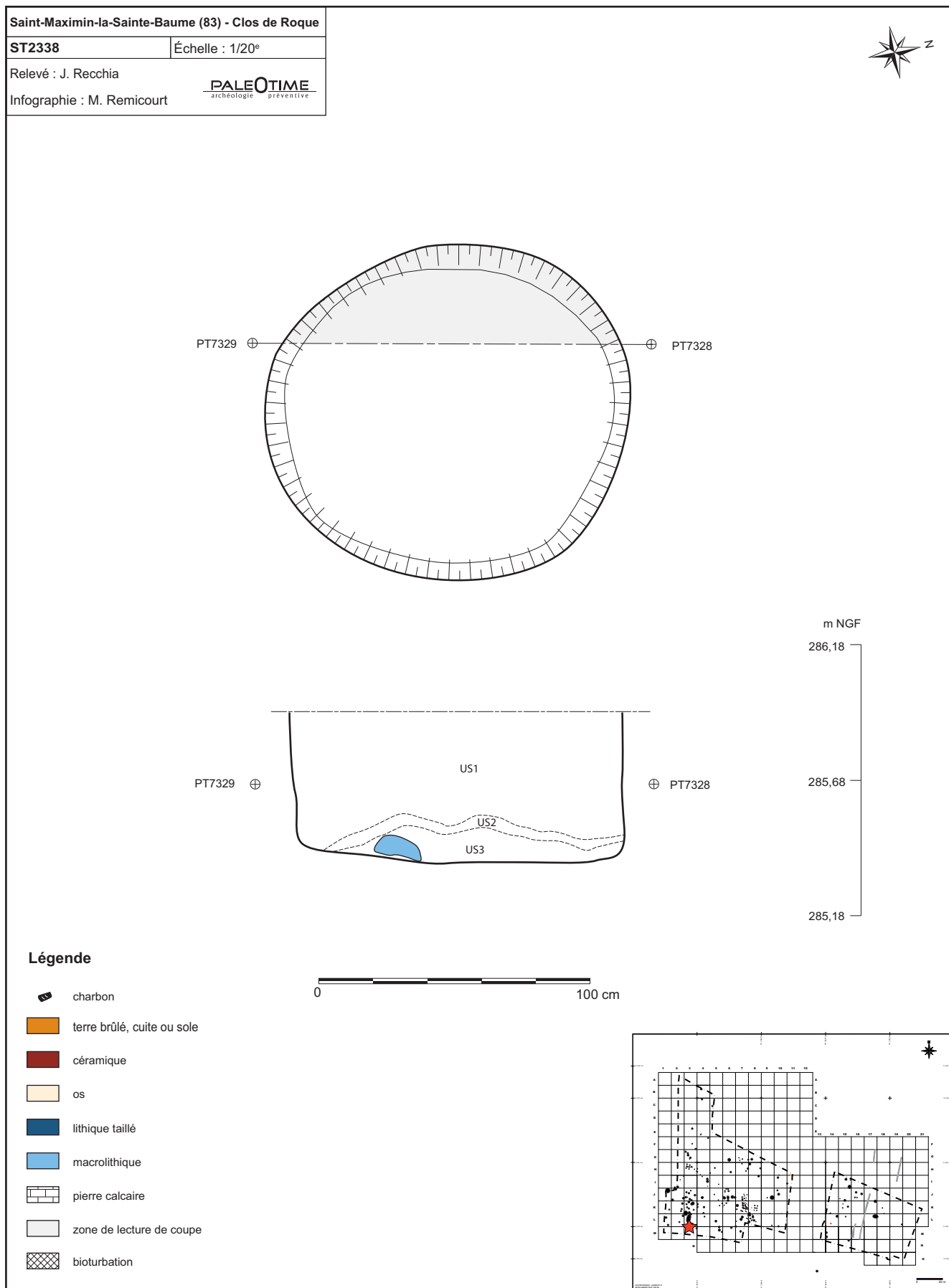


Figure 154 - Le Clos de Roque, Saint-Maximin-la-Sainte-Baume (83). Plan et coupe stratigraphique de la structure ST2338.

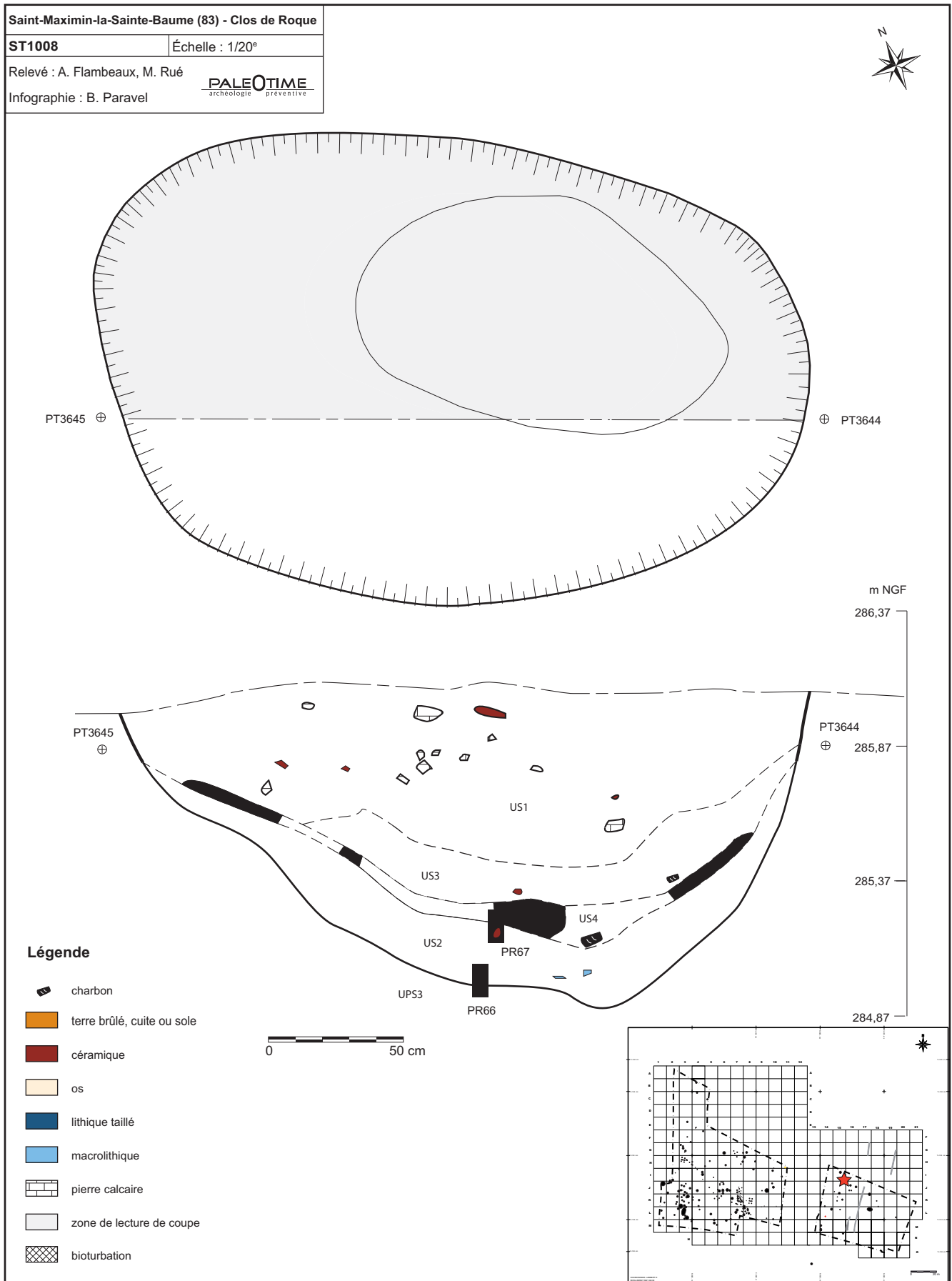


Figure 155 - Le Clos de Roque, Saint-Maximin-la-Sainte-Baume (83). Plan et coupe stratigraphique de la structure ST1008.

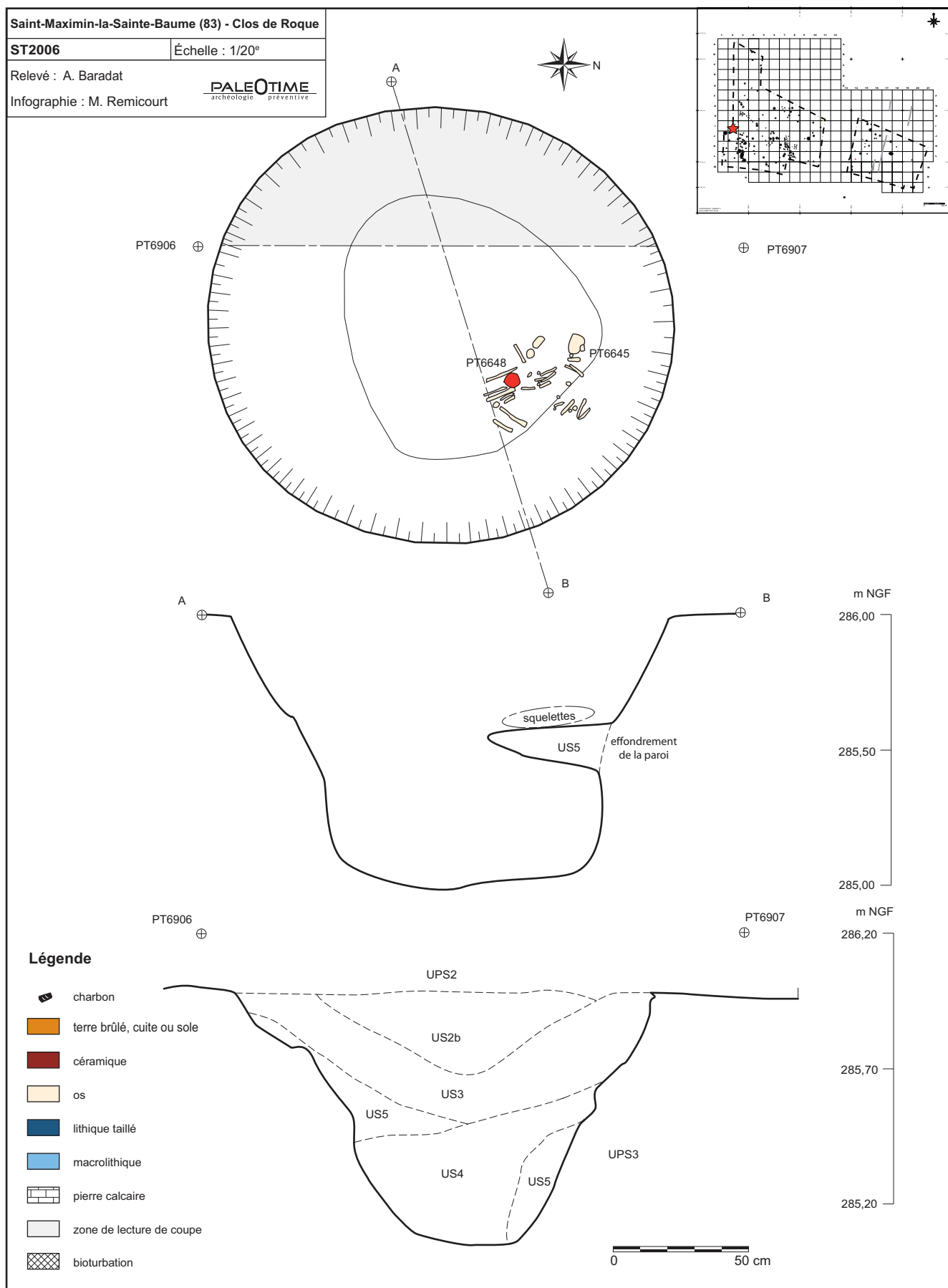


Figure 156 - Le Clos de Roque, Saint-Maximin-la-Sainte-Baume (83). Plan et coupe stratigraphique de la structure ST2006.

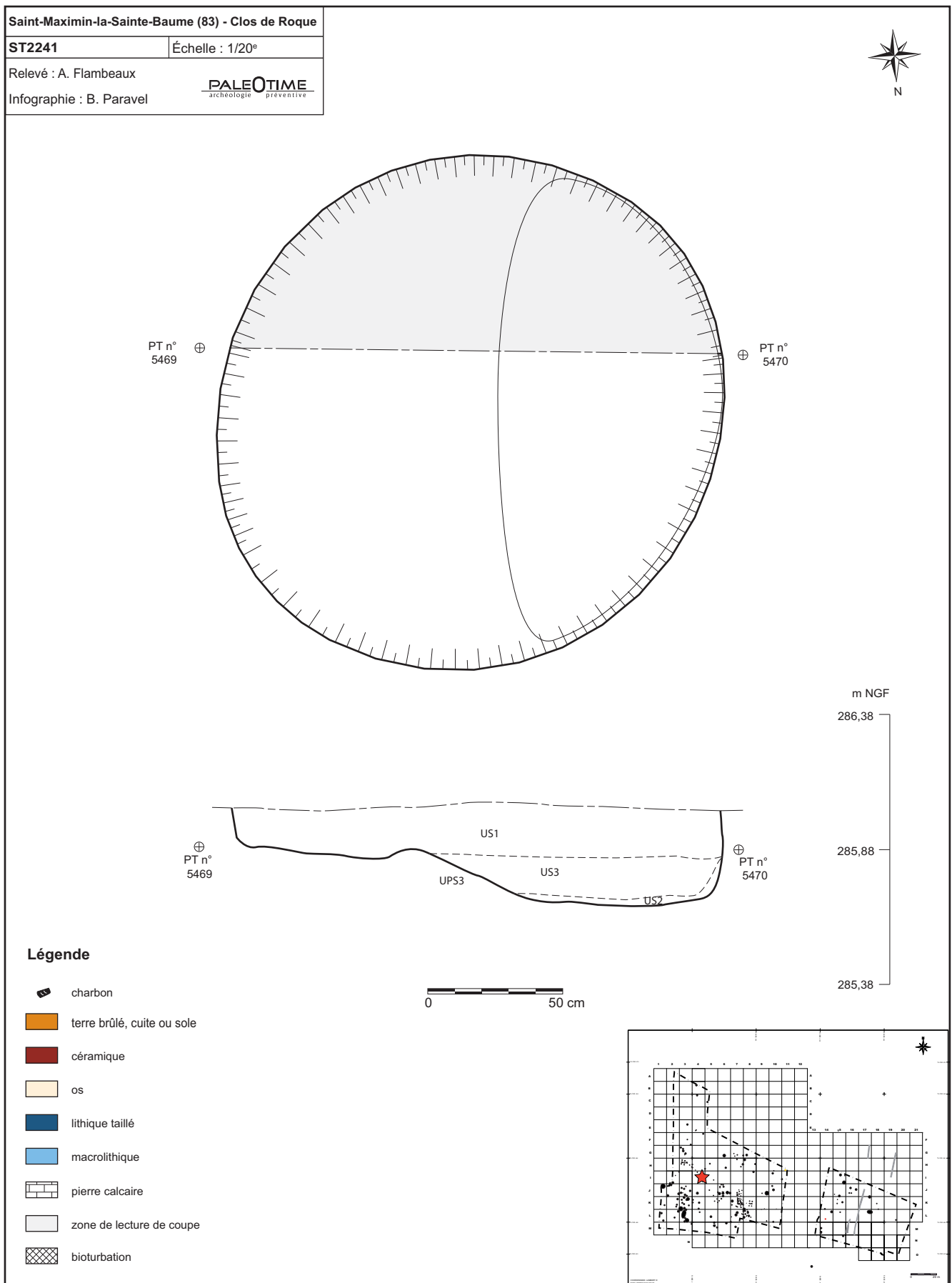


Figure 157 - Le Clos de Roque, Saint-Maximin-la-Sainte-Baume (83). Plan et coupe stratigraphique de la structure ST2241.

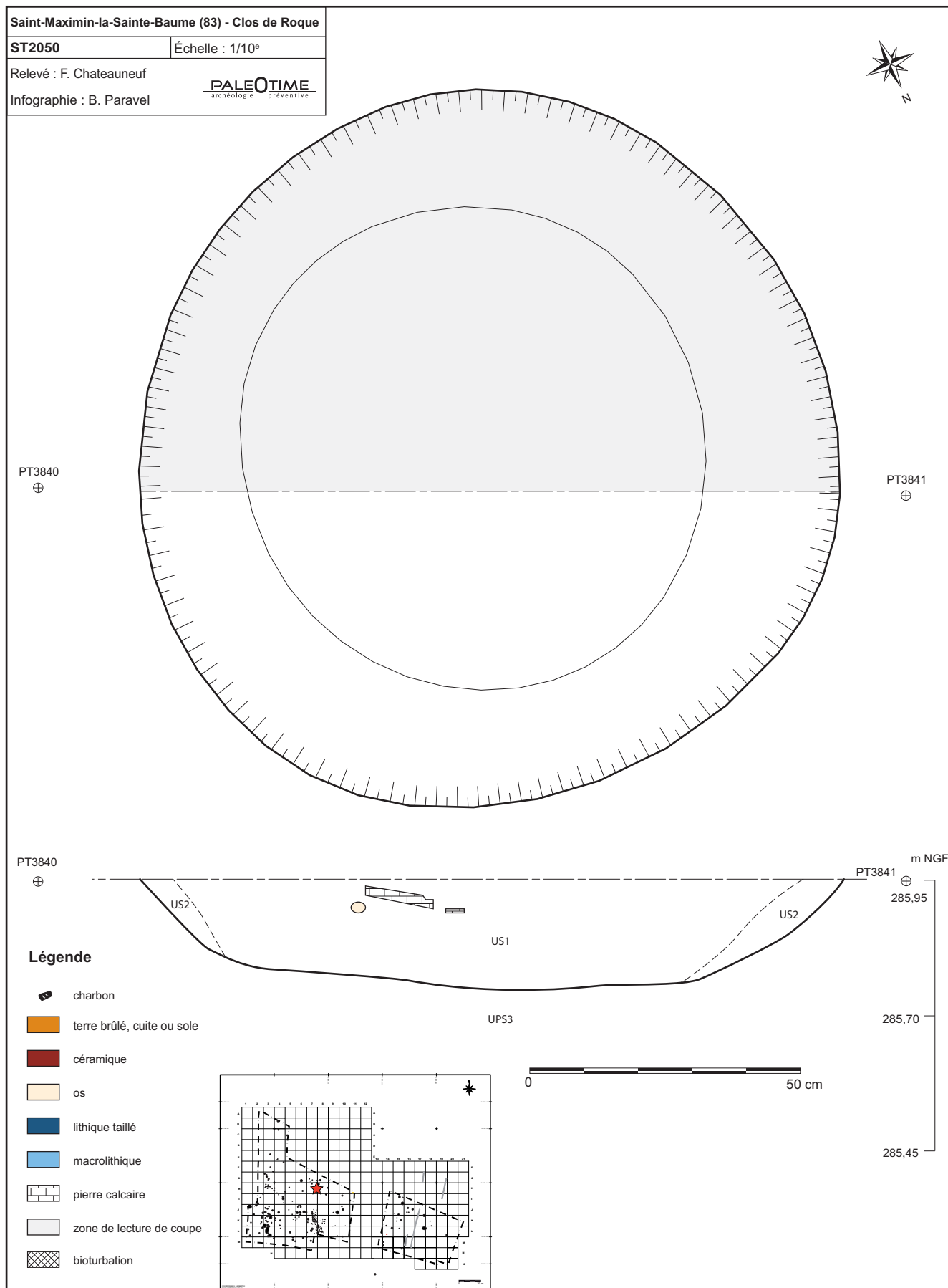


Figure 158 - Le Clos de Roque, Saint-Maximin-la-Sainte-Baume (83). Plan et coupe stratigraphique de la structure ST2050.

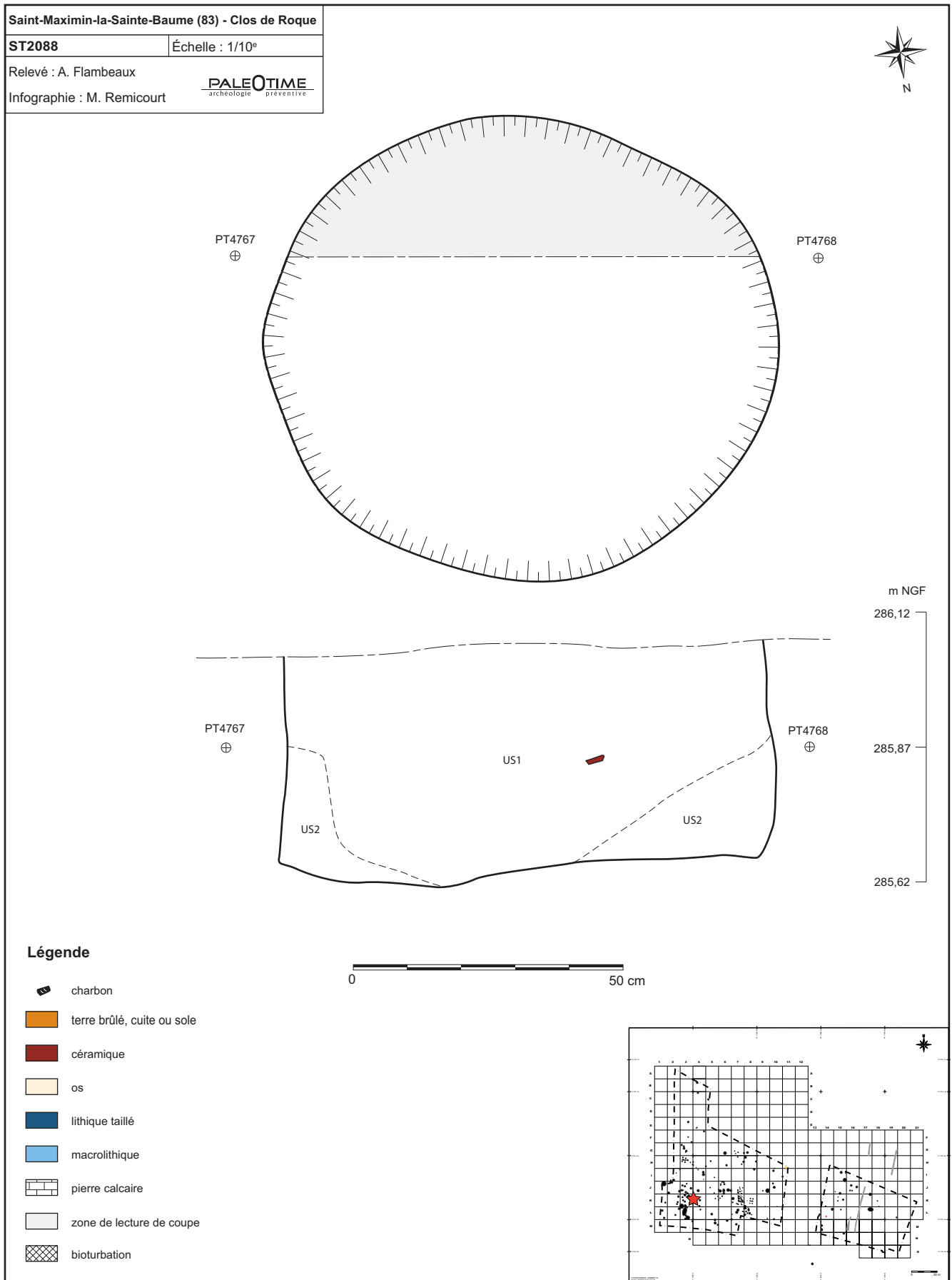


Figure 159 - Le Clos de Roque, Saint-Maximin-la-Sainte-Baume (83). Plan et coupe stratigraphique de la structure ST2088.

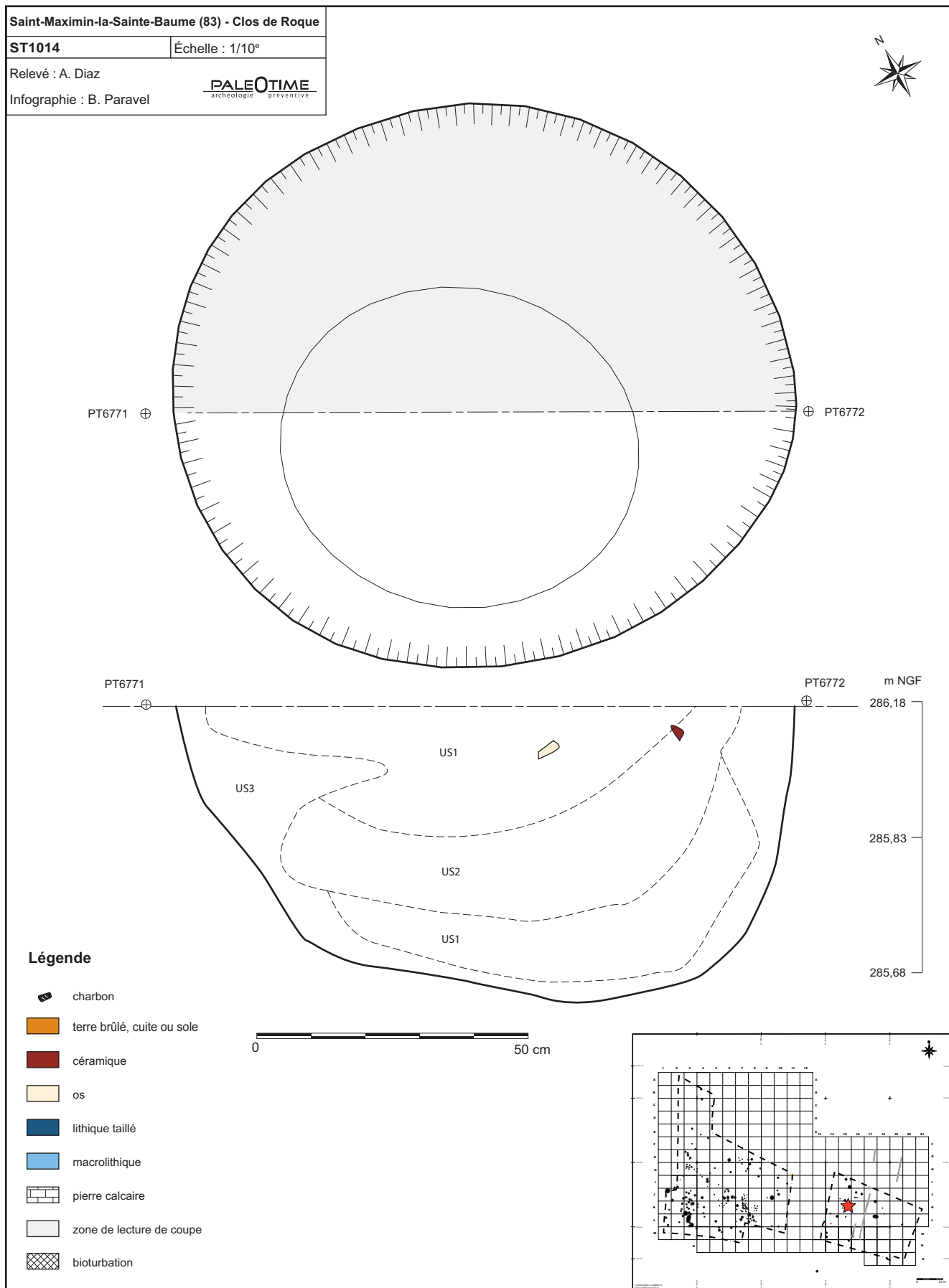


Figure 160 - Le Clos de Roque, Saint-Maximin-la-Sainte-Baume (83). Plan et coupe stratigraphique de la structure ST1014.

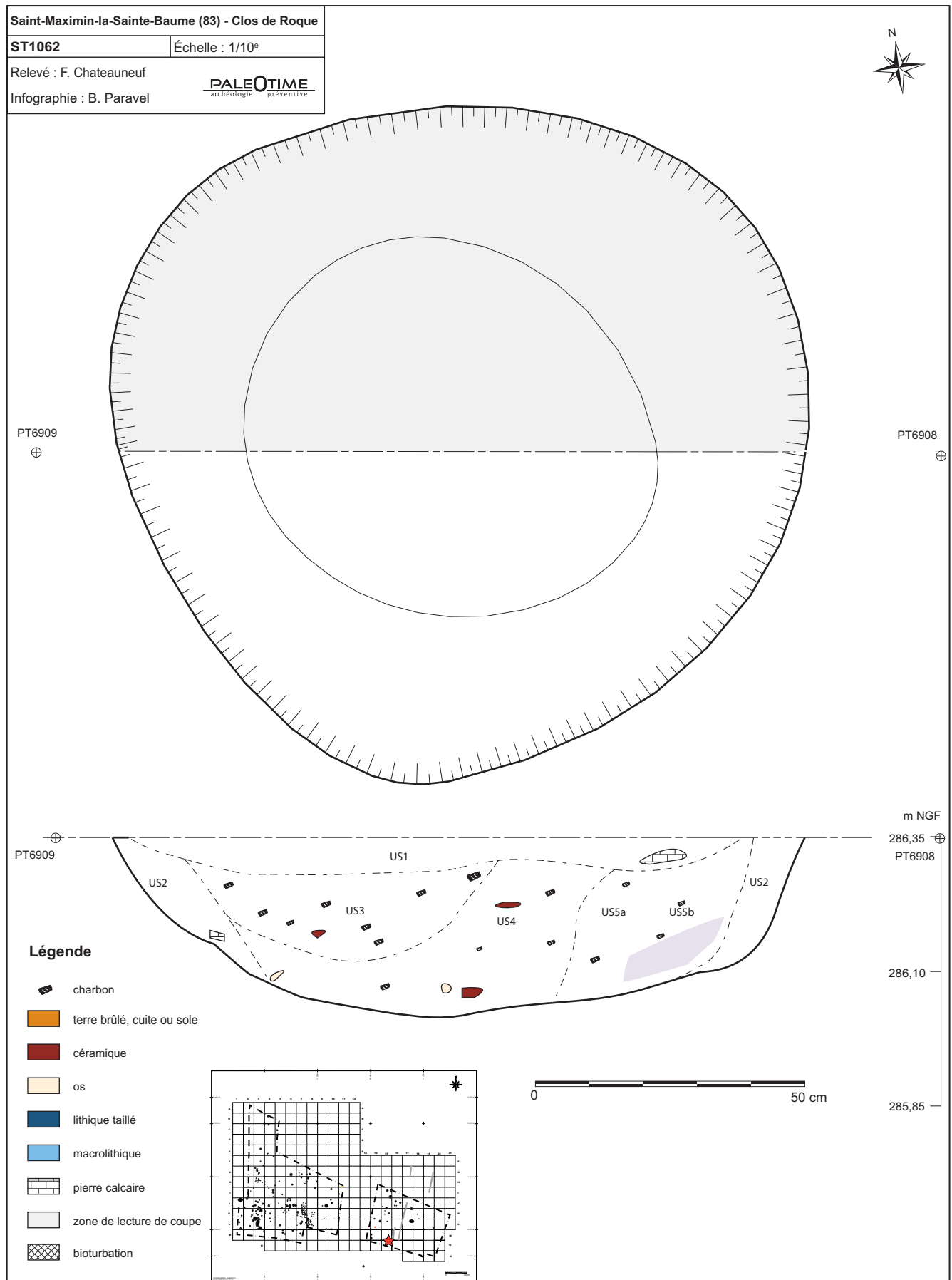


Figure 161 - Le Clos de Roque, Saint-Maximin-la-Sainte-Baume (83). Plan et coupe stratigraphique de la structure ST1062.



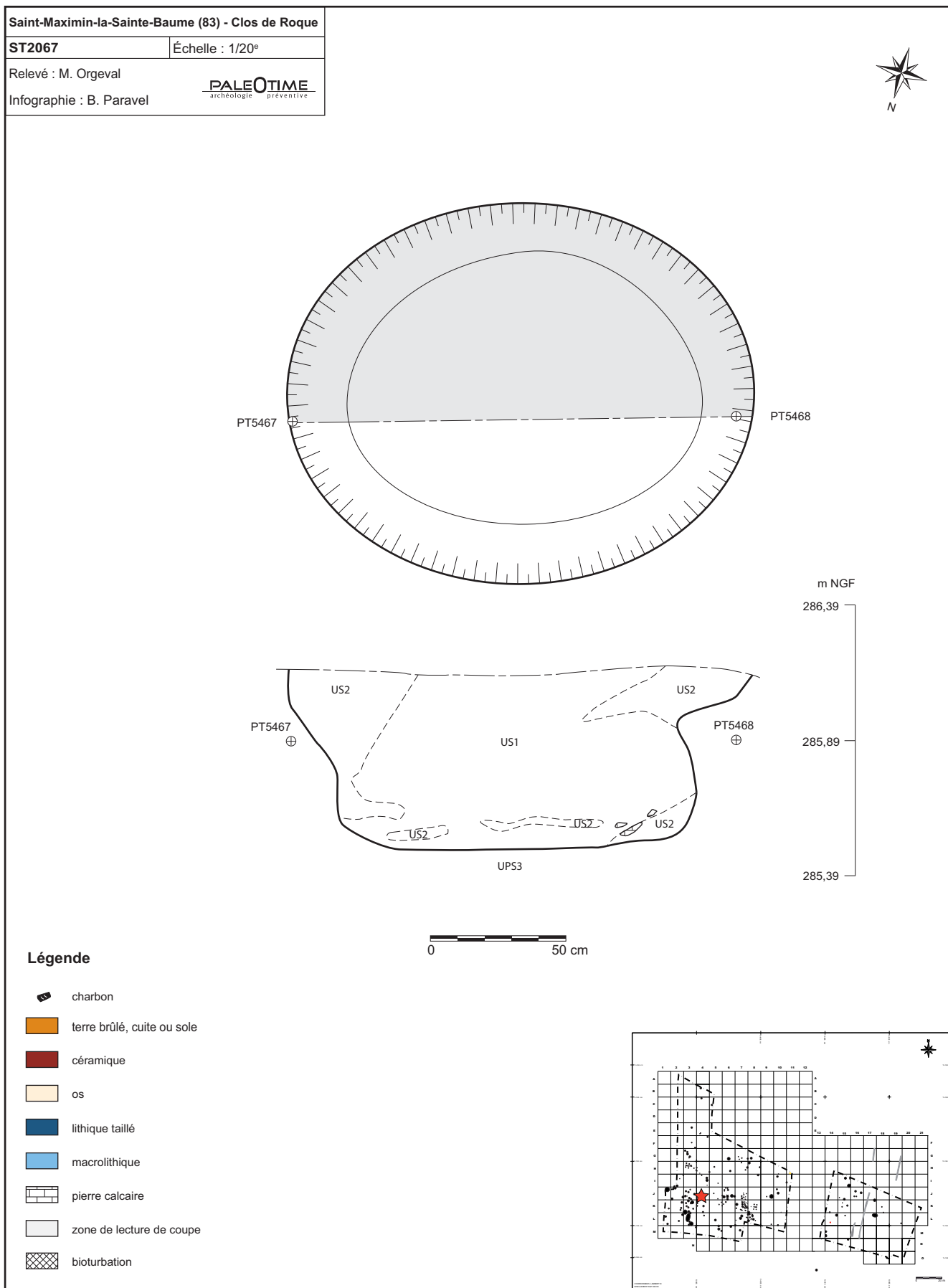


Figure 162 - Le Clos de Roque, Saint-Maximin-la-Sainte-Baume (83). Plan et coupe stratigraphique de la structure ST2067.

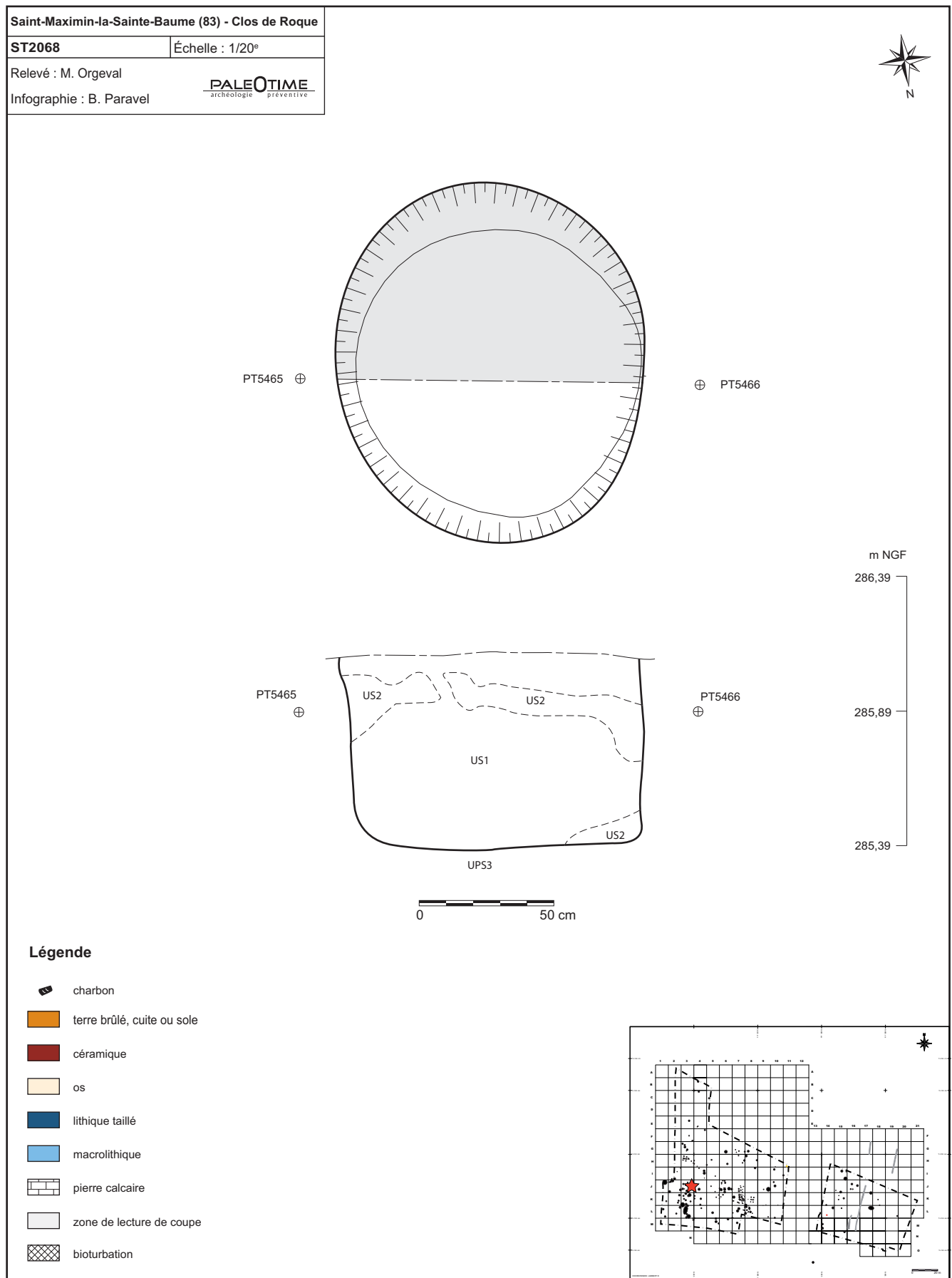


Figure 163 - Le Clos de Roque, Saint-Maximin-la-Sainte-Baume (83). Plan et coupe stratigraphique de la structure ST2068.

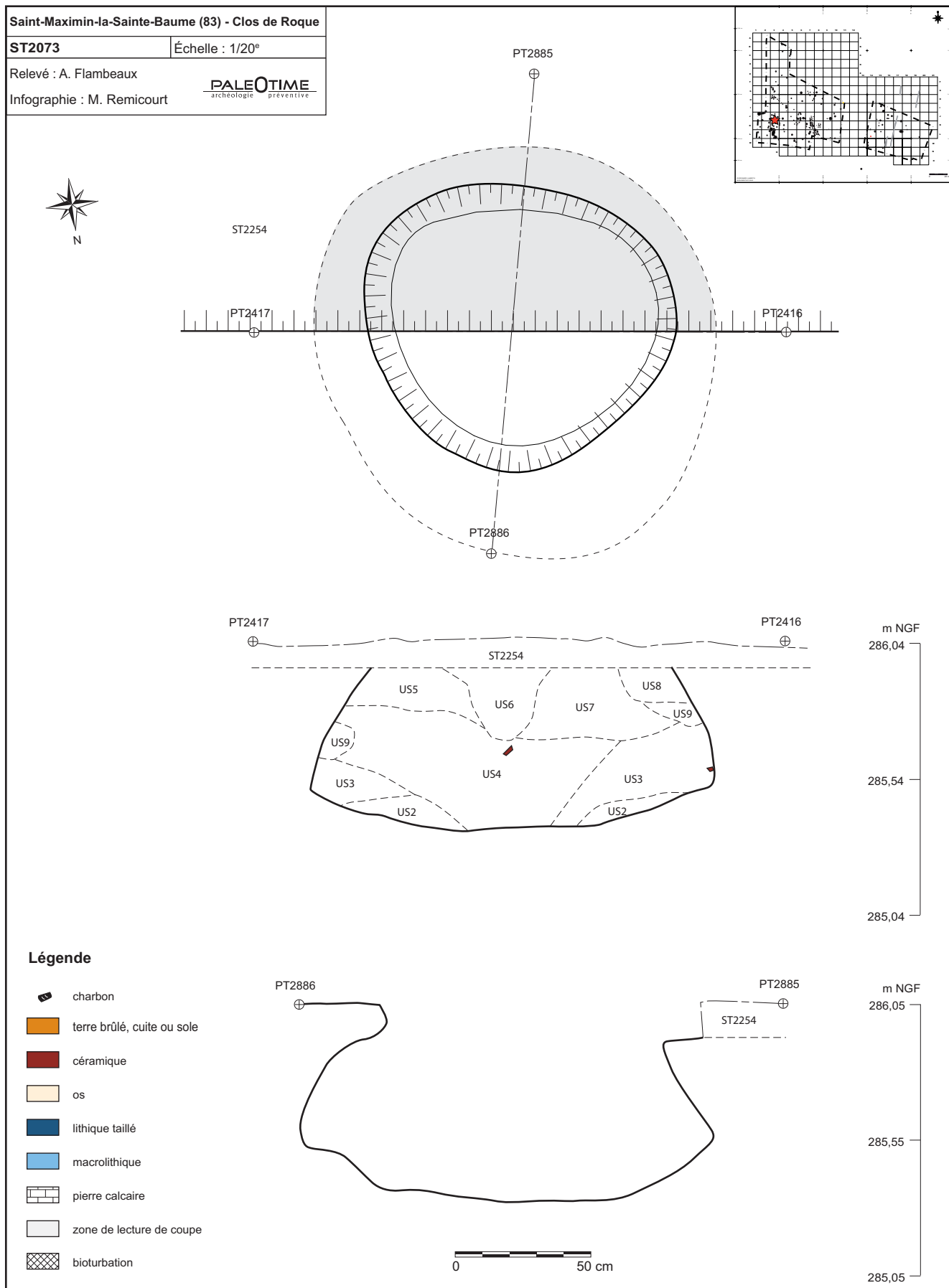


Figure 164 - Le Clos de Roque, Saint-Maximin-la-Sainte-Baume (83). Plan et coupe stratigraphique de la structure ST2073.

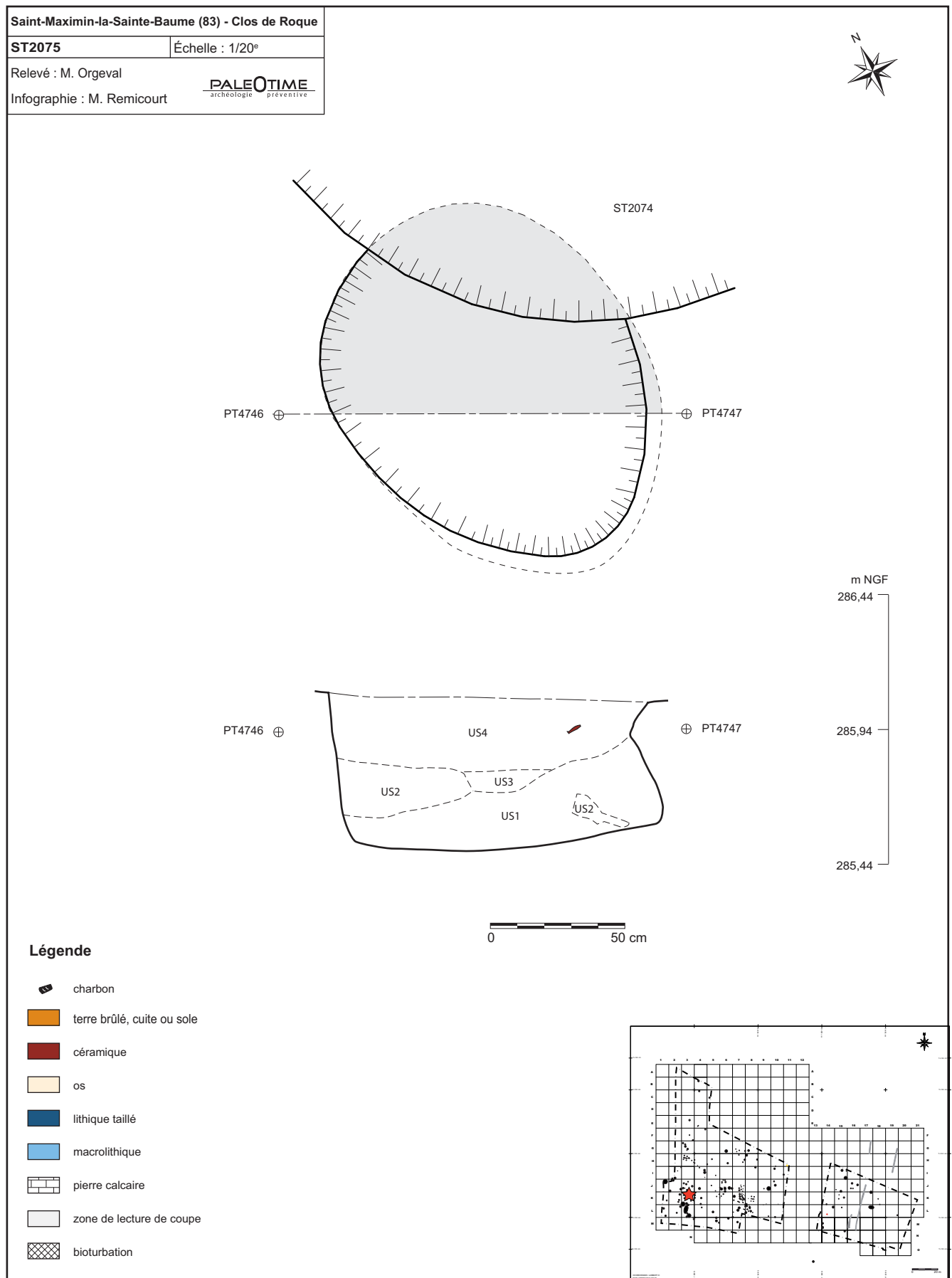


Figure 165 - Le Clos de Roque, Saint-Maximin-la-Sainte-Baume (83). Plan et coupe stratigraphique de la structure ST2075.

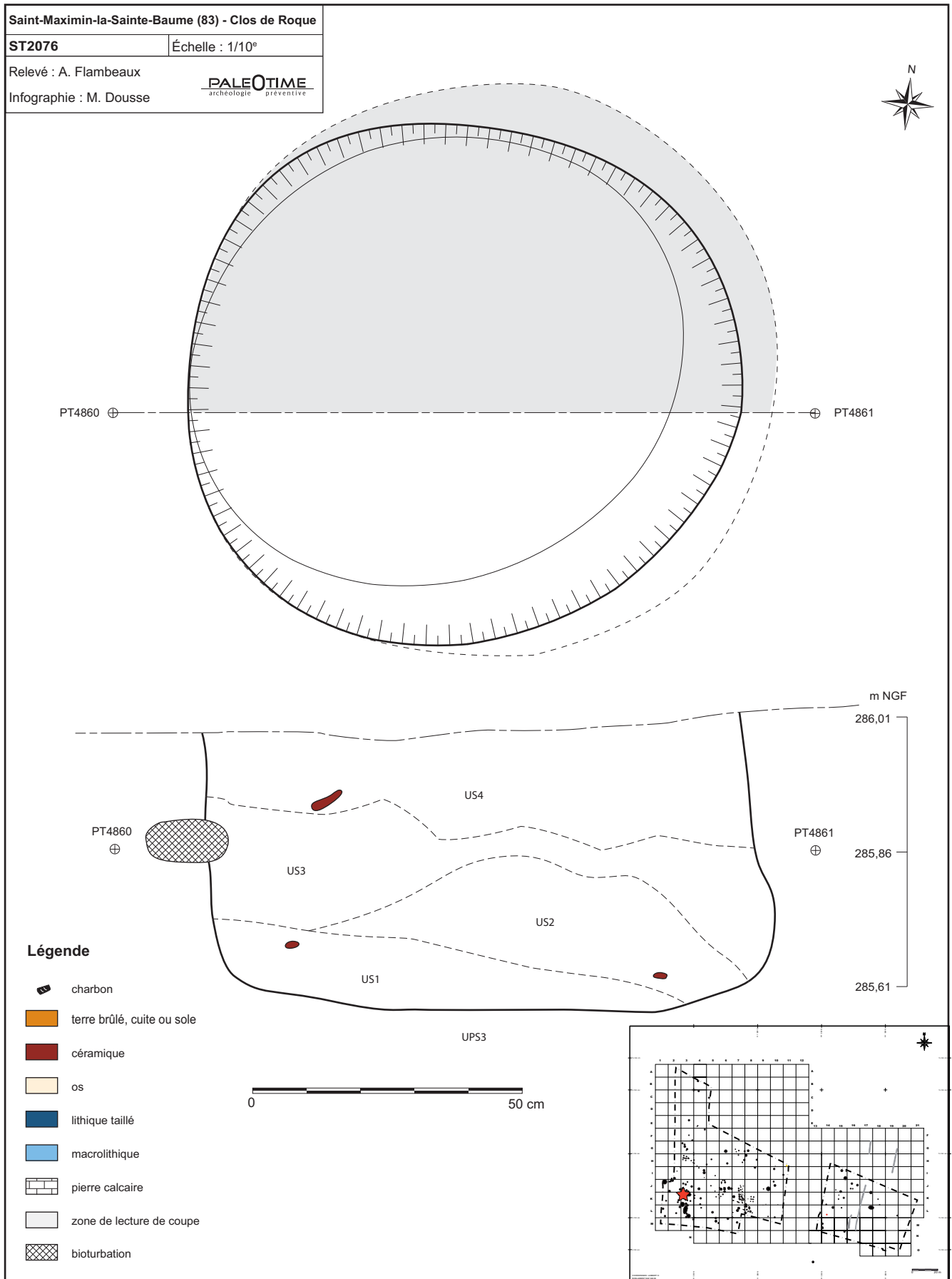


Figure 166 - Le Clos de Roque, Saint-Maximin-la-Sainte-Baume (83). Plan et coupe stratigraphique de la structure ST2076.

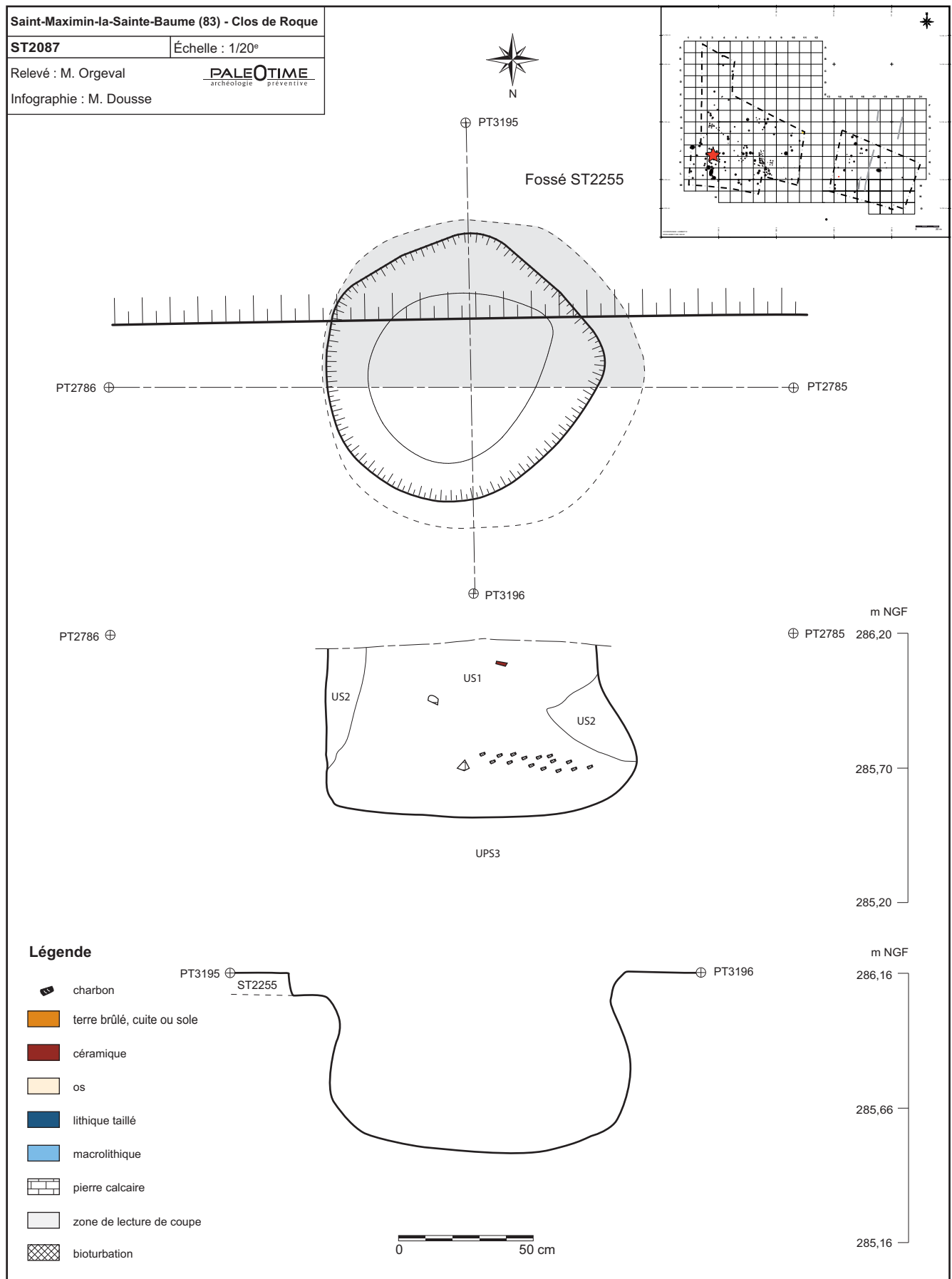


Figure 167 - Le Clos de Roque, Saint-Maximin-la-Sainte-Baume (83). Plan et coupe stratigraphique de la structure ST2087.

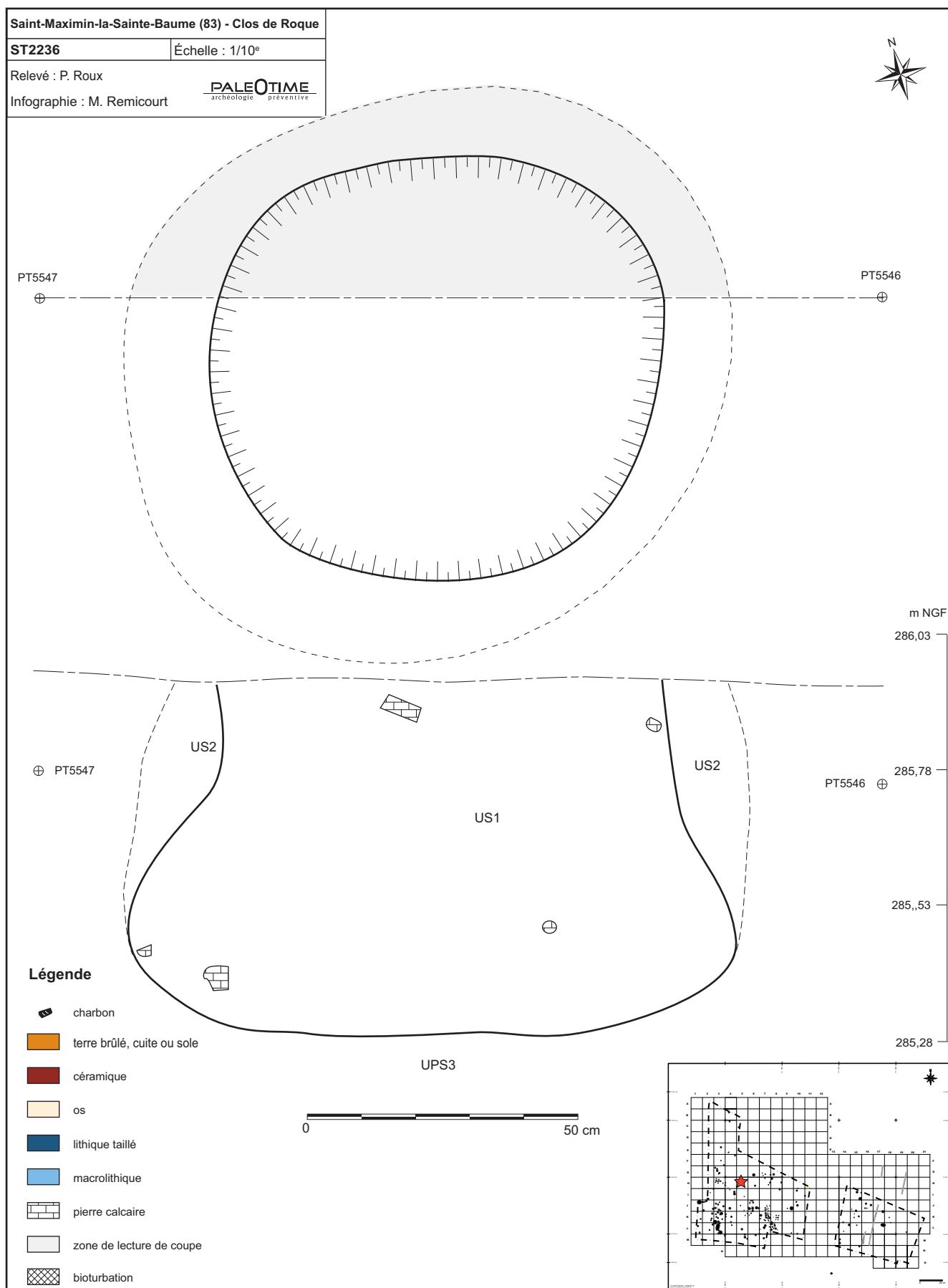


Figure 168 - Le Clos de Roque, Saint-Maximin-la-Sainte-Baume (83). Plan et coupe stratigraphique de la structure ST2236.

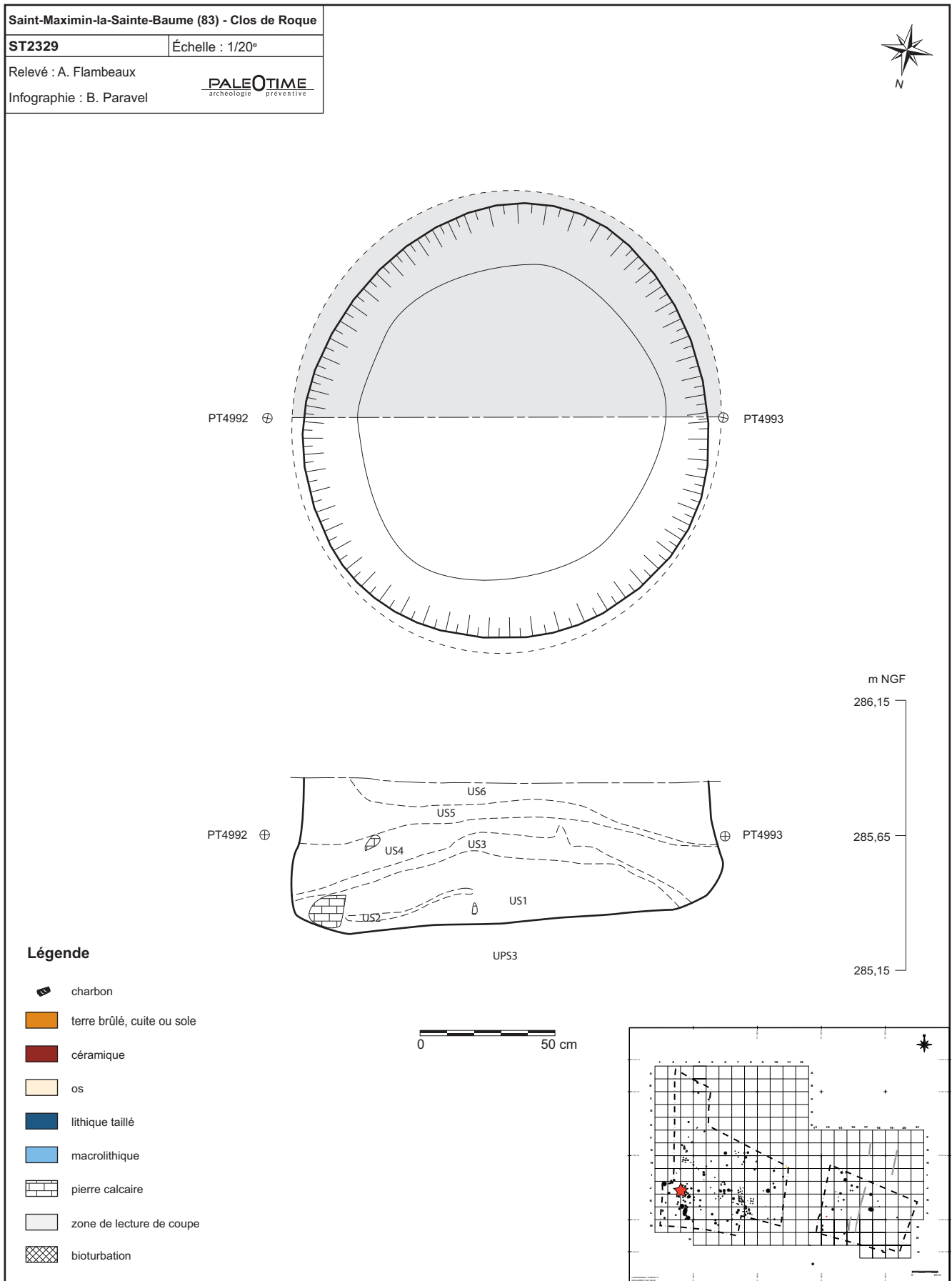


Figure 169 - Le Clos de Roque, Saint-Maximin-la-Sainte-Baume (83). Plan et coupe stratigraphique de la structure ST2329.



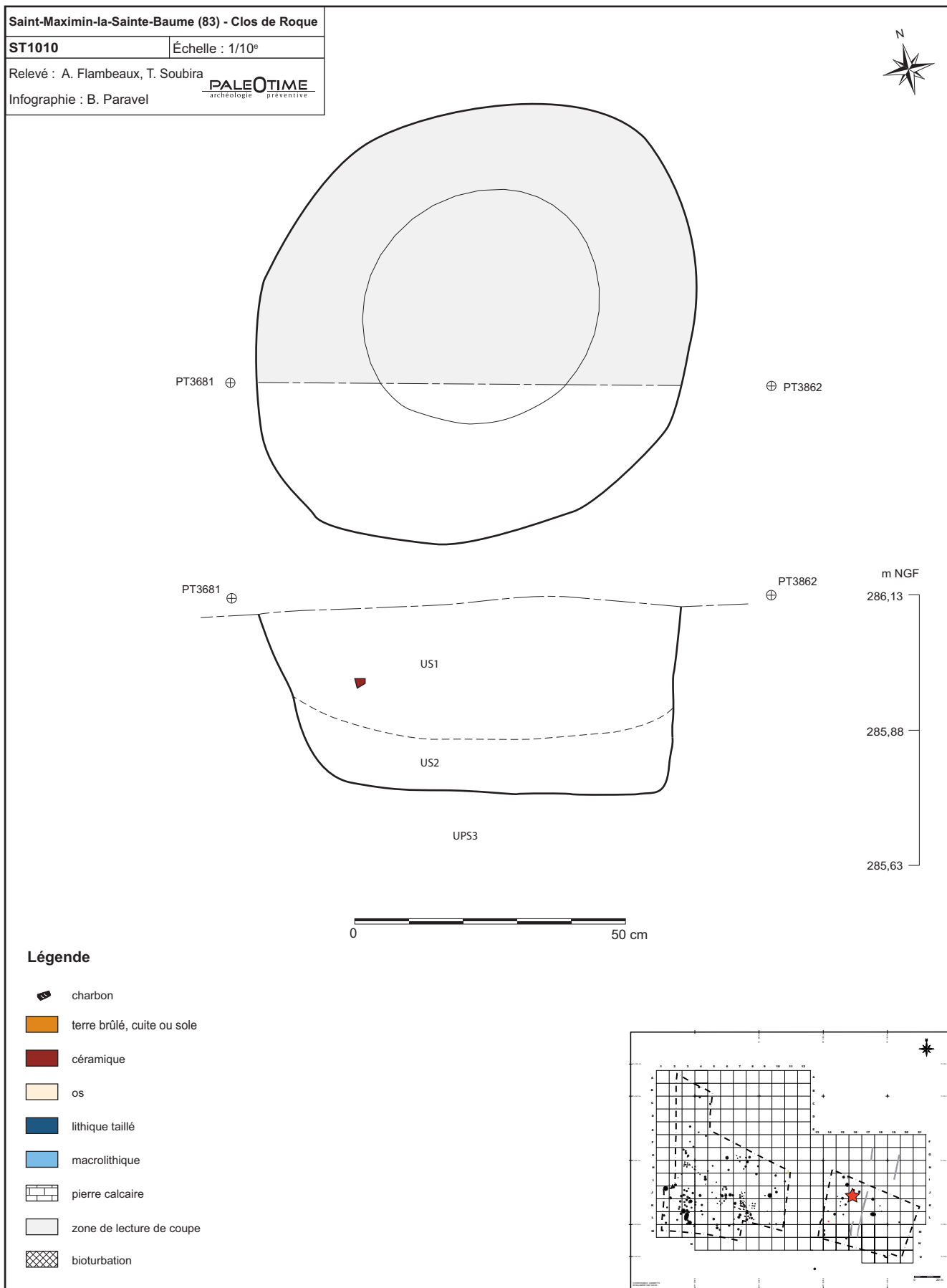


Figure 170 - Le Clos de Roque, Saint-Maximin-la-Sainte-Baume (83). Plan et coupe stratigraphique de la structure ST1010.

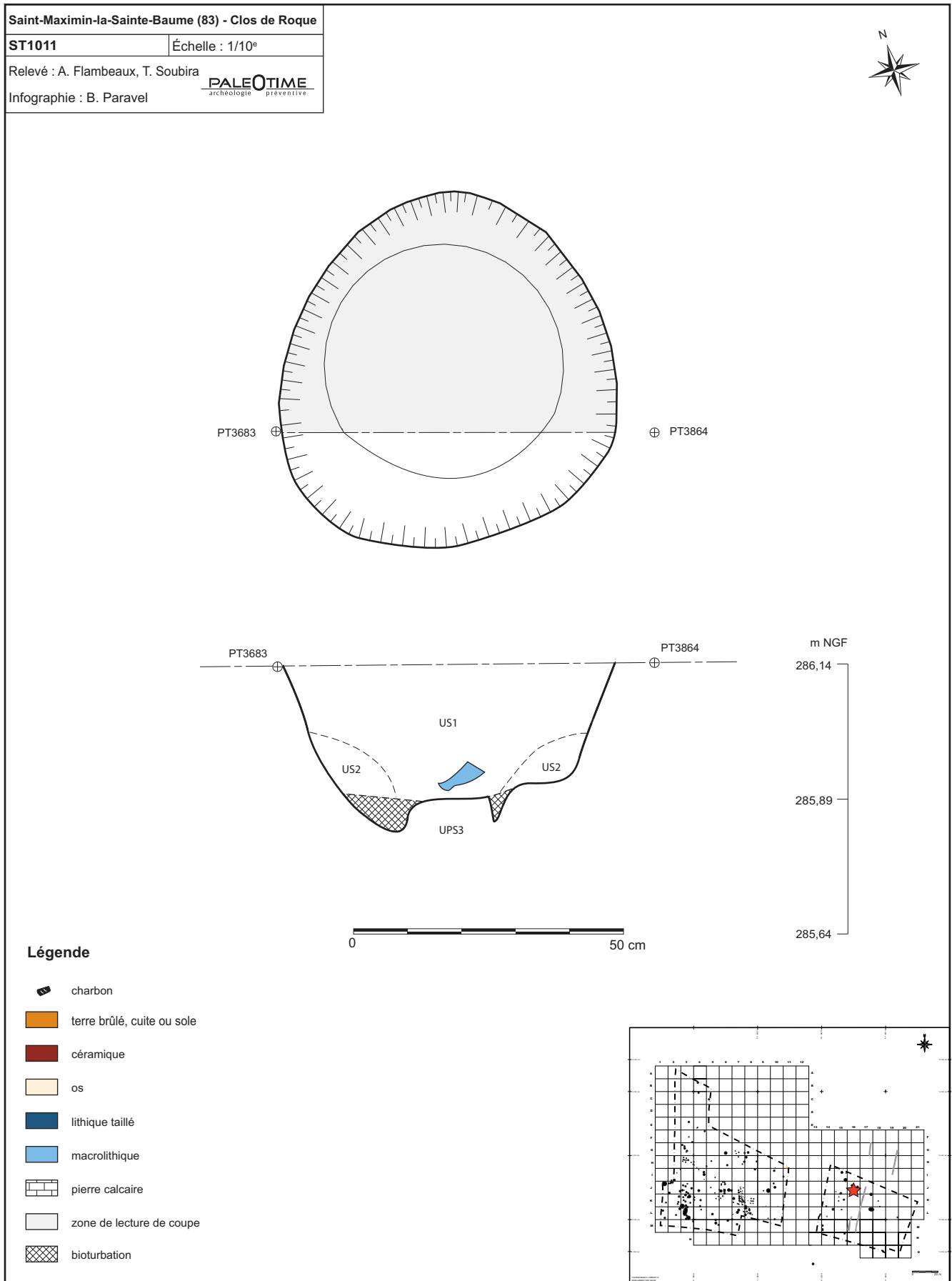


Figure 171 - Le Clos de Roque, Saint-Maximin-la-Sainte-Baume (83). Plan et coupe stratigraphique de la structure ST1011.

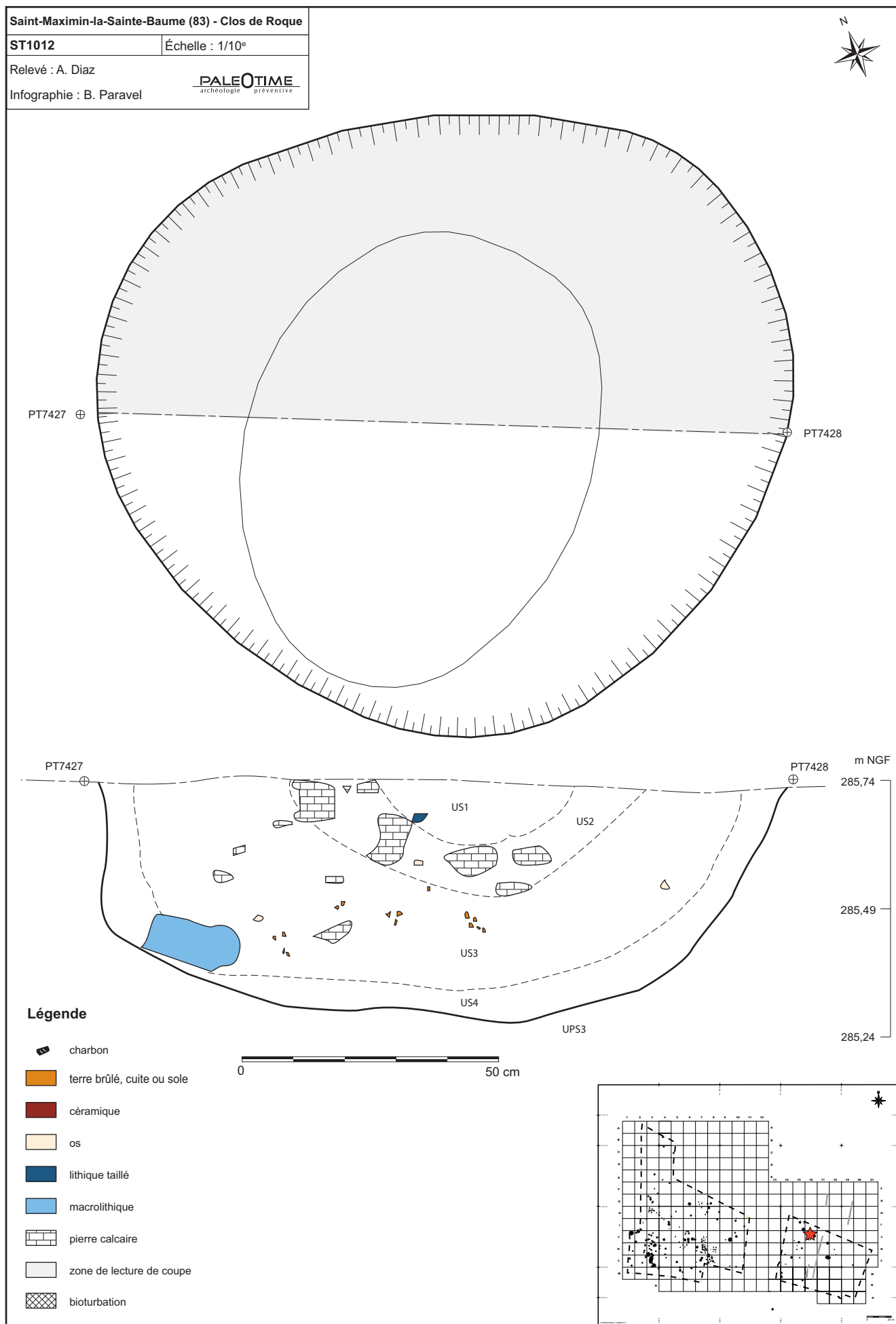


Figure 172 - Le Clos de Roque, Saint-Maximin-la-Sainte-Baume (83). Plan et coupe stratigraphique de la structure ST1012.

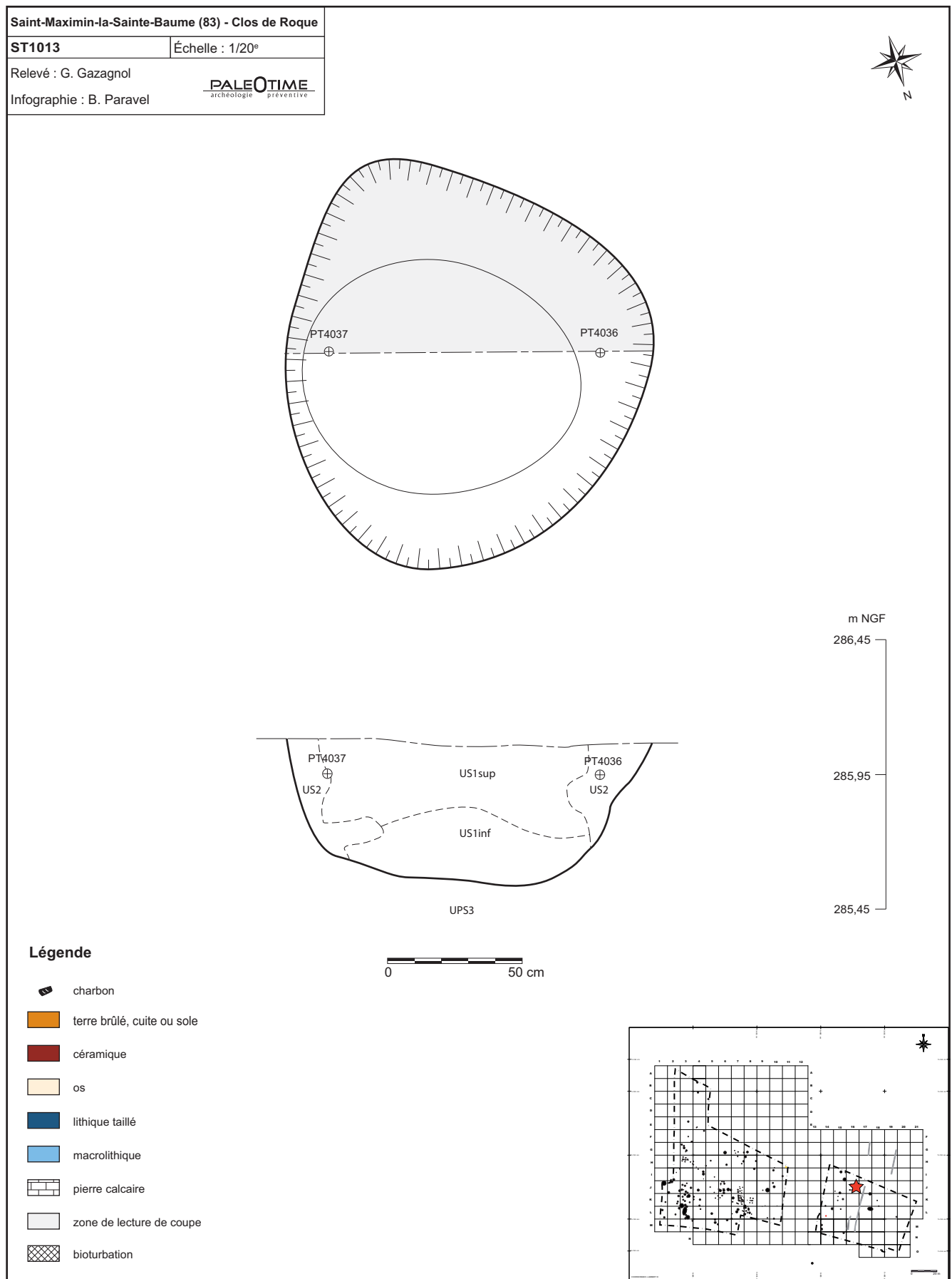


Figure 173 - Le Clos de Roque, Saint-Maximin-la-Sainte-Baume (83). Plan et coupe stratigraphique de la structure ST1013.

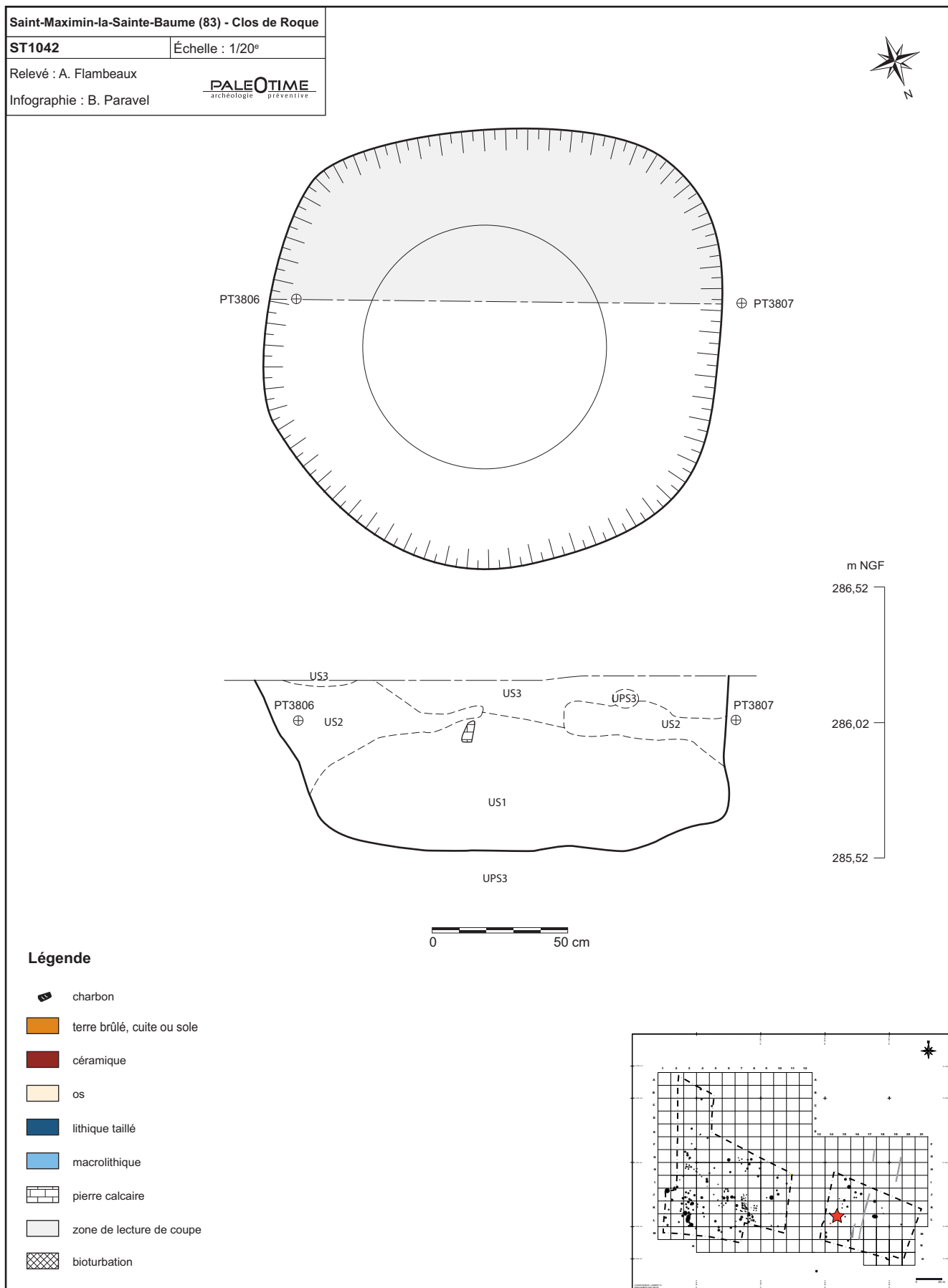


Figure 174 - Le Clos de Roque, Saint-Maximin-la-Sainte-Baume (83). Plan et coupe stratigraphique de la structure ST1042.

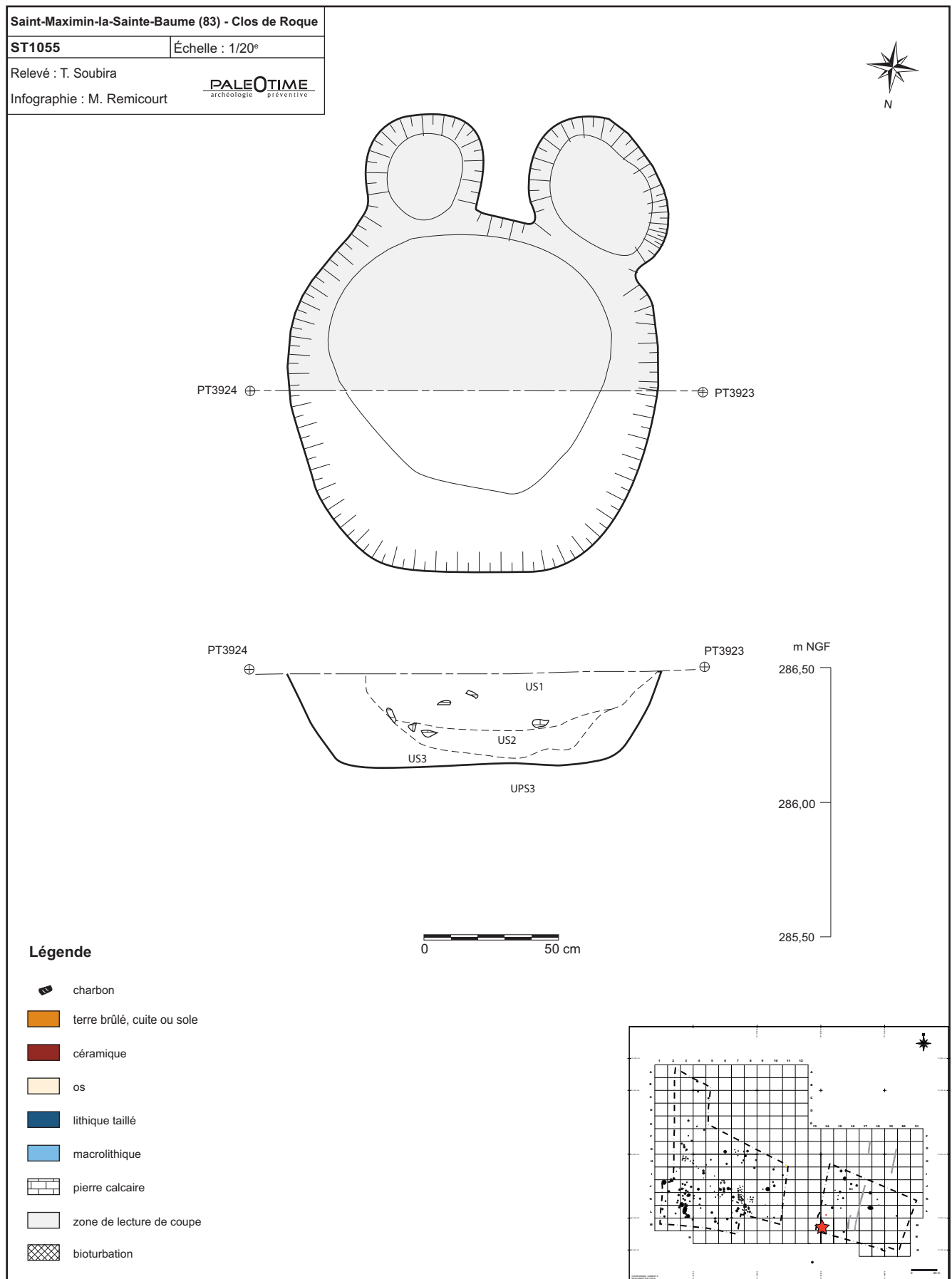


Figure 175 - Le Clos de Roque, Saint-Maximin-la-Sainte-Baume (83). Plan et coupe stratigraphique de la structure ST1055.

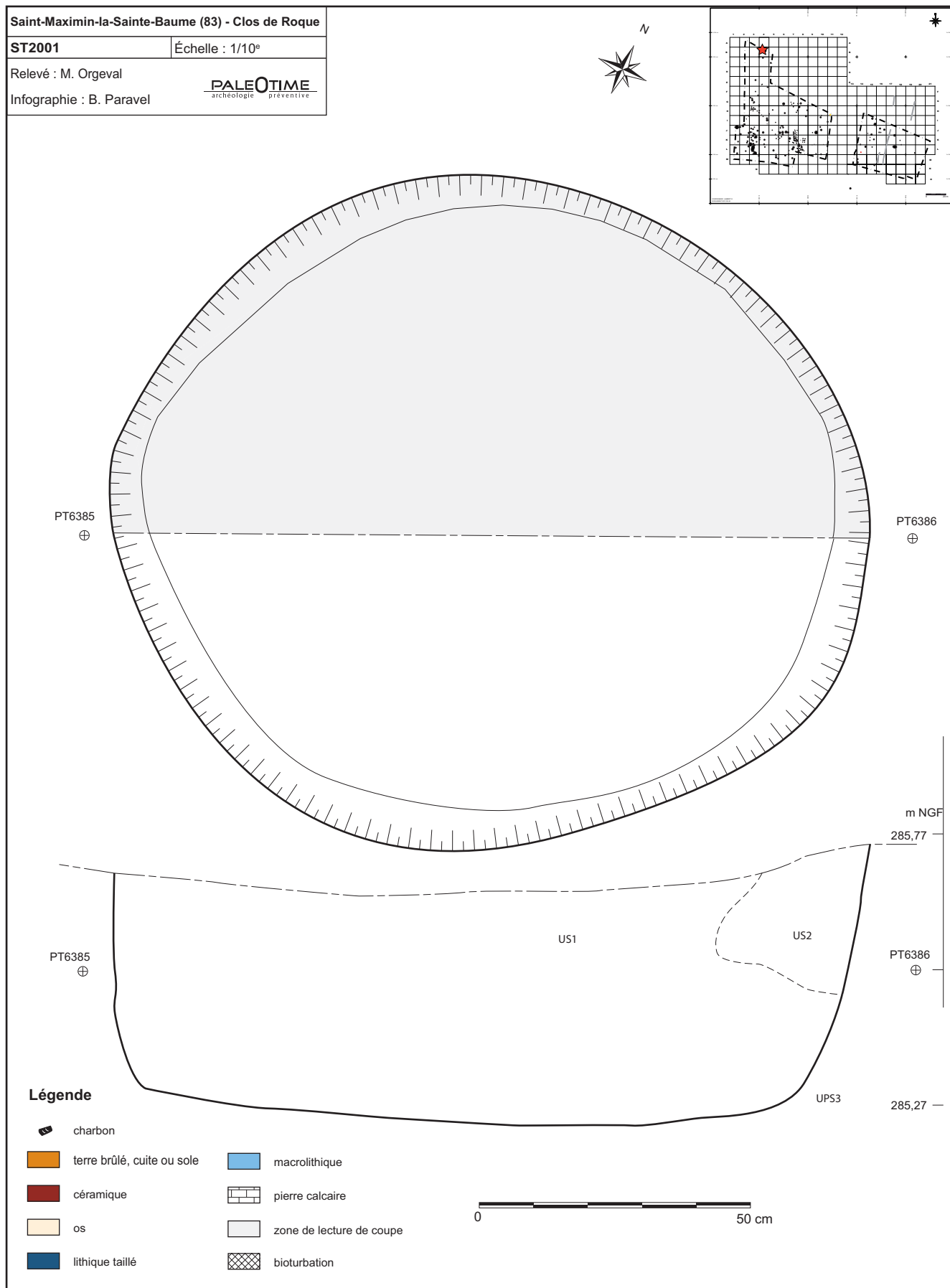


Figure 176 - Le Clos de Roque, Saint-Maximin-la-Sainte-Baume (83). Plan et coupe stratigraphique de la structure ST2001.

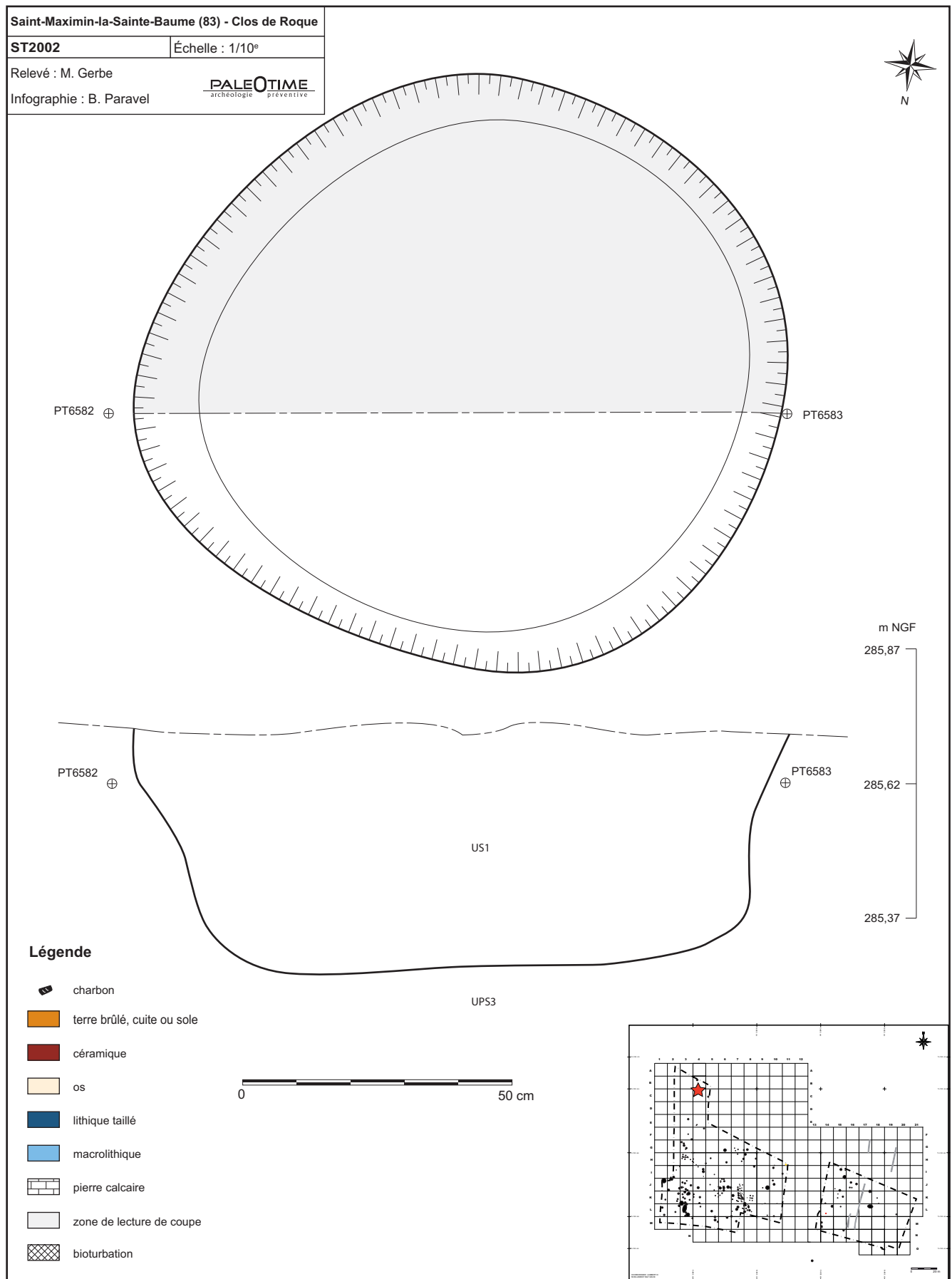


Figure 177 - Le Clos de Roque, Saint-Maximin-la-Sainte-Baume (83). Plan et coupe stratigraphique de la structure ST2002.



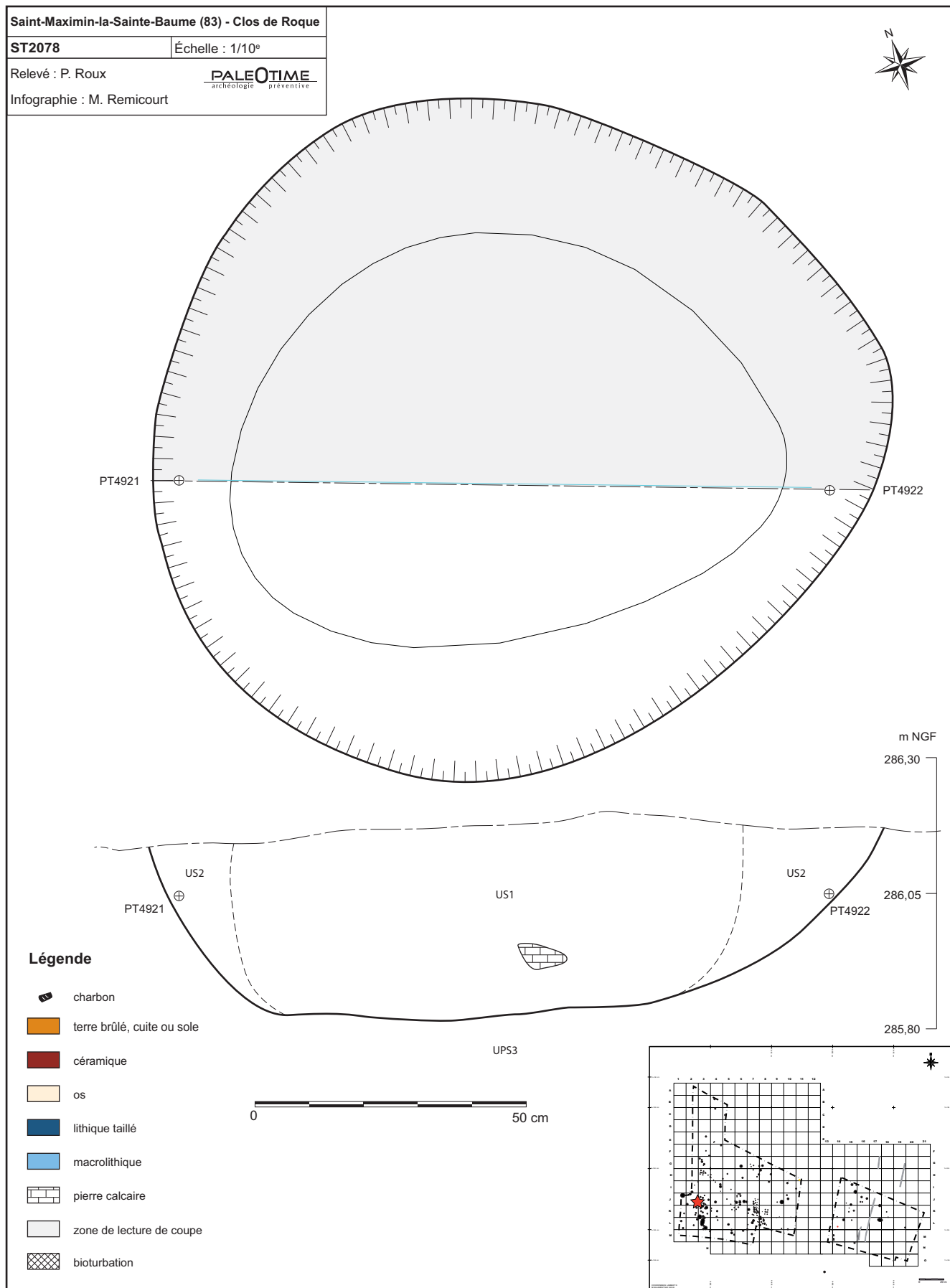


Figure 178 - Le Clos de Roque, Saint-Maximin-la-Sainte-Baume (83). Plan et coupe stratigraphique de la structure ST2078.

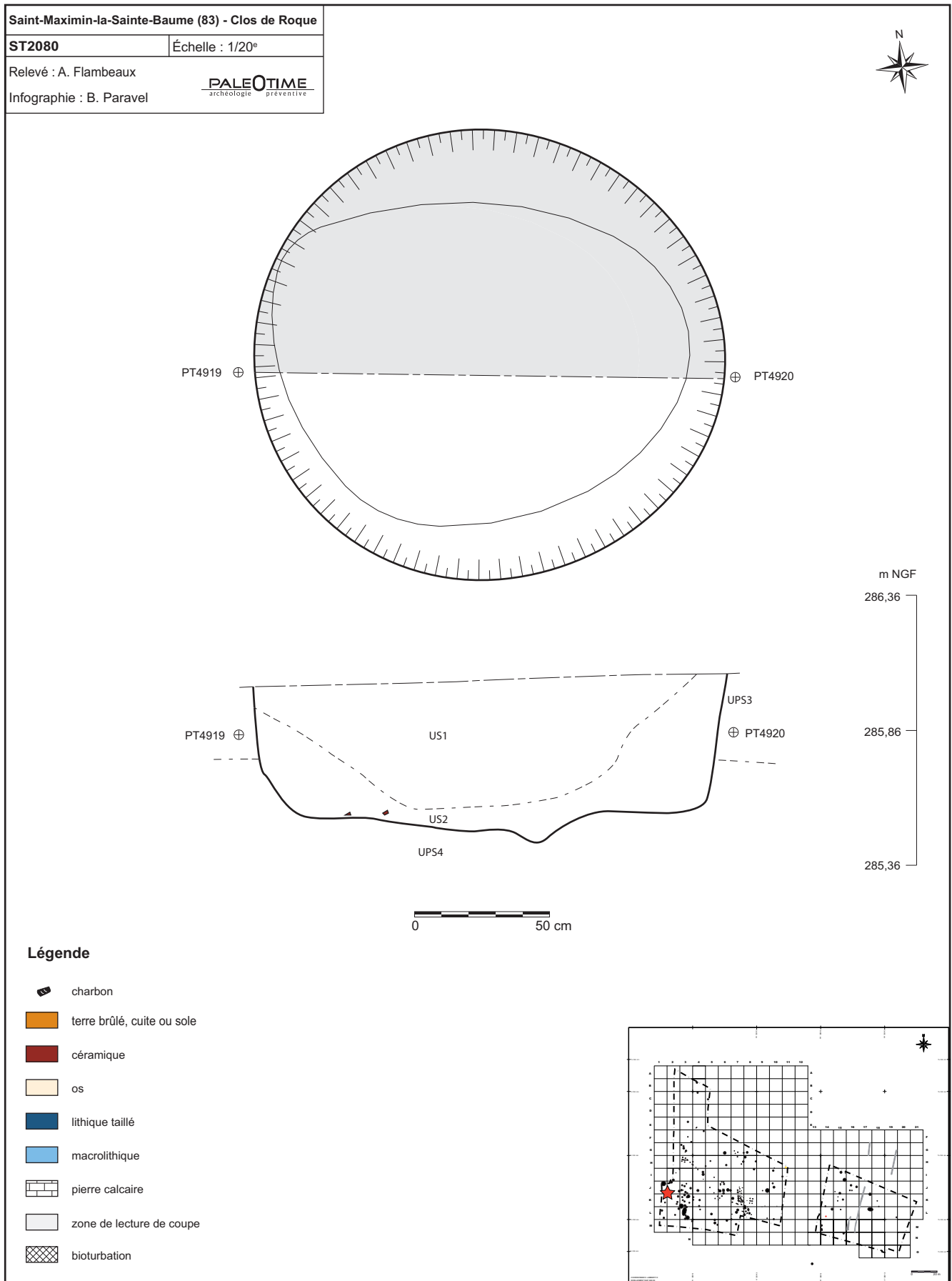


Figure 179 - Le Clos de Roque, Saint-Maximin-la-Sainte-Baume (83). Plan et coupe stratigraphique de la structure ST2080.

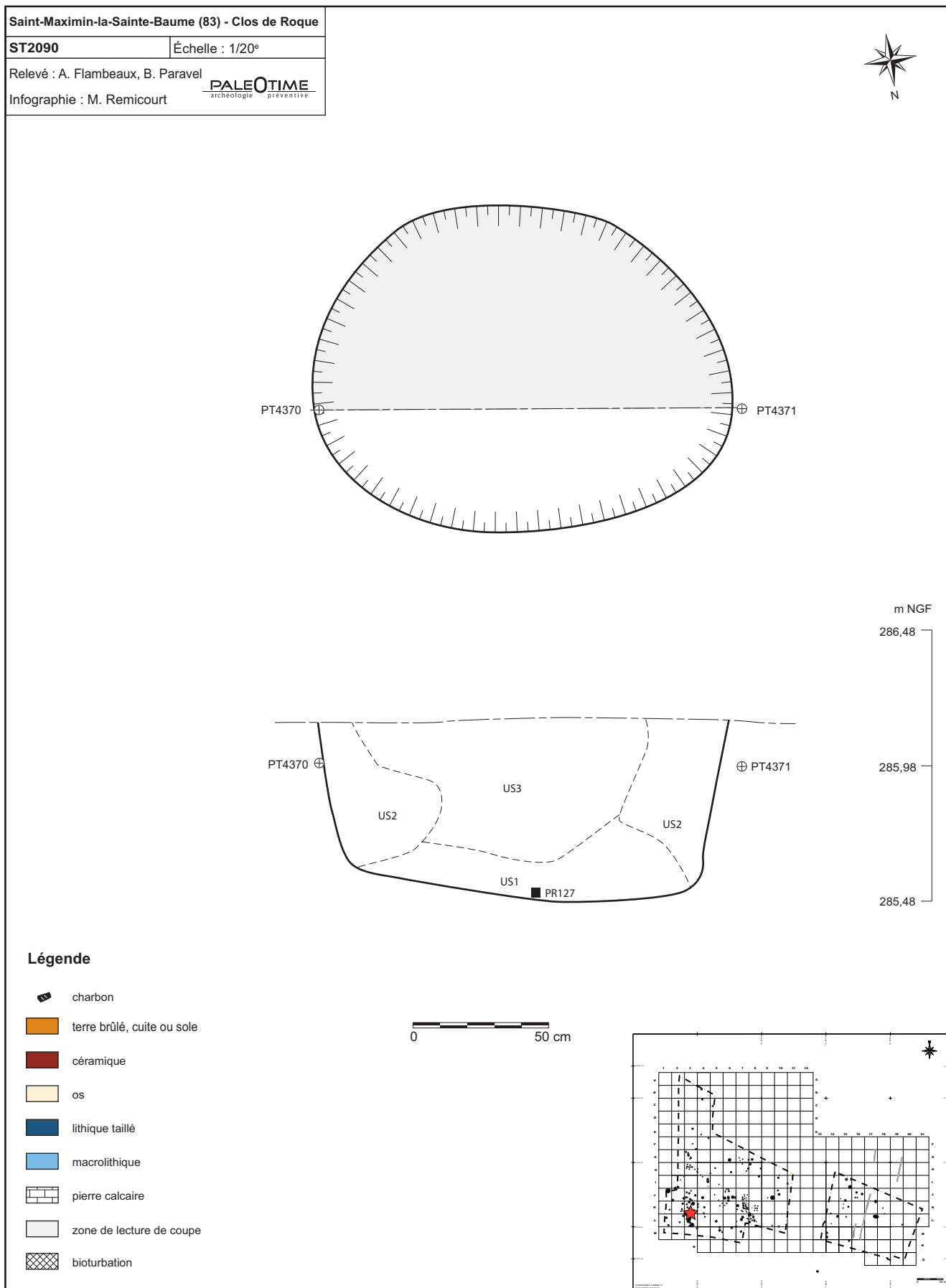


Figure 180 - Le Clos de Roque, Saint-Maximin-la-Sainte-Baume (83). Plan et coupe stratigraphique de la structure ST2090.

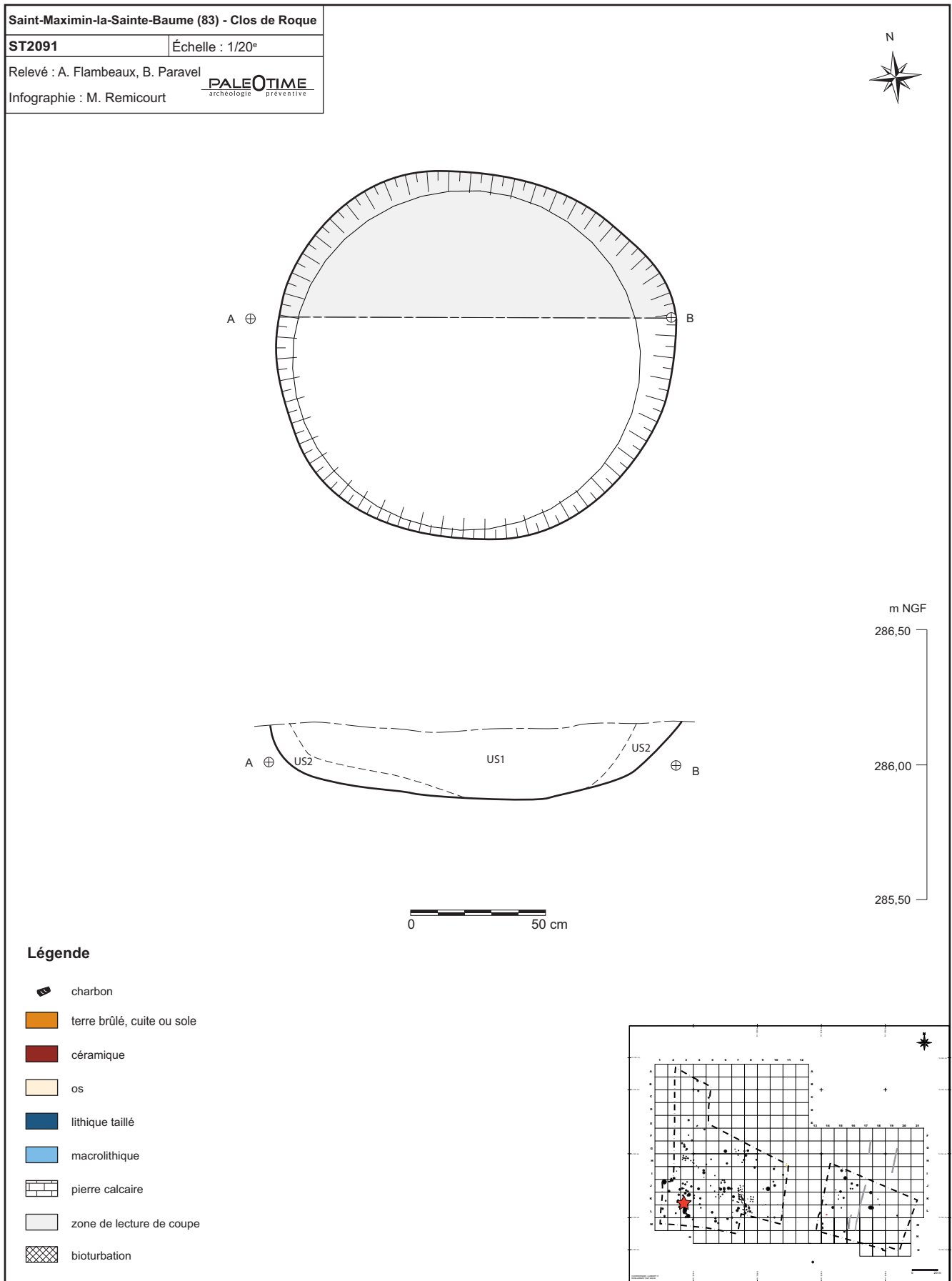


Figure 181 - Le Clos de Roque, Saint-Maximin-la-Sainte-Baume (83). Plan et coupe stratigraphique de la structure ST2091.

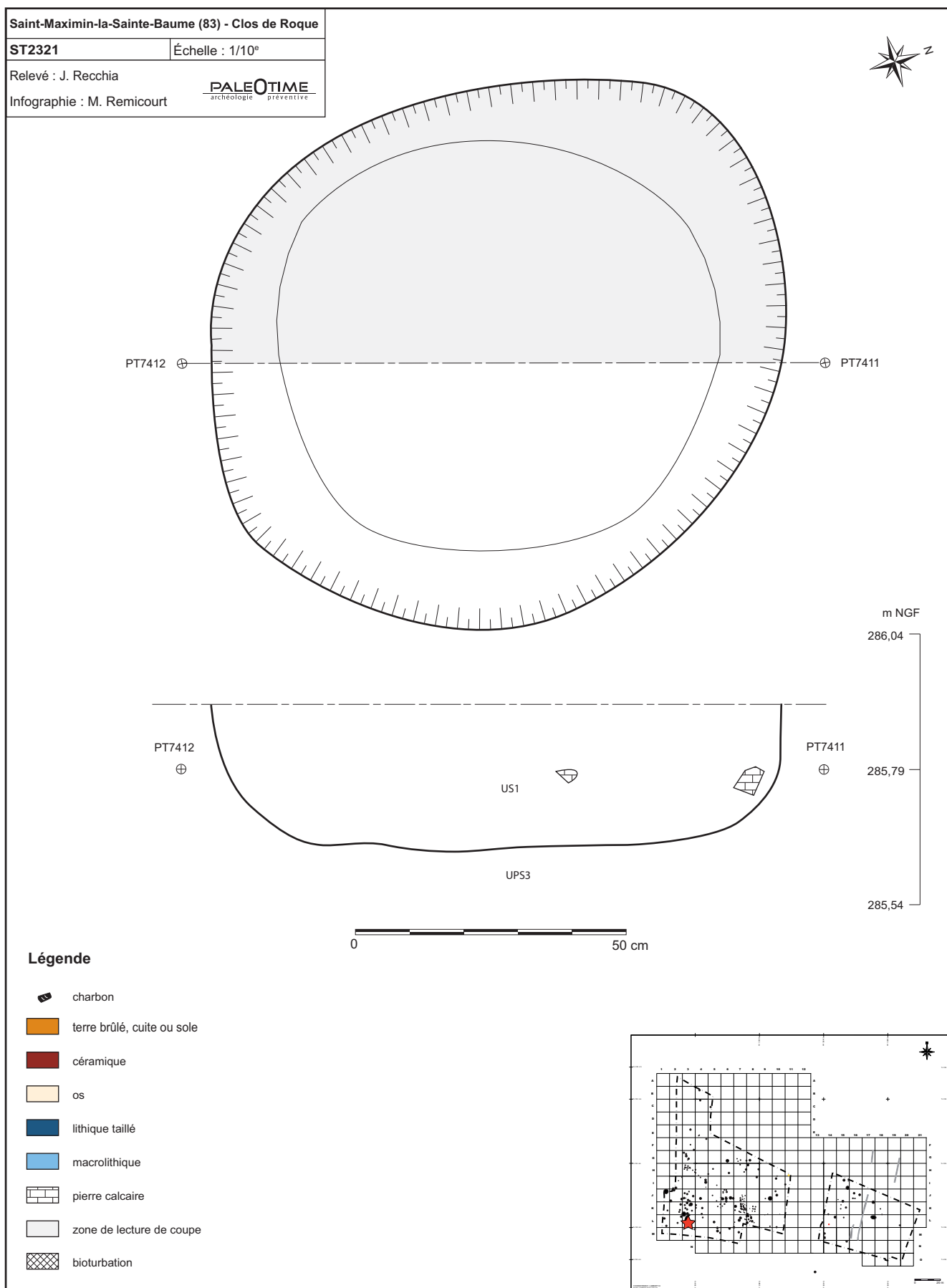


Figure 182 - Le Clos de Roque, Saint-Maximin-la-Sainte-Baume (83). Plan et coupe stratigraphique de la structure ST2321.

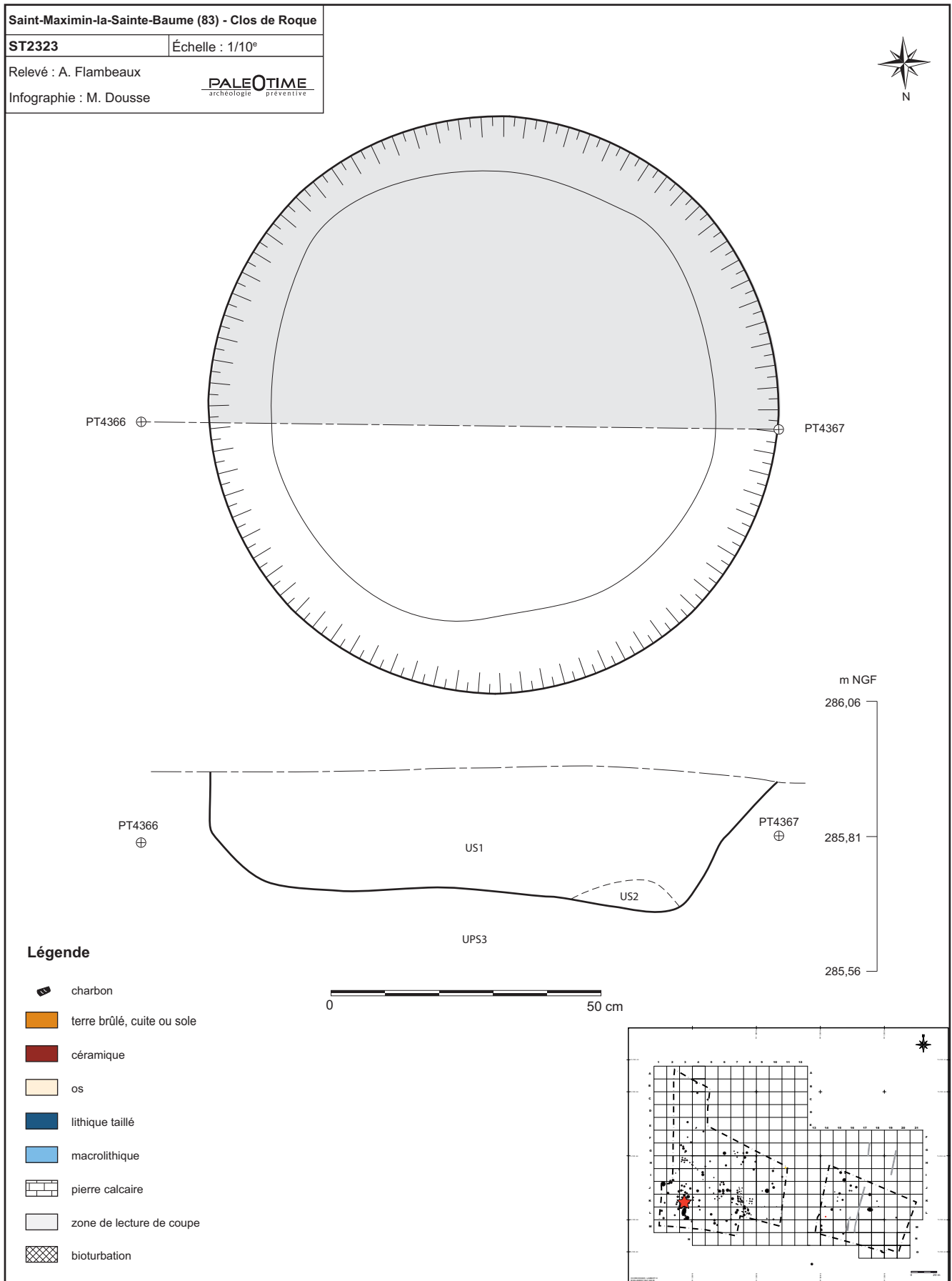


Figure 183 - Le Clos de Roque, Saint-Maximin-la-Sainte-Baume (83). Plan et coupe stratigraphique de la structure ST2323.

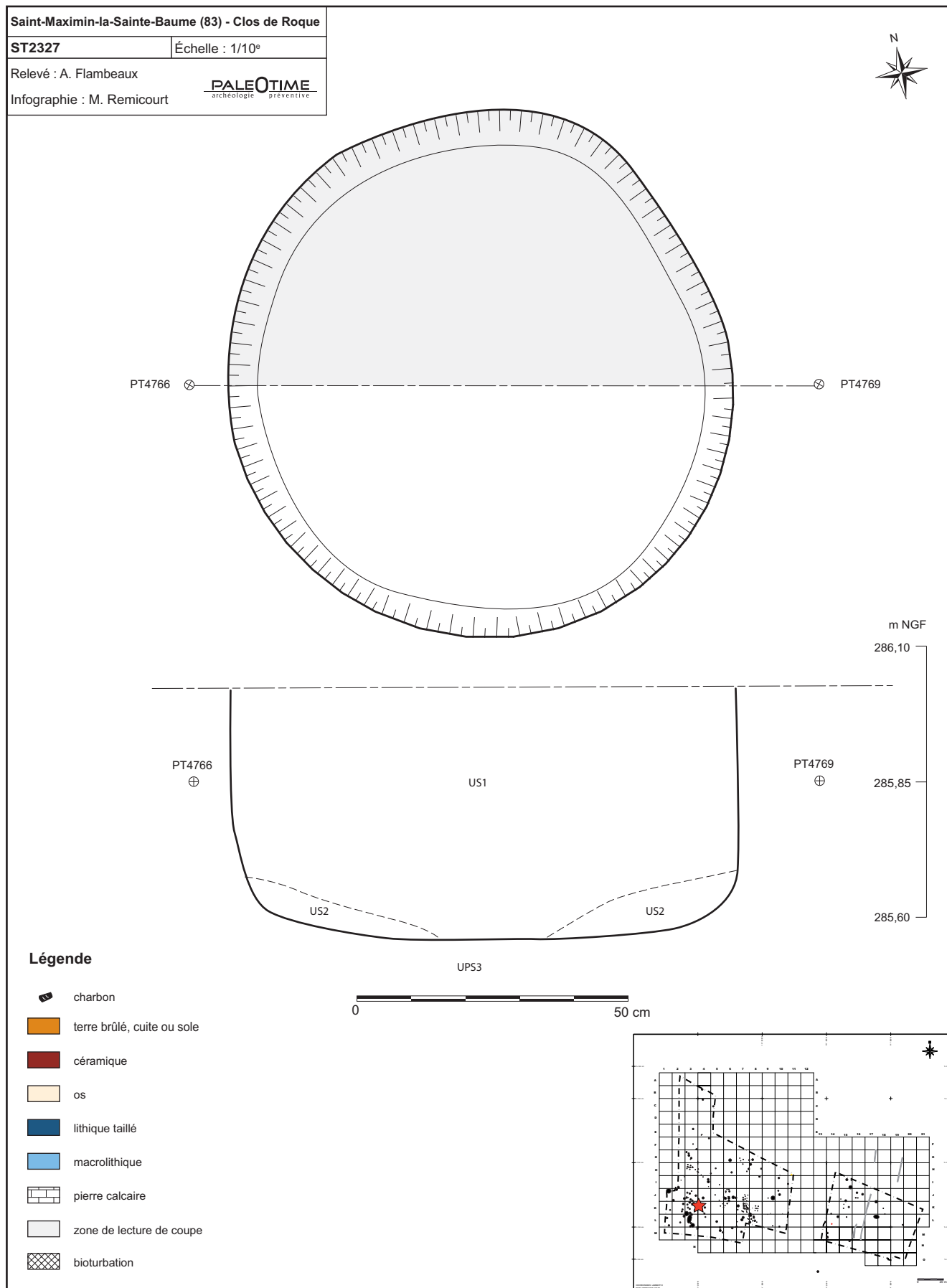


Figure 184 - Le Clos de Roque, Saint-Maximin-la-Sainte-Baume (83). Plan et coupe stratigraphique de la structure ST2327.

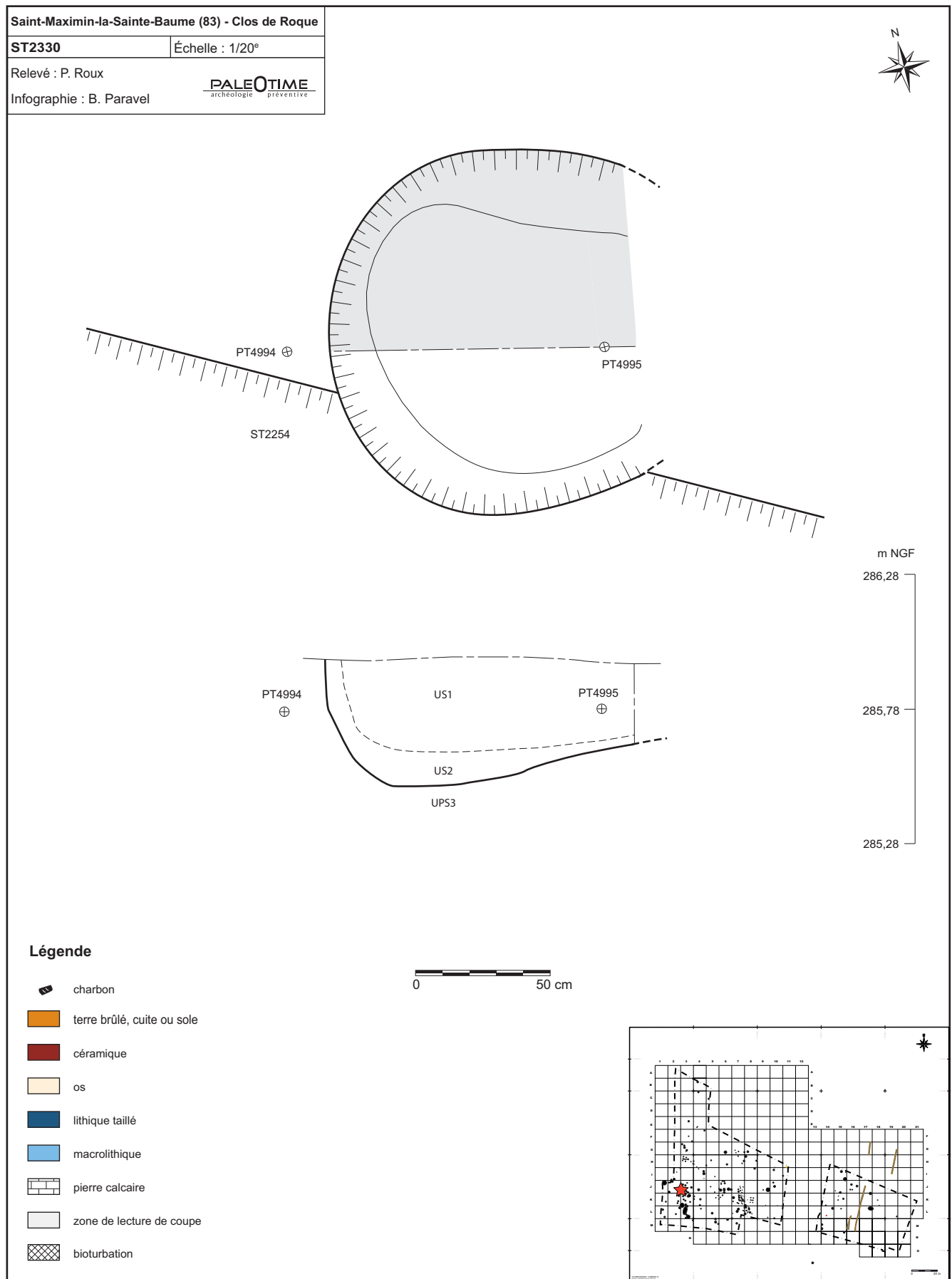


Figure 185 - Le Clos de Roque, Saint-Maximin-la-Sainte-Baume (83). Plan et coupe stratigraphique de la structure ST2330.



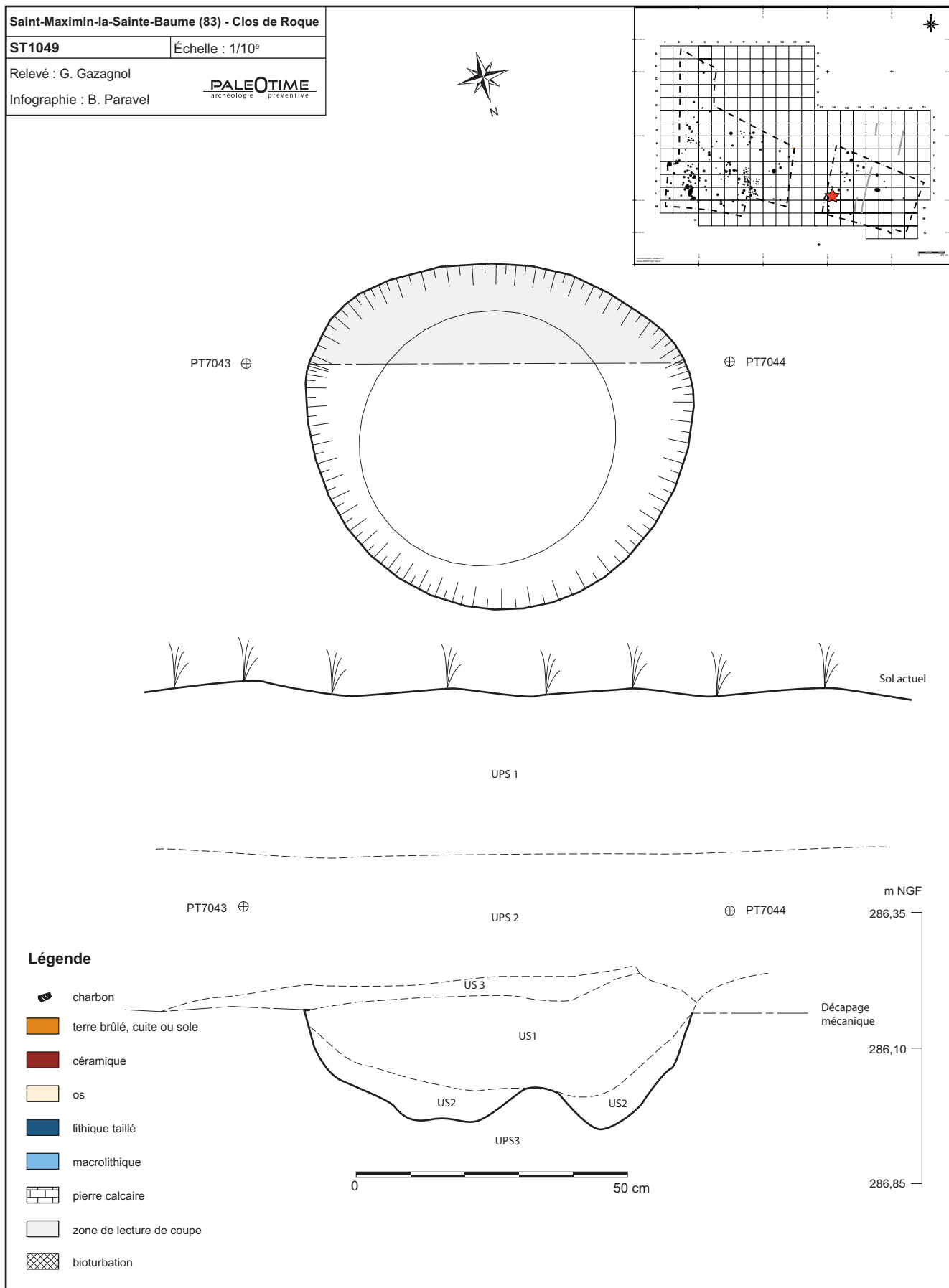


Figure 186 - Le Clos de Roque, Saint-Maximin-la-Sainte-Baume (83). Plan et coupe stratigraphique de la structure ST1049.

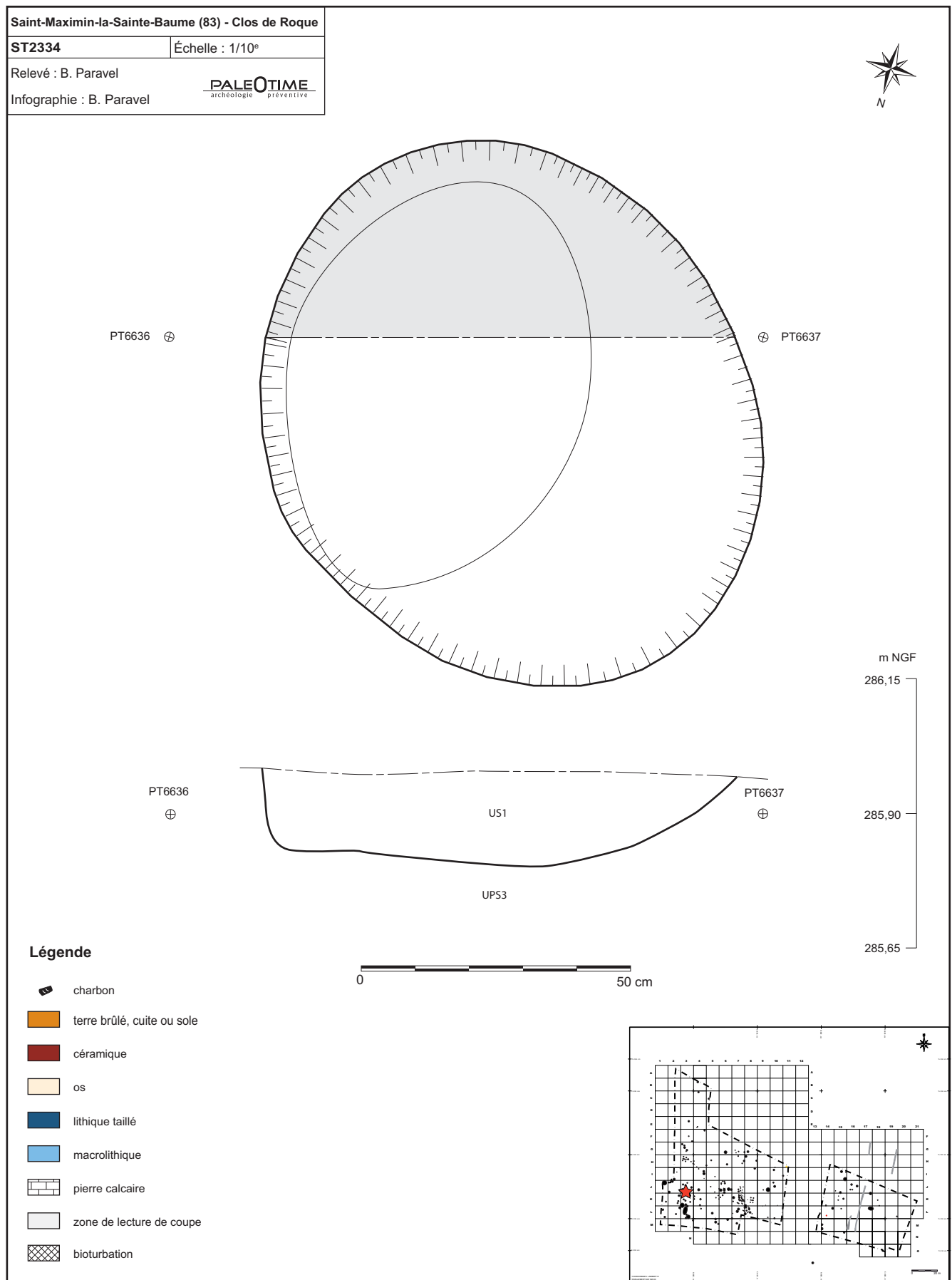


Figure 187 - Le Clos de Roque, Saint-Maximin-la-Sainte-Baume (83). Plan et coupe stratigraphique de la structure ST2334.

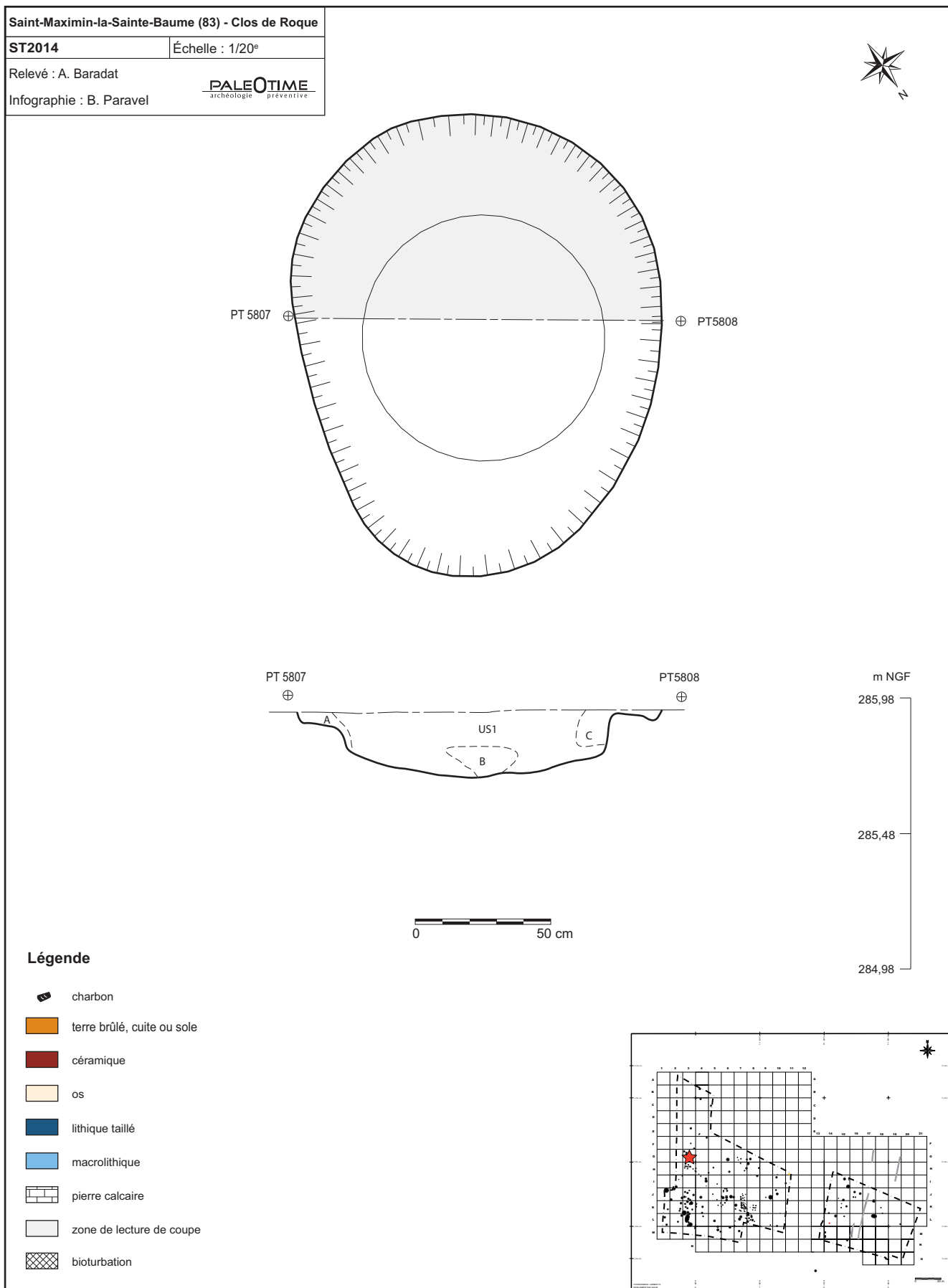


Figure 188 - Le Clos de Roque, Saint-Maximin-la-Sainte-Baume (83). Plan et coupe stratigraphique de la structure ST2014.

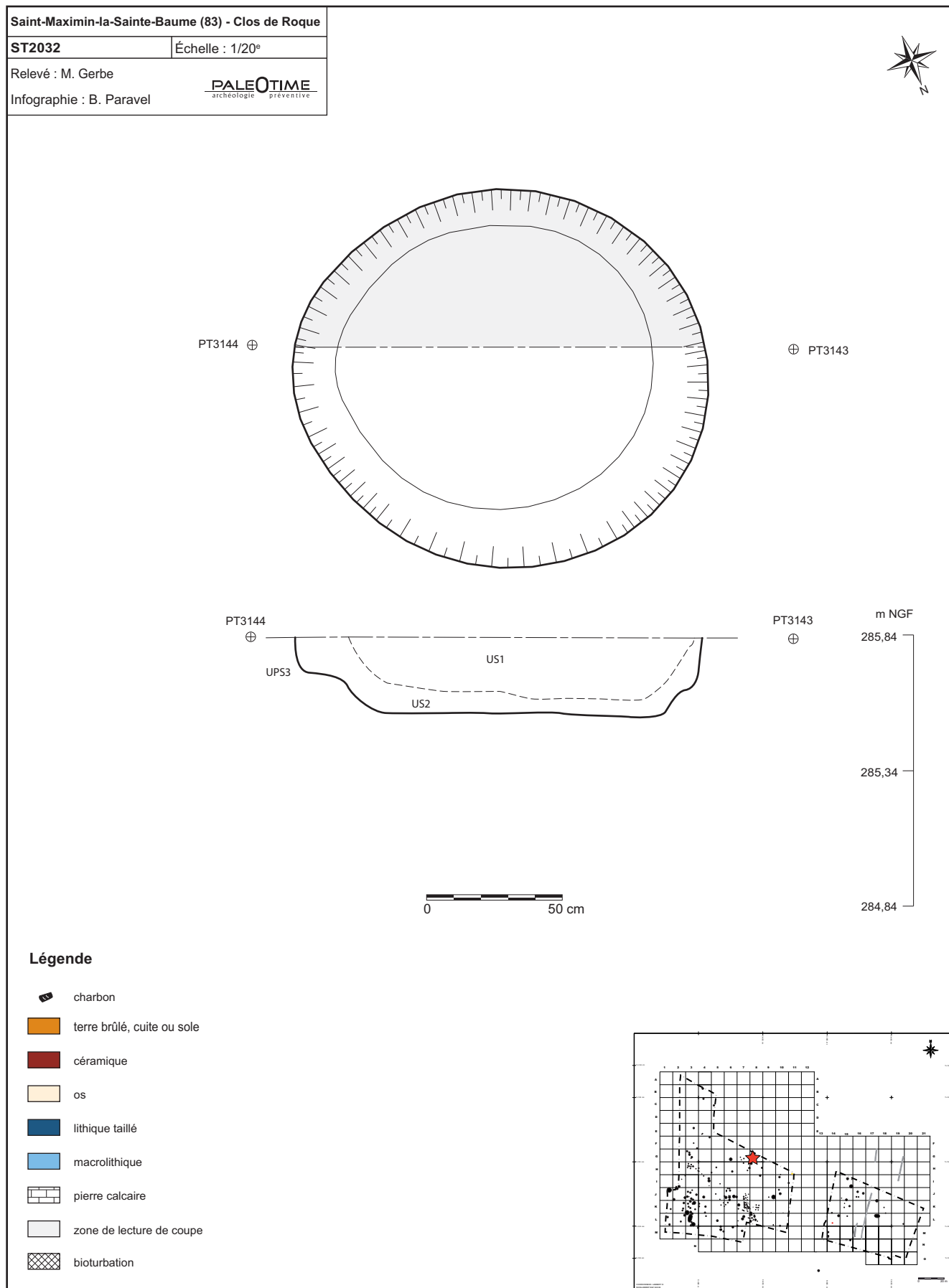


Figure 189 - Le Clos de Roque, Saint-Maximin-la-Sainte-Baume (83). Plan et coupe stratigraphique de la structure ST2032.

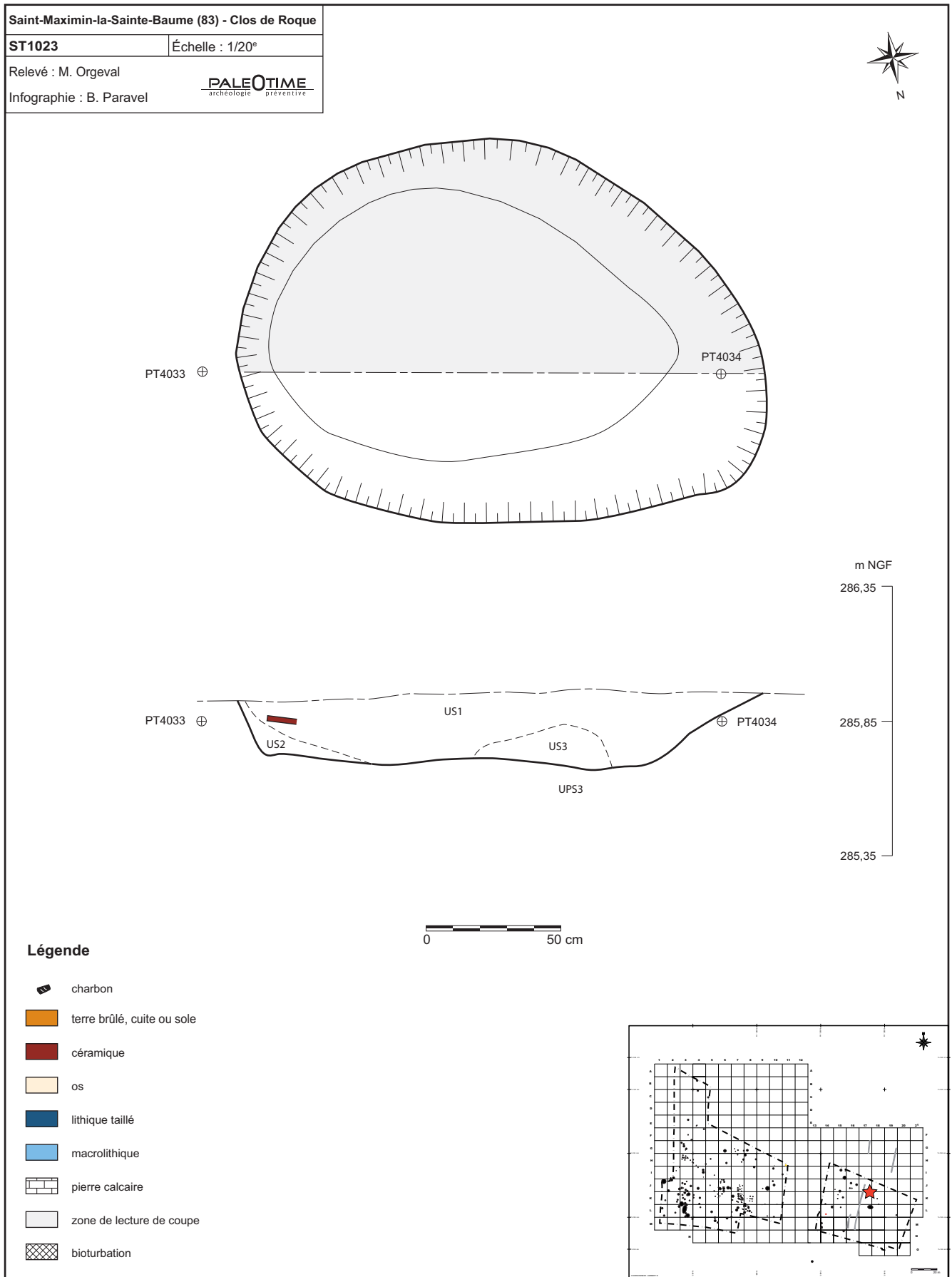


Figure 190 - Le Clos de Roque, Saint-Maximin-la-Sainte-Baume (83). Plan et coupe stratigraphique de la structure ST1023.

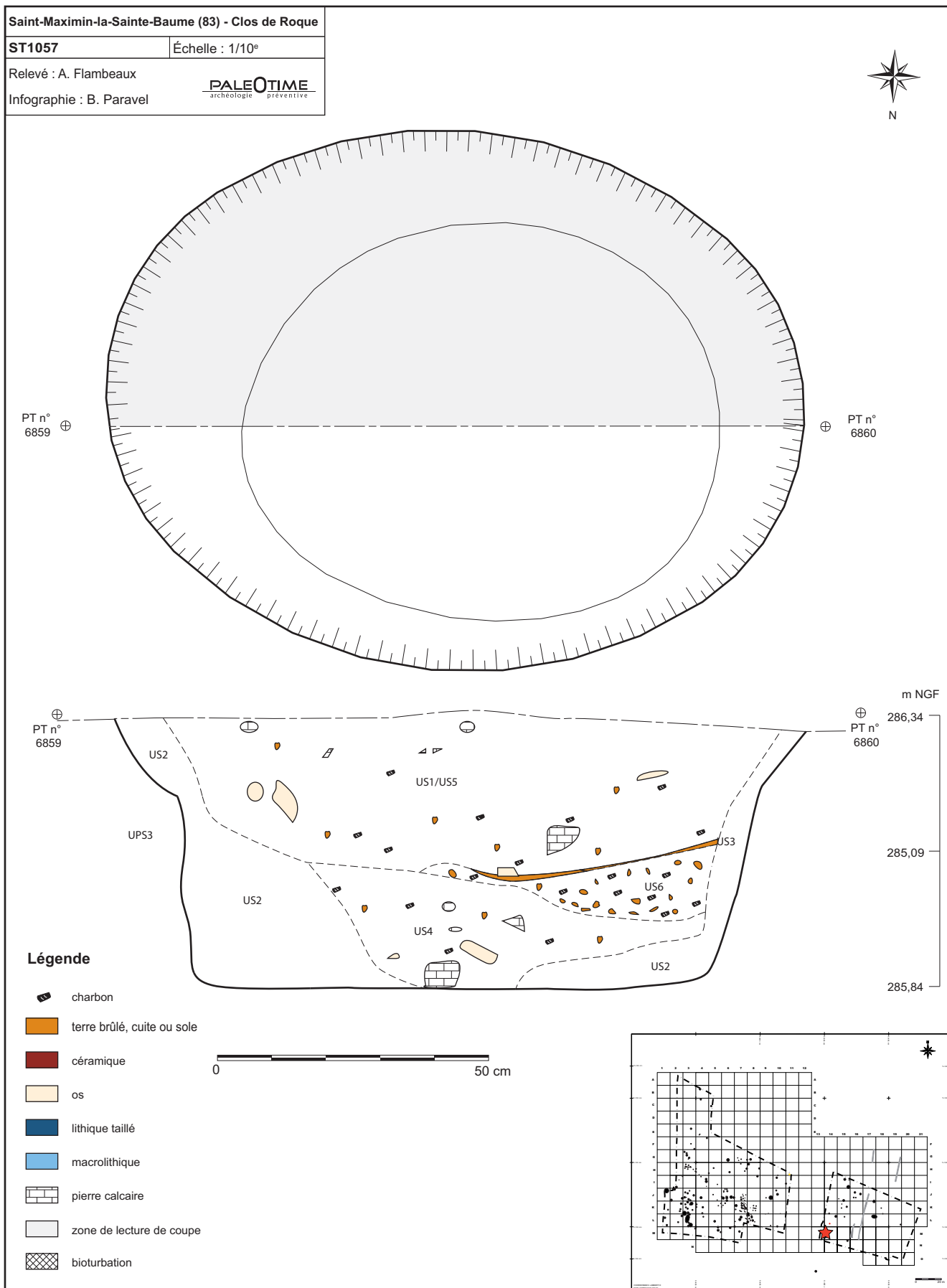


Figure 191 - Le Clos de Roque, Saint-Maximin-la-Sainte-Baume (83). Plan et coupe stratigraphique de la structure ST1057.

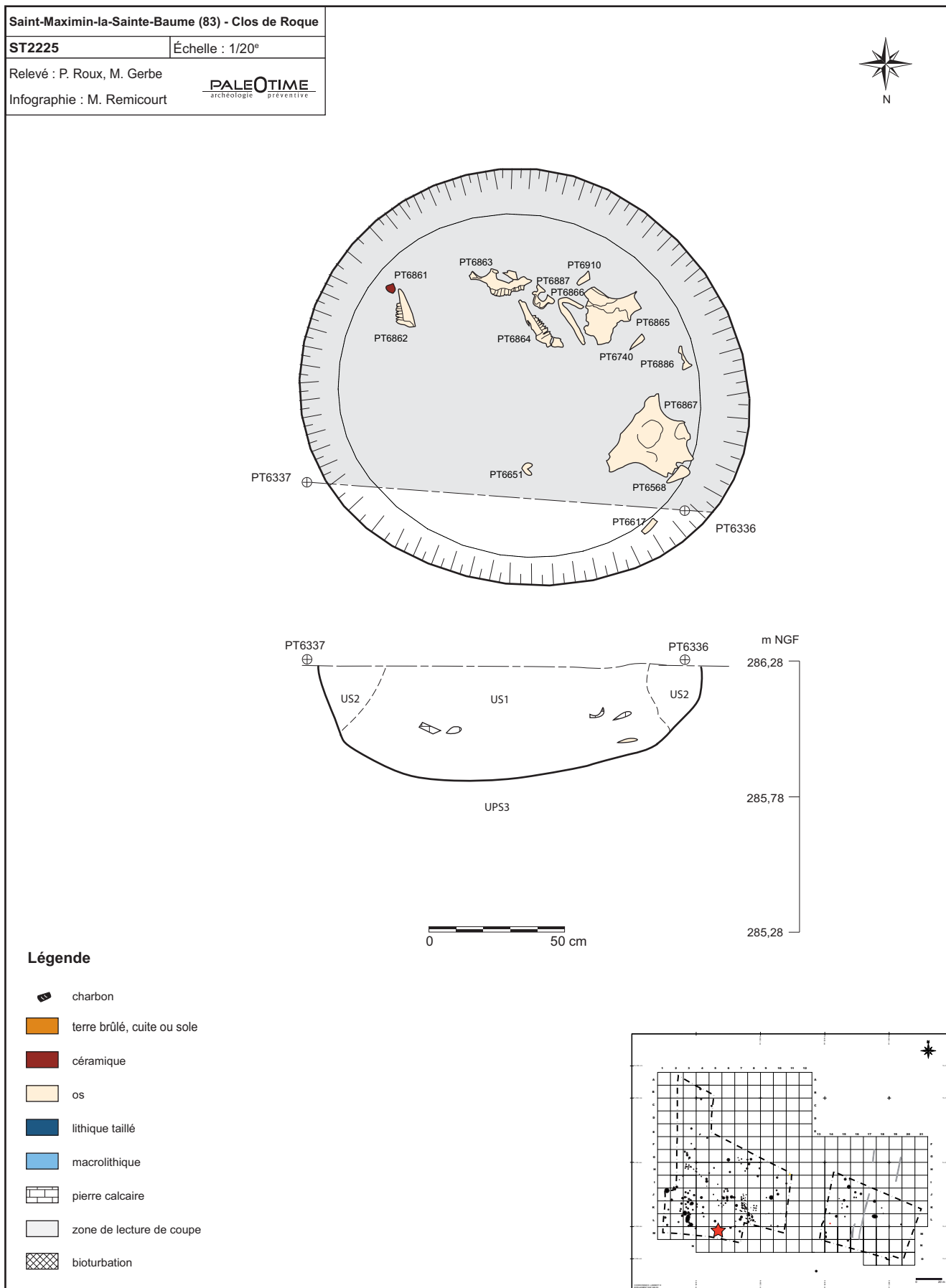


Figure 192 - Le Clos de Roque, Saint-Maximin-la-Sainte-Baume (83). Plan et coupe stratigraphique de la structure ST2225.

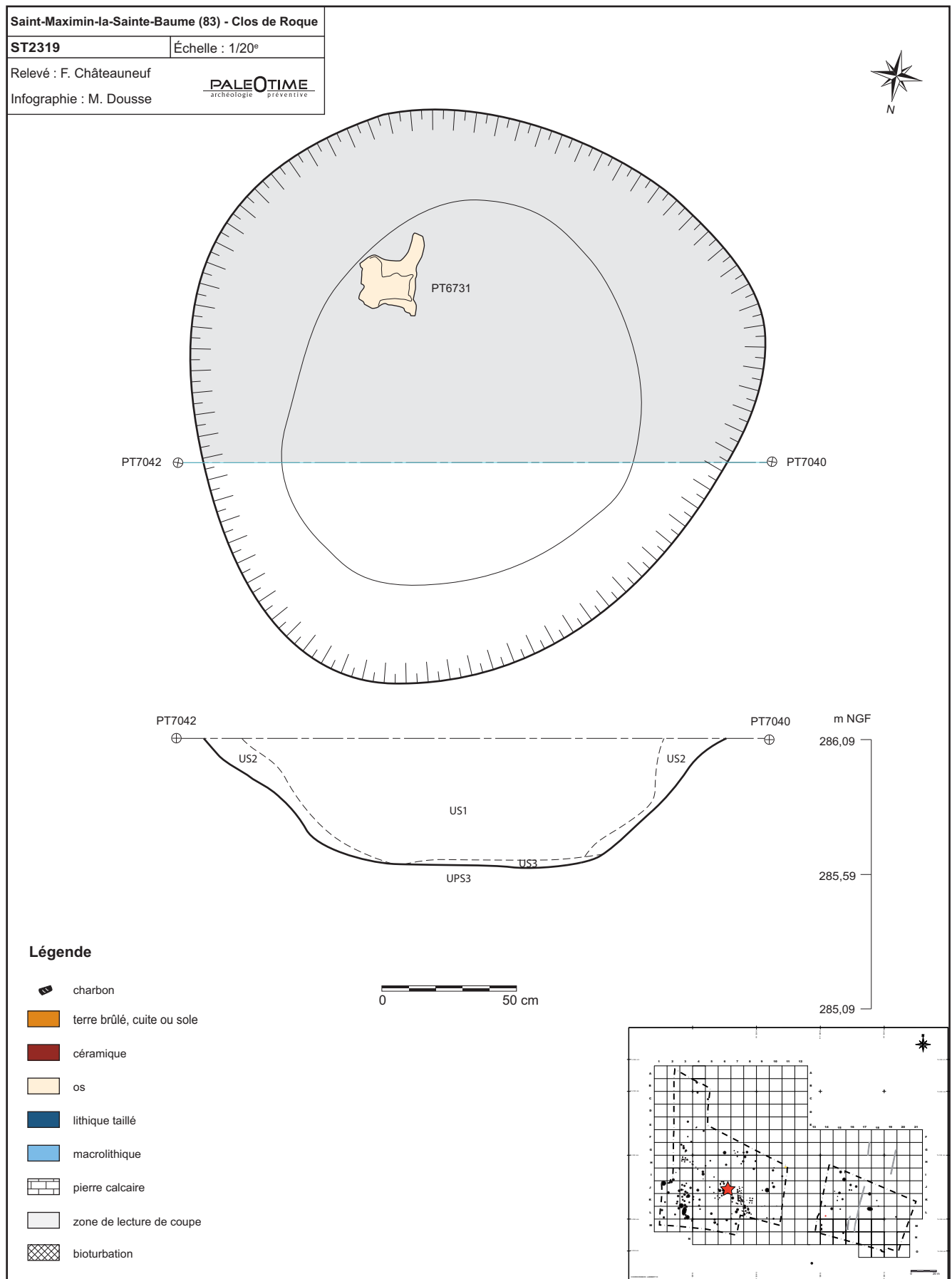


Figure 193 - Le Clos de Roque, Saint-Maximin-la-Sainte-Baume (83). Plan et coupe stratigraphique de la structure ST2319.



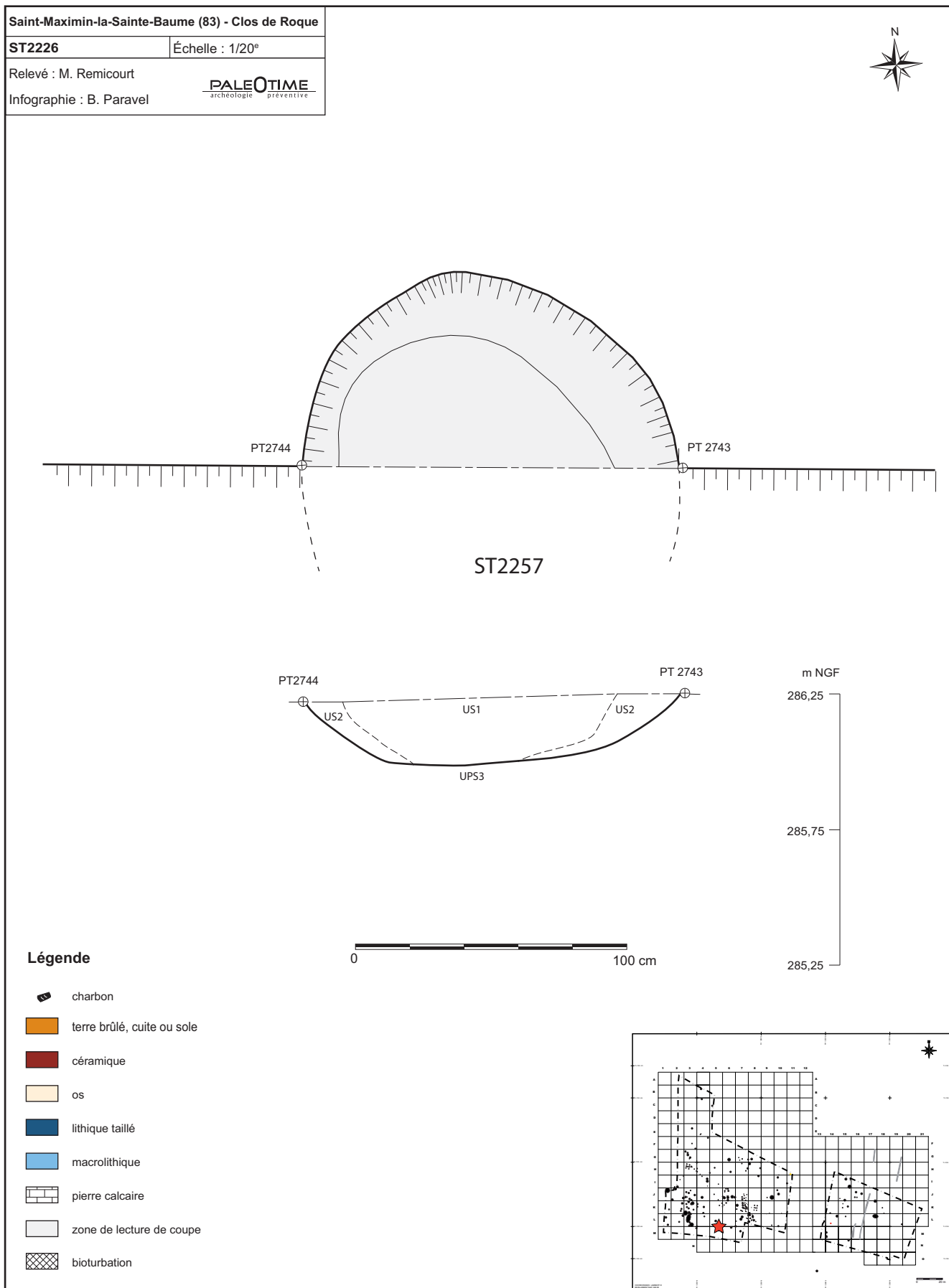


Figure 194 - Le Clos de Roque, Saint-Maximin-la-Sainte-Baume (83). Plan et coupe stratigraphique de la structure ST2226.

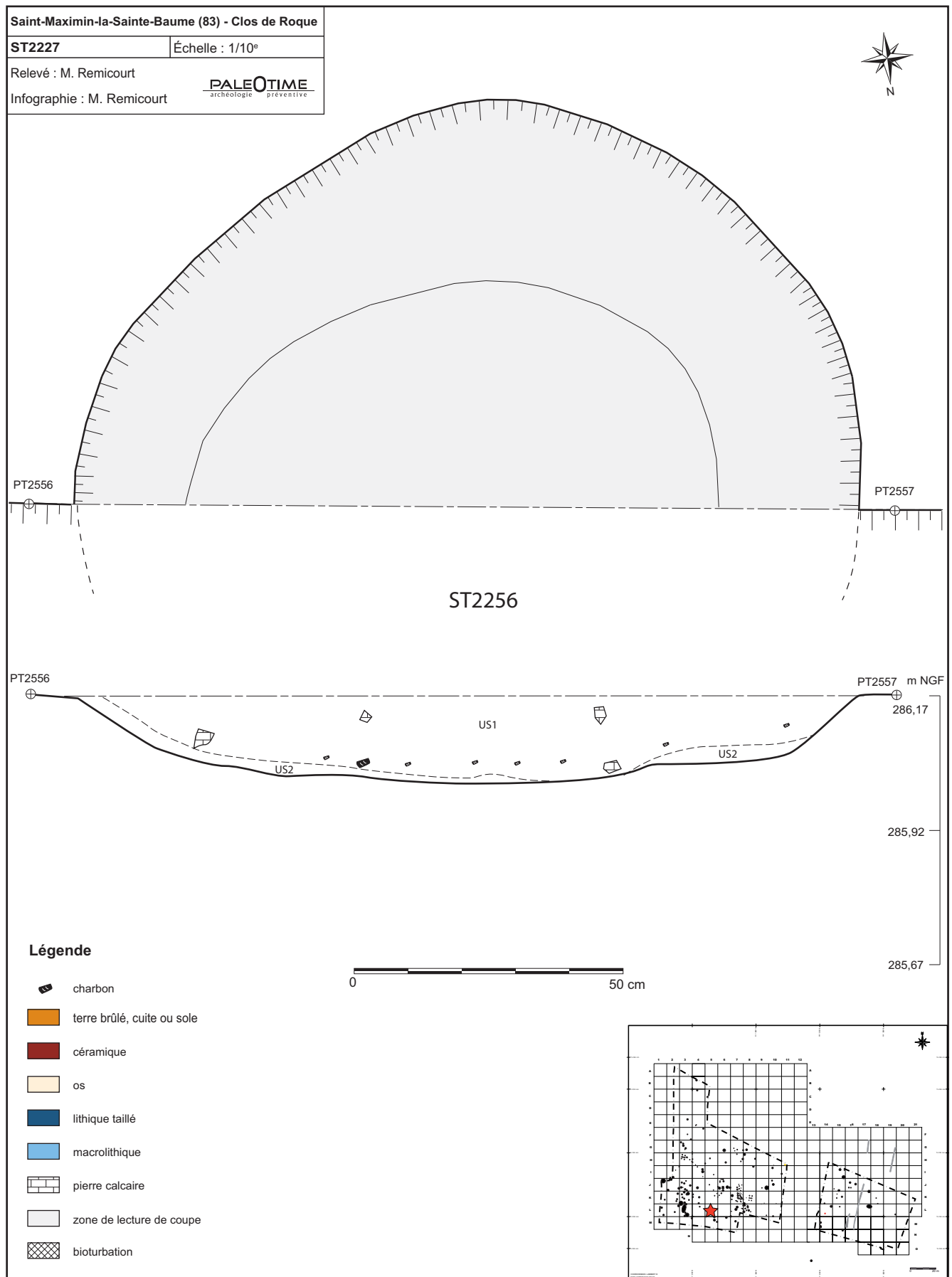


Figure 195 - Le Clos de Roque, Saint-Maximin-la-Sainte-Baume (83). Plan et coupe stratigraphique de la structure ST2227.

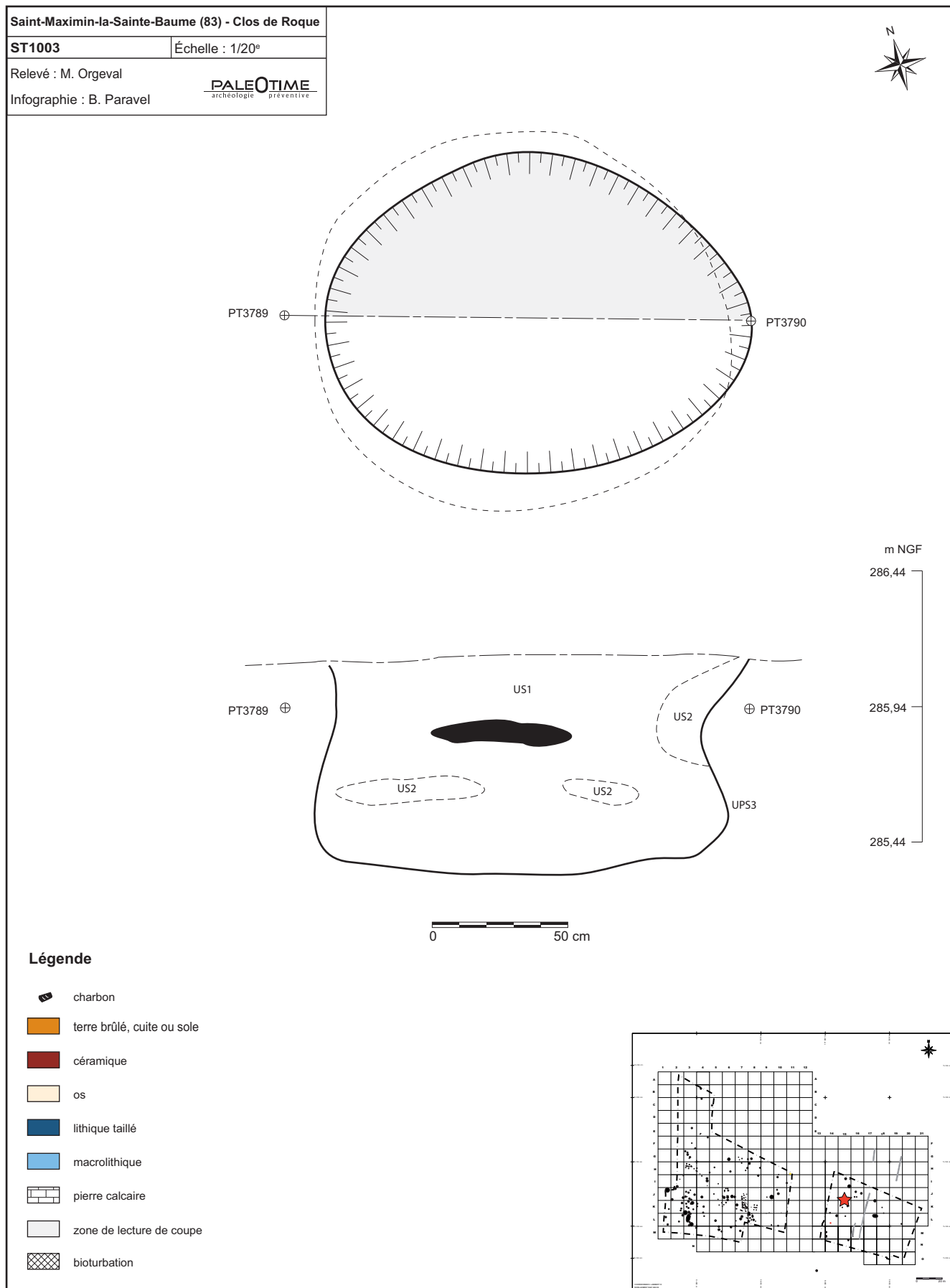


Figure 196 - Le Clos de Roque, Saint-Maximin-la-Sainte-Baume (83). Plan et coupe stratigraphique de la structure ST1003.

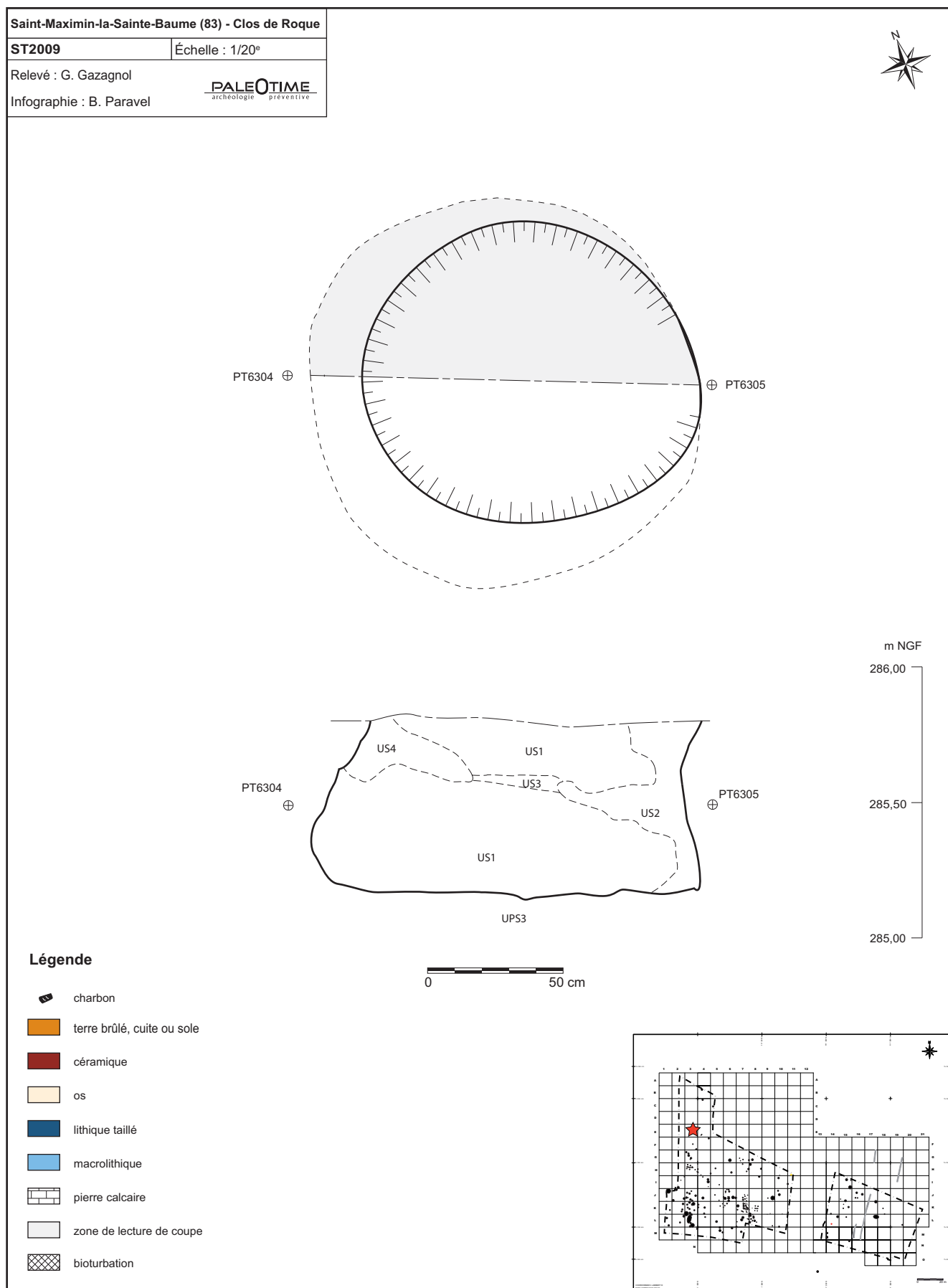


Figure 197 - Le Clos de Roque, Saint-Maximin-la-Sainte-Baume (83). Plan et coupe stratigraphique de la structure ST2009.

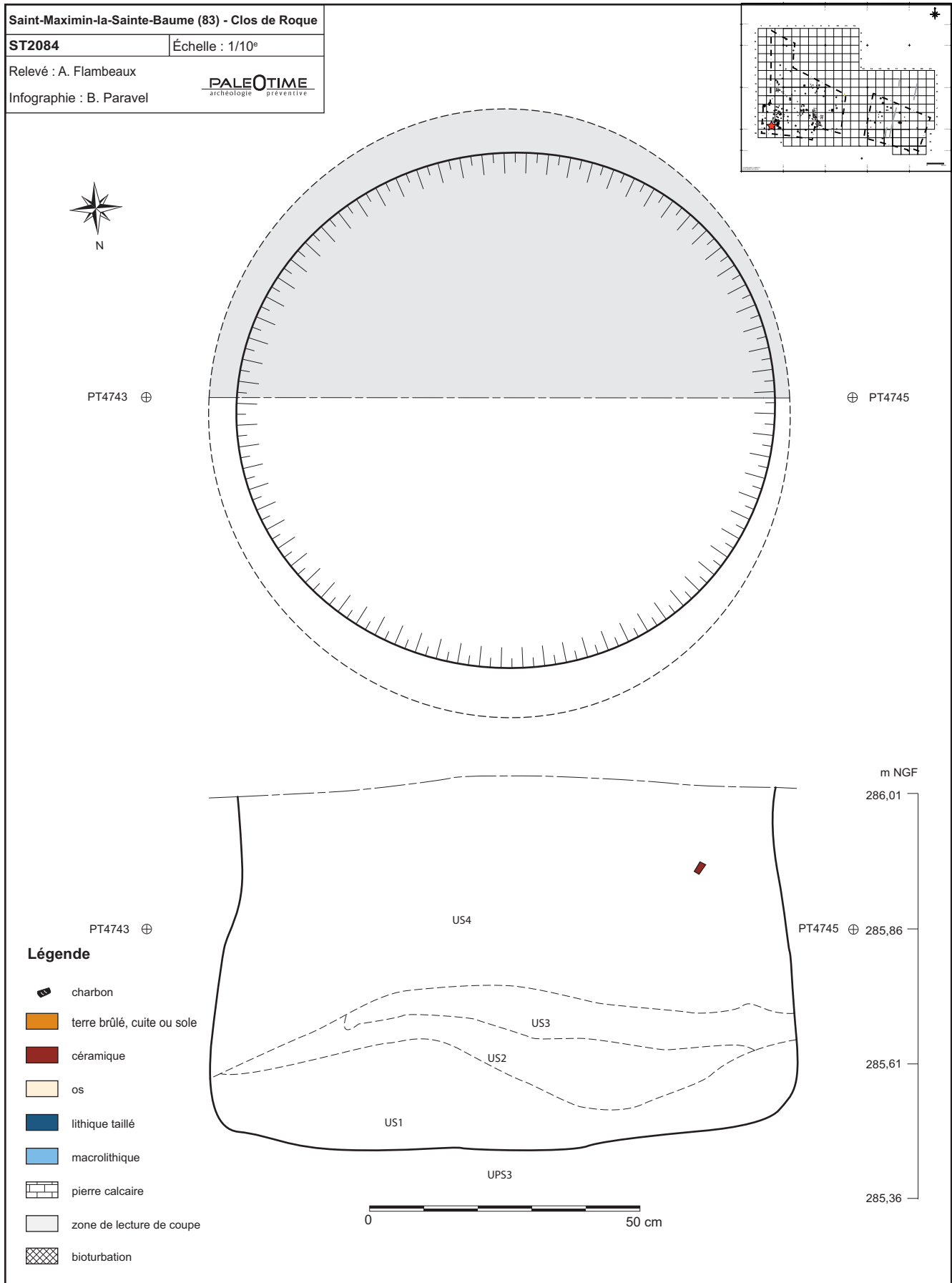


Figure 198 - Le Clos de Roque, Saint-Maximin-la-Sainte-Baume (83). Plan et coupe stratigraphique de la structure ST2084.

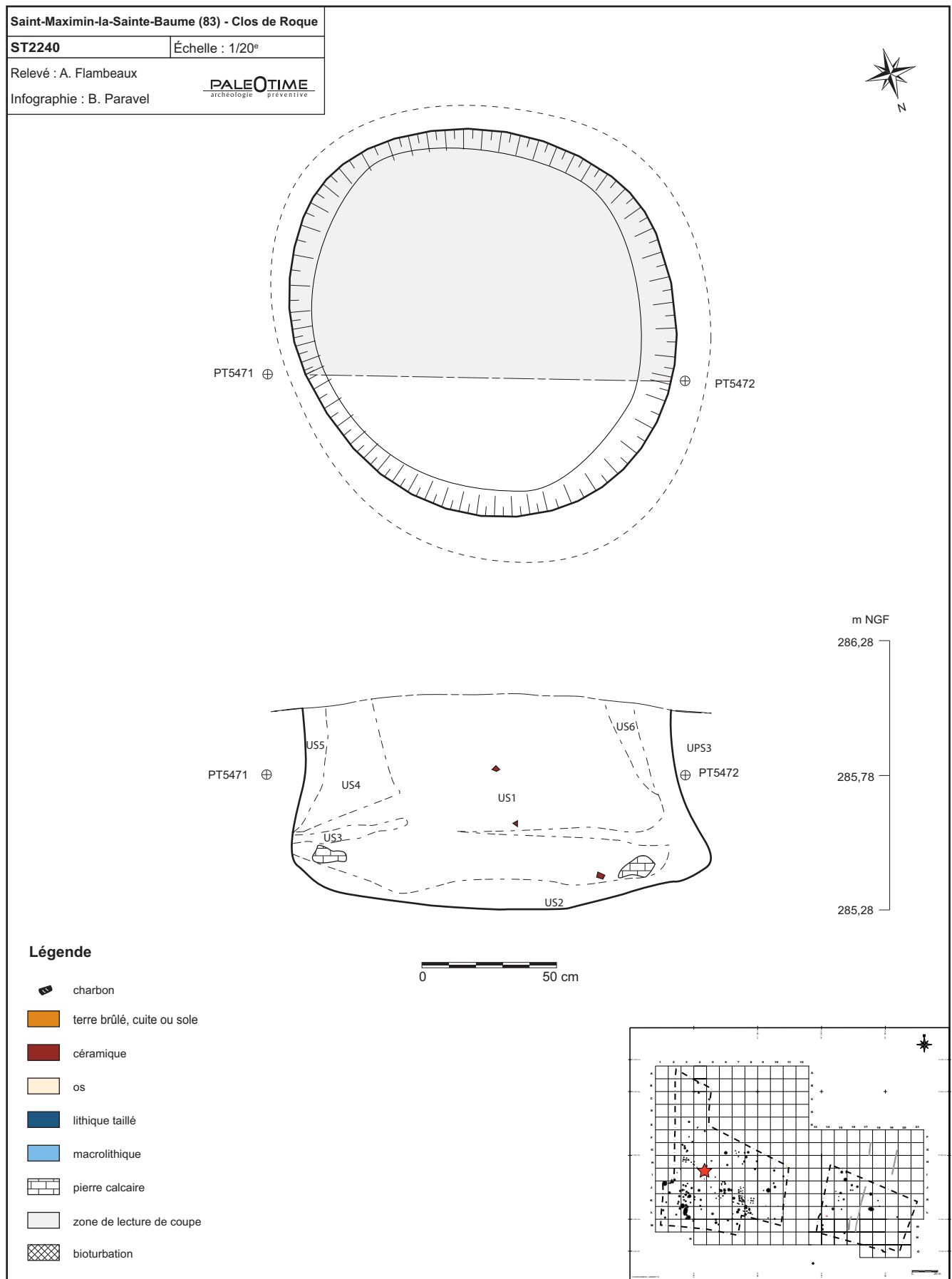


Figure 199 - Le Clos de Roque, Saint-Maximin-la-Sainte-Baume (83). Plan et coupe stratigraphique de la structure ST2240.

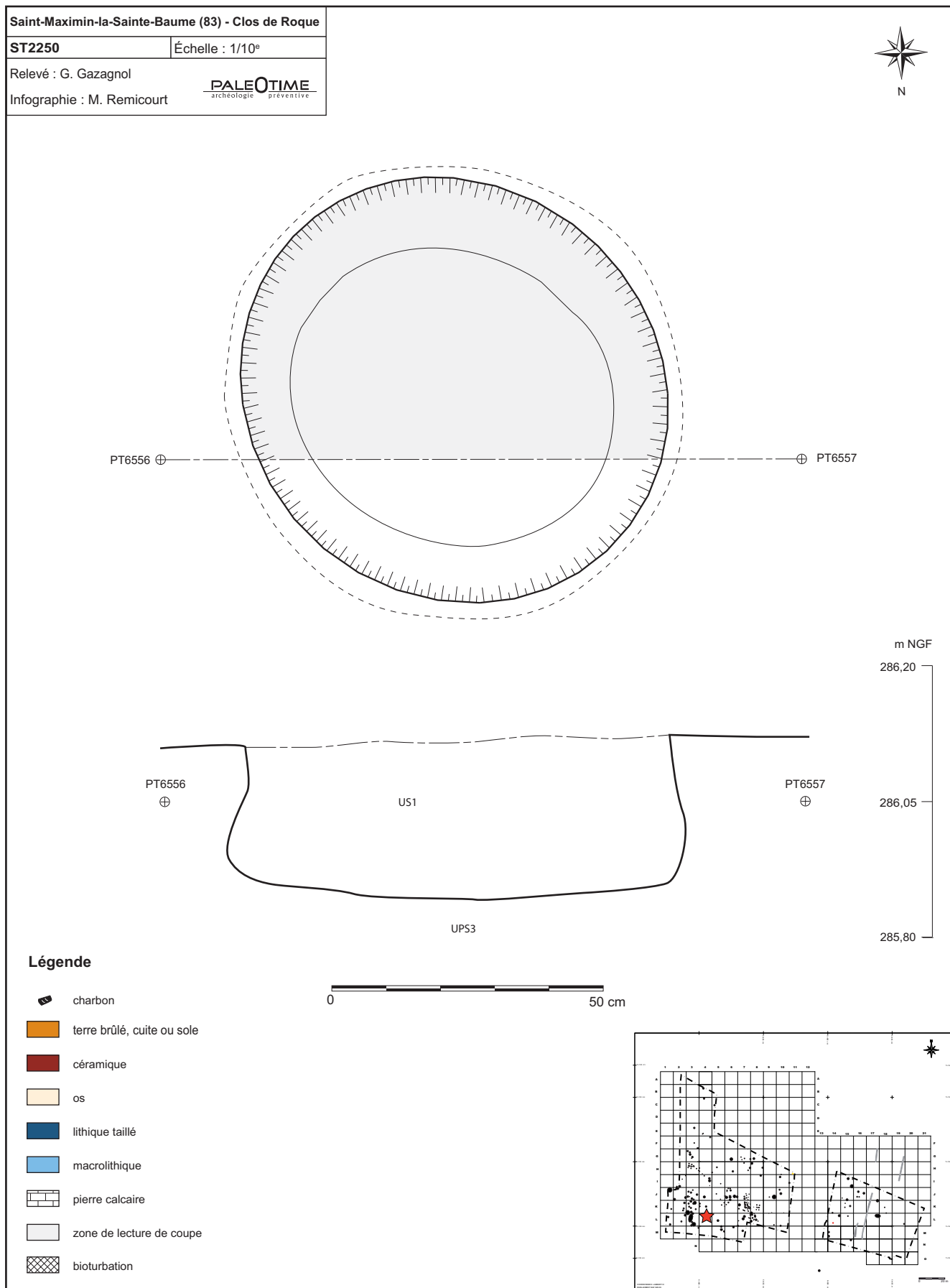


Figure 200 - Le Clos de Roque, Saint-Maximin-la-Sainte-Baume (83). Plan et coupe stratigraphique de la structure ST2250.

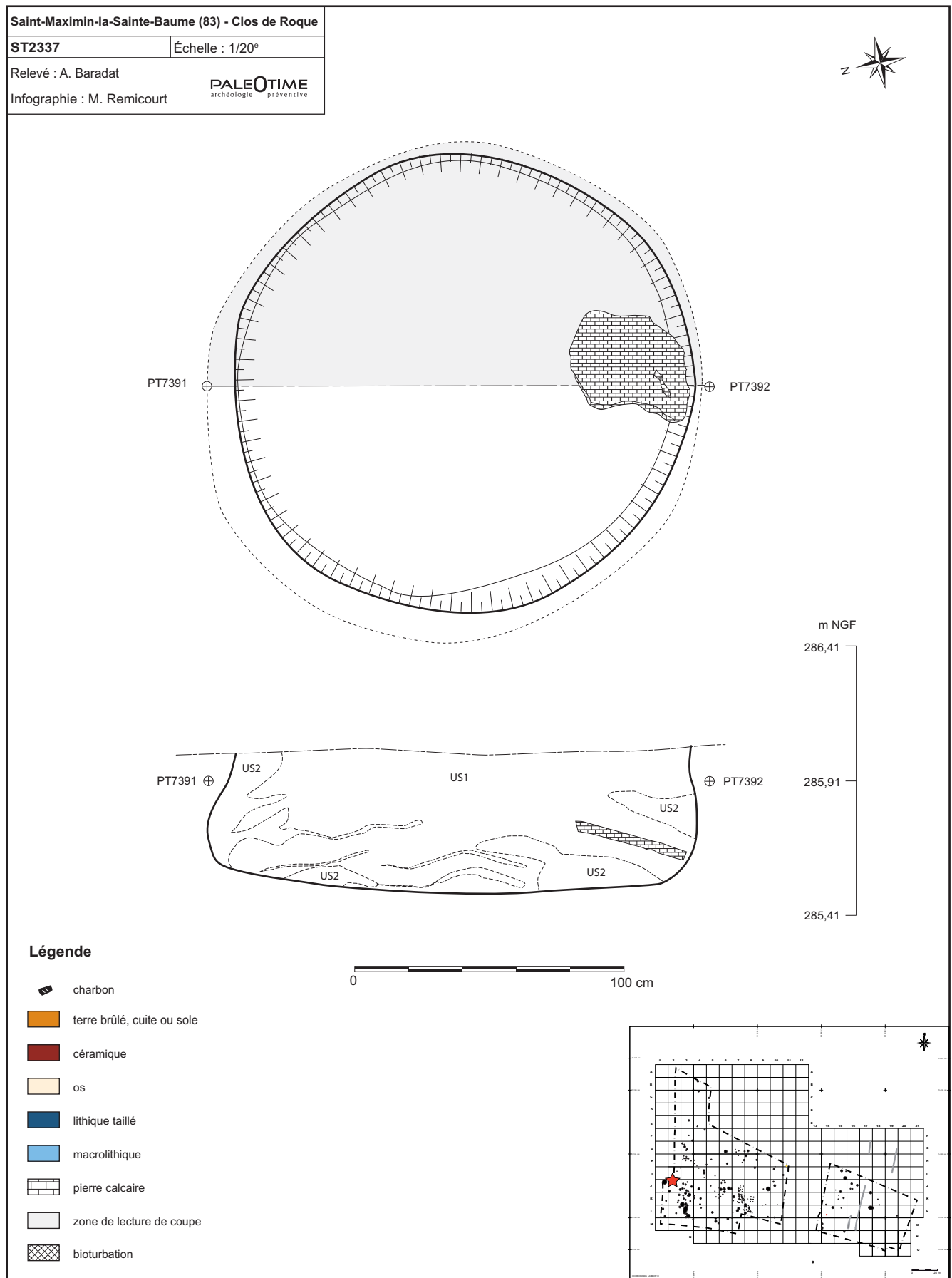


Figure 201 - Le Clos de Roque, Saint-Maximin-la-Sainte-Baume (83). Plan et coupe stratigraphique de la structure ST2337.



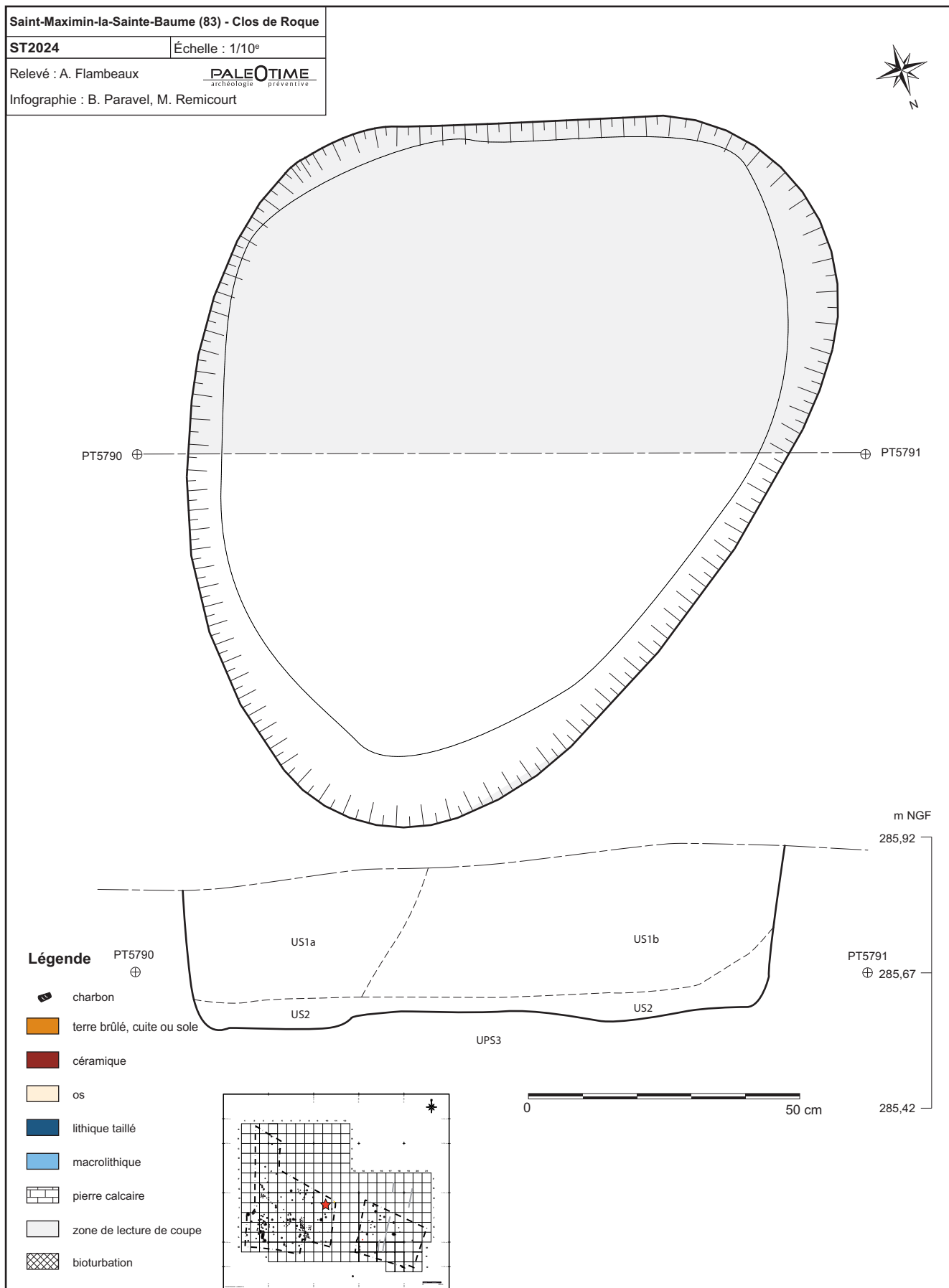


Figure 202 - Le Clos de Roque, Saint-Maximin-la-Sainte-Baume (83). Plan et coupe stratigraphique de la structure ST2024.

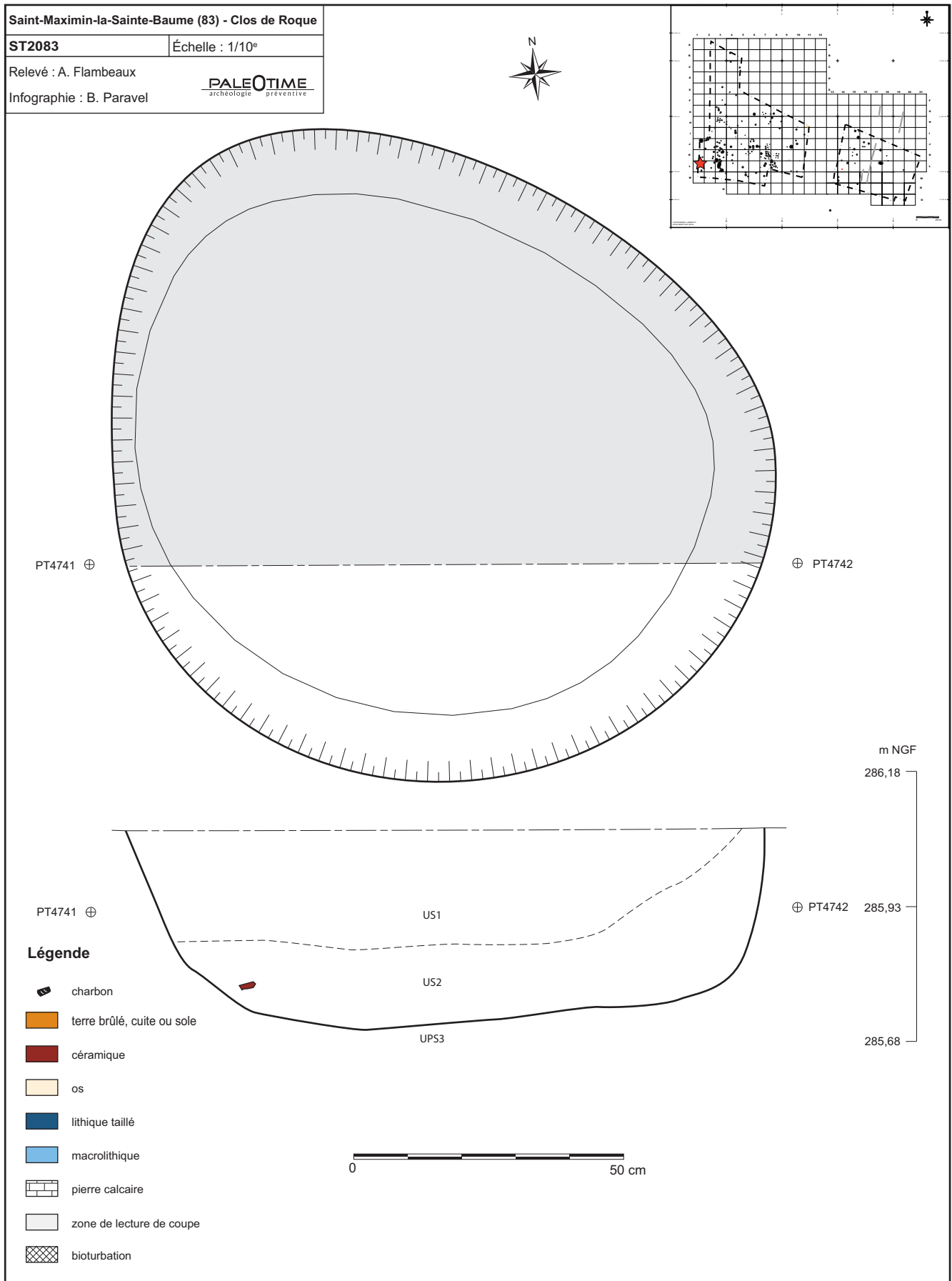


Figure 203 - Le Clos de Roque, Saint-Maximin-la-Sainte-Baume (83). Plan et coupe stratigraphique de la structure ST2083.

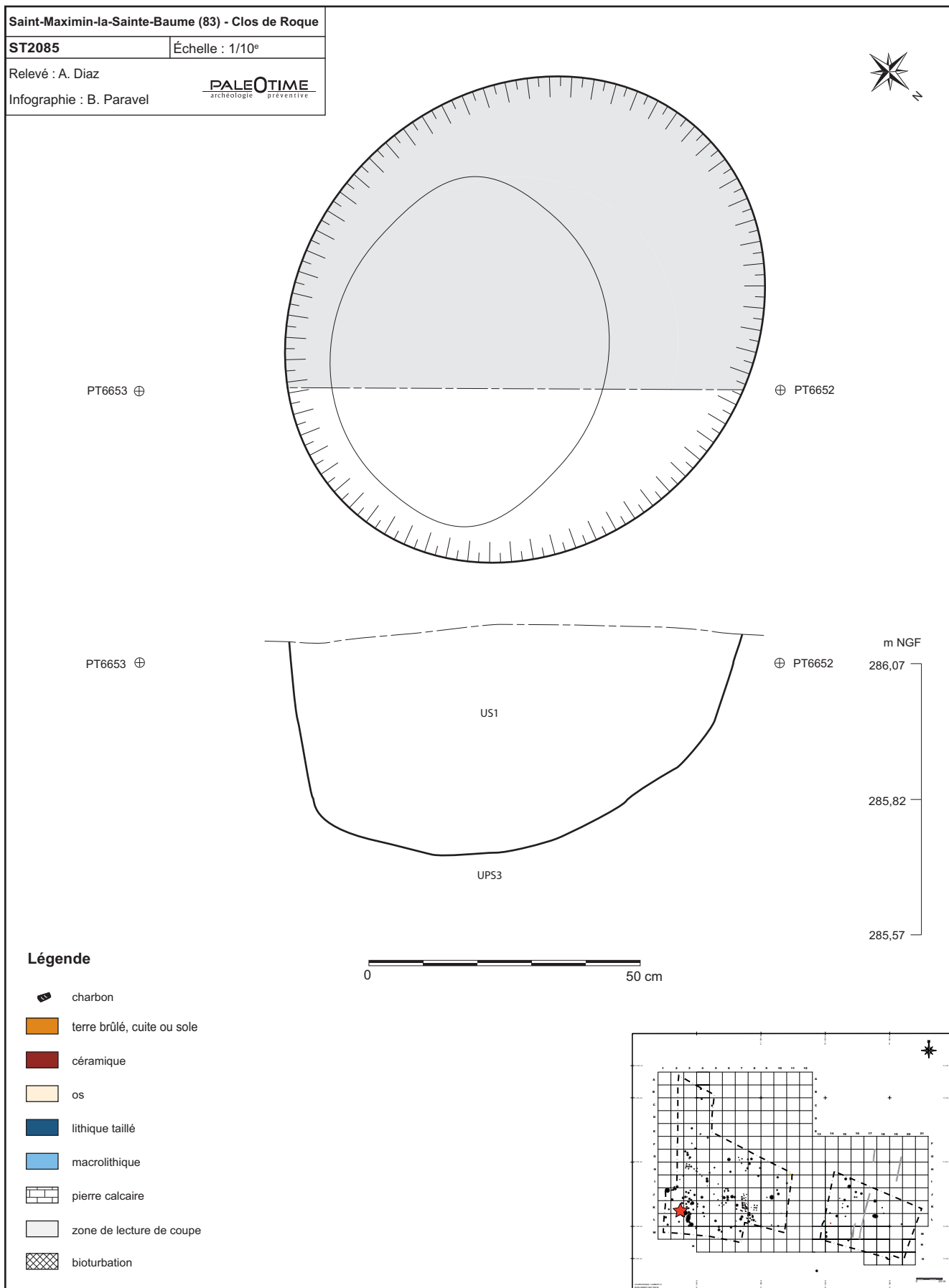


Figure 204 - Le Clos de Roque, Saint-Maximin-la-Sainte-Baume (83). Plan et coupe stratigraphique de la structure ST2085.

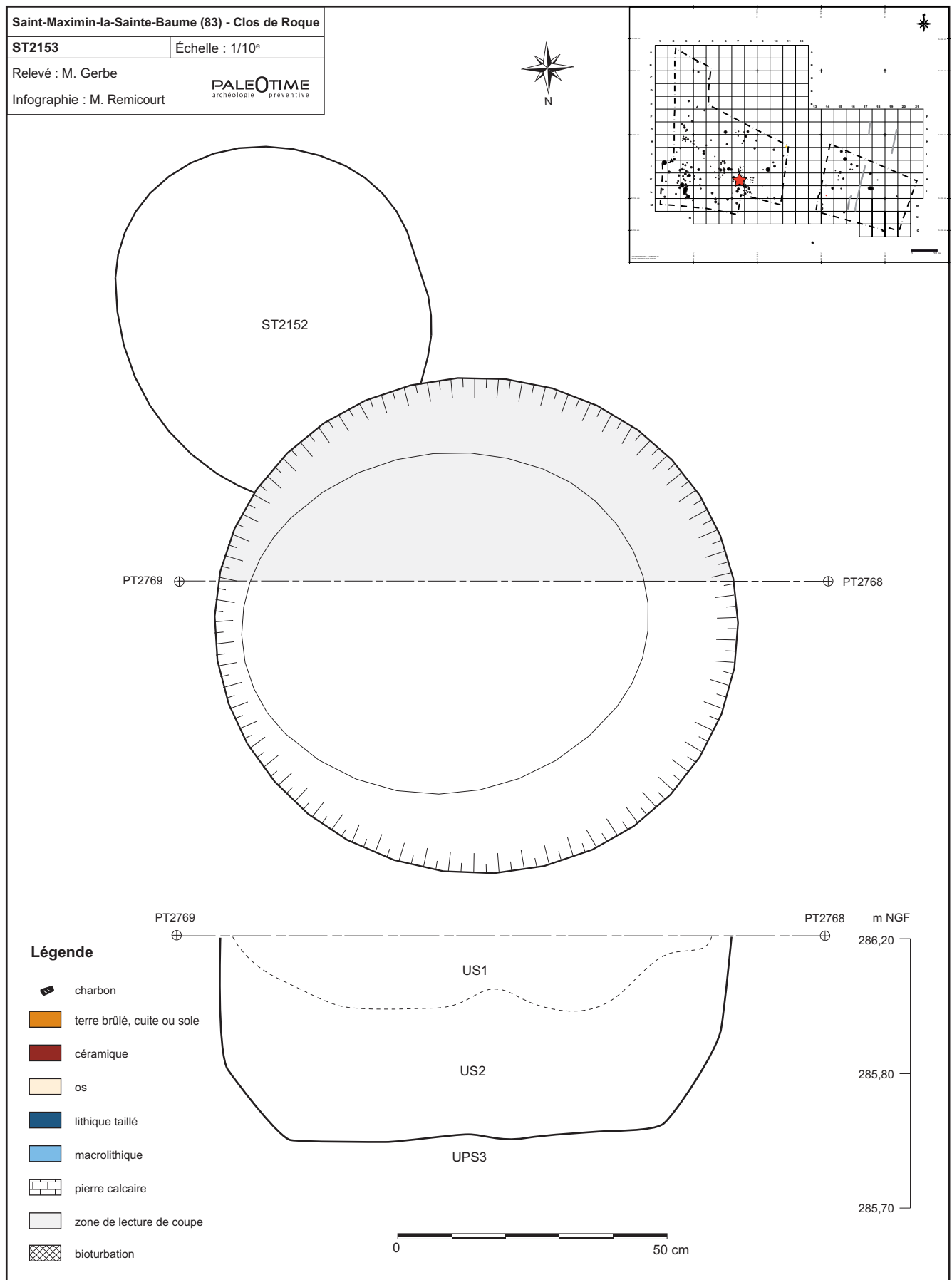


Figure 205 - Le Clos de Roque, Saint-Maximin-la-Sainte-Baume (83). Plan et coupe stratigraphique de la structure ST2153.

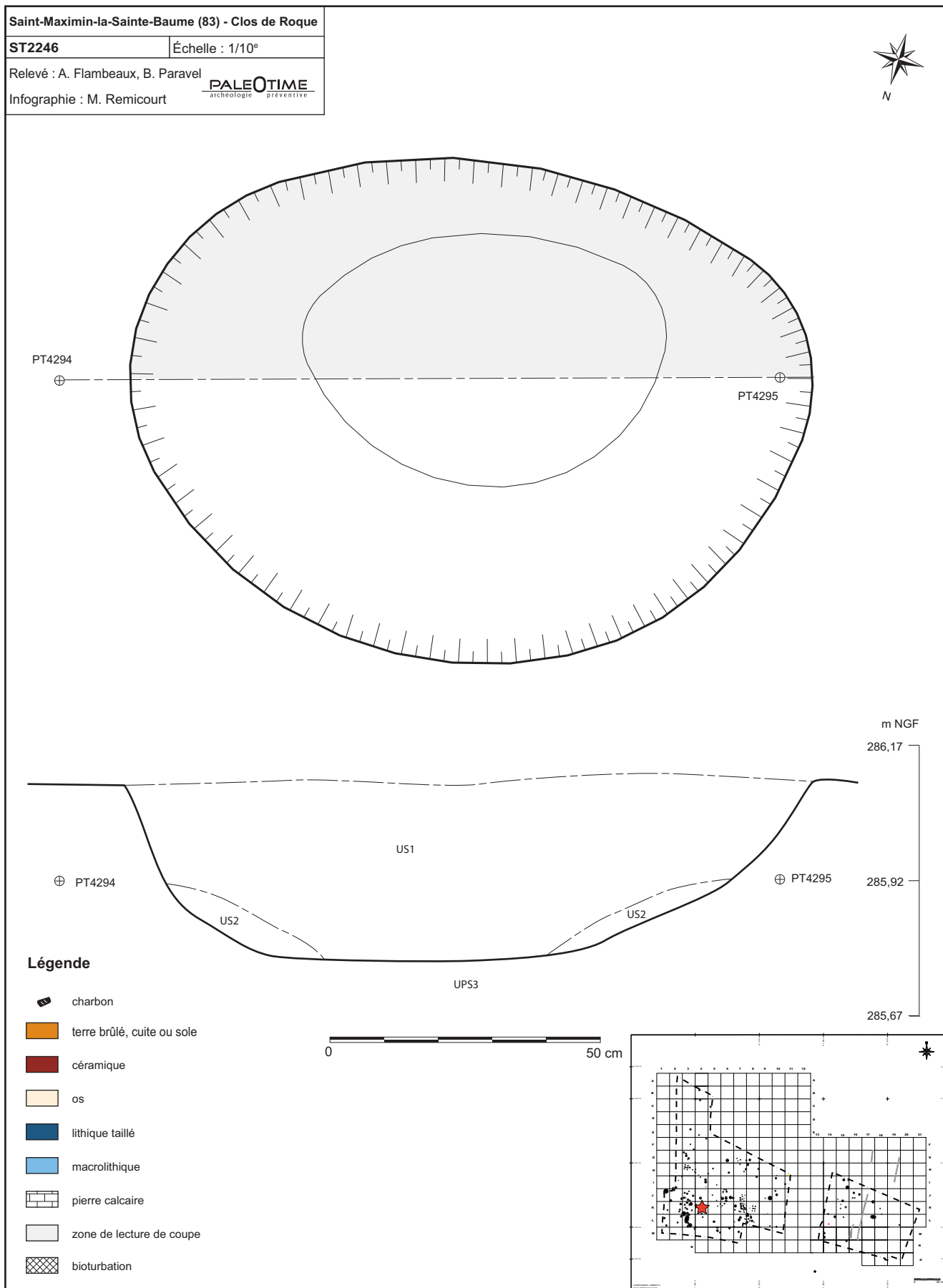


Figure 206 - Le Clos de Roque, Saint-Maximin-la-Sainte-Baume (83). Plan et coupe stratigraphique de la structure ST2246.

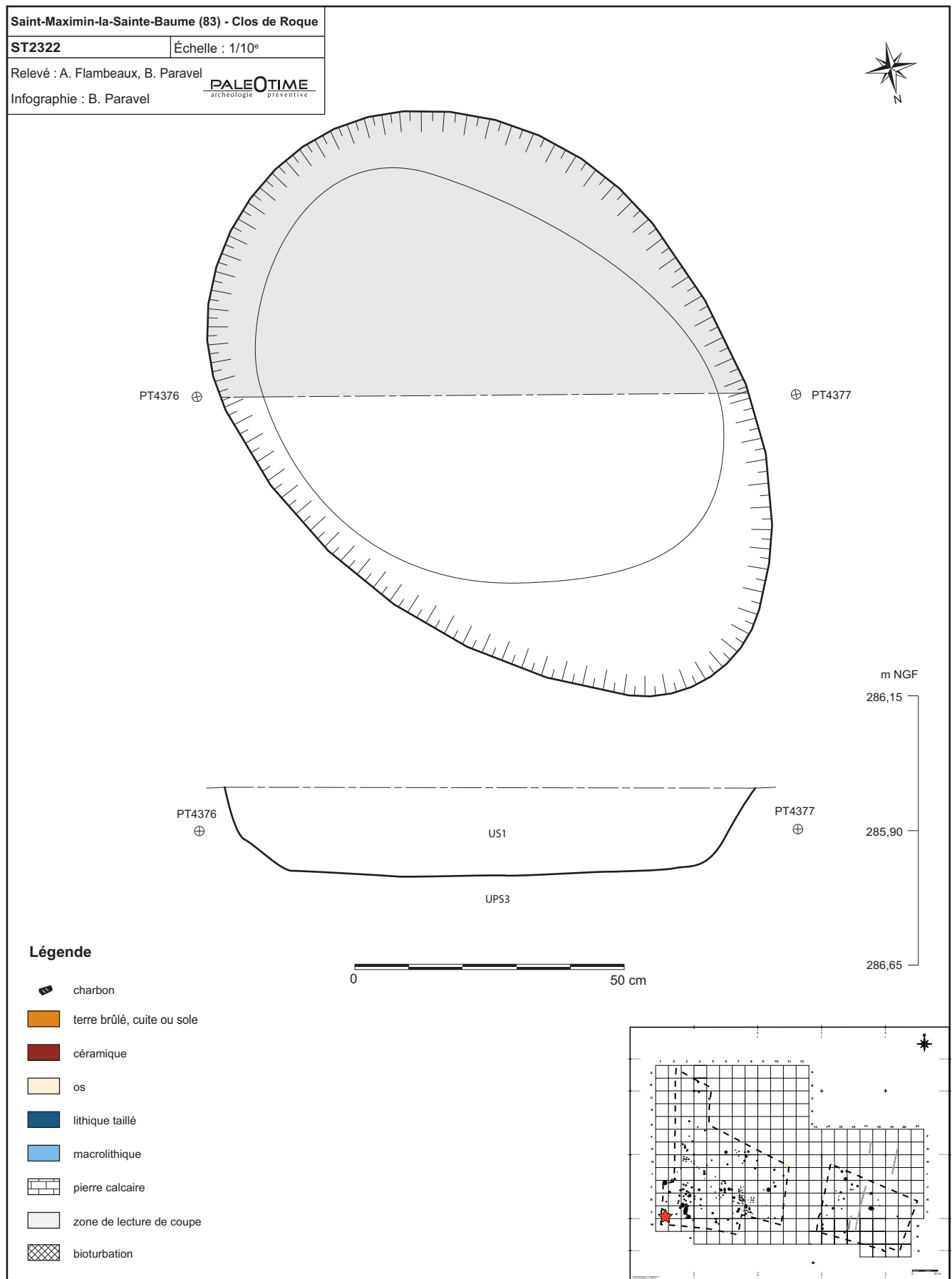


Figure 207 - Le Clos de Roque, Saint-Maximin-la-Sainte-Baume (83). Plan et coupe stratigraphique de la structure ST2322.

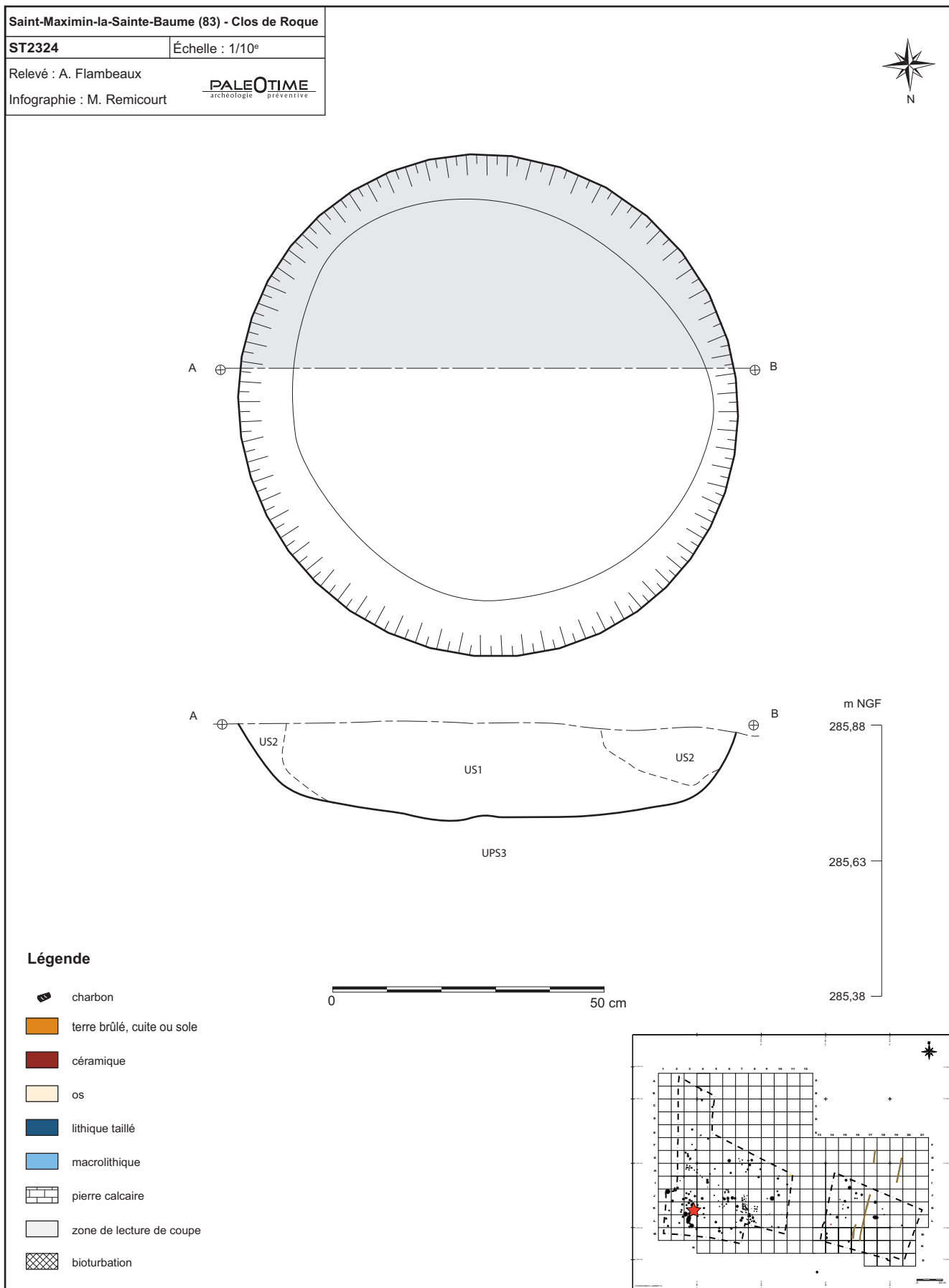


Figure 208 - Le Clos de Roque, Saint-Maximin-la-Sainte-Baume (83). Plan et coupe stratigraphique de la structure ST2324.

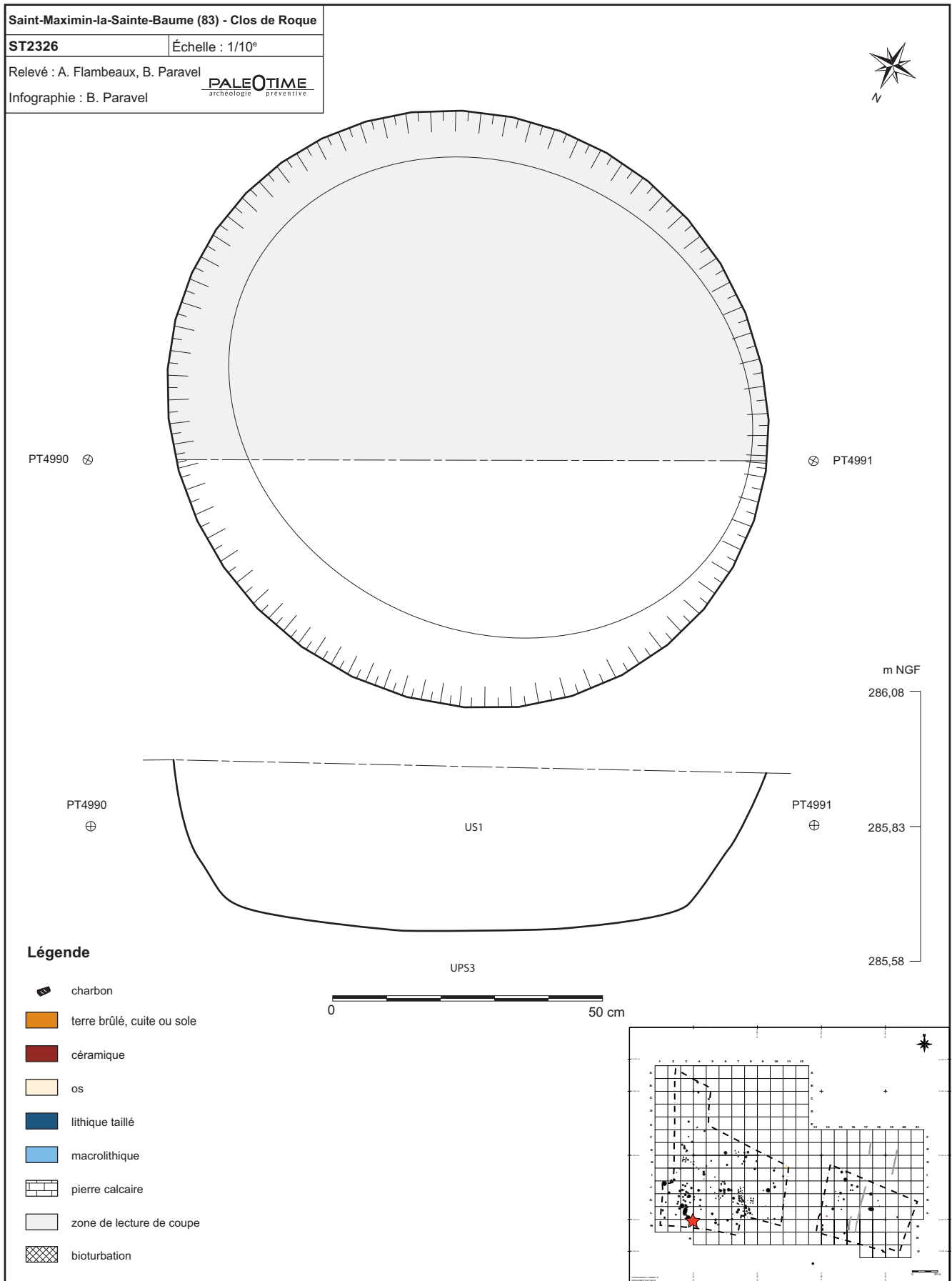


Figure 209 - Le Clos de Roque, Saint-Maximin-la-Sainte-Baume (83). Plan et coupe stratigraphique de la structure ST2326.



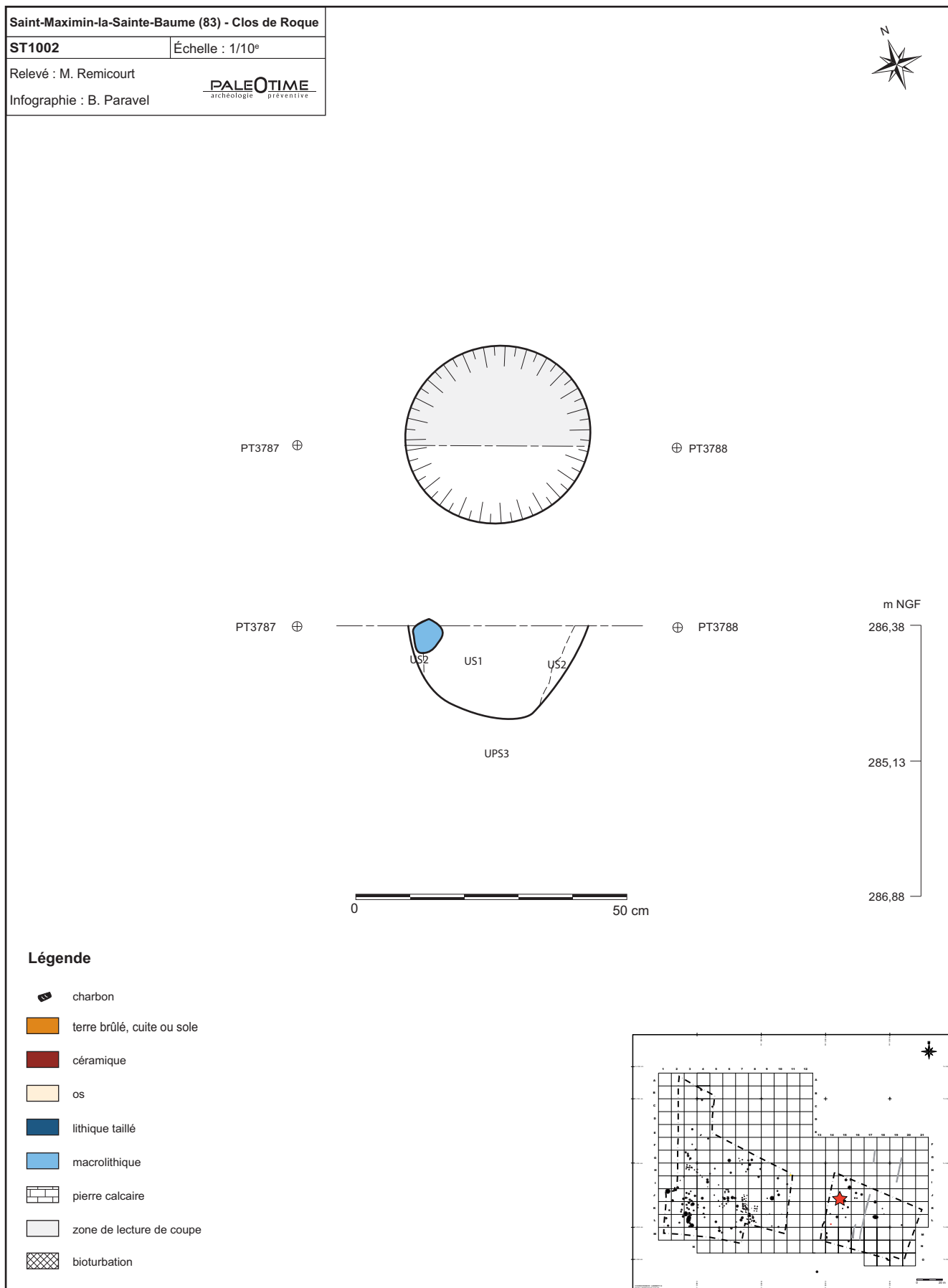


Figure 210 - Le Clos de Roque, Saint-Maximin-la-Sainte-Baume (83). Plan et coupe stratigraphique de la structure ST1002.

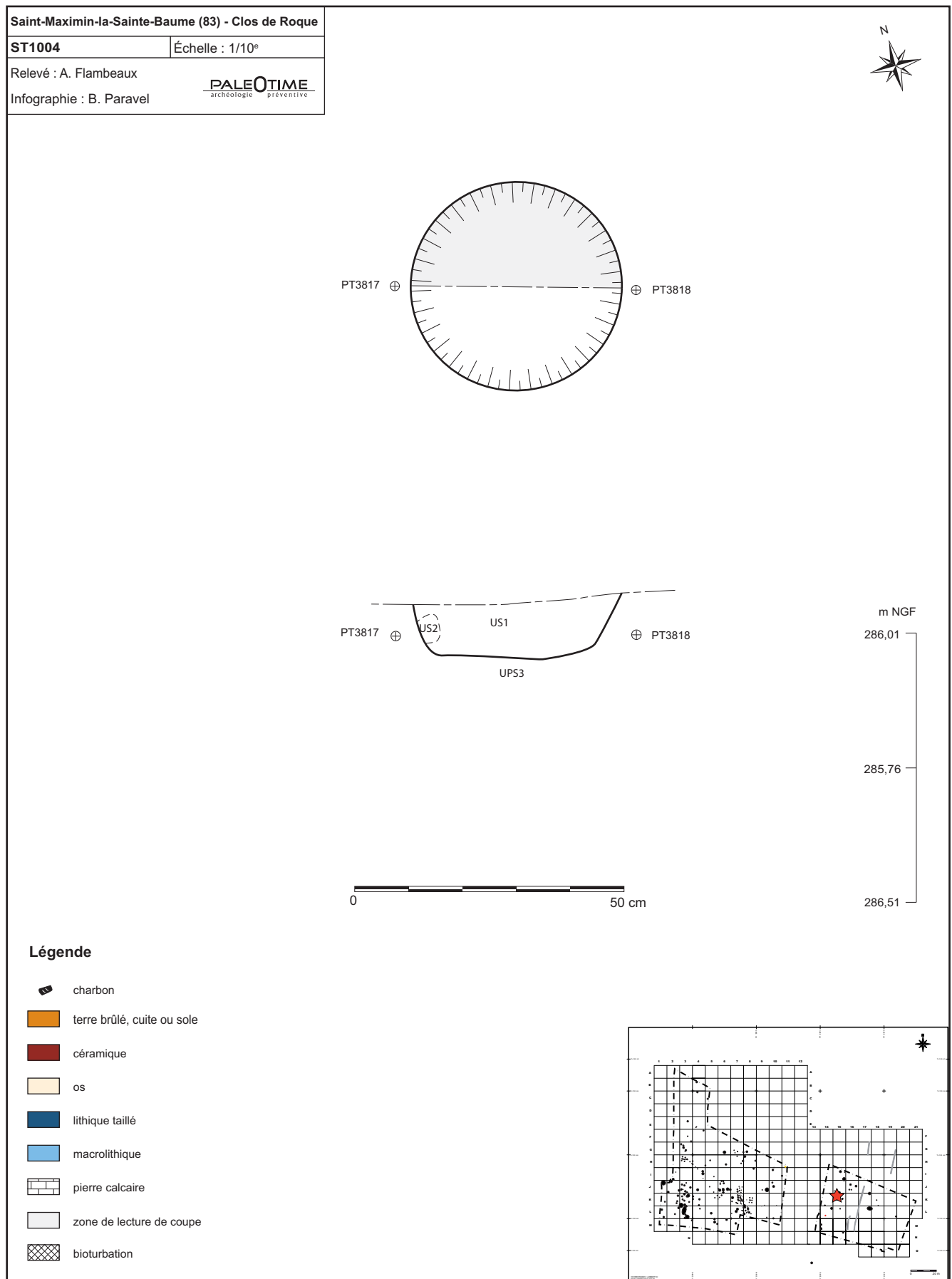


Figure 211 - Le Clos de Roque, Saint-Maximin-la-Sainte-Baume (83). Plan et coupe stratigraphique de la structure ST1004.

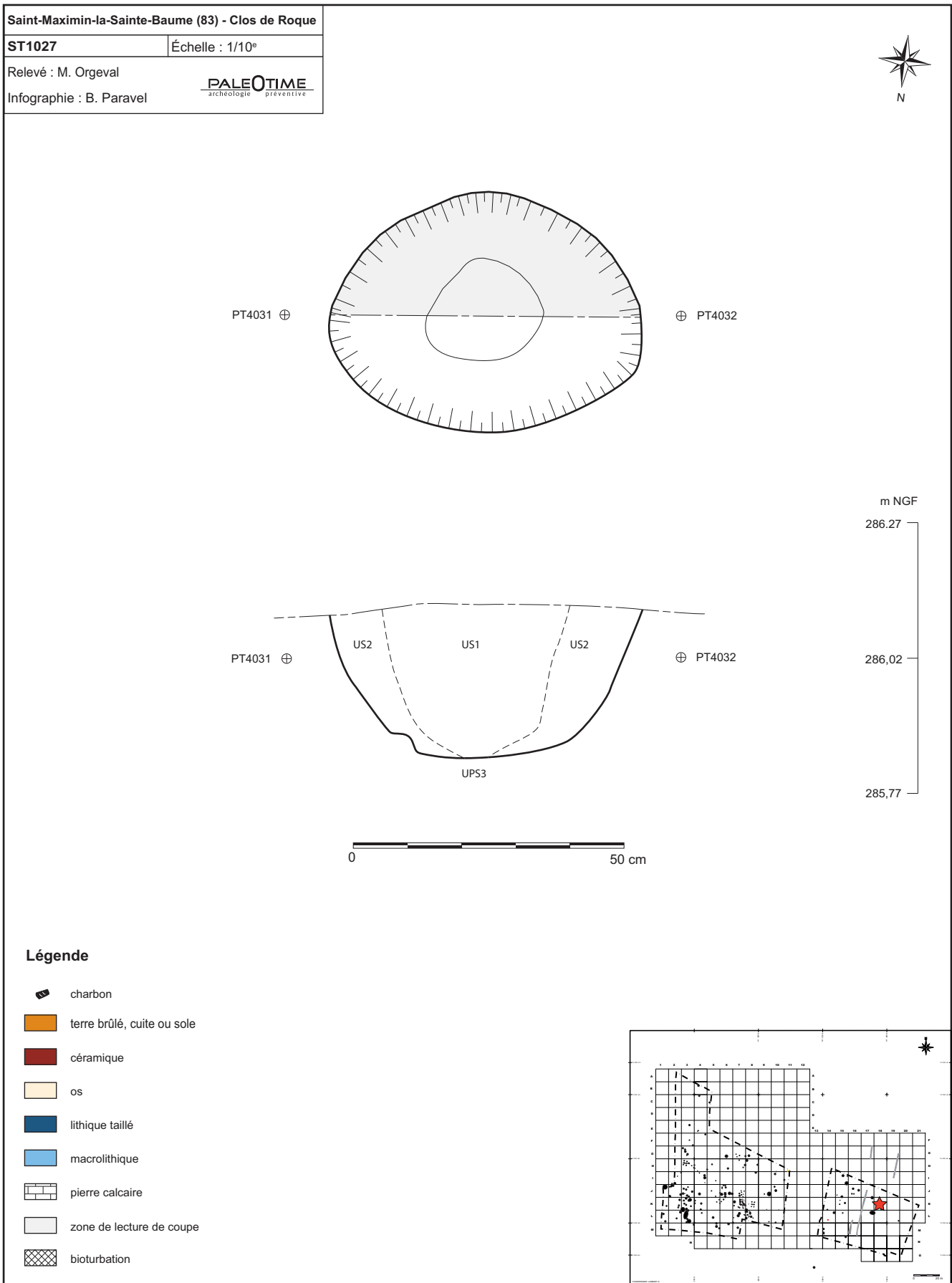


Figure 212 - Le Clos de Roque, Saint-Maximin-la-Sainte-Baume (83). Plan et coupe stratigraphique de la structure ST1027.

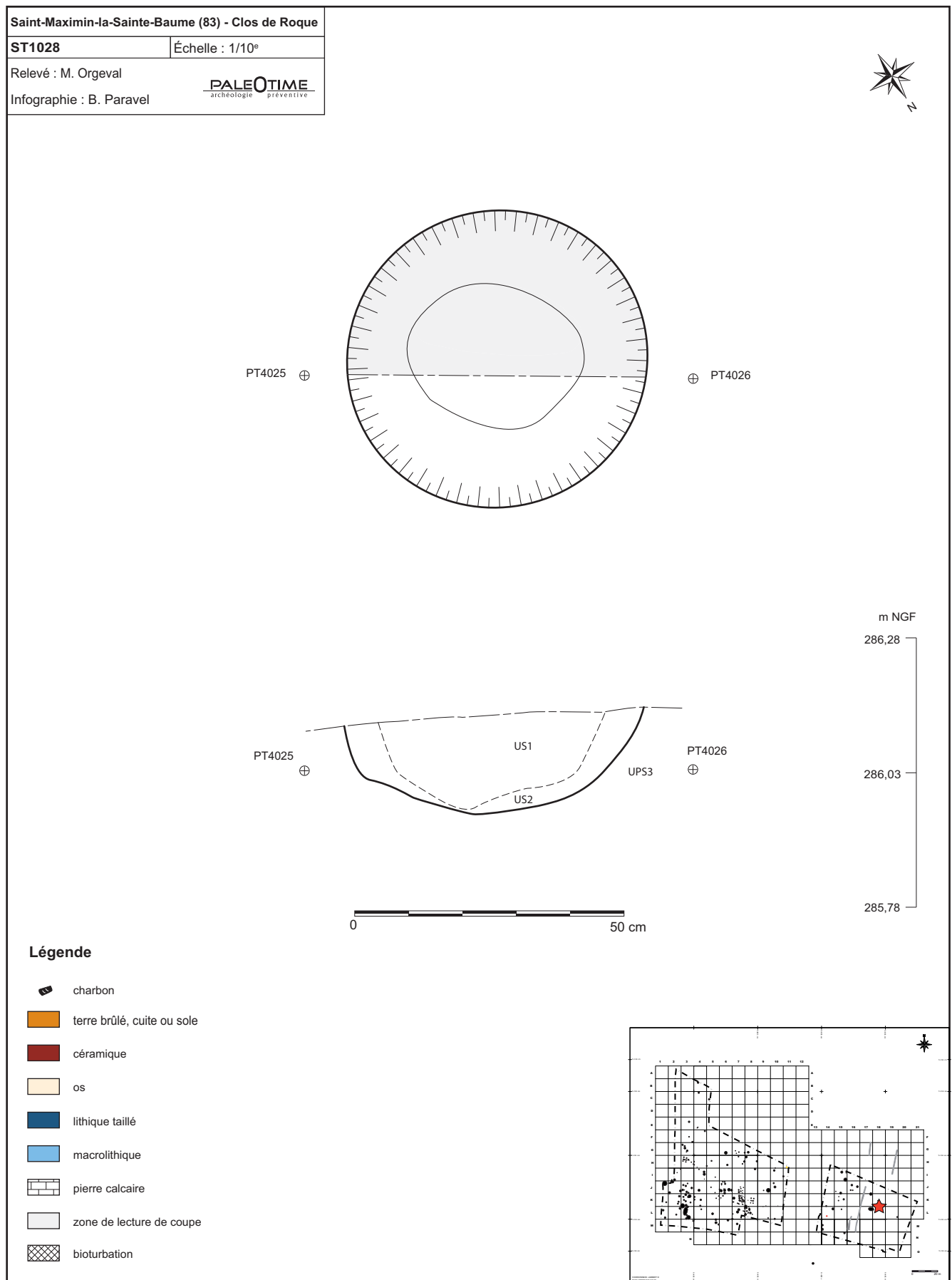


Figure 213 - Le Clos de Roque, Saint-Maximin-la-Sainte-Baume (83). Plan et coupe stratigraphique de la structure ST1028.

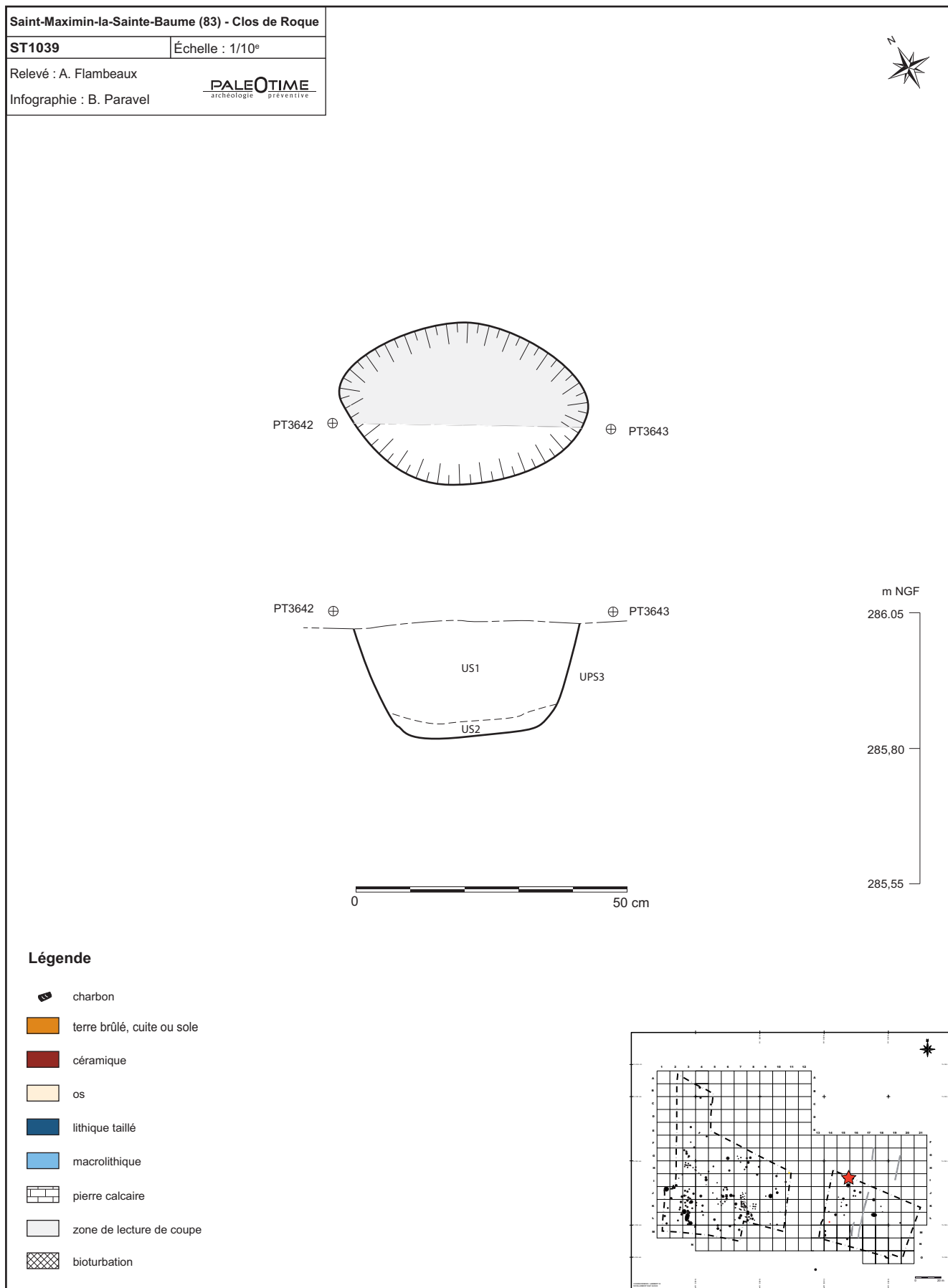


Figure 214 - Le Clos de Roque, Saint-Maximin-la-Sainte-Baume (83). Plan et coupe stratigraphique de la structure ST1039.

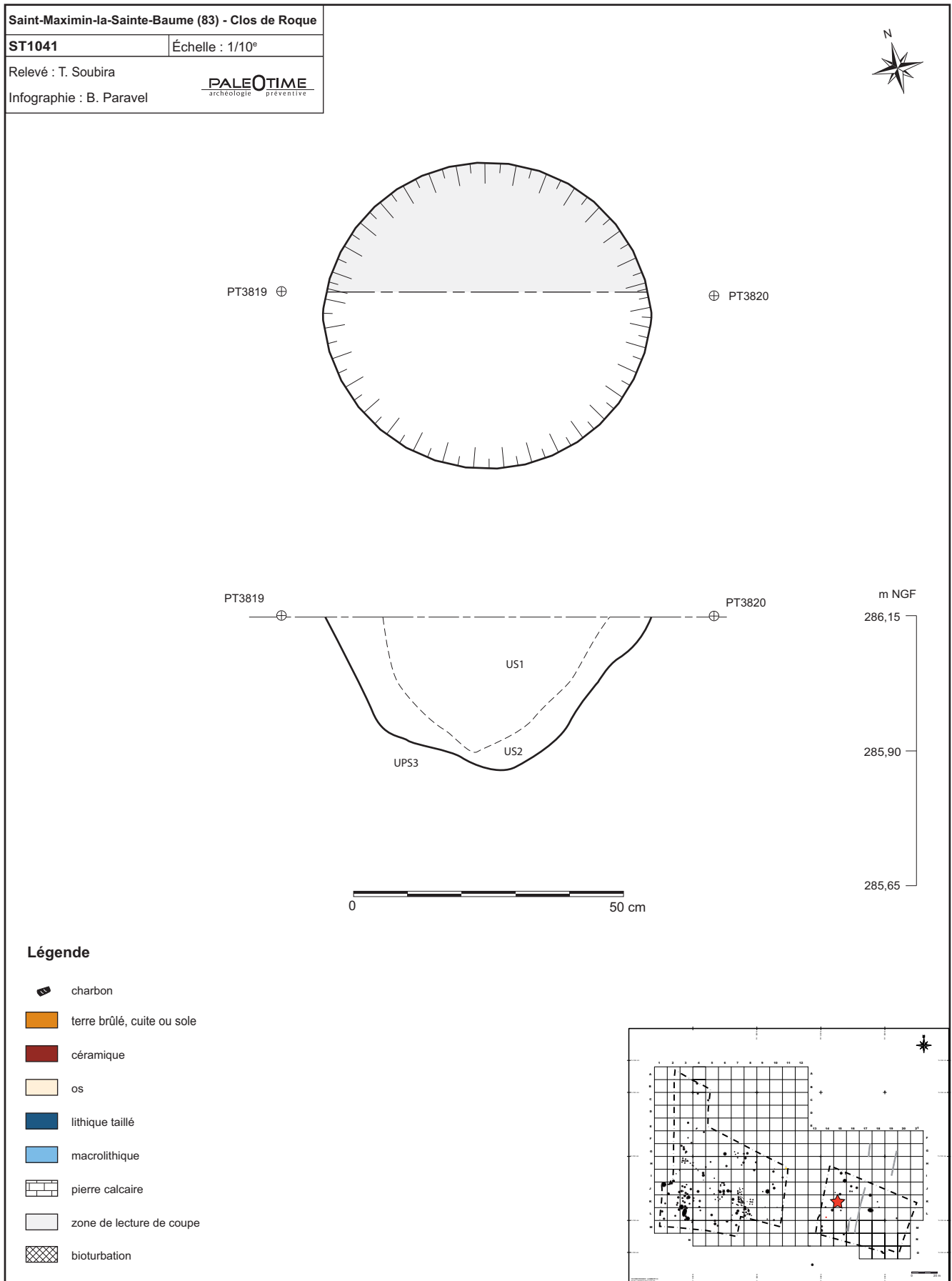


Figure 215 - Le Clos de Roque, Saint-Maximin-la-Sainte-Baume (83). Plan et coupe stratigraphique de la structure ST1041.

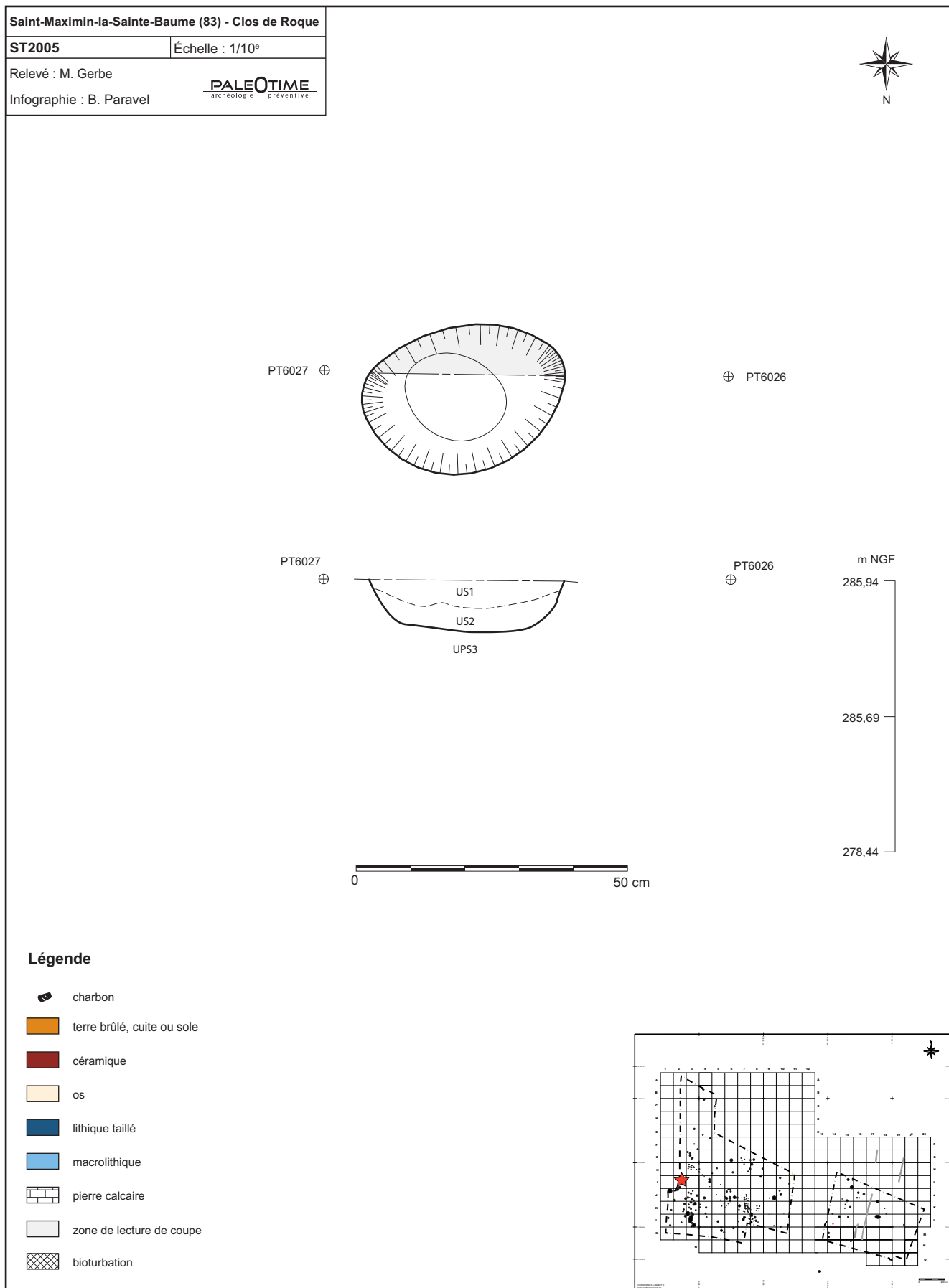


Figure 216 - Le Clos de Roque, Saint-Maximin-la-Sainte-Baume (83). Plan et coupe stratigraphique de la structure ST2005.

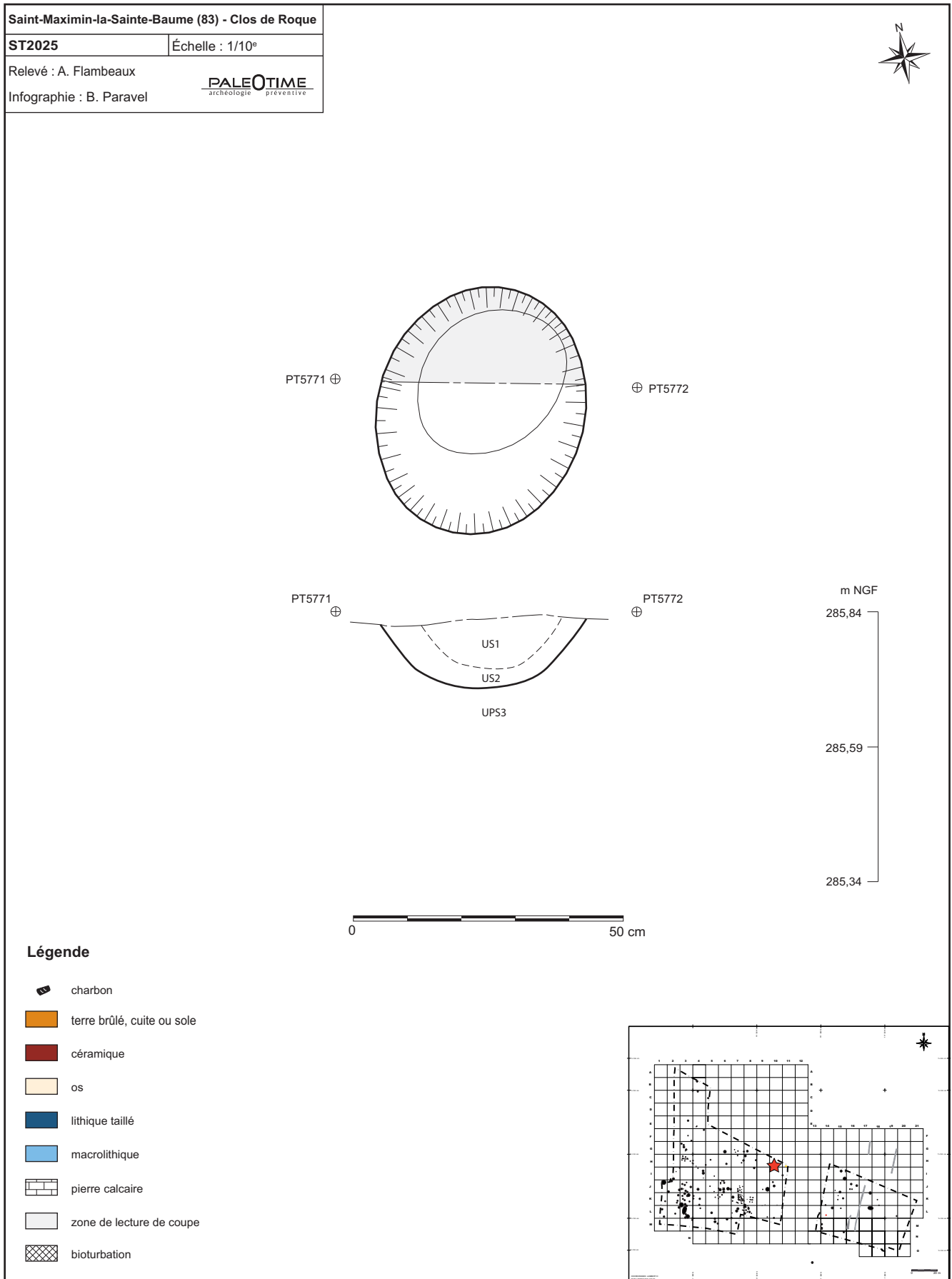


Figure 217 - Le Clos de Roque, Saint-Maximin-la-Sainte-Baume (83). Plan et coupe stratigraphique de la structure ST2025.



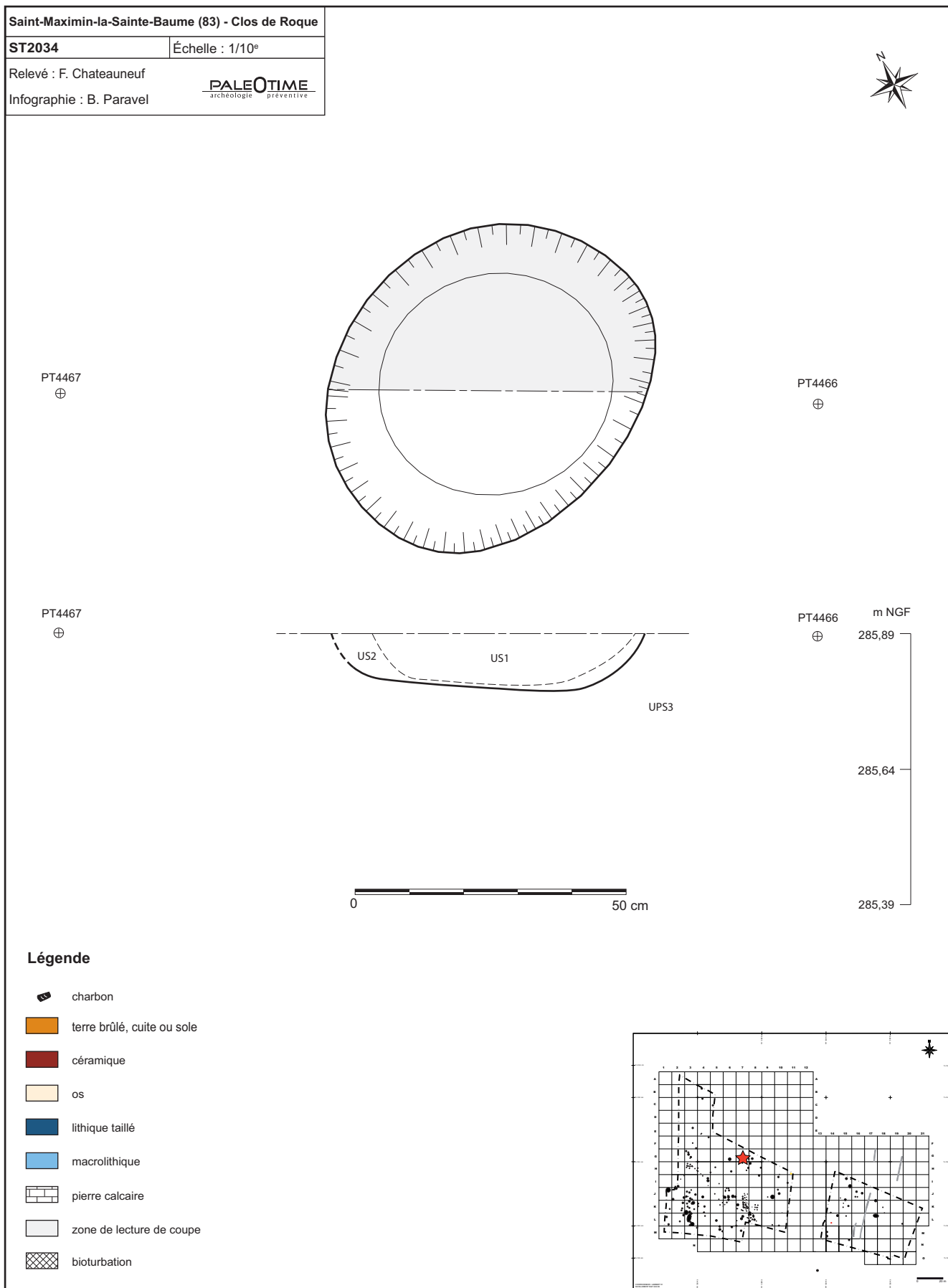


Figure 218 - Le Clos de Roque, Saint-Maximin-la-Sainte-Baume (83). Plan et coupe stratigraphique de la structure ST2034.

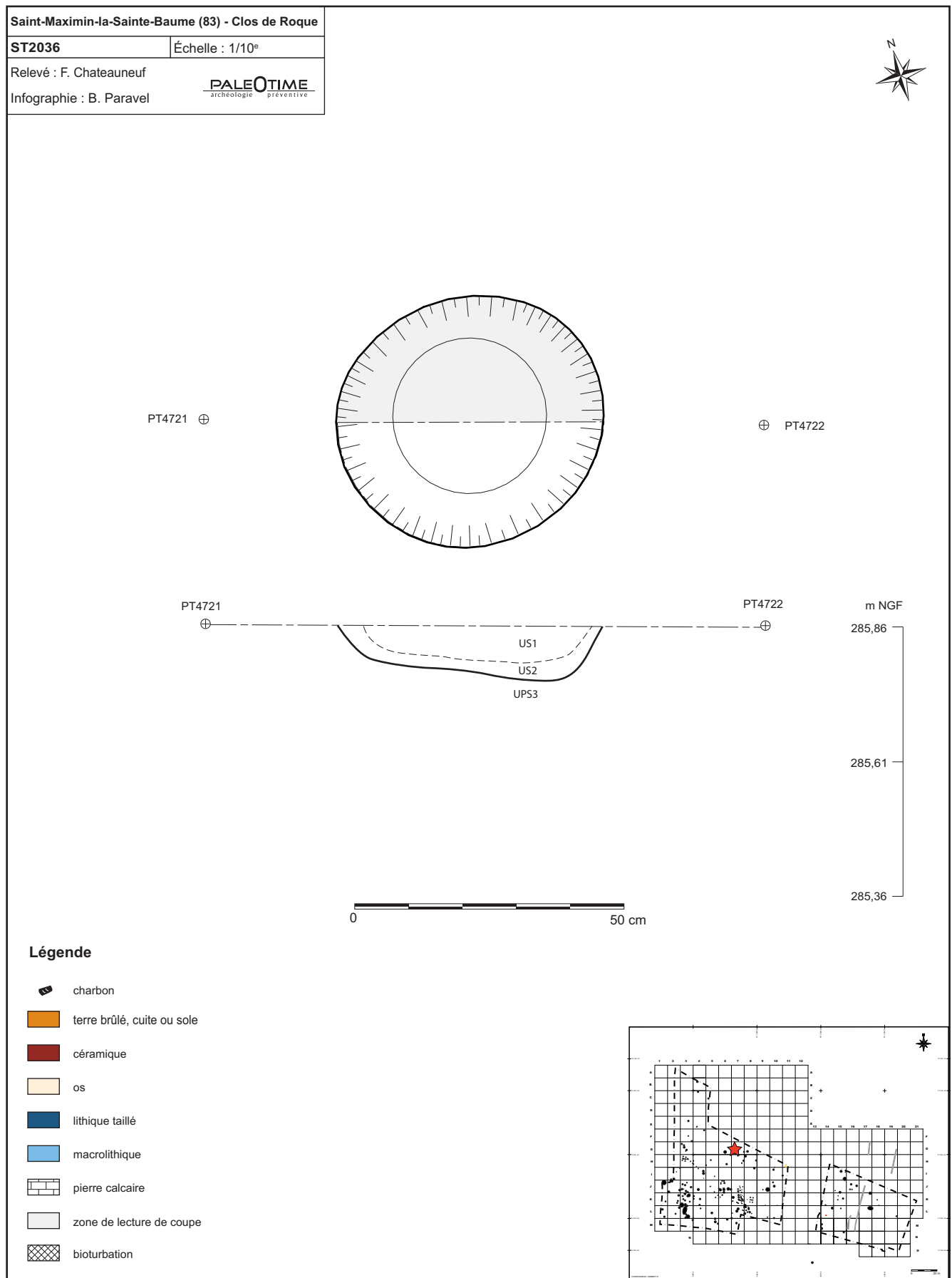


Figure 219 - Le Clos de Roque, Saint-Maximin-la-Sainte-Baume (83). Plan et coupe stratigraphique de la structure ST2036.

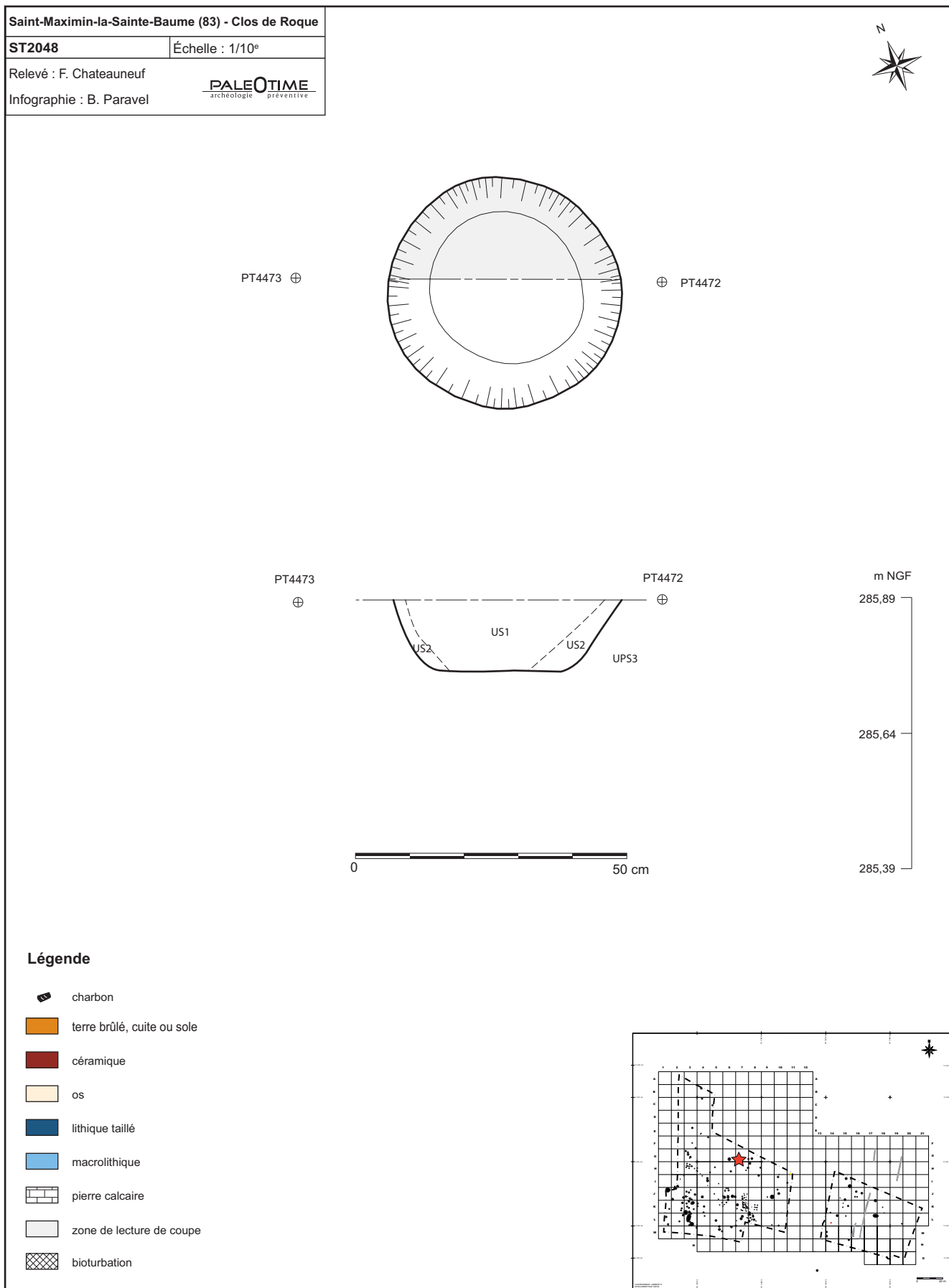


Figure 220 - Le Clos de Roque, Saint-Maximin-la-Sainte-Baume (83). Plan et coupe stratigraphique de la structure ST2048.

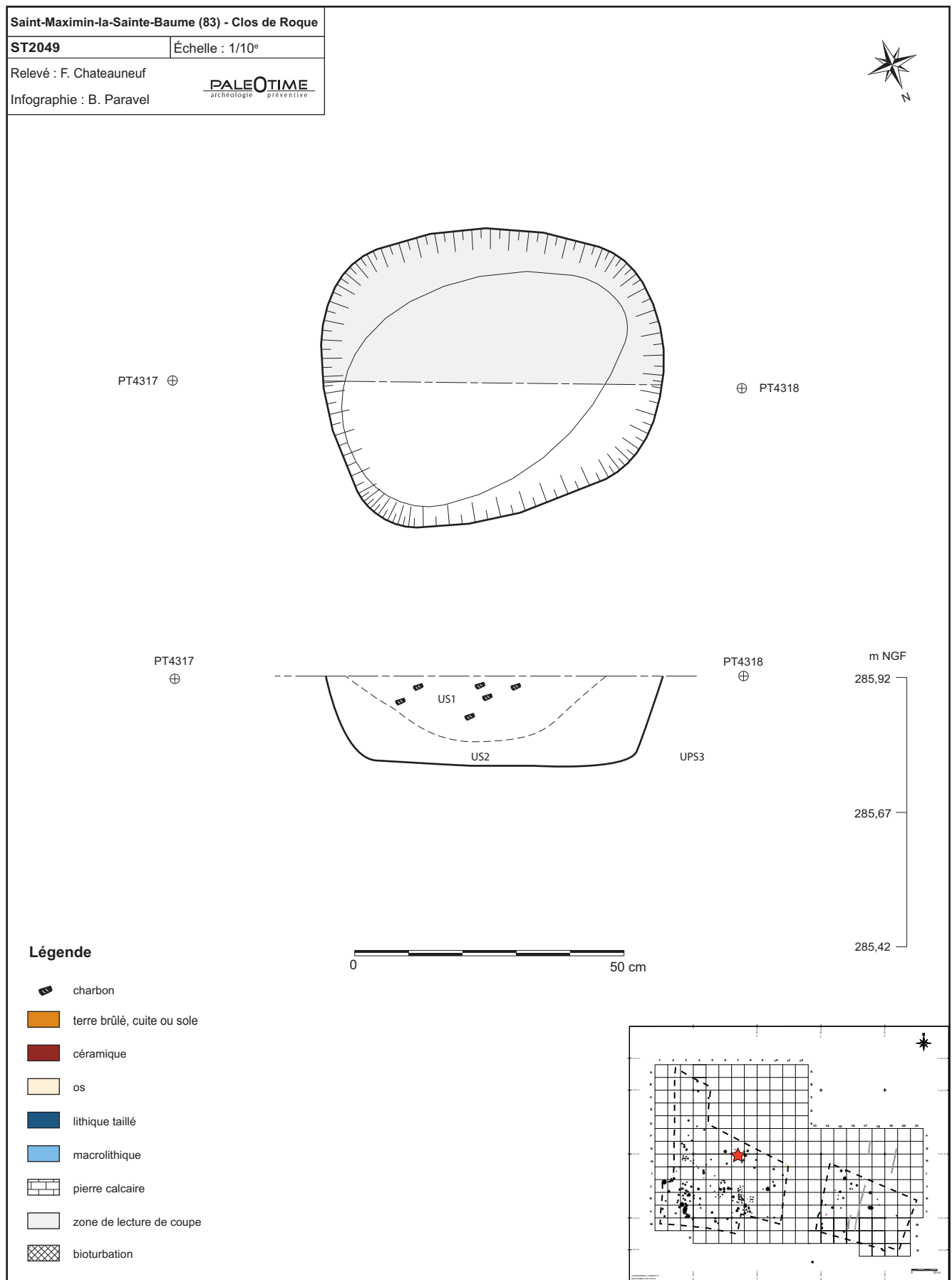


Figure 221 - Le Clos de Roque, Saint-Maximin-la-Sainte-Baume (83). Plan et coupe stratigraphique de la structure ST2049.

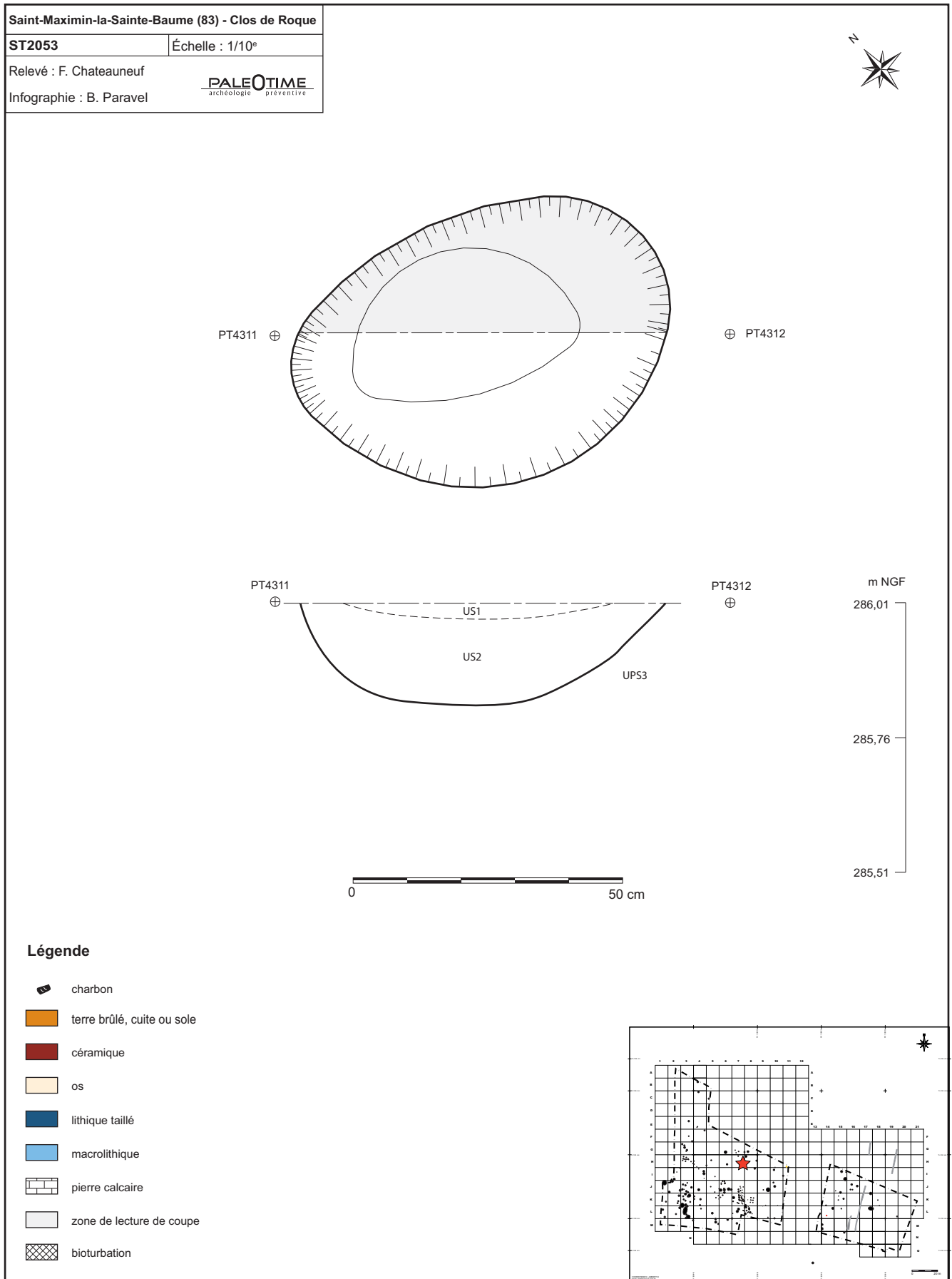


Figure 222 - Le Clos de Roque, Saint-Maximin-la-Sainte-Baume (83). Plan et coupe stratigraphique de la structure ST2053.

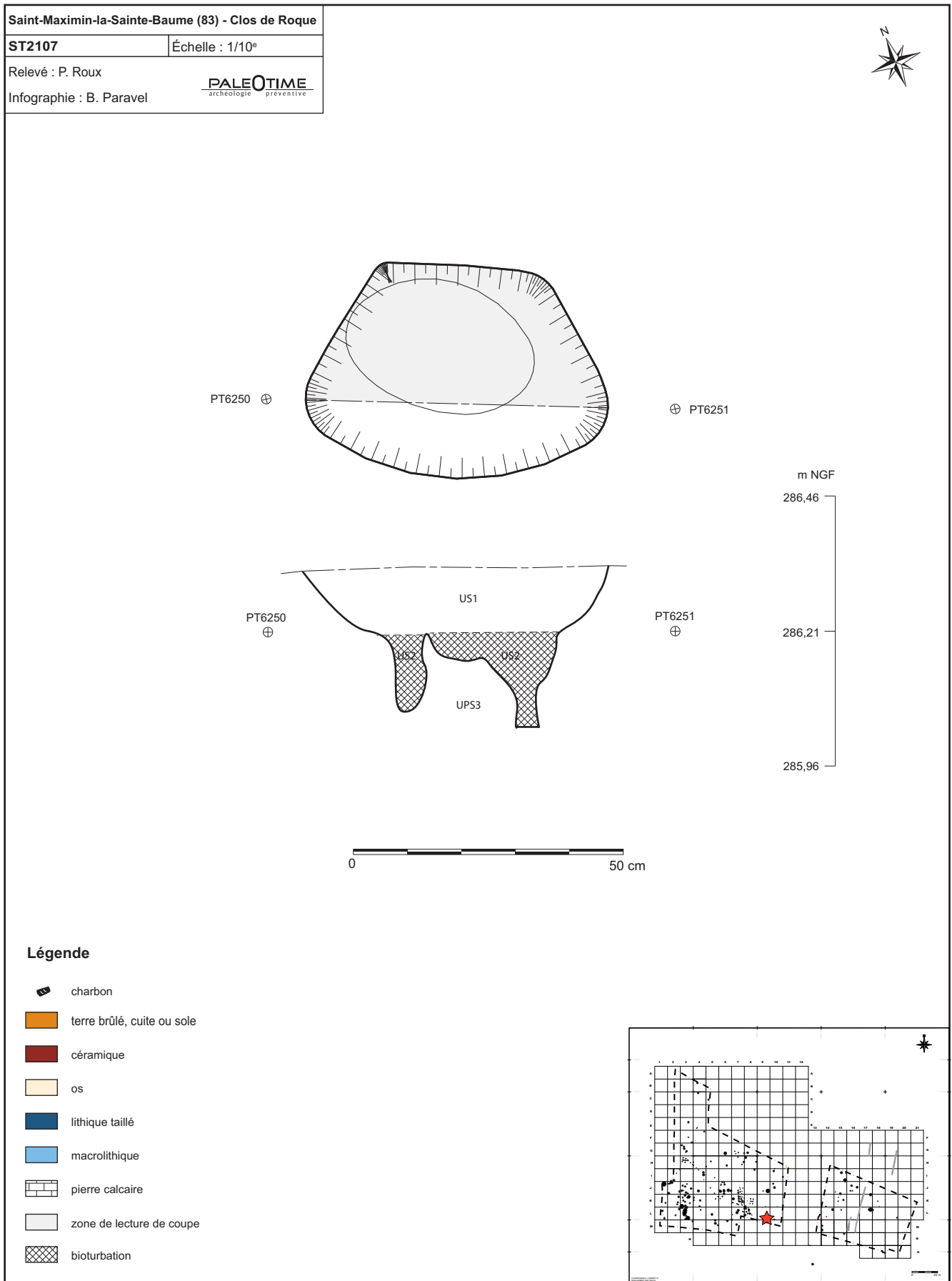


Figure 223 - Le Clos de Roque, Saint-Maximin-la-Sainte-Baume (83). Plan et coupe stratigraphique de la structure ST2107.

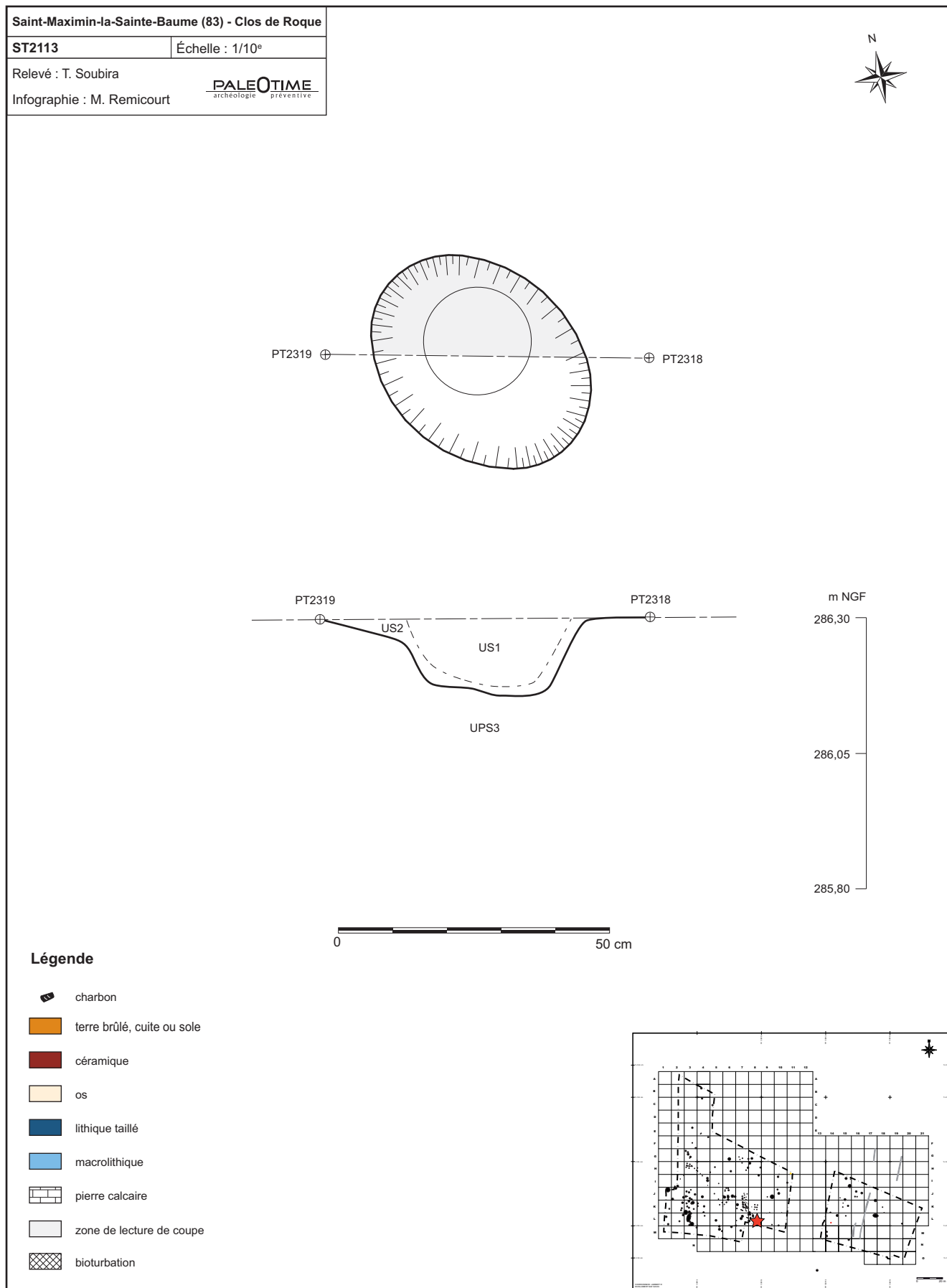


Figure 224 - Le Clos de Roque, Saint-Maximin-la-Sainte-Baume (83). Plan et coupe stratigraphique de la structure ST2113.

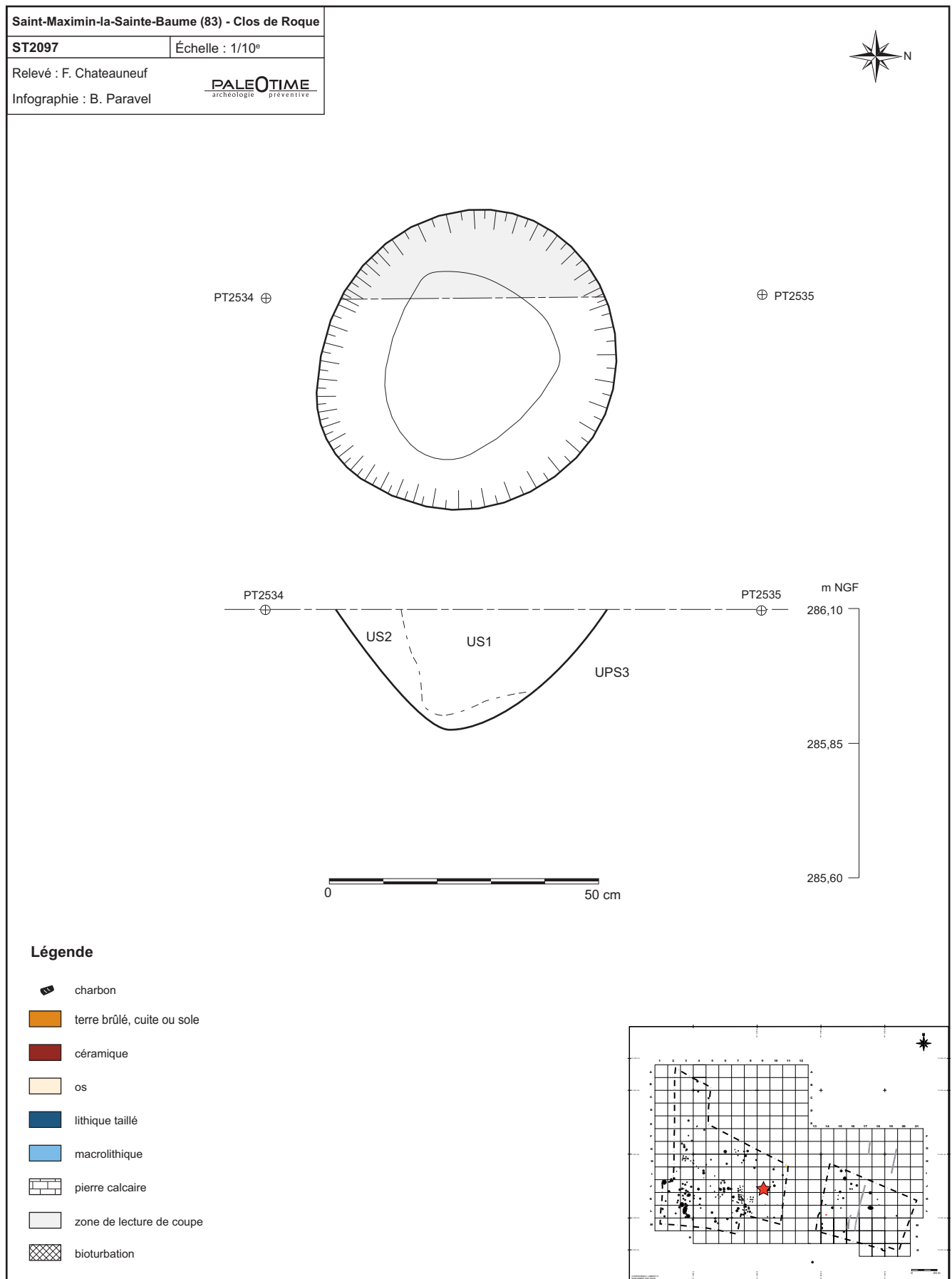


Figure 225 - Le Clos de Roque, Saint-Maximin-la-Sainte-Baume (83). Plan et coupe stratigraphique de la structure ST2097.



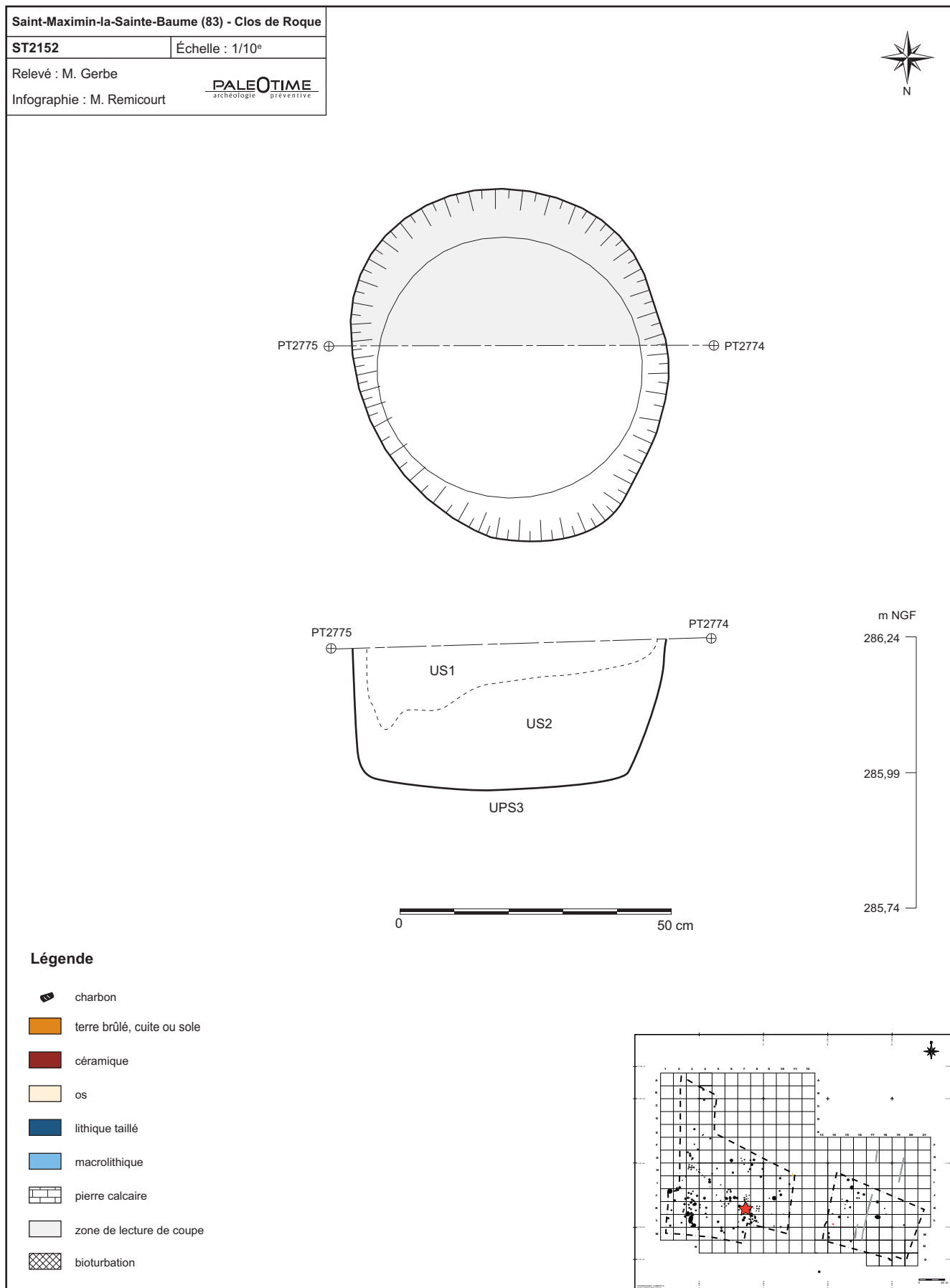


Figure 226 - Le Clos de Roque, Saint-Maximin-la-Sainte-Baume (83). Plan et coupe stratigraphique de la structure ST2152.

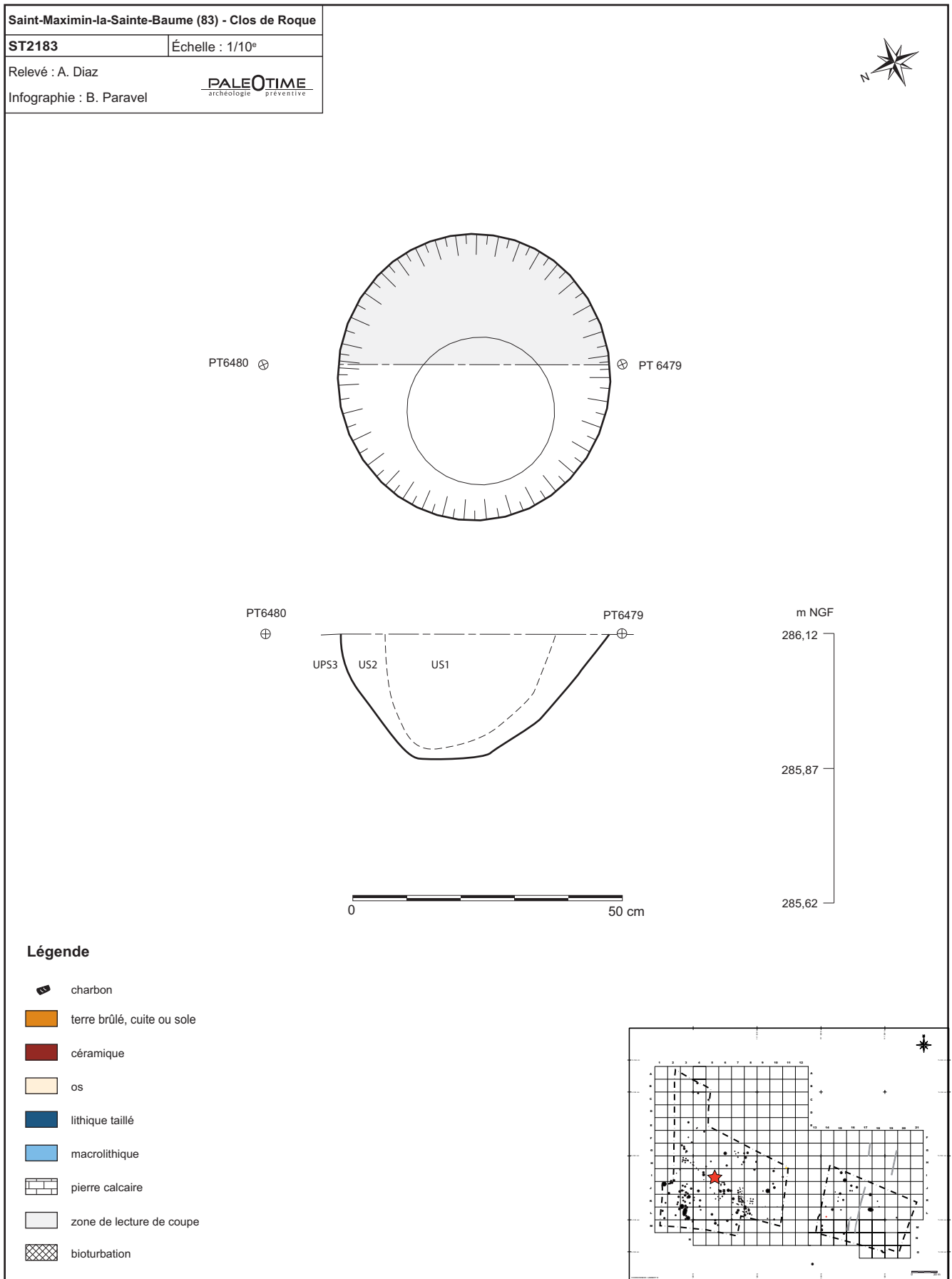


Figure 227 - Le Clos de Roque, Saint-Maximin-la-Sainte-Baume (83). Plan et coupe stratigraphique de la structure ST2183.

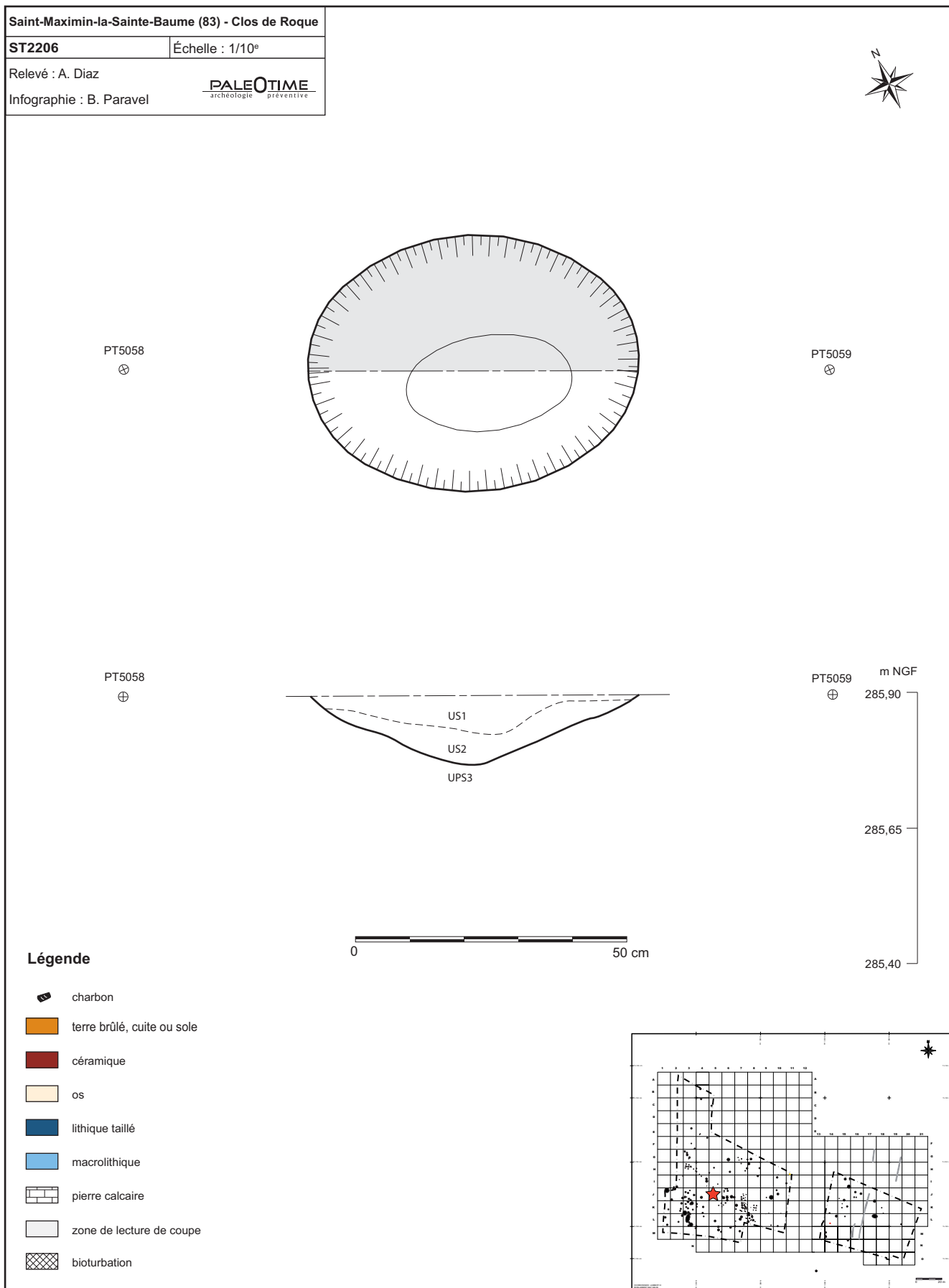


Figure 228 - Le Clos de Roque, Saint-Maximin-la-Sainte-Baume (83). Plan et coupe stratigraphique de la structure ST2206.

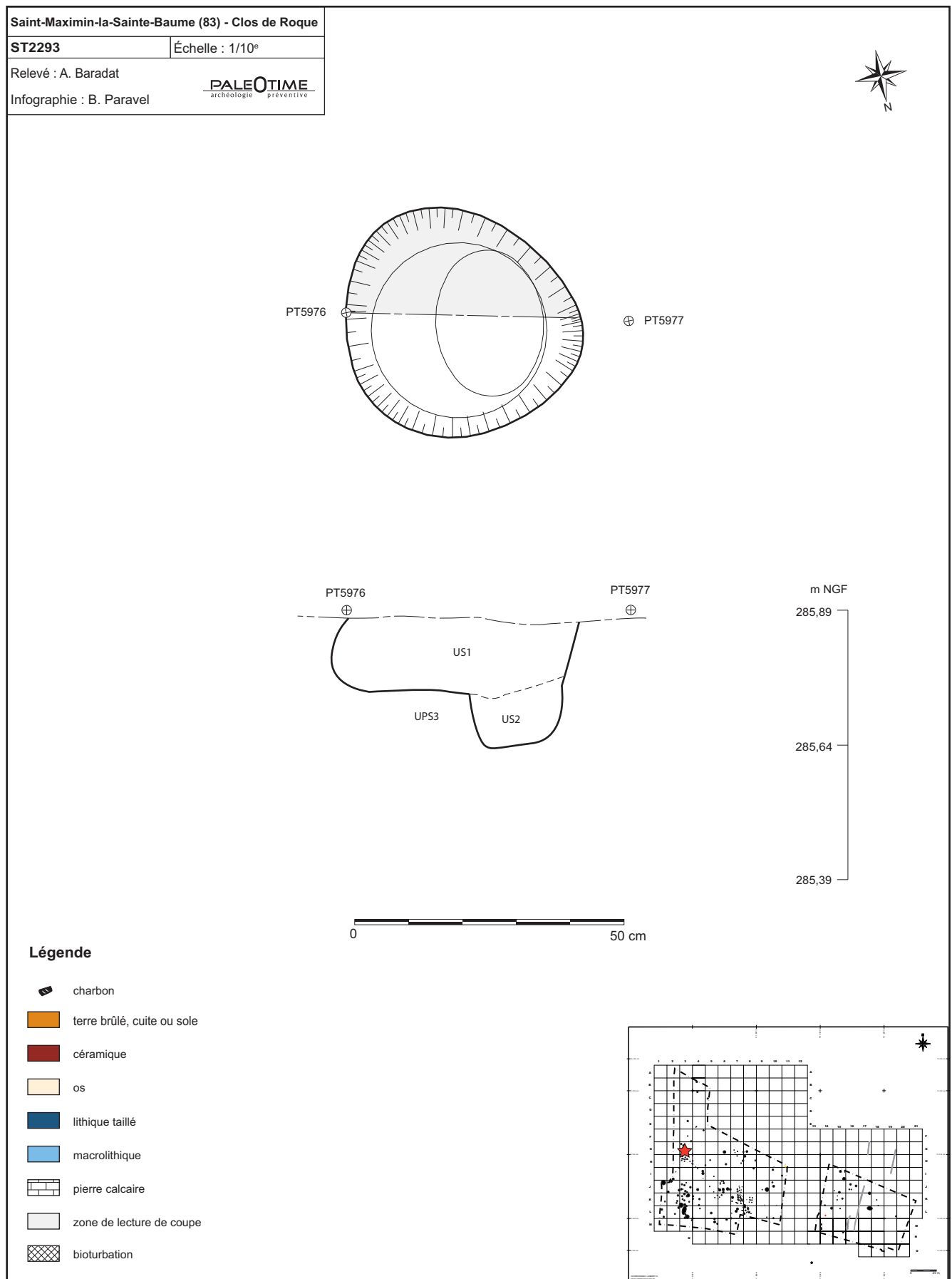


Figure 229 - Le Clos de Roque, Saint-Maximin-la-Sainte-Baume (83). Plan et coupe stratigraphique de la structure ST2293.

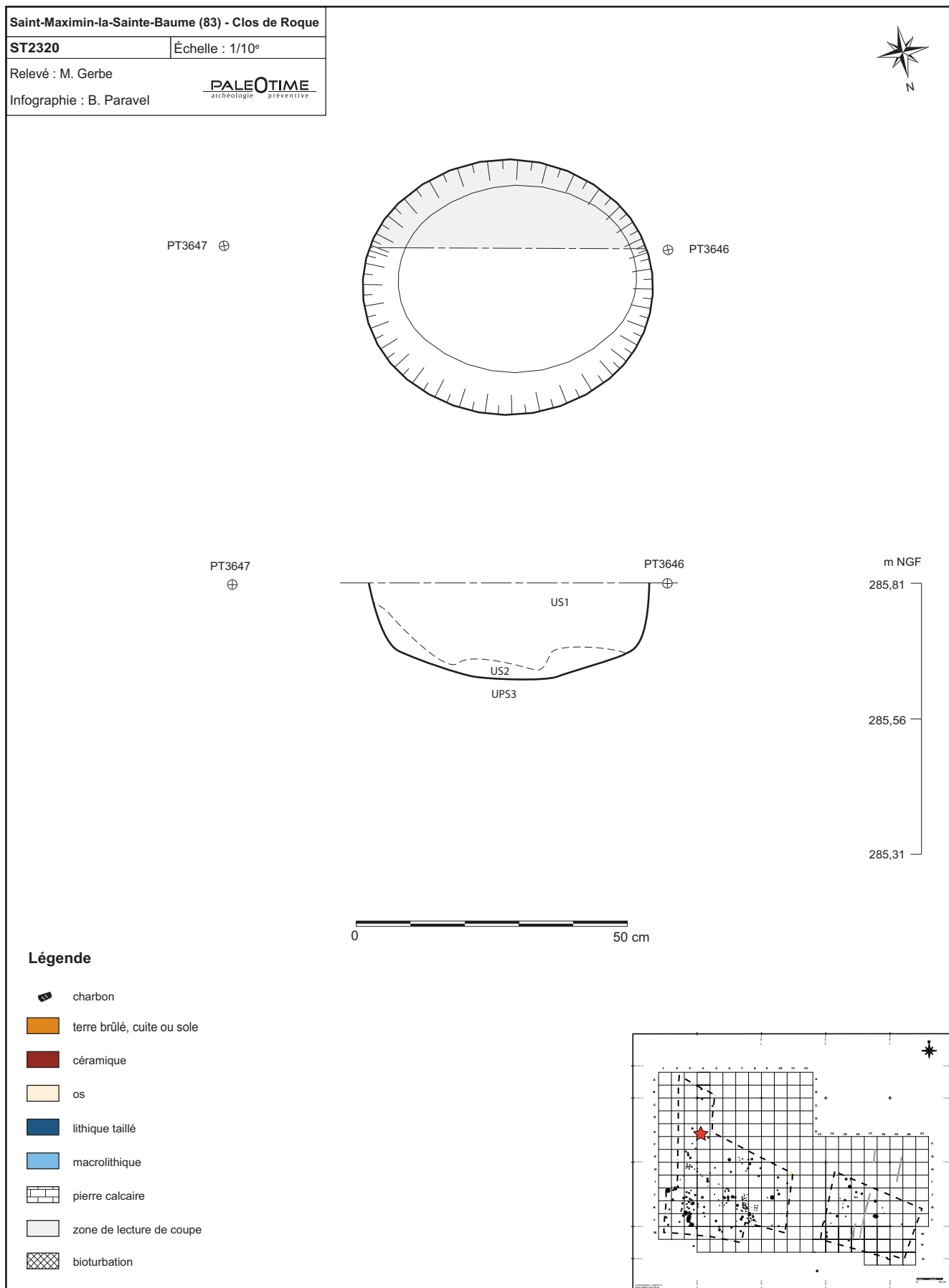


Figure 230 - Le Clos de Roque, Saint-Maximin-la-Sainte-Baume (83). Plan et coupe stratigraphique de la structure ST2320.

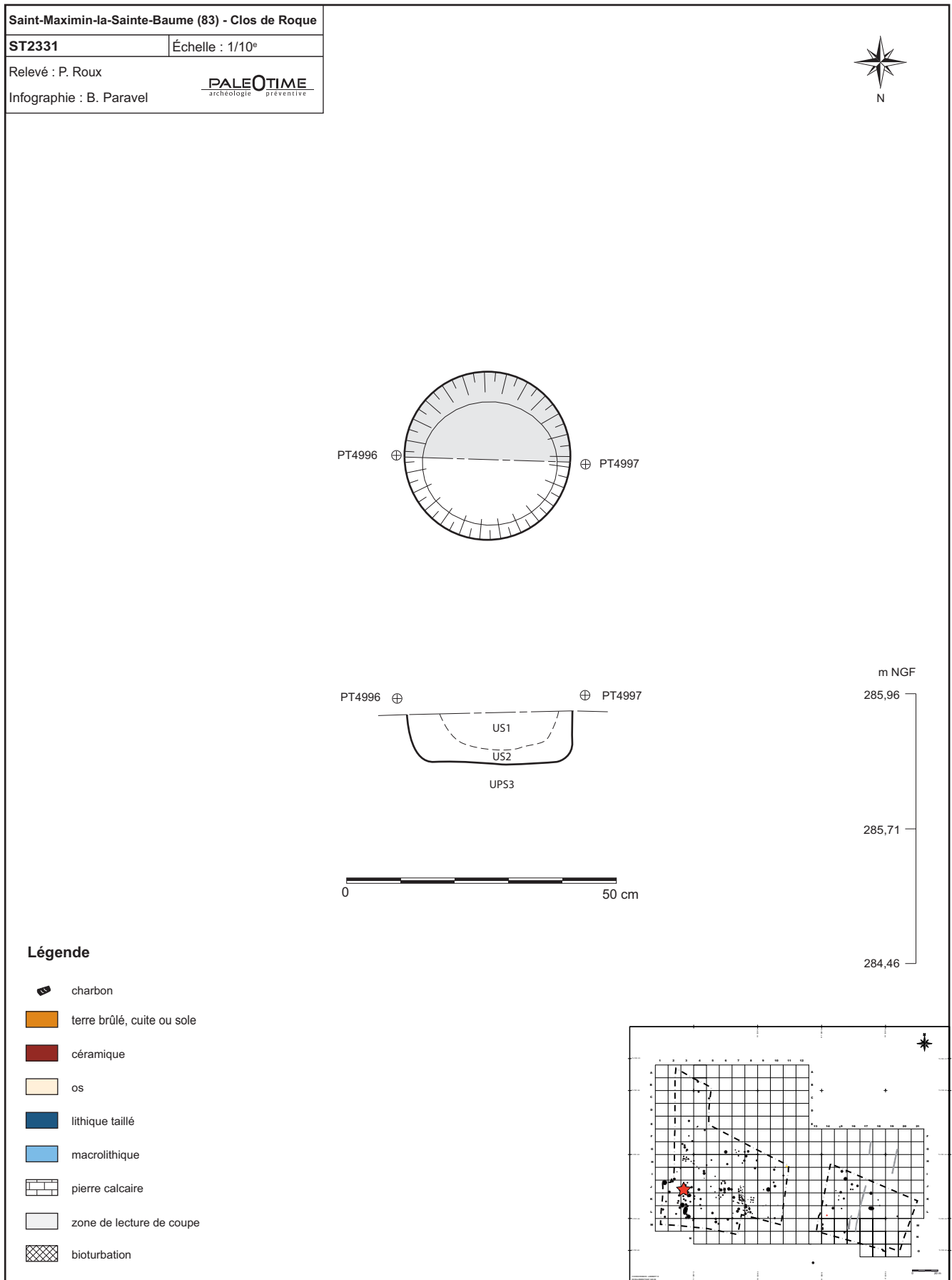


Figure 231 - Le Clos de Roque, Saint-Maximin-la-Sainte-Baume (83). Plan et coupe stratigraphique de la structure ST2331.

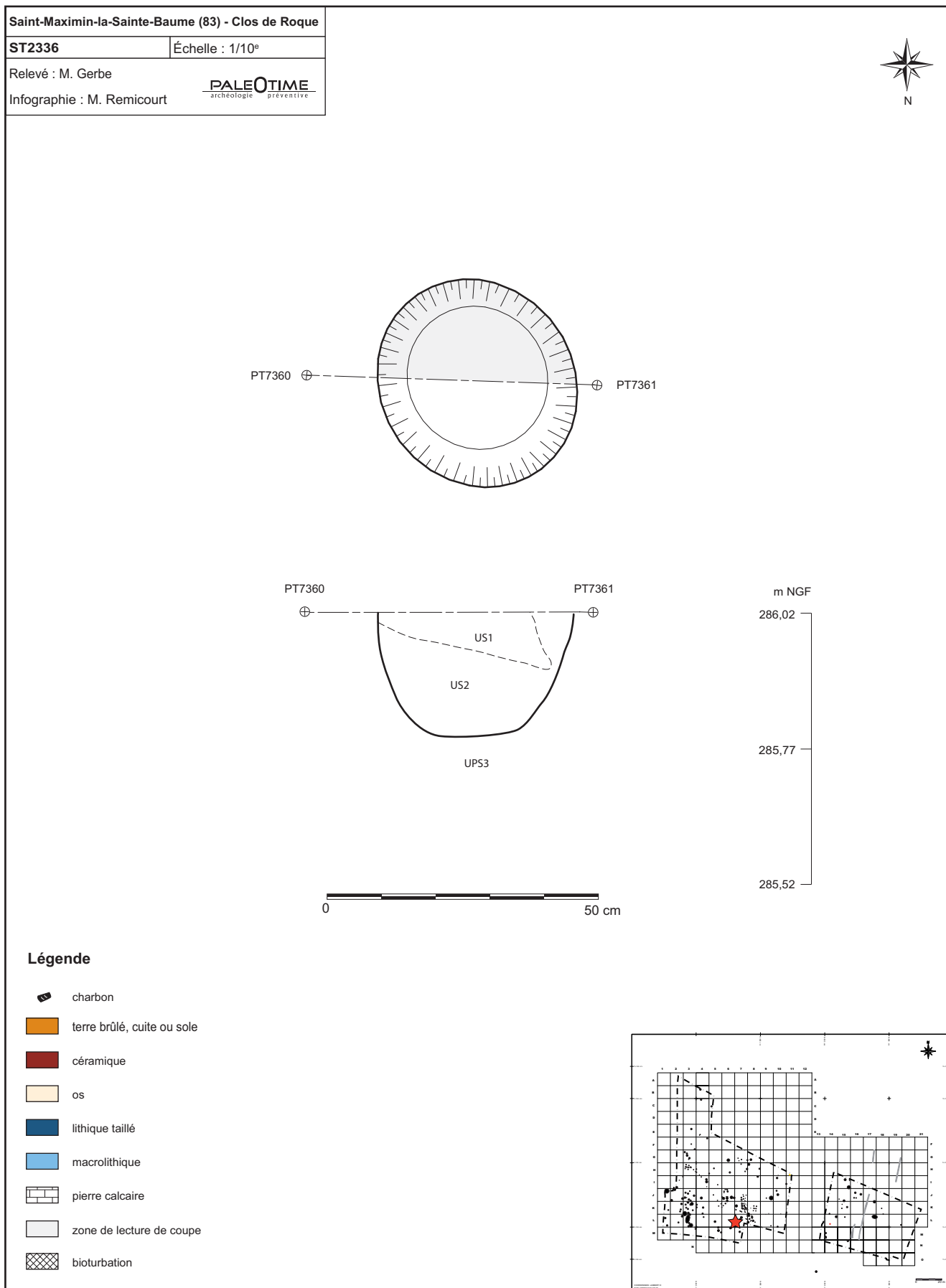


Figure 232 - Le Clos de Roque, Saint-Maximin-la-Sainte-Baume (83). Plan et coupe stratigraphique de la structure ST2336.

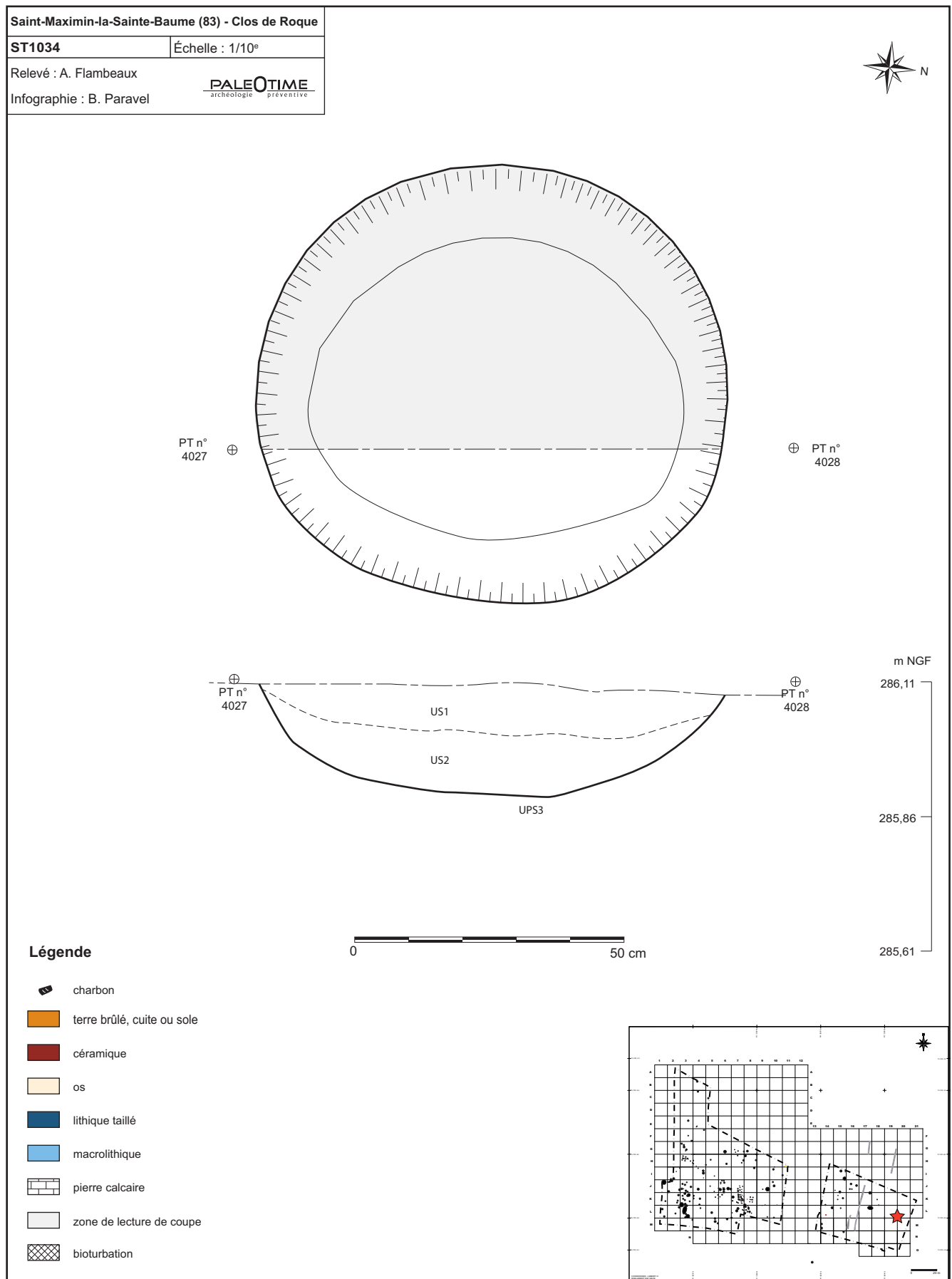


Figure 233 - Le Clos de Roque, Saint-Maximin-la-Sainte-Baume (83). Plan et coupe stratigraphique de la structure ST1034.



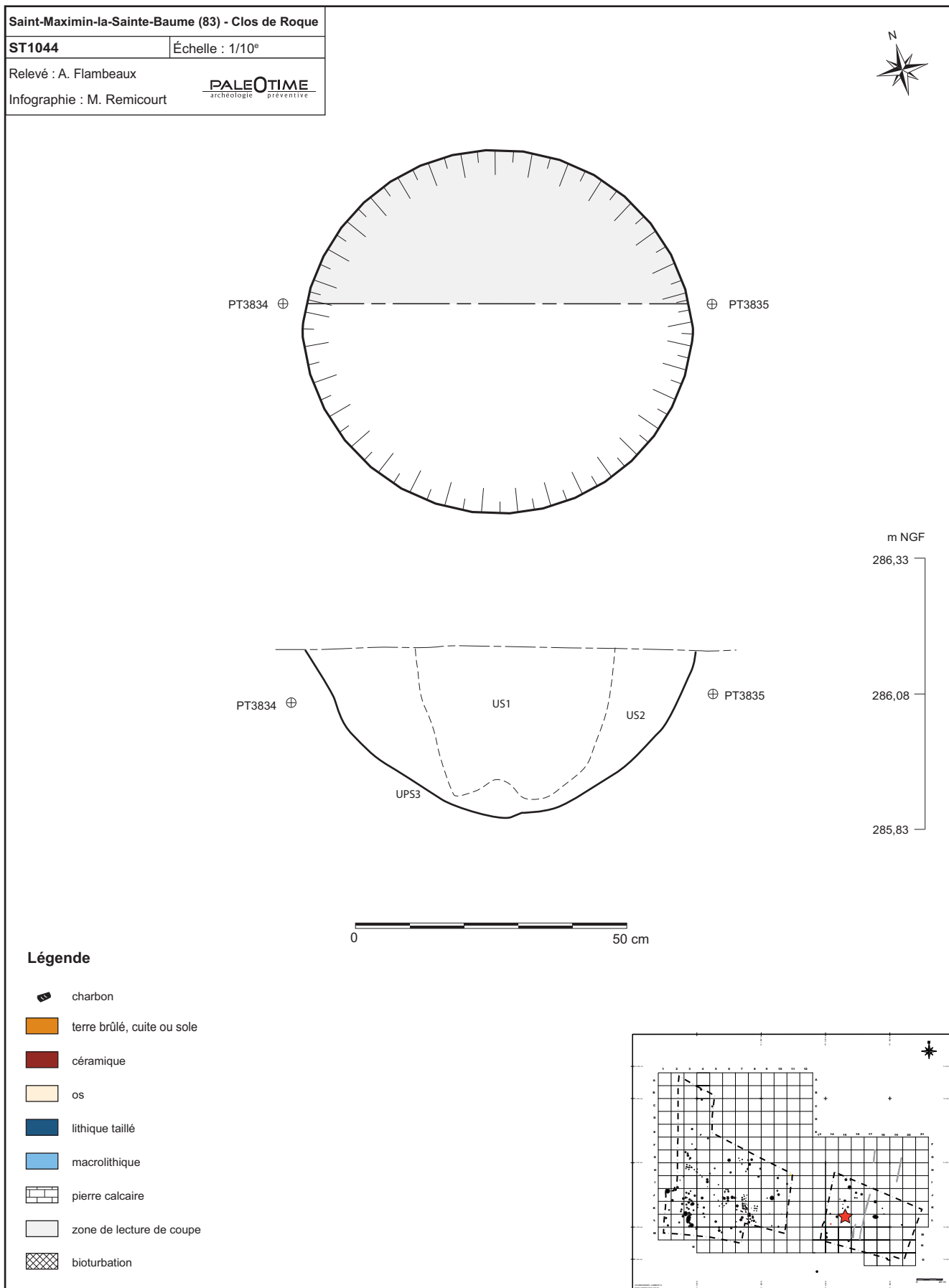


Figure 234 - Le Clos de Roque, Saint-Maximin-la-Sainte-Baume (83). Plan et coupe stratigraphique de la structure ST1044.



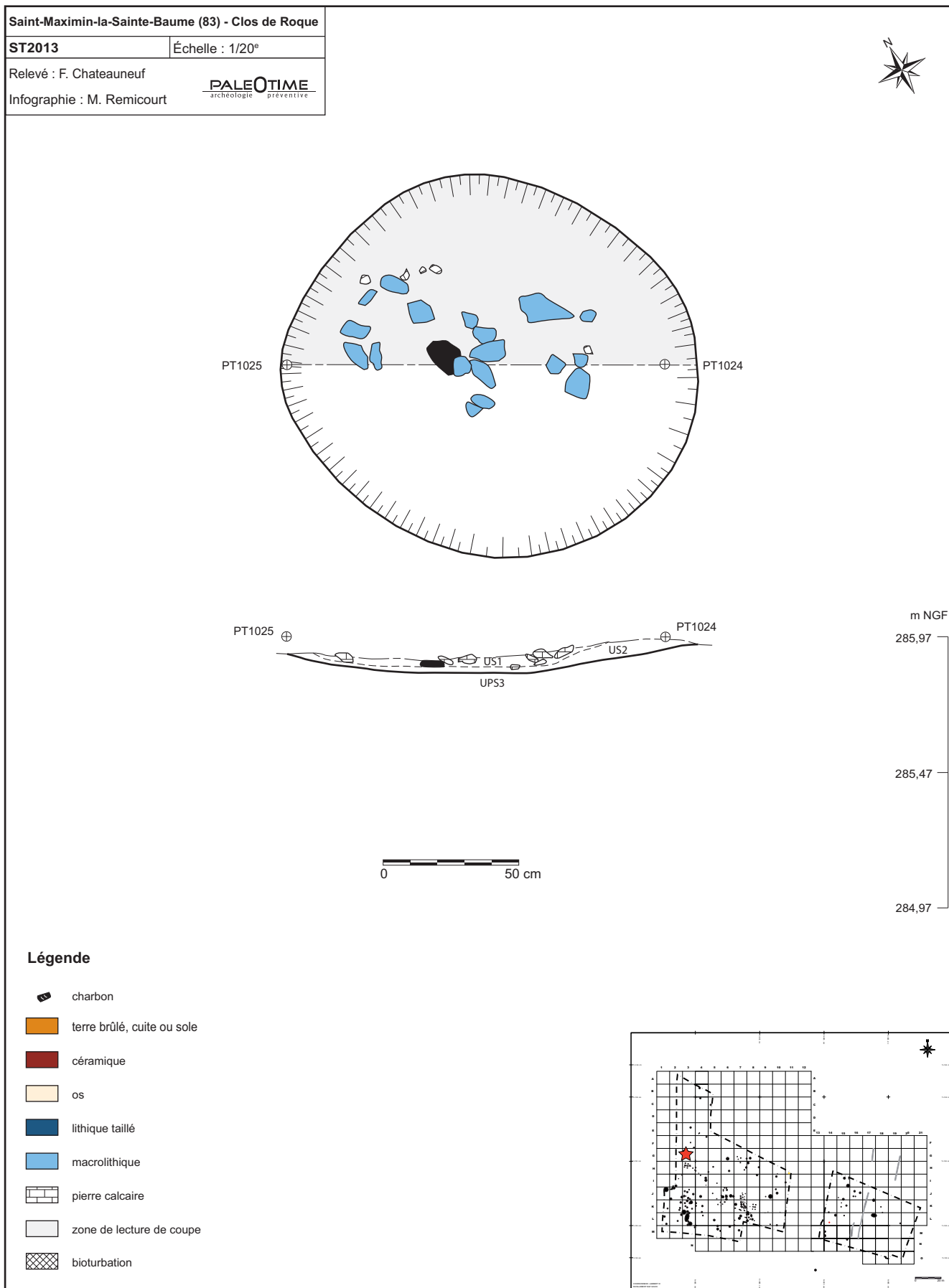


Figure 236 - Le Clos de Roque, Saint-Maximin-la-Sainte-Baume (83). Plan et coupe stratigraphique de la structure ST2013.

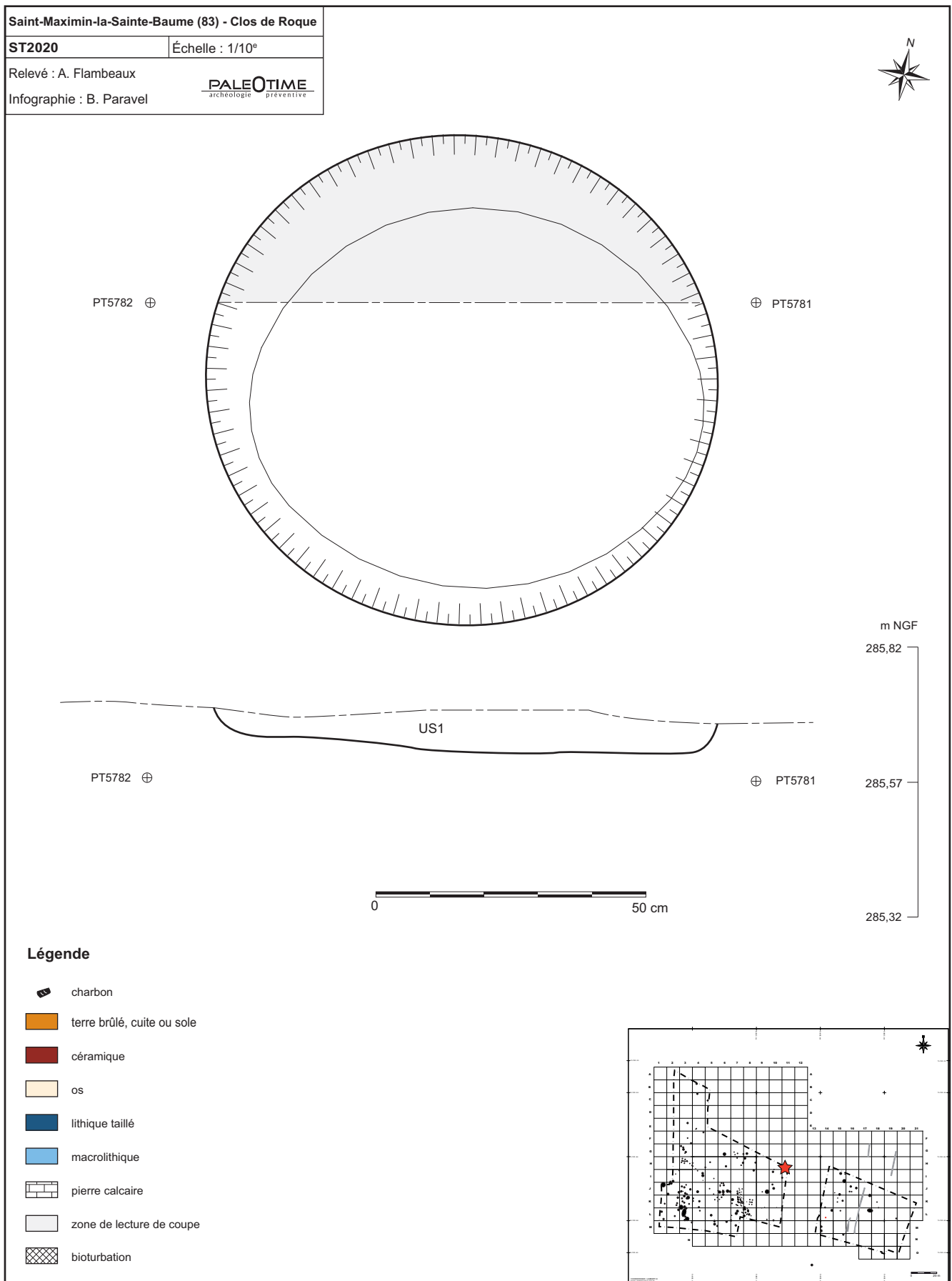


Figure 237 - Le Clos de Roque, Saint-Maximin-la-Sainte-Baume (83). Plan et coupe stratigraphique de la structure ST2020.

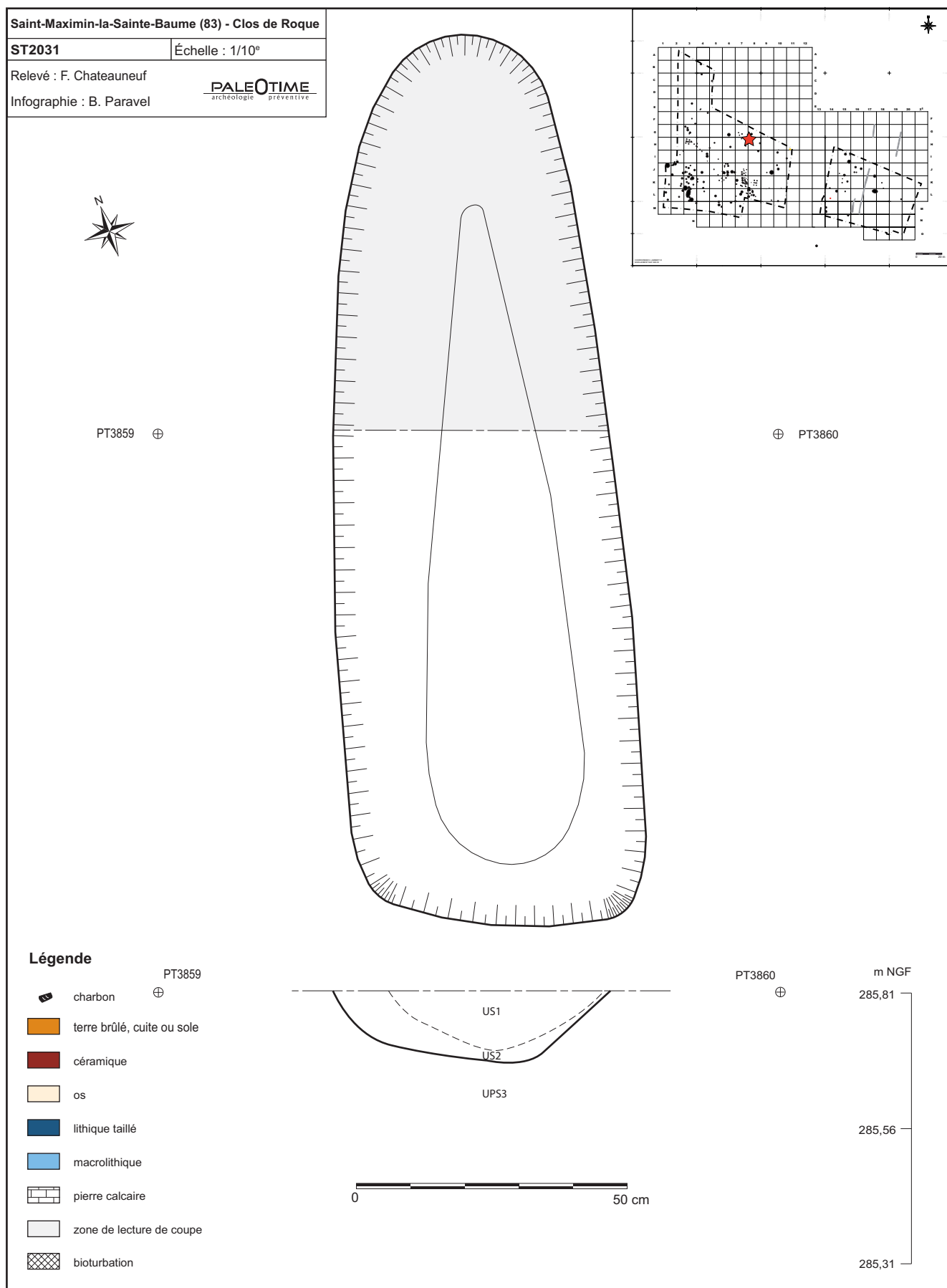


Figure 238 - Le Clos de Roque, Saint-Maximin-la-Sainte-Baume (83). Plan et coupe stratigraphique de la structure ST2031.

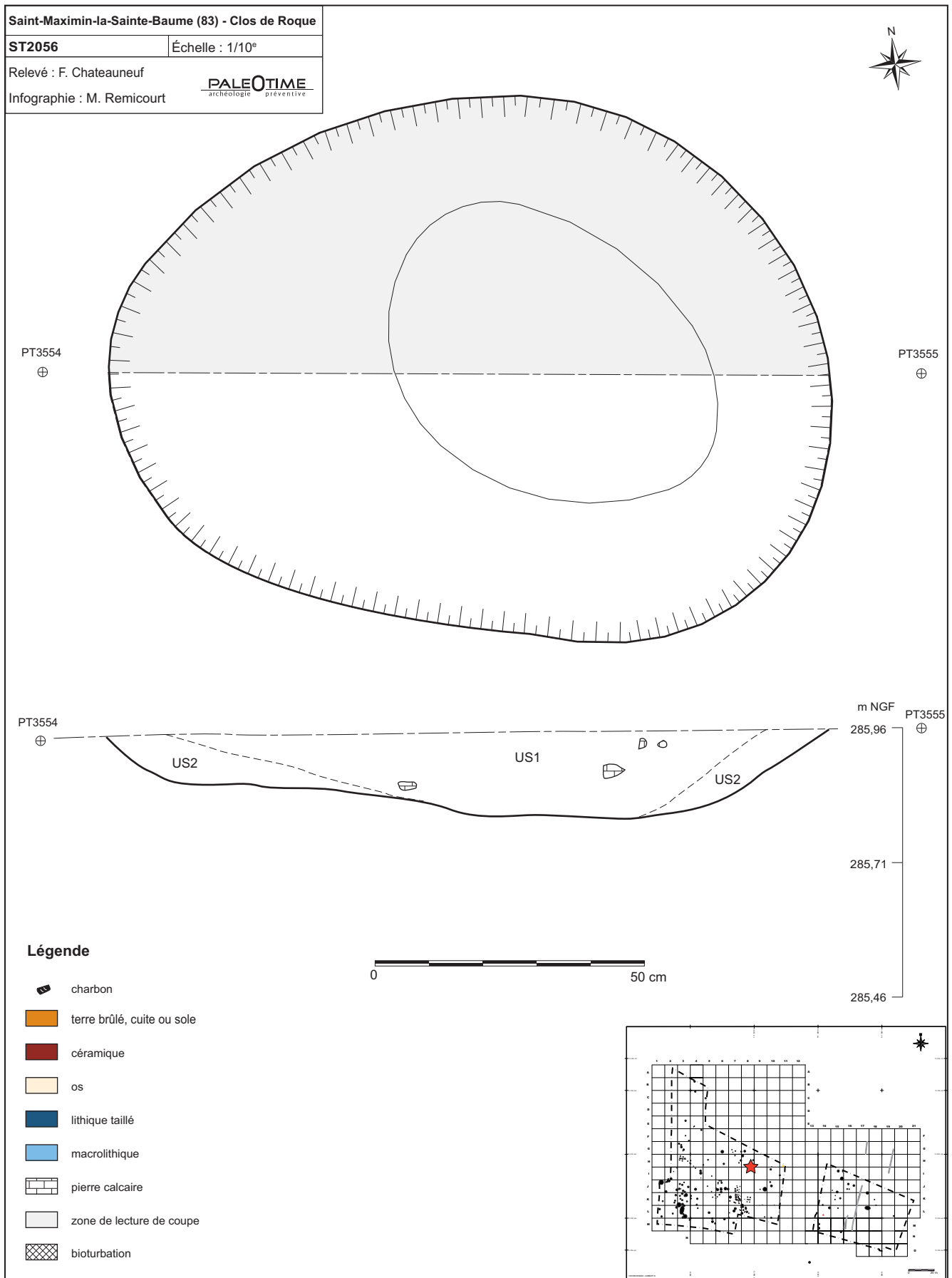


Figure 239 - Le Clos de Roque, Saint-Maximin-la-Sainte-Baume (83). Plan et coupe stratigraphique de la structure ST2056.

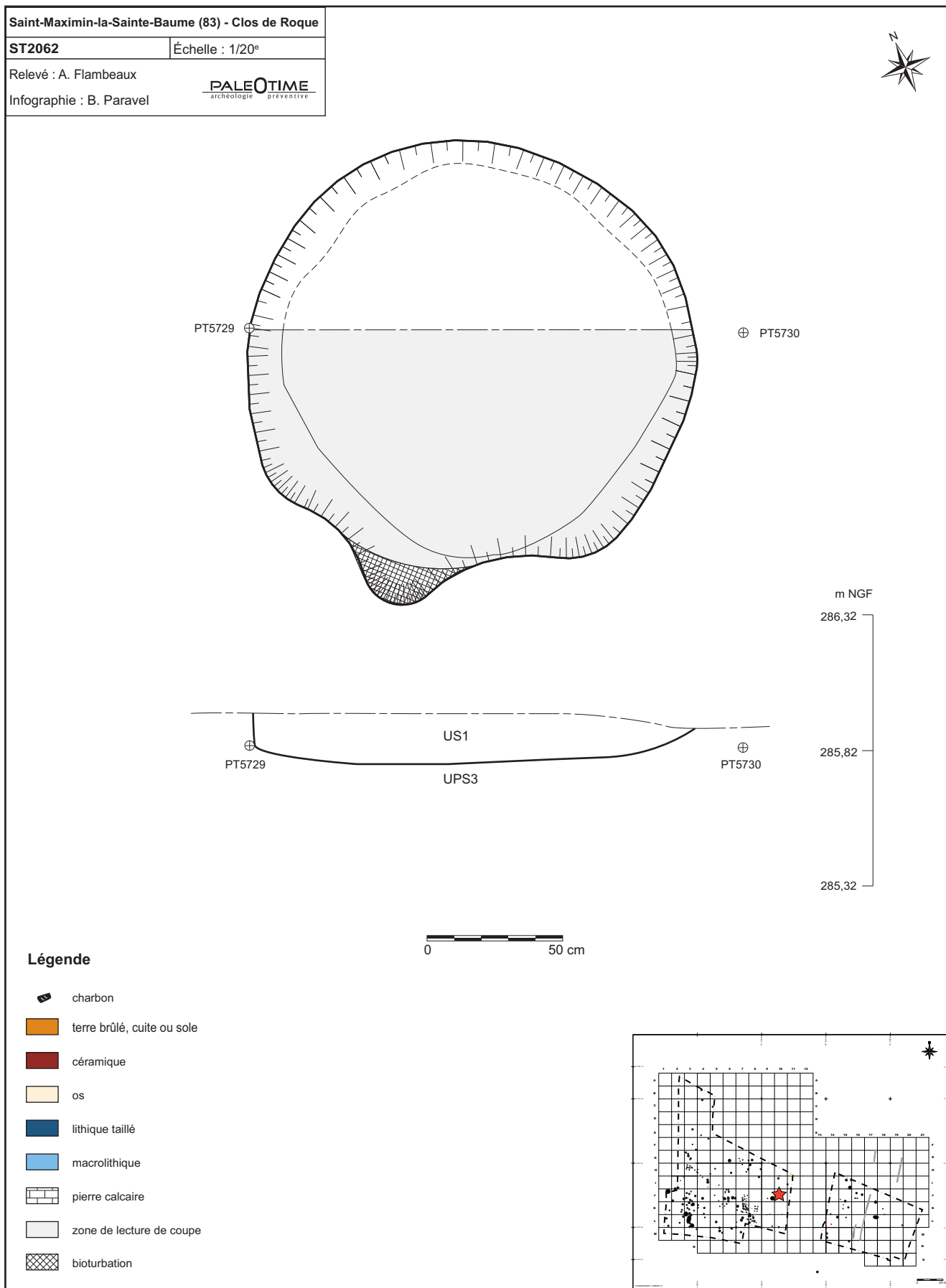


Figure 240 - Le Clos de Roque, Saint-Maximin-la-Sainte-Baume (83). Plan et coupe stratigraphique de la structure ST2062.

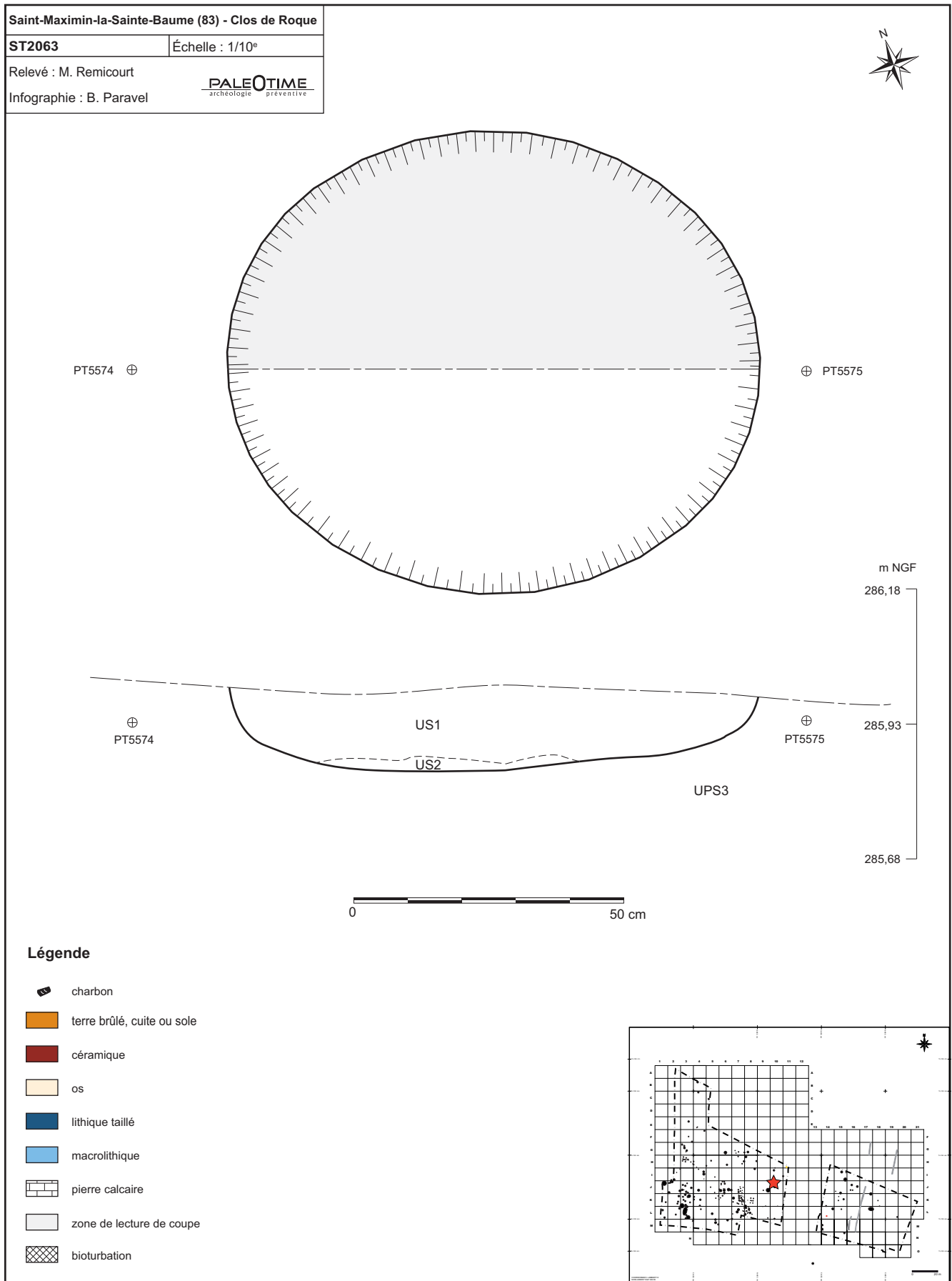


Figure 241 - Le Clos de Roque, Saint-Maximin-la-Sainte-Baume (83). Plan et coupe stratigraphique de la structure ST2063.



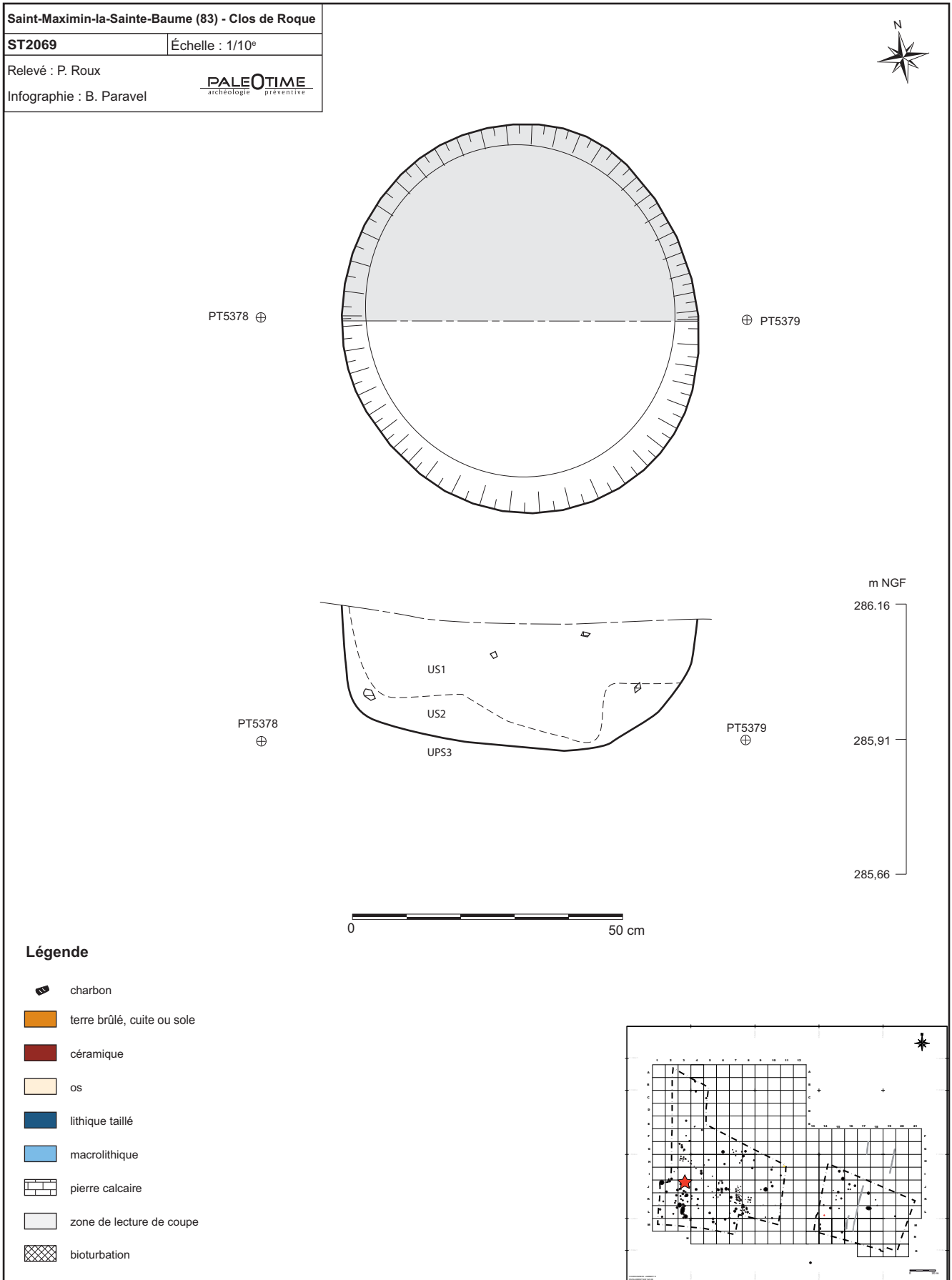


Figure 242 - Le Clos de Roque, Saint-Maximin-la-Sainte-Baume (83). Plan et coupe stratigraphique de la structure ST2069.

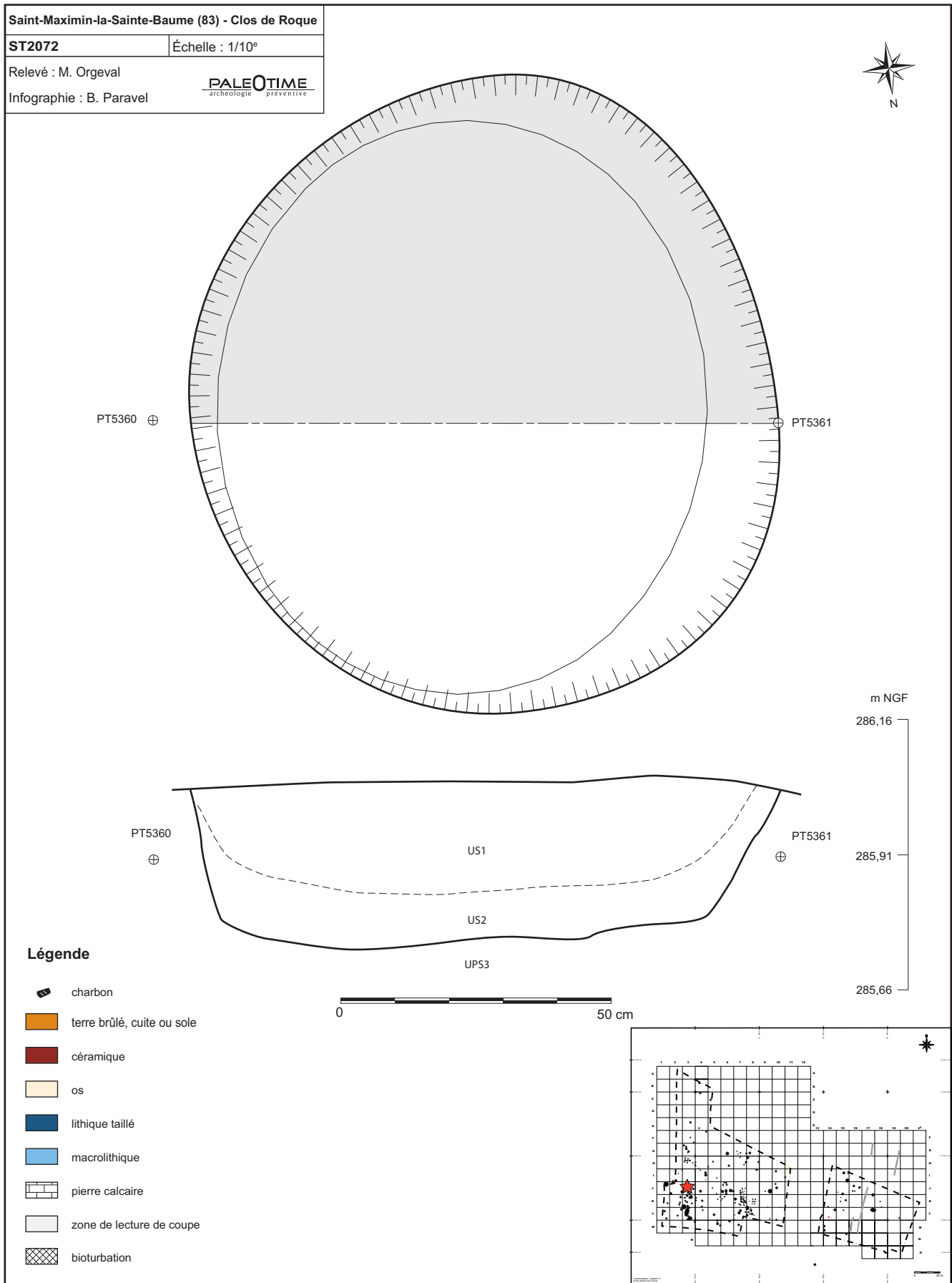


Figure 243 - Le Clos de Roque, Saint-Maximin-la-Sainte-Baume (83). Plan et coupe stratigraphique de la structure ST2072.

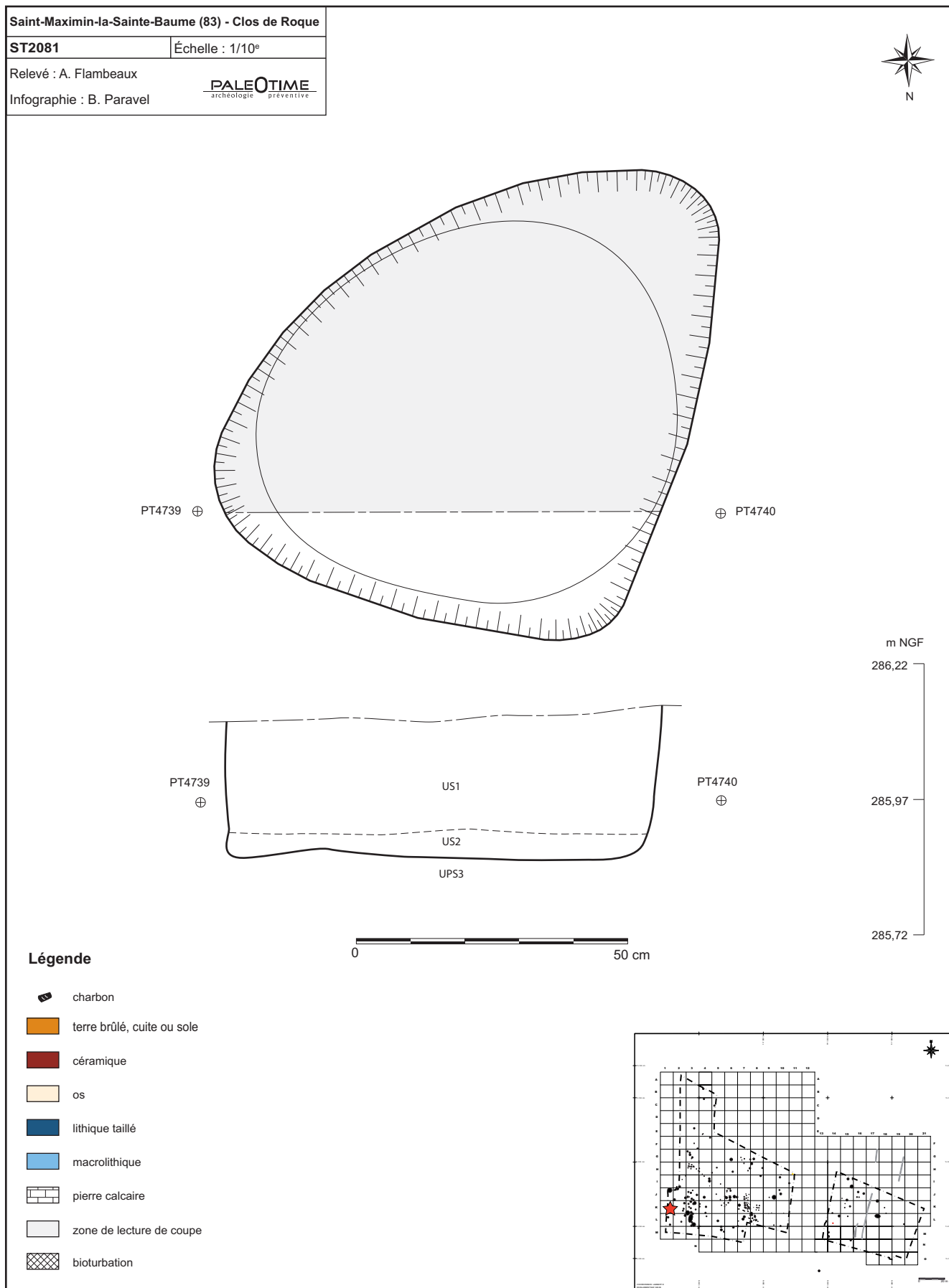


Figure 244 - Le Clos de Roque, Saint-Maximin-la-Sainte-Baume (83). Plan et coupe stratigraphique de la structure ST2081.

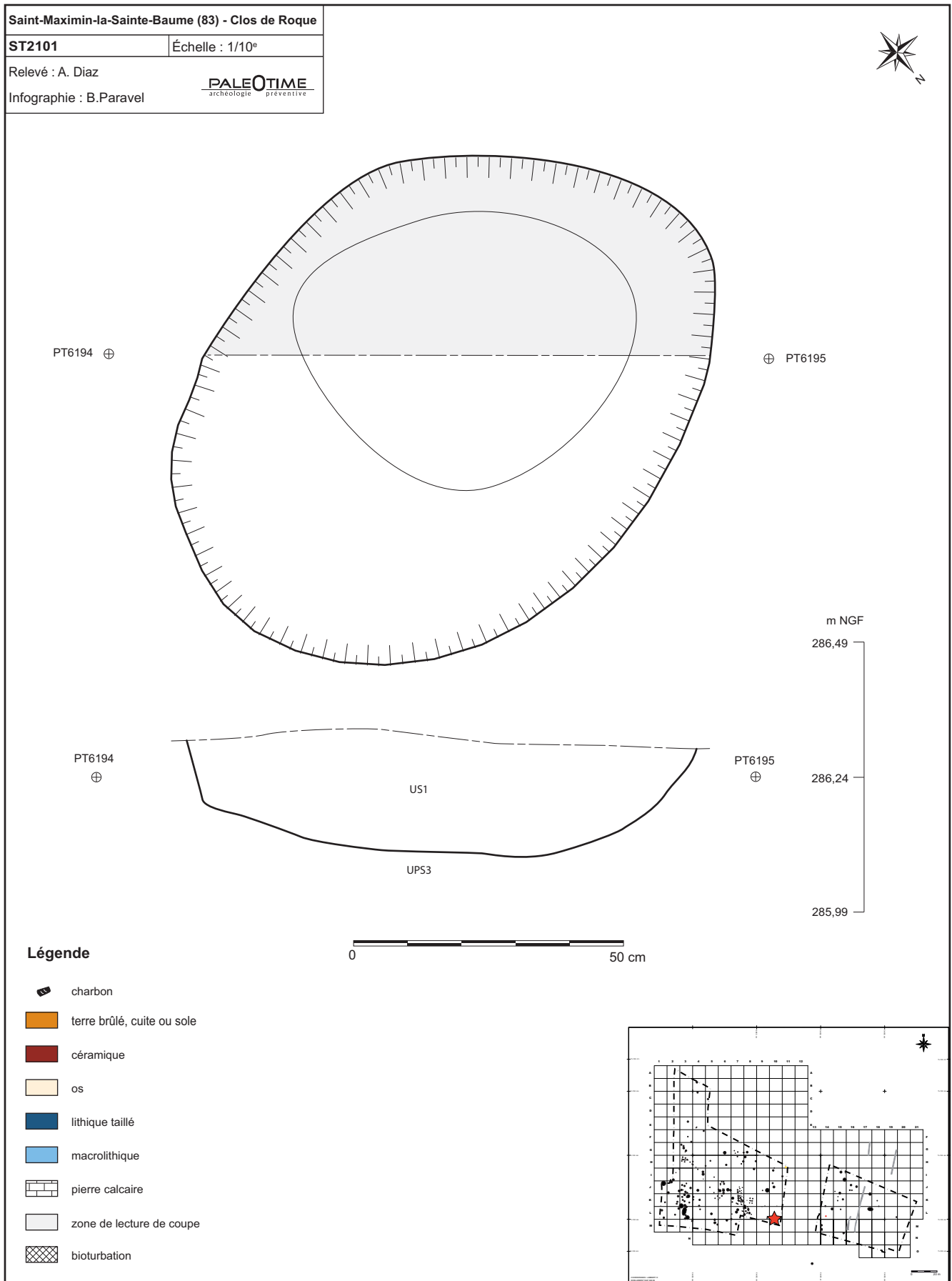


Figure 245 - Le Clos de Roque, Saint-Maximin-la-Sainte-Baume (83). Plan et coupe stratigraphique de la structure ST2101.

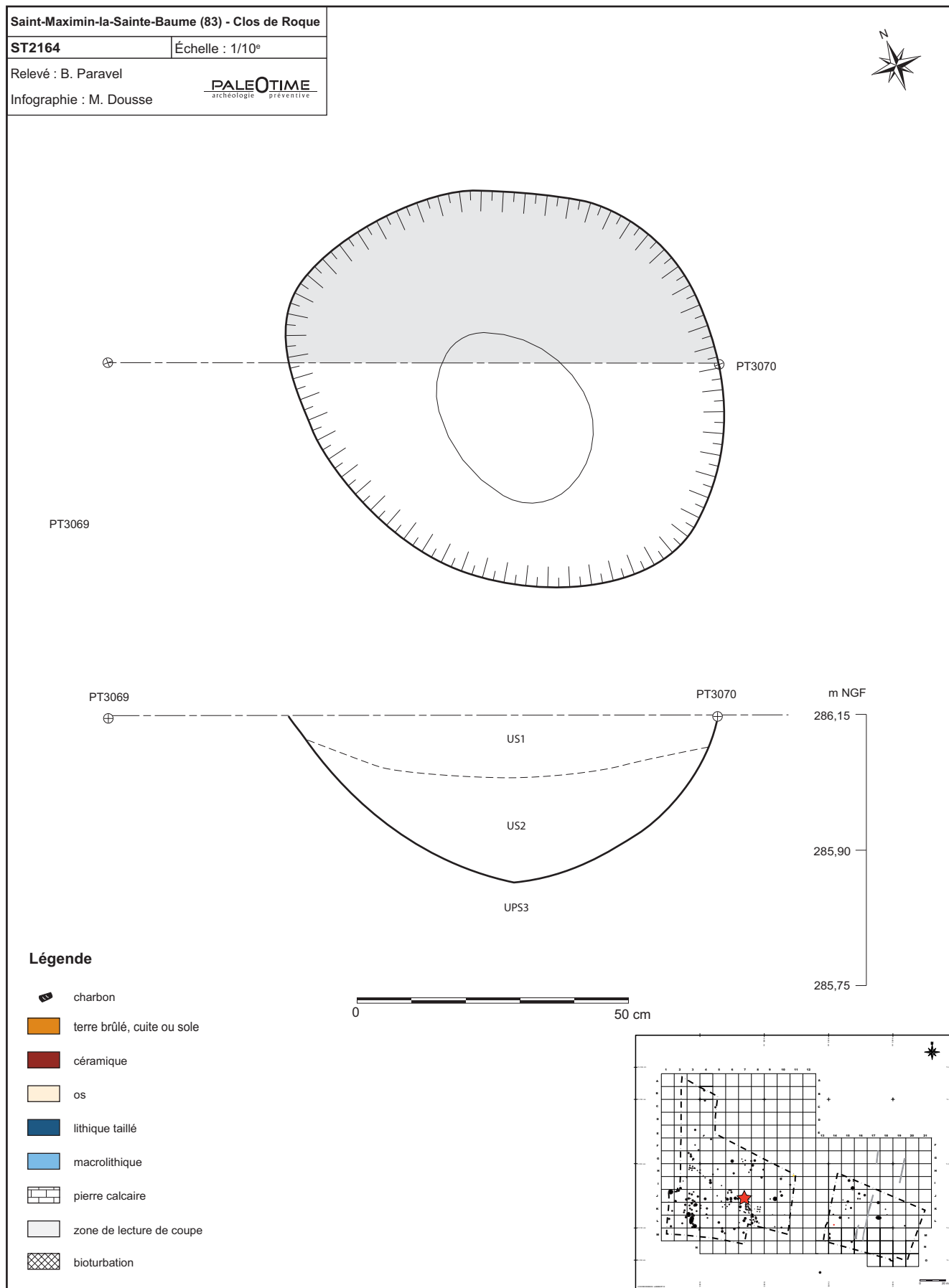


Figure 246 - Le Clos de Roque, Saint-Maximin-la-Sainte-Baume (83). Plan et coupe stratigraphique de la structure ST2164.

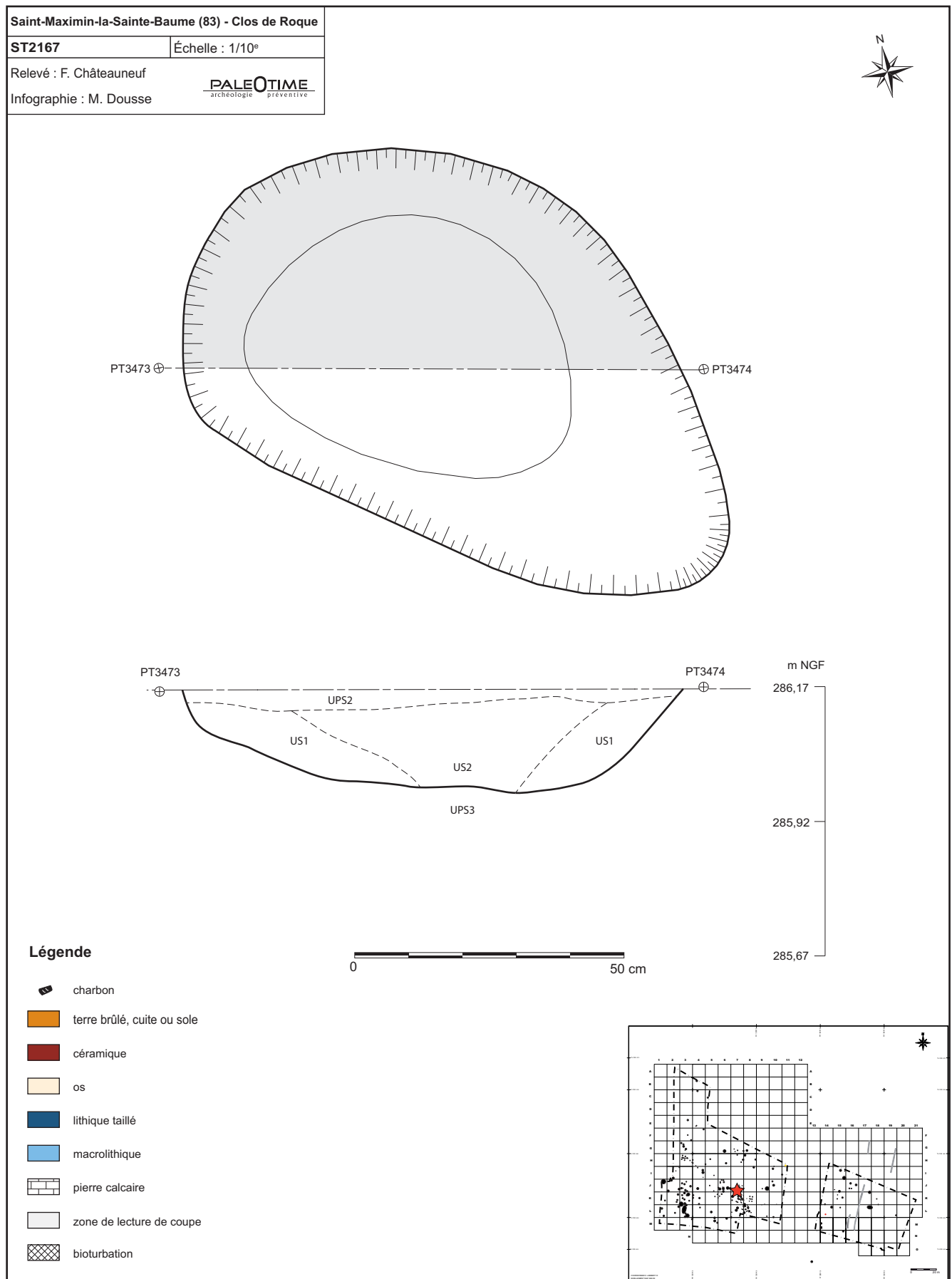


Figure 247 - Le Clos de Roque, Saint-Maximin-la-Sainte-Baume (83). Plan et coupe stratigraphique de la structure ST2167.

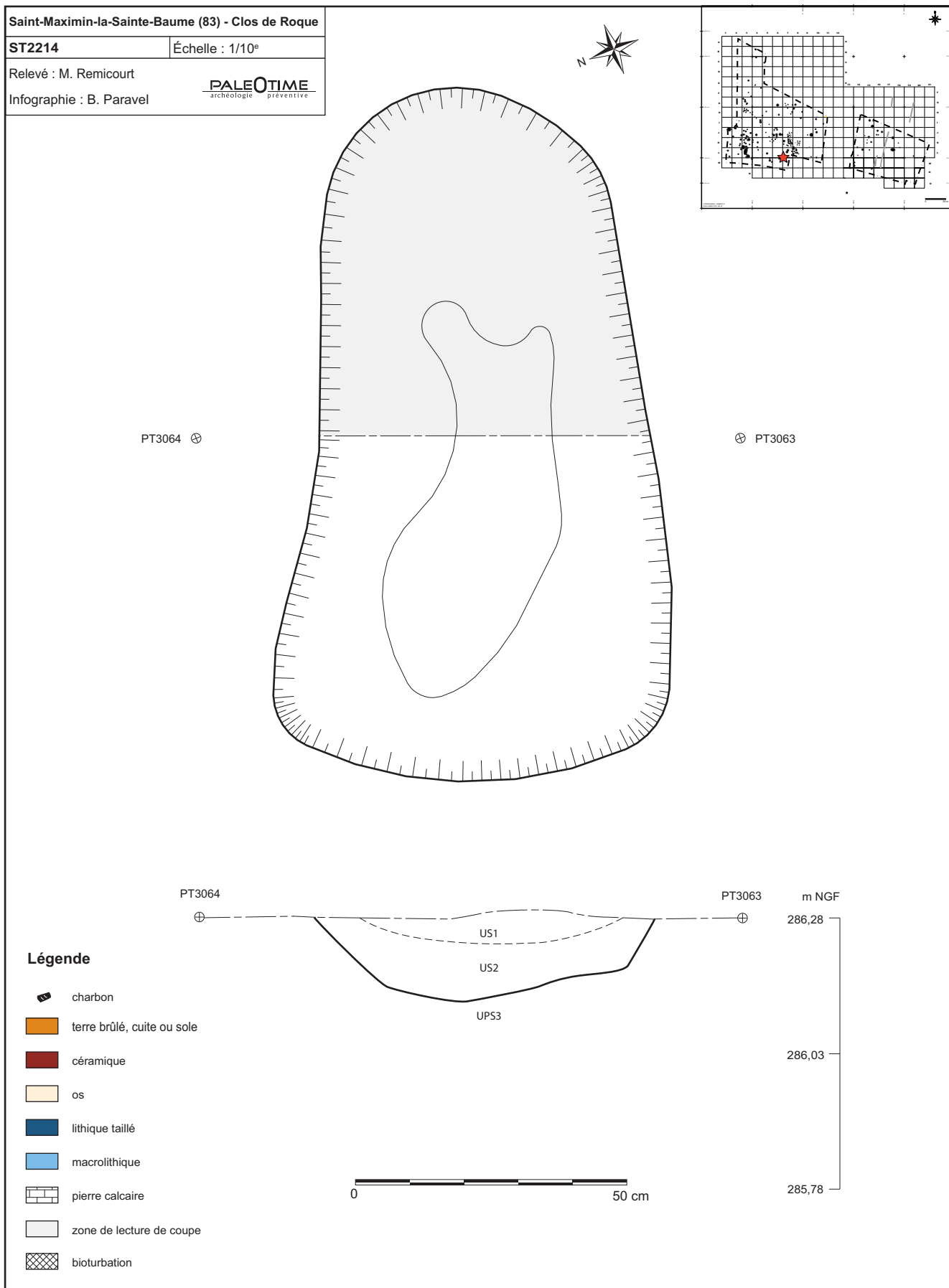


Figure 248 - Le Clos de Roque, Saint-Maximin-la-Sainte-Baume (83). Plan et coupe stratigraphique de la structure ST2214.

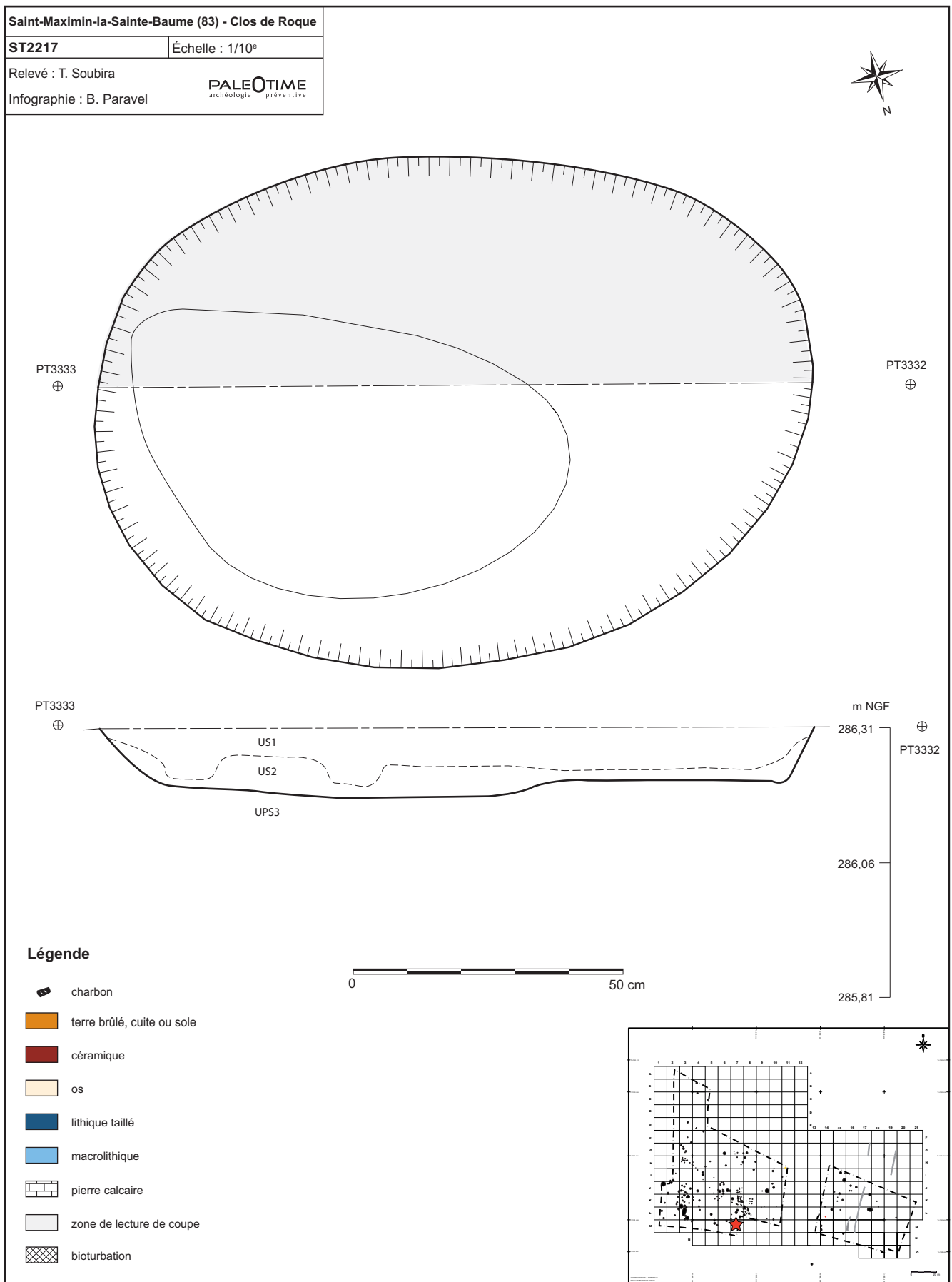


Figure 249 - Le Clos de Roque, Saint-Maximin-la-Sainte-Baume (83). Plan et coupe stratigraphique de la structure ST2217.



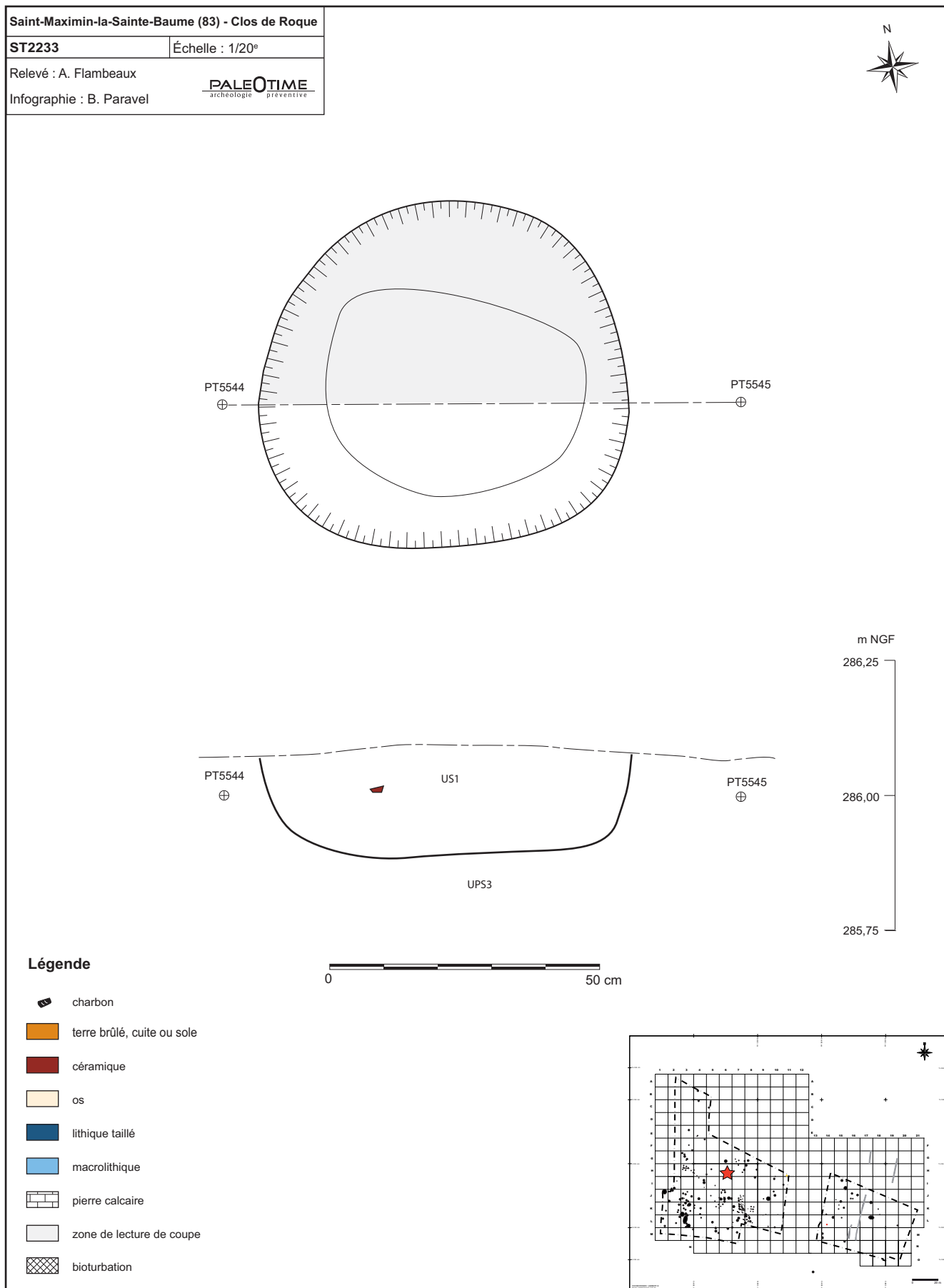


Figure 250 - Le Clos de Roque, Saint-Maximin-la-Sainte-Baume (83). Plan et coupe stratigraphique de la structure ST2233.

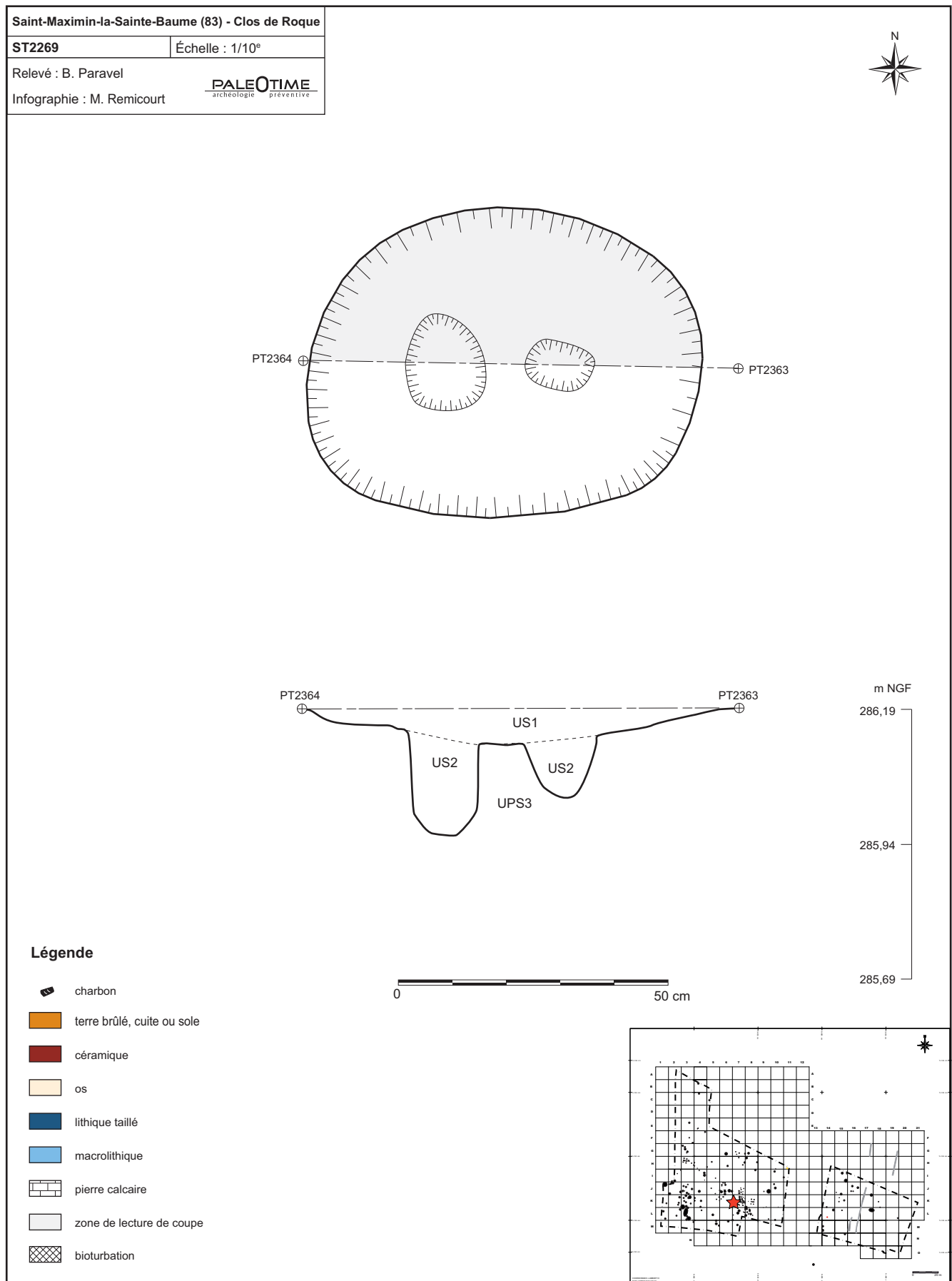


Figure 251 - Le Clos de Roque, Saint-Maximin-la-Sainte-Baume (83). Plan et coupe stratigraphique de la structure ST2269.

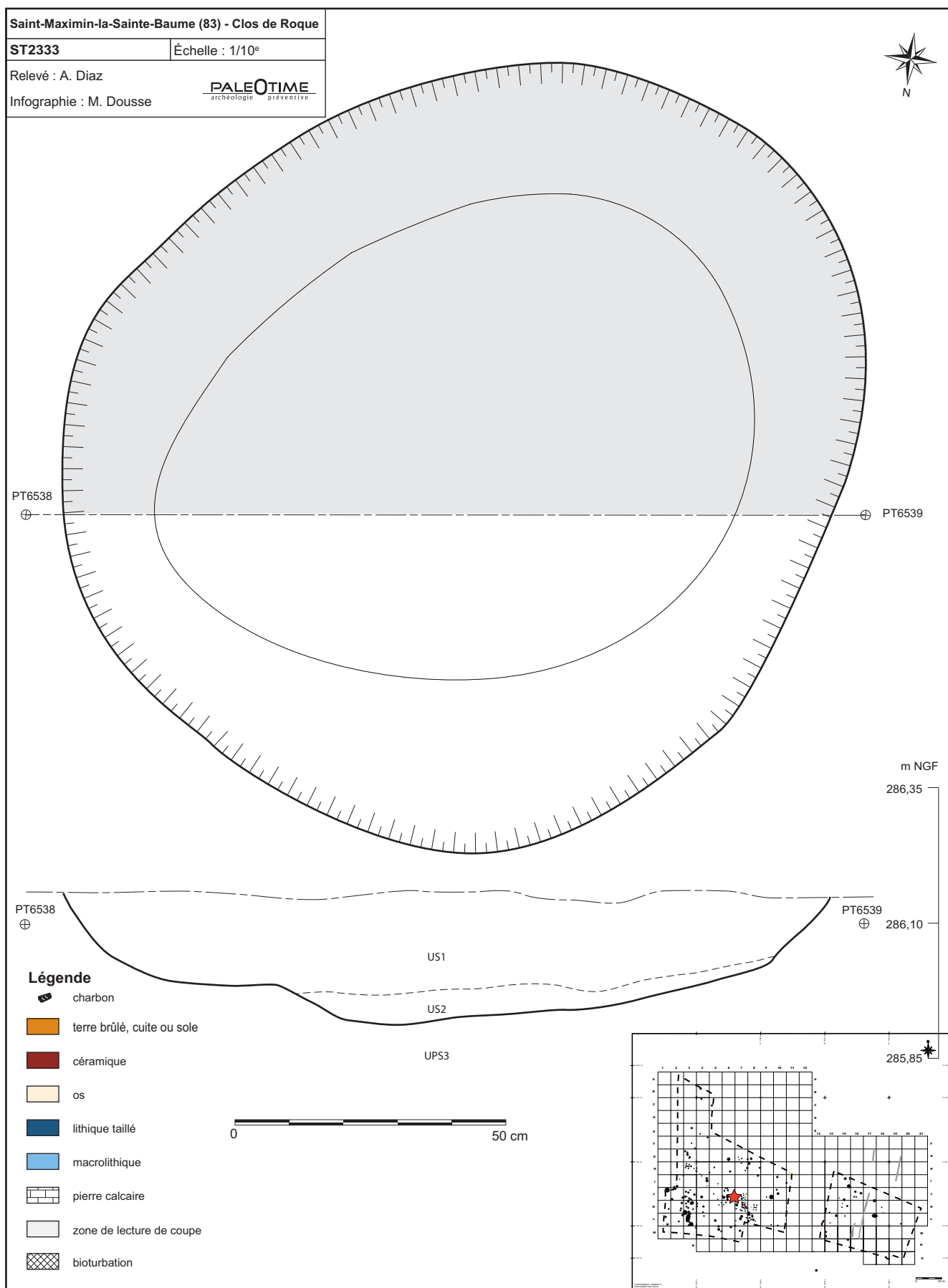


Figure 252 - Le Clos de Roque, Saint-Maximin-la-Sainte-Baume (83). Plan et coupe stratigraphique de la structure ST2333.

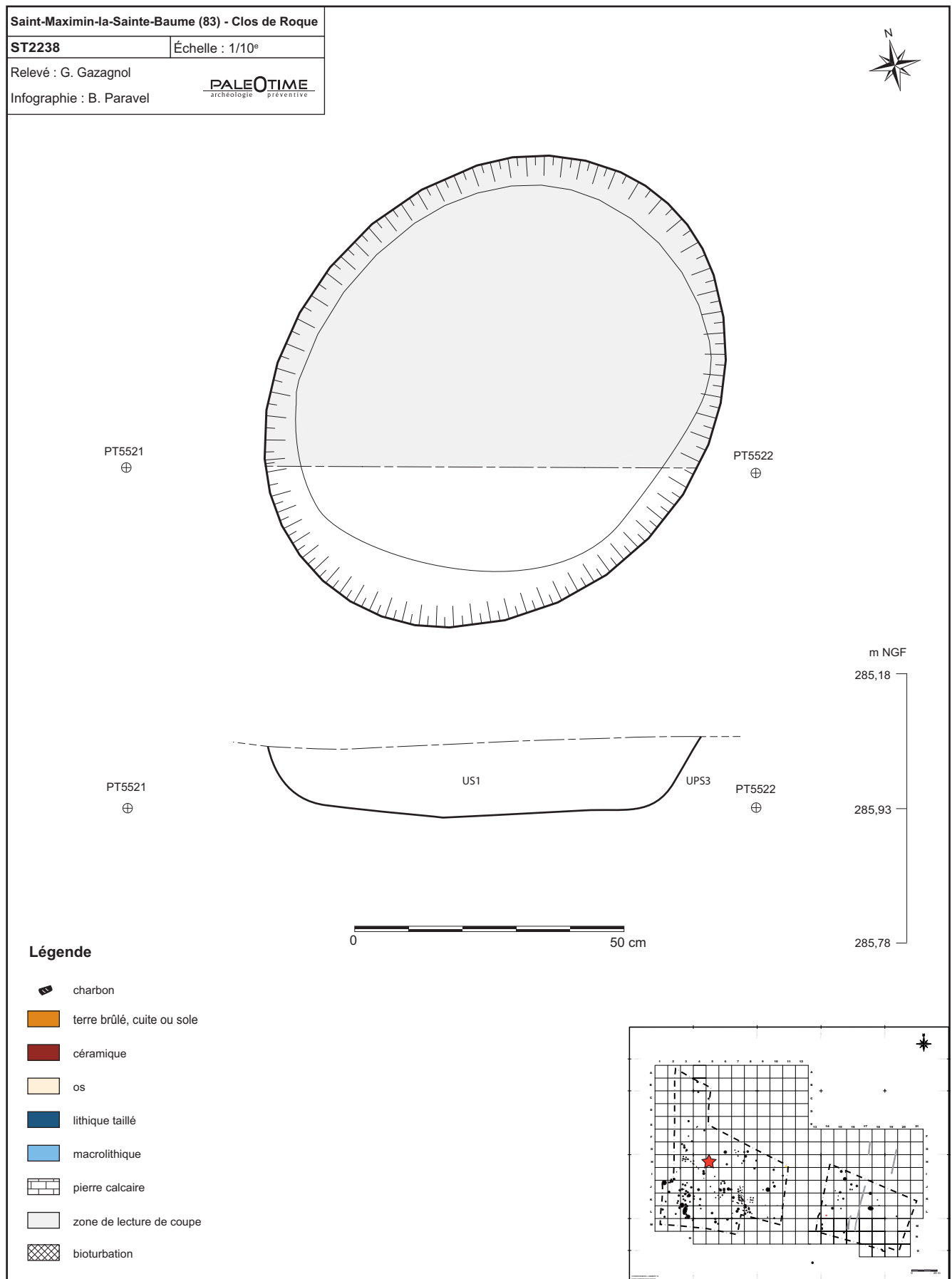
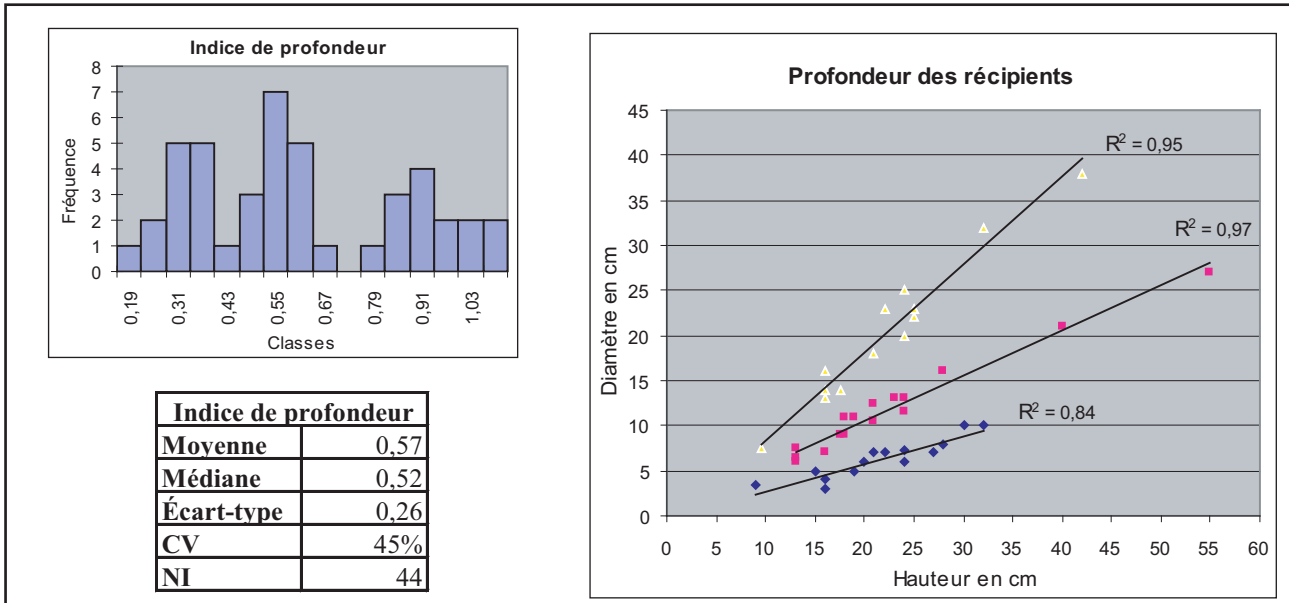
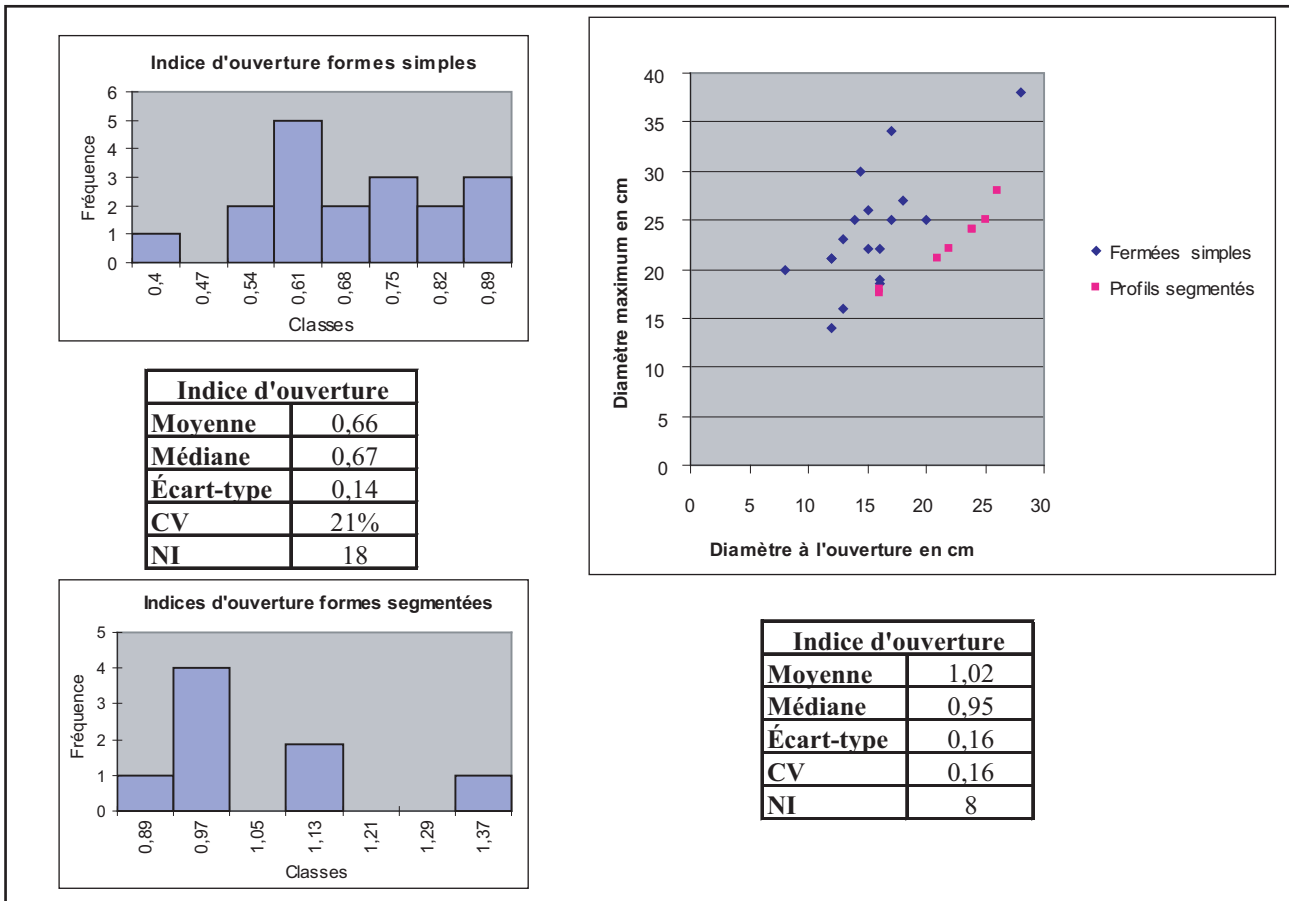


Figure 253 - Le Clos de Roque, Saint-Maximin-la-Sainte-Baume (83). Plan et coupe stratigraphique de la structure ST2238.



1



2

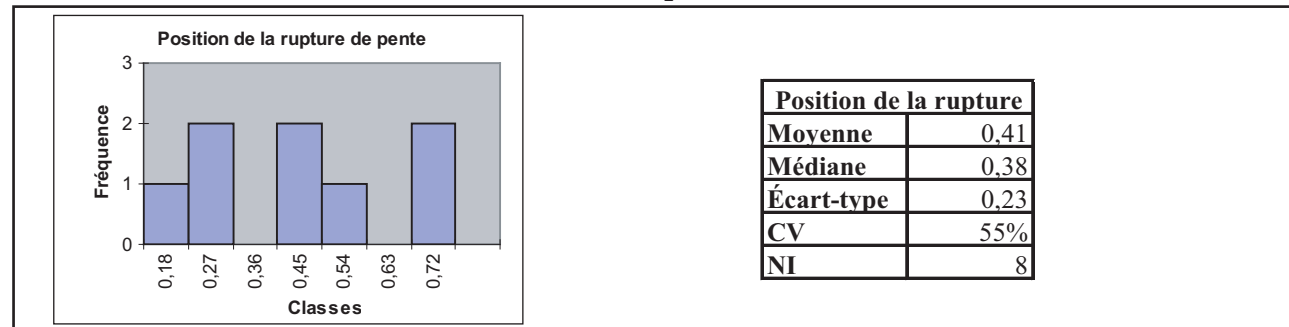
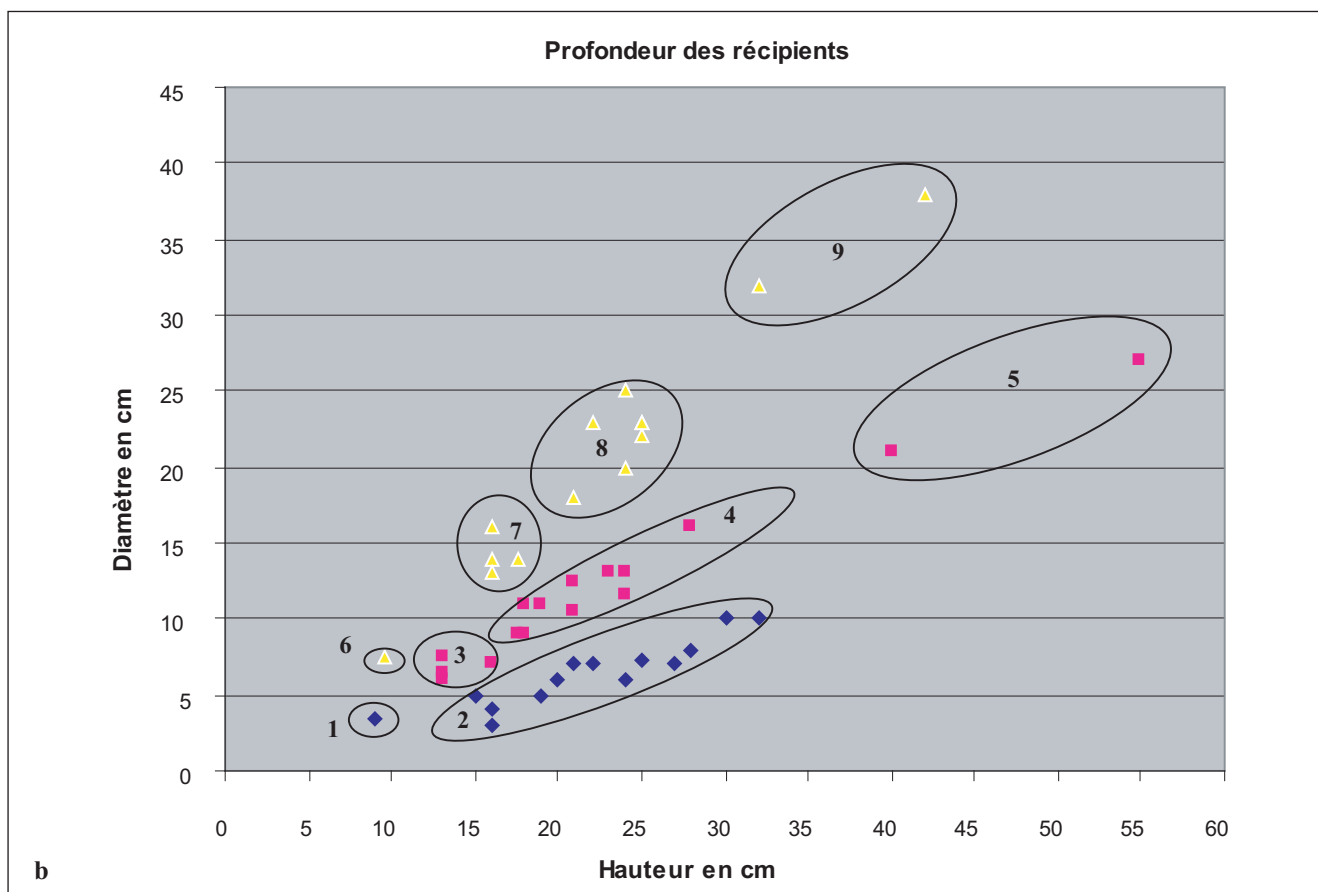
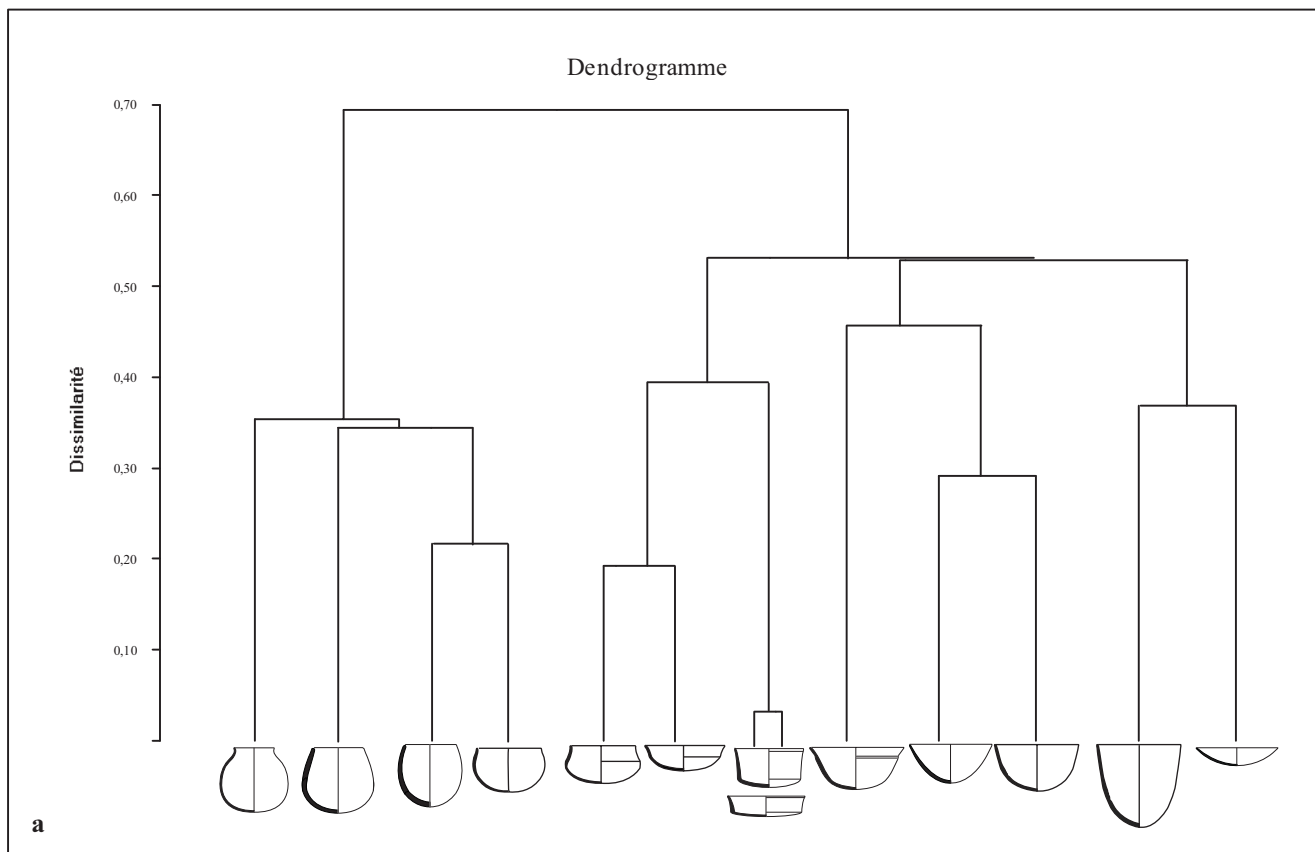


Figure 254 - Le Clos de Roque, Saint-Maximin-la-Sainte-Baume (83). Etude des variables quantitatives. 1, indice de profondeur (distribution 1/4 écart-type) ; 2, indice d'ouverture (distribution 1/2 écart-type) ; 3, position de la rupture de pente (distribution 1/4 écart-type) (DAO : C. Lepère).



**Figure 255** - Le Clos de Roque, Saint-Maximin-la-Sainte-Baume (83). a : Typologie des formes, classification ascendante hiérarchique ; b : Définition des formats. 1, coupelles ; 2, coupes ; 3, bols ; 4, jattes ; 5, grandes jattes ; 6, gobelets ; 7, pots ; 8, marmites ; 9, jarres (DAO : C. Lepère).












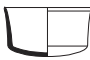







Groupe	Type	Sous-type	Code	Illustration
Ouvverte à profil simple	Assiette à rebord non dégagé		1R	
	Coupe en calotte		1	
	Ouvverte moyenne à profil simple (type 2)	Hémisphérique	2a	
		Tulipiforme	2b	
	Ouvverte profonde tulipiforme		3O	
	Ouvverte indéterminée		Oindet	
Fermée à profil simple	Sphérique ou ovoïde (type 3F)	Moyenne	3F1	
		Profonde	3F2	
	Piriforme simple		3P	
	Fermée en S		3S	
	Fermée indéterminée		Findet	
Forme carénée	Carène basse (type 2C)	Basse	2C1	
		Moyenne	2C2	
	Ouvverte à carène médiane		1C	
	Fermée à carène médiane		2FC	
	Carénée indéterminée		Cindet	
Forme à ressaut	Moyenne à ressaut haut ouverte ou droite		2R	
	Ressaut indéterminé		Rindet	
Fusaïole			Fusa	
Indéterminée			indet	
Vase à bouche carrée			VBQ	

Figure 256 - Le Clos de Roque, Saint-Maximin-la-Sainte-Baume (83). Typologie des formes céramiques (DAO : C. Lepère).

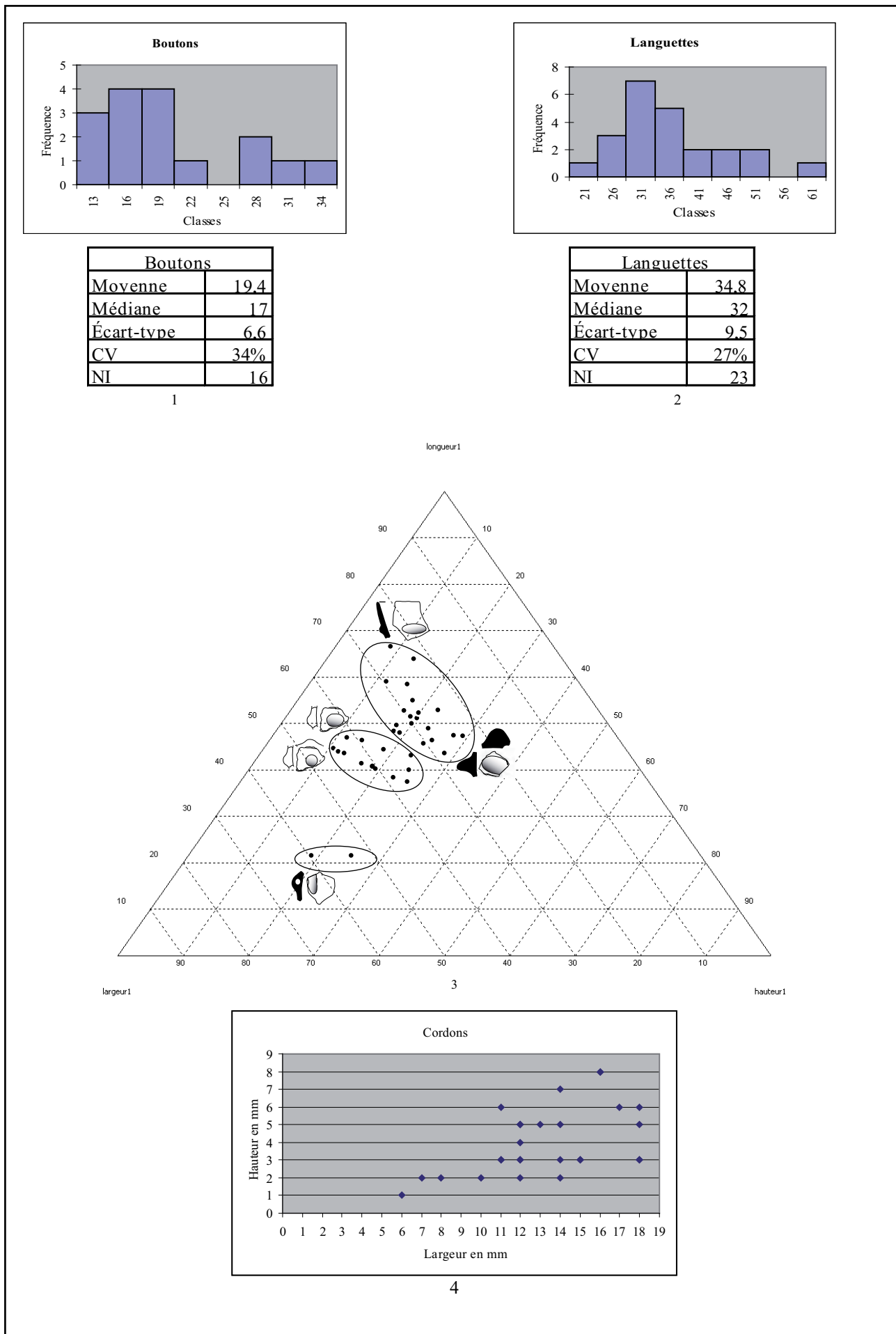


Figure 257 - Le Clos de Roque, Saint-Maximin-la-Sainte-Baume (83). Etude des appendices plastiques. 1, distribution de la longueur des boutons ; 2, distribution de la longueur des languettes ; 3, diagramme triangulaire de distribution des boutons et languettes ; 4, distribution des cordons (DAO : C. Lepère).



Groupes	Type	Code	Illustrations
Perforés verticalement (type 1)	Barrette multiformé verticalement	1a	
	Ressaut ou cordon multiformé	1b	
	Languette uniforée	1c	
Perforés horizontalement	Uniforé	2	
Non perforé	Bouton hémisphérique ou en olive	3a	
	Languette	3b	
	Cordon simple	3c	
	Cordons superposés	3d	
	Bouton ou languette prolongée par un cordon	3e	
Anses	Ruban	4a	
		4b	
Eléments indéterminés	Elément indéterminé	Indet	

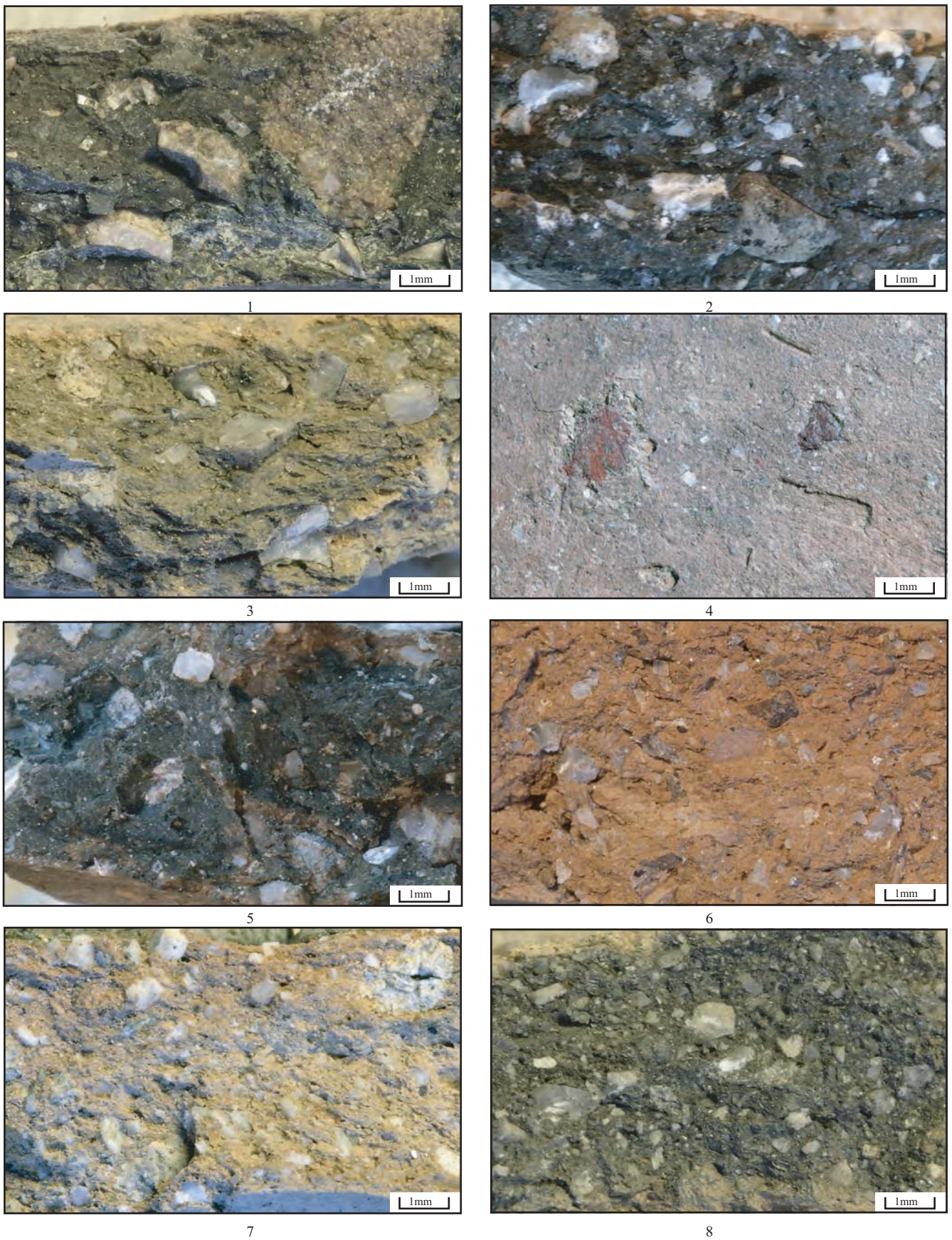
Figure 258 - Le Clos de Roque, Saint-Maximin-la-Sainte-Baume (83). Typologie des appendices plastiques (DAO : C. Lepère).

Type	Inclusion	gran.	quantité	Forme	Autres	Individus
1.2.1	calcite majoritairement et calcaire	fin à moyen	peu	émoussé et anguleuse		76,116,201,208,234
1.2.1b	calcite majoritairement et calcaire	fin à moyen	peu	émoussé et anguleuse	quartz et feldspath rare à peu abondant	168,185,227,231,268
1.2.2	calcite principalement	fin à moyen	moyenne	plutot anguleuse		30,32,37,40,43,44,51-56,64-66,75,90,91,93,94,99,111,126,129,132,137,142,146, 156, 162, 170, 191, 193, 198, 203, 204, 207, 209, 220, 223, 235, 237, 242, 253, 257, 261, 263-266, 143a, 214a, 254a, 264a, 265a, 31a, 85a,
1.2.2a	calcite principalement	fin à moyen	moyenne	plutot anguleuse	éléments argileux rouge émoussés en quantité variable	73, 96, 106, 113, 144, 195, 258, 262
1.2.2b	calcite principalement	fin à moyen	moyenne	plutot anguleuse	quartz et feldspath rare à peu abondant	22,23,27,29,33,36,38,39,42,47,57,63,69,77,81,88,95,110,122-125,135,145,157,159,161,205,213, 221,251,256, 260,267,269,283,47b
1.2.3	calcite principalement	fin à moyen	abondant	plutot anguleuse		4,31,41,46,79,92,100,102,107,109,143,169,172,176,179,180,182,197, 206,215,216,219,240,241,284,295
1.2.3a	calcite principalement	fin à moyen	abondant	plutot anguleuse	éléments argileux rouge émoussés en quantité variable	98,101,103-105,151,174
1.2.3b	calcite principalement	fin à moyen	abondant	plutot anguleuse	quartz et feldspath rare à peu abondant	80,85,98,101,103-105,112,120,121,131,133,151,164, 154,164,165,171,174
1.3.1	calcite principalement	moyen à gros	peu	plutôt émoussé		183,184
1.3.2	calcite principalement	moyen a gros	moyenne	émoussé et anguleuse		6,9,13,17,24,25,34,45,59,83,187,199,217,225,226,243,250,255,49a
1.3.2a	calcite principalement	moyen a gros	moyenne	émoussé et anguleuse	éléments argileux rouge émoussés en quantité variable	173,211
1.3.2b	calcite principalement	moyen a gros	moyenne	émoussé et anguleuse	quartz et feldspath rare à peu abondant	72,188,189,196,211a,233,245
1.3.3	calcite principalement	moyen a gros	abondante	plutôt anguleuse		21,26,28,60,61,74,82,84,97,140,150,152,153,181,194,200,214,224,228,239,248,280-282,296,114a,134a,298a
1.3.3a	calcite principalement	moyen a gros	abondante	plutôt anguleuse	éléments argileux rouge émoussés en quantité variable	115,117,128,130,148
1.3.3b	calcite principalement	moyen a gros	abondante	plutôt anguleuse	quartz et feldspath rare à peu abondant	8,16,35,67,68,70,71,78,118,119,141,147,166,232,249

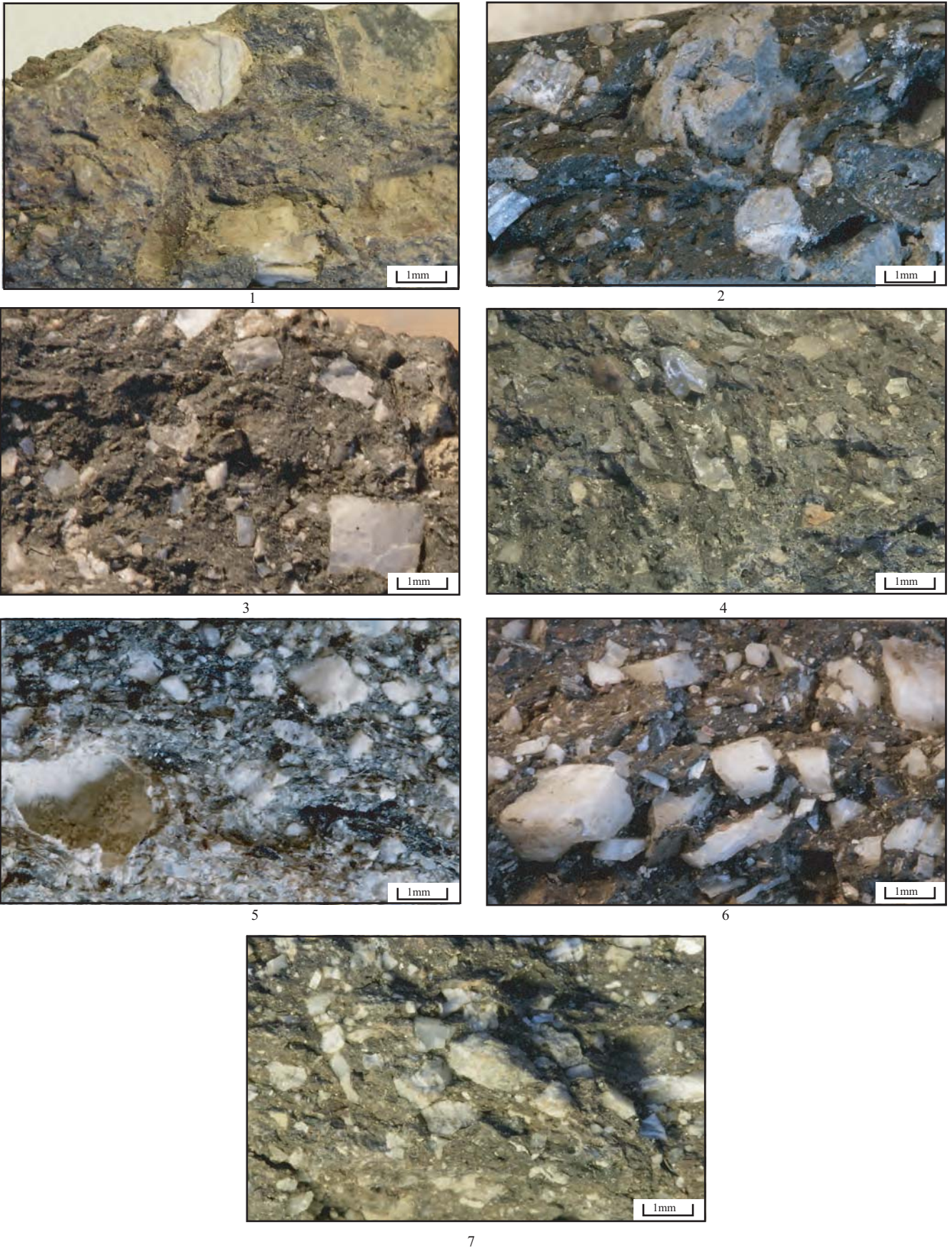
Figure 259 - Le Clos de Roque, Saint-Maximin-la-Sainte-Baume (83). Description des catégories de pâtes (DAO : C. Lepère).

Type	Inclusion	gran.	quantité	Forme	Autres	Individus
2.1.2	felthpath/quartz	fin à moyen	peu	émoussée et anguleuse		177,218,229,290,291
2.2.2	felthpath/quartz	fin à moyen	moyenne	émoussée et anguleuse		2,5,11,12,48,50,50a,50b,87,108,139,149,158,160,163,175,178,186,202,230,238,244,246,254
2.2.3	felthpath/quartz	fin à moyen	abondante	émoussée et anguleuse		1,14,236
2.2.2a	felthpath/quartz	fin à moyen	moyenne	émoussée et anguleuse	calcite fine à moyenne, moyennement abondante	3,7,58,134,167,210,212
2.2.3a	felthpath/quartz	fin à moyen	abondante	émoussée et anguleuse	calcite fine à moyenne, abondante	19,62,86,114,155,222
3.2.2	felthpath/quartz	fin à moyen	abondante	émoussée et anguleuse	muscovite abondante et quelques biotites,	49,136
4.1.1	felthpath/quartz biotite	fin	très rare			127,192
<b>5 (ou 2)</b>	felthpath/quartz	fin à moyen	moyenne	émoussée et anguleuse	biotite et éléments noirs brillants rares	247

**Figure 260** - Le Clos de Roque, Saint-Maximin-la-Sainte-Baume (83). Description des catégories de pâtes (DAO : C. Lepère).



**Figure 261** - Le Clos de Roque, Saint-Maximin-la-Sainte-Baume (83). Exemples de pâtes. 1, type 1.2.1 ; 2 et 3, type 1.2.2 ; 4, type 1.2.2a ; 5 et 6, type 1.2.2b ; 7 et 8, type 1.2.3 (DAO et clichés : C. Lepère).



**Figure 262** - Le Clos de Roque, Saint-Maximin-la-Sainte-Baume (83). Exemples de pâtes. 1, type 1.3.1 ; 2 et 3, type 1.3.2 ; 4, type 1.3.2b ; 5-7, type 1.3.3 (DAO et clichés : C. Lepère).



1



2



3



4



5

**Figure 263** - Le Clos de Roque, Saint-Maximin-la-Sainte-Baume (83). Exemples de pâtes. 1 et 2, type 2.2.1 ; 3, type 2.2.2 ; 4, type 2.2.2 ; 5, type 2.2.3a (DAO et clichés : C. Lepère).



1



2



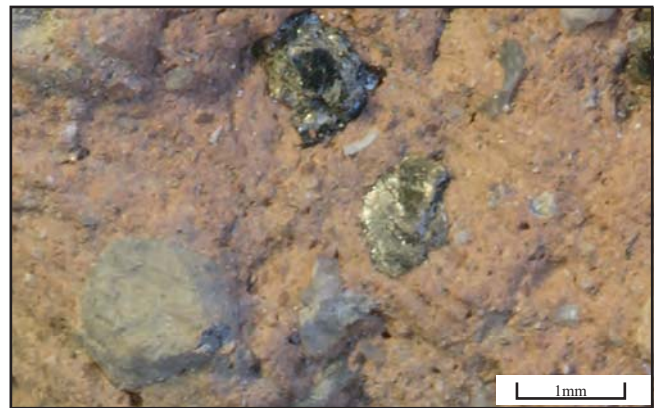
3



4



5

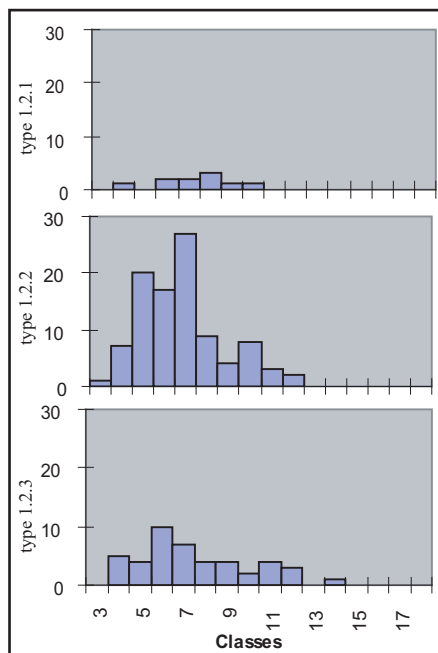


6



7

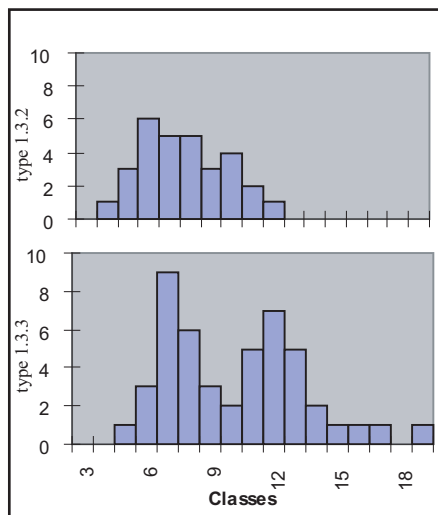
**Figure 264** - Le Clos de Roque, Saint-Maximin-la-Sainte-Baume (83). Exemples de pâtes. 1-3, type 3; 4, type 4; 5, type 5 (DAO et clichés: C. Lepère).



1.2.1	
Moyenne	7,3
Médiane	7,5
Écart-type	1,7
CV	23%
NI	10

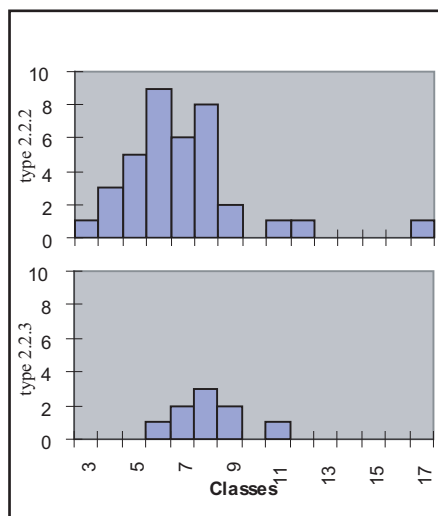
1.2.2	
Moyenne	6,9
Médiane	7
Écart-type	2,6
CV	37%
NI	99

1.2.3	
Moyenne	7,5
Médiane	7
Écart-type	2,6
CV	34%
NI	44



1.3.2	
Moyenne	7,7
Médiane	7,5
Écart-type	2,05
CV	27%
NI	30

1.3.3	
Moyenne	10,2
Médiane	10,0
Écart-type	3,2
CV	32%
NI	47

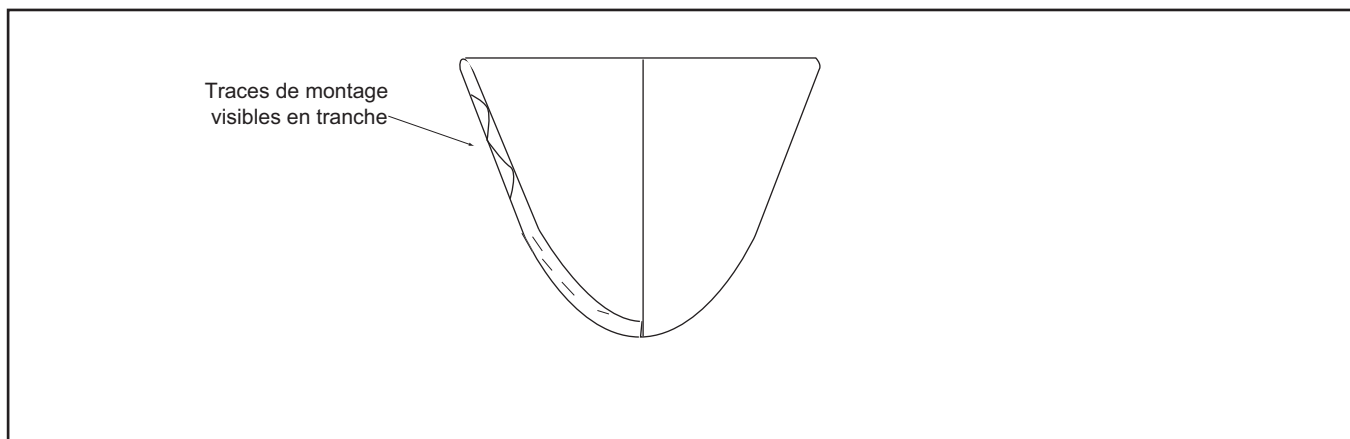


2.2.2	
Moyenne	7,0
Médiane	7
Écart-type	2,5
CV	36%
NI	37

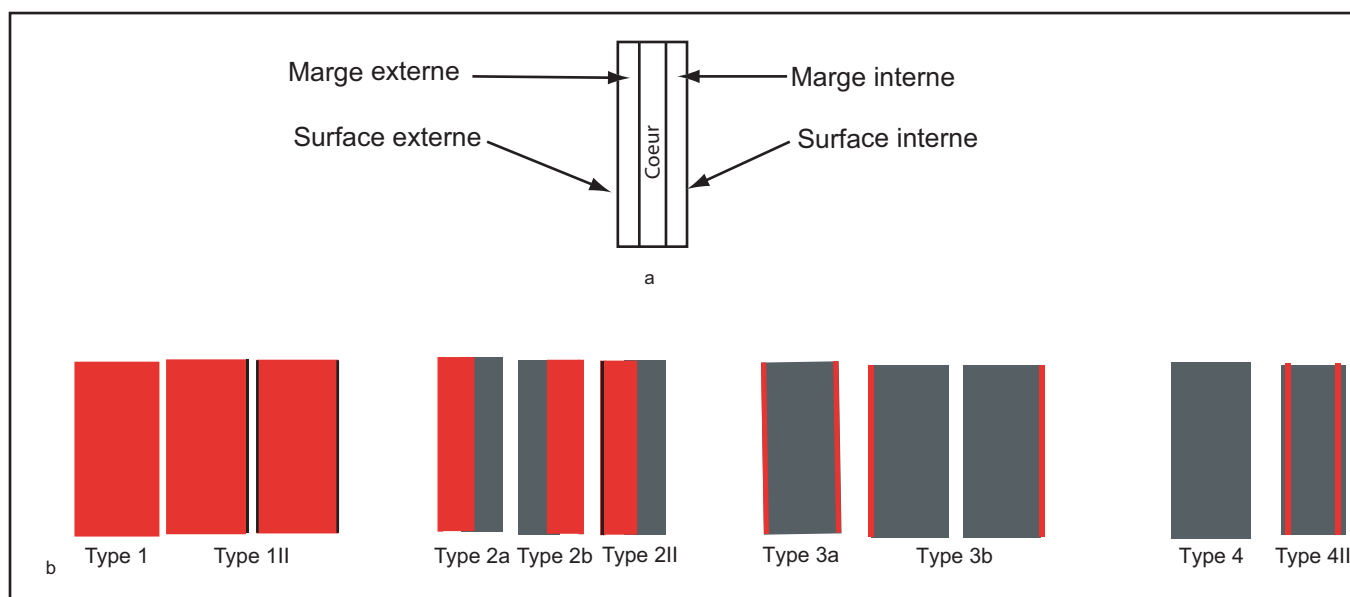
2.2.3	
Moyenne	8,1
Médiane	8
Écart-type	1,4
CV	18%
NI	9

Figure 265 - Le Clos de Roque, Saint-Maximin-la-Sainte-Baume (83). Relation pâtes / épaisseurs (DAO : C. Lepère).





a



b

**Figure 266** - Le Clos de Roque, Saint-Maximin-la-Sainte-Baume (83). a : Lecture des dessins ; b : Caractérisation des types de cuisson. a, système descriptif ; b, différents types de cuisson isolés dans la série (DAO : C. Lepère).

<b>Types Structure</b>	<b>Panse</b>	<b>Bd</b>	<b>Appen</b>	<b>Fd</b>	<b>Décor</b>	<b>Total</b>	<b>Tamis</b>	<b>NMI</b>
<b>1003</b>	15					<b>15</b>	<b>11</b>	
<b>1008</b>	45					<b>45</b>	10	
<b>1010</b>	10					<b>10</b>		
<b>1012</b>	23					<b>23</b>	12	1
<b>1014</b>	10		3		1	<b>14</b>	8	4
<b>1023</b>	6	2	1			<b>9</b>		3
<b>1039</b>	1					<b>1</b>		
<b>1042</b>	5					<b>5</b>	3	
<b>1049</b>	17					<b>17</b>		2
<b>1055</b>	48	3				<b>51</b>	43	3
<b>1062</b>	32	2	1	3	1	<b>39</b>	21	5
<b>total</b>	<b>152</b>	<b>7</b>	<b>5</b>	<b>3</b>	<b>2</b>	<b>169</b>	<b>87</b>	<b>18</b>

**Figure 267** - Le Clos de Roque, Saint-Maximin-la-Sainte-Baume (83). Comptage des restes par type, Zone 1. (Bd=bord ; Appen=appendices plastiques ; Fd=fond ; Tamis=part du total des restes récoltés au tamis) (DAO : C. Lepère).

ST \ Type	Panse	Bd	Appen	Fd	Car.	Décor	Total	Tamis	NMI
2001	3						3		1
2002	8				2		10	7	1
2006	29		1				30	2	2
2007	1						1		
2009	12			1			13		
2012	12						12	11	
2014	22	2	1				25	10	2
2015	1						1		
2021	990	40	6				1036	764	25
2022	2						2		
2023	1						1	1	
2024	1						1		
2031	18						18	9	
2032	163	4	7				174	120	8
2034	1						1		
2040	4	4					8		3
2048	1						1	1	
2049	5						1		
2050	117	11	1				129	64	11
2056	11	1					12	9	
2063	1						1	1	
2067	10						10		
2068	20	3					23		1
2069	2						2		
2071	34	2	3		1		40	3	5
2072	9		1				10		2
2073	175	11	2				188	99	10
2075	35	7			2		44	23	5
2076	6						6		
2078	2		1				3		1
2080	21	4	1		3		29		5
2083	4						4		
2084	1						1		
2085	25	1	1		2		29	21	4
2087	108	3	1		1		113		2
2088	28	3			1		32	10	4
2090	22	2	1				25	6	2
2093	241	11	5	1			258	153	8
2094	39						39		
2096	3151	233	43	32	19		3478	1128	74
2097	3						3		
2101	4						4		
2130	11						11	2	
2139	3						3		
2146	2						2		
2147	2						2		
2149	6						6	4	
2150	1						1		
2153	11						11	2	
2154	9						9	3	
2155	29						29	18	
2164	1						1		

Figure 268a - Le Clos de Roque, Saint-Maximin-la-Sainte-Baume (83). Comptage des restes par type, Zone 2. (Bd=bord ; Appen=appendices plastiques ; Fd=fond ; Tamis=part du total des restes récoltés au tamis) (DAO : C. Lepère).

ST \ Type	Panse	Bd	Appen	Fd	Car.	Décor	Total	Tamis	NMI
2183	1						1	1	
2185	39	1					40	1	
2186	2						2		
2199	29	1					30	29	2
2201	20						20	18	
2205	1						1	1	
2209	11	4					15	1	1
2214		1					1		
2215	38						38		
2224	3	1	1				5		3
2225	26						26	1	
2226	2		1				3	2	1
2227	2						2		
2236	8						8	2	2
2240	55	5	1				61		1
2241	9	2			1		12	1	3
2247	22	2	1				25	8	4
2254	2						2		
2255	4						4		
2256	16						16		
2263	7						7	7	
2264	1						1		
2267	9						9	9	
2271	3						1		
2288	1						1		
2290	4						4		
2308	1						1		
2311	101	6	5		4		116		7
2312	6						6		
2313	1						1	1	
2319	224	18	7	3	3		255	148	9
2320	2						2	2	
2321	1						1		
2323	4						4		
2324	4						4		
2326	43	3					46	25	3
2327	17	1					18		1
2328	157	15	6		2	1	181	13	18
2329	16	1	2				19		2
2330	7						7		
2333			1				1		
2337	31	1					32	10	
2338	8	3					2		2
fs03	1						1		
fs16	4						4		1
fs18	34	1					35		1
fs21	43	4	7				54		7
fs23	84	12	1		4		101		10
fs28	2	1	1				4		1
fs31	16		1				17		
fs36	9	1					10		1
fs37					2		2		1
fs39	3						3		
fs4	56	3	1				60		4
fs9	13						13		
HS	11	3		1			15		1
<b>Total</b>	<b>6632</b>	<b>432</b>	<b>111</b>	<b>38</b>	<b>47</b>	<b>1</b>	<b>7246</b>	<b>2751</b>	<b>262</b>

Figure 268b - Le Clos de Roque, Saint-Maximin-la-Sainte-Baume (83). Comptage des restes par type, Zone 2 (suite ; totaux des 2 tableaux). (Bd=bord ; Appen=appendices plastiques ; Fd=fond ; Tamis=part du total des restes récoltés au tamis) (DAO : C. Lepère).

ST	US	Ct	Bd	Appen	Fd	Car.	Total	NMI
2093	1	127	6	1			134	1
2093	2	22					22	
2093	3	71	5	3	1		80	6
2093	5	19		1			20	1
2093	6	3					3	
2096	1	816	55	8		5	884	11
2096	2	310	29	1		4	344	11
2096	3	7					7	1
2096	4	493	22	5			520	5
2096	5	47	5				52	3
2096	6	23	1	1			25	
2096	7	139	19	1			159	6
2096	8	15					15	
2096	9	489	34	6		3	532	13
2096	10	18	3	2			23	1
2096	12a13	7	1			1	9	2
2096	13	3					3	
2096	14	100	6	4		5	115	3
2096	15	653	48	14	31		746	15
2096	16	30	2	1		1	34	3
2247		2					2	
2247	3	12	2	1			15	5
2247	4	8					8	
2319	surface	149	1			1	151	4
2319	1	33	4	4	3		44	3
2319	3	42	13	3		2	60	2
2328	1	31	5	3		1	8	5
2328	2	18		1			19	1
2328		54	4				46	7
2328	6	48	3	2		1	54	5

Figure 269 - Le Clos de Roque, Saint-Maximin-la-Sainte-Baume (83). Inventaire du mobilier par unité stratigraphique (DAO : C. Lepère).

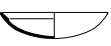




















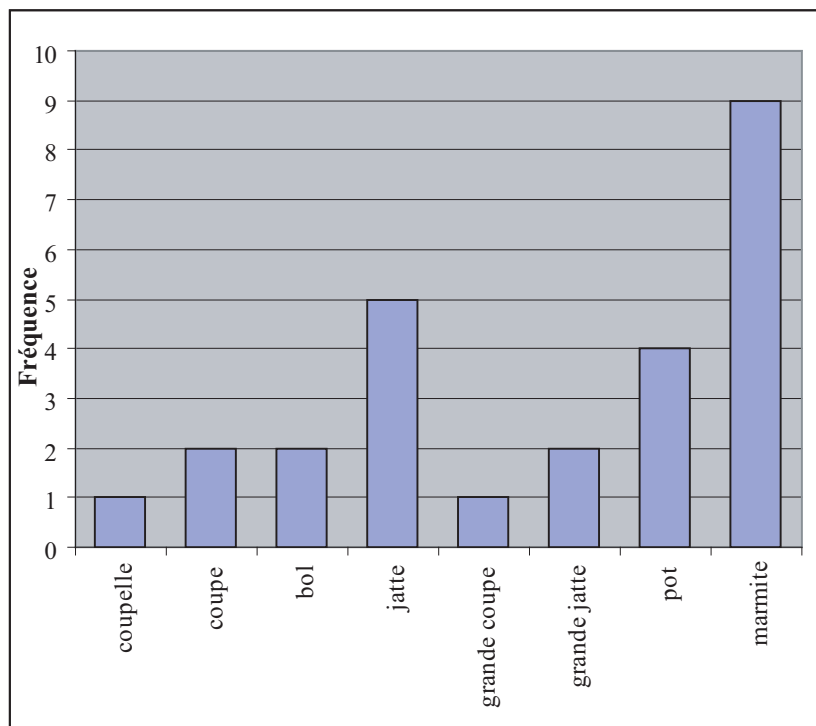
	US													Total
	Formes	US-1	US-2	US-3	US-4	US-5	US-7	US-9	US-10	US-12	US-14	US-15	US-16	
Formes	vernicé	1												1
	1R 							1						1
	1 	1			2	2	1	2						8
	2O 	1	2				2				1	1		7
	3O 											1		1
	Oindet 							1						1
	3F2 	1	1					1	1			3	2	9
	3P 		1									4		5
	3S 		1				1				2	1		5
	Findet 	1												1
	2C1 	1												1
	2FC 		1					1				1		3
	2R 	1						1		1				3
	Cindet 		1		1									2
	Rindet 	1	3											4
	Fusaiole 				1									1
	indet	3	2	1	2		2	6		1		4	1	22
<b>Total</b>	<b>11</b>	<b>12</b>	<b>1</b>	<b>6</b>	<b>2</b>	<b>6</b>	<b>13</b>	<b>1</b>	<b>2</b>	<b>3</b>	<b>15</b>	<b>3</b>	<b>75</b>	
Appendices	1a 										1	1	2	
	1c 		1								3	6	1	11
	2 											3		3
	3a 	1					1	3				1		6
	3b 	1					1	3				2		7
	3c 	1						1						2
	indet	1										1		2
	<b>Total</b>	<b>4</b>	<b>1</b>				<b>2</b>	<b>7</b>			<b>4</b>	<b>14</b>	<b>1</b>	<b>33</b>

Figure 270 - Le Clos de Roque, Saint-Maximin-la-Sainte-Baume (83). Distribution des éléments typologiques (formes et appendices) par US, structure 2096 (DAO : C. Lepère).



Formats \ US	US										Total
	1	2	4	7	9	10	13	14	15		
Coupelle					1						1
Coupe	1		1								2
Bol		1		1							2
Jatte	1	1					1	1	1		5
Grande coupe					1						1
Grande jatte		1							1		2
Pot		2				1		1			4
Marmite	1				1				7		9

a

Appendice	Type de vase	Position	US-1	US-2	US-7	US-14	US-15	Total
1a	3S	Diamètre maximum					1	
1c	3S	Diamètre maximum ou bord		1		2	1	
1c	3F2	Bord					1	
1c	2O	Diamètre maximum				1		
1c	3P	Bord					1	
2	3F2	Diamètre maximum					3	
3a	3O	Bord	1				1	
3a	3S	Bord			1			
3b	3P	Bord					2	
3b	2R	Rupture de pente			1			
<b>b Total</b>			<b>1</b>	<b>1</b>	<b>2</b>	<b>3</b>	<b>10</b>	

Figure 271 - Le Clos de Roque, Saint-Maximin-la-Sainte-Baume (83). a : Distribution des formats, ST2096 ; b : Relation formes/appendices, ST2096 (DAO : C. Lepère).





Montages / Formes	CB	CBE	CBI	CBICBE	CC	CS	bd-Cindet
type - 1			2				1
type - 2O	2		1	1			1
type - 3O	1						
type - 3F2	4						
type - 3P	2	1				1	
type - 3S	2						
type - Findet	1						
type - 2C					1		
type - 2FC			1				
type - Cindet							
type - Rindet			1				
type - indet	2						1

1













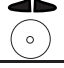
US / Montages	CB	CBE	CBI	CBICBE	CC	CS	bd-Cindet
US - 1	1				1		
US - 2		1	1				1
US - 3	1						
US - 4			1				
US - 5			1				1
US - 7	1		1				1
US - 9	1		1				
US - 12 a 14							
US - 14	1						
US - 15	8			1		1	

2

Pâtes / Montages	CB	CBE	CBI	CBICBE	CC	CS	bd-Cindet
1.2.1b			1				
1.2.2, 1.2.2a ou b	3		2		1		1
1.2.3							1
1.3.2	2			1			1
1.3.3b	3	1	1				
2.2.2	3		1			1	
2.2.3	2						

3

Figure 273 - Le Clos de Roque, Saint-Maximin-la-Sainte-Baume (83). Distribution des méthodes de montage. 1, par forme ; 2, par US ; 3, par pâte (les sous-types a, b ont été regroupées) ; CB (colombins battus) ; CBE (colombins en biseau externe) ; CBI (colombins en biseau interne) ; CBICBE (colombins en biseau interne puis externe) ; CC (colombins en C) ; CS, colombins en S) ; Cindet (colombins indéterminés) (DAO : C. Lepère).

Formes	Surface	au moins brunie	lissage
1		3	1
2O		4	2
3O		1	
Oindet		1	
3P		2	1
3S		2	3
3F2		2	3
Findet			1
2FC		2	
2R		1	
Cindet		1	
Rindet		4	
fusaiole		1	
indet		4	1

1







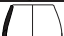



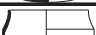




US	Surface	au moins brunie	lissage
US - 1		3	1
US - 2		6	1
US - 4		3	1
US - 5			
US - 7		3	1
US - 9		5	
US - 12 a 14		1	
US - 14		1	2
US - 15		5	5
US - 16			1

2

Pâtes	Surface	au moins brunie	lissage
1.2.1b		2	
1.2.2		8	3
1.2.3		2	
1.3.2		4	3
1.3.3			3
2.1.2		1	
2.2.2		7	1
2.2.3		2	1
5 ou 2			1

3

Figure 274 - Le Clos de Roque, Saint-Maximin-la-Sainte-Baume (83). Distribution des traitements de surface externe, ST2096. 1, par forme ; 2, par US ; 3, par pâte (DAO : C. Lepère).

Cuissons / Formes		Oxydante				Réductrice			
		type 1	type 1II	type 2	type 2II	type 3a	type 3b	type 4	type 4II
1		1	2		3			2	
1R								1	
2O		1					3	3	
3O							1		
Oindet			1						
3F2							1	6	2
3P			1					3	
3S		2						3	
Findet							1		
2C								1	
2FC			1					1	1
2R			1			1		1	
Cindet			1						
Rindet			2		1			1	
fusaiole								1	
indet		3	1	1	1			12	1
<b>Total</b>		<b>7</b>	<b>10</b>	<b>1</b>	<b>5</b>	<b>1</b>	<b>6</b>	<b>35</b>	<b>4</b>

1

Cuissons / Pâtes	type 1	type 1II	type 2	type 2II	type 3a et b	type 4	type 4II
1.2.1b		1			1	1	
1.2.2	2	4	1	2	1	8	2
1.2.3	1	1				4	
1.3.2	2			1	2	7	
1.3.3	1			1		5	1
2.1.2		1				1	
2.2.2		2		1	2	6	1
2.2.3		1			1	3	
5 ou 2	1						

2

Figure 275 - Le Clos de Roque, Saint-Maximin-la-Sainte-Baume (83). Distribution des cuissons, ST2096. 1, par forme ; 2, par pâte (DAO : C. Lepère).

Type	Pâte	Montage	Surface	Cuisson
1	5 ou 2	Cindet	lissage	1
2	1.2.	CB	lissage	1
3	1.2.	CB	raclage/lissage	3b ou 4
4	1.2.	CB	au moins brun	3b ou 4
5	1.2.	CBI	lissage	1
6	1.2.	CBI	au moins brun	3b ou 4
7	1.2.	CBI	au moins brun	1II
8	1.2.	CC	lissage	3b ou 4
9	1.2.	Cindet	lissage	2II
10	1.3.3	CB	lissage	1
10a	1.3.2	Cindet	lissage	1
11	1.3.3	CB	lissage	3b ou 4
11a	1.3.2	CB	lissage	3b ou 4
12	1.3.3	CB	lissage	4II
13	1.3.3	CBE	lissage	3b ou 4
14	1.3.3	CBI	raclage/lissage	2II
15	1.3.2	CBICBE	lissage	3b ou 4
16	1.3.2	CB	au moins brun	1
17	1.3.2	Cindet	au moins brun	2II
18	2.2	CB	au moins brun	3b ou 4
19	2.2	CB	lissage	3b ou 4
20	2.2	CB ou battage	lissage	4II
21	2.2	CBI	au moins brun	3b ou 4
22	2.2	CS	au moins brun	1II

Figure 276 - Le Clos de Roque, Saint-Maximin-la-Sainte-Baume (83). Définition des groupes techniques, ST2096 (DAO : C. Lepère).



Types	Structures	ST - 1014	ST - 1023	ST - 1062	ST - 2006	ST - 2014	ST - 2021	ST - 2032	ST - 2050	ST - 2071	ST - 2072	ST - 2073	ST - 2075	ST - 2078	ST - 2080	ST - 2085	ST - 2087	ST - 2088	ST - 2090	ST - 2093	ST - 2224	ST - 2226	ST - 2237	ST - 2247	ST - 2311	ST - 2319	ST - 2326	ST - 2328	ST - 2329	ST - fs21	ST - fs28	ST - fs4	
		type 1b		1																													
type 2																		1															
type 3a							3	2	1						1										1			1				1	
type 3b				1	1			3			1		1			1	1	1	1	1				1	2				2		1		1
type 3c		1		1		1	2	1	1	1		3		1	1					5				1			2		1	2	2		
type 3d										1																							
type 3e							1			1											1												
type 4a																					1	1				4							
type 4c		1			1																												
<b>Total</b>		2	1	2	2	1	7	6	2	3	1	3	1	1	2	1	1	2	1	7	1	1	1	2	3	6	1	4	2	3	1	1	

1

Positions	Structures	ST - 1023	ST - 1062	ST - 2006	ST - 2021	ST - 2050	ST - 2075	ST - 2080	ST - 2087	ST - 2088	ST - 2093	ST - 2247	ST - 2311	ST - 2319	ST - 2326	ST - 2328	ST - 2329
		bord			1	1	3	1	1		1	1	2	1	1	3	1
rupture de pente		1						1					1				
opposés par 2														2			
simple		1									1			1			
<b>Total</b>		2	1	1	3	1	1	1	1	1	3	1	2	6	1	2	1

2

Figure 278 - Le Clos de Roque, Saint-Maximin-la-Sainte-Baume (83). Distribution des appendices plastique par structures. 1, par type ; par position et disposition (DAO : C. Lepère).

ST	Pâtes
1.2.1	ST - 1012
1.2.1b	ST - 1014
1.2.2	ST - 1023
1.2.2a	ST - 1049
1.2.2b	ST - 1055
1.2.3	ST - 1062
1.2.3a	ST - 2001
1.2.3b	ST - 2002
1.3.1	ST - 2006
1.3.2	ST - 2014
1.3.2a	ST - 2021
1.3.2b	ST - 2032
1.3.3	ST - 2040
1.3.3a	ST - 2050
1.3.3b	ST - 2068
2.1.2	ST - 2071
2.2.2	ST - 2072
2.2.2a	ST - 2073
2.2.3a	ST - 2075
3.2.2	ST - 2078
4.1.1	ST - 2080
	ST - 2085
	ST - 2087
	ST - 2088
	ST - 2090
	ST - 2093
	ST - 2199
	ST - 2209
	ST - 2224
	ST - 2226
	ST - 2236
	ST - 2237
	ST - 2240
	ST - 2241a
	ST - 2241b
	ST - 2247
	ST - 2311
	ST - 2319
	ST - 2326
	ST - 2327
	ST - 2328
	ST - 2329
	ST - 2338
	ST - HS
	ST - fs16
	ST - fs18
	ST - fs21
	ST - fs28
	ST - fs36
	ST - fs37
	ST - fs4

Figure 279 - Le Clos de Roque, Saint-Maximin-la-Sainte-Baume (83). Distribution des types de pâtes par structures (DAO : C. Lepère).












Montages	Structures	ST - 1023	ST - 2001	ST - 2002	ST - 2014	ST - 2021	ST - 2032	ST - 2050	ST - 2071	ST - 2075	ST - 2080	ST - 2087	ST - 2088	ST - 2093	ST - 2224	ST - 2237	ST - 2241a	ST - 2241b	ST - 2247	ST - 2311	ST - 2319	ST - 2326	ST - 2328	ST - 2329	ST - HS	ST - fs21
			1			2	1	3	1						1	1	1	1					1			
codage montage bord - CB					1	2												1								
codage montage bord - CBE						1					1	1	1						1							
codage montage bord - CBI																										
codage montage bord - CBICBE																										
codage montage bord - CBICS					1							1														
codage montage bord - CC																										2
codage montage bord - CS		1						3	1																	
codage montage bord - Cindet					1	3								1												
codage montage bord - Cn						1																				
codage montage bord - CnCC									1																	
codage montage bord - percussion		1																								

Figure 280 - Le Clos de Roque, Saint-Maximin-la-Sainte-Baume (83). Distribution des méthodes de montage par structures (DAO : C. Lepère).








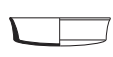


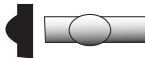







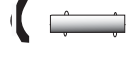



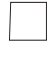
Structures / Critères		Phase 3										Phase 2				Phase 1		
		ST-2021	ST-1062	ST-2328	ST-2071	ST-2050	ST-2237	ST-2241	ST-1014	ST-2311 et 2093	ST-2006	ST-fs18	ST-2096	ST-1023	ST-2088	fs23	ST-2226	ST-2224
type-1C																		
3e																		
type-décor																		
type-2C2																		
3c																		
type-3F1																		
3d																		
4b																		
type-Rindet																		
type-2C1																		
type-3P																		
type-2FC																		
1c et 1a																		
2																		
1b																		
type-3S																		
type-2R																		
4a																		
type-VBQ																		

Figure 282 - Le Clos de Roque, Saint-Maximin-la-Sainte-Baume (83). Partition des occupations (DAO : C. Lepère).

Caractères spécifiques	Phases		
	phase - 1	phase - 2	phase - 3
type - VBO	2		
type appendice - 4b	6		
type - 3P		5	
type - 3S		7	
type - 2R		6	
type - 2FC		3	
type - fusaiole		2	
type appendice - 1a et 1c		2	
type appendice - 1b		1	
type appendice - 1c		10	
type appendice - 2		4	
type -2C1		1	
type de pâte - 5 ou 2		1	
type cuisson - 2		2	
type cuisson - 2II		5	
codage montage bord/panse - moulage		1	
codage montage bord/panse - percussion		1	
codage montage bord/panse - CBICS			1
codage montage bord/panse - Cn			1
Martelage			1
type de pâte - 3.2.2			1
type de pâte - 4.1.1			1
type - 1C			1
type - 3F1			3
type - décor			3
type appendice - 3e			3
type appendice - 4a			2
type - 2C2			1

Figure 283 - Le Clos de Roque, Saint-Maximin-la-Sainte-Baume (83). Tableau croisé des phases et caractères spécifiques (DAO : C. Lepère).

Formes et appendices	segmentation externe	ouverte simple	fermée simple	type appendice - 3a	type appendice - 3b	type appendice - 3c
phase - 2	(+) **	(-) NS	(+) NS	(-) NS	(+) NS	(-) ***
phase - 3	(-) **	(+) NS	(-) NS	(+) NS	(-) NS	(+) ***

(+) : effectif observé supérieur à l'effectif théorique

(-) : effectif observé inférieur à l'effectif théorique

NS : test du Khi<sup>2</sup> par case non significatif au seuil alpha=0,100

\*\* : test du Khi<sup>2</sup> par case significatif au seuil alpha=0,050

\*\*\* : test du Khi<sup>2</sup> par case significatif au seuil alpha=0,010

1

Cuissons	oxydante	reductrice	Traitement à chaud
phase - 2	(+) *	(-) ***	(+) *
phase - 3	(-) *	(+) ***	(-) *

(+) : effectif observé supérieur à l'effectif théorique

(-) : effectif observé inférieur à l'effectif théorique

\* : test du Khi<sup>2</sup> par case significatif au seuil alpha=0,100

\*\*\* : test du Khi<sup>2</sup> par case significatif au seuil alpha=0,010

2

Surfaces	Brunissage	Lissage	indet
phase - 2	(+) **	(-) NS	(-) NS
phase - 3	(-) **	(+) NS	(+) NS

(+) : effectif observé supérieur à l'effectif théorique

(-) : effectif observé inférieur à l'effectif théorique

NS : test du Khi<sup>2</sup> par case non significatif au seuil alpha=0,100

\*\* : test du Khi<sup>2</sup> par case significatif au seuil alpha=0,050

3

**Figure 284** - Le Clos de Roque, Saint-Maximin-la-Sainte-Baume (83). Test du khi<sup>2</sup> (résultats khi<sup>2</sup> par case) comparant les phases 2 et 3. 1, Formes et appendices ; 2, cuissons ; 3, traitements de surface (DAO : C. Lepère).

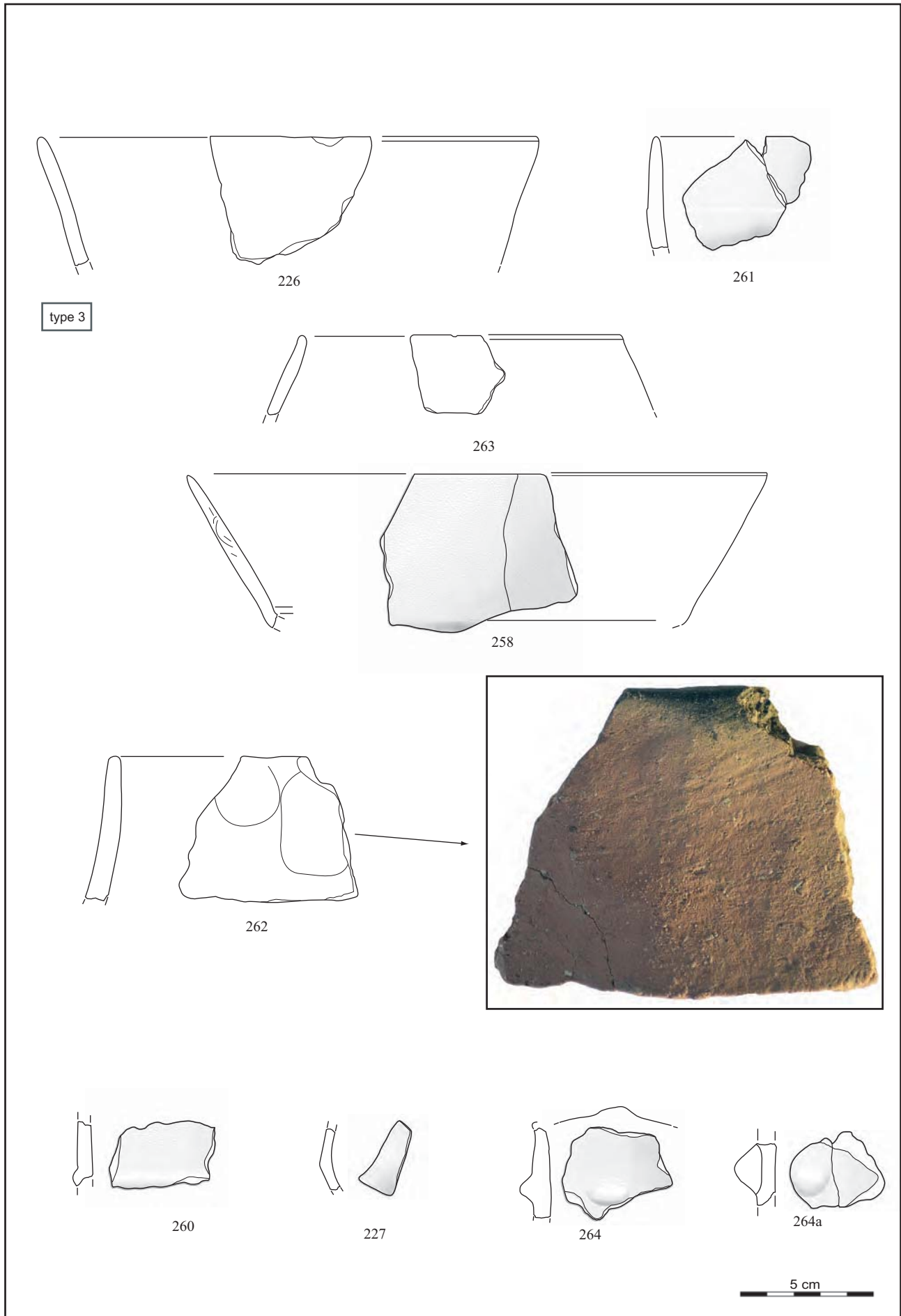


Figure 285 - Le Clos de Roque, Saint-Maximin-la-Sainte-Baume (83). Matériel céramique, structure 2096, US 1 (DAO et dessins : C. Lepère).

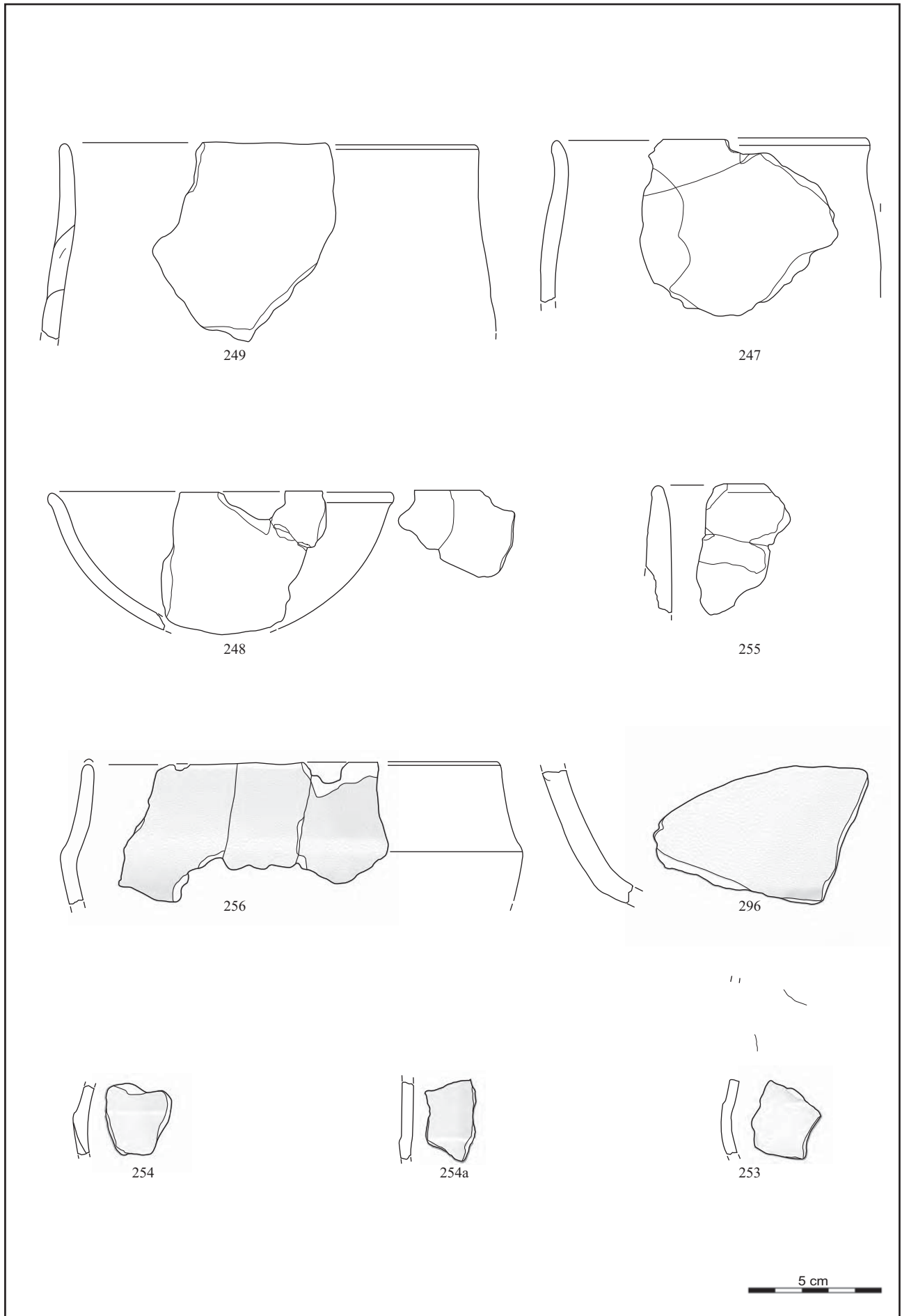


Figure 286 - Le Clos de Roque, Saint-Maximin-la-Sainte-Baume (83). Matériel céramique, structure 2096, US 2 (DAO et dessins : C. Lepère).

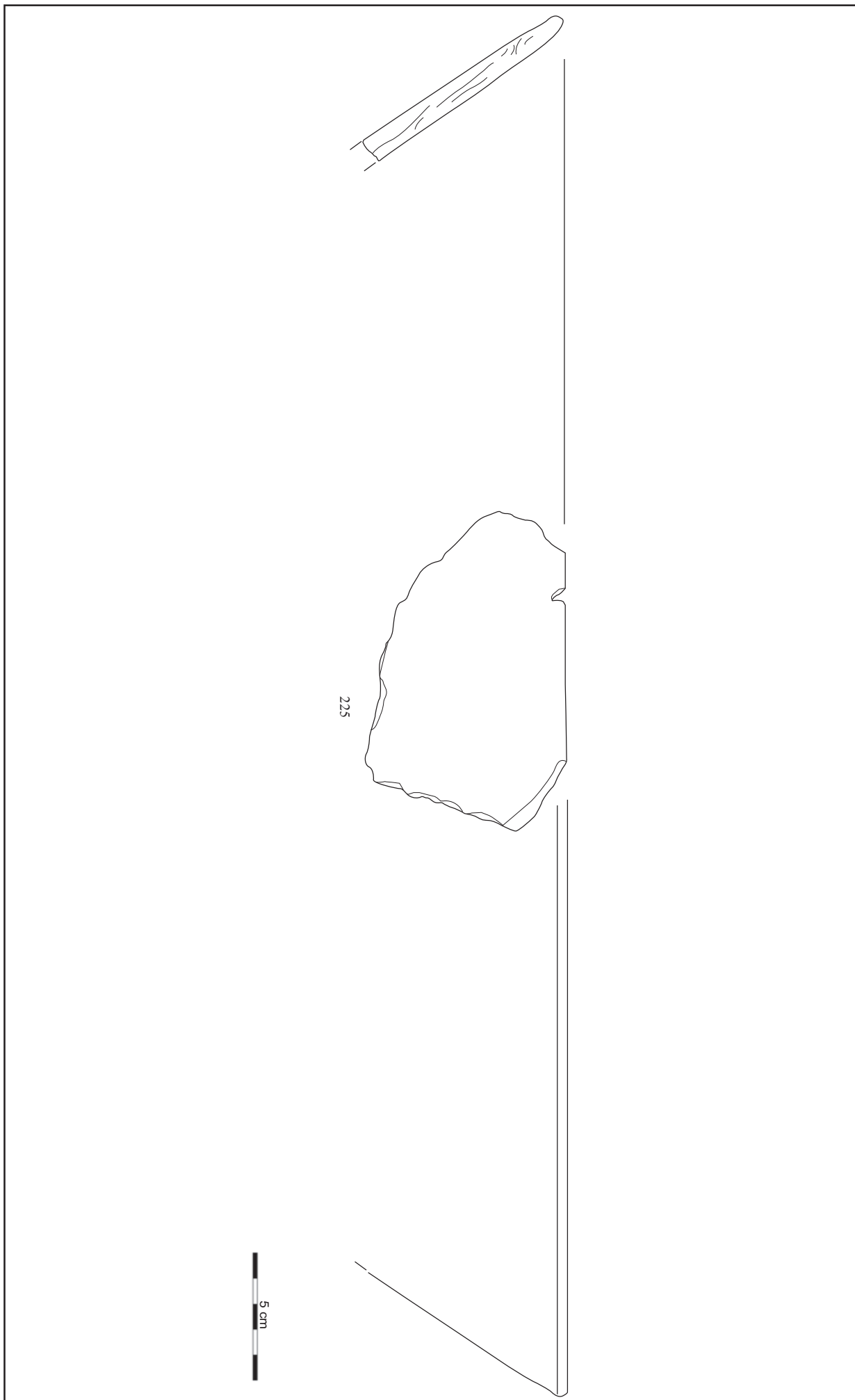
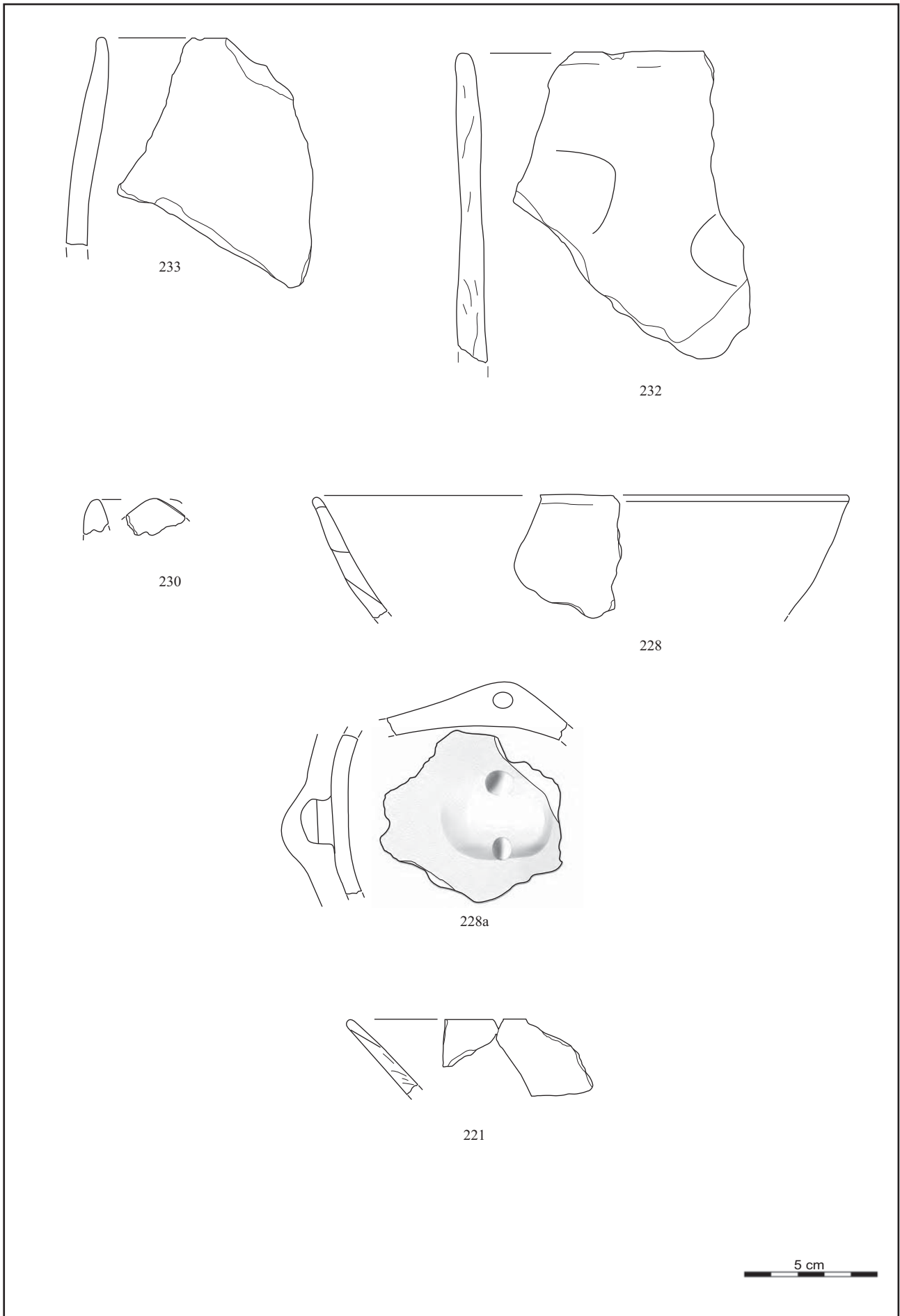
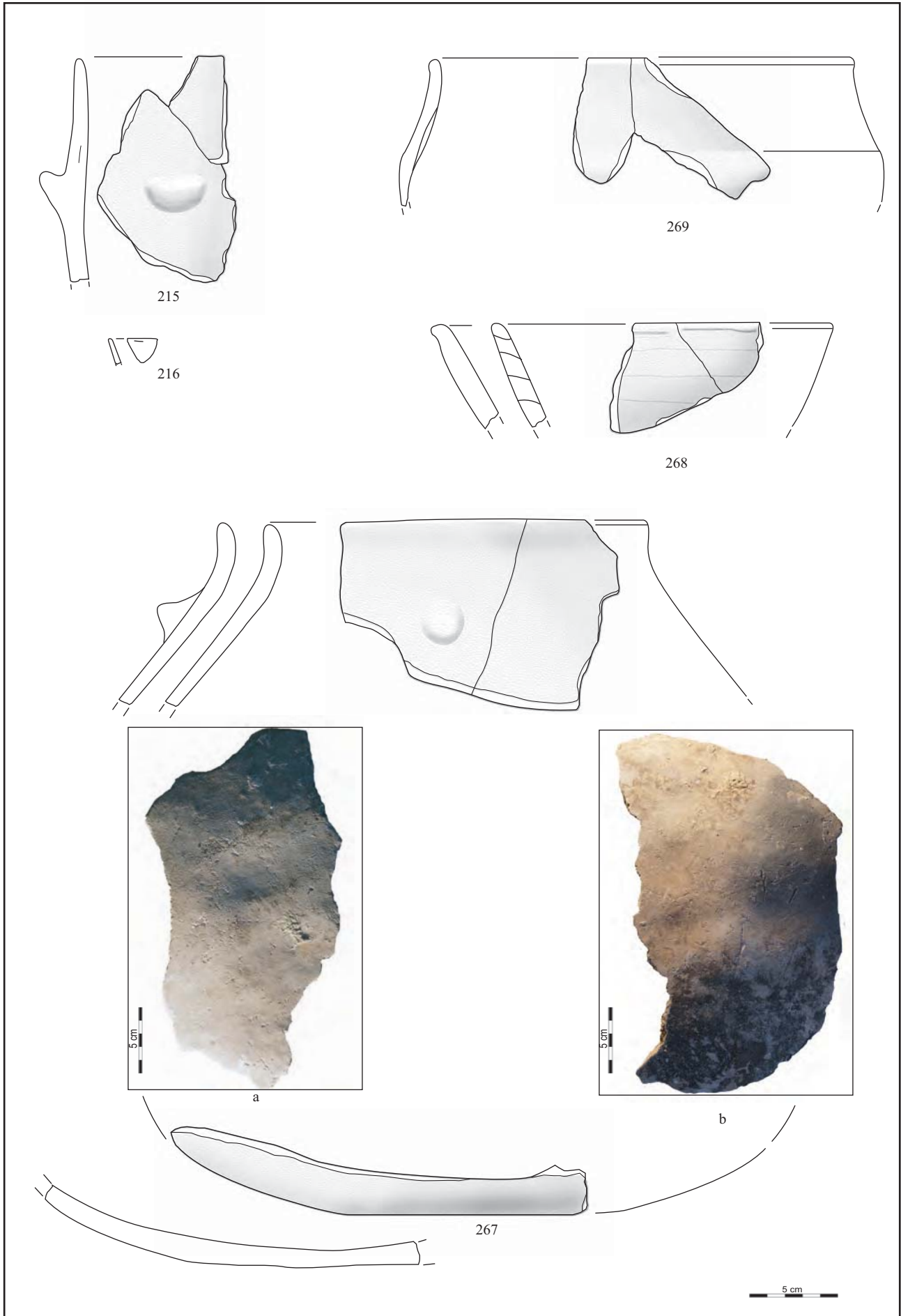


Figure 287 - Le Clos de Roque, Saint-Maximin-la-Sainte-Baume (83). Matériel céramique, structure 2096, US 2 (DAO et dessins : C. Lepère).  
Paléotime 2012

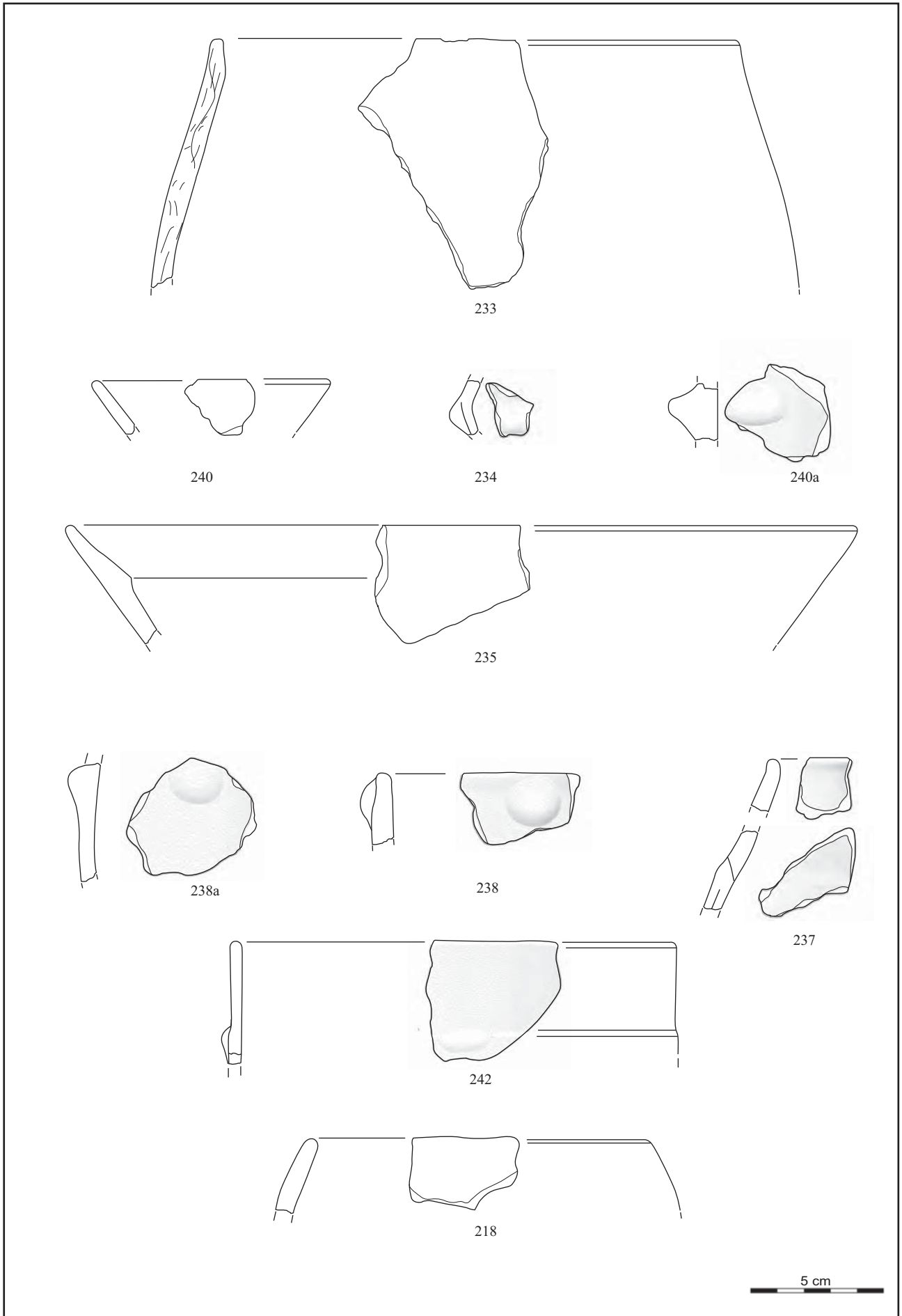


**Figure 288** - Le Clos de Roque, Saint-Maximin-la-Sainte-Baume (83). Matériel céramique, structure 2096, US 3 à 5. 232-233, US 3 ; 228, 228, 230, US 4 ; 221, US 5 (DAO et dessins : C. Lepère).

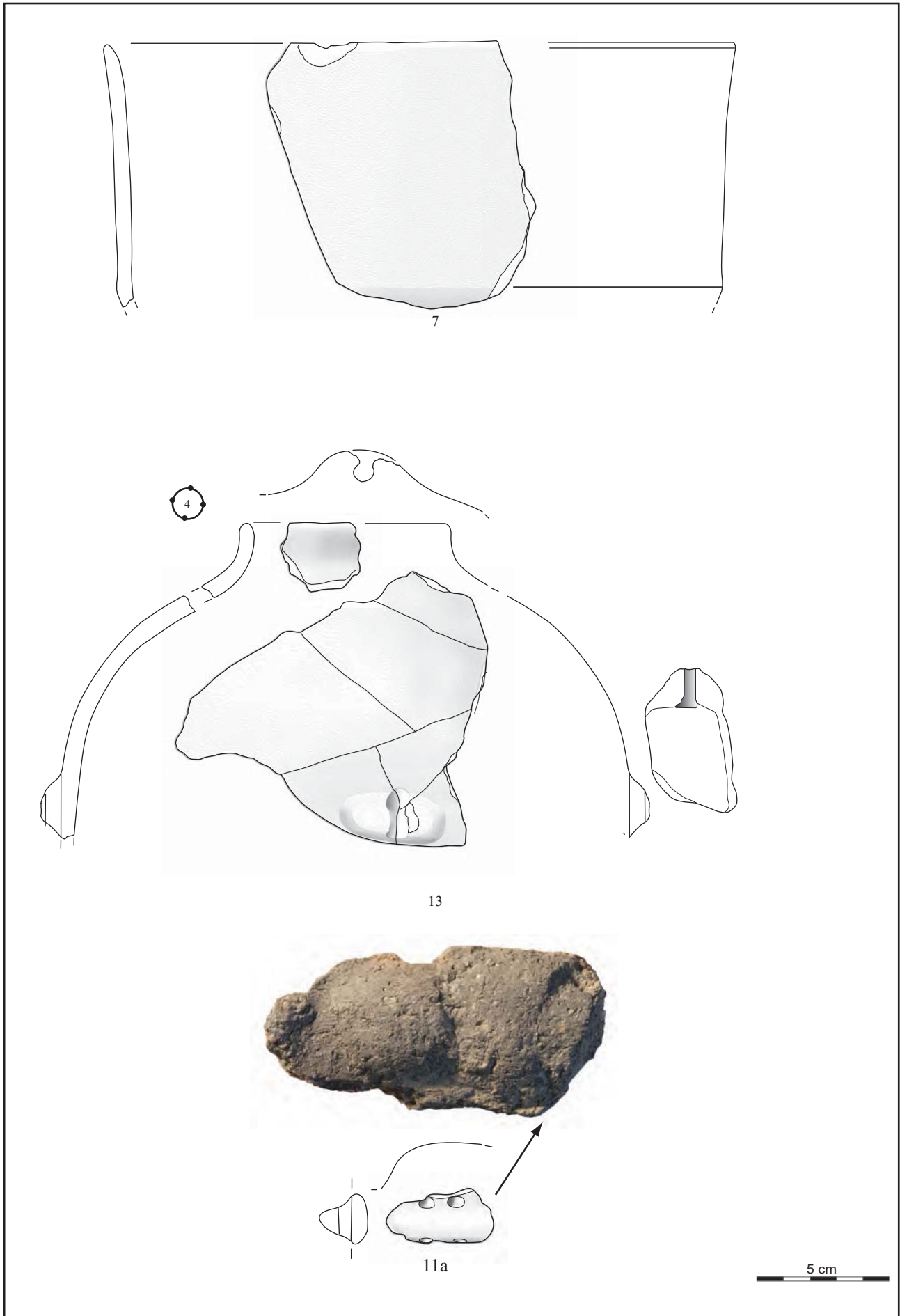




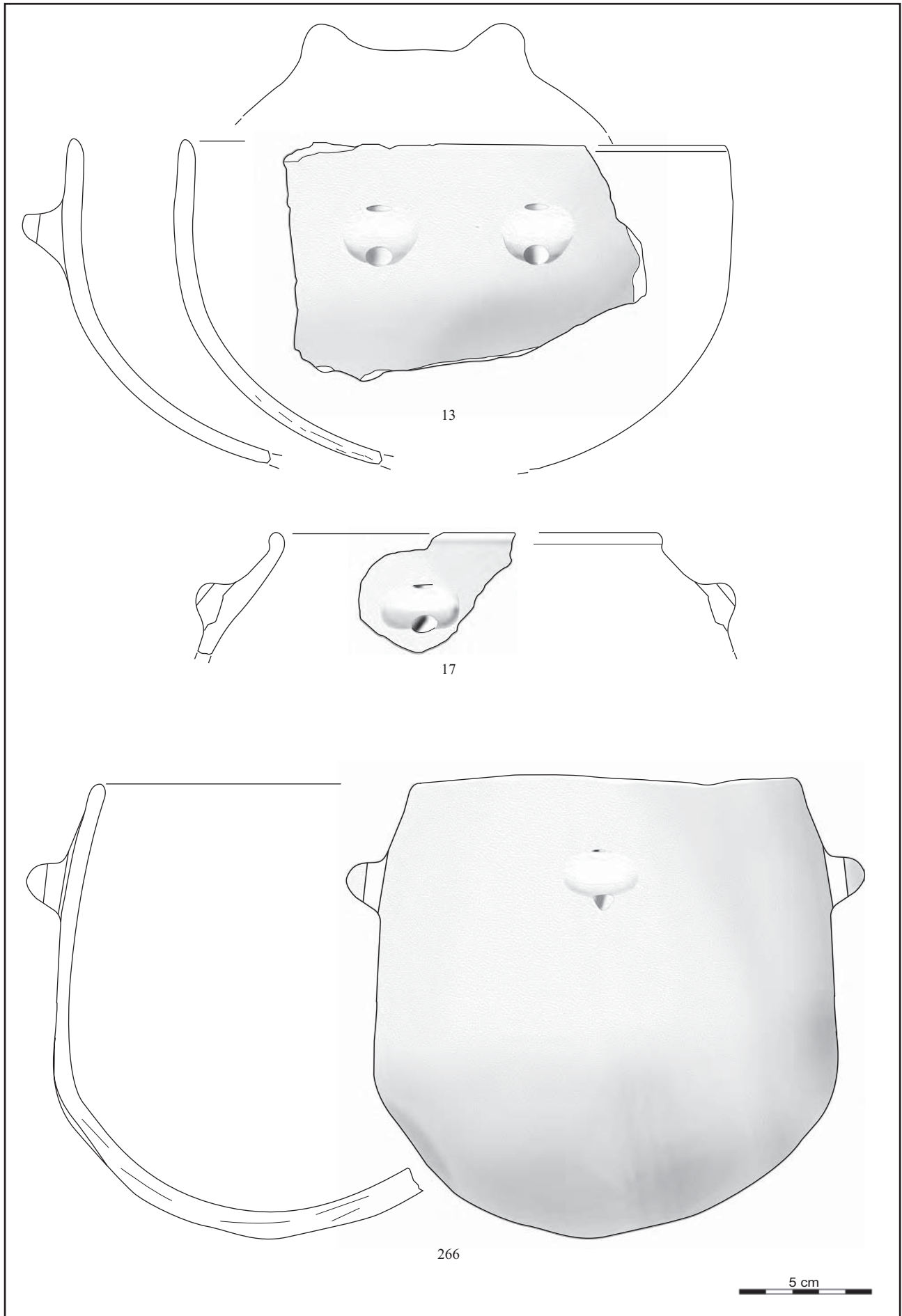
**Figure 289** - Le Clos de Roque, Saint-Maximin-la-Sainte-Baume (83). Matériel céramique, structure 2096, US 7. a, traces de contrebattes sur la panse du récipient ; b, petites concavités répétées sur la base (DAO et dessins : C. Lepère).



**Figure 290** - Le Clos de Roque, Saint-Maximin-la-Sainte-Baume (83). Matériel céramique, structure 2096, US 9 et 10. 233-235, 237-240, US 9 ; 218, US 10 (DAO et dessins : C. Lepère).



**Figure 291** - Le Clos de Roque, Saint-Maximin-la-Sainte-Baume (83). Matériel céramique, structure 2096, US 13 et 14. 2, US 13 ou 14 ; 13 et US 14 (DAO et dessins : C. Lepère).



**Figure 292** - Le Clos de Roque, Saint-Maximin-la-Sainte-Baume (83). Matériel céramique, structure 2096, US 14 et 15 (n° 266) (DAO et dessins : C. Lepère).

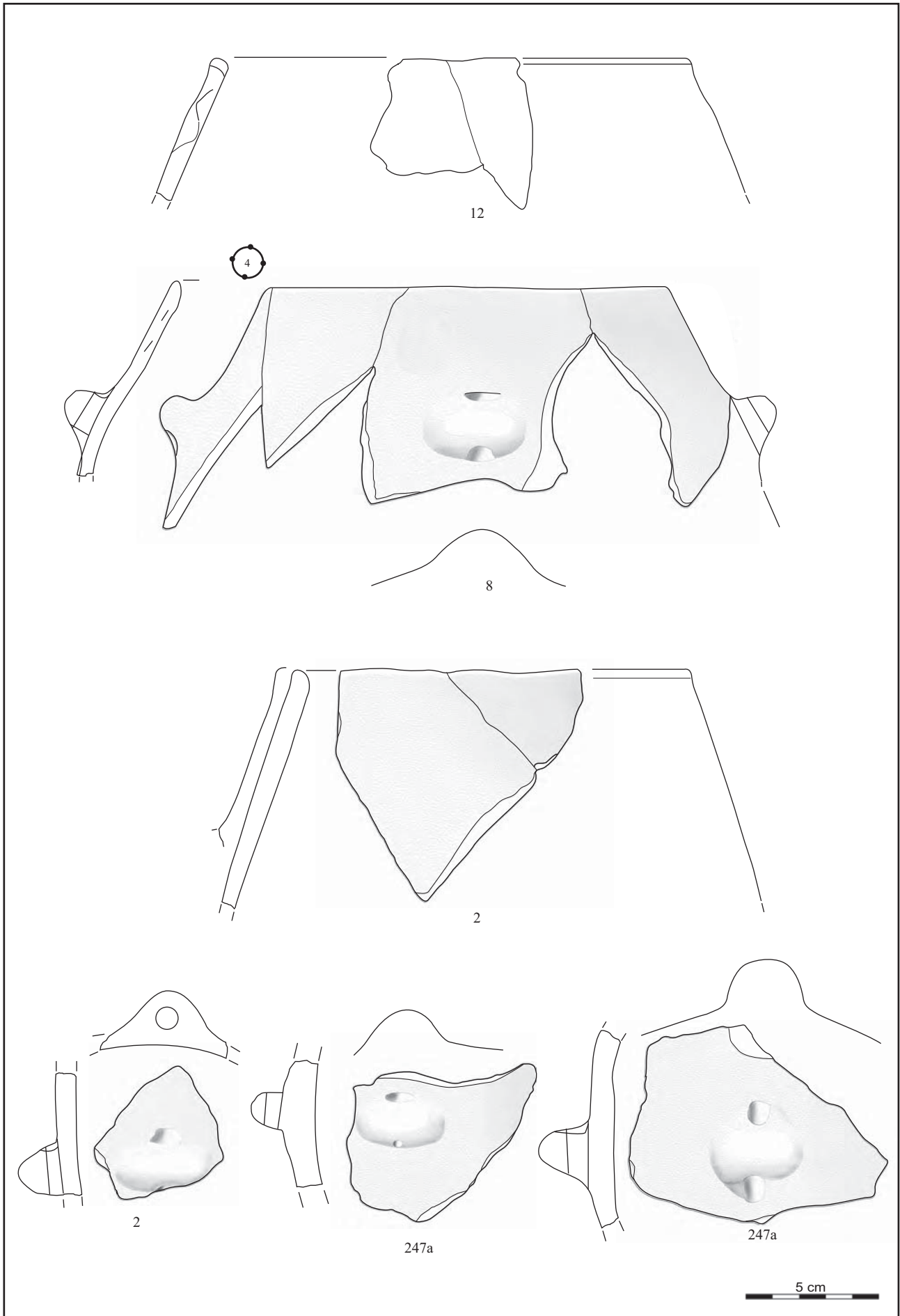
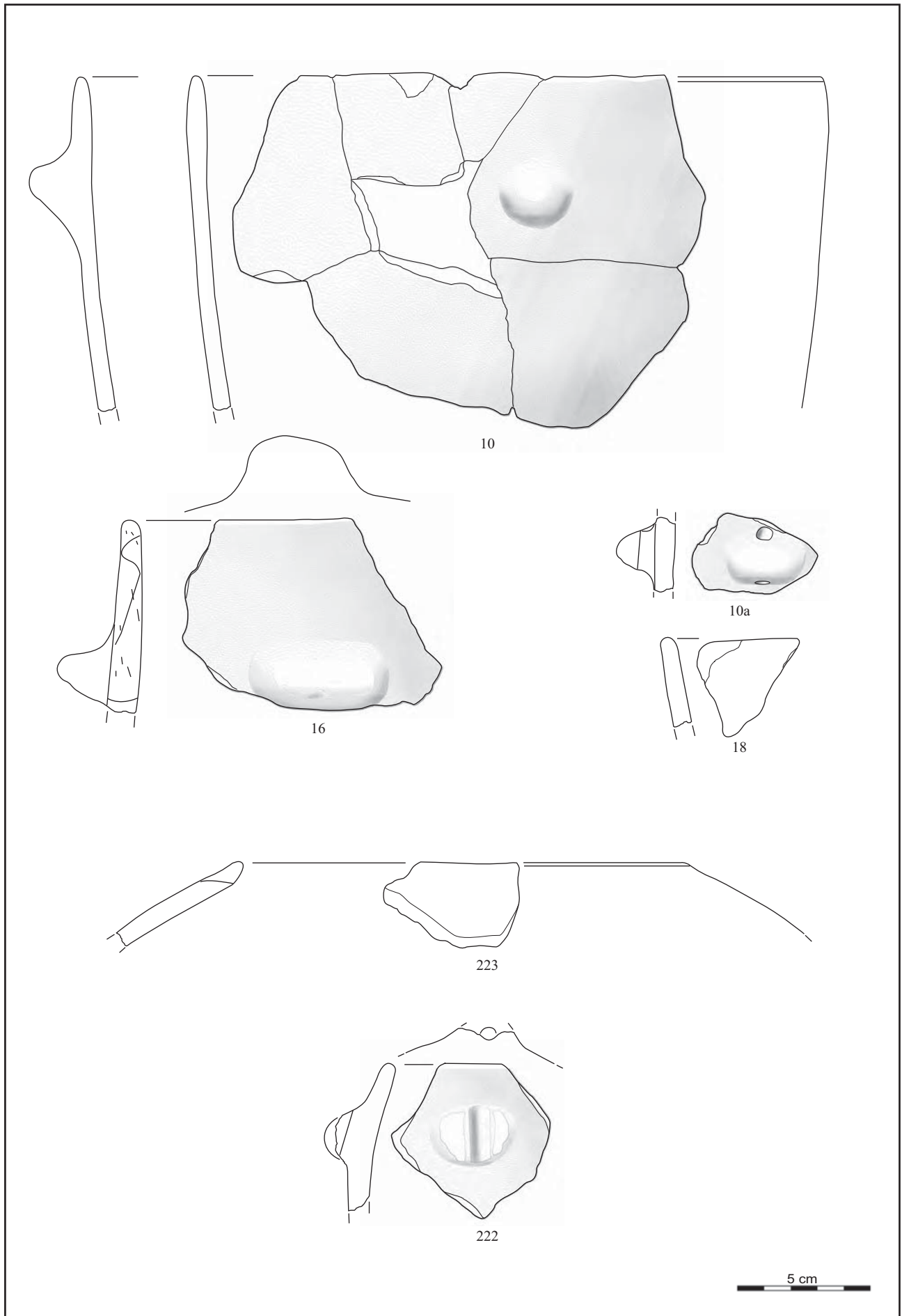
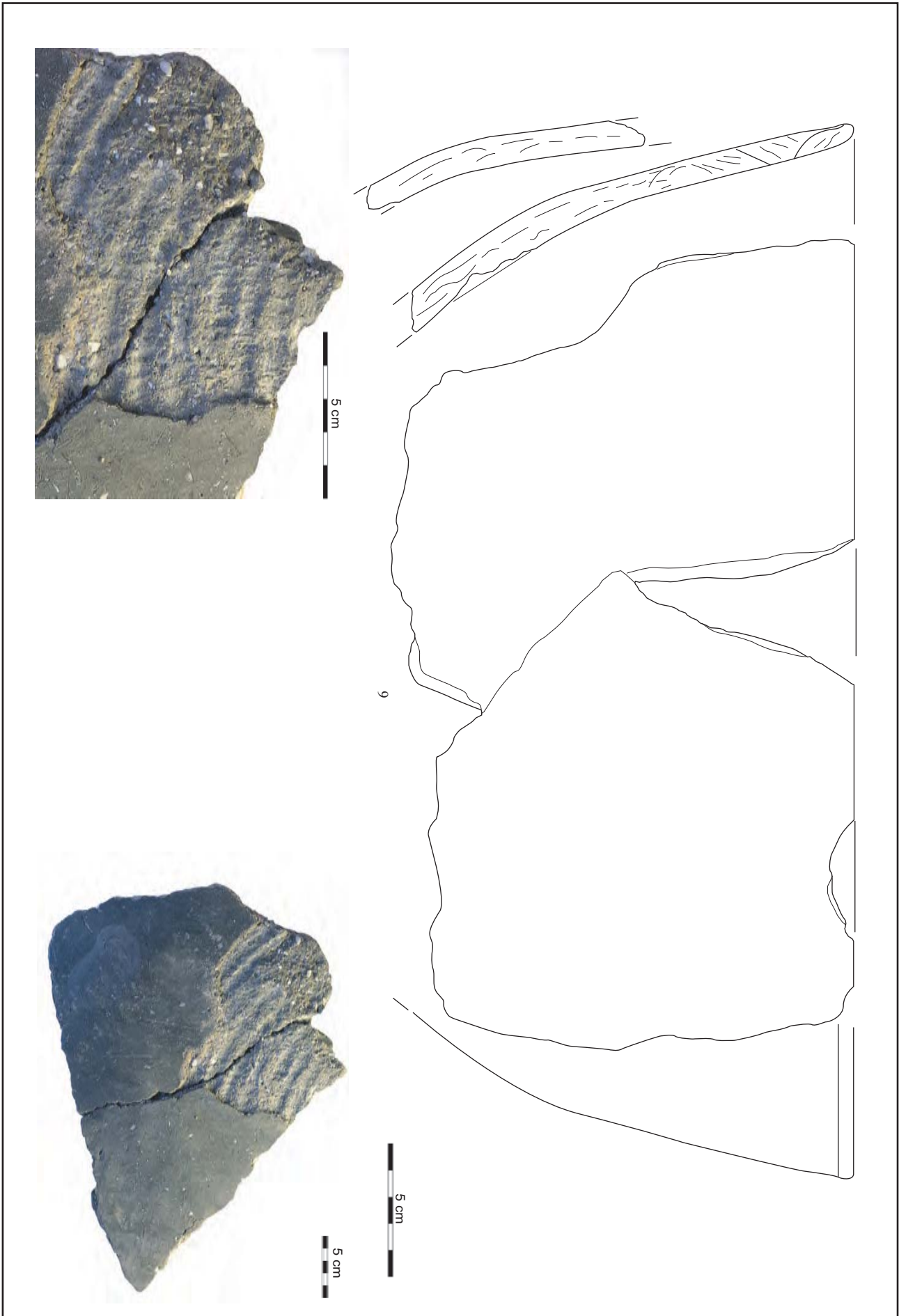


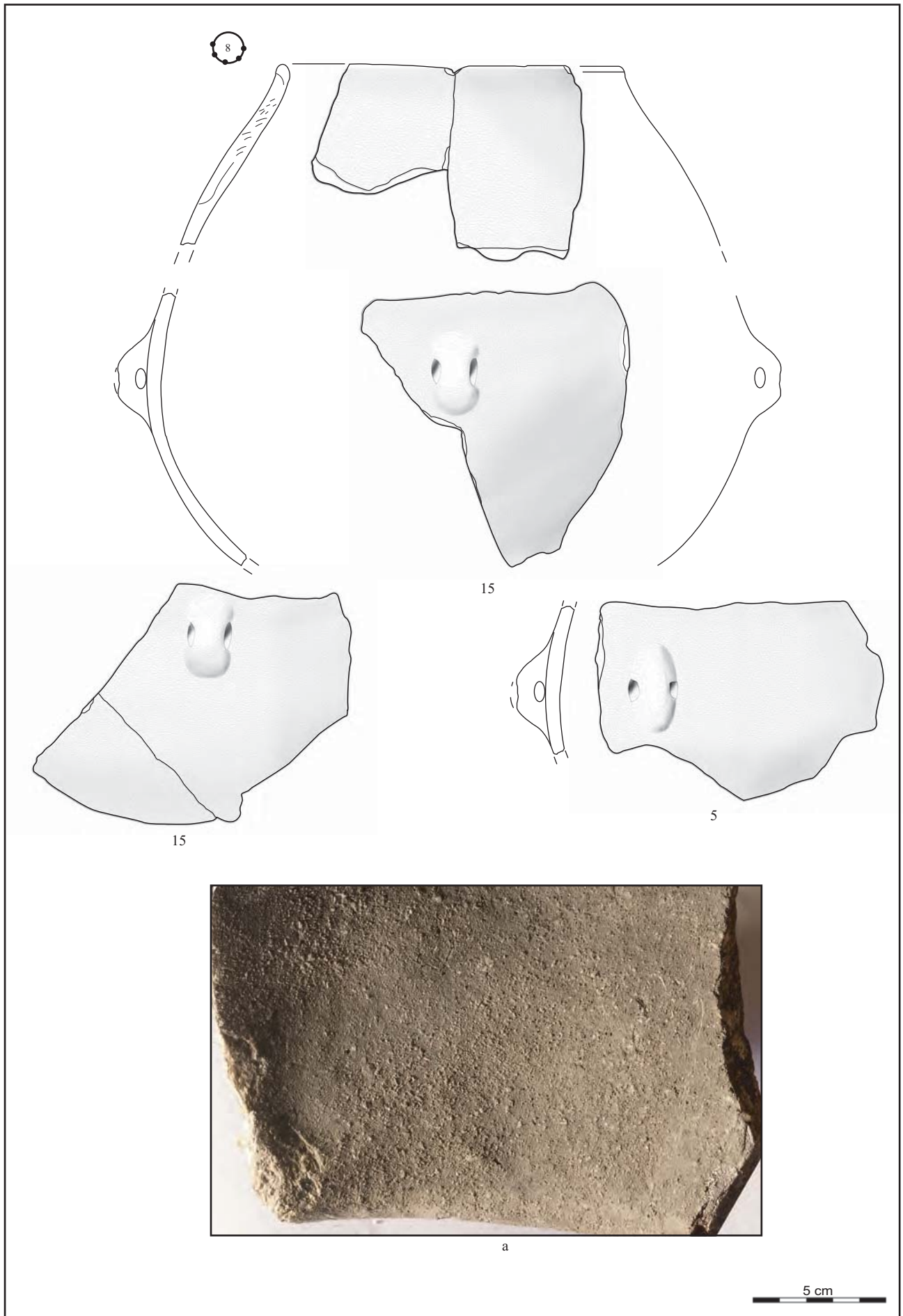
Figure 293 - Le Clos de Roque, Saint-Maximin-la-Sainte-Baume (83). Matériel céramique, structure 2096, US 15 (DAO et dessins : C. Lepère).



**Figure 294** - Le Clos de Roque, Saint-Maximin-la-Sainte-Baume (83). Matériel céramique, structure 2096, US 15 et 16. 10, 10a, 16 et 18, US 15 ; 222 et 223, US 16 (DAO et dessins : C. Lepère).



**Figure 295** - Le Clos de Roque, Saint-Maximin-la-Sainte-Baume (83). Matériel céramique, structure 2096, US 15. Traces de moulage sur la base du vase (DAO et dessins : C. Lepère).



**Figure 296** - Le Clos de Roque, Saint-Maximin-la-Sainte-Baume (83). Matériel céramique, structure 2096, US15. a, petites concavités internes (DAO et dessins : C. Lepère).



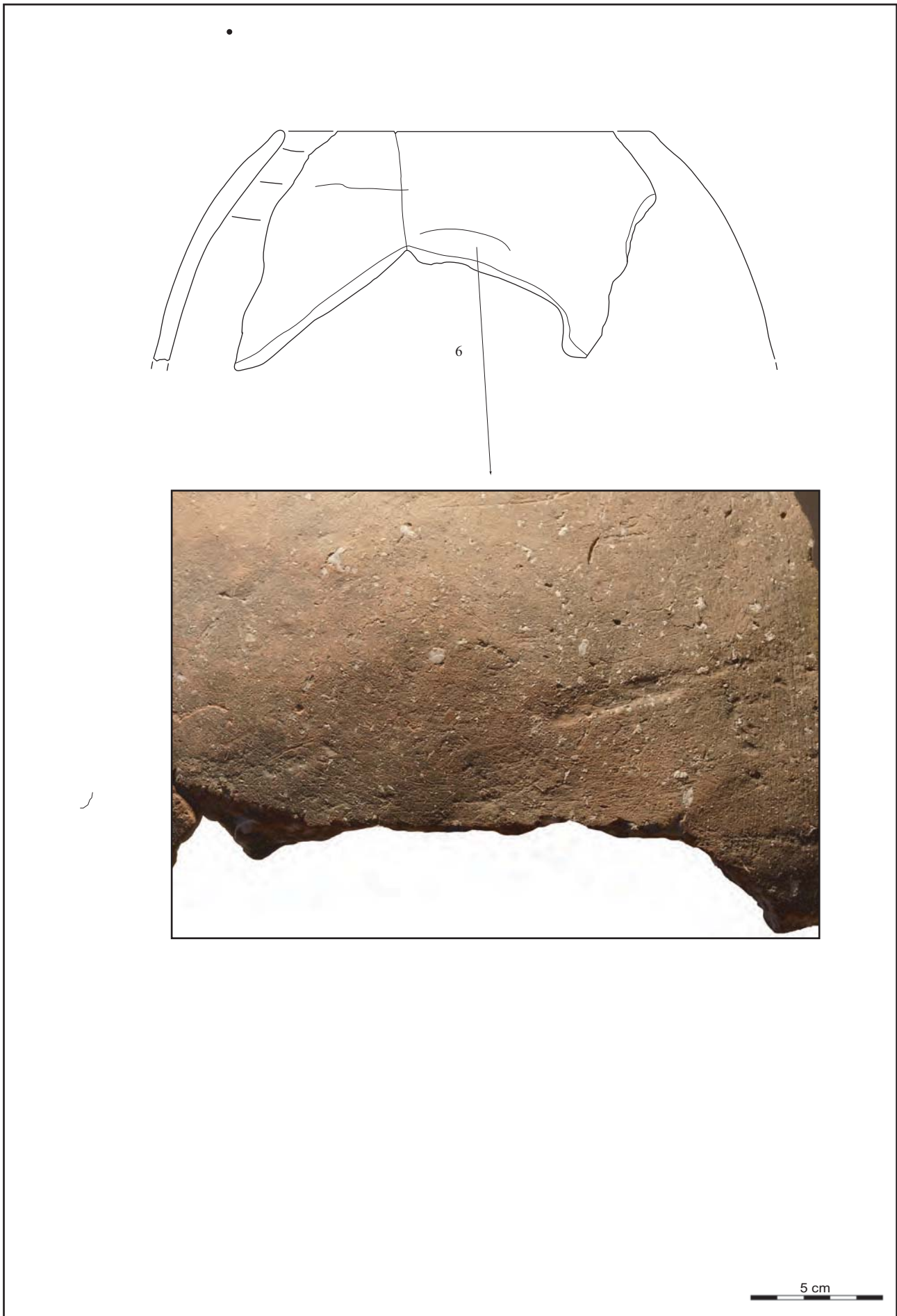


Figure 297 - Le Clos de Roque, Saint-Maximin-la-Sainte-Baume (83). Matériel céramique, structure 2096, US15 (DAO et dessins : C. Lepère).

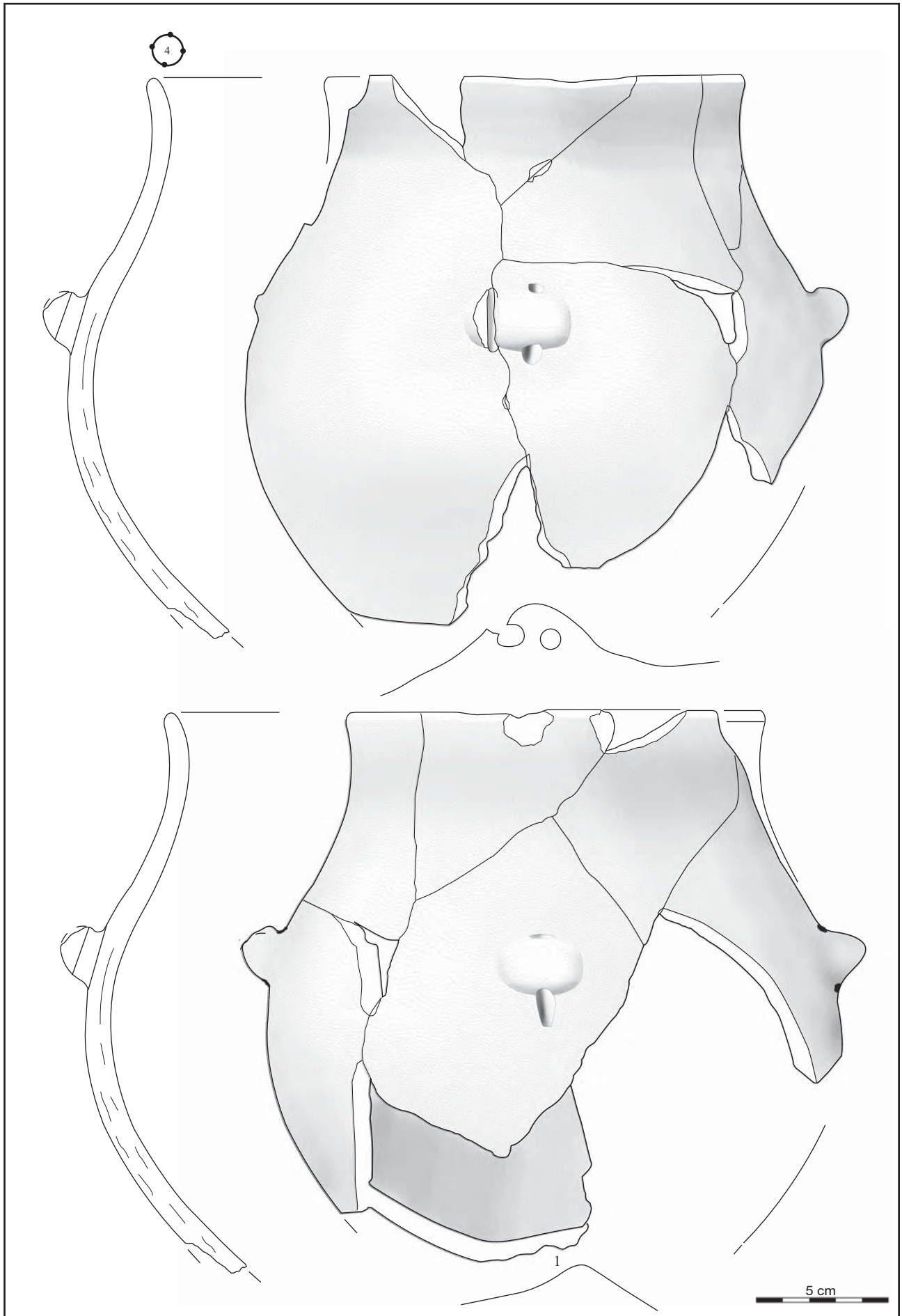
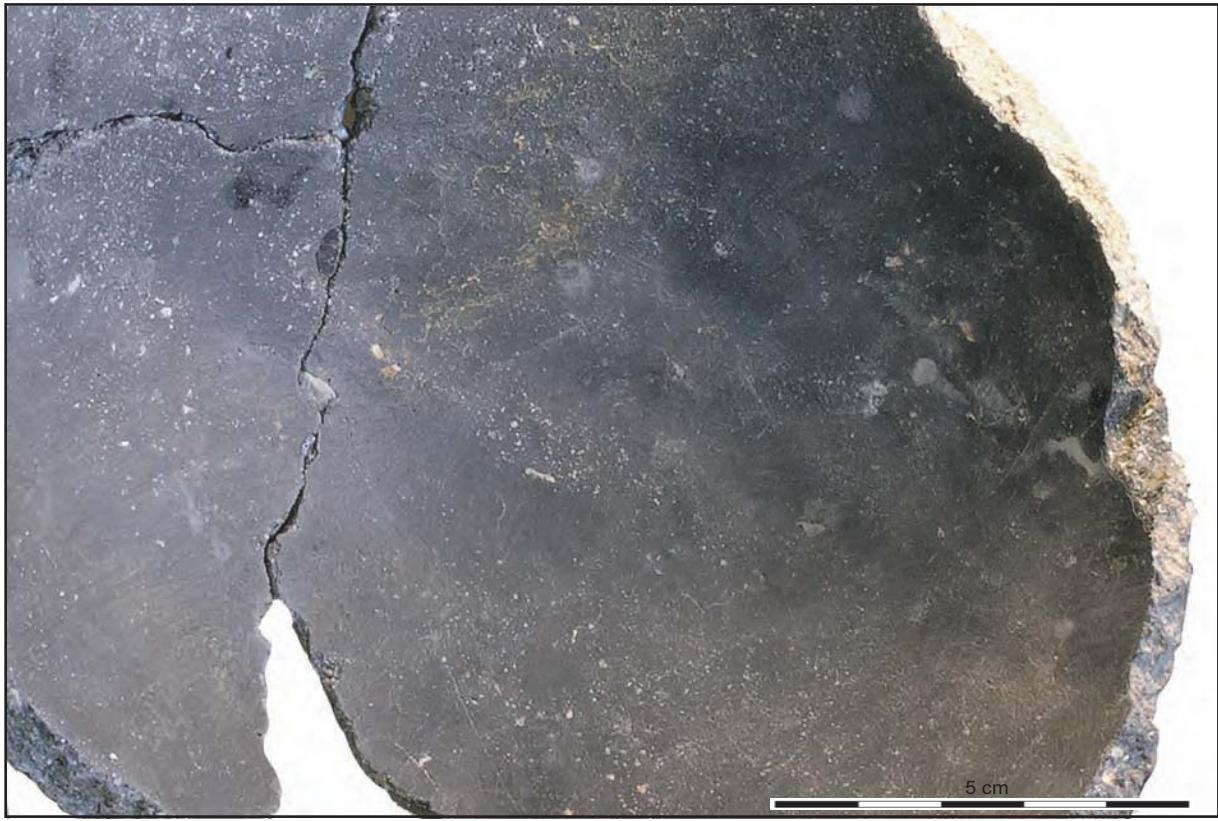
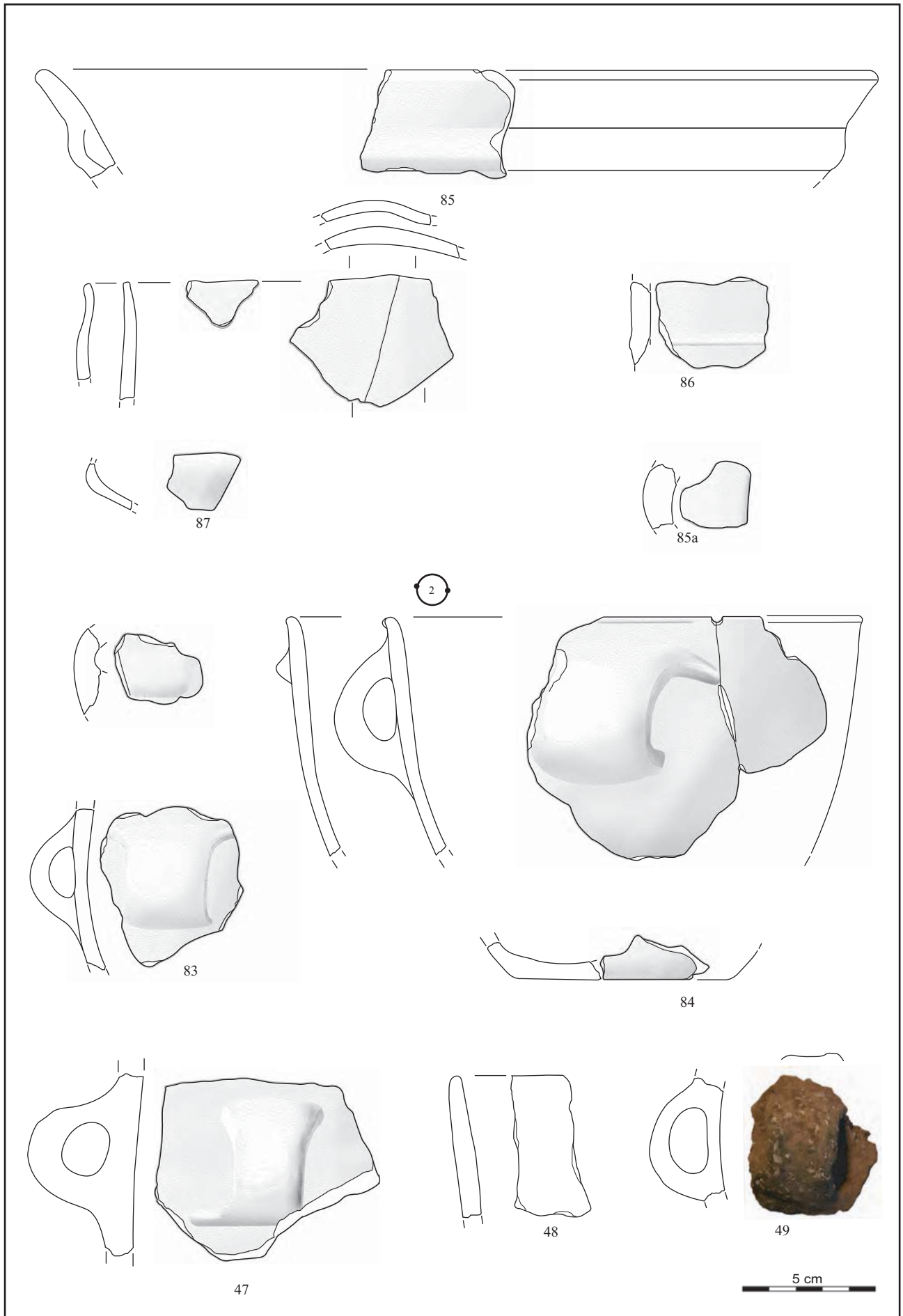


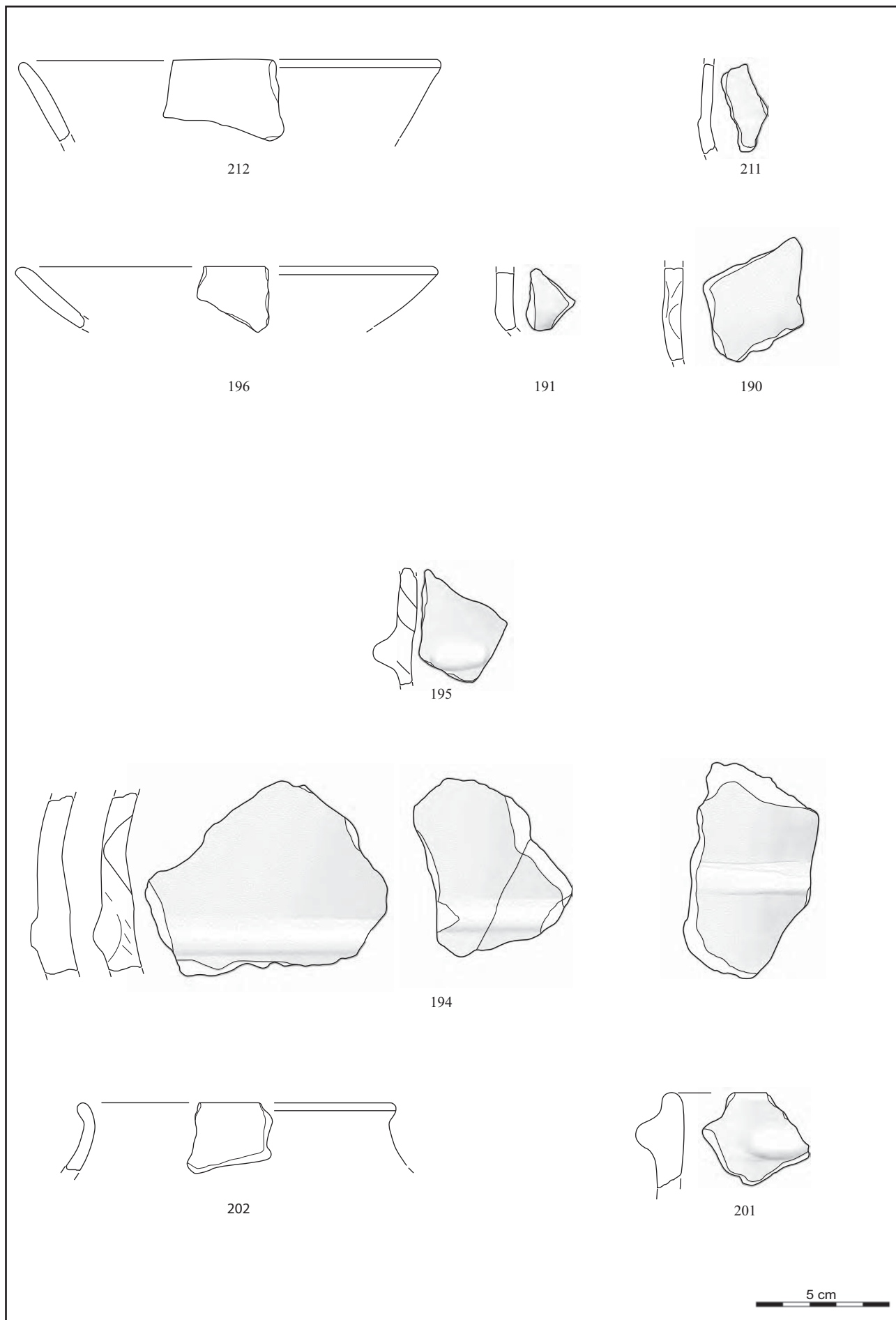
Figure 298 - Le Clos de Roque, Saint-Maximin-la-Sainte-Baume (83). Matériel céramique, structure 2096, US15 (DAO et dessins : C. Lepère).



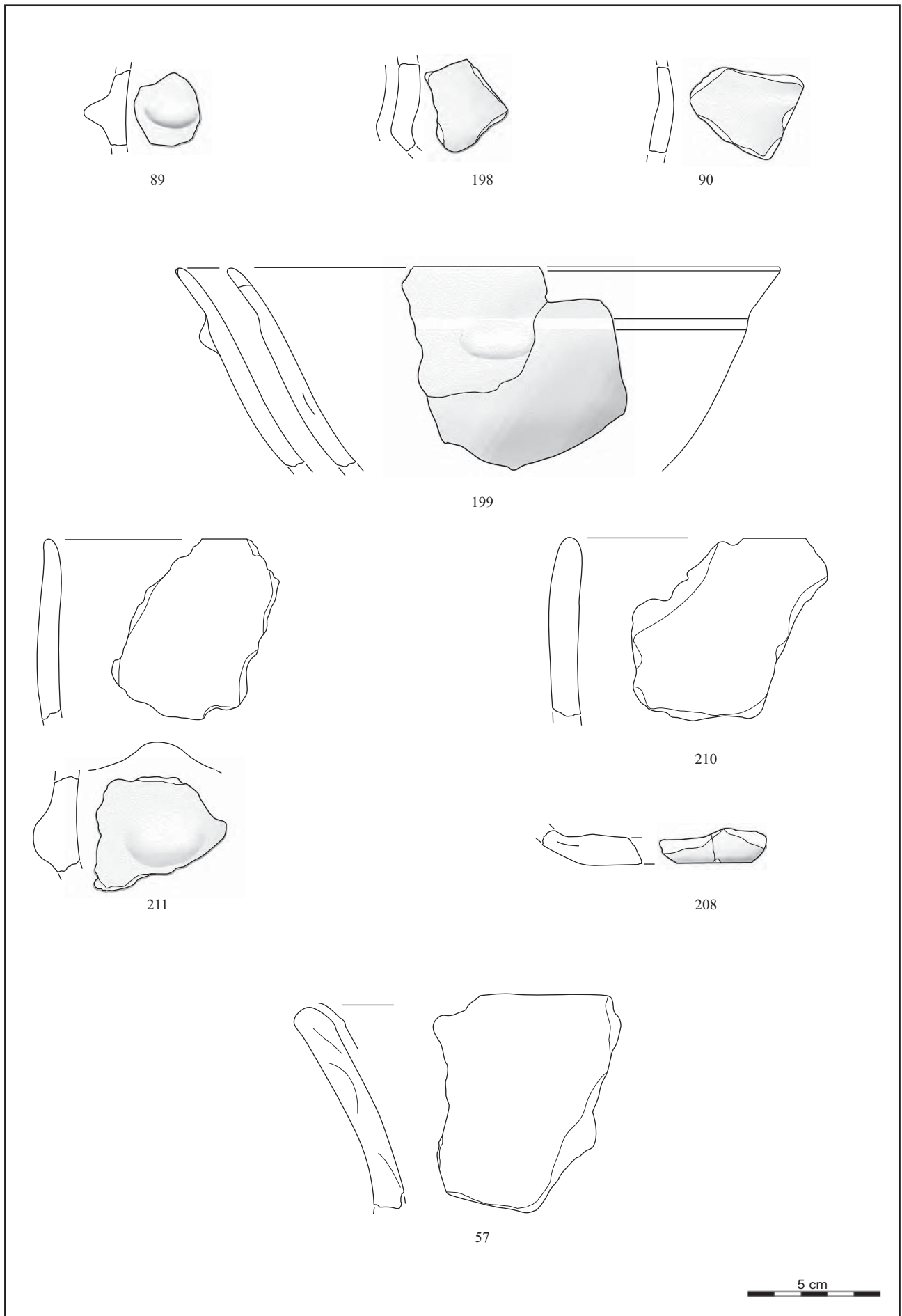
**Figure 299** - Le Clos de Roque, Saint-Maximin-la-Sainte-Baume (83). Vase 1, petites concavités formant des cannelures parallèles (DAO et dessins : C. Lepère).



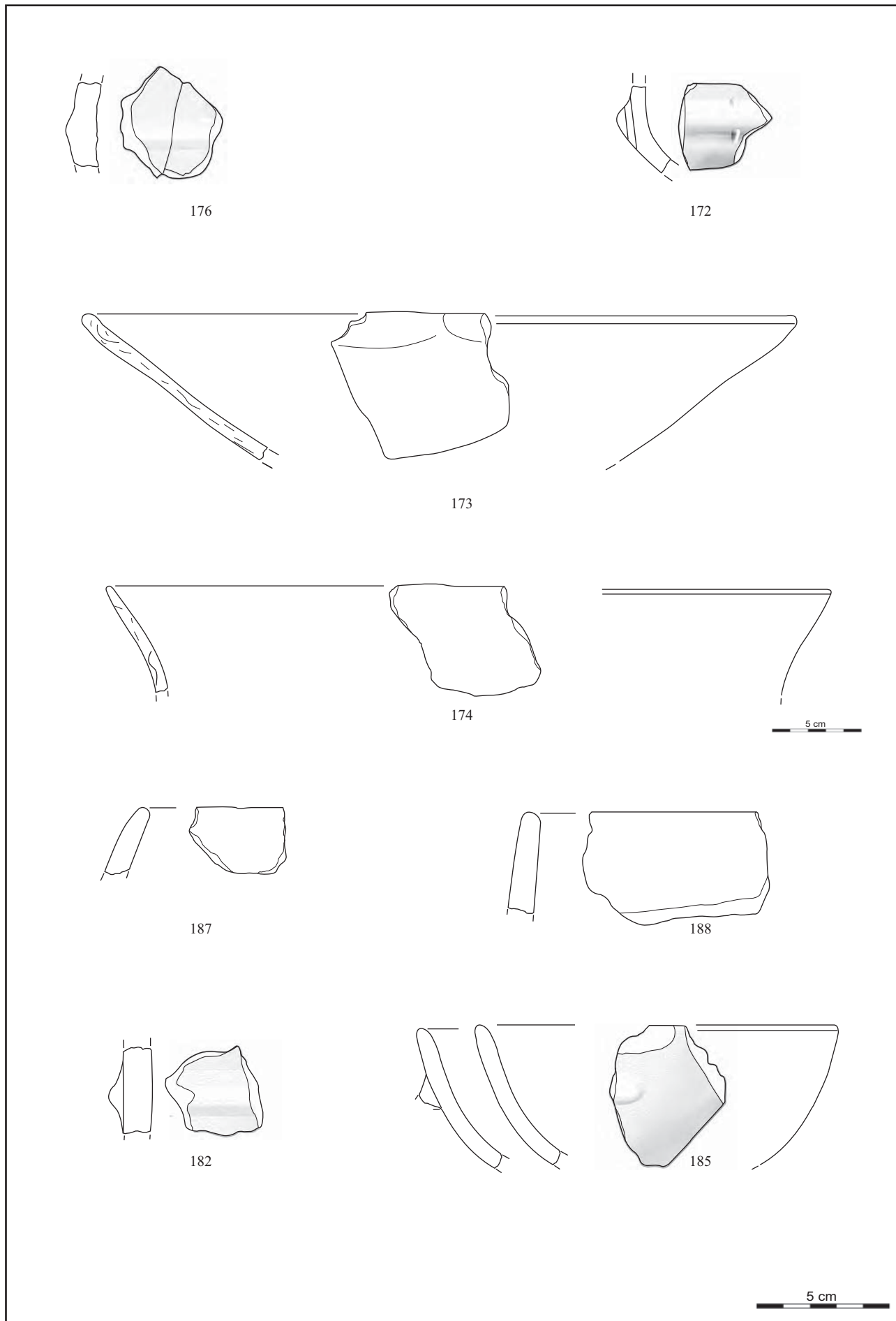
**Figure 300** - Le Clos de Roque, Saint-Maximin-la-Sainte-Baume (83). Matériel céramique, structure 2319, 2224 et 2226. 83-87a, fosse 2319 ; 48-49, fosse 2224 ; 47, fosse 2226 (DAO et dessins : C. Lepère).



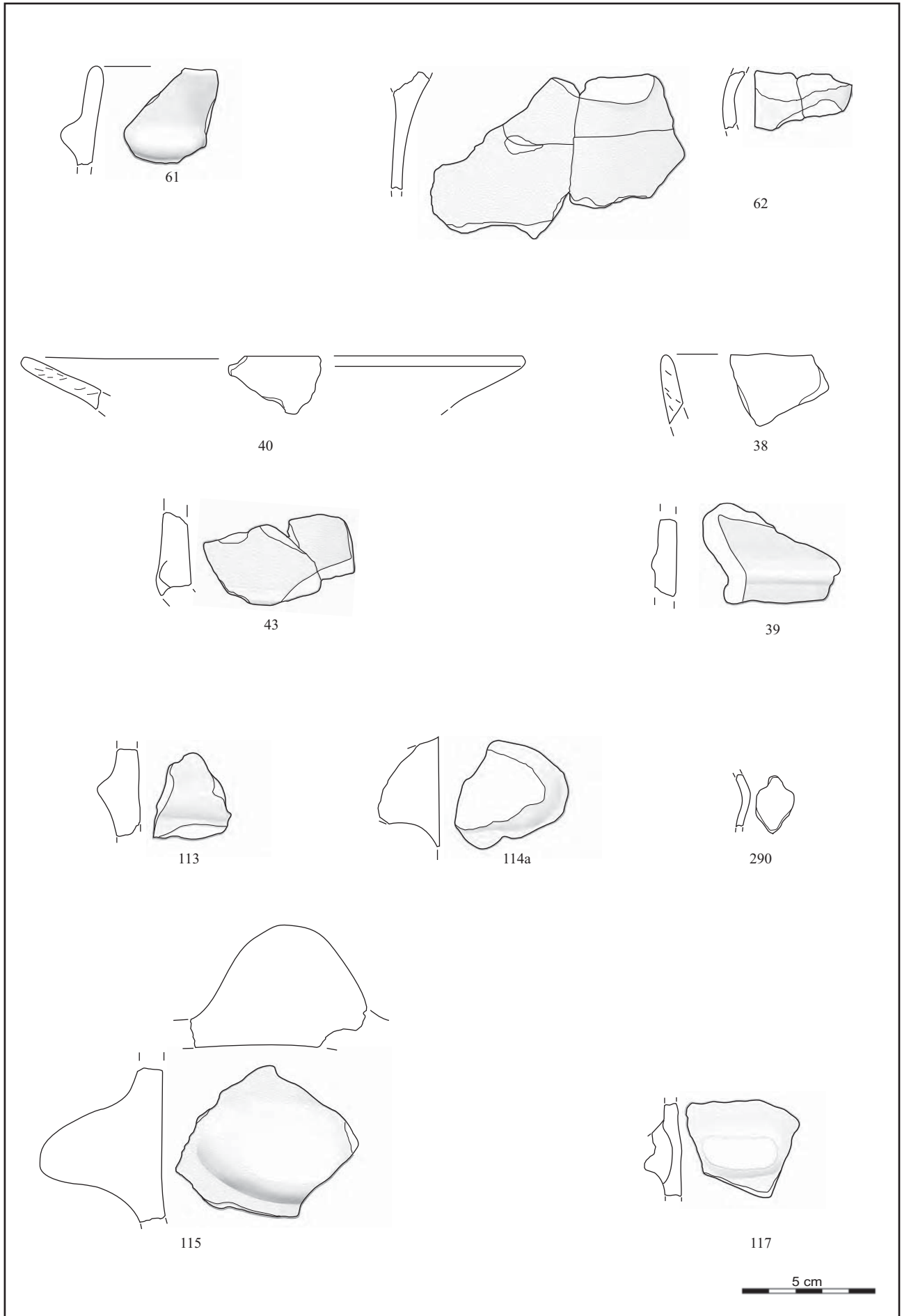
**Figure 301** - Le Clos de Roque, Saint-Maximin-la-Sainte-Baume (83). Matériel céramique, diagnostic, fosses 4, 18, 21 et 23. 212, coupe en calotte, fosse 4 ; 211, vase à ressaut, fosse 18 ; 194-196, 190 et 191, fosse 21 ; 201 et 202, fosse 23 (DAO et dessins : C. Lepère).



**Figure 302** - Le Clos de Roque, Saint-Maximin-la-Sainte-Baume (83). Matériel céramique, diagnostic, fosses 23, 28, 36 et 37. 89, 90, 198 et 199, fosse 23 ; 211, fosse 28 ; 210, fosse 36 ; 208, fosse 37 ; 57, HS (DAO et dessins : C. Lepère).



**Figure 303** - Le Clos de Roque, Saint-Maximin-la-Sainte-Baume (83). Matériel céramique, structures 1014, 1023, 1055 et 1062. 176, fosse 1014 ; 172-174, fosse 1023 ; 187 et 188, fosse 1055 ; 182 et 185, fosse 1062 (DAO et dessins : C. Lepère).



**Figure 304** - Le Clos de Roque, Saint-Maximin-la-Sainte-Baume (83). Mobilier céramique, 43, fosse 2002 ; 61 et 62, fosse 2006 ; 38-40, fosse 2014 ; 113-115, 117 et 290, fosse 2032 (DAO et dessins : C. Lepère).



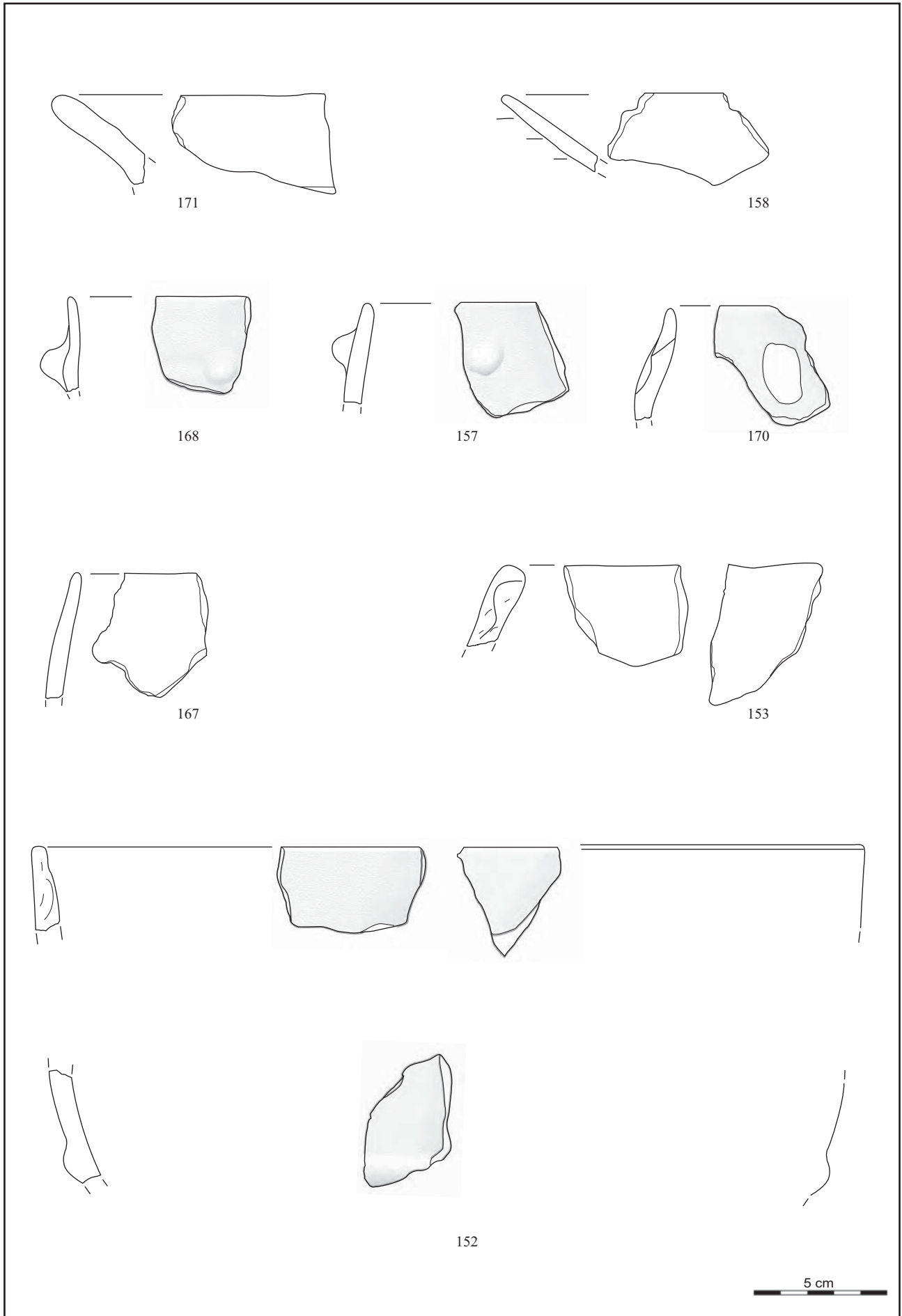


Figure 305 - Le Clos de Roque, Saint-Maximin-la-Sainte-Baume (83). Matériel céramique, fosse 2021 (DAO et dessins : C. Lepère).

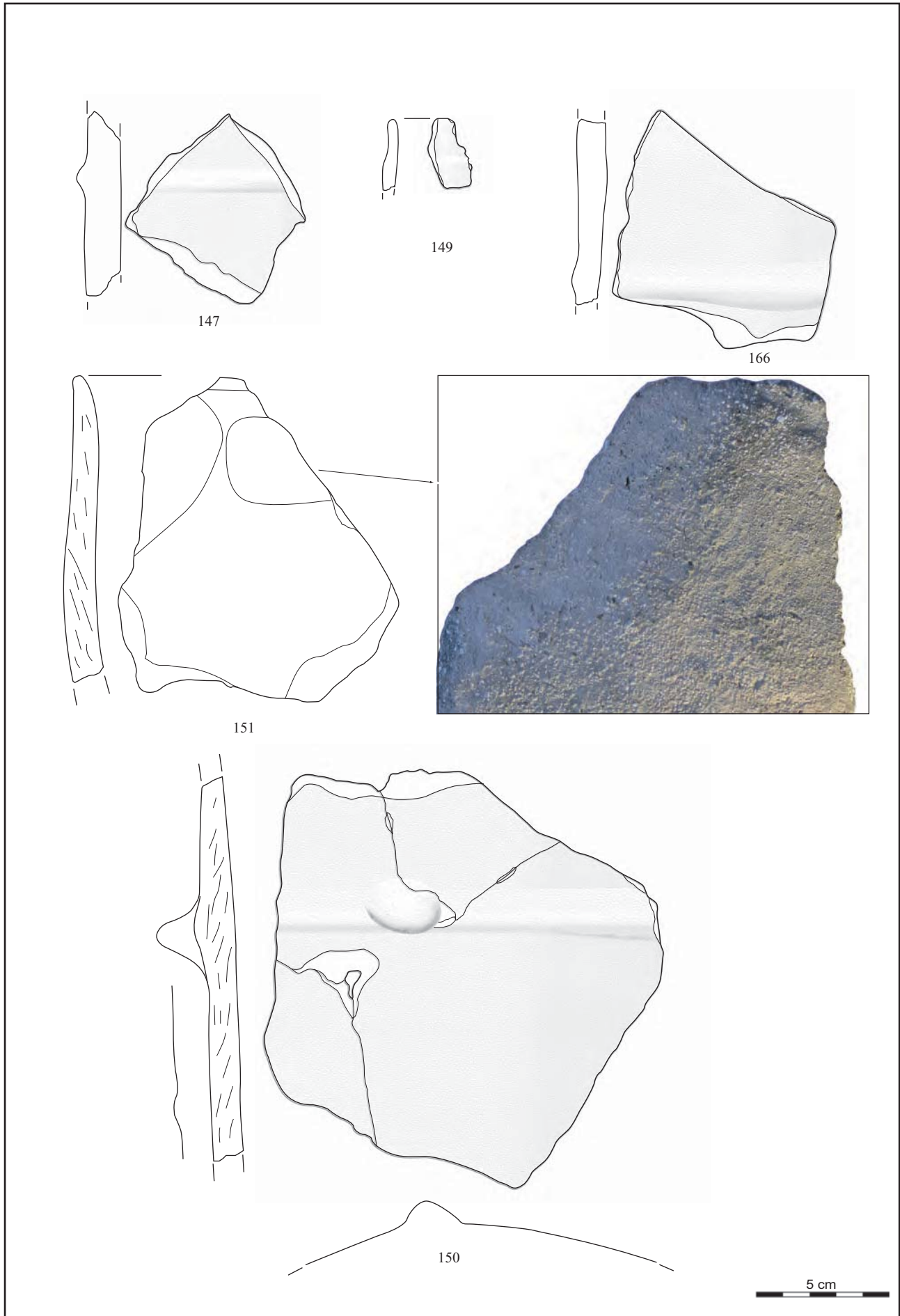


Figure 306 - Le Clos de Roque, Saint-Maximin-la-Sainte-Baume (83). Matériel céramique, fosse 201 (DAO et dessins : C. Lepère).

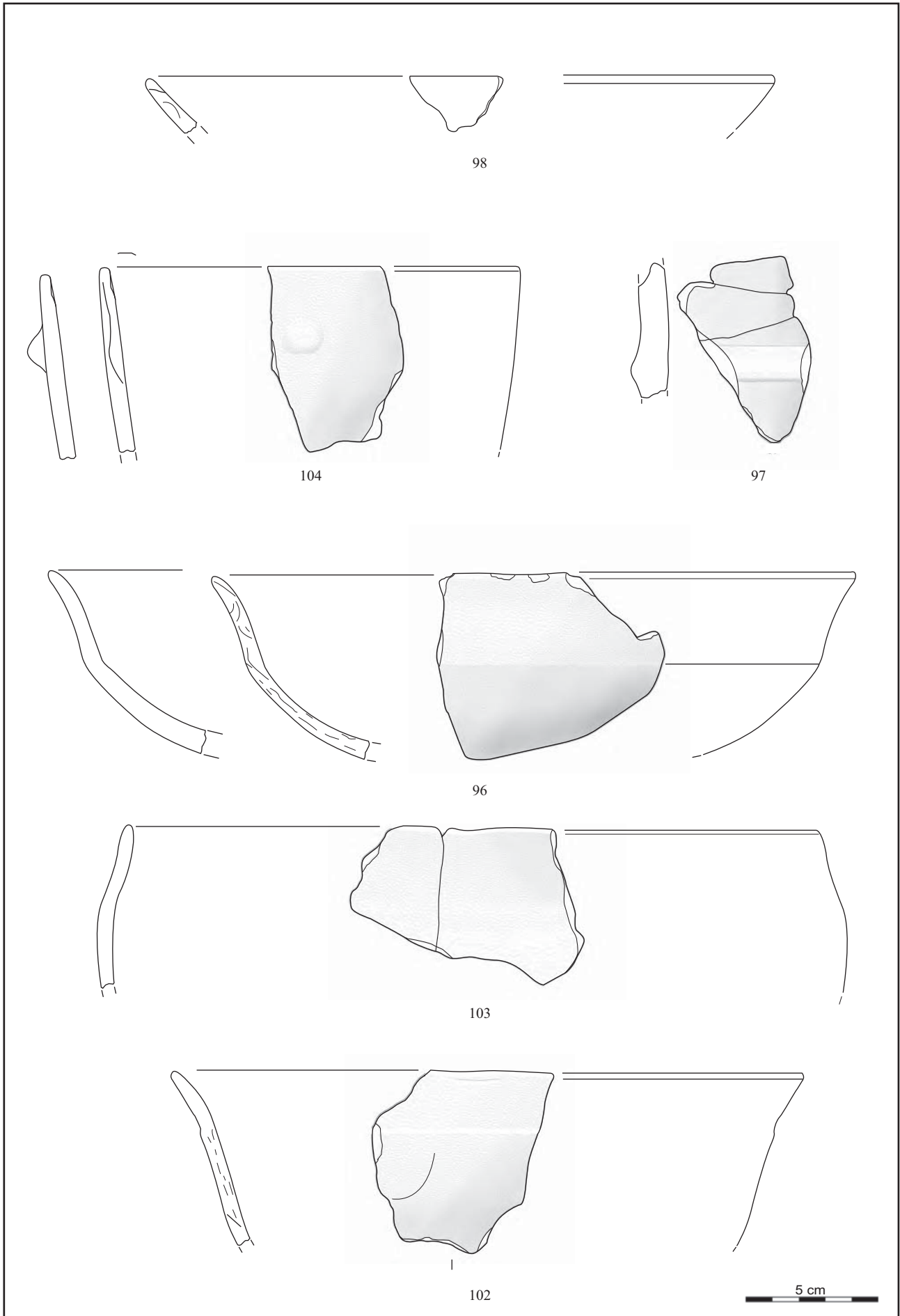


Figure 307 - Le Clos de Roque, Saint-Maximin-la-Sainte-Baume (83). Matériel céramique, fosse 2050 (DAO et dessins : C. Lepère).

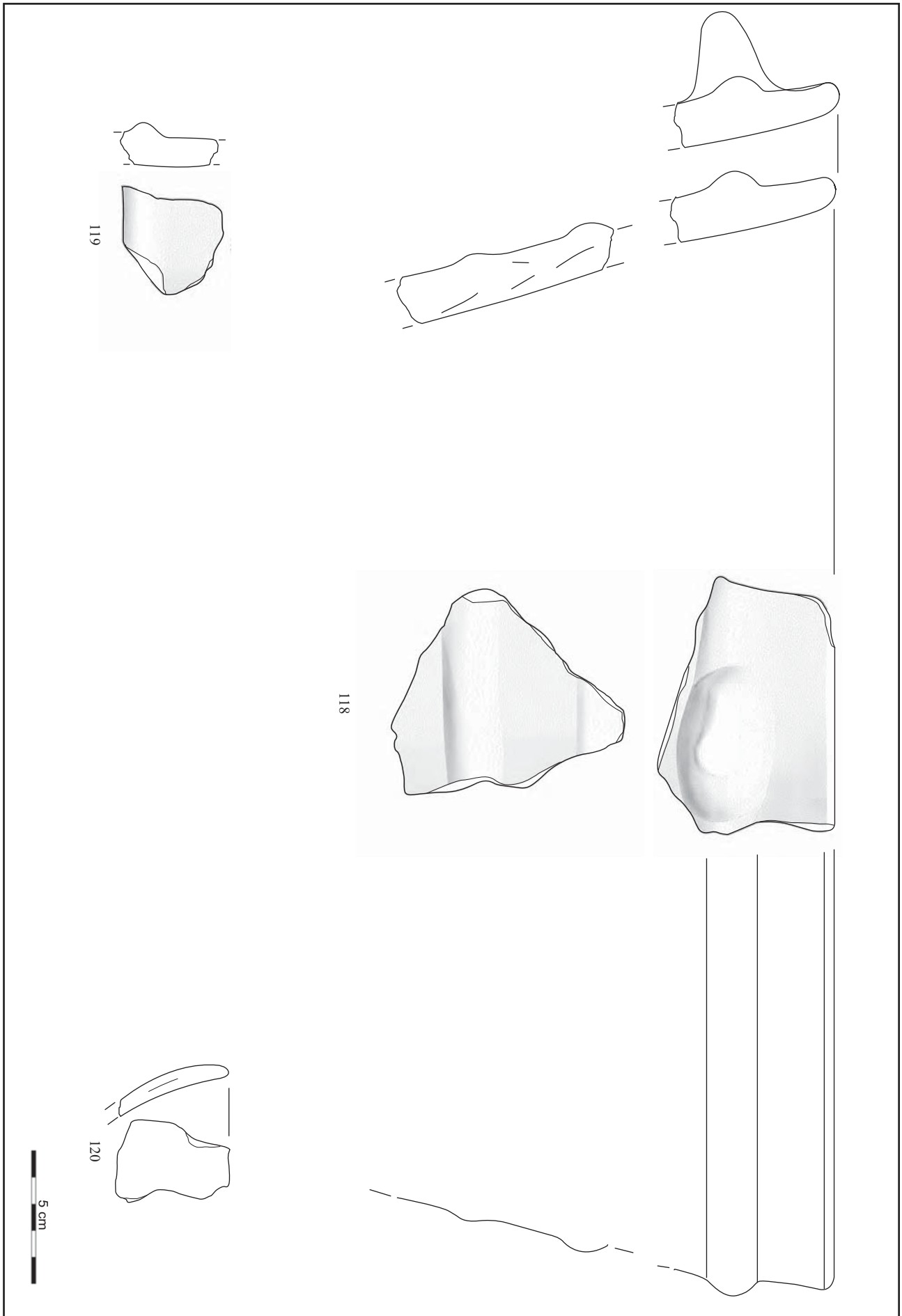
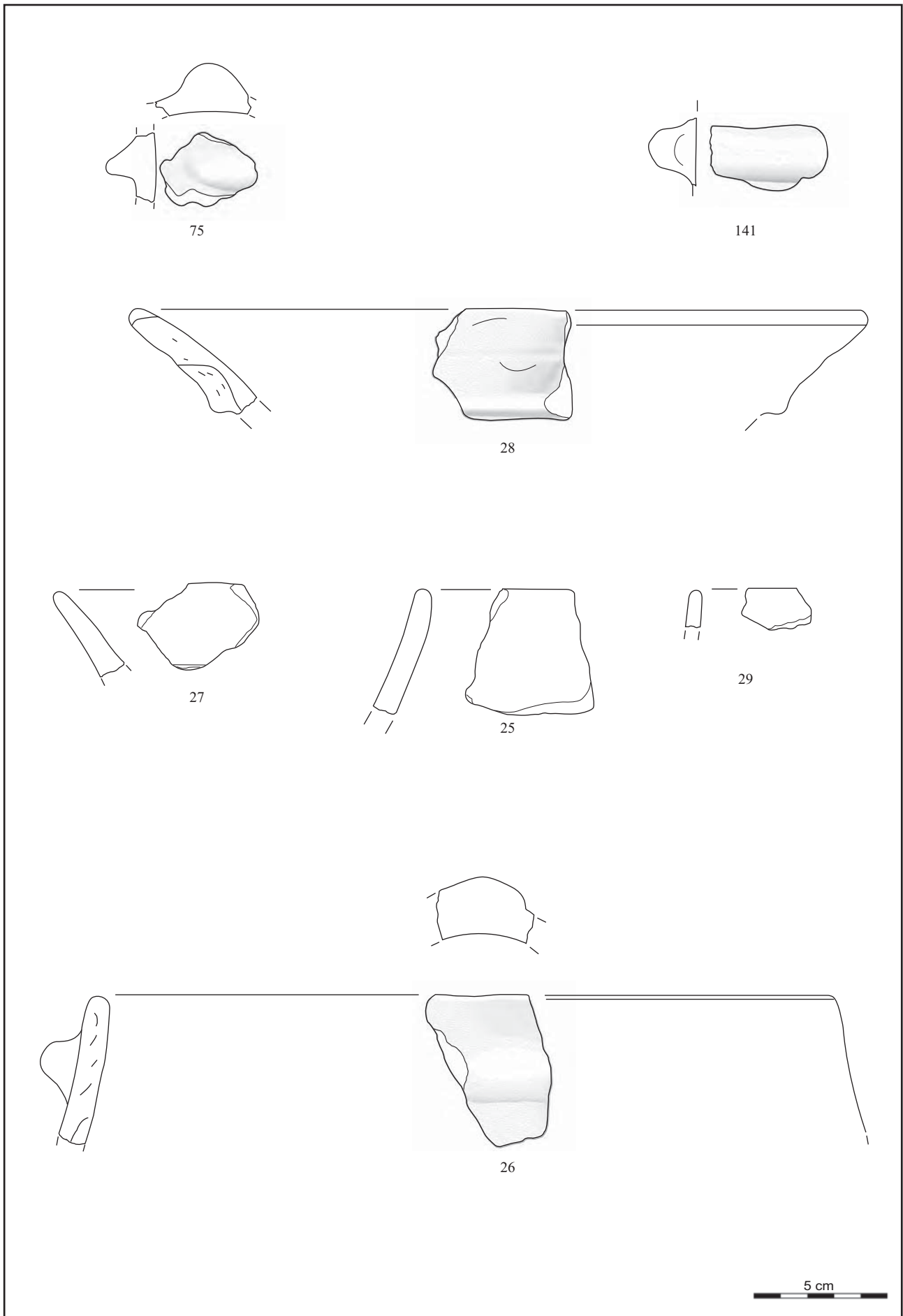
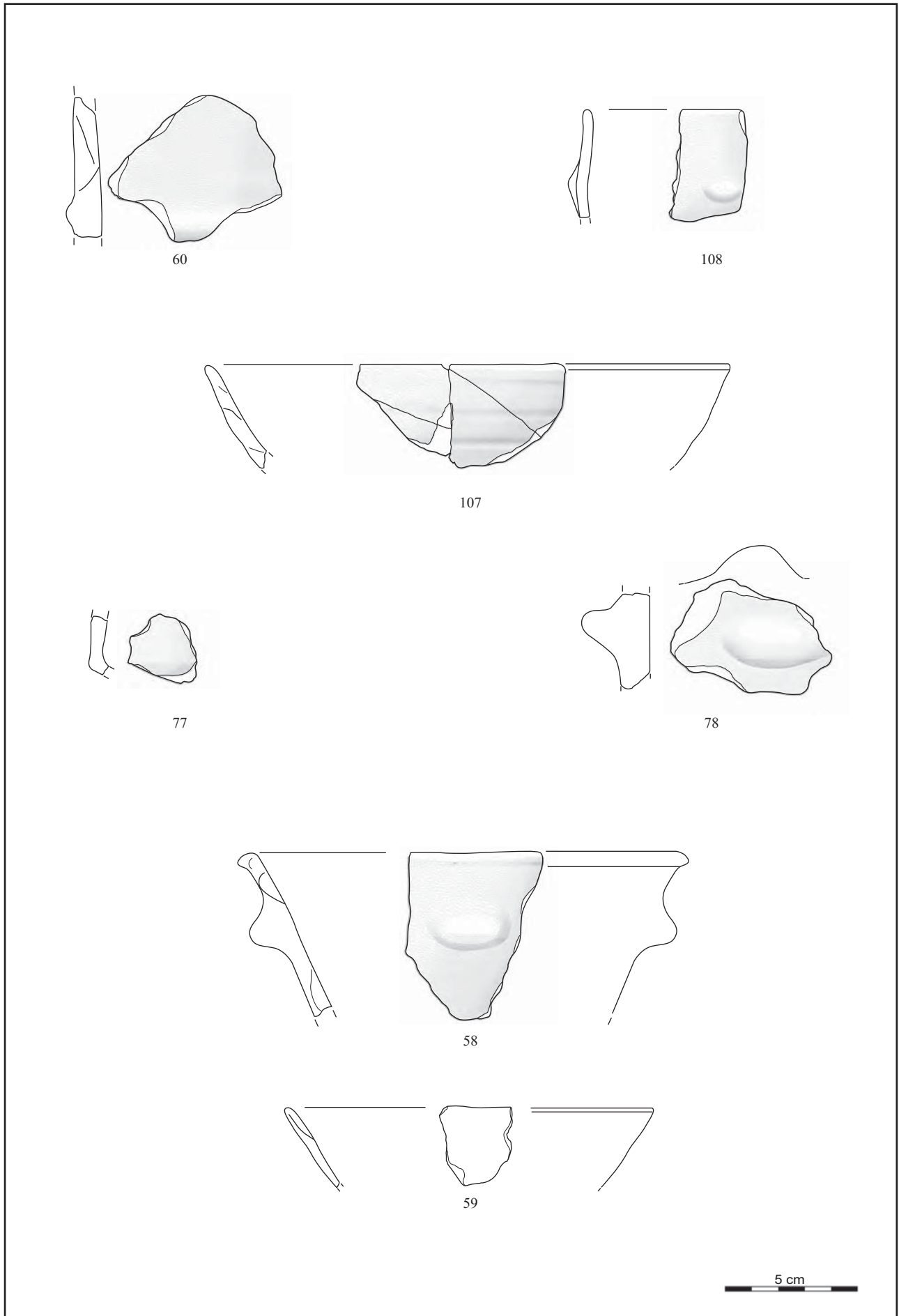


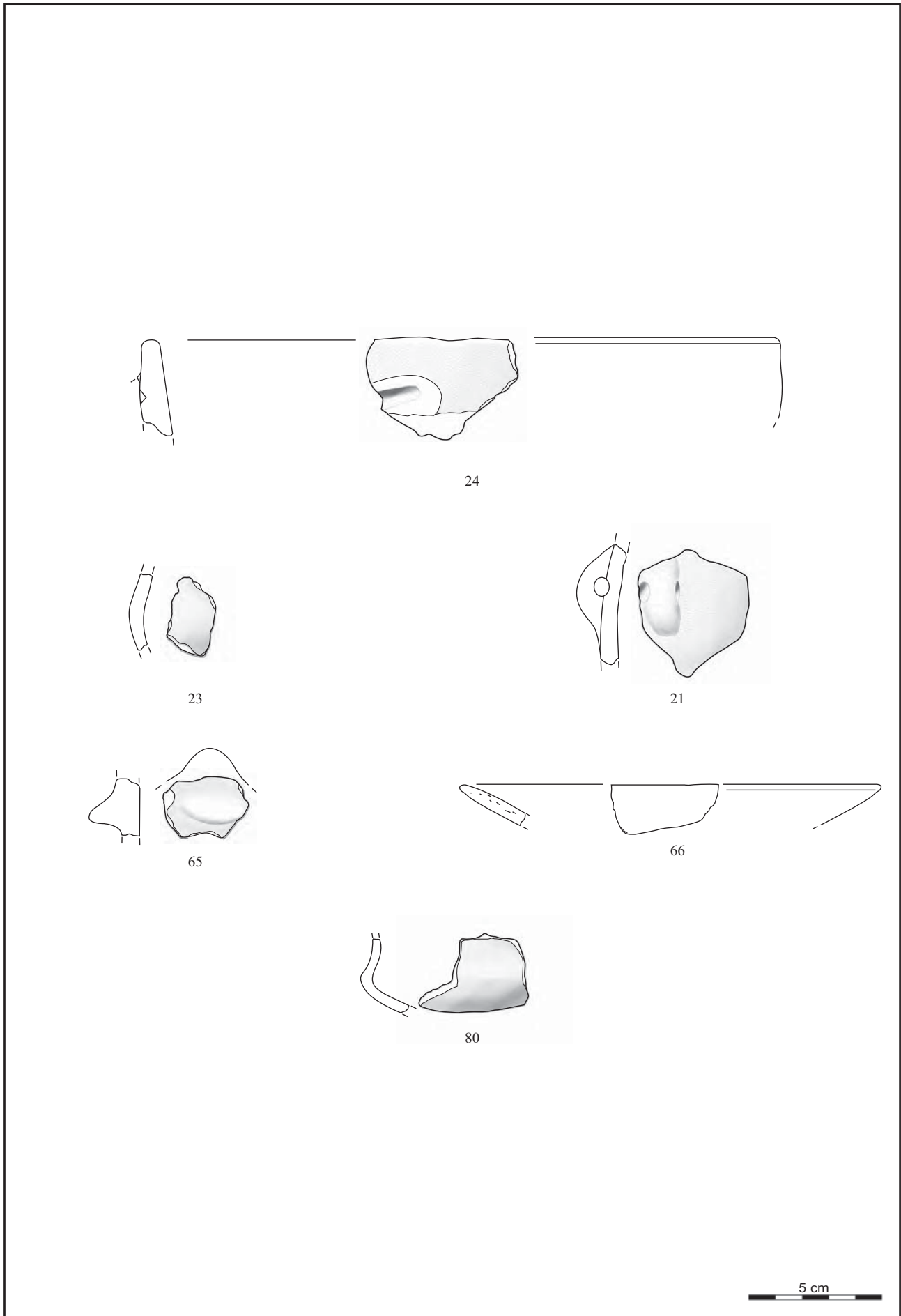
Figure 308 - Le Clos de Roque, Saint-Maximin-la-Sainte-Baume (83). Matériel céramique, fosse 2071 (DAO et dessins : C. Lepère).



**Figure 309** - Le Clos de Roque, Saint-Maximin-la-Sainte-Baume (83). Matériel céramique, structures 2072, 2073 et 2075. 75, fosse 2072 ; 141, fosse 2073 ; 25-29, fosse 2075 (DAO et dessins : C. Lepère).



**Figure 310** - Le Clos de Roque, Saint-Maximin-la-Sainte-Baume (83). Matériel céramique, structures 2078, 2080, 2085 et 2087. 60, fosse 2078 ; 107-108, fosse 2080 ; 77-78, fosse 2085 ; 58-59, fosse 2087 (DAO et dessins : C. Lepère).



**Figure 311** - Le Clos de Roque, Saint-Maximin-la-Sainte-Baume (83). Matériel céramique, structure 2088, 2090 et 2224. 21, 23 et 24, fosse 2088 ; 65-66, fosse 2090 ; 80, fosse 2199 ; 48-49, fosse 2224 (DAO et dessins : C. Lepère).

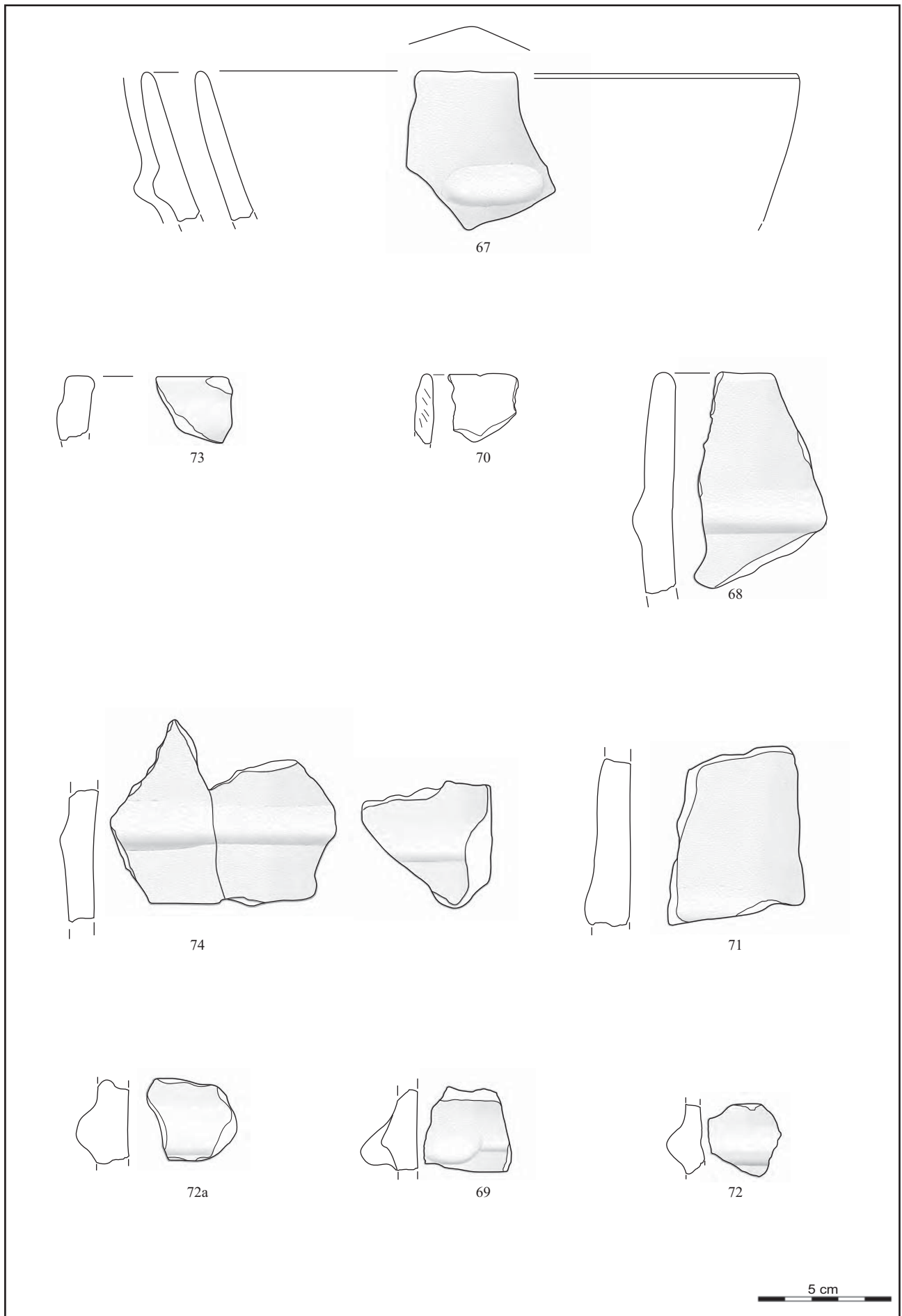
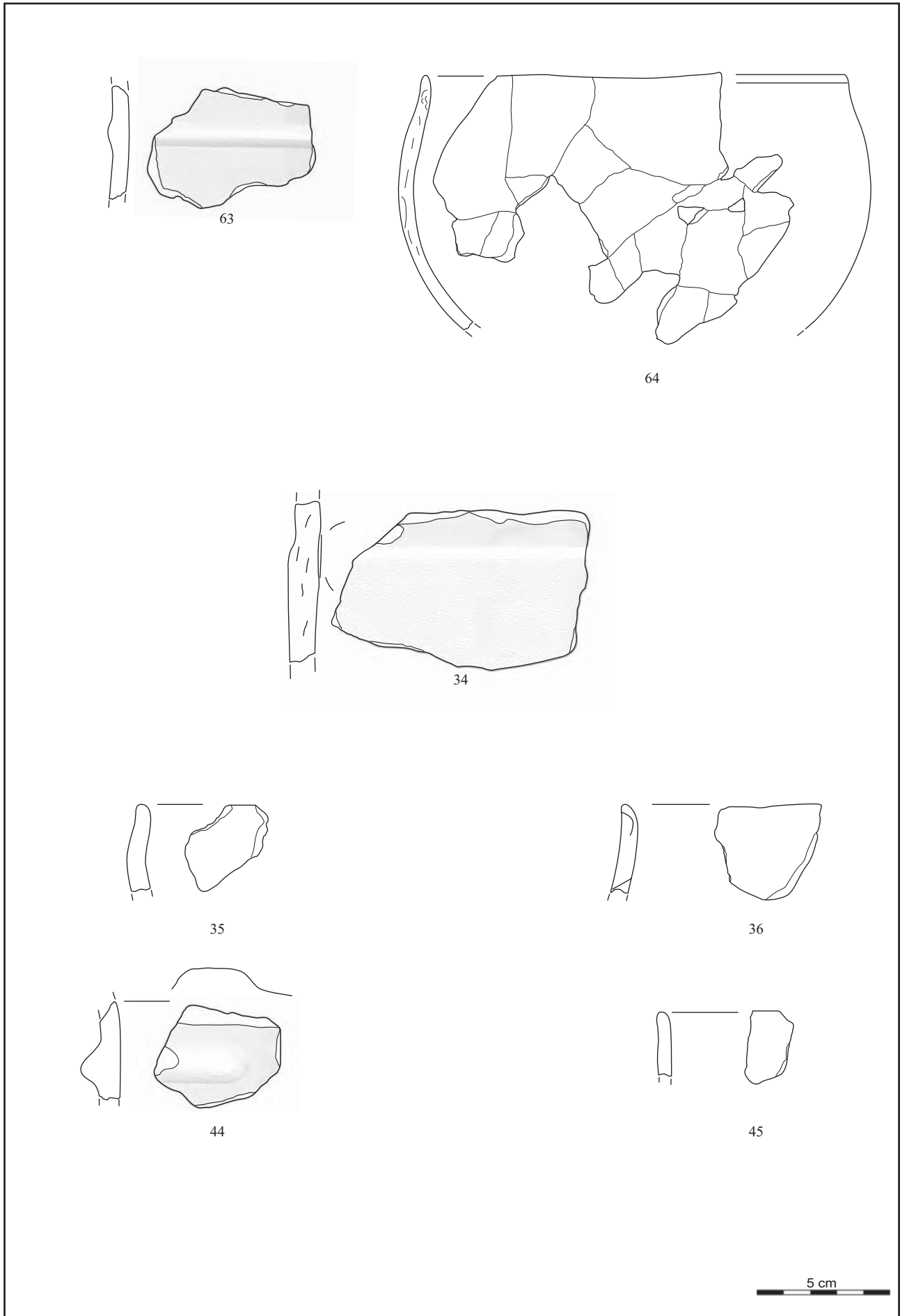
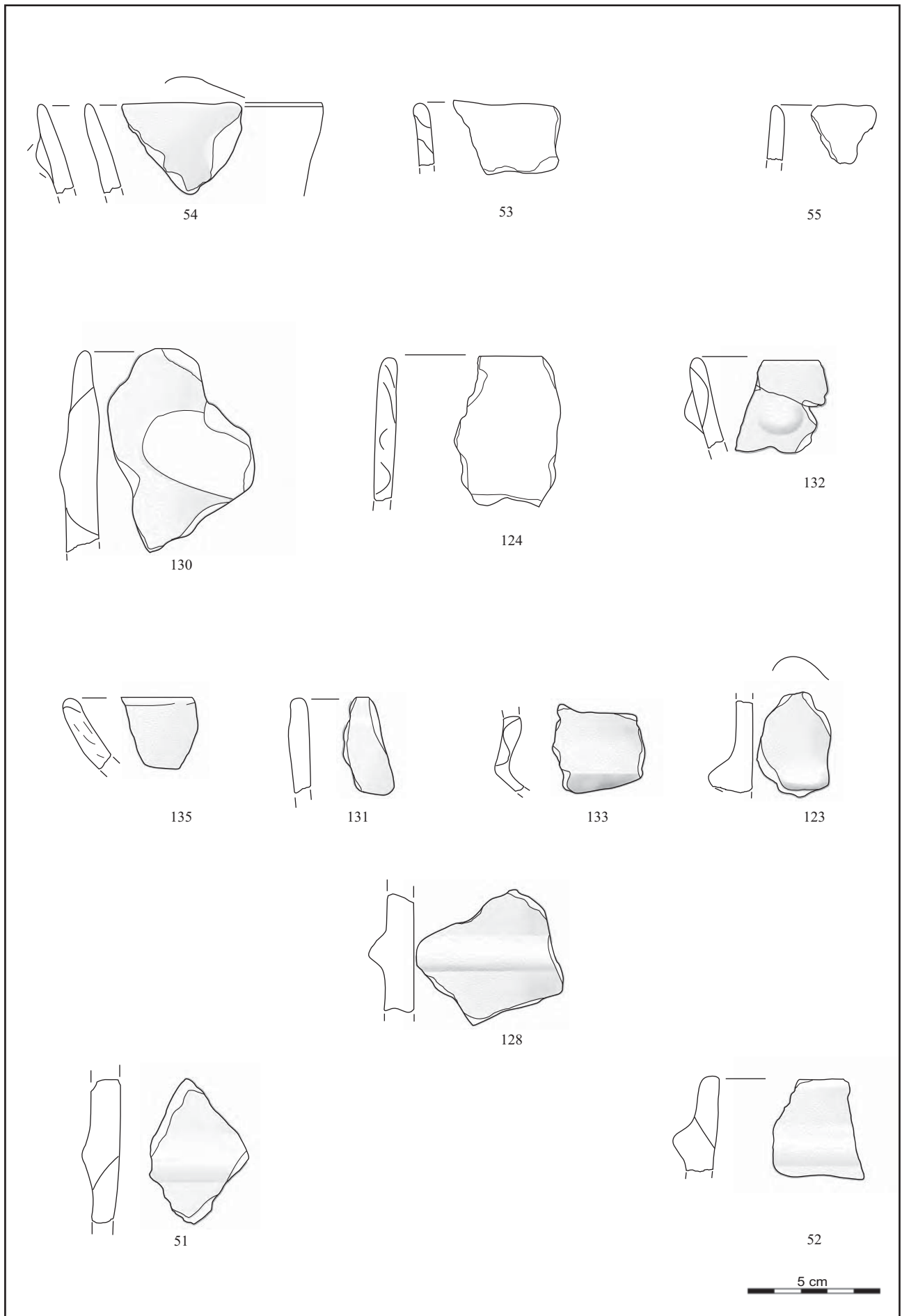


Figure 312 - Le Clos de Roque, Saint-Maximin-la-Sainte-Baume (83). Matériel céramique, structure 2093 (DAO et dessins : C. Lepère).





**Figure 313** - Le Clos de Roque, Saint-Maximin-la-Sainte-Baume (83). Matériel céramique, structure 2237, 2241 et 2247. 63-64, fosse 2237 ; 34-36, fosse 2241 ; 44-45, fosse 2247 (DAO et dessins : C. Lepère).



**Figure 314** - Le Clos de Roque, Saint-Maximin-la-Sainte-Baume (83). Matériel céramique, structures 2326, 2328 et 2329. 53-54, fosse 2326 ; 123, 124, 128, 130-133, 135, fosse 2328 ; 51-52, fosse 2329 ; 55, fosse 2338 (DAO et dessins : C. Lepère).



**Figure 315** - Le Clos de Roque, Saint-Maximin-la-Sainte-Baume (83). Matériel céramique. 1, décor incisé (structure 1014) ; 2, tesson épuré (FS21) (DAO et clichés : C. Lepère).



**Figure 316** - Le Clos de Roque, Saint-Maximin-la-Sainte-Baume (83). Exemples de raclage (DAO et clichés : C. Lepère).

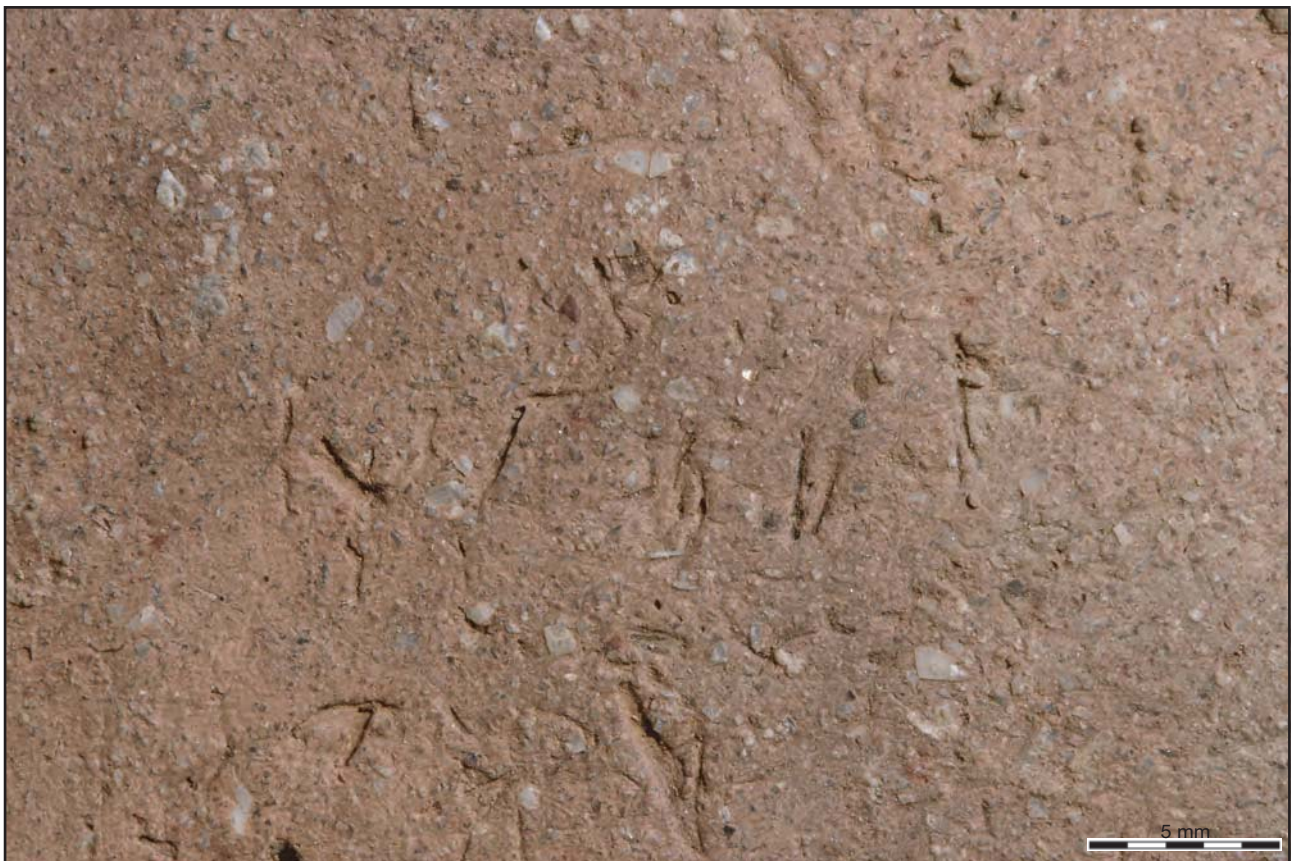


1



2

**Figure 317** - Le Clos de Roque, Saint-Maximin-la-Sainte-Baume (83). Matériel céramique. 1, résidus à la surface du vase 10 ; 2, négatifs (feuilles), vase 13 (DAO et clichés : C. Lepère).



**Figure 318** - Le Clos de Roque, Saint-Maximin-la-Sainte-Baume (83). Exemples de végétaux en surface (DAO et clichés : C. Lepère).

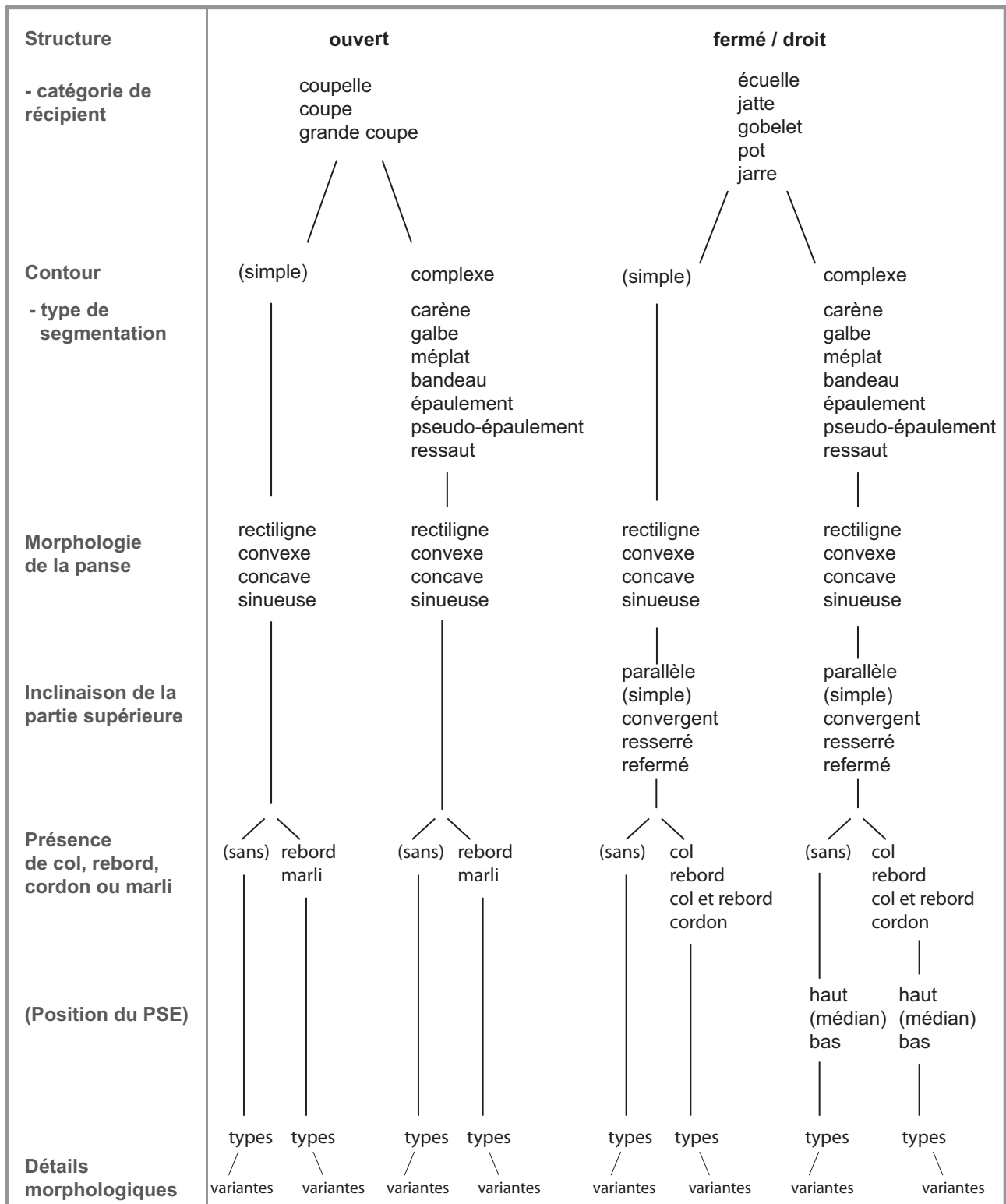
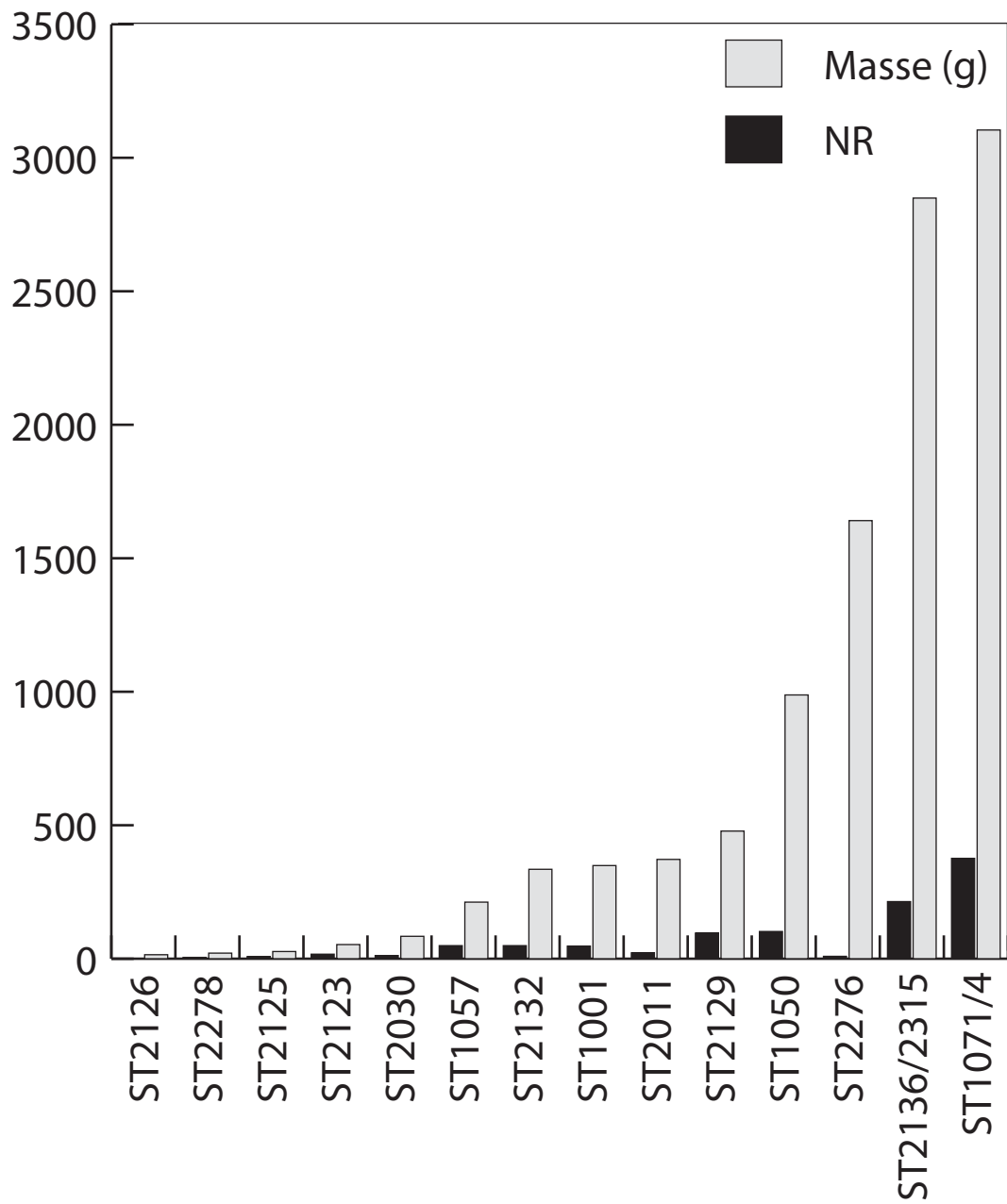


Figure 319 - Le Clos de Roque, Saint-Maximin-la-Sainte-Baume (83). Principes de description et de classification morphologique des vases (DAO : T. Lachenal).



**Figure 320** - Le Clos de Roque, Saint-Maximin-la-Sainte-Baume (83). Nombre de reste et poids de la céramique des principales structures du Bronze ancien (DAO : T. Lachenal).



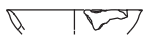
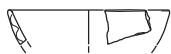
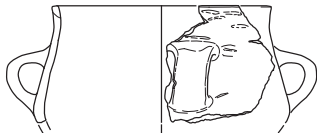
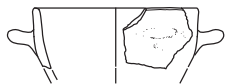
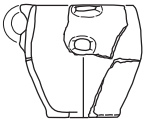
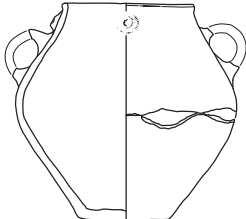






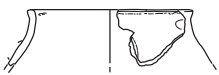


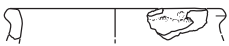


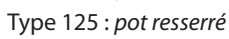

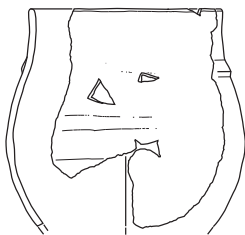


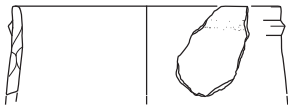
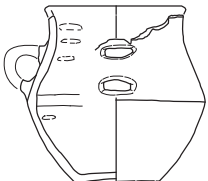


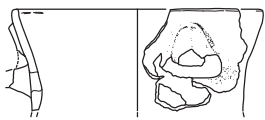
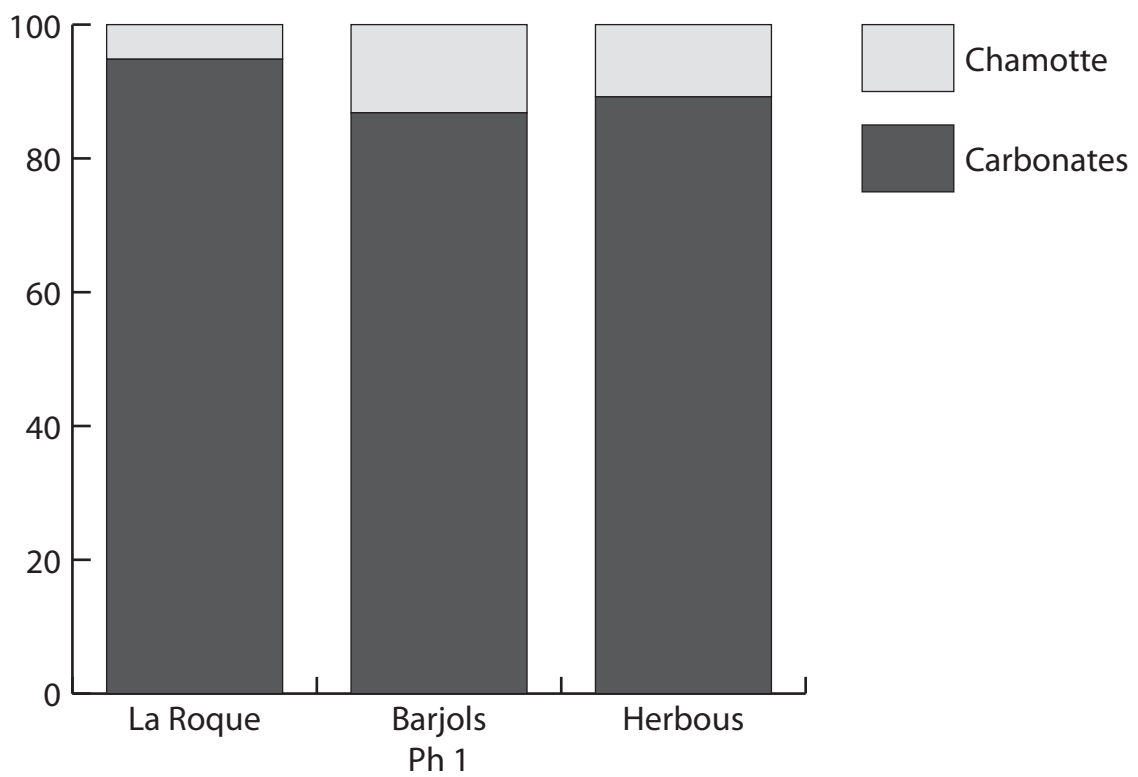




Chemin d'Herbous	Chemin de Barjols	Chemin d'Herbous	Chemin de Barjols
 <p>Type 3 : coupelle convexe</p>			
 <p>Type 11 : coupe convexe</p>		<p>Type 118 : pot galbé sinueux (simple)</p>	
 <p>Type 66 : gobelet convexe droit à parallèle</p>			
 <p>Type 67 : gobelet sinueux (simple)</p>		<p>Type 119 : pot galbé sinueux refermé</p>	
 <p>Type 68 : gobelet sinueux parallèle à PSE haut</p>			
 <p>Type 75 : gobelet caréné refermé à col divergent</p>			
 <p>Type 77a : gobelet caréné sinueux convergent étroit</p>			<p>Type 123 : pot convergent</p>
 <p>Type 78a : gobelet caréné sinueux resserré étroit</p>			
 <p>Type 91 : pot convexe à col rectiligne</p>			<p>Type 126 : pot à lèvre épaissie</p>
 <p>Type 99 : pot rectiligne à cordon</p>		<p>Type 139a : jarre rectiligne (simple) à cordon lisse pré-oral</p>	
 <p>Type 114 : pot caréné sinueux convergent</p>			
			<p>Type 125 : pot resserré</p>
		<p>Type 143 : jarre sinueuse parallèle</p>	<p>Type 155 : jarre refermée</p>
		<p>Type 157 : jarre à col divergent</p>	

Figure 321 - Le Clos de Roque, Saint-Maximin-la-Sainte-Baume (83). Planche synthétique des principaux types céramiques reconnus à Chemin de Barjols et à Chemin d'Herbous (DAO : T. Lachenal).



**Figure 322** - Le Clos de Roque, Saint-Maximin-la-Sainte-Baume (83). Fréquences des types de dégraissant sur les sites du Bronze ancien de la plaine de Saint-Maximin (DAO : T. Lachenal).

Coloration des tranches				
Type et phase de cuisson	Réductrice	Oxydante Phase III	Oxydante Phase IV	Oxydante Phase V
Effectif	17	11	17	12
<i>Pourcentage</i>	29,8 %	19,3 %	29,8 %	21,1 %

**Figure 323** - Le Clos de Roque, Saint-Maximin-la-Sainte-Baume (83). Effectifs et fréquences des types de cuisson de la céramique du Bronze ancien (DAO : T. Lachenal).

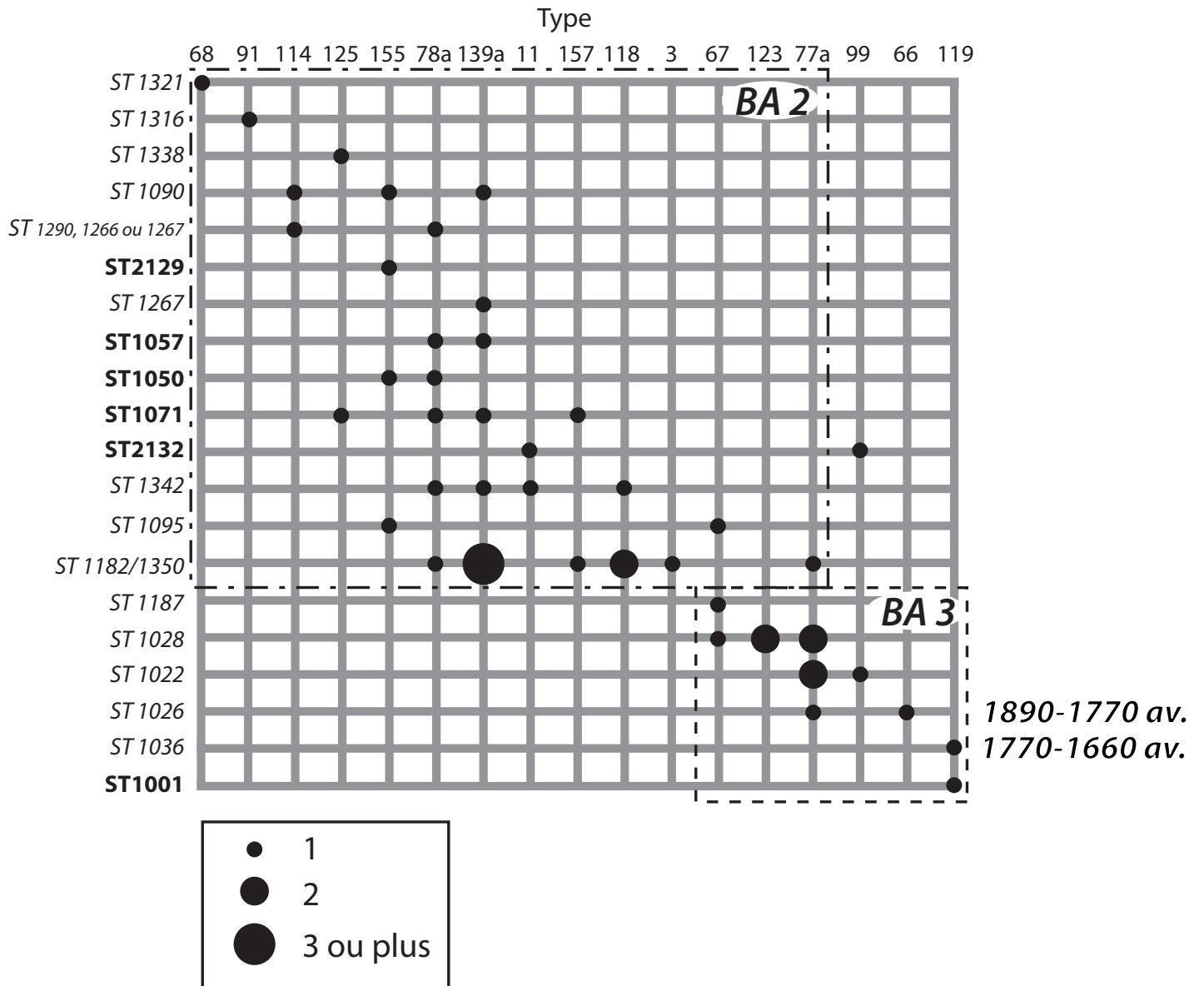


Figure 324 - Le Clos de Roque, Saint-Maximin-la-Sainte-Baume (83). Matrice diagonalisée de présence/absence des types de récipients issus des structures de Chemin de Barjols (en italique) et du Clos de Roque (en gras), permettant de mettre en évidence deux phases d'occupations lors du Bronze ancien (DAO : T. Lachenal).

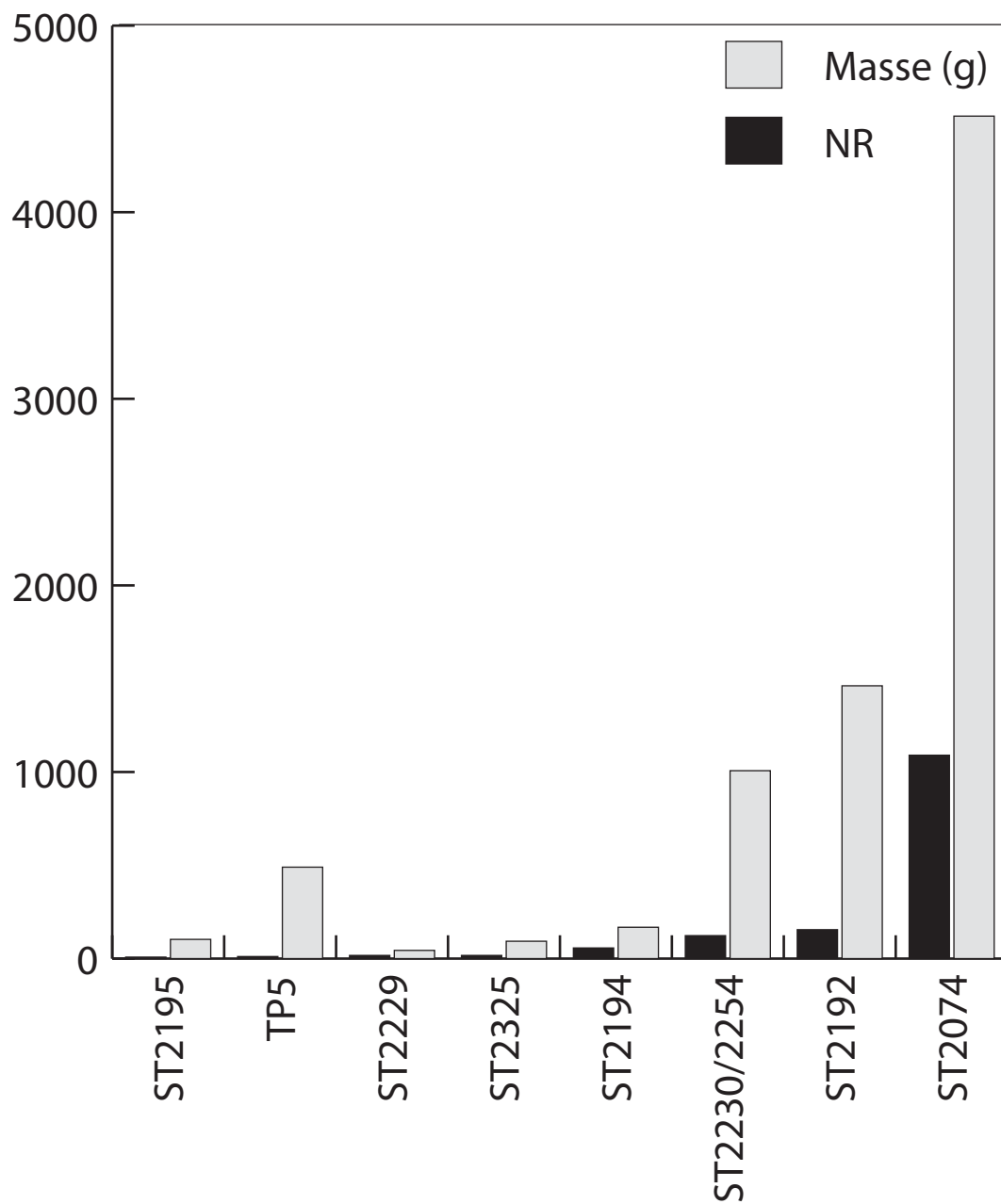






Figure 325 - Le Clos de Roque, Saint-Maximin-la-Sainte-Baume (83). Nombre de reste et poids de la céramique des principales structures du premier âge du Fer (DAO : T. Lachenal).

Coloration des tranches				
Type et phase de cuisson	Réductrice	Oxydante Phase III	Oxydante Phase IV	Oxydante Phase V
Effectif	42	6	8	10
<i>Pourcentage</i>	63,6 %	9,1 %	12,1 %	15,2 %

**Figure 326** - Le Clos de Roque, Saint-Maximin-la-Sainte-Baume (83). Effectifs et fréquences des types de cuisson de la céramique du premier âge du Fer (DAO : T. Lachenal).

	ST 2074	TP 5	ST 2192	ST 2230/2254
<i>Coupelle convexe</i>	●			
<i>Grande coupe convexe à bord droit</i>	●			
<i>Coupe et grande coupe rectiligne</i>	●			
<i>Ecuelle carénée concave</i>	●			
<i>Ecuelle carénée concave surbaissée</i>	●			
<i>Grande coupe convexe</i>	●			●
<i>Grande coupe rectiligne à marli</i>	●	●		
<i>Pot convexe à col concave divergent</i>	●		●	
<i>Coupe convexe</i>			●	
<i>Jarre carénée concave parallèle</i>			●	●

**Figure 327** - Le Clos de Roque, Saint-Maximin-la-Sainte-Baume (83). Matrice de présence/absence des types de récipients des structures du premier âge du Fer (DAO : T. Lachenal).

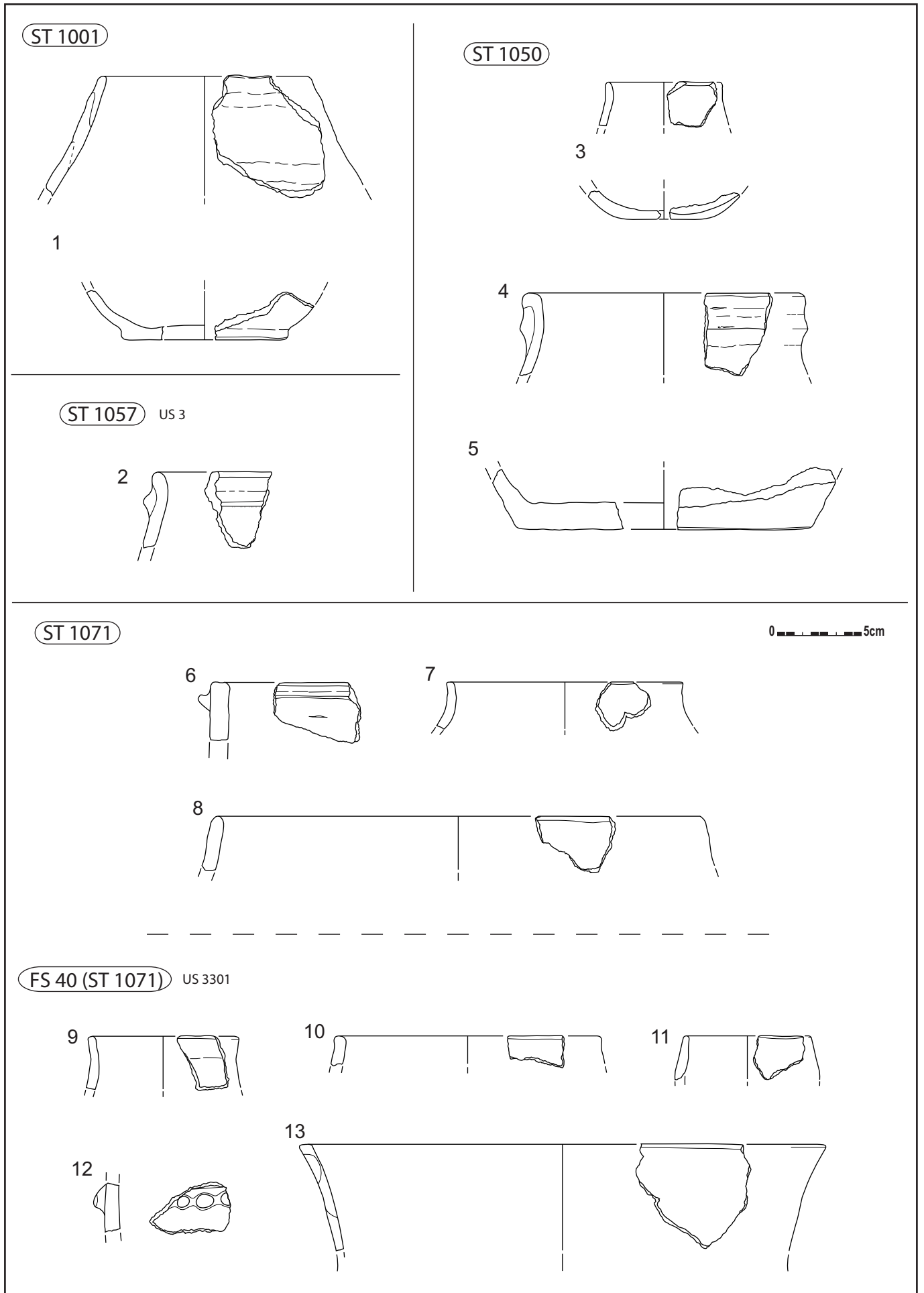


Figure 328 - Le Clos de Roque, Saint-Maximin-la-Sainte-Baume (83). Mobilier céramique de l'âge du Bronze ancien (DAO et dessins : T. Lachenal).



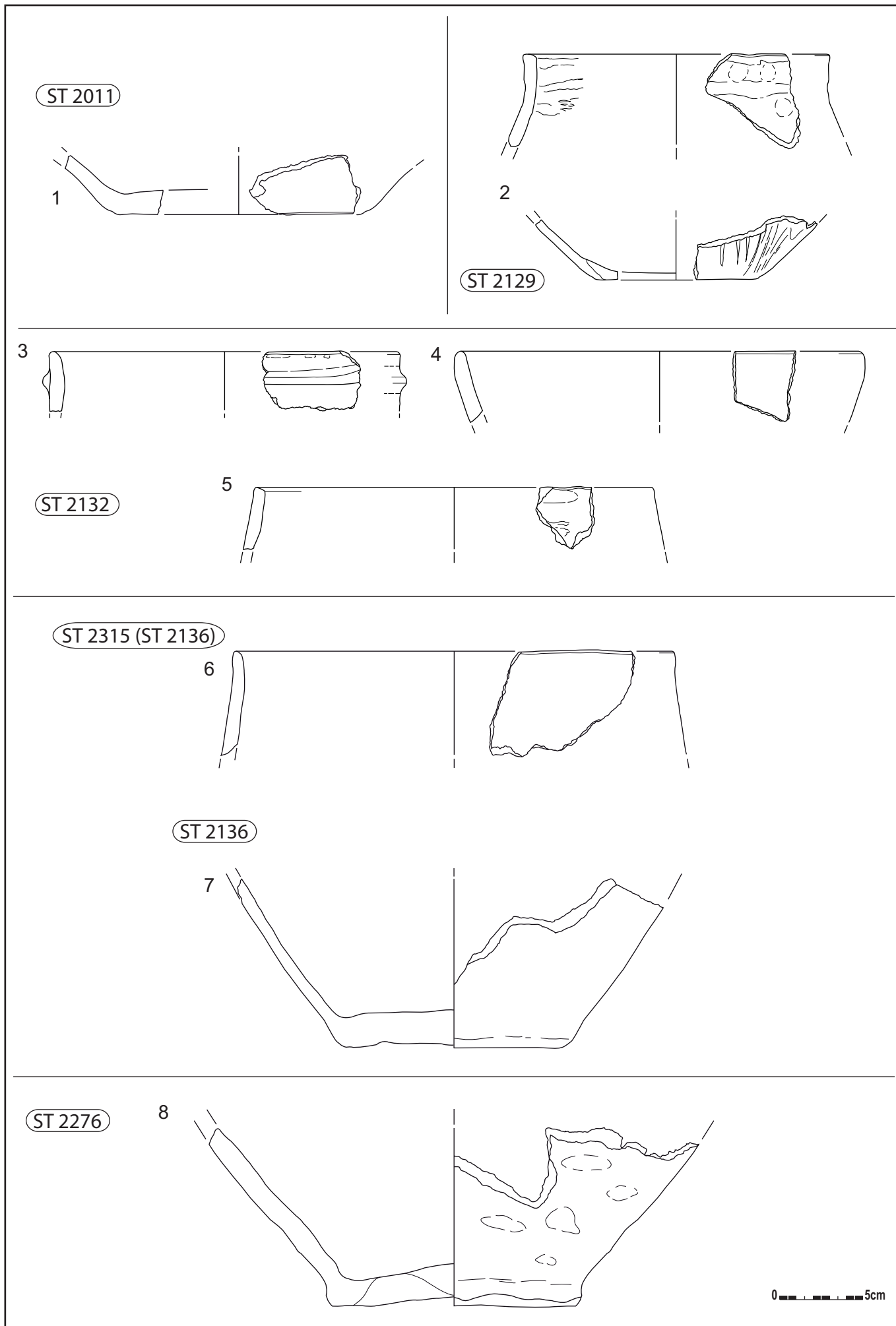


Figure 329 - Le Clos de Roque, Saint-Maximin-la-Sainte-Baume (83). Mobilier céramique de l'âge du Bronze ancien (DAO et dessins : T. Lachenal).

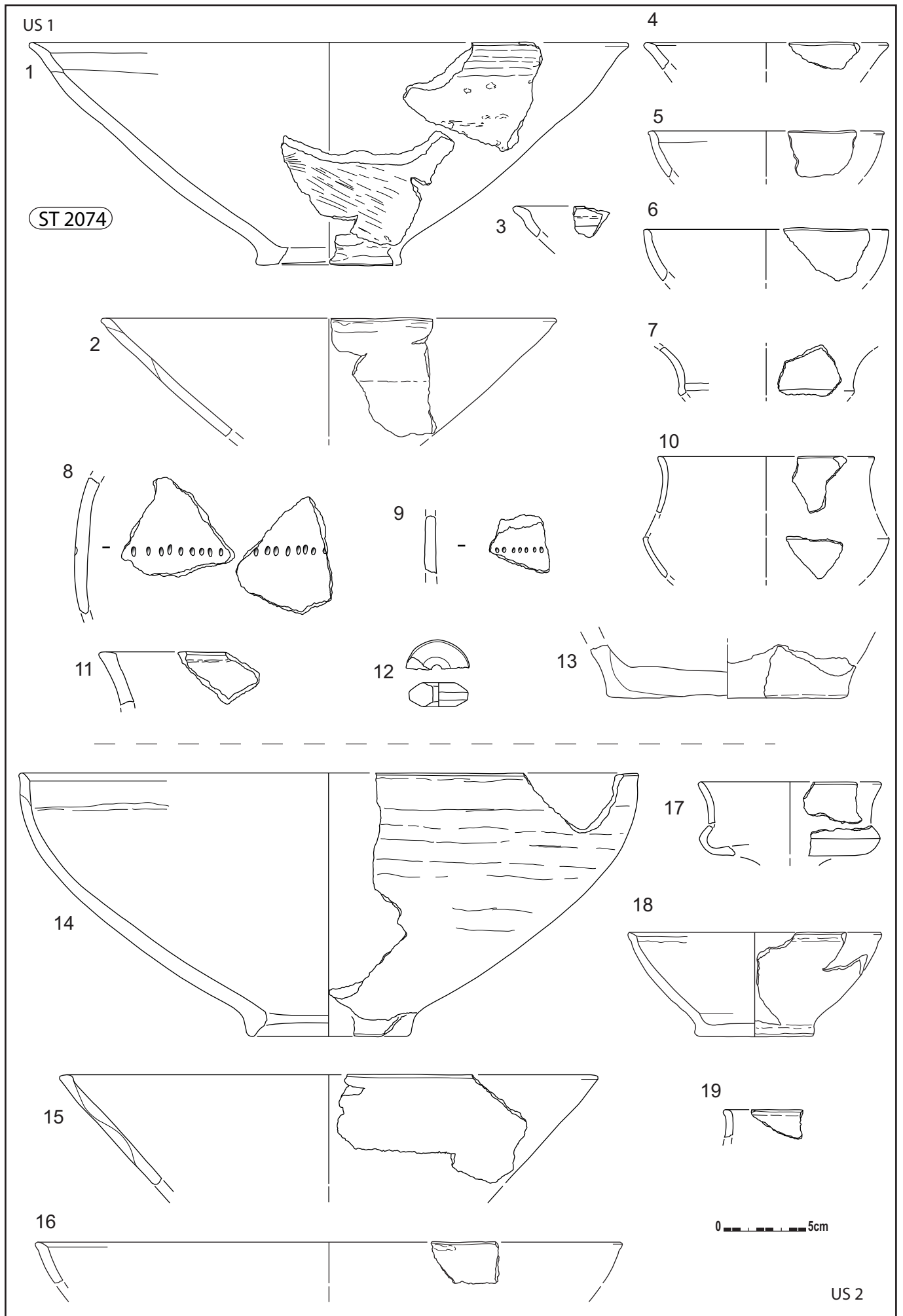


Figure 330 - Le Clos de Roque, Saint-Maximin-la-Sainte-Baume (83). Mobilier céramique du premier âge du Fer (DAO et dessins : T. Lachenal).

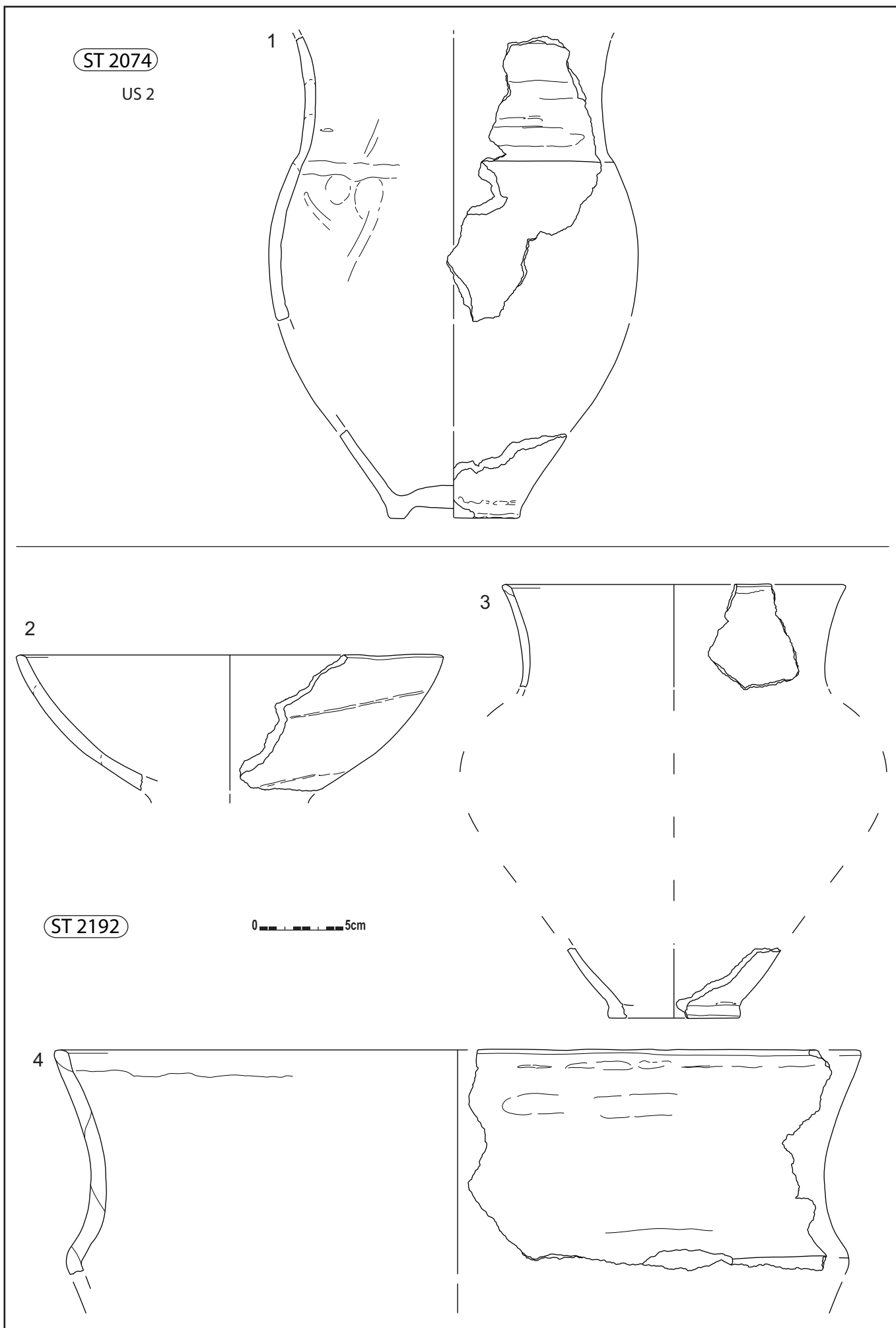
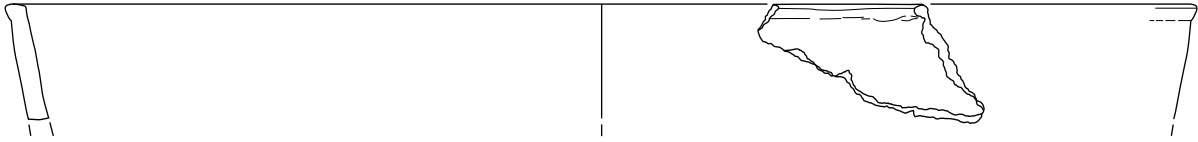


Figure 331 - Le Clos de Roque, Saint-Maximin-la-Sainte-Baume (83). Mobilier céramique du premier âge du Fer (DAO et dessins : T. Lachenal).

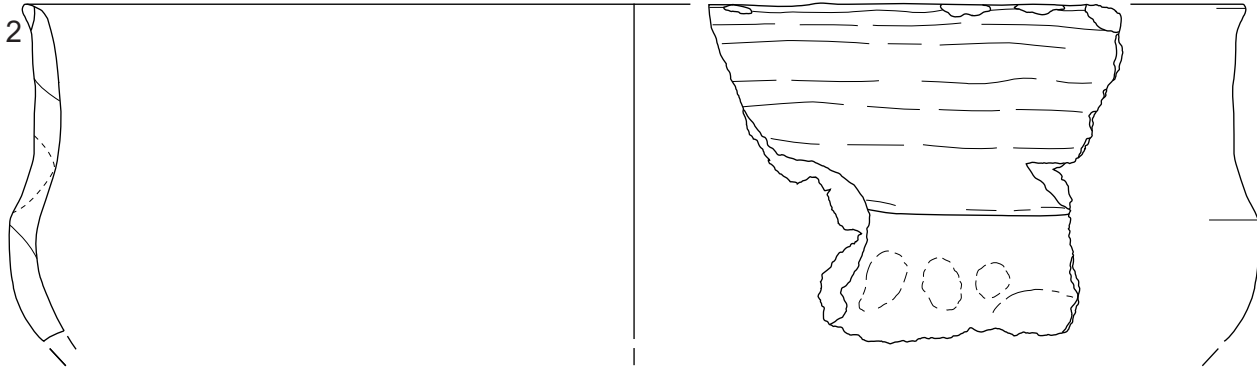
ST 2194

1



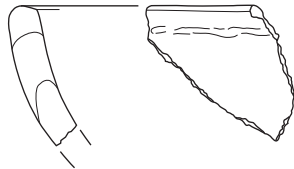
ST 2230

2



ST 2254 (2230)

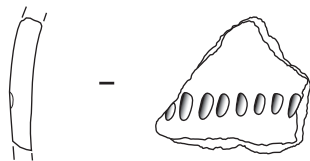
3



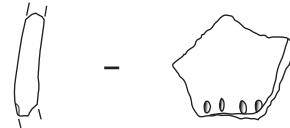
4



5



6



TP 5

7

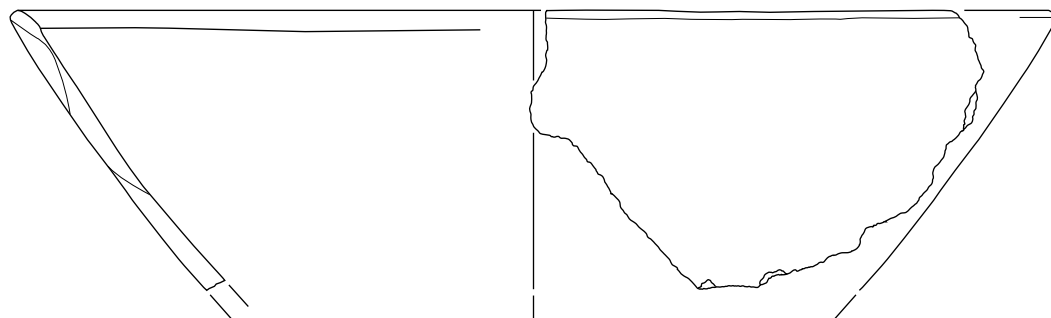


Figure 332- Le Clos de Roque, Saint-Maximin-la-Sainte-Baume (83). Mobilier céramique du premier âge du Fer (DAO et dessins : T. Lachenal).

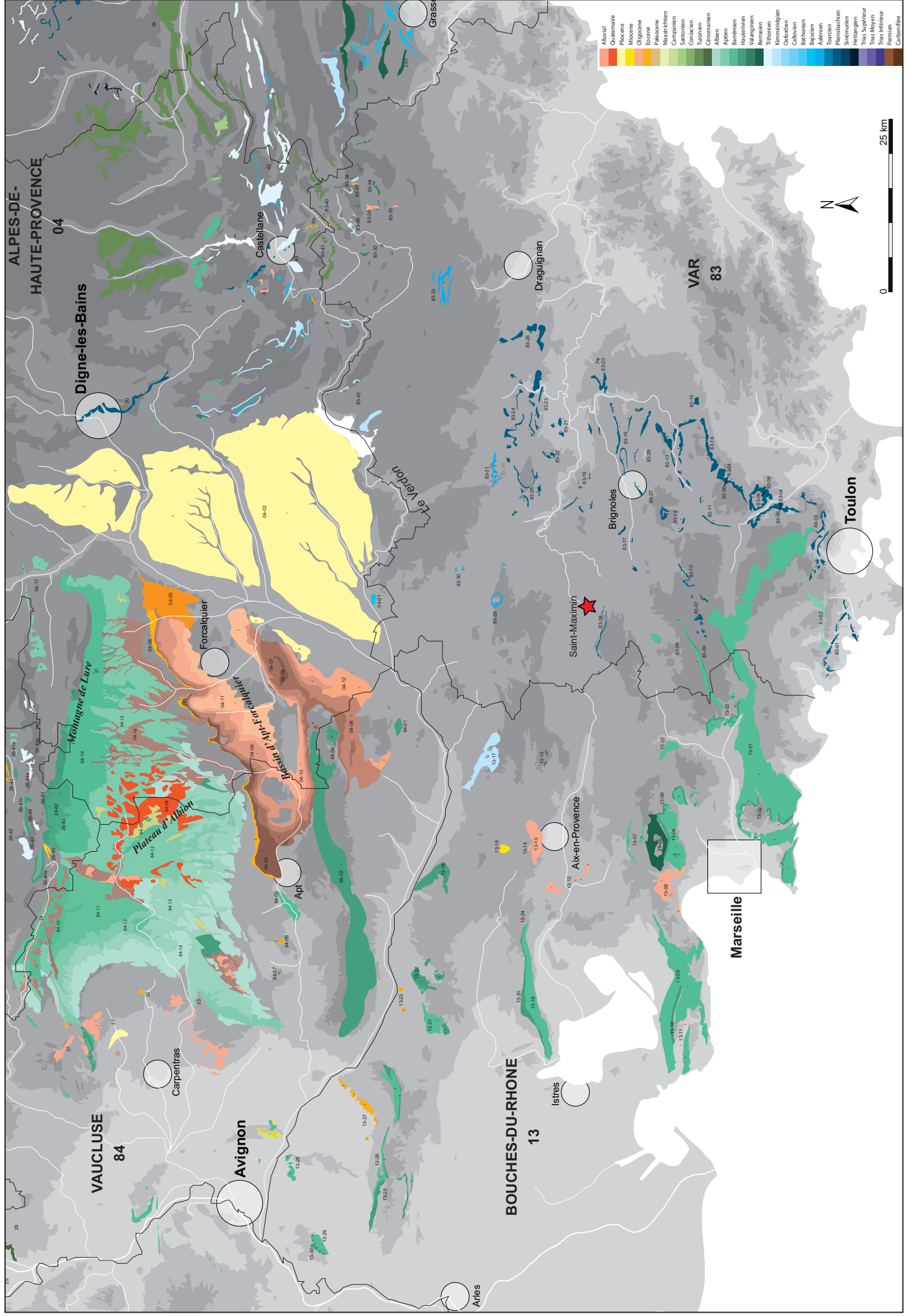


Figure 333 - Clos de Roque, Saint-Maximin-la-Sainte-Baume (83). Carte de gisements de silex inventoriés en Provence (Conception et DAO : P. Tallet, P. Fernandes).

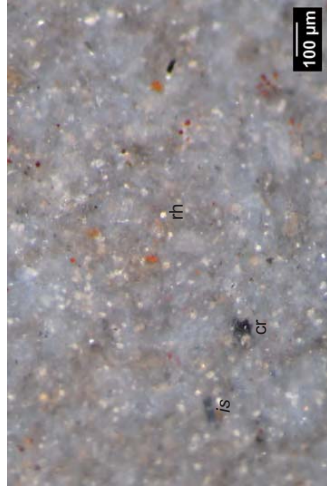


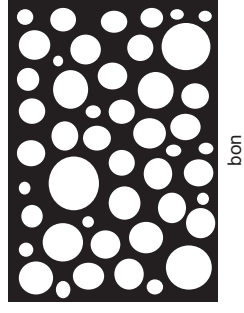
Photo 1 – Échantillon géologique 63-1, texture *wackestone* à rhomboédres, crinoïde et *inertae sedis*.



15%



Photo 2 – Échantillon géologique 63-1, texture *wackestone* à rhomboédres et foraminifères benthiques (*Glomospira* ?).



bon

Taille des clastes : 20 à 100 µm

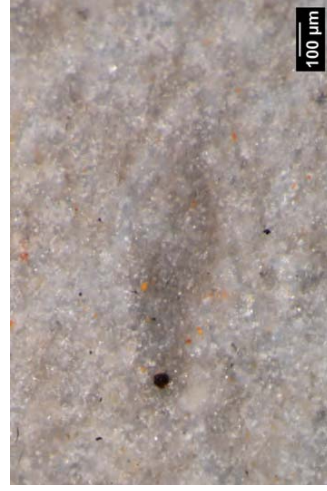


Photo 3 – Échantillon géologique 63-1, texture *mudstone* à rhomboédres et micro débris noirs et crinoïde ?

anguleux	sub-anguleux	sub-arrondi	arrondi	très arrondi

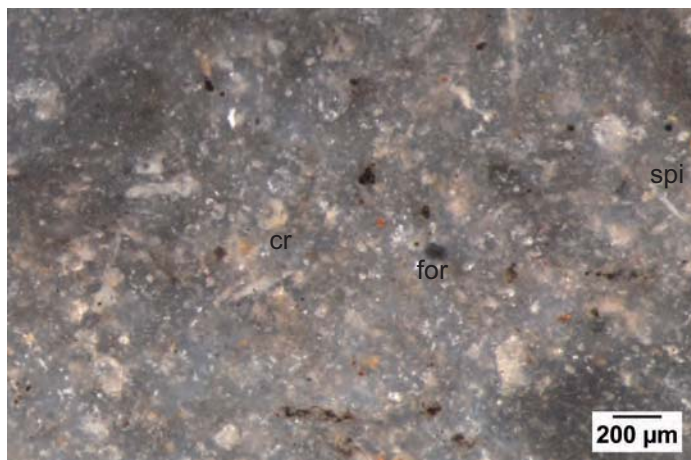
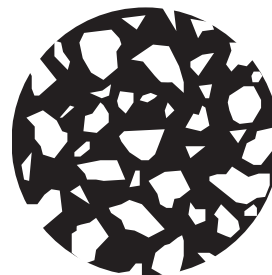


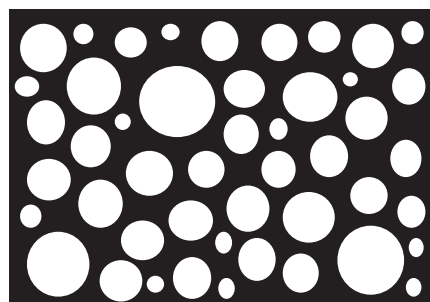
Photo 1 – Échantillon géologique 64-1, texture *wackestone* à fragments de crinoïdes, spicules et foraminifère benthique.



30%



Photo 2 – Échantillon géologique 64-1, texture *wackestone* à foraminifère benthique.



bon

Taille des clastes : 50 à 200 µm

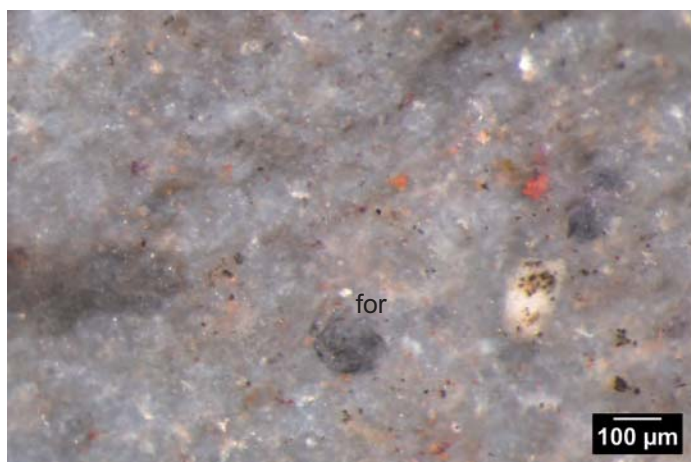


Photo 3 – Échantillon géologique 64-1, texture *wackestone* à foraminifère benthique.

anguleux	sub - anguleux	sub - arrondi	arrondi	très arrondi

**Figure 335** - Le Clos de Roque, Saint-Maximin-la-Sainte-Baume (83). Type 401, échantillon géologique prélevé à « Saint-Etienne-les-Orgues » (Montagne de Lure), dans les calcaires gris bédouliens. Formation n° 64 de Stouvenot (Clichés : P. Fernandes ; DAO : M. Dousse).

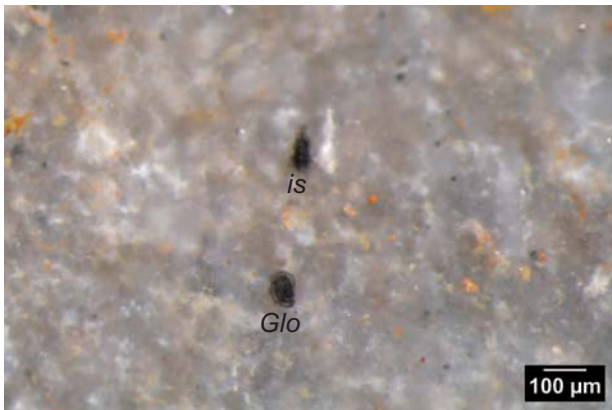


Photo 1 – Échantillon géologique 64-1, foraminifère (*Glomospira* ?) et *incertae sedis*.

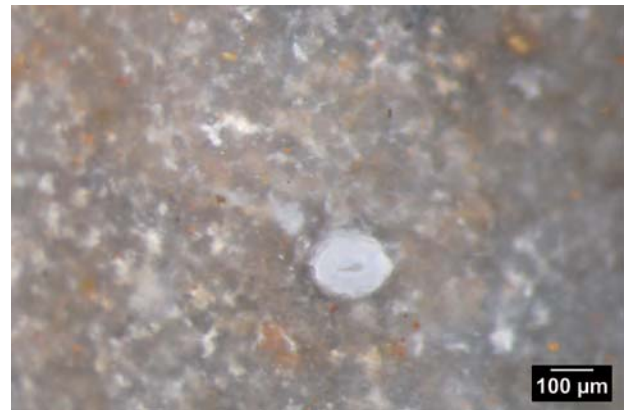


Photo 2 – Échantillon géologique 64-1.

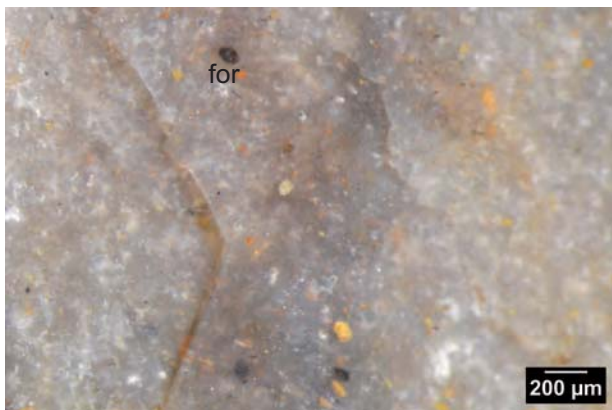


Photo 3 – Échantillon géologique 64-1.



Photo 4 – Échantillon géologique 64-1, spicules.



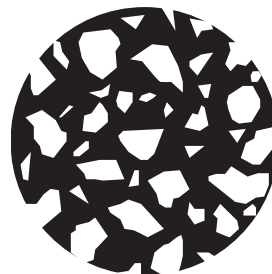
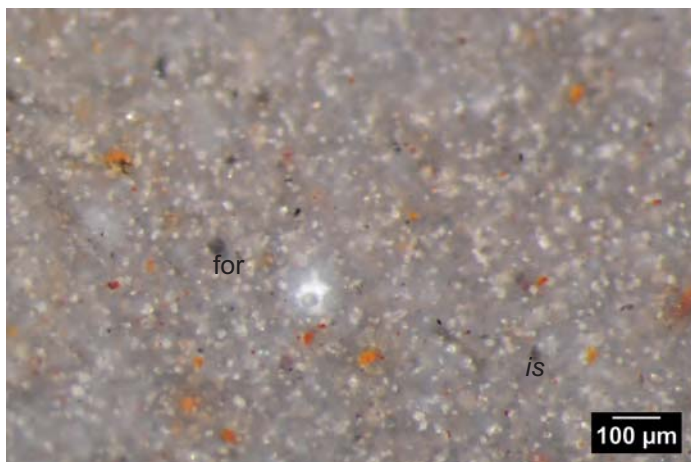
Photo 5 – Échantillon géologique 64-1.



Photo 6 – Échantillon géologique 64-1, radiolaires ?

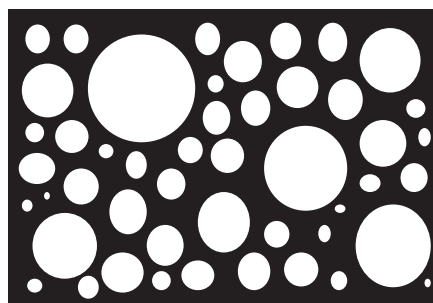
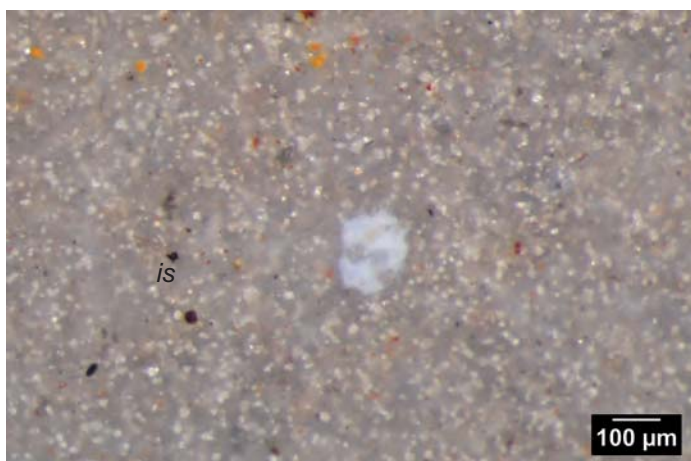
**Figure 336** - Le Clos de Roque, Saint-Maximin-la-Sainte-Baume (83). Type 401, échantillon géologique prélevé à « Saint-Etienne-les-Orgues » (Montagne de Lure), dans les calcaires gris bédouliens. Formation n° 64 de Stouvenot (Clichés : P. Fernandes ; DAO : M. Dousse).





30%

Photo 1 – Échantillon géologique 62-1, texture *wackestone* riche en rhomboédres, *incertae sedis*, formaminifères et débris organiques indéterminés.



modéré

Photo 2 – Échantillon géologique 62-1, texture *mudstone* riche en rhomboédres, *incertae sedis* et algue ?

Taille des clastes : 20 à 200 µm  
 Taille des rhomboédres : entre 10 et 30 µm

anguleux	sub - anguleux	sub - arrondi	arrondi	très arrondi

**Figure 337** - Le Clos de Roque, Saint-Maximin-la-Sainte-Baume (83). Type 407, échantillon géologique prélevé à « les Paulons » (Peipin), dans les calcaires gris bédouliens. Formation n° 62 de Stouvenot (Clichés : P. Fernandes ; DAO : M. Dousse).

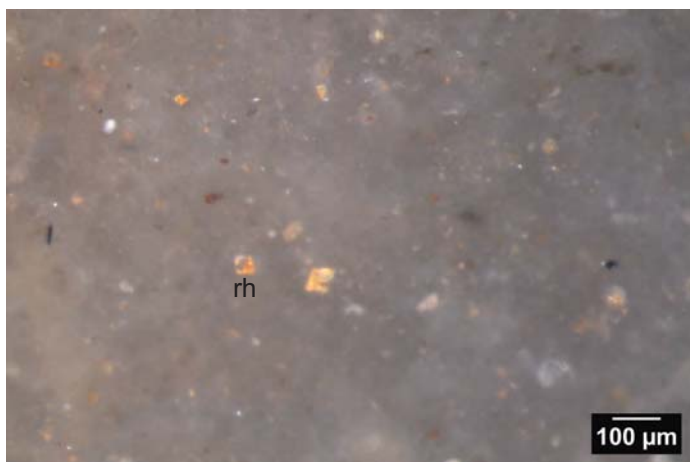
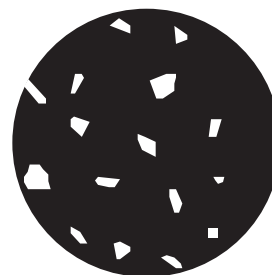


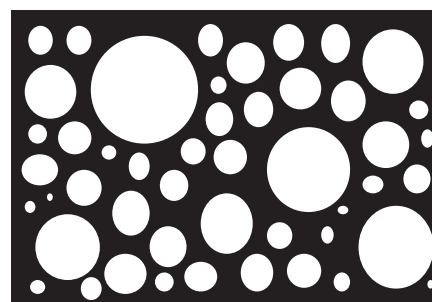
Photo 1 – Échantillon géologique 57-1, texture *mudstone* à boxworks rhomboédriques et débris noirs.



5%



Photo 2 – Échantillon géologique 57-1, texture *wackestone* à rhomboédres, spicules et foraminifère.



modéré

Taille des clastes : 100 à 200 μm

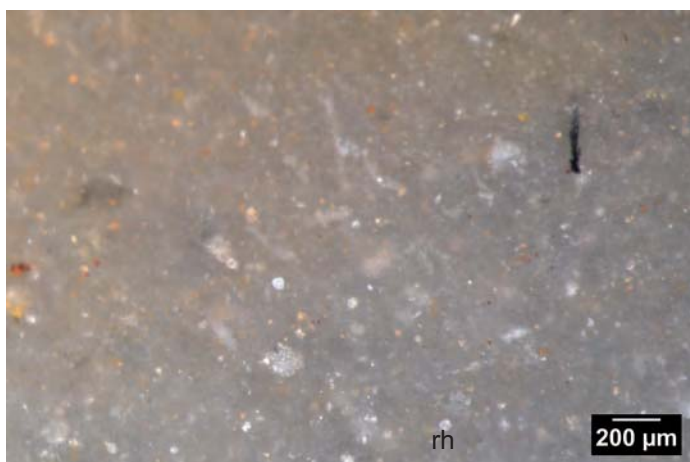


Photo 3 – Échantillon géologique 57-1, texture *mudstone* à boxworks rhomboédriques et débris noir.

anguleux	sub - anguleux	sub - arrondi	arrondi	très arrondi

**Figure 338** - Le Clos de Roque, Saint-Maximin-la-Sainte-Baume (83). Type 402, échantillon géologique prélevé à « Cheneryilles » (Saint-Christol), dans les calcaires bédouliens du plateau d'Albion. Formation n° 57 de Stouvenot (Clichés : P. Fernandes ; DAO : M. Dousse).

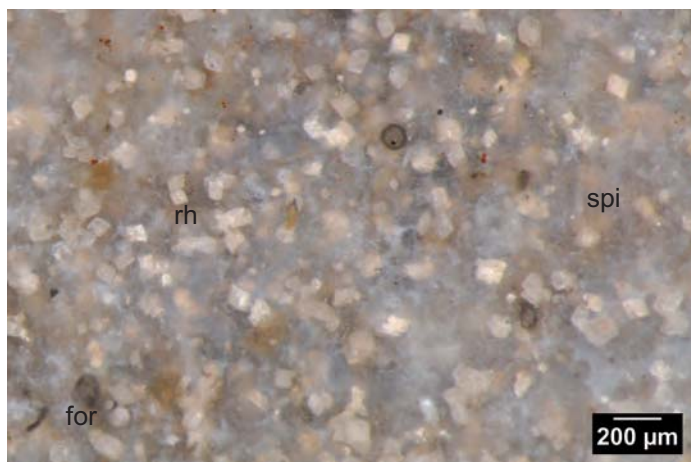
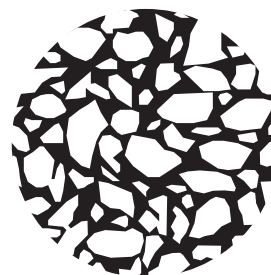


Photo 1 – Échantillon géologique 55-1, texture *packstone* à rhomboédres, fantômes de spicules, *incertae sedis* et foraminifère.



50%

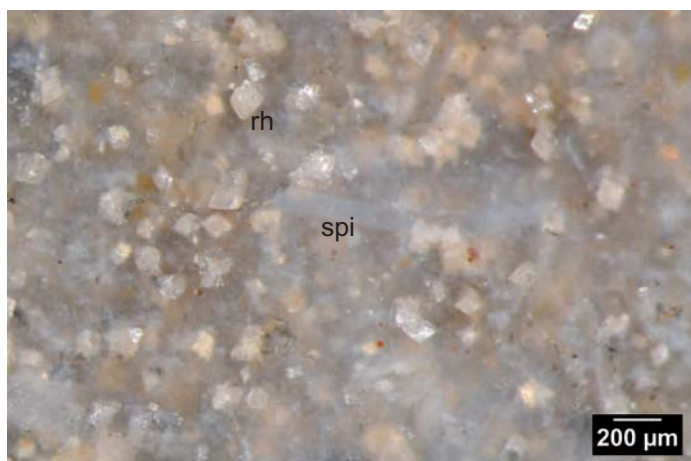
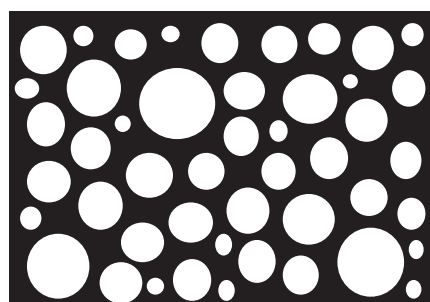


Photo 2 – Échantillon géologique 55-1, texture *packstone* à rhomboédres, fantômes de spicules, *incertae sedis* et foraminifère.



bon

Taille des clastes : 100 à 200 µm  
Taille des rhomboédres : 100 µm de moyenne

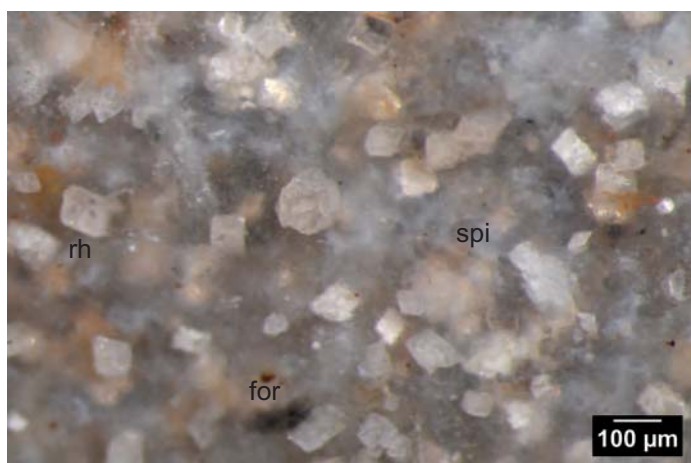


Photo 3 – Échantillon géologique 55-1, texture *packstone* à rhomboédres, fantômes de spicules et foraminifère.

anguleux	sub - anguleux	sub - arrondi	arrondi	très arrondi

**Figure 339** - Le Clos de Roque, Saint-Maximin-la-Sainte-Baume (83). Type 403, échantillon géologique prélevé à « la Jeannette » (Saint-Christol), dans les calcaires beiges bédouliens (Clichés : P. Fernandes ; DAO : M. Dousse).



Photo 1 – Échantillon géologique 55-1 à rhomboèdres, fantômes de spicules, *incertae sedis* et foraminifères.

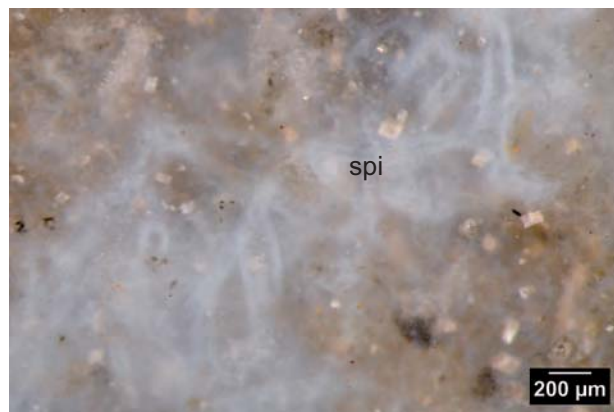


Photo 2 – Échantillon géologique 55-1 à fantômes de spicules, rhomboèdres, *incertae sedis* et foraminifères.



Photo 3 – Échantillon géologique 55-1 à rhomboèdres, fantômes de spicules et *incertae sedis*.

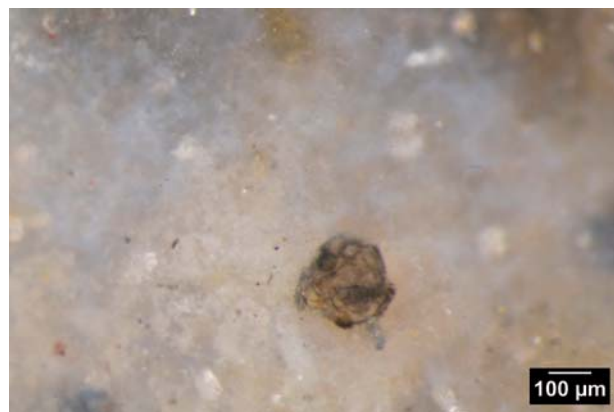


Photo 4 – Échantillon géologique 55-1 à foraminifère benthique (*Trochammina* ?) et fantômes de spicules.

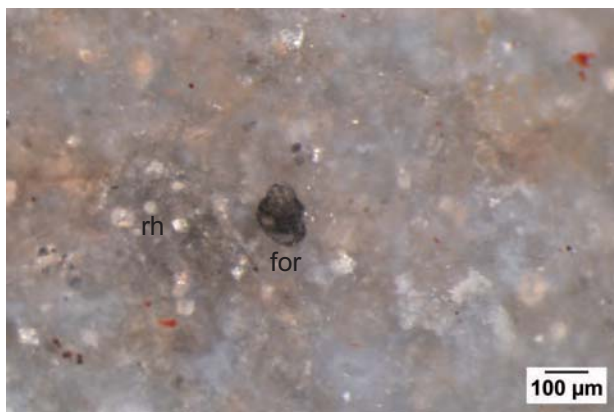


Photo 5 – Échantillon géologique 55-2 à rhomboèdres, foraminifère benthique indéterminé et fantômes de spicules.

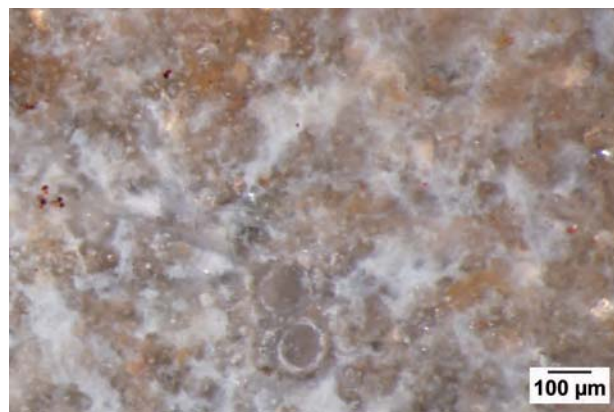


Photo 6 – Échantillon géologique 55-2 à serpules ?

**Figure 340** - Le Clos de Roque, Saint-Maximin-la-Sainte-Baume (83). Type 403, échantillons géologiques prélevés à « la Jeannette » (Saint-Christol), dans les calcaires beiges bédouliens. Formation n° 55 de Stouvenot (Clichés : P. Fernandes ; DAO : M. Dousse).

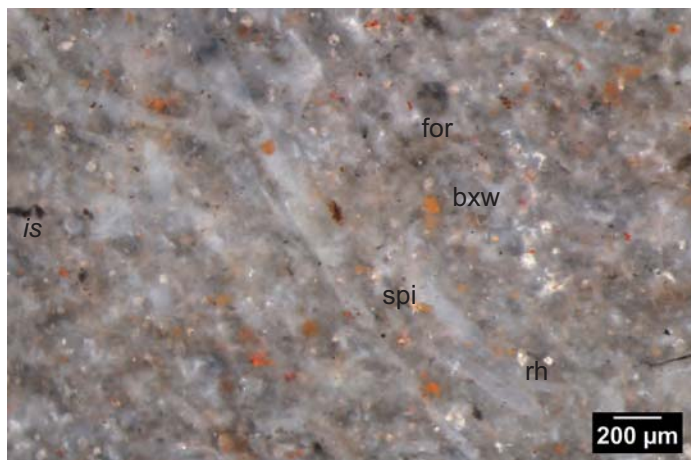
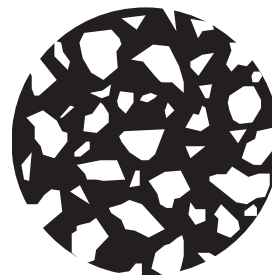


Photo 1 – Échantillon géologique 54-1, texture *wackestone* à spicules, rhomboédres (boxworks), foraminifère et *incertae sedis*.



30%

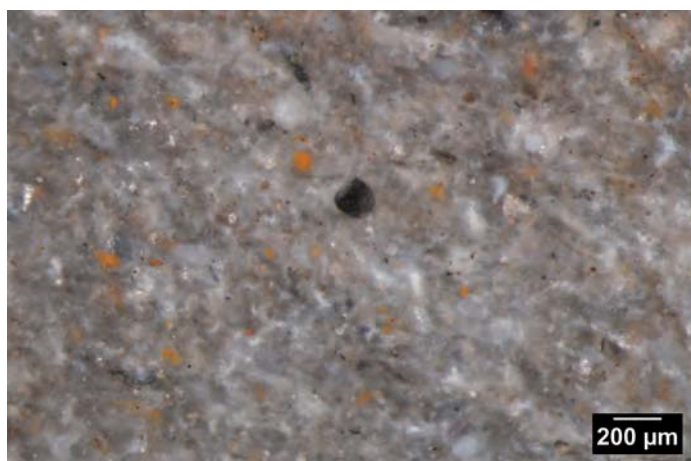
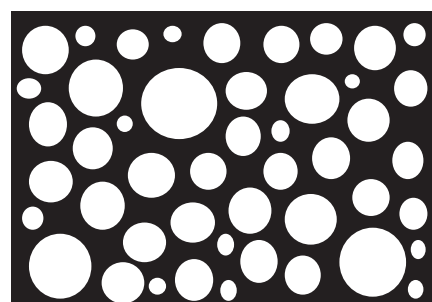


Photo 2 – Échantillon géologique 54-1, texture *wackestone* à spicules, rhomboédres (boxworks), foraminifère et *incertae sedis*.



bon

Taille des clastes : 200 à 400 µm



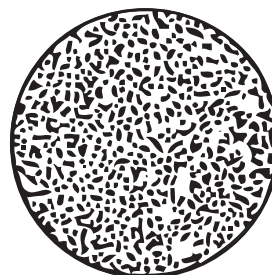
Photo 3 – Échantillon géologique 54-1, texture *wackestone* à spicules, rhomboédres (boxworks), *incertae sedis* et foraminifère.

anguleux	sub - anguleux	sub - arrondi	arrondi	très arrondi

**Figure 341** - Le Clos de Roque, Saint-Maximin-la-Sainte-Baume (83). Type 404, échantillon géologique prélevé au « Revest du Bion » (Le Revest du Bion), dans les calcaires beiges bédouliens du plateau d'Albion. Formation n° 54 de Stouvenot (Clichés : P. Fernandes ; DAO : M. Dousse).



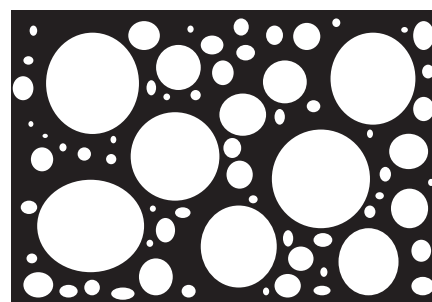
Photo 1 – Échantillon géologique 66-1 à laminations, texture *packstone* à *mudstone* à débris de characées.



30%



Photo 2 – Échantillon géologique 66-1 à laminations, texture *packstone* à *mudstone* à débris de characées.



faible

Taille des clastes : 20 à 400 µm



Photo 3 – Échantillon géologique 66-2, texture *packstone* à débris de characées et de gastropodes à remplissage de macroquartz.

anguleux	sub - anguleux	sub - arrondi	arrondi	très arrondi

**Figure 342** - Le Clos de Roque, Saint-Maximin-la-Sainte-Baume (83). Type 400, échantillons géologiques prélevés le long de la départementale 216 (Le Revest-Saint-Martin), dans les calcaires stampiens lacustres massifs. Formation n° 68 de Stouvenot (Clichés : P. Fernandes ; DAO : M. Dousse).



Photo 1 – Échantillon géologique 67-1, texture *wackestone* à thalles de characées et débris organiques noirs.

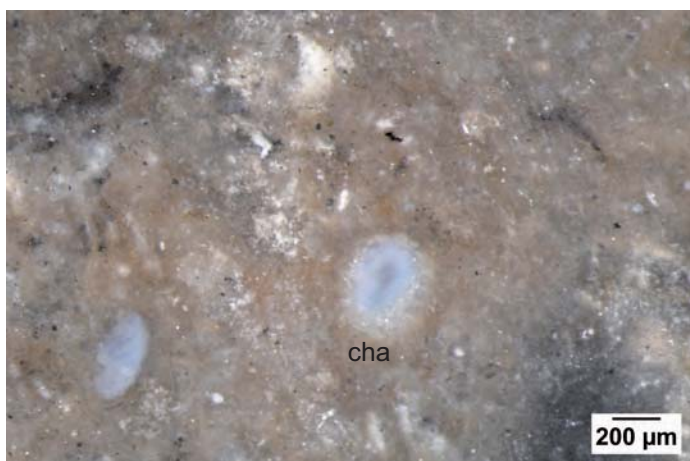
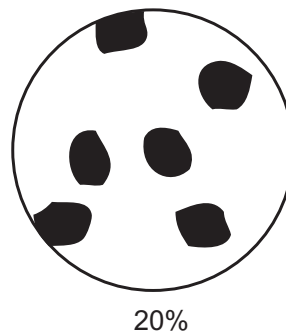
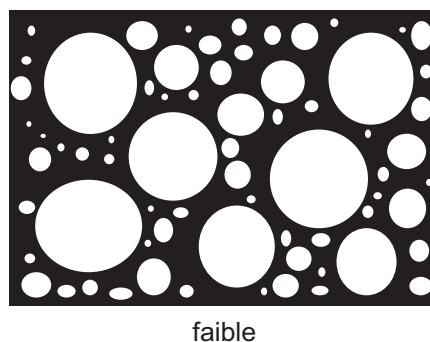


Photo 2 – Échantillon géologique 67-1, texture *wackestone* à thalles de characées et débris organiques noirs.



Taille des clastes : 300 à 400 µm



Photo 3 – Échantillon géologique 67-1, texture *wackestone* à oogone de characées et débris organiques noirs.

anguleux	sub - anguleux	sub - arrondi	arrondi	très arrondi

**Figure 343** - Le Clos de Roque, Saint-Maximin-la-Sainte-Baume (83). Type 410, échantillon géologique prélevé au « Fontienne » (Fontienne), dans les calcaires en plaquettes de Sigonce. Formation n° 67 de Stouvenot (Clichés : P. Fernandes ; DAO : M. Dousse).

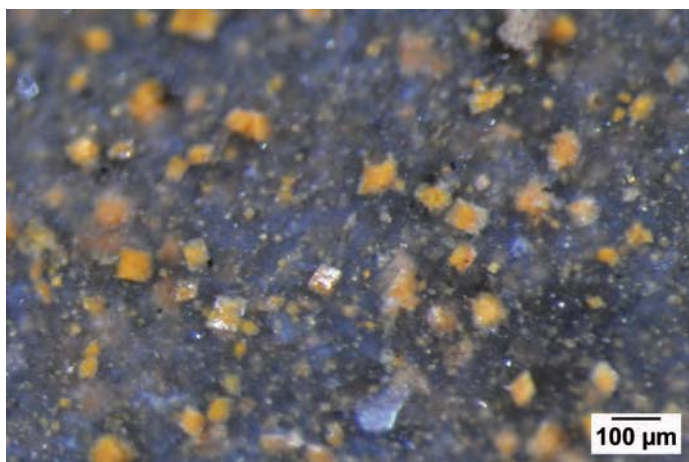
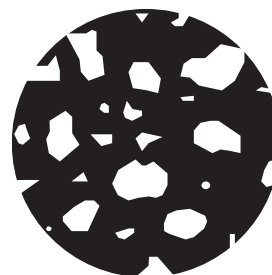


Photo 1 – Échantillon géologique 10-1, texture *wackestone* à rhomboédres oxydés dans la zone sous corticale.



20%

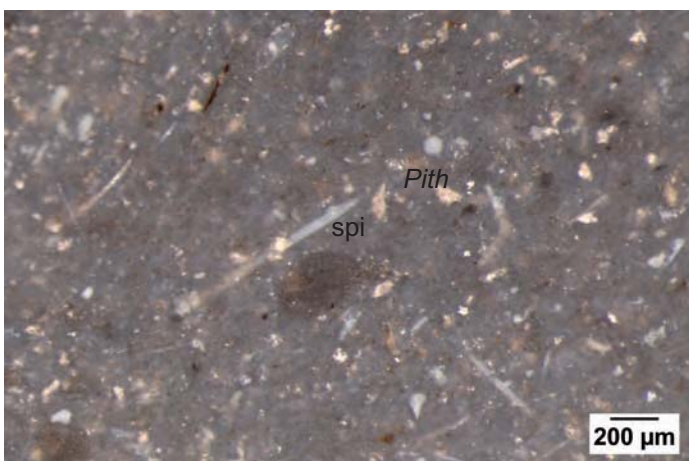
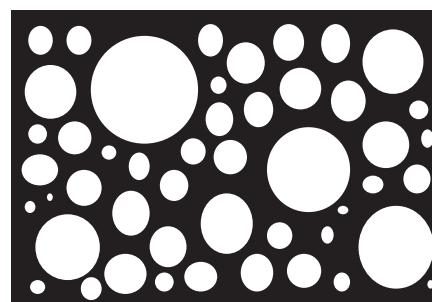


Photo 2 – Échantillon géologique 10-1, texture *wackestone* à spicules et *Pithonella* dans la zone interne.



modéré

Taille des clastes : 100 à 200 µm

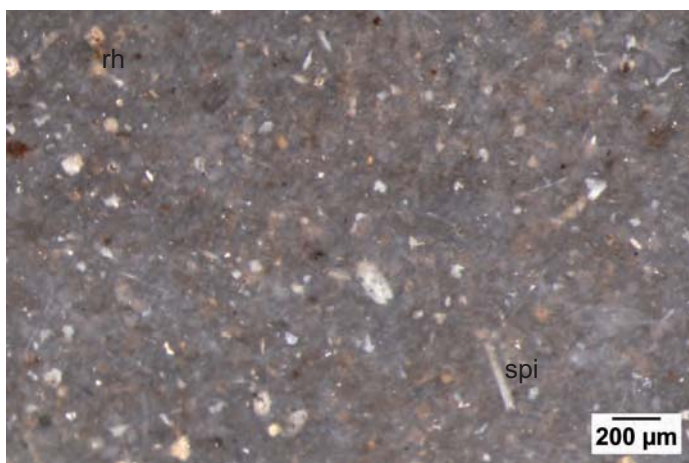


Photo 3 – Échantillon géologique 10-1, texture *wackestone* à spicules, rhomboédres et débris indéterminé dans la zone interne.

anguleux	sub - anguleux	sub - arrondi	arrondi	très arrondi

**Figure 344** - Le Clos de Roque, Saint-Maximin-la-Sainte-Baume (83). Type 436, échantillon géologique prélevé au « Montgervis » (Sisteron), dans les calcaires gris de l'Aptien. Formation n° 10 de Stouvenot (Clichés : P. Fernandes ; DAO : M. Dousse).



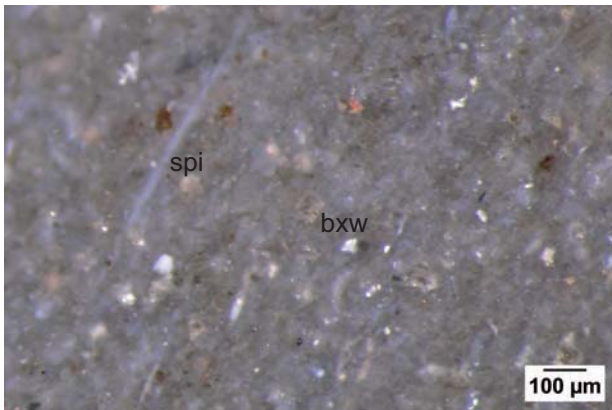


Photo 1 – Échantillon géologique 10-1 à spicules, rhomboédres, boxworks et débris noirs.

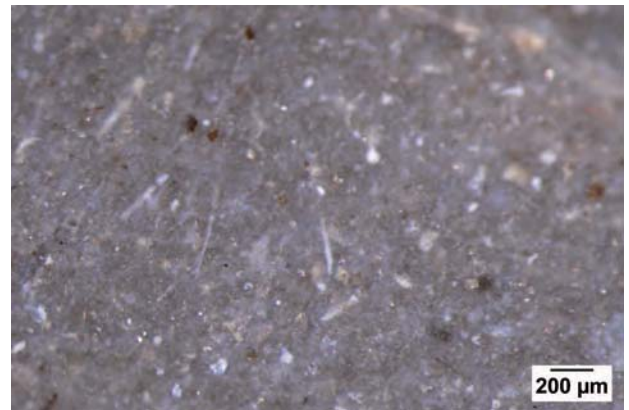


Photo 2 – Échantillon géologique 10-1 à spicules, rhomboédres et débris noirs.

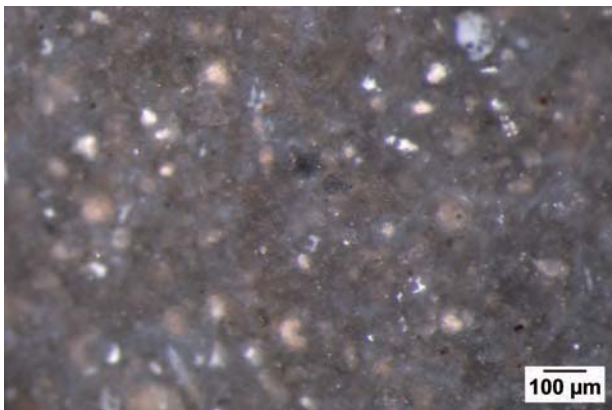


Photo 3 – Échantillon géologique 10-1 à spicules et débris noirs.

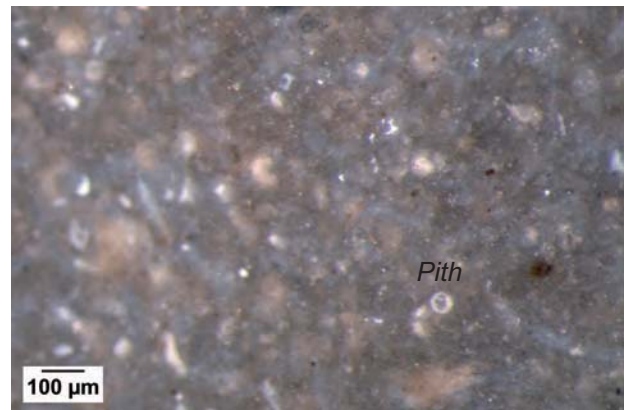


Photo 4 – Échantillon géologique 10-1 à spicules, débris noirs et *Pithonella*.

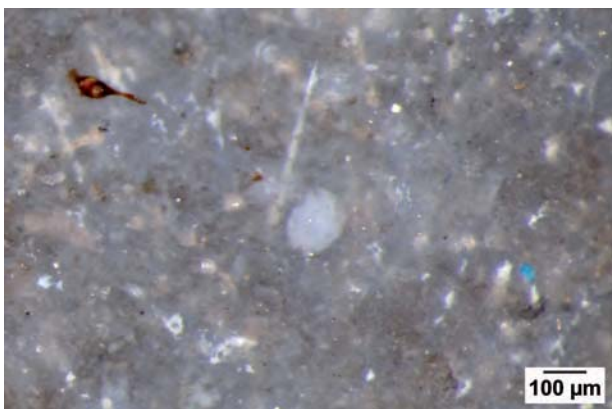


Photo 5 – Échantillon géologique 10-1 à spicules, rhomboédres et débris d'algues ?



Photo 6 – Échantillon géologique 10-1 à spicules, rhomboédres et foraminifère.

**Figure 345** - Le Clos de Roque, Saint-Maximin-la-Sainte-Baume (83). Type 436, échantillon géologique prélevé au « Montgervis » (Sisteron), dans les calcaires gris de l'Aptien. Formation n° 10 de Stouvenot (Clichés : P. Fernandes ; DAO : M. Dousse).

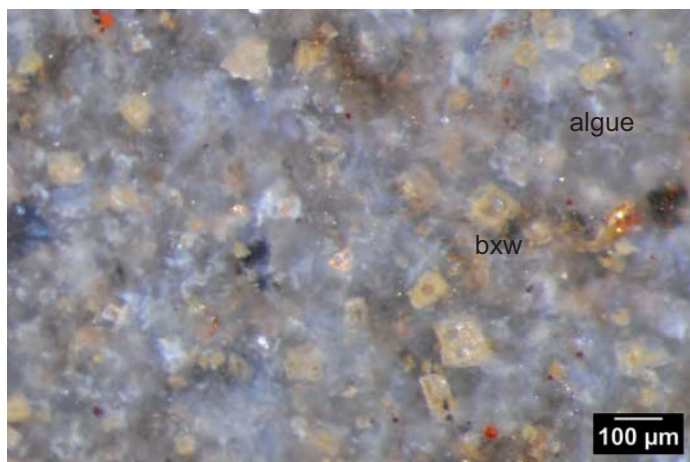
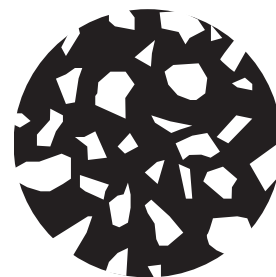


Photo 1 – Échantillon géologique 58-2, texture *packstone* à boxworks rhomboédriques, débris d'algues et clastes noirs non indentifiés.



25%

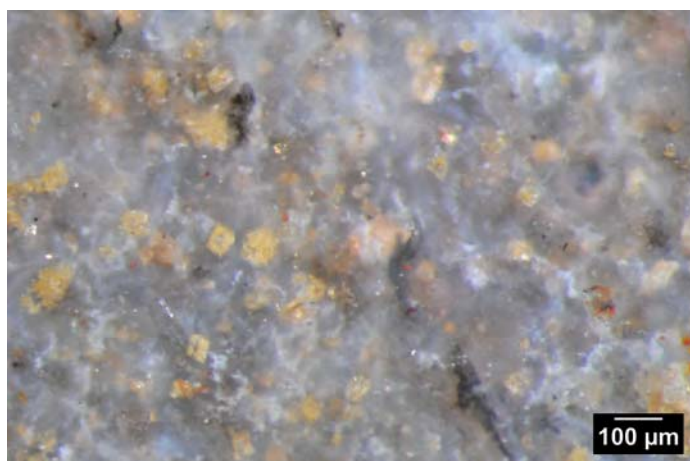
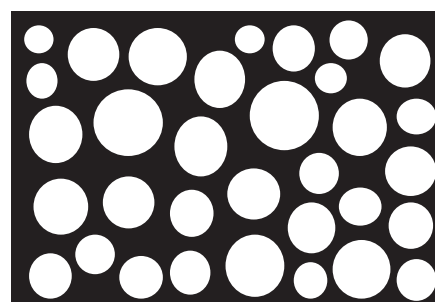


Photo 2 – Échantillon géologique 58-2, texture *packstone* à boxworks rhomboédriques et *incertae sedis*.



très bon

Taille des clastes : 100 à 200 µm  
 Taille des rhomboèdres : 50 à 100 µm

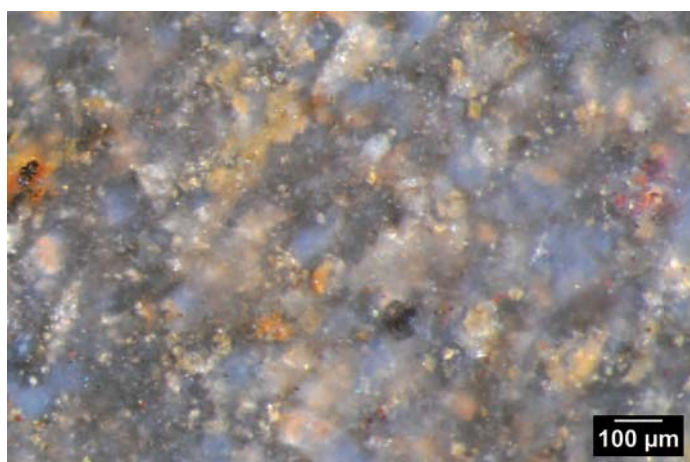


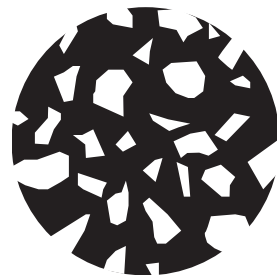
Photo 3 – Échantillon géologique 58-1, texture *packstone* à rhomboèdres, fantômes de spicules et foraminifère.

anguleux	sub - anguleux	sub - arrondi	arrondi	très arrondi

**Figure 346** - Le Clos de Roque, Saint-Maximin-la-Sainte-Baume (83). Type 405, échantillons géologiques prélevés à « Clausonne » (le Saix), dans les calcaires gris hauteriviens de la montagne d'Aujourd. Formation n° 58 de Stouvenot (Clichés : P. Fernandes ; DAO : M. Dousse).



Photo 1 – Échantillon géologique 66-2, texture *wackestone* à oncoïdes, lumps et débris organiques noirs.



25%

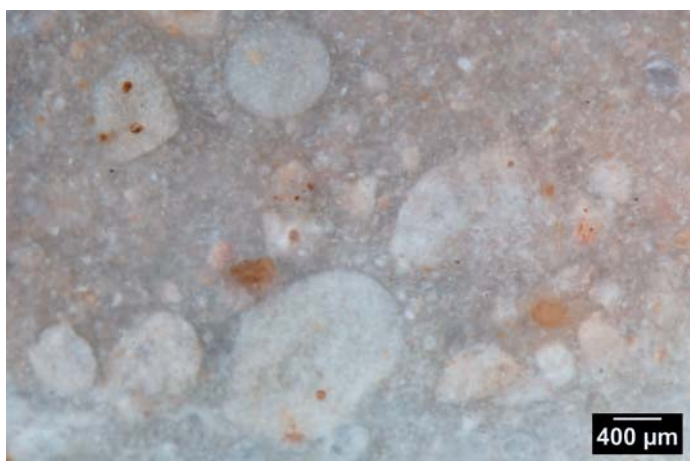
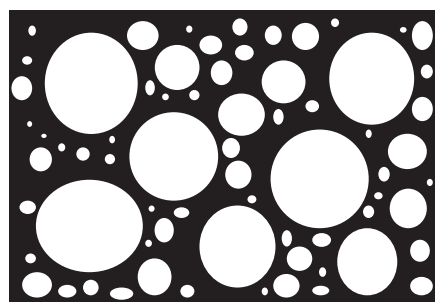


Photo 2 – Échantillon géologique 59B, texture *wackestone* à pseudoolithes.



faible

Taille des clastes : de 50 à > 800 µm



Photo 3 – Échantillon géologique 59C, texture *wackestone* à oncoïdes.

anguleux	sub - anguleux	sub - arrondi	arrondi	très arrondi

**Figure 347** - Le Clos de Roque, Saint-Maximin-la-Sainte-Baume (83). Type 414 : échantillon géologique prélevé à la « forêt de Sigonce » (Fontienne) dans les poudingues marneux. Formation n° 66 de Stouvenot. Type 414b : échantillons géologiques prélevés au « mont Saint-Laurent » (Vachères) dans les poudingues argileux rouges. Formation n° 59 de Stouvenot (Clichés : P. Fernandes ; DAO : M. Dousse).

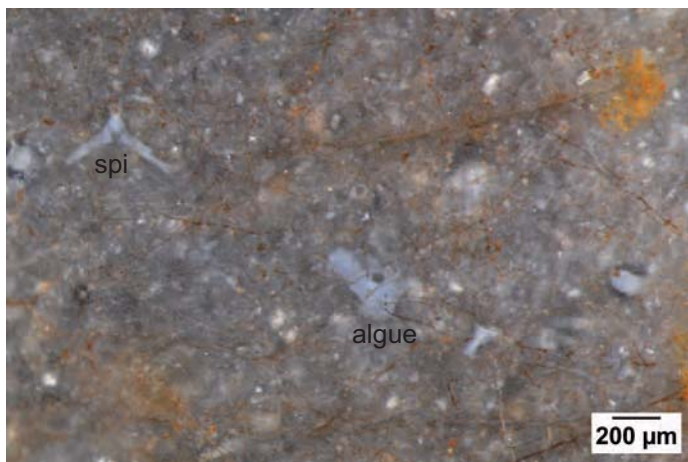


Photo 1 – Échantillon géologique 428-2, texture *wackestone* à spicules et débris d'algues.

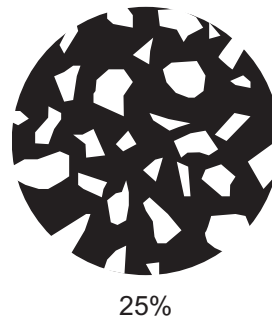
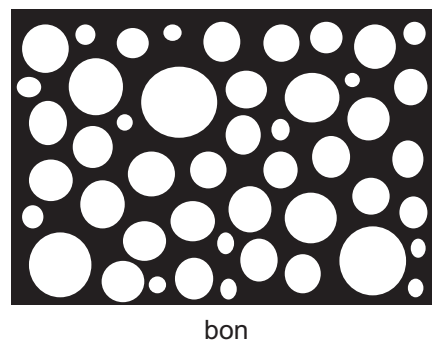


Photo 2 – Échantillon géologique 428-1 à rhomboédres.



Taille des clastes : 100 à 300 µm  
 Taille des rhomboédres : 200 µm



Photo 3 – Échantillon géologique 428-3, texture *wackestone* à gastropode et oolithes.

anguleux	sub - anguleux	sub - arrondi	arrondi	très arrondi

**Figure 348** - Le Clos de Roque, Saint-Maximin-la-Sainte-Baume (83). Type 428, échantillons géologiques prélevés à « les Moulières » (Pourcieux), dans les calcaires bajociens inférieurs. Prélèvements P. Fernandes (Clichés : P. Fernandes ; DAO : M. Dousse).

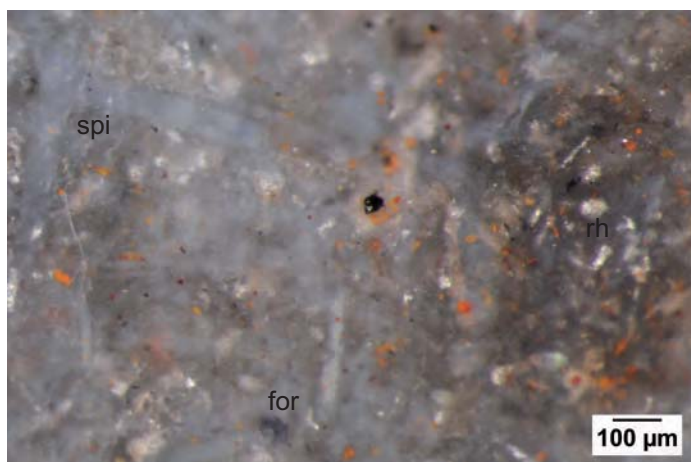
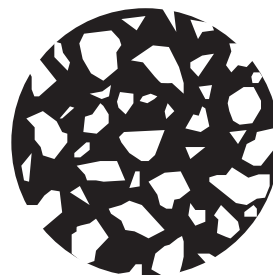


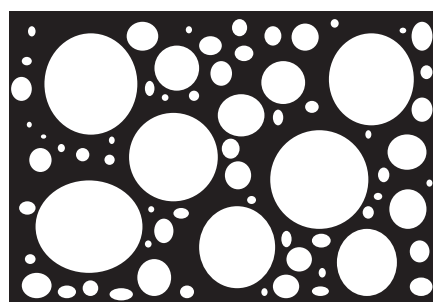
Photo 1 – Échantillon géologique 429-9, texture *wackestone* à spicules, rhomboédres et foraminifère.



30%



Photo 2 – Échantillon géologique 429-9, texture *wackestone* à spicules et rhomboédres.



faible

Taille des clastes : 50 à 100 µm

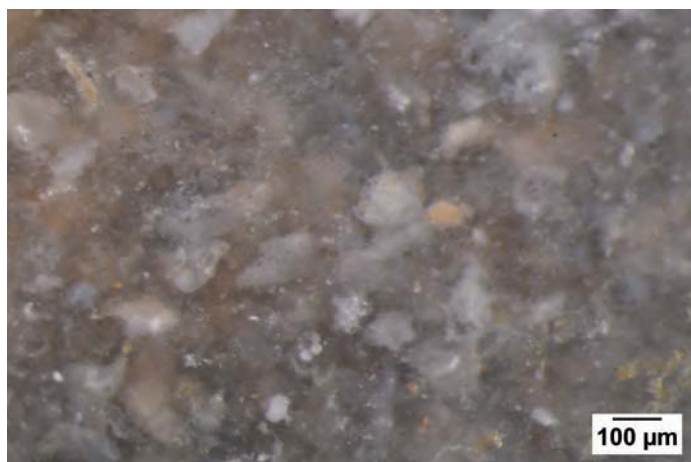


Photo 3 – Échantillon géologique 429-6, texture *wackestone* à foraminifère.

anguleux	sub - anguleux	sub - arrondi	arrondi	très arrondi

**Figure 349** - Le Clos de Roque, Saint-Maximin-la-Sainte-Baume (83). Type 429, échantillons géologiques prélevés à « les Vallons » (Camps-la-Source), dans les calcaires albiens. Prélèvements P. Fernandes (Clichés : P. Fernandes ; DAO : M. Dousse).

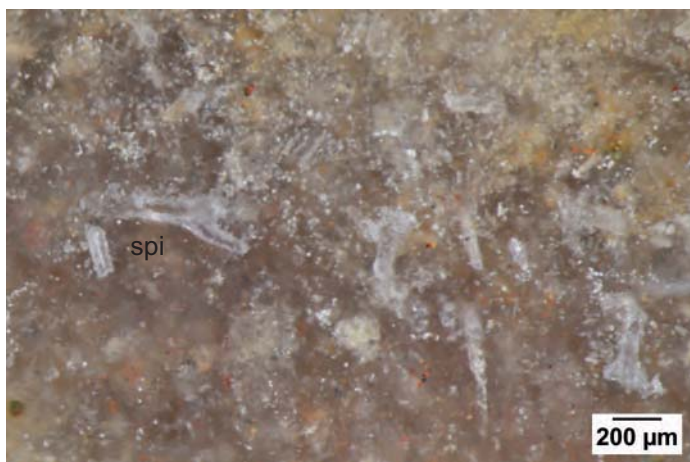


Photo 1 – Échantillon géologique 430-4, texture *wackestone* à spicules et glauconie.

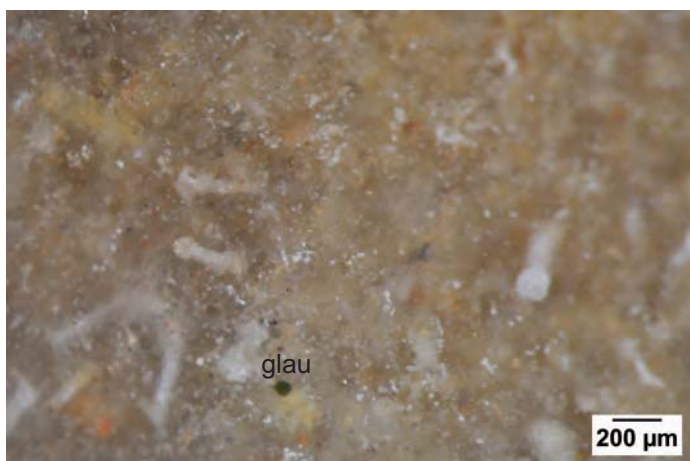
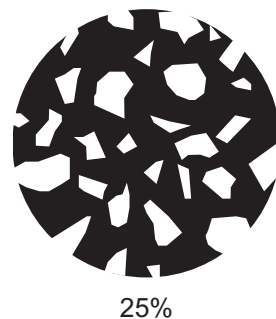
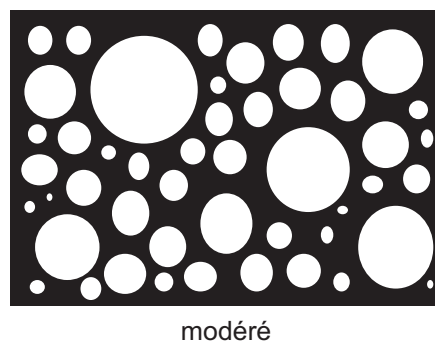


Photo 2 – Échantillon géologique 430-4, texture *wackestone* à spicules et glauconie.



Taille des clastes : 200 à 600 µm

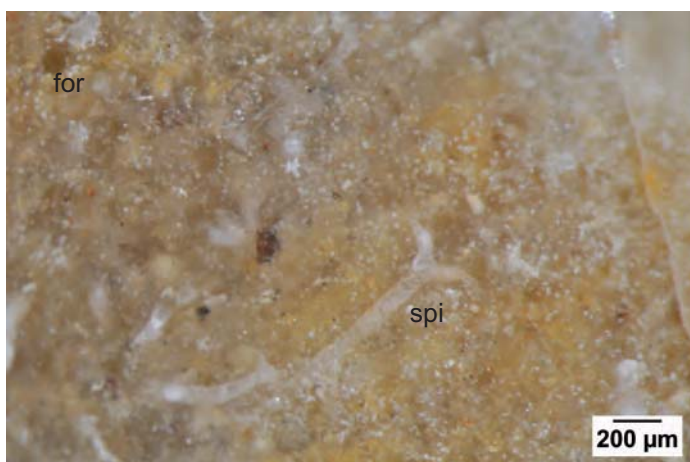


Photo 3 – Échantillon géologique 430-4, texture *wackestone* à spicules et foraminifères.

anguleux	sub - anguleux	sub - arrondi	arrondi	très arrondi

**Figure 350** - Le Clos de Roque, Saint-Maximin-la-Sainte-Baume (83). Type 430, échantillon géologique prélevé à « la Font May » (Nans-les-Pins), dans les calcaires bédouliens Prélèvements P. Fernandes (Clichés : P. Fernandes ; DAO : M. Dousse).



*Figure 351* - Le Clos de Roque, Saint-Maximin-la-Sainte-Baume (83). Type 417, échantillon archéologique. Faces supérieure et inférieure du nodule plat décimétrique à néo-cortex issus des formations superficielles, type recouvrement colluvionnaire. Provenance probable : Bassin d'Apt-Forcalquier (Clichés : P. Fernandes ; DAO : M. Dousse).



Photo 1 – Échantillon archéologique 1642. Gastropodes et ostracode silicifiés.



Photo 2 – Échantillon archéologique 1642. *Hydrobiidae* ?



Photo 3 – Échantillon archéologique 1642, gastropode à ouverture senestre.



Photo 4 – Échantillon archéologique 1642. Gastropode.



Photo 5 – Échantillon archéologique 1642. *Hydrobiidae* ?



Photo 6 – Échantillon archéologique 1642. Ostracode (*Hemicyprideis* ?).



Photo 7 – Échantillon archéologique 1642. Ostracode (*Hemicyprideis* ?).



Photo 8 – Échantillon archéologique 1642. Ostracode (*Hemicyprideis* ?).

**Figure 352** - Le Clos de Roque, Saint-Maximin-la-Sainte-Baume (83). Type 417, échantillon archéologique. Provenance probable : Bassin d'Apt-Forcalquier (Clichés : P. Fernandes ; DAO : M. Dousse).





Photo 1 – Échantillon archéologique N° 42, texture *wackestone* à ostracodes et gastropode.

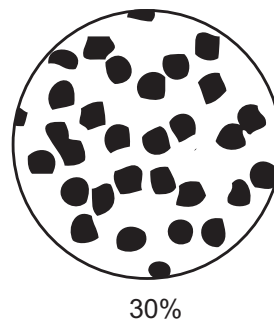
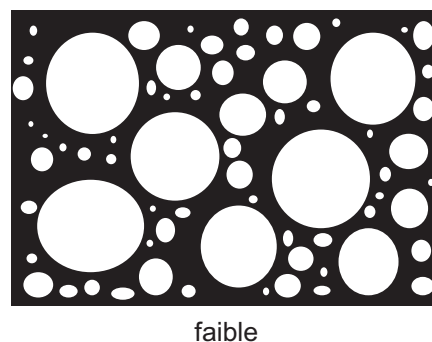


Photo 2 – Échantillon archéologique N° 42, texture *wackestone* à ostracodes et gastropode.



Taille des clastes : de 300 µm à > 1mm



Photo 3 – Échantillon archéologique N° 655, texture *wackestone* à ostracodes et valves dispersées.

anguleux	sub - anguleux	sub - arrondi	arrondi	très arrondi

**Figure 353** - Le Clos de Roque, Saint-Maximin-la-Sainte-Baume (83). Type 417, échantillons archéologiques. Provenance probable : Bassin d'Apt-Forcalquier (Clichés : P. Fernandes ; DAO : M. Dousse).



Photo 1 – Échantillon archéologique N° 29, textures *mudstone* à *packstone* à valves d'ostracodes et gastropode.

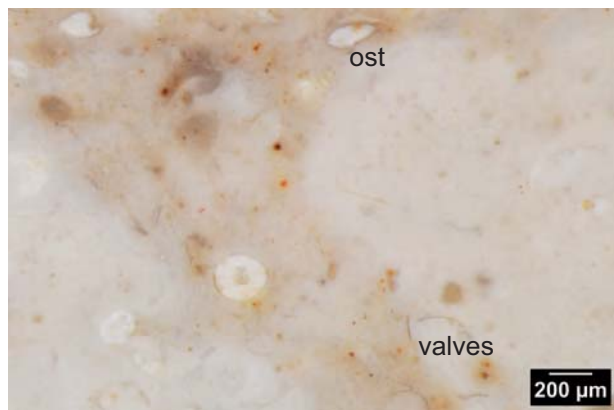


Photo 2 – Échantillon archéologique N° 39, texture *wackestone* à ostracodes.



Photo 3 – Échantillon archéologique N° 157, texture *wackestone* à ostracodes.



Photo 4 – Échantillon archéologique N° 267, texture *wackestone* à characées ?



Photo 5 – Échantillon archéologique N° 650, texture *wackestone* à ostracodes et élément organique indéterminé.

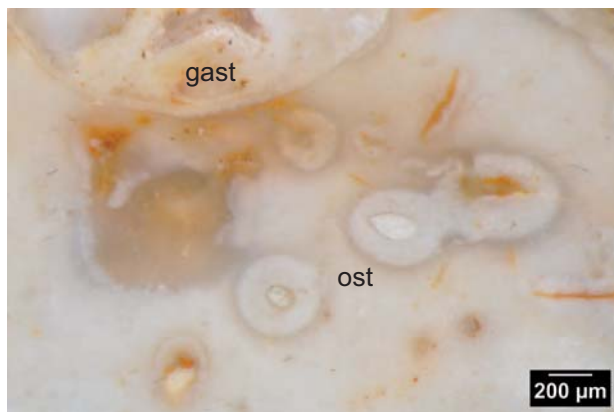


Photo 6 – Échantillon archéologique N° 655, texture *wackestone* à ostracodes et gastropode.



Photo 1 – Échantillon archéologique, texture *wackestone* à thalles de characées et débris organiques noirs.

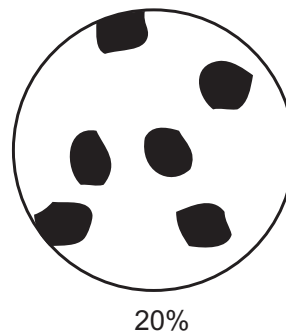
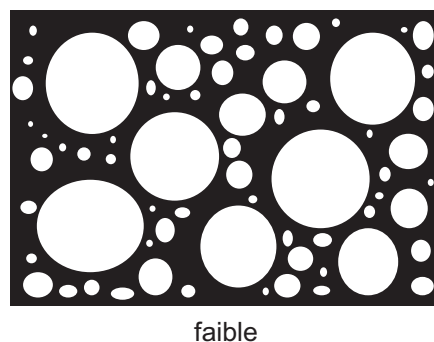


Photo 2 – Échantillon archéologique, texture *wackestone* à thalles de characées.



Taille des clastes : 300 à 400 µm



Photo 3 – Échantillon archéologique, texture *wackestone* à thalles de characées.

anguleux	sub - anguleux	sub - arrondi	arrondi	très arrondi

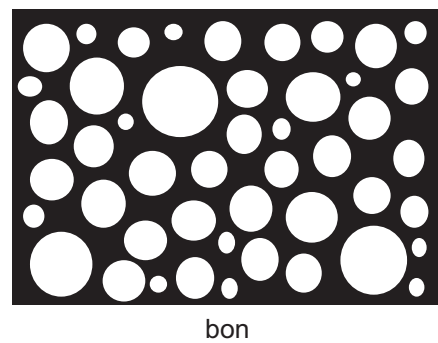
**Figure 355** - Le Clos de Roque, Saint-Maximin-la-Sainte-Baume (83). Type 410, échantillon archéologique. Provenance probable : Bassin d'Apt-Forcalquier (Clichés : P. Fernandes ; DAO : M. Dousse).



Photo 1 – Échantillon archéologique N° 247, texture *mudstone* à ostracode.



Photo 2 – Échantillon archéologique N° 247, texture *mudstone* à ostracode.



Taille des clastes : de 100 µm à > 1 mm

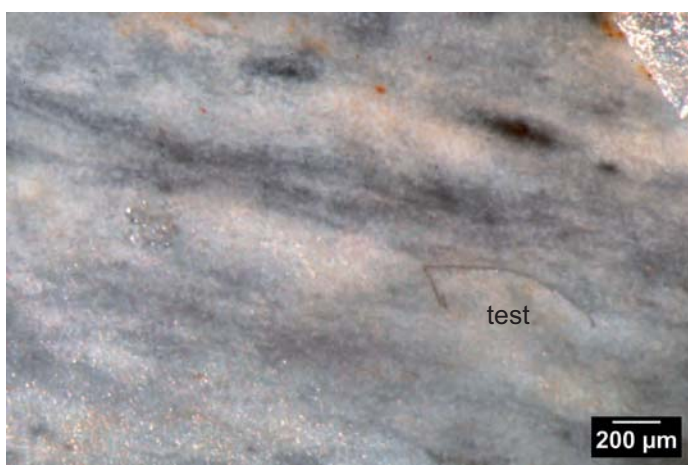


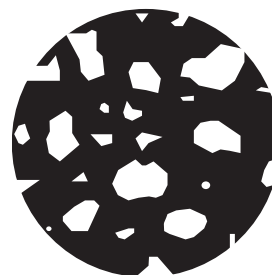
Photo 3 – Échantillon archéologique N° 247.

anguleux	sub - anguleux	sub - arrondi	arrondi	très arrondi

**Figure 356** - Le Clos de Roque, Saint-Maximin-la-Sainte-Baume (83). Type 418, échantillon archéologique. Provenance probable : Bassin d'Apt-Forcalquier (Clichés : P. Fernandes ; DAO : M. Dousse).



Photo 1 – Échantillon archéologique N° 193, texture *bindstone* à cristaux lenticulaires.



20%

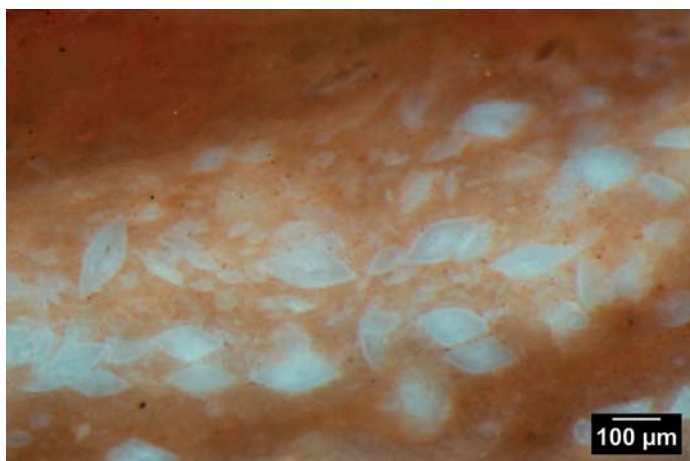
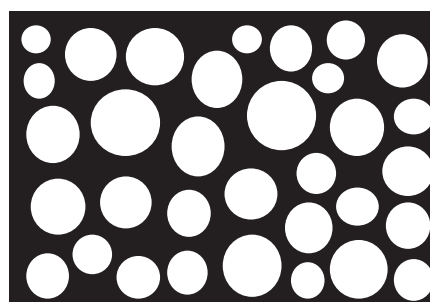


Photo 2 – Échantillon archéologique N° 193, texture *bindstone* à cristaux lenticulaires.



très bon

Taille des clastes : indéterminé  
Taille des cristaux : de 50 à 200 µm



Photo 3 – Échantillon archéologique N° 193, texture *bindstone* à cristaux lenticulaires.

anguleux	sub - anguleux	sub - arrondi	arrondi	très arrondi

**Figure 357** - Le Clos de Roque, Saint-Maximin-la-Sainte-Baume (83). Type 419, échantillon archéologique. Provenance probable : Bassin d'Apt-Forcalquier (Clichés : P. Fernandes ; DAO : M. Dousse).



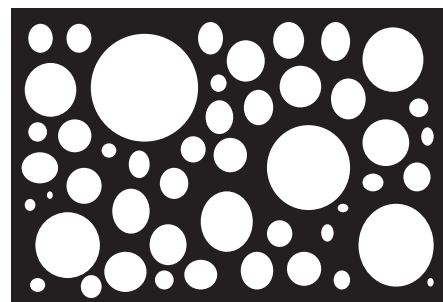
Photo 1 – Échantillon archéologique N° 236, texture *mudstone*.



7,5%



Photo 2 – Échantillon archéologique N° 236, texture *mudstone*.



modéré

Taille des clastes : indéterminé  
Taille des cristaux : 100 µm



Photo 3 – Échantillon archéologique N° 388, texture *mudstone* à cristaux lenticulaire.

anguleux	sub - anguleux	sub - arrondi	arrondi	très arrondi

**Figure 358** - Le Clos de Roque, Saint-Maximin-la-Sainte-Baume (83). Type 419b, échantillons archéologiques. Provenance probable : Bassin d'Apt-Forcalquier (Clichés : P. Fernandes ; DAO : M. Dousse).

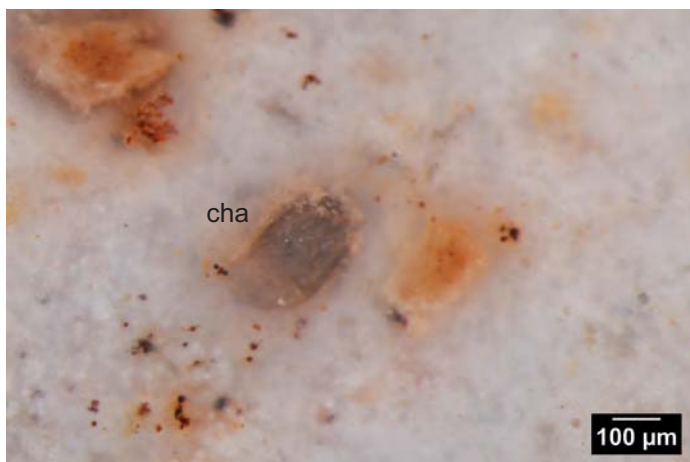


Photo 1 – Échantillon archéologique N° 456, texture *wackestone* à débris de characées.



20%

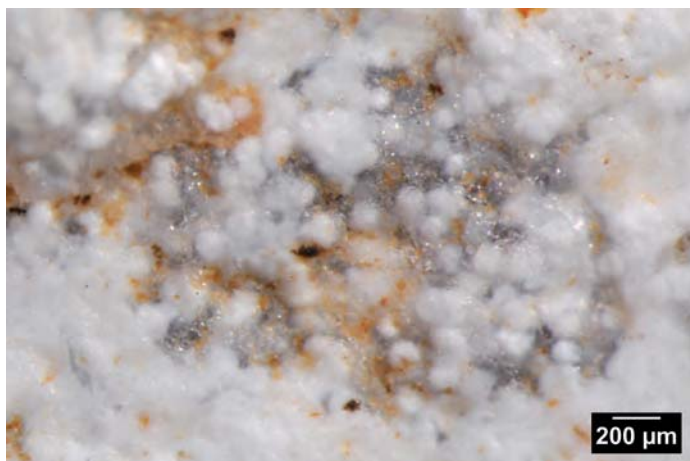
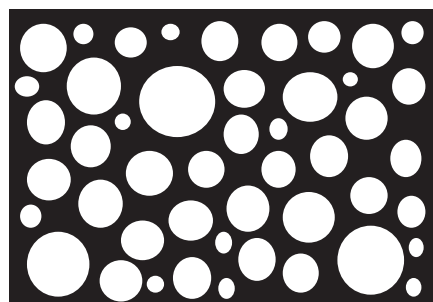


Photo 2 – Échantillon archéologique N° 506, sphérules blanches et matrice macro-cristalline (quartz).



bon

Taille des clastes : de 300 μm à > 1mm

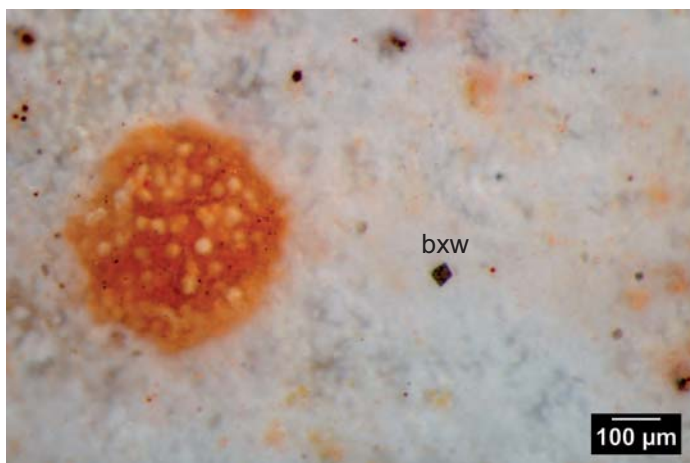


Photo 3 – Échantillon archéologique N° 456, sphérules blanches et boxwork rhomboédrique.

anguleux	sub - anguleux	sub - arrondi	arrondi	très arrondi

**Figure 359** - Le Clos de Roque, Saint-Maximin-la-Sainte-Baume (83). Type 420, échantillons archéologiques. Provenance probable : Bassin d'Apt-Forcalquier (Clichés : P. Fernandes ; DAO : M. Dousse).



Photo 1 – Échantillon archéologique N° 240.



Photo 2 – Échantillon archéologique N° 240. Présence d'une section de thalle de characée.

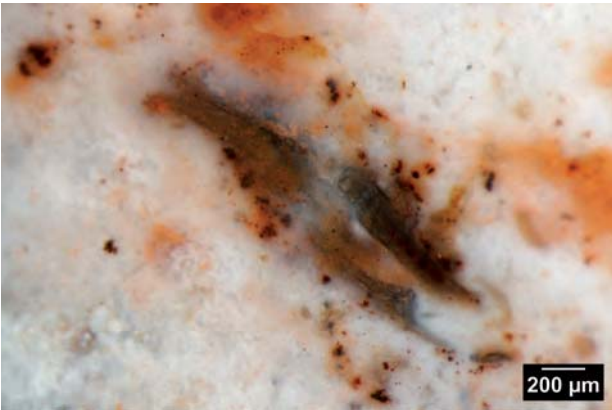


Photo 3 – Échantillon archéologique N° 456.



Photo 4 – Échantillon archéologique N° 456.

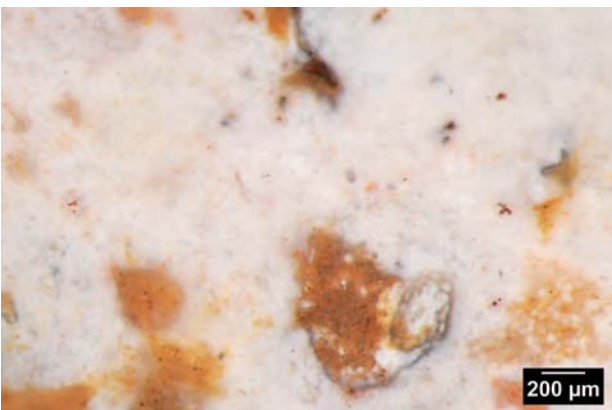


Photo 5 – Échantillon archéologique N° 456.



Photo 6 – Échantillon archéologique N° 456. Talle de characée.

**Figure 360** - Le Clos de Roque, Saint-Maximin-la-Sainte-Baume (83). Type 420, échantillons archéologiques. Provenance probable : Bassin d'Apt-Forcalquier (Clichés : P. Fernandes ; DAO : M. Dousse).





Photo 1 – Échantillon archéologique ST422 à laminations, texture packstone à mudstone à débris de characées (silex brûlé).

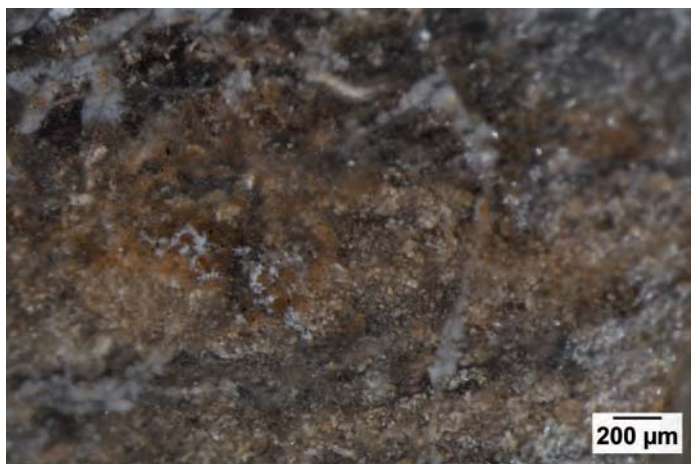
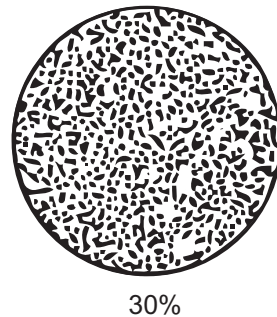
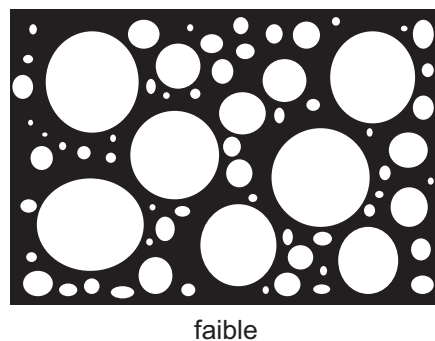


Photo 2 – Échantillon archéologique ST422 à laminations, texture packstone à mudstone à débris de characées (silex brûlé).



Taille des clastes : 20 à 400 µm



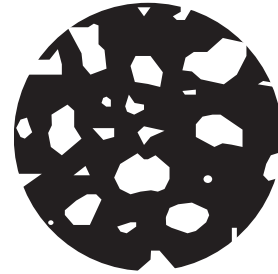
Photo 3 – Échantillon archéologique ST378 à laminations.

anguleux	sub - anguleux	sub - arrondi	arrondi	très arrondi

Figure 361 - Le Clos de Roque, Saint-Maximin-la-Sainte-Baume (83). Type 400, échantillons archéologiques. Provenance probable : Bassin d'Apt-Forcalquier (Clichés : P. Fernandes ; DAO : M. Dousse).



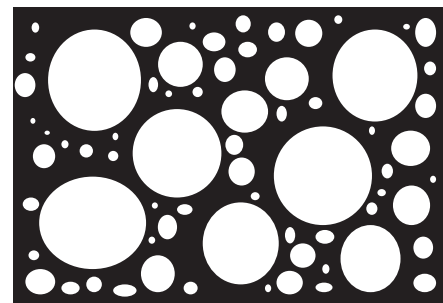
Photo 1 – Échantillon archéologique N° 391, texture *wackestone* à claste sub-anguleux.



20%



Photo 2 – Échantillon archéologique N° 390, texture *wackestone* à claste sub-anguleux.



faible

Taille des clastes : de 200 µm à > 1 mm

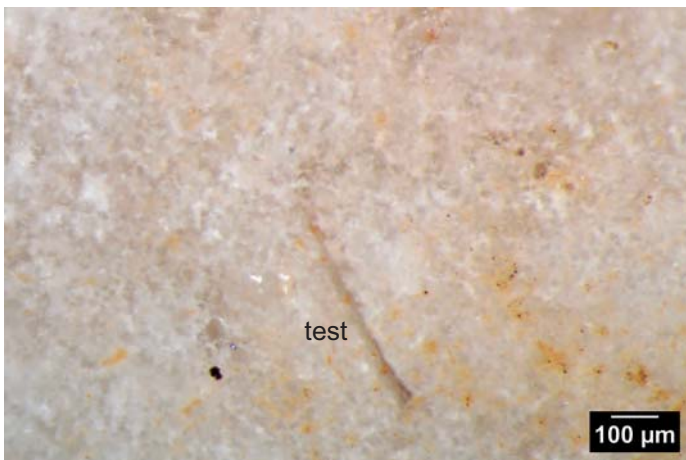


Photo 3 – Échantillon archéologique N° 390, texture *mudstone* à à fragment de bivalve.

anguleux	sub - anguleux	sub - arrondi	arrondi	très arrondi

**Figure 362** - Le Clos de Roque, Saint-Maximin-la-Sainte-Baume (83). Type 421, échantillons archéologiques. Provenance indéterminée (Clichés : P. Fernandes ; DAO : M. Dousse).



**Figure 363** - Le Clos de Roque, Saint-Maximin-la-Sainte-Baume (83). Type 414, échantillon archéologique N° 379 à oncoïde. Provenance probable : alluvions du Calavon ou du Largue (Clichés : P. Fernandes ; DAO : M. Dousse).

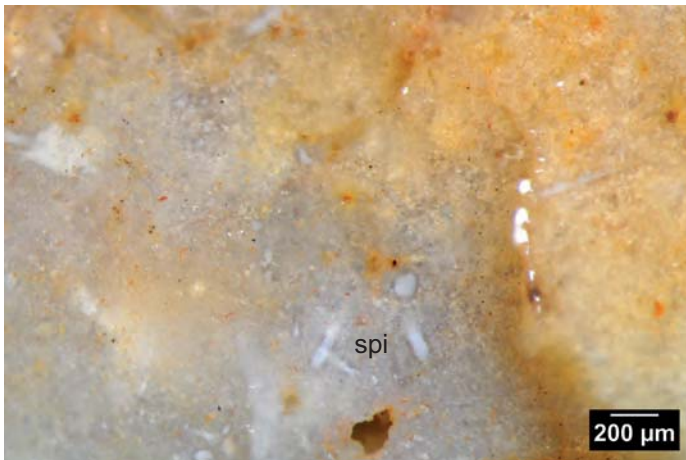


Photo 1 – Échantillon archéologique N° 362, texture *wackestone* à spicules.



15%

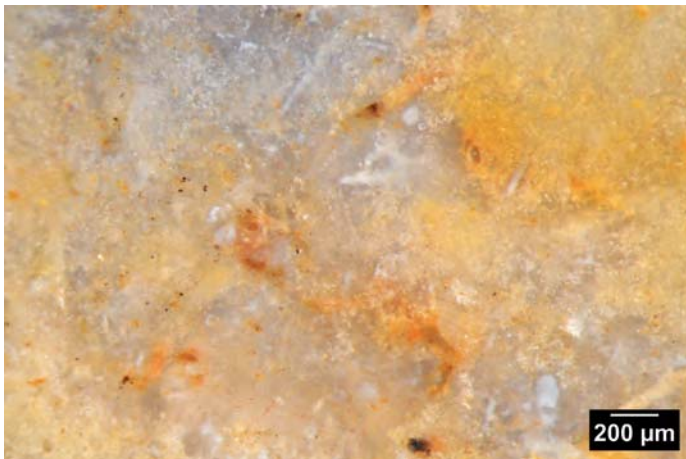
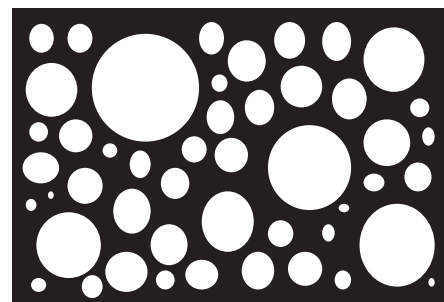


Photo 2 – Échantillon archéologique N° 362, texture *wackestone* à spicules.



modéré

Taille des clastes : de 50 à 400 μm

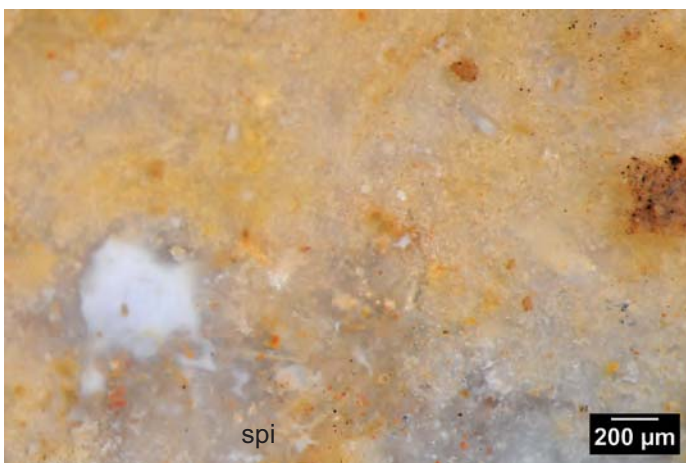


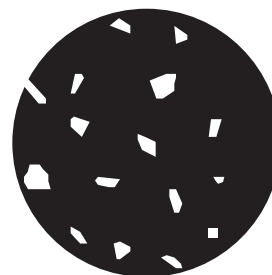
Photo – Échantillon archéologique N° 362, texture *wackestone* à spicules.

anguleux	sub - anguleux	sub - arrondi	arrondi	très arrondi

**Figure 364** - Le Clos de Roque, Saint-Maximin-la-Sainte-Baume (83). Type 422, échantillon archéologique. Provenance probable : formations du Lias ou du Dogger au nord ou à l'ouest du site (Clichés : P. Fernandes ; DAO : M. Dousse).



Photo 1 – Échantillon archéologique N° 389, texture *mudstone* à glauconie.



5%

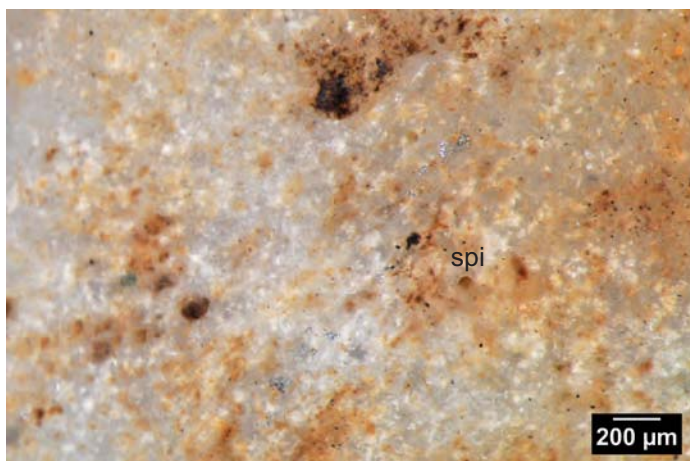
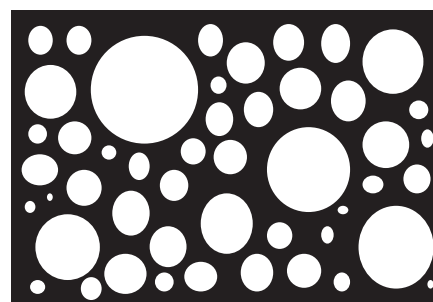


Photo 2 – Échantillon archéologique N° 389, texture *mudstone* à glauconie et spicule.



modéré

Taille des clastes : 100 à 400 µm

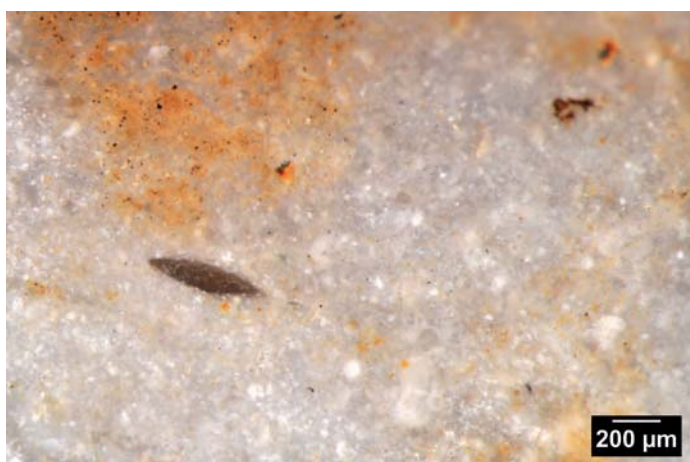


Photo 3 – Échantillon archéologique N° 389, texture *mudstone*.

anguleux	sub - anguleux	sub - arrondi	arrondi	très arrondi

**Figure 365** - Le Clos de Roque, Saint-Maximin-la-Sainte-Baume (83). Type 422b, échantillon archéologique. Provenance probable : formations du Lias ou du Dogger au nord ou à l'ouest du site (Clichés : P. Fernandes ; DAO : M. Dousse).

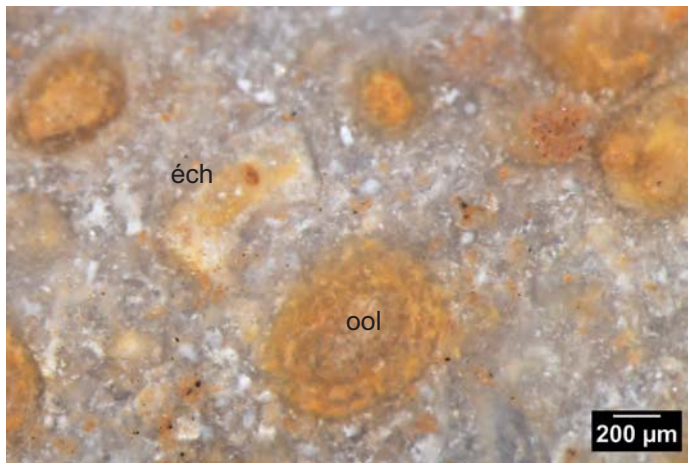


Photo 1 – Échantillon archéologique N° 246, texture *wackestone* à oolithes et échinoderme.

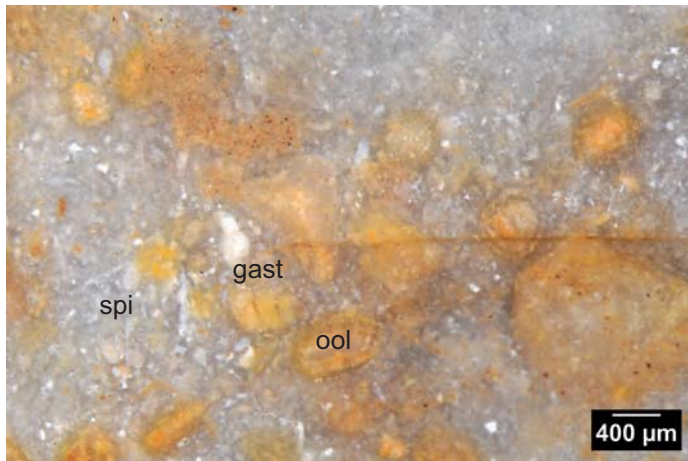
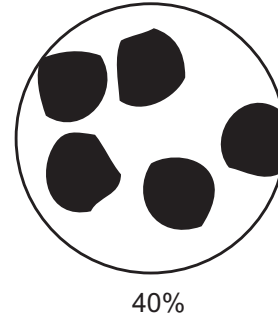
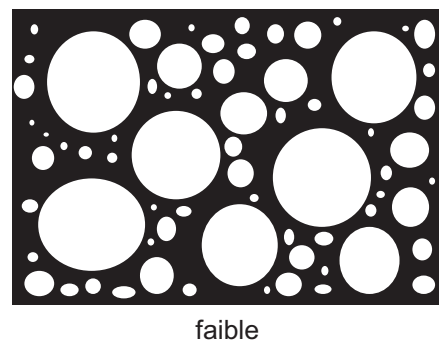


Photo 2 – Échantillon archéologique N° 246, texture *wackestone* à oolithes, spicules et gastropode (*Cerithium* ?).



Taille des clastes : 50 µm à > 1mm

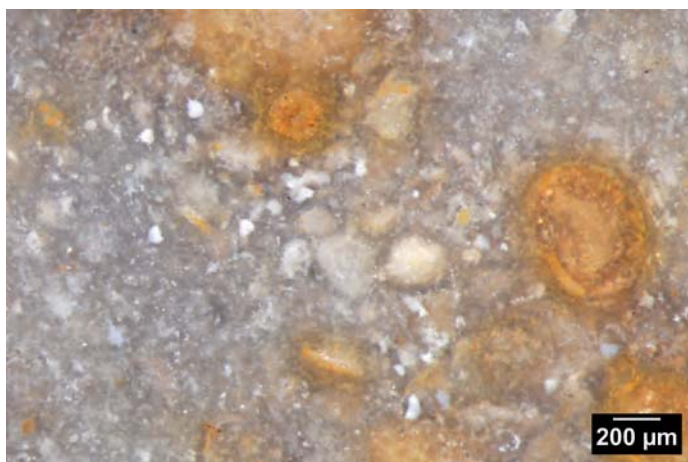


Photo 3 – Échantillon archéologique N° 246, texture *wackestone* à oolithes.

anguleux	sub - anguleux	sub - arrondi	arrondi	très arrondi

**Figure 366** - Le Clos de Roque, Saint-Maximin-la-Sainte-Baume (83). Type 423, échantillon archéologique. Provenance probable : formations jurassiques du secteur de Brignoles (Clichés : P. Fernandes ; DAO : M. Dousse).

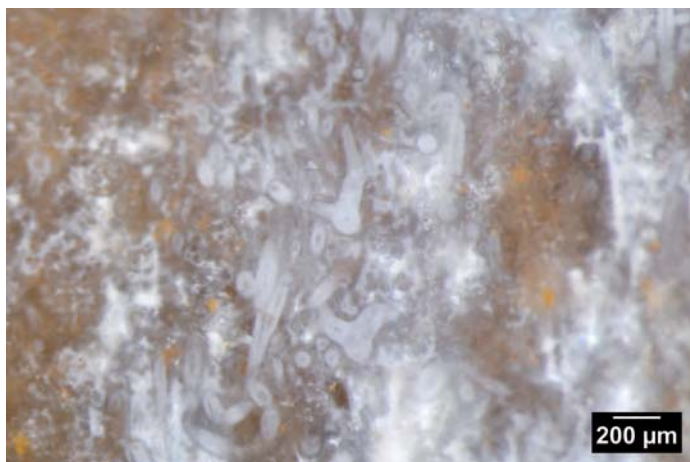
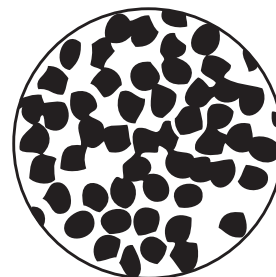


Photo 1 – Échantillon archéologique N° 1055, texture *packstone* à spicules.



50%

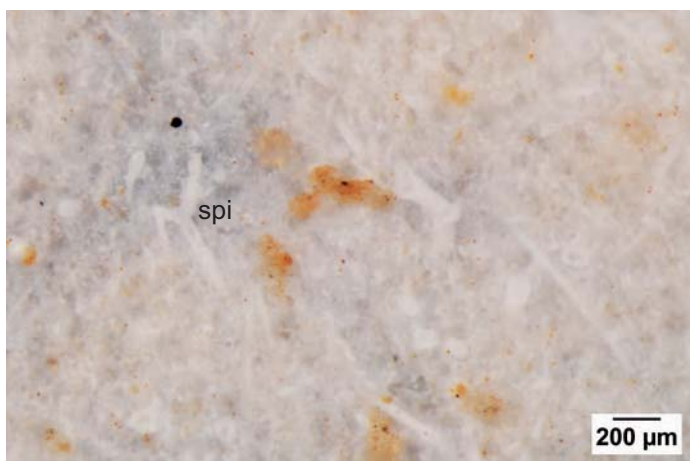
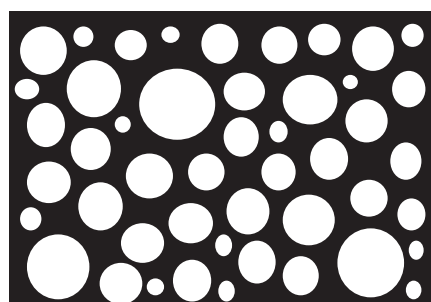


Photo 2 – Échantillon archéologique N° 154, texture *packstone* à spicules.



bon

Taille des clastes : de 400 µm à 1mm

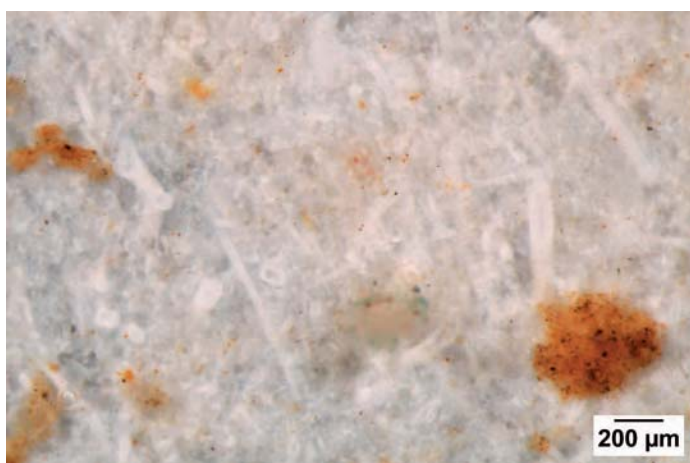


Photo 3 – Échantillon archéologique N° 154, texture *packstone* à spicules.

anguleux	sub - anguleux	sub - arrondi	arrondi	très arrondi

**Figure 367** - Le Clos de Roque, Saint-Maximin-la-Sainte-Baume (83). Type 426, échantillons archéologiques. Provenance : secteurs Ventoux-Lure et les Monts du Vaucluse (Clichés : P. Fernandes ; DAO : M. Dousse).

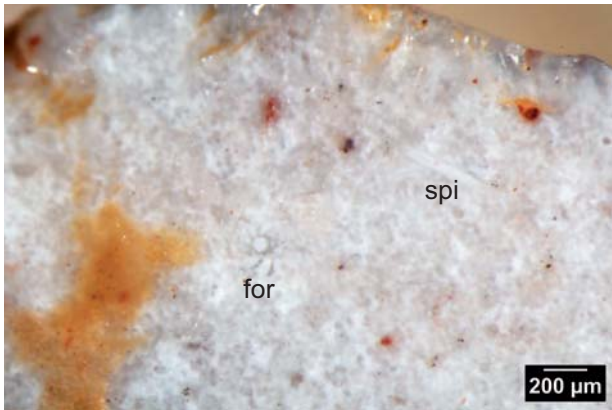


Photo 1 – Échantillon archéologique N° 705, texture *wackestone* à spicules et foraminifère.

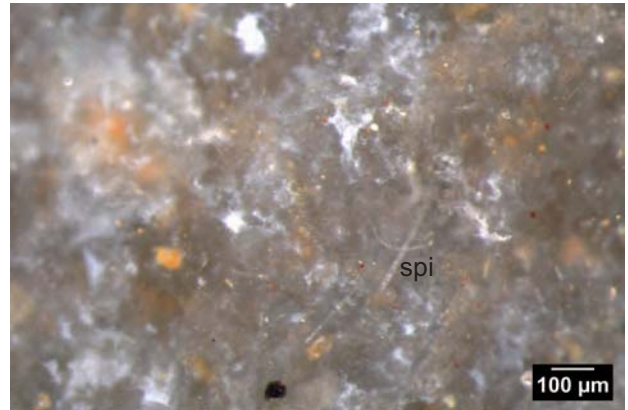


Photo 2 – Échantillon archéologique N° 1055, texture *wackestone* à spicules et rhomboèdres.



Photo 3 – Échantillon archéologique N° 154, texture *wackestone* à spicules.



Photo 4 – Échantillon archéologique N° 239, texture *wackestone* à spicules.



Photo 5 – Échantillon archéologique N° 239, texture *wackestone* à spicules.



Photo 6 – Échantillon archéologique N° 1051 à bryozoaire ?

**Figure 368** - Le Clos de Roque, Saint-Maximin-la-Sainte-Baume (83). Type 426, échantillons archéologiques. Provenance : secteurs Ventoux-Lure et les Monts du Vaucluse (Clichés : P. Fernandes ; DAO : M. Dousse).



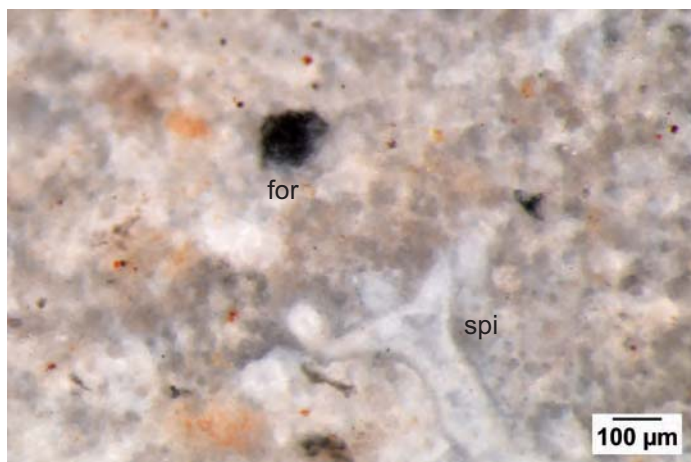
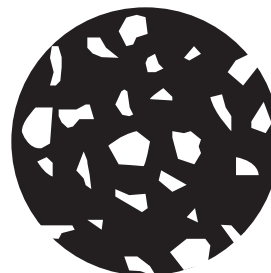


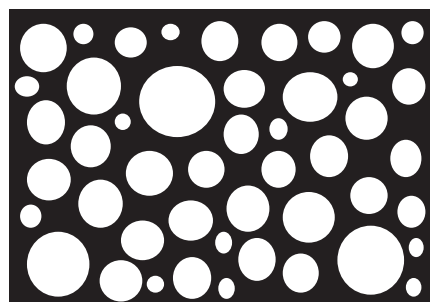
Photo 1 – Échantillon archéologique N° 768, texture *wackestone* à spicules et foraminifère.



15%



Photo 2 – Échantillon archéologique N° 768, texture *mudstone* à foraminifère.



bon

Taille des clastes : 100 à 200 µm

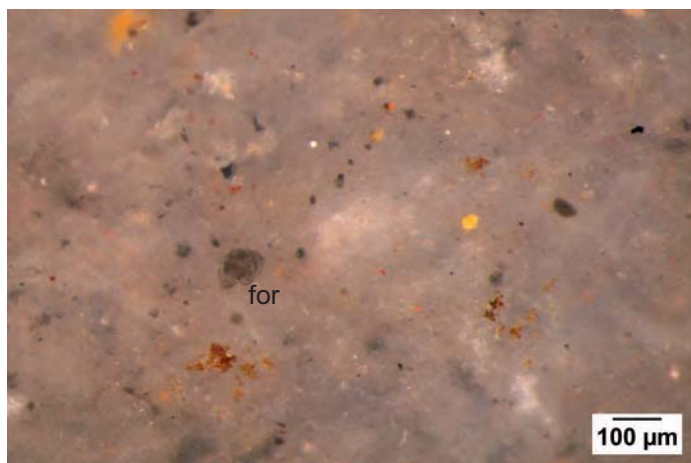


Photo 3 – Échantillon archéologique N° 768, texture *mudstone* à foraminifère et rhomboèdres.

anguleux	sub - anguleux	sub - arrondi	arrondi	très arrondi

**Figure 369** - Le Clos de Roque, Saint-Maximin-la-Sainte-Baume (83). Type 426c, échantillon archéologique. Provenance indéterminée (Clichés : P. Fernandes ; DAO : M. Dousse).



Photo 1 – Échantillon archéologique N° 57, texture *packstone* à spicules, algues et bryozoaire à surface reticulée.

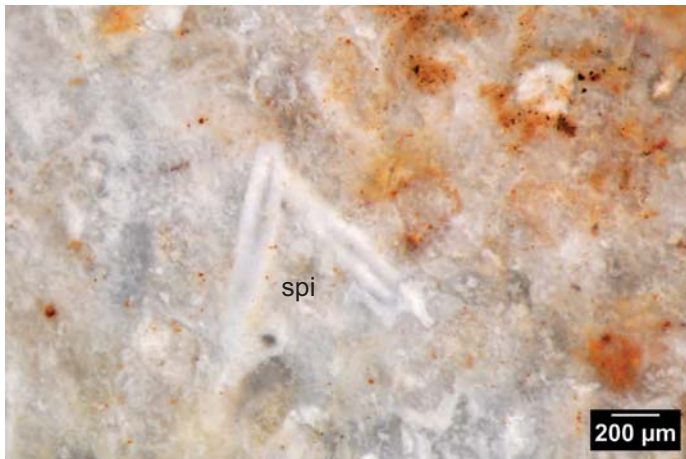
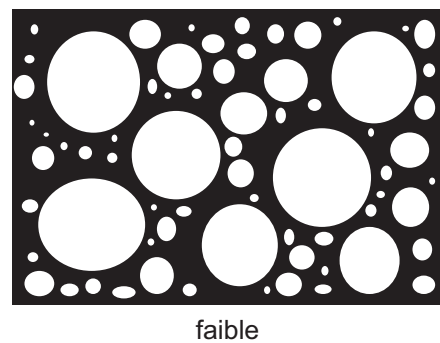


Photo 2 – Échantillon archéologique N° 57, texture *wackestone* à spicules.



Taille des clastes : de 100 µm à 1 mm

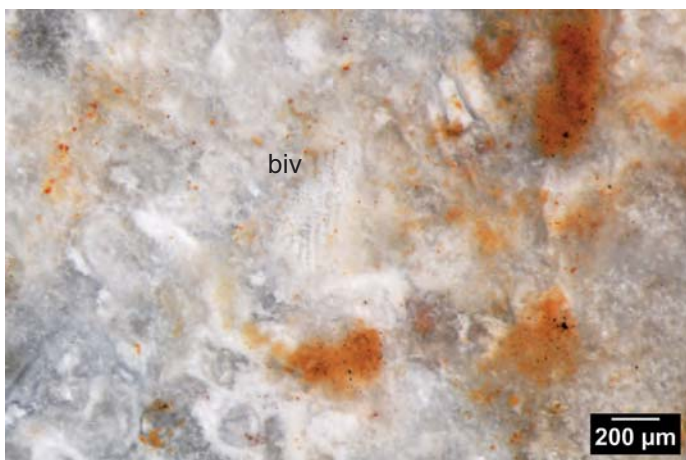


Photo 3 – Échantillon archéologique N° 57, texture *wackestone* à spicules et bivalve.

anguleux	sub - anguleux	sub - arrondi	arrondi	très arrondi

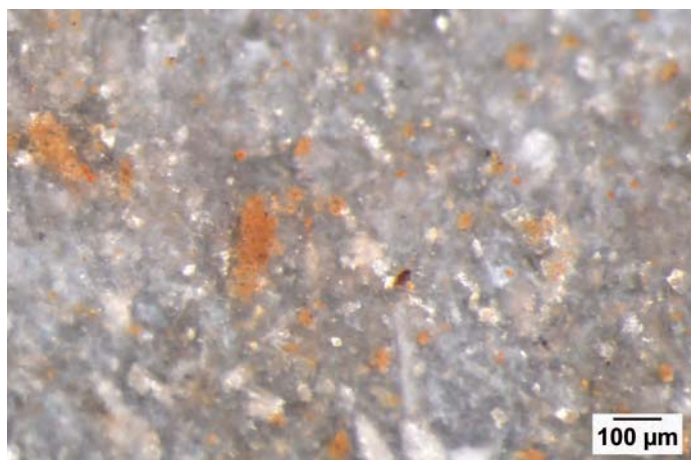
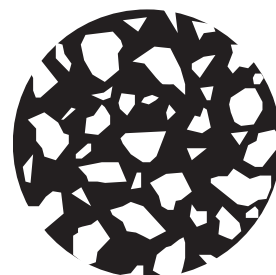


Photo 1 – Échantillon archéologique N° 707, texture *wackestone* à spicules et rhomboédres.



30%

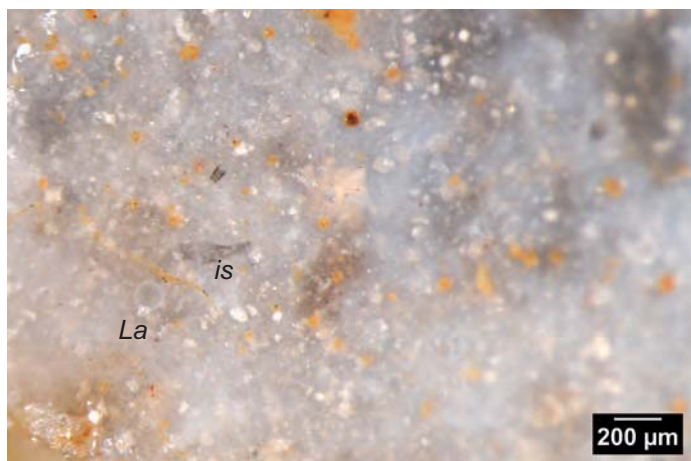
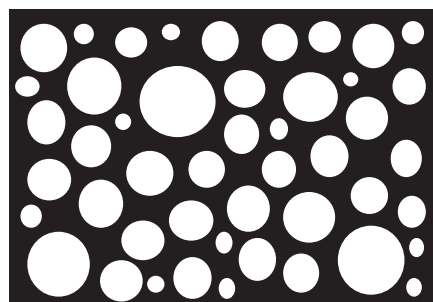


Photo 2 – Échantillon archéologique N° 494, texture *mudstone* à *incertae sedis*, *Lagena* et rhomboédres.



bon

Taille des clastes : 20 à 100 µm

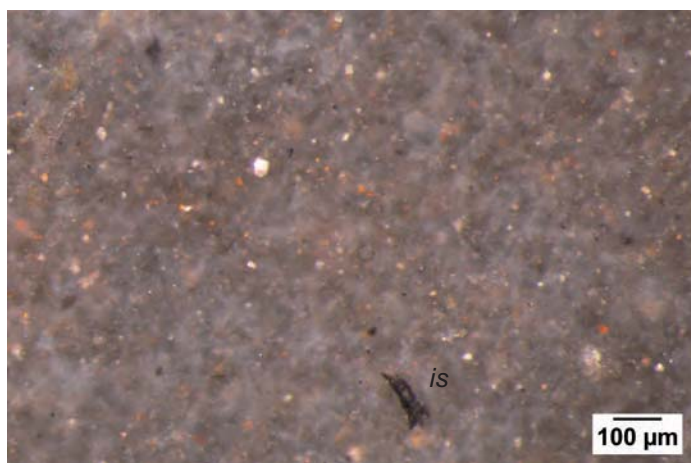


Photo 3 – Échantillon archéologique N° 43, texture *mudstone* à *incertae sedis*.

anguleux	sub - anguleux	sub - arrondi	arrondi	très arrondi

**Figure 371** - Le Clos de Roque, Saint-Maximin-la-Sainte-Baume (83). Type 416, échantillons archéologiques. Provenance indéterminée (Clichés : P. Fernandes ; DAO : M. Dousse).

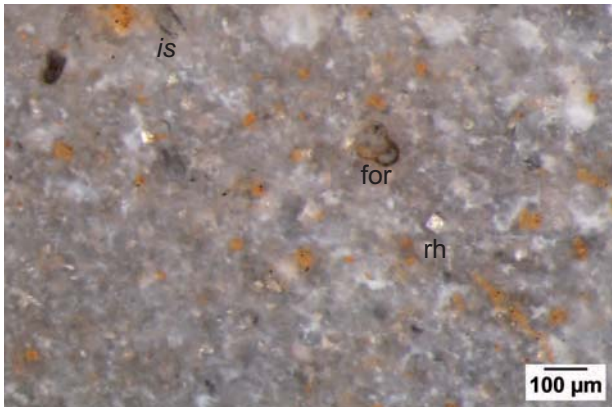


Photo 1 – Échantillon archéologique N° 707 à rhomboèdres, boxworks, *incertae sedis* et foraminifère.

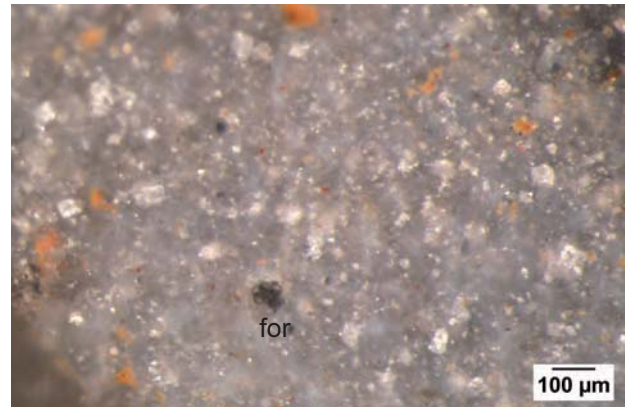


Photo 2 – Échantillon archéologique N° 494 à rhomboèdres, boxworks et foraminifère.



Photo 3 – Échantillon archéologique N° 494 à rhomboèdres, boxworks et foraminifère.

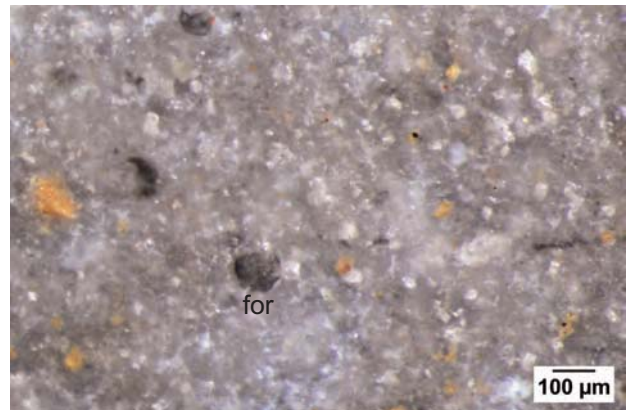


Photo 4 – Échantillon archéologique N° 707 à rhomboèdres, boxworks, *incertae sedis* et foraminifères.



Photo 5 – Échantillon archéologique N° 707 à rhomboèdres, boxworks et *incertae sedis*.



Photo 1 – Échantillon archéologique N° 651.

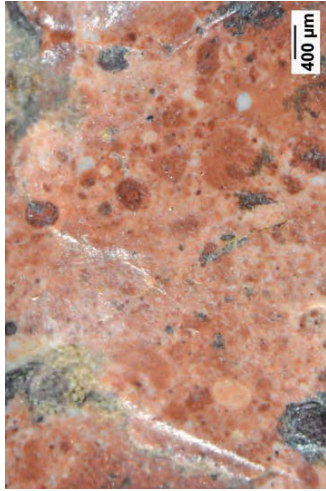


Photo 2 – Échantillon archéologique N° 651.



Photo 3 – Échantillon archéologique N° 651.

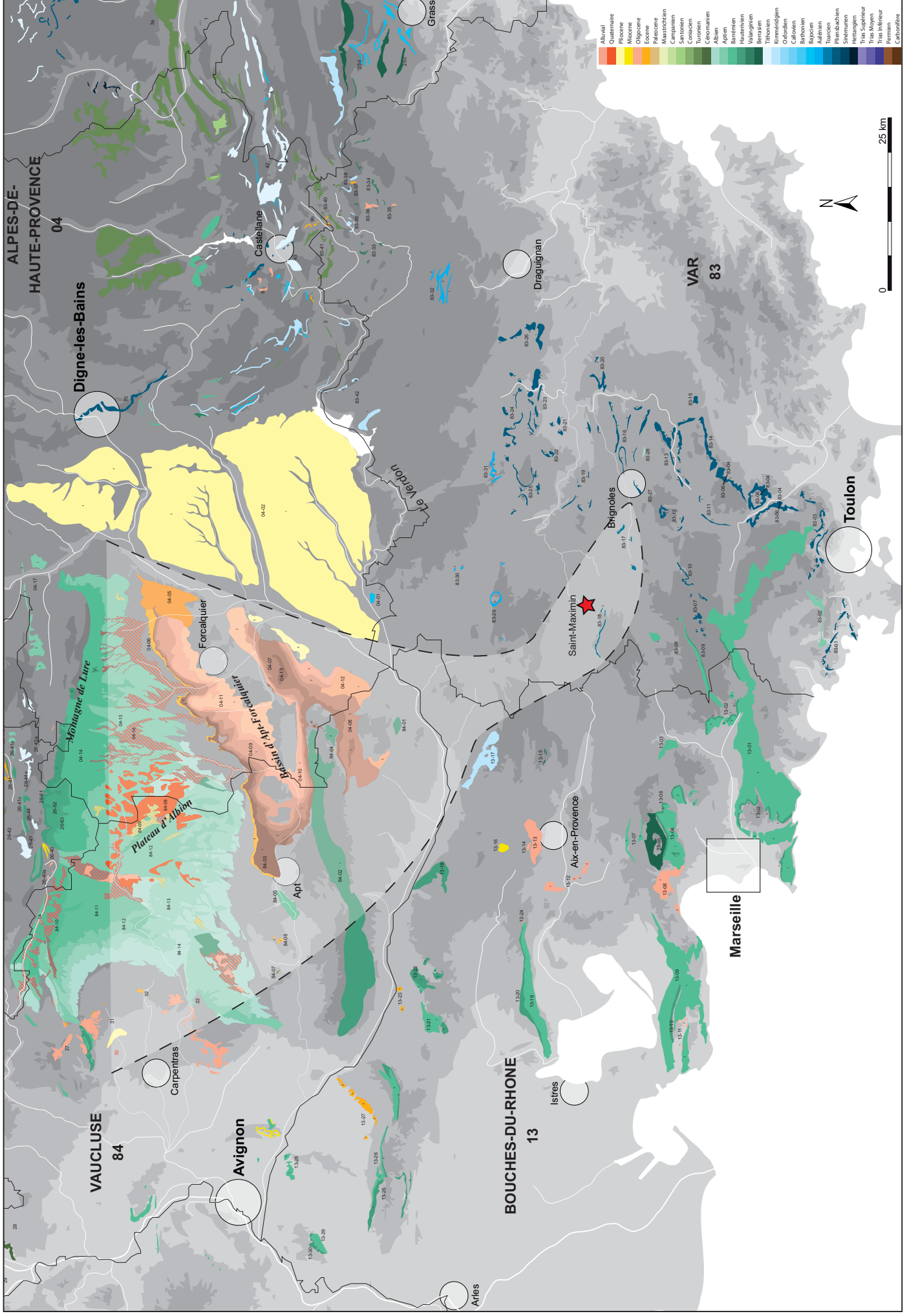


Figure 374 - Clos de Roque, Saint-Maximin-la-Sainte-Baume (83). Carte des zones supposées d'approvisionnement pour les différentes occupations préhistoriques (DAO : P. Tallet).

Général

nature/type	400	410/b	414	416/b	417	418	419/b	420	421	422	423	425	426/c	27	26	9	obs	ind.	Total	% total
blocs ou galets					1														1	0,10
esquilles		2		3	40					1	1		15				1	109	172	16,51
débris	1	11	1	7	189	1	3	4					66		11	2	1	375	672	64,59
éclats entiers		5		1	27			2	1	1		1	15					6	59	5,66
frgt proximaux				2	9			2		1			9					2	25	2,40
frgt mésiaux	1	1			8			1					7					1	19	1,72
frgt distaux		2			21		1						4						28	2,68
lame(lle)s entières																				
frgt proximaux		2		1		1	1	1					8				1	2	17	1,63
frgt mésiaux	1	2		2	8								24					6	43	4,22
frgt distaux													2	1				1	4	0,39
nucléus à éclats																				
nucléus à lamelles																		1	1	0,10
<b>Total</b>	<b>3</b>	<b>25</b>	<b>1</b>	<b>16</b>	<b>303</b>	<b>2</b>	<b>5</b>	<b>10</b>	<b>1</b>	<b>3</b>	<b>1</b>	<b>1</b>	<b>150</b>	<b>1</b>	<b>11</b>	<b>4</b>	<b>2</b>	<b>502</b>	<b>1041</b>	<b>100,00</b>
% total	0,29	2,40	0,10	1,53	29,01	0,20	0,49	0,97	0,10	0,29	0,10	0,10	14,40	0,10	1,06	0,39	0,20	48,27	100,00	

Néolithique moyen I VBO

nature/type	400	410/b	414	416/b	417	418	419/b	420	421	422	423	425	426/c	27	26	9	obs	ind.	Total	% total	
blocs ou galets																					
esquilles				1													1	14	16	8,21	
débris				2	46								2		10			88	148	75,89	
éclats entiers		1			7								1					1	10	5,13	
frgt proximaux					1								1						2	1,03	
frgt mésiaux					3														3	1,54	
frgt distaux					9														9	4,61	
lame(lle)s entières																					
frgt proximaux		1						1											2	1,03	
frgt mésiaux		1											3						4	2,05	
frgt distaux														1					1	0,51	
nucléus à éclats																					
nucléus à lamelles																					
<b>Total</b>	<b>3</b>	<b>3</b>	<b>3</b>	<b>66</b>	<b>1</b>	<b>1</b>	<b>1</b>	<b>7</b>	<b>1</b>	<b>11</b>	<b>1</b>	<b>103</b>	<b>195</b>	<b>100,00</b>							
% total	1,54	1,54	33,84	0,51	3,59	0,51	5,13	0,51	52,83	100,00											

Néolithique récent

nature/type	400	410/b	414	416/b	417	418	419/b	420	421	422	423	425	426/c	27	26	9	obs	ind.	Total	% total	
blocs ou galets																					
esquilles		1			25								9					13	48	14,91	
débris		3		1	77			3					47				1	66	198	61,49	
éclats entiers		1			6								10					1	18	5,59	
frgt proximaux				2	2			2					6						12	3,73	
frgt mésiaux					1								4						5	1,55	
frgt distaux		2			6								1						9	2,80	
lame(lle)s entières																					
frgt proximaux													6						6	1,86	
frgt mésiaux				2	3								15					4	24	7,45	
frgt distaux													2						2	0,62	
nucléus à éclats																					
nucléus à lamelles																					
<b>Total</b>	<b>7</b>	<b>5</b>	<b>120</b>	<b>5</b>	<b>100</b>	<b>100,00</b>															
% total	2,17	1,55	37,27	1,55	31,06	0,31	26,09	100,00													

Néolithique final 1

nature/type	400	410/b	414	416/b	417	418	419/b	420	421	422	423	425	426/c	27	26	9	obs	ind.	Total	% total	
blocs ou galets																					
esquilles					1								2					12	15	15,79	
débris		1		1	15			2					2					39	60	63,16	
éclats entiers		1			4								2					1	8	8,42	
frgt proximaux																		1	1	1,05	
frgt mésiaux					4								1						5	5,26	
frgt distaux					3								1						4	4,21	
lame(lle)s entières																					
frgt proximaux																					
frgt mésiaux					1								1						2	2,11	
frgt distaux																					
nucléus à éclats																					
nucléus à lamelles																					
<b>Total</b>	<b>2</b>	<b>1</b>	<b>28</b>	<b>2</b>	<b>9</b>	<b>53</b>	<b>95</b>	<b>100,00</b>													
% total	2,11	1,05	29,48	2,11	9,47	55,78	100,00														

Figure 375 - Le Clos de Roque, Saint-Maximin-la-Sainte-Baume (83). Répartition de l'industrie lithique par nature et par type de silex selon les différentes périodes d'occupations (DAO : M. Remicourt).

Néolithique final 2

nature/type	400	410/b	414	416/b	417	418	419/b	420	421	422	423	425	426/c	27	26	9	obs	ind.	Total	% total	
blocs ou galets																					
esquilles		1			2								1					33	37	55,23	
débris		2			4								2				1	14	23	34,34	
éclats entiers					1			1											2	2,98	
frgt proximaux																					
frgt mésiaux													1						1	1,49	
frgt distaux																					
lame(lle)s entières																					
frgt proximaux		1					1												2	2,98	
frgt mésiaux					1														1	2,98	
frgt distaux																					
nucléus à éclats																					
nucléus à lamelles																					
<b>Total</b>		4			8	1		1					4				1	48	67	100,00	
% total		5,97			11,95	1,49		1,49					5,97				1,49	71,64	67	100,00	

Néolithique final ind

nature/type	400	410/b	414	416/b	417	418	419/b	420	421	422	423	425	426/c	27	26	9	obs	ind.	Total	% total	
blocs ou galets					1														1	0,92	
esquilles					8													3	11	10,10	
débris		1			13								3					53	70	64,22	
éclats entiers		1			7								2					1	11	10,10	
frgt proximaux					4							1							5	4,59	
frgt mésiaux	1												1						2	1,83	
frgt distaux					2								1						3	2,74	
lame(lle)s entières																					
frgt proximaux													1						1	0,92	
frgt mésiaux					2								2						4	3,66	
frgt distaux																		1	1	0,92	
nucléus à éclats																					
nucléus à lamelles																					
<b>Total</b>	1	2			37							1	10					58	109	100,00	
% total	0,92	1,83			33,94							0,92	9,18					53,21	109	100,00	

Bronze ancien

nature/type	400	410/b	414	416/b	417	418	419/b	420	421	422	423	425	426/c	27	26	9	obs	ind.	Total	% total	
blocs ou galets																					
esquilles				2	2								1						14	19	20,44
débris		2			12	1		1			1		6						38	61	65,59
éclats entiers		1						1		1									4	4,31	
frgt proximaux					1														2	2,15	
frgt mésiaux		1						1											3	3,22	
frgt distaux																					
lame(lle)s entières																					
frgt proximaux							1						1						3	3,22	
frgt mésiaux													1						1	1,07	
frgt distaux																					
nucléus à éclats																					
nucléus à lamelles																					
<b>Total</b>		4		2	15	1	1	3		1	1		9					55	93	100,00	
% total		4,31		2,15	16,14	1,07	1,07	3,22		1,07	1,07		9,69					59,14	93	100,00	

Hallsstatt

nature/type	400	410/b	414	416/b	417	418	419/b	420	421	422	423	425	426/c	27	26	9	obs	ind.	Total	% total	
blocs ou galets																					
esquilles																			20	20	16,95
débris	1		1	1	18					1			2						62	87	73,73
éclats entiers										1									1	0,85	
frgt proximaux					1					1			2						4	3,39	
frgt mésiaux																					
frgt distaux								1					1						2	1,69	
lame(lle)s entières																					
frgt proximaux				1															1	0,85	
frgt mésiaux	1												2						3	2,54	
frgt distaux																					
nucléus à éclats																					
nucléus à lamelles																					
<b>Total</b>	2		1	2	19		1	1	1	2			7					82	118	100,00	
% total	1,69		0,85	1,69	16,10		0,85	0,85	0,85	1,69			5,93					69,50	118	100,00	

Figure 376 - Le Clos de Roque, Saint-Maximin-la-Sainte-Baume (83). Répartition de l'industrie lithique par nature et par type de silex selon les différentes périodes d'occupations (DAO : M. Remicourt).



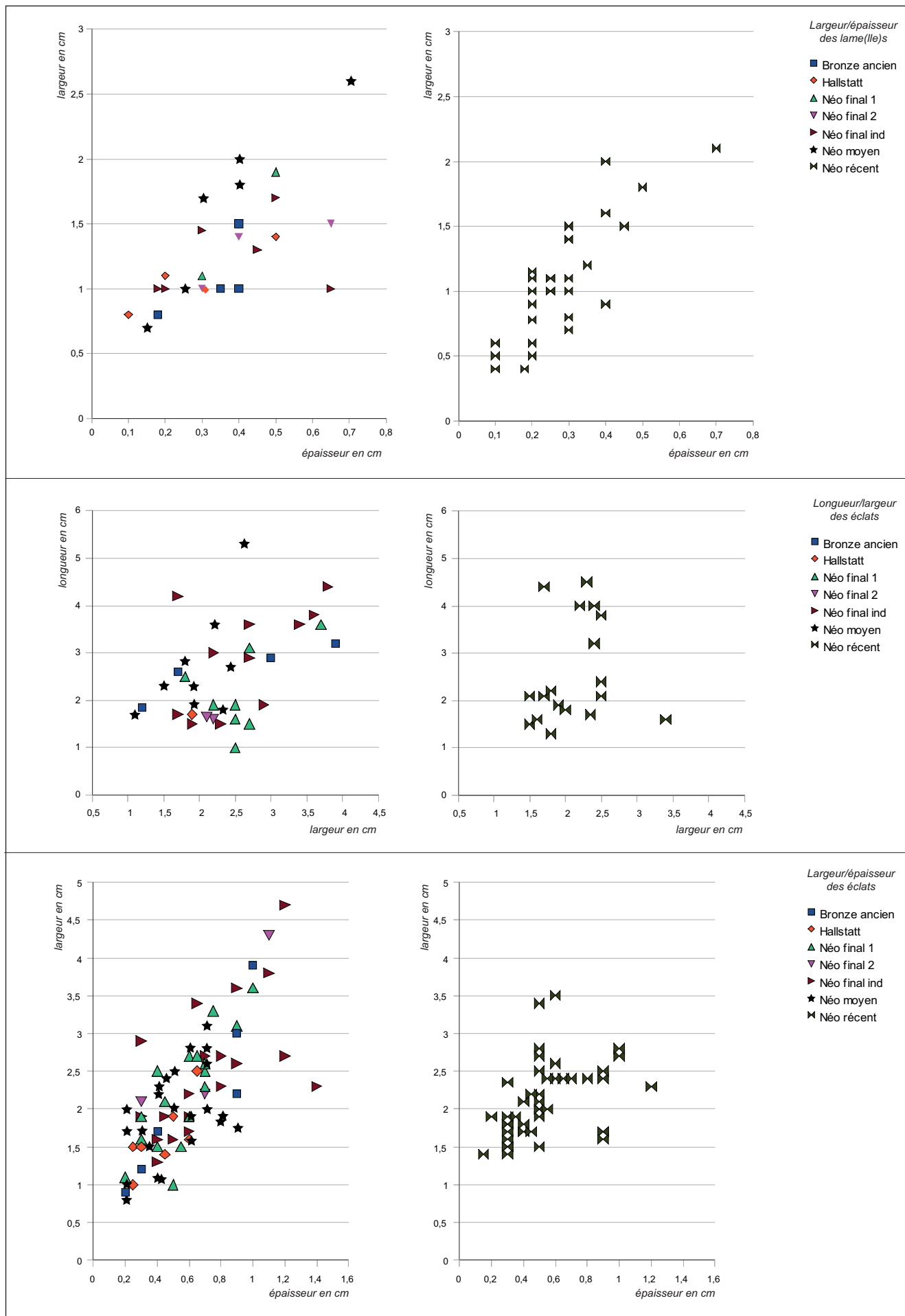


Figure 377 - Le Clos de Roque, Saint-Maximin-la-Sainte-Baume (83). Diagrammes des largeurs par rapport à l'épaisseurs et des longueurs par rapport aux largeurs de l'industrie lithique selon les différentes périodes d'occupations (DAO : M. Remicourt).

lame(lle)s	types/talons	lisse	cortical	facetté	dièdre	ado	ind.	Total
Néo moyen	type410				1			1
	type420				1			1
Néo récent	type426	5					1	6
Néo final	type410	1						1

lame(lle)s	types/distales	réfléchie	outrépassée	obtuse	aigue	ind.	Total
Néo moyen	ind.			1			1
Néo récent	type426			1	1		2
Néo final	ind.	1					1

éclats	types/talons	lisse	cortical	facetté	dièdre	ado	ind.	Total
Néo moyen	type410				1			1
	type417	5				1	1	7
	ind.	1						1
Total		6			1	1	1	9
Néo récent	type416		1			1		2
	type417	4	1			2		7
	type420	2						2
	type426	4	1	1		4		10
	ind.					1		1
Total		10	3	1		8		22
Néo final	type410					1		1
	type417	13	2					15
	type426	4						4
	ind.	2						2
Total		19	2			1		22
Bronze anc	type410	1						1
	type417	1						1
	type420	1						1
	type422	1						1
	ind.	1				1		2
Total		5				1		6
Hallstatt	type417				1			1
	type421				1			1
	type422	1						1
	type426					1		1
Total		1			2	1		4

éclats	types/distales	réfléchie	outrépassée	obtuse	aigue	ind.	Total
Néo moyen	type410			1			1
	type417			12	1		13
	ind.			1			1
Total				14	1		15
Néo récent	type410			2			2
	type416			1			1
	type417			9	3		12
	type426			1	6	2	9
	ind.		1				1
Total		1	1	18	5		25
Néo final	type410	1		1			2
	type417	1		16	1		18
	type420			1			1
	type426	1		5			6
	ind.			2			2
Total		3		25	1		29
Bronze anc	type410			1			1
	type420			1			1
	type422			1			1
	ind.			1			1
Total				4			4
Hallstatt	type419b			1			1
	type421				1		1
	type426	1					1
Total		1		1	1		3

	lame(lle)s	éclats ou supports indéterminés													Total	
		types/pièces transformées	ret. latérales semi-abruptes	ret. latérales abruptes	grattoir	burin	armature géométrique	pièce esquillée	ret. latérales semi-abruptes	ret. latérales abruptes	grattoir	pièce bifaciale	micro-perçoir	armature à péd. et ailerons		
Néo moyen	type410				1											1
	type417						3	1	1	1						6
	type426						2									2
	ind.				1					1						2
Total				2			5	1	1	2						11
Néo récent	type410									1						1
	type416	1														1
	type417				1					1						2
	type420									1						1
	type426			2		1					1	1				5
Total		1	2	1	1					1	1	1	1			10
Néo final	type400									1						1
	type410									1						2
	type417	1								7						9
	type418									1						1
	type426									1				2		4
	ind.									2						3
Total			1	4						12						20
Bronze anc	type9	1														1
	type410														1	1
	type420									1						2
	type422									1						1
	type426									1						1
	ind.														1	1
Total			2							2						7
Hallstatt	type400									1						1
	type417									1						1
	type426									1						3
Total										1						5

lame(lle)s	types/rythmes	A1	A2	B1	B2	C1	C2	Cind	D	Total
Néo moyen	type410	1		1						2
	type420							1		1
	type426			1				1	1	3
	ind.							1		1
Total		1		2				3	1	7
Néo récent	type416			1						1
	type417			2					1	3
	type426	3		10		1	1	6	3	23
	ind.			1	1			2		4
Total		3	1	14		1	1	8	4	32
Néo final	type410							1		1
	type417				1			3		4
	type418							1		1
	type426				1	1		2	1	5
	ind.				1					1
Total				3	1	1	1	6	1	12
Bronze anc	type9							1		1
	type419				1					1
	type426							1	1	2
Total				1				2	1	4
Hallstatt	type400							1		1
	type416							1		1
	type426				1				1	2
Total				1				2	1	4

A1 : lame(lle) d'entame, corticale ou portant des traces de réfections du nucléus  
 A2 : lame(lle) portant des traces de mises en forme du nucléus  
 B1 : lame(lle) de plein débitage à deux négatifs d'enlèvements laminaires de même sens  
 B2 : lame(lle) de plein débitage à plus de trois négatifs d'enlèvements laminaires de même sens  
 C1 : lame(lle) de plein débitage à section trapézoïdale présentant un code d'extraction de type 2-1-2  
 C2 : lame(lle) de plein débitage à section trapézoïdale présentant un code d'extraction de type 1-2-3 ou 3-2-1  
 D : lame(lle) dont le code opératoire ne peut être déterminé  
 d'après Binder et al. 1991.

Figure 376 - Le Clos de Roque, Saint-Maximin-la-Sainte-Baume (83). Tableau des différents critères observés sur l'industrie lithique par types de silex et selon les différentes périodes d'occupations (talons, extrémités distales, rythmes et transformations) (DAO : M. Remicourt).

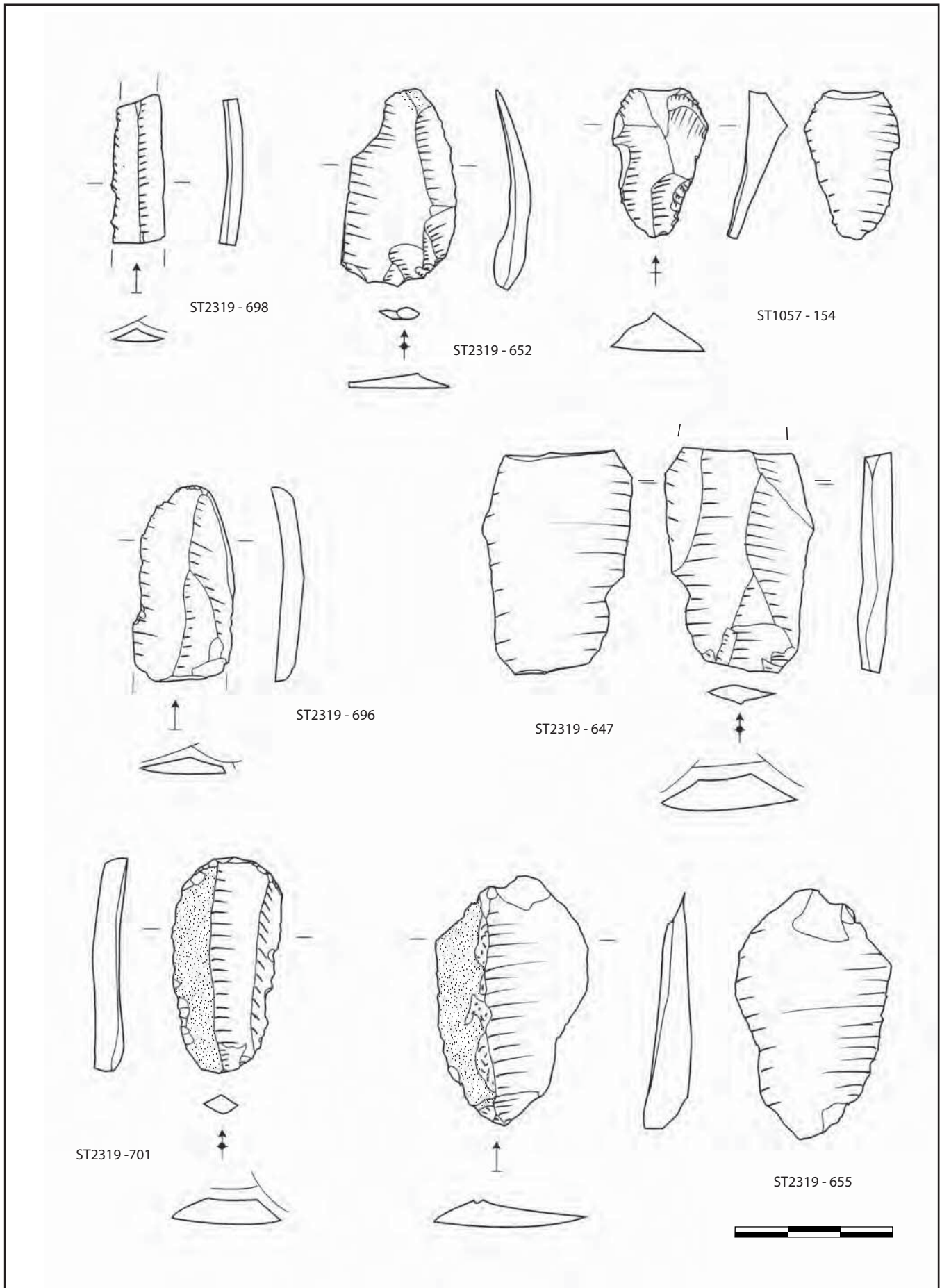
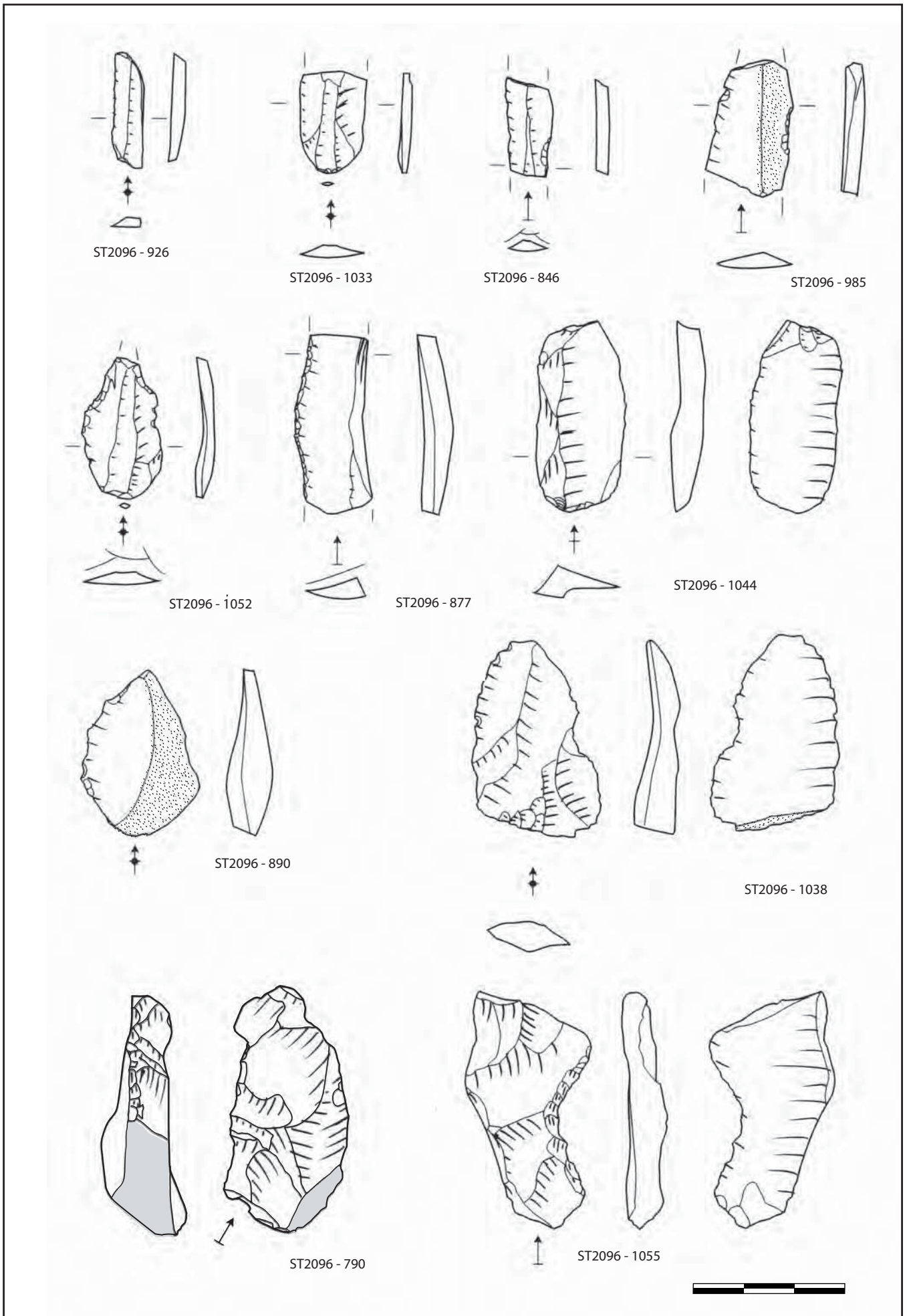


Figure 377 - Le Clos de Roque, Saint-Maximin-la-Sainte-Baume (83). Industrie lithique taillée du Néolithique moyen (DAO : M. Remicourt).



**Figure 378** - Le Clos de Roque, Saint-Maximin-la-Sainte-Baume (83). Industrie lithique taillée du Néolithique récent (en gris, plage mate) (DAO : M. Remicourt).

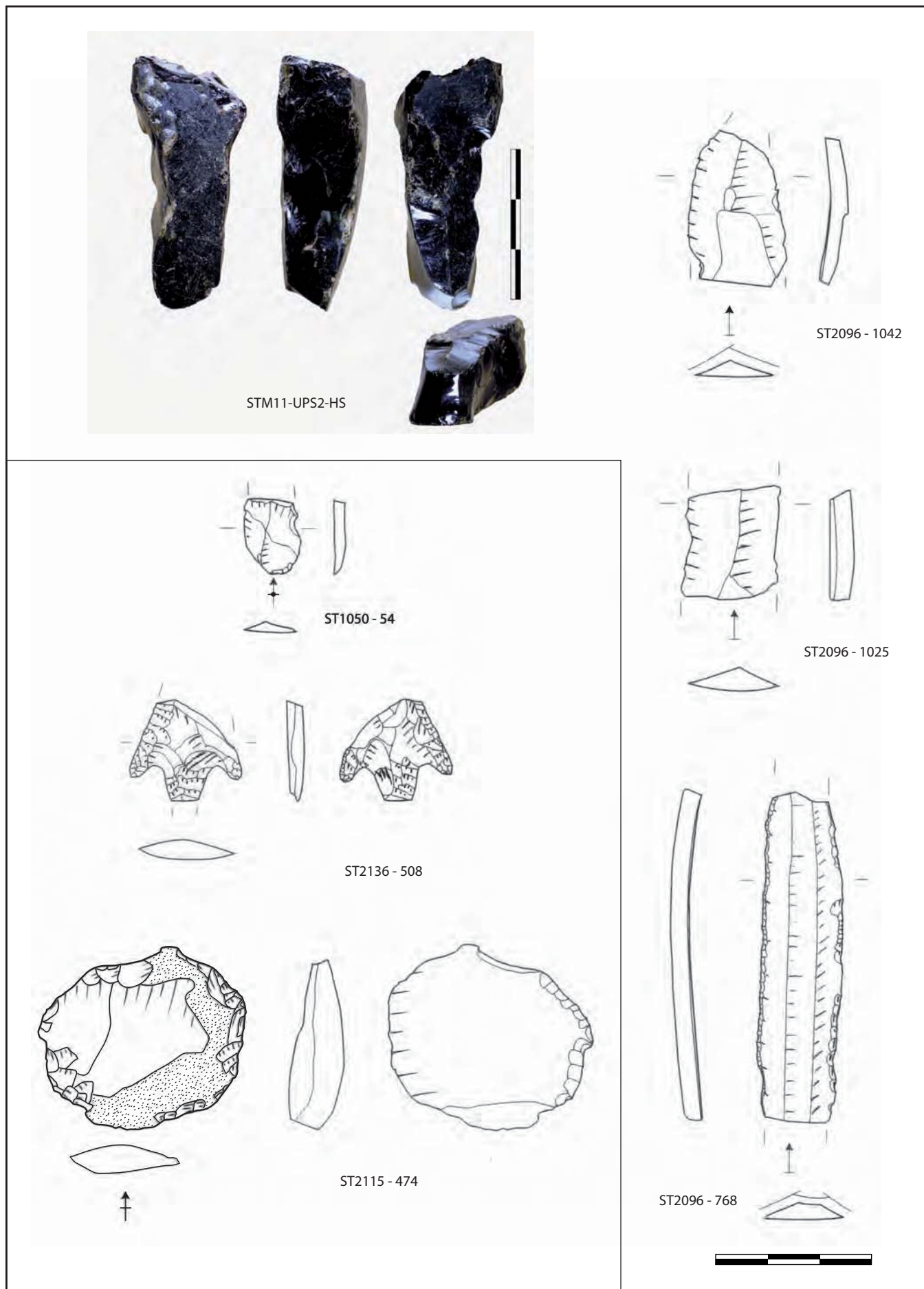


Figure 379 - Le Clos de Roque, Saint-Maximin-la-Sainte-Baume (83). Industrie lithique taillée du Néolithique récent et du Bronze ancien (cadre à gauche) (DAO : M. Remicourt).

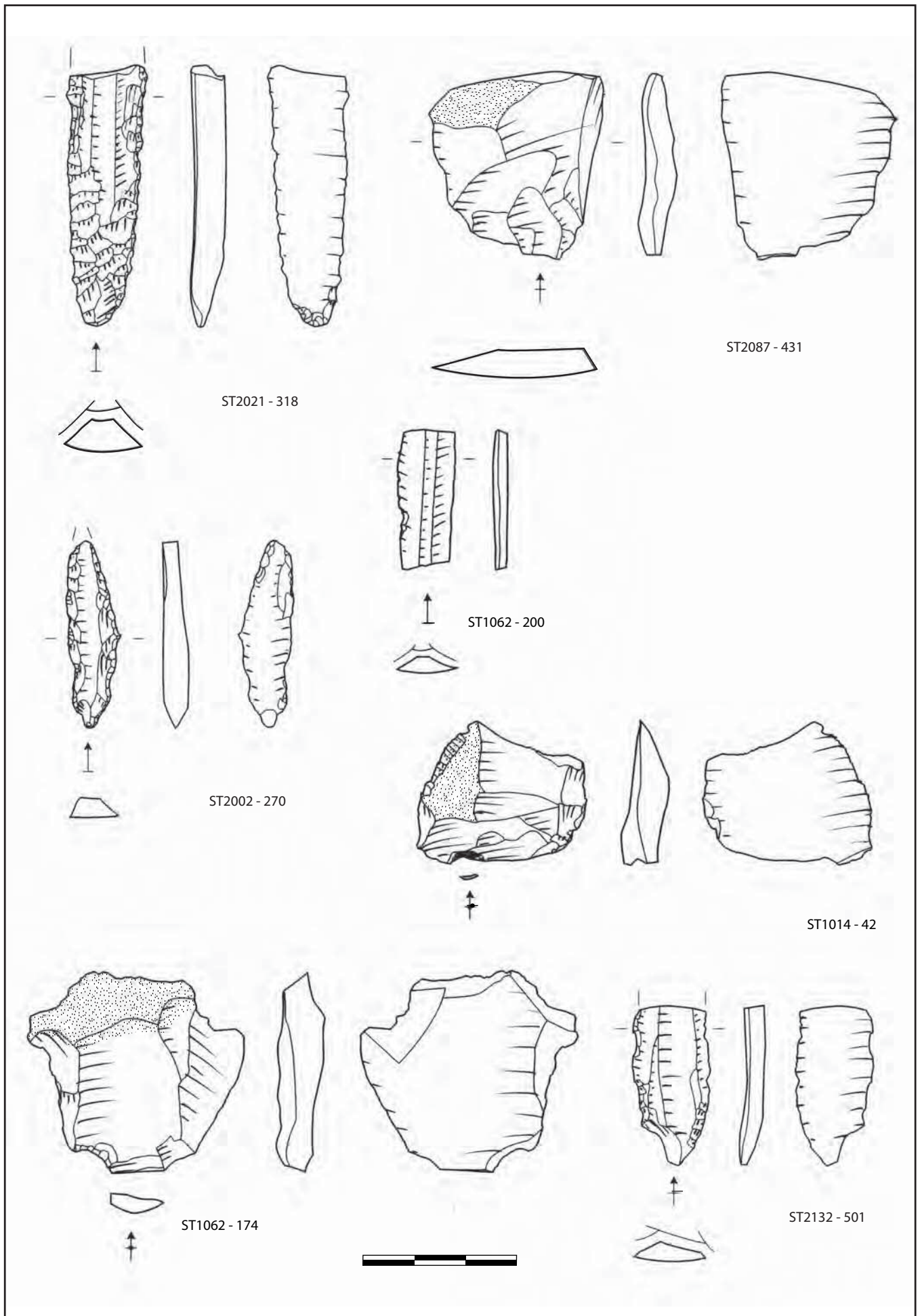


Figure 380 - Le Clos de Roque, Saint-Maximin-la-Sainte-Baume (83). Industrie lithique taillée du Néolithique final (DAO : M. Remicourt).

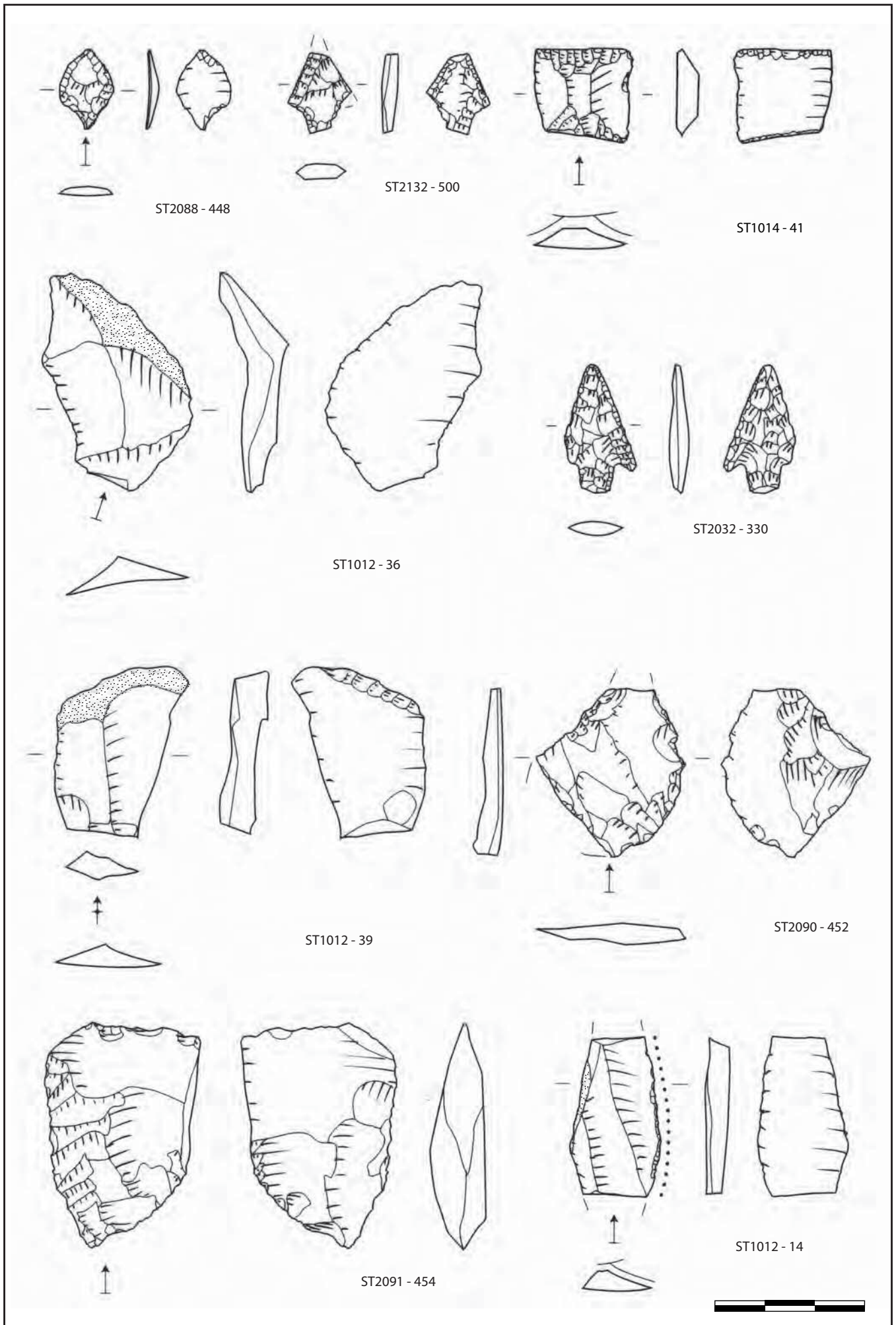


Figure 381 - Le Clos de Roque, Saint-Maximin-la-Sainte-Baume (83). Industrie lithique taillée du Néolithique final (DAO : M. Remicourt).

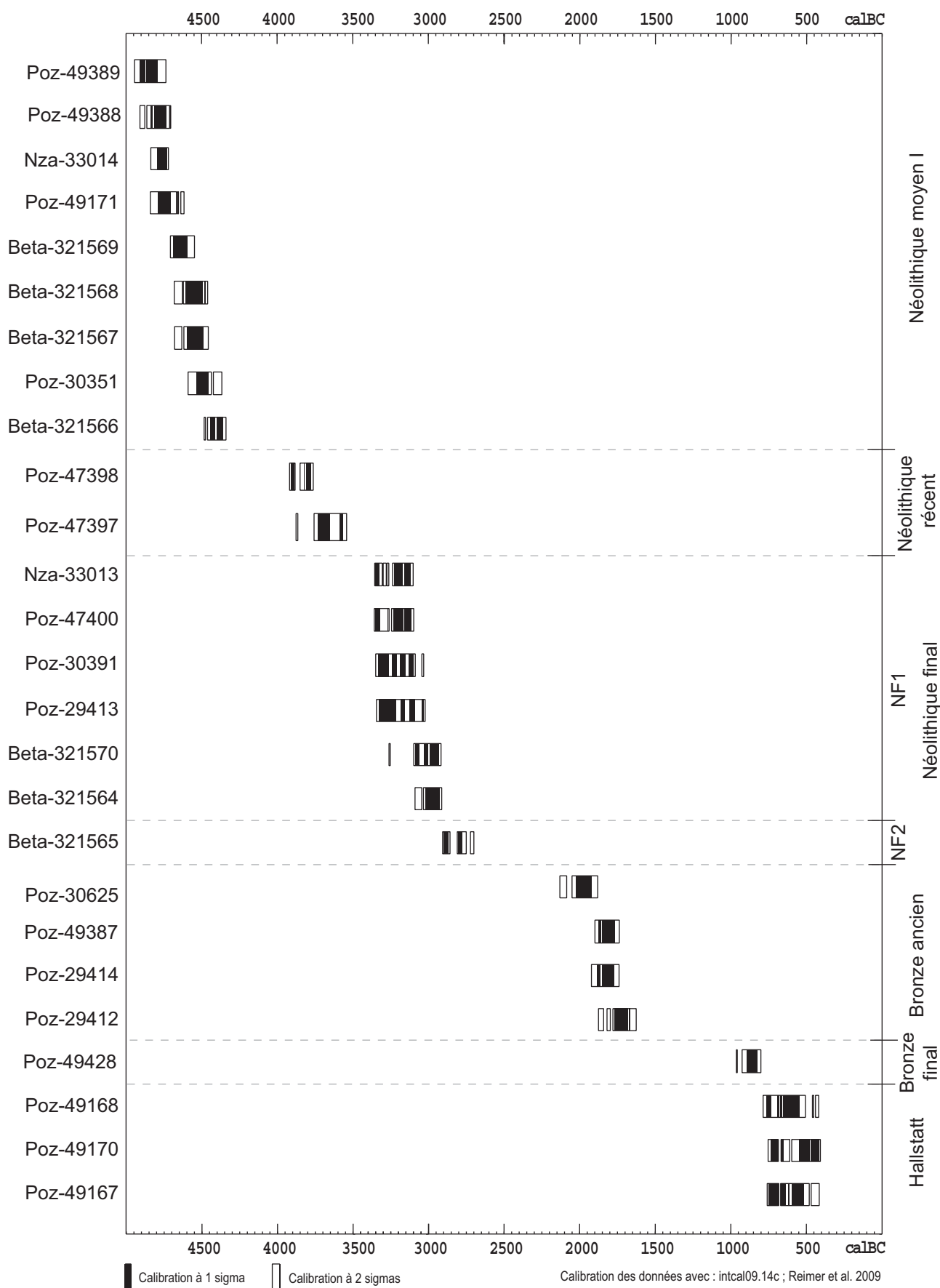


Figure 382 - Le Clos de Roque, Saint-Maximin-la-Sainte-Baume (83). Ensemble des datations radiométriques disponibles au Clos de Roque (d'après Intcal09.14c ; DAO : M. Remicourt).



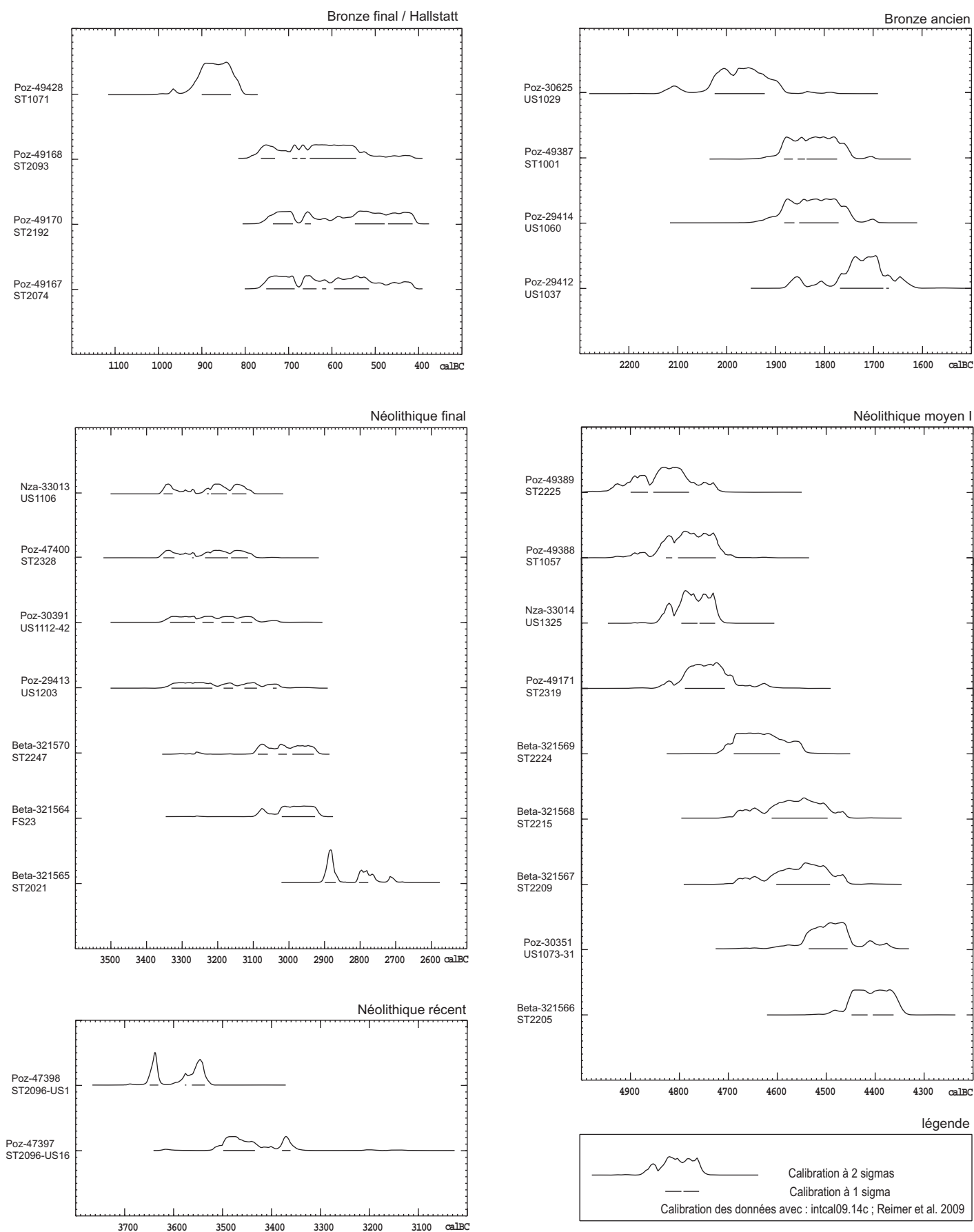
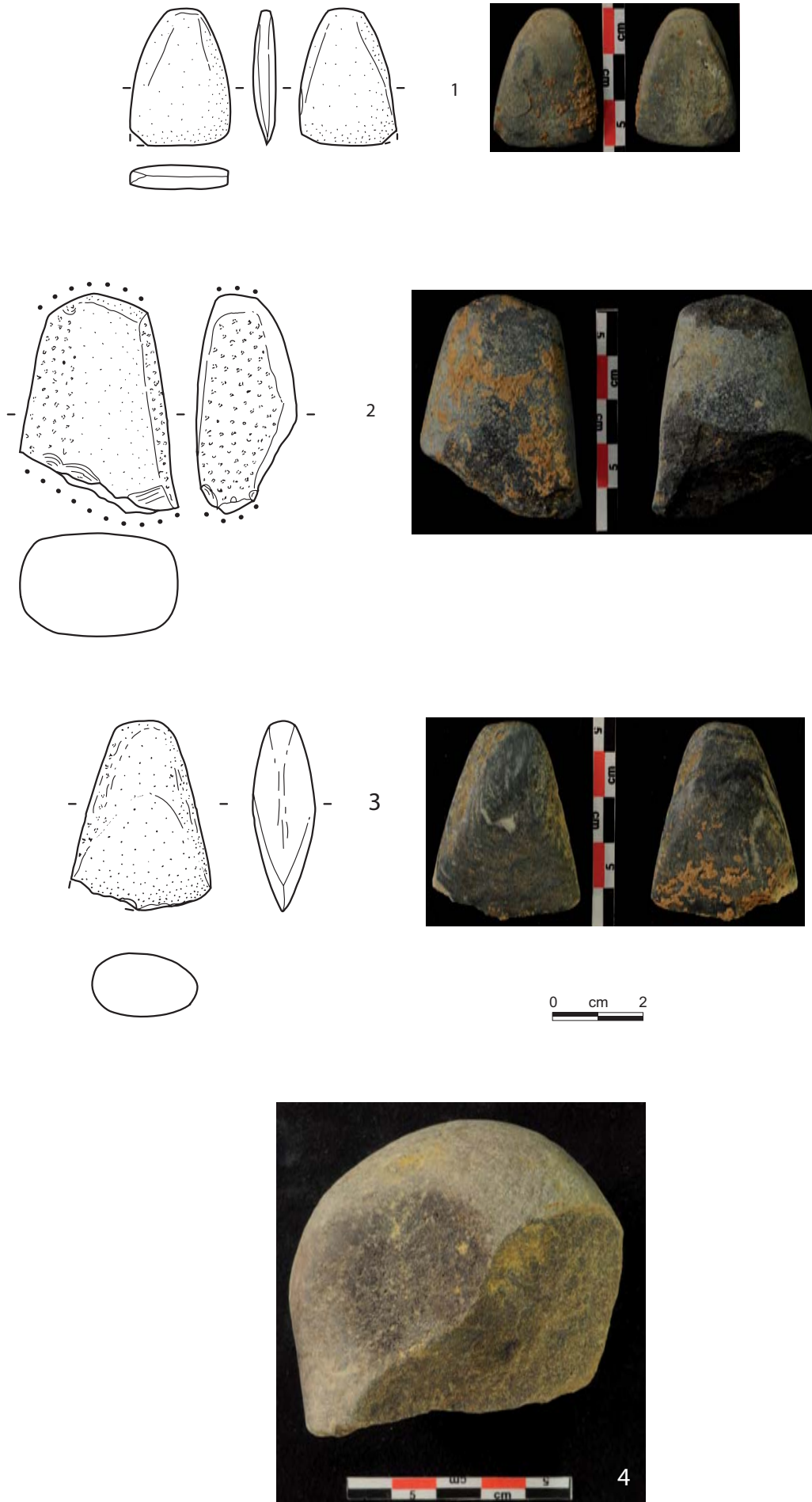
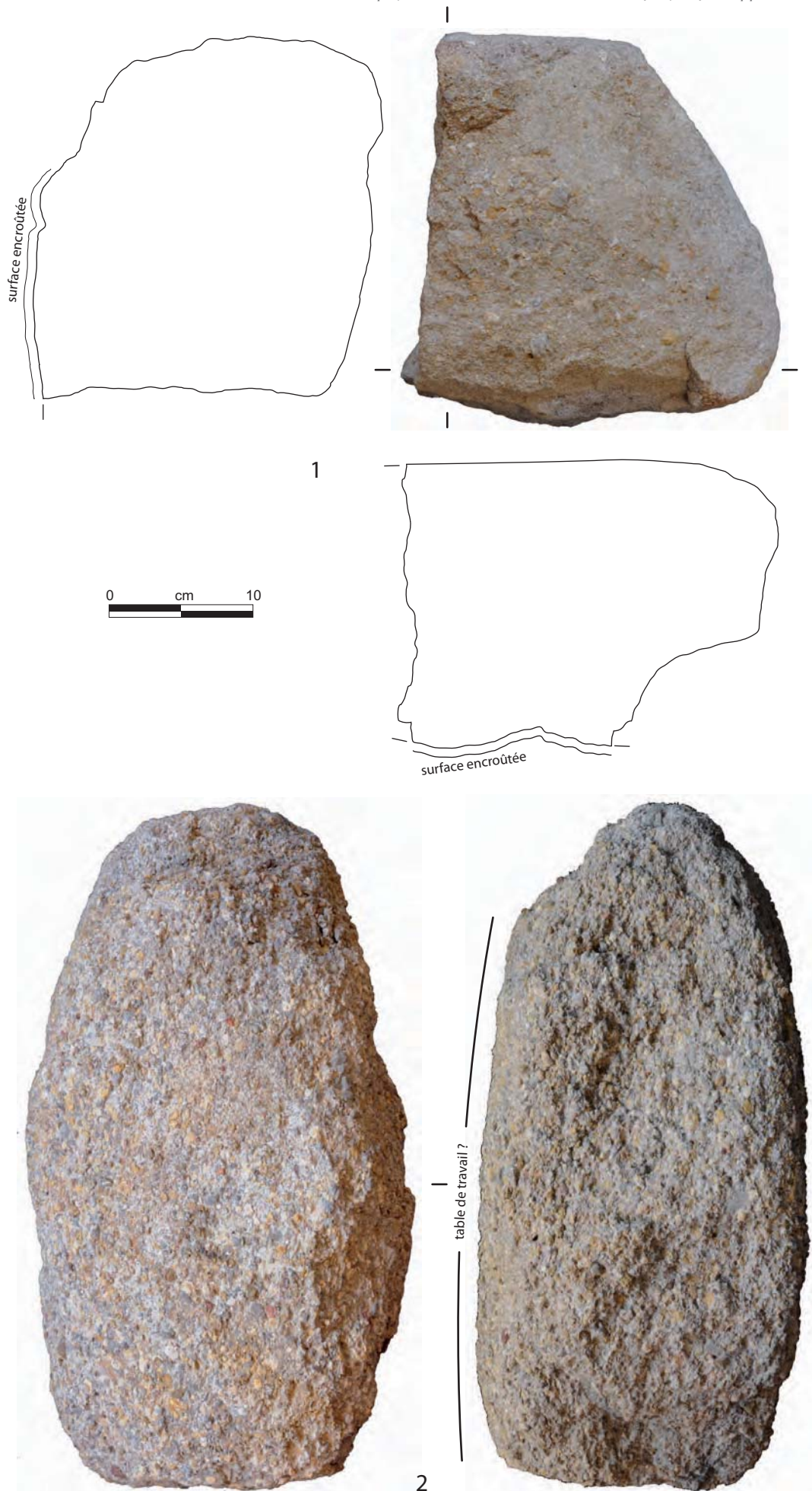


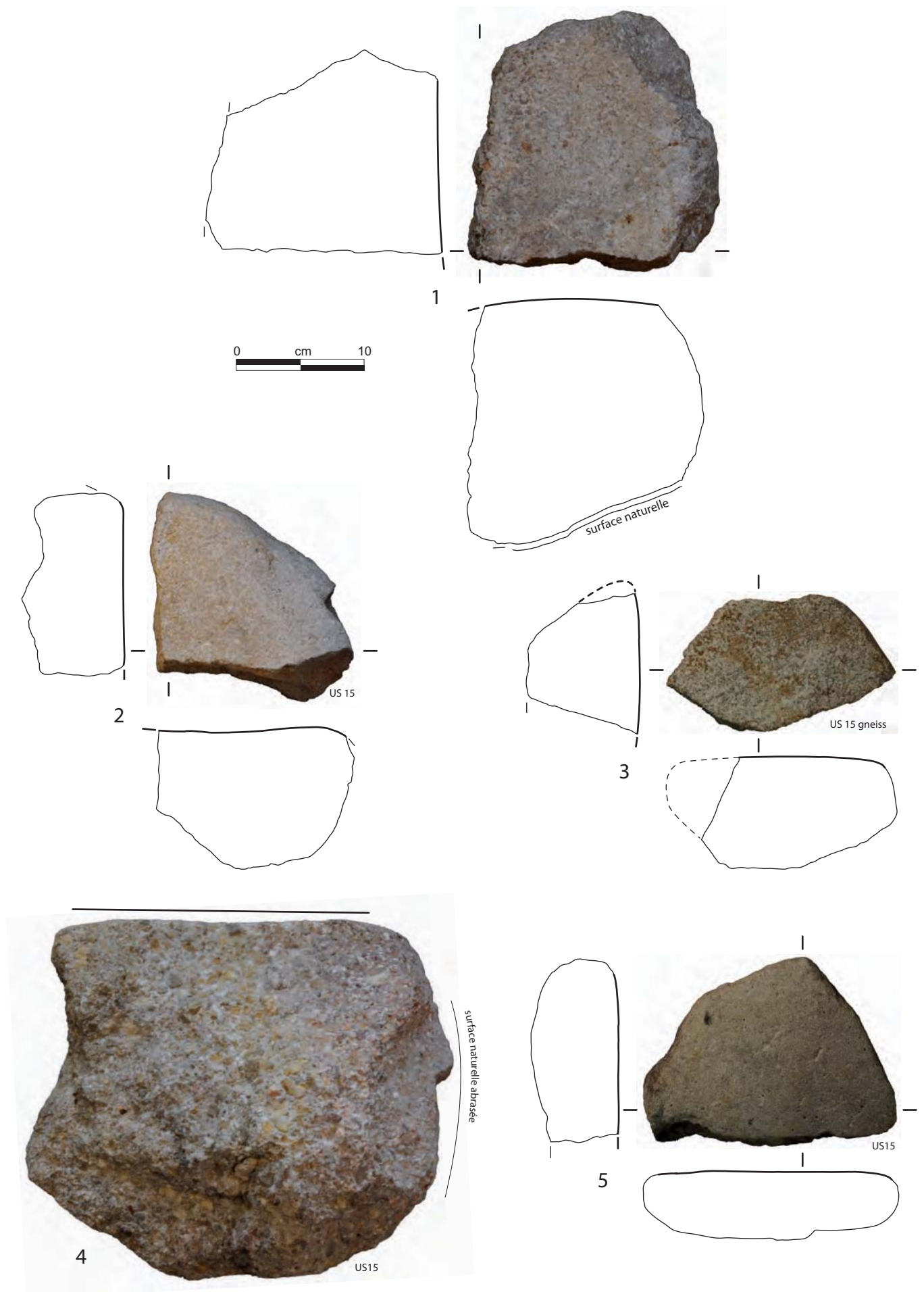
Figure 383 - Le Clos de Roque, Saint-Maximin-la-Sainte-Baume (83). Ensemble des datations radiométriques disponibles au Clos de Roque (d'après Intcal09.14c ; DAO : M. Remicourt).



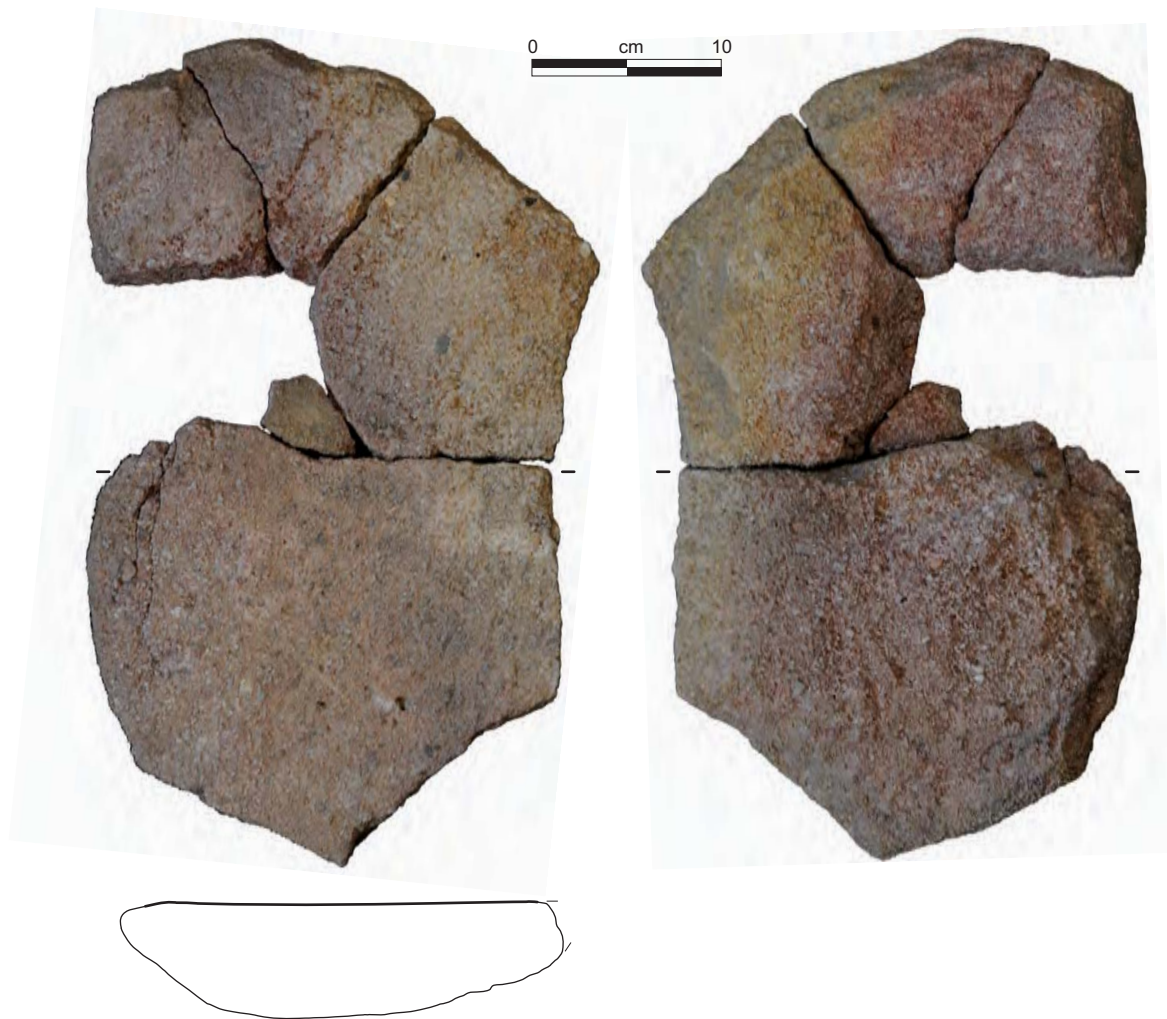
**Figure 384** - Le Clos de Roque, Saint-Maximin-la-Sainte-Baume (83). Lames de hache et perceur. 1 : ST2319, datation Néolithique moyen ; 2 : ST2093, datation Néolithique final ; 3 : ST2192, datation premier âge du fer ; 4 : perceur, puits ST2096 US15, datation Néolithique récent. Echelle 3:4 (Clichés et DAO : E. Thirault).



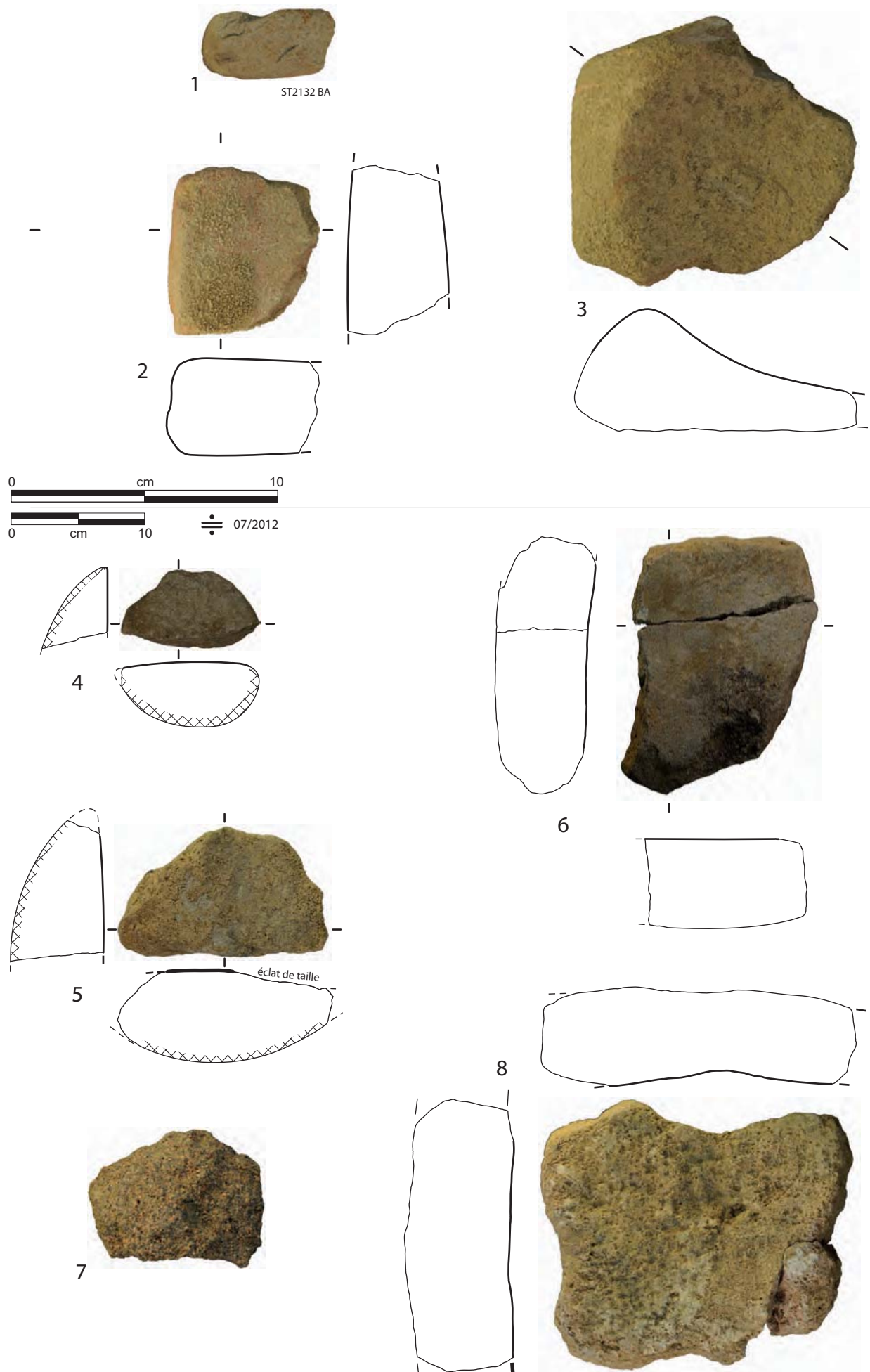
**Figure 385** - Le Clos de Roque, Saint-Maximin-la-Sainte-Baume (83). Mobilier de mouture du puits ST2096, US 16 (fond du puits, datation Néolithique récent). 1 : fragment éclaté au feu en grès lité à passées grossières ; 2 : pièce entière en poudingue, probablement une meule. Echelle 1:4 (Clichés et DAO : E. Thirault).



**Figure 386** - Le Clos de Roque, Saint-Maximin-la-Sainte-Baume (83). Saint-Maximin-la-Sainte-Baume, lieu-dit Clos de Roque. Mobilier de mouture du puits ST2096, US 15 (fond du puits, datation Néolithique récent). 1 : fragment éclaté au feu en grès/grauwacke ; 2 : fragment en grès grossier ; 3 : extrémité en roche de type gneiss ; 4 : « tranche » de meule en grauwacke, avec surface naturelle abrasée ; 5 : extrémité en grès, sur bloc roulé. Echelle 1:4 (Clichés et DAO : E. Thirault).



**Figure 387** - Le Clos de Roque, Saint-Maximin-la-Sainte-Baume (83). ST2324, attribution Néolithique/Protohistoire indéterminée. Meule presque complète en grès grossier à grauwacke. Echelle 1:4 (Clichés et DAO : E. Thirault).



**Figure 388** - Le Clos de Roque, Saint-Maximin-la-Sainte-Baume (83). Mobilier lithique pondéreux divers. 1 : ST2132, attribution Bronze ancien : éclat de taille en grès fin ; 2 : puits ST2096 US 2, attribution Néolithique récent : fragment de polissoir/aiguisoir en grès fin rouge ; 3 : ST2011, datation incertaine (Néolithique à Protohistoire) : fragment de polissoir/aiguisoir en grès fin rosé ; 4 à 8 : mouture. 4 : fragment de molette en grès dur, ST2319 (datation Néolithique moyen) ; 5 : fragment de molette en grès dur, FS4 (datation Néolithique final) ; 6 : puits ST2096 US6 (datation Néolithique récent), fragment de mouture ; 7 : objet en brèche (?), ST2030, datation Bronze ancien ; 8 : ST1023 (datation Néolithique récent), fragment de meule avec dépression centrale. Echelles 1:2 (haut) et 1:4 (bas) (Clichés et DAO : E. Thirault).

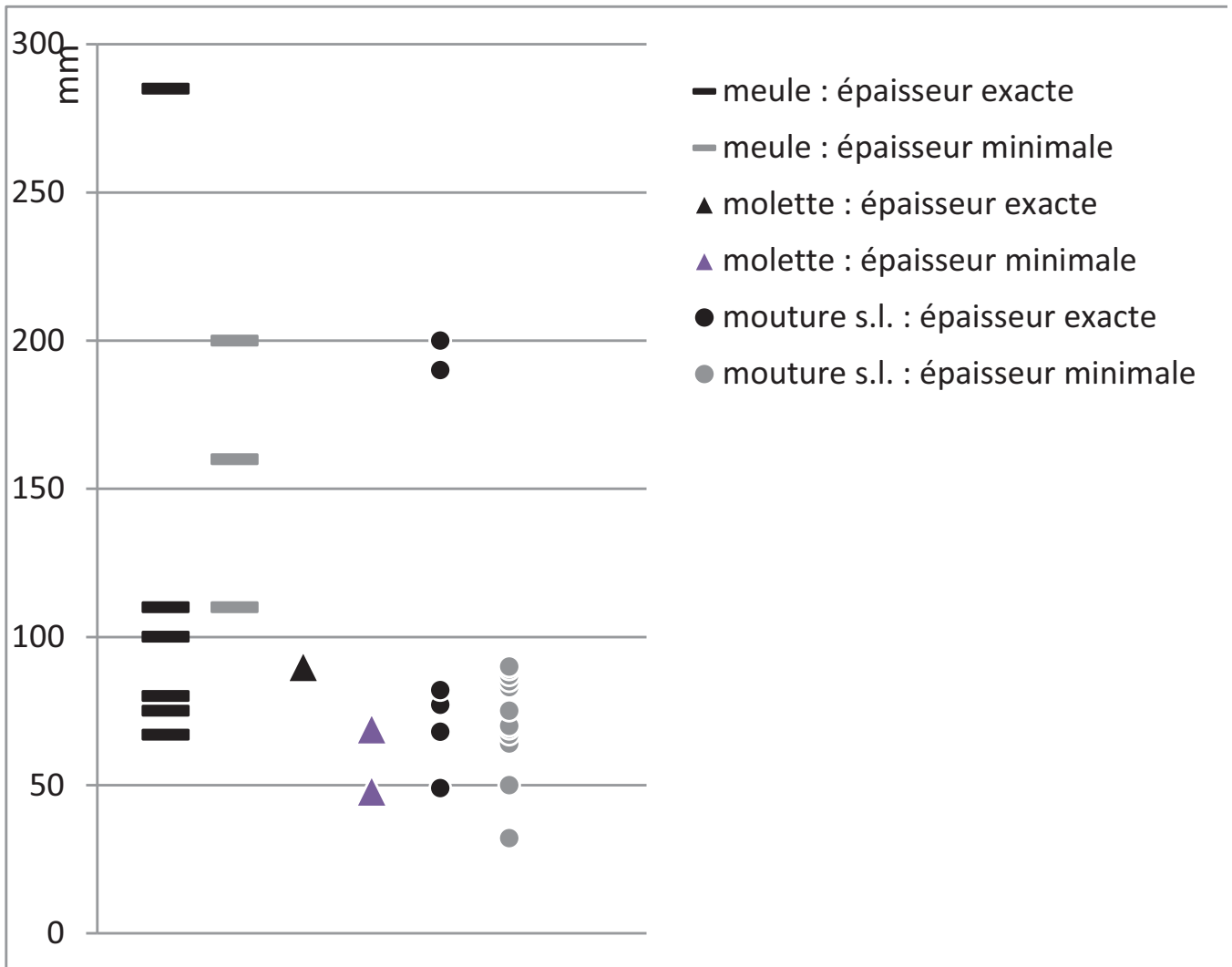
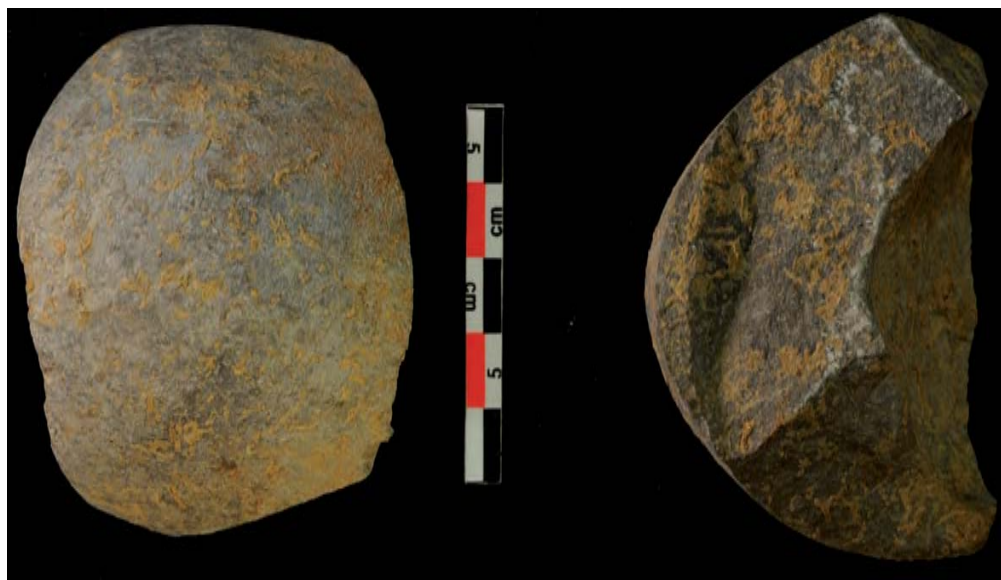
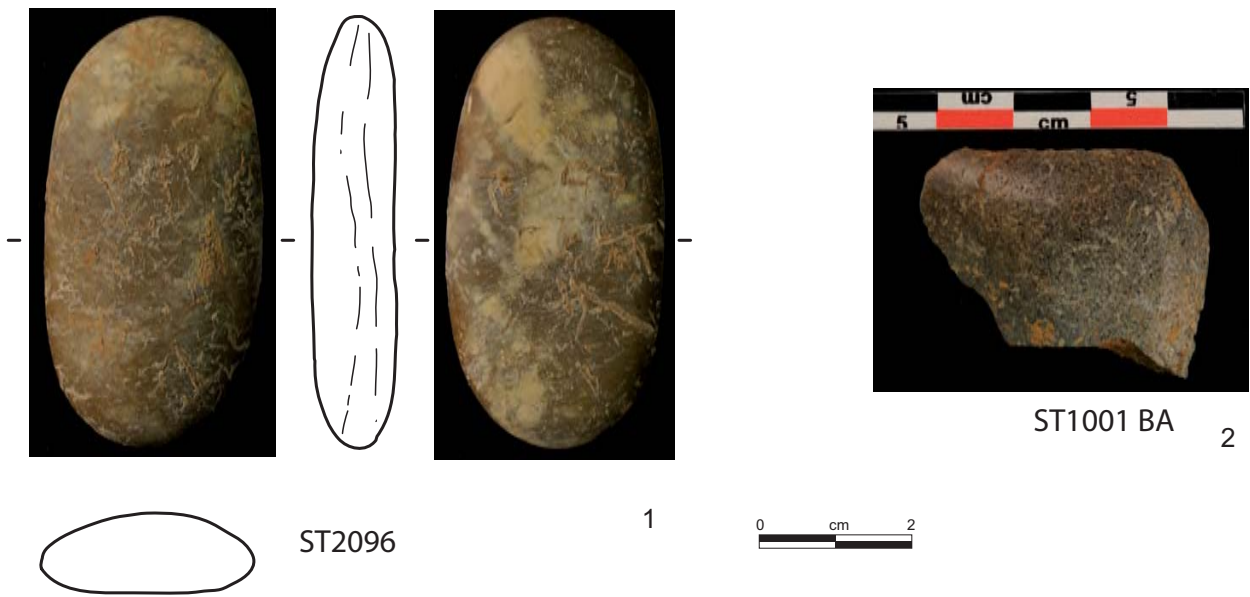


Figure 389 - Le Clos de Roque, Saint-Maximin-la-Sainte-Baume (83). Le matériel de mouture/broyage : répartition des épaisseurs en fonction des types d'instruments (DAO : E. Thirault).



ST2328 = FS24 3

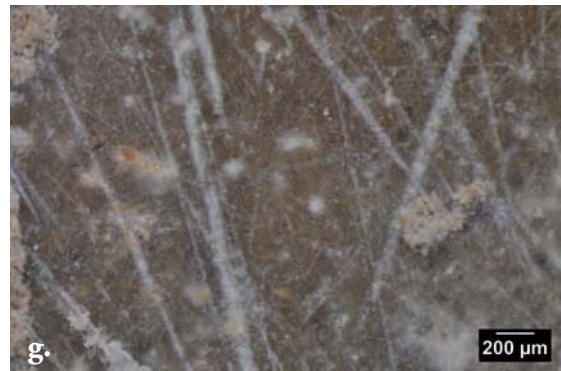
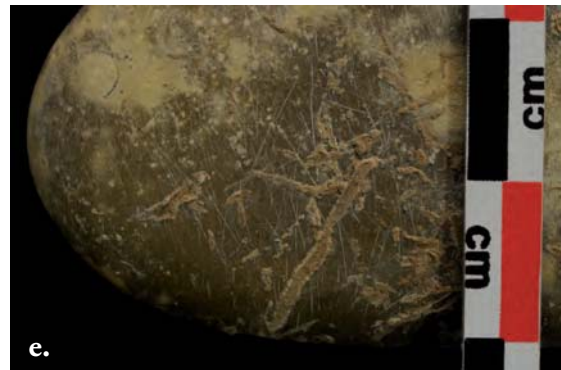
**Figure 390** - Le Clos de Roque, Saint-Maximin-la-Sainte-Baume (83). Saint-Maximin-la-Sainte-Baume, lieu-dit Clos de Roque. Lissoirs et objets striés (Clichés et DAO : E. Thirault).



Lissoir expérimental sur galet.



Lissoir archéologique sur galet.



**Figure 391** - Le Clos de Roque, Saint-Maximin-la-Sainte-Baume (83). Lissoir découvert dans le puits ST 2096 (PT 1642) (colonne de droite). Datation : Néolithique récent. Comparaisons avec un lissoir expérimental sur galet (colonne de gauche ; expérimentation : M. Remicourt). a et e : vues macroscopiques des échantillons. b, c, d : vues de détail des stries provoquées par le lissage de poterie. f, g, h : stries observées, sans doute issues des travaux de lissage sur poterie (Clichés P. Fernandes ; DAO : M. Dousse).



**Figure 392** - Le Clos de Roque, Saint-Maximin-la-Sainte-Baume (83). Lame de hache polie STM11, Structure 2192, PT3482. Présence de stries croisées sur une des faces qui pourraient être liées aux travaux de lissage de la poterie (Clichés P. Fernandes ; DAO : M. Dousse).



**Figure 393** - Le Clos de Roque, Saint-Maximin-la-Sainte-Baume (83). ST2096, QNE, US 6, décapage 31 (Clichés P. Tacussel ; DAO : N. Parisot).



394



395



396



397

*Figures 394 à 397* - Le Clos de Roque, Saint-Maximin-la-Sainte-Baume (83). ST2096, QNE, US 6, décapage 28 (Clichés P. Tacussel ; DAO : N. Parisot).

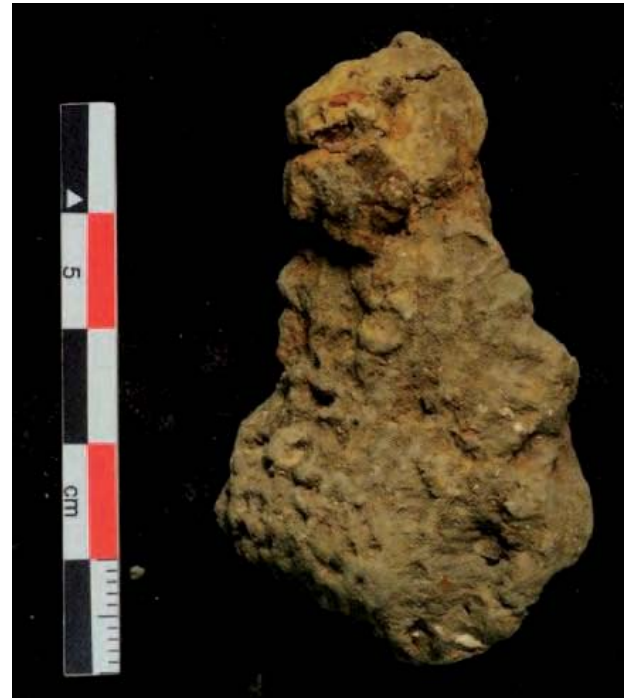


Figure 398 - Le Clos de Roque, Saint-Maximin-la-Sainte-Baume (83). ST2096, US 1, décapage 3 (Clichés P. Tacussel ; DAO : N. Parisot).



**Figure 399** - Le Clos de Roque, Saint-Maximin-la-Sainte-Baume (83). ST2096, US 1, décapage 3 (Clichés P. Tacussel ; DAO : N. Parisot).



**Figure 400** - Le Clos de Roque, Saint-Maximin-la-Sainte-Baume (83). ST2096, QNE, US 6, décapage 33 (Clichés P. Tacussel ; DAO : N. Parisot).



**Figure 401** - Le Clos de Roque, Saint-Maximin-la-Sainte-Baume (83). ST2096, QNE, US 1, décapage 3 (Clichés P. Tacussel ; DAO : N. Parisot).





a



b



c



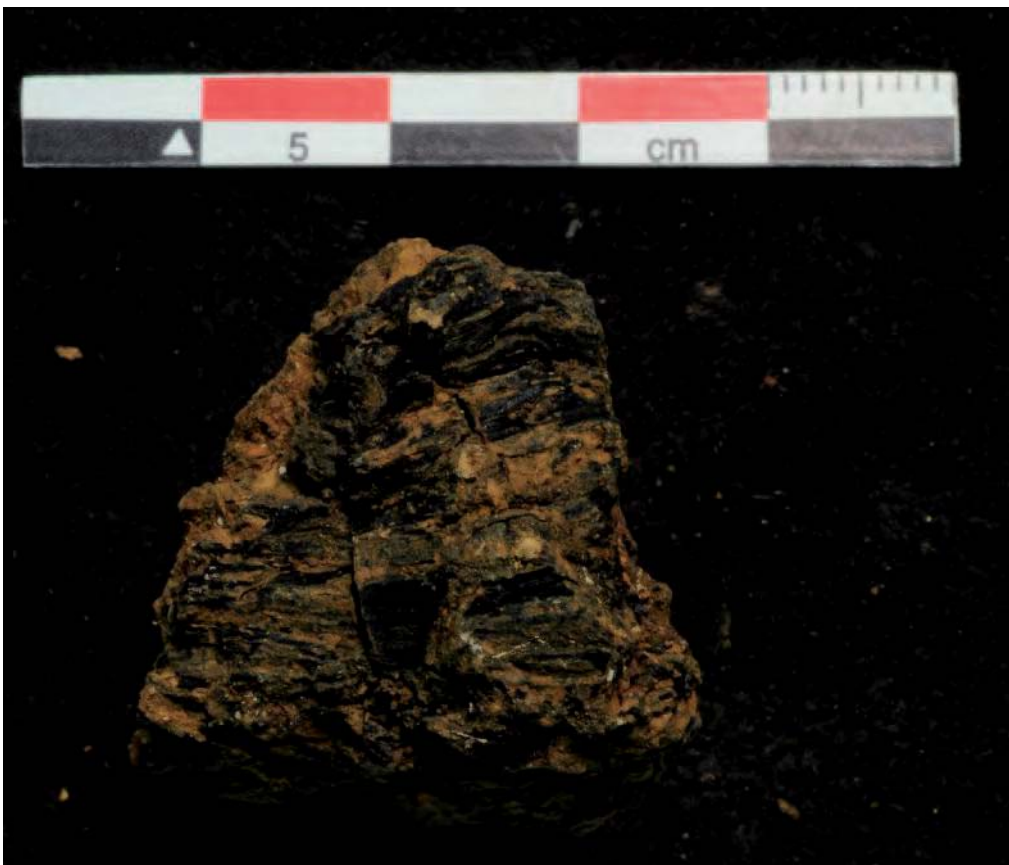
d

**Figures 402 (ab)** - Le Clos de Roque, Saint-Maximin-la-Sainte-Baume (83). ST2201, ½ Sud (Clichés P. Tacussel ; DAO : N. Parisot)

**Figures 403 (cd)** - Le Clos de Roque, Saint-Maximin-la-Sainte-Baume (83). ST2230-10 (Clichés P. Tacussel ; DAO : N. Parisot)..



*Figure 404* - Le Clos de Roque, Saint-Maximin-la-Sainte-Baume (83). ST1057, US 3 (Clichés P. Tacussel ; DAO : N. Parisot).



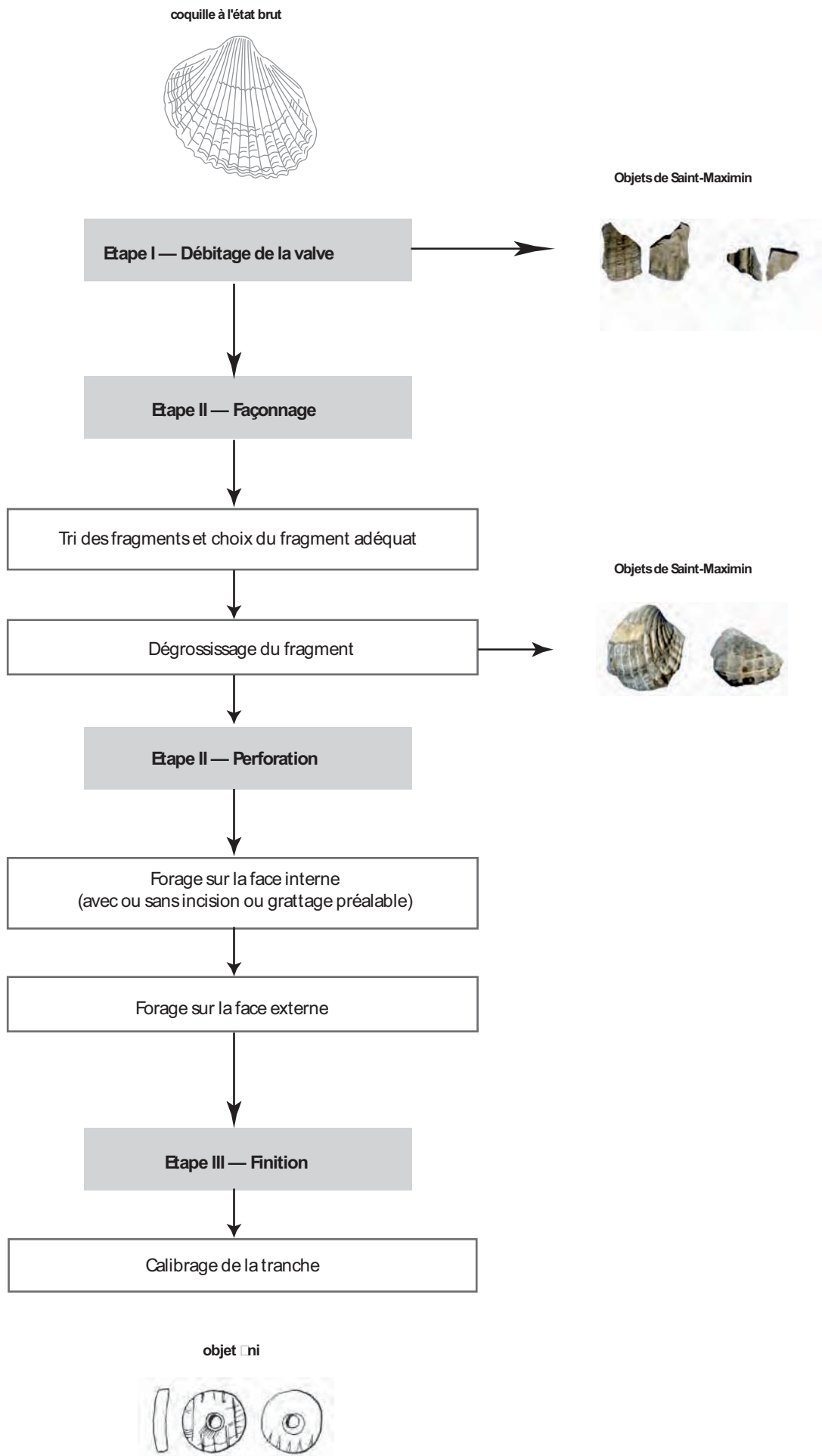
*Figure 405* - Le Clos de Roque, Saint-Maximin-la-Sainte-Baume (83). ST1057, US 3 (Clichés P. Tacussel ; DAO : N. Parisot).



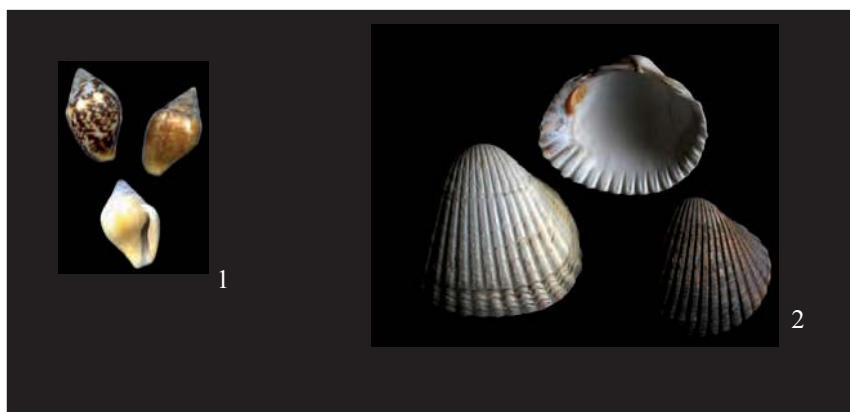
*Figure 406* - Le Clos de Roque, Saint-Maximin-la-Sainte-Baume (83). à gauche : STM11 ST 2096 US16 fond puits : Biseaux bifacial (BB), Néolithique final ; à droite : MN1,VBQ. (STM 11 ST 2225 PT 6470), Lissoir (M ( C )) (Cliché : I. Sénépart).



**Figure 407** - Le Clos de Roque, Saint-Maximin-la-Sainte-Baume (83). Objets de parure (Clichés et DAO : S. Bonnardin).



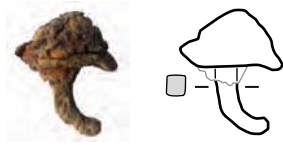
**Figure 408** - Le Clos de Roque, Saint-Maximin-la-Sainte-Baume (83). Chaîne opératoire de fabrication des perles en coquille de *Cardiides* et position des objets de Saint-Maximin dans la chaîne opératoire (Clichés et DAO : S. Bonnardin).



**Figure 409** - Le Clos de Roque, Saint-Maximin-la-Sainte-Baume (83). Espèces marines actuelles comparables à celles qui furent apportées sur le site. 1 : *Columbella rustica* ; 2 : *Cerastoderma edule* (Clichés et DAO : S. Bonnardin).

## Structures du Bronze ancien

ST2128-1



ST2143-1

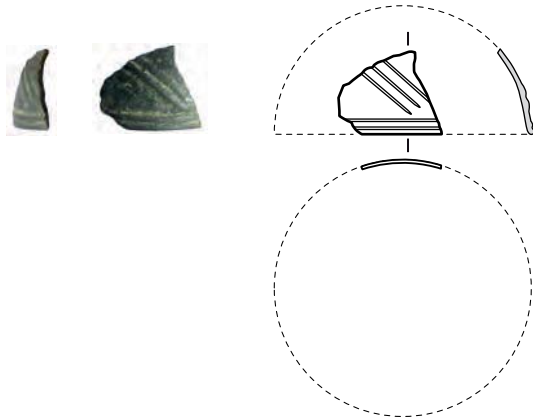


ST2148-1

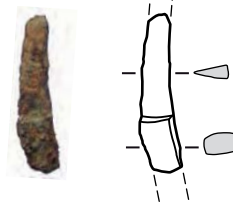


## Structures du Premier âge du Fer

ST2033-us1-1



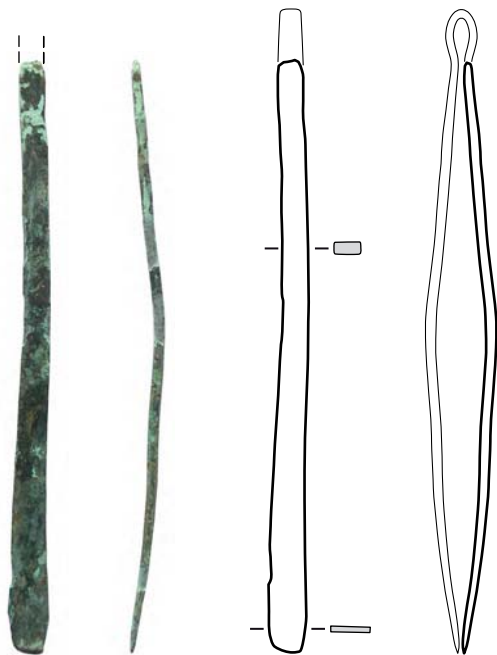
ST2074-us1-1



ST2074-us2-1



ST2192-1



ST2192-2



### conventions graphiques

- contours
- détails internes
- corrosion
- restitution probable
- restitution hypothétique
- indication de cassure
- sections



Figure 410 - Le Clos de Roque, Saint-Maximin-la-Sainte-Baume (83). Objets en métal découverts dans les structures du Bronze ancien et de l'âge du Fer (Clichés, dessins et DAO : B. Girard).



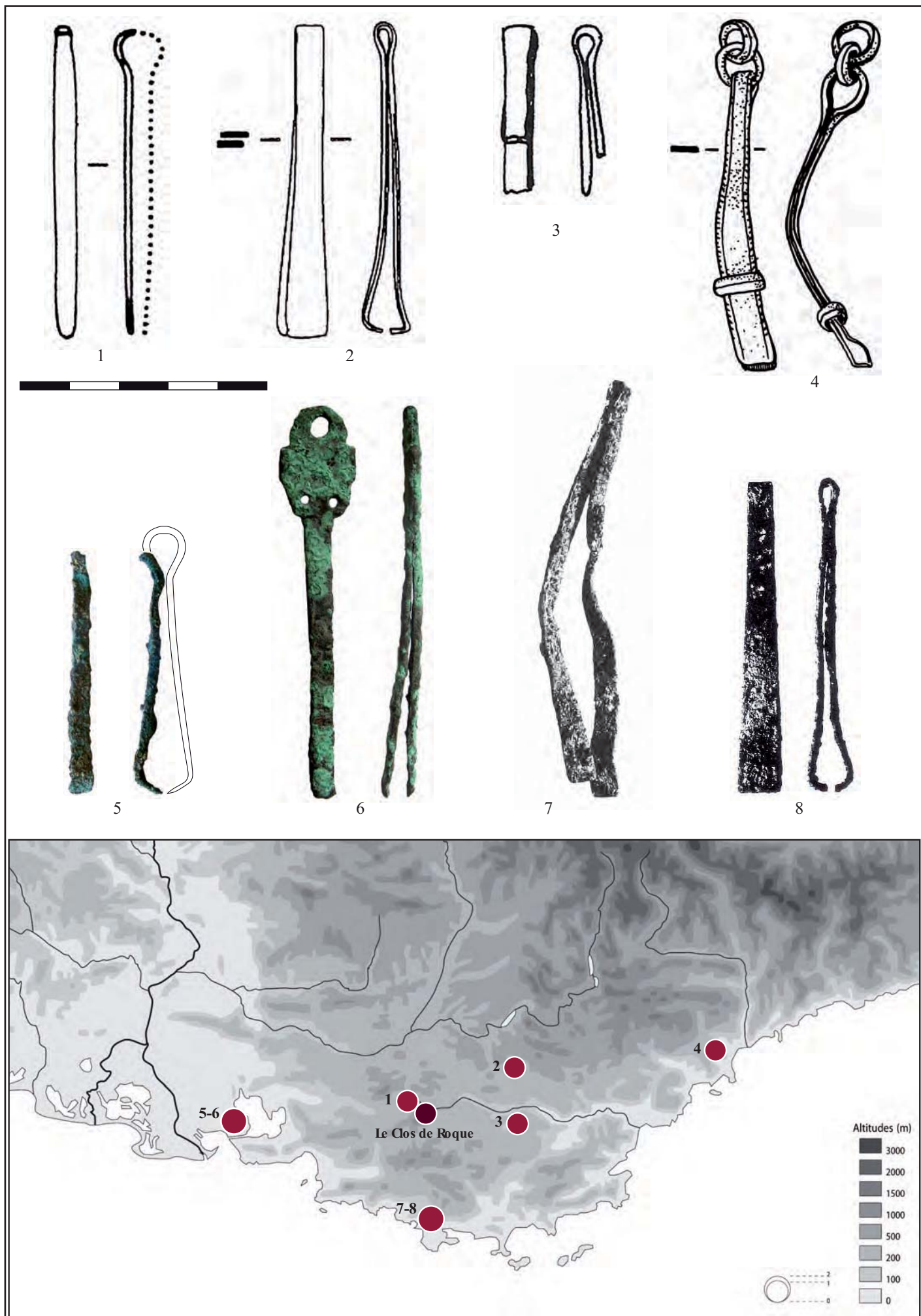
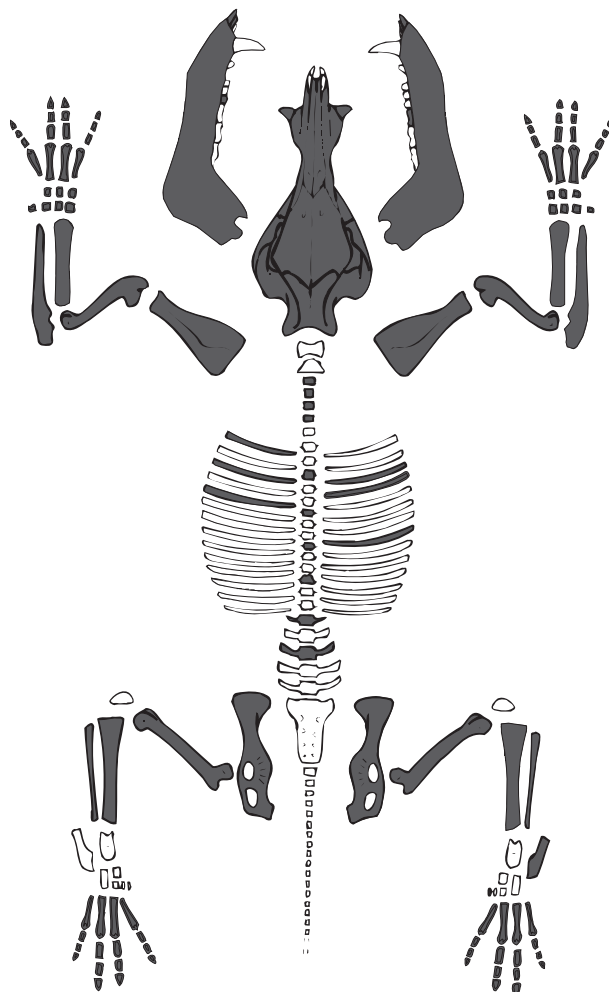


Figure 411 - Le Clos de Roque, Saint-Maximin-la-Sainte-Baume (83). Exemples de pinces à épiler attribuables à l'âge du Fer découverts dans le Sud de la France (DAO : B. Girard).  
Paléotime 2012

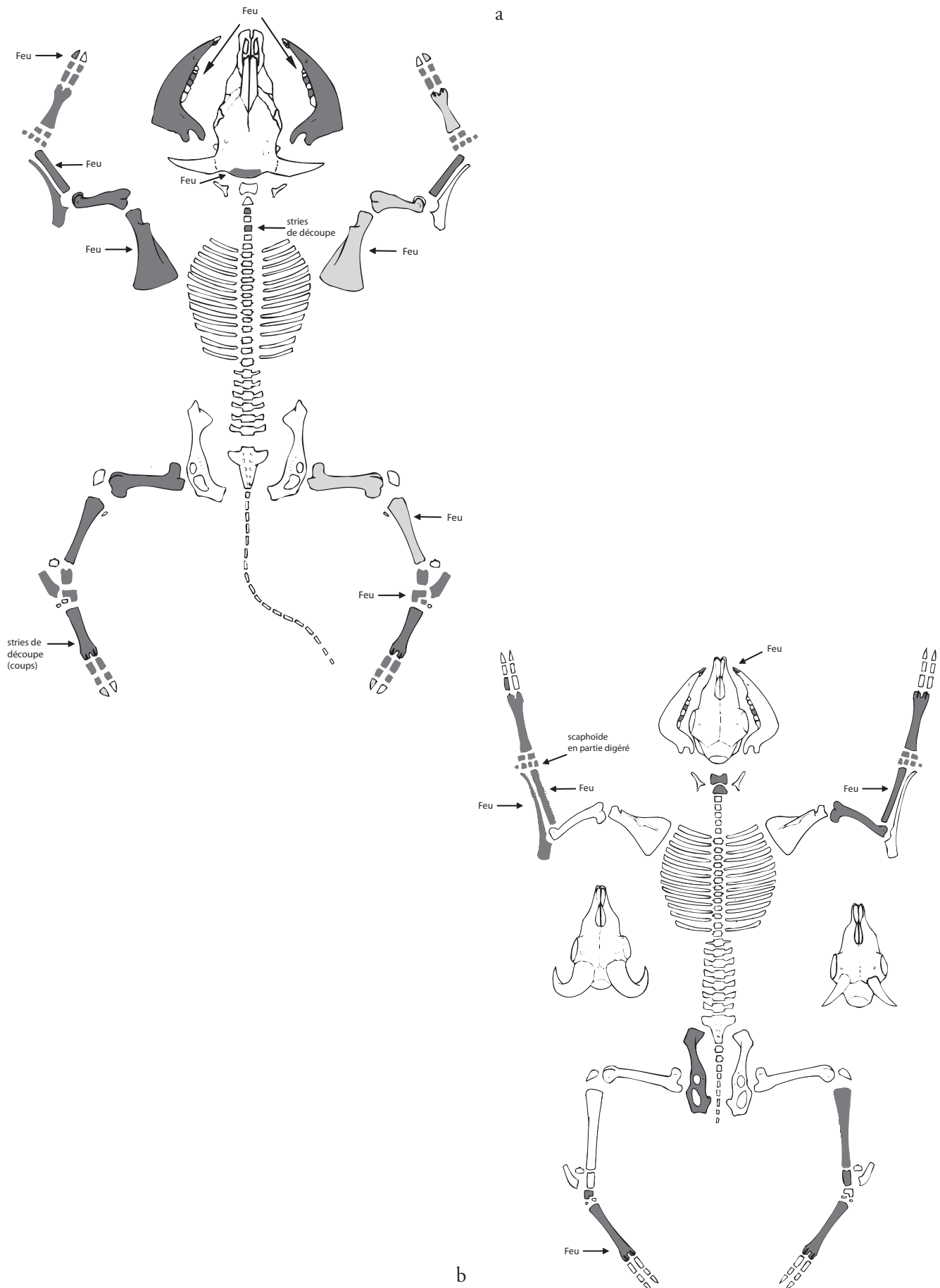


a

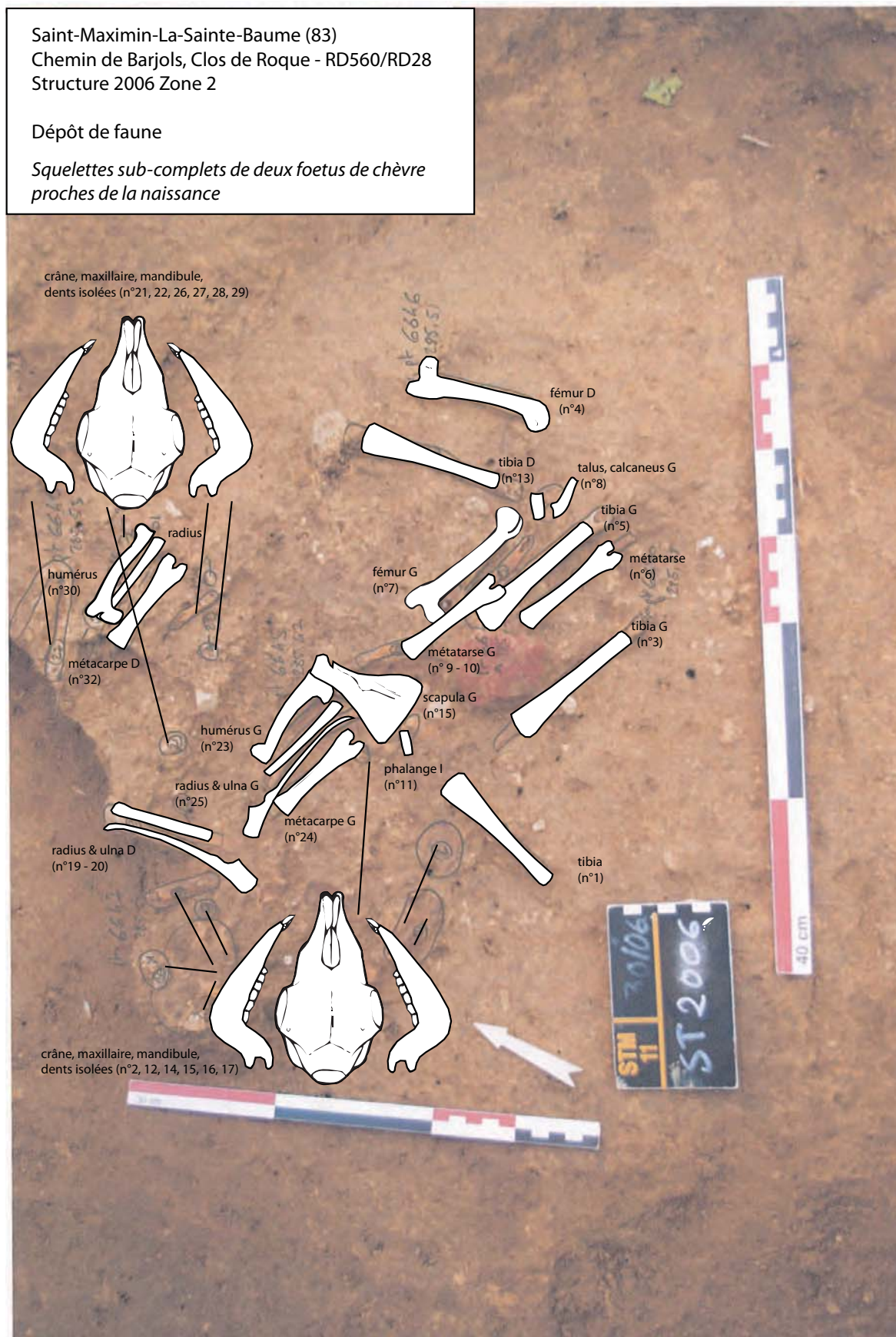


b

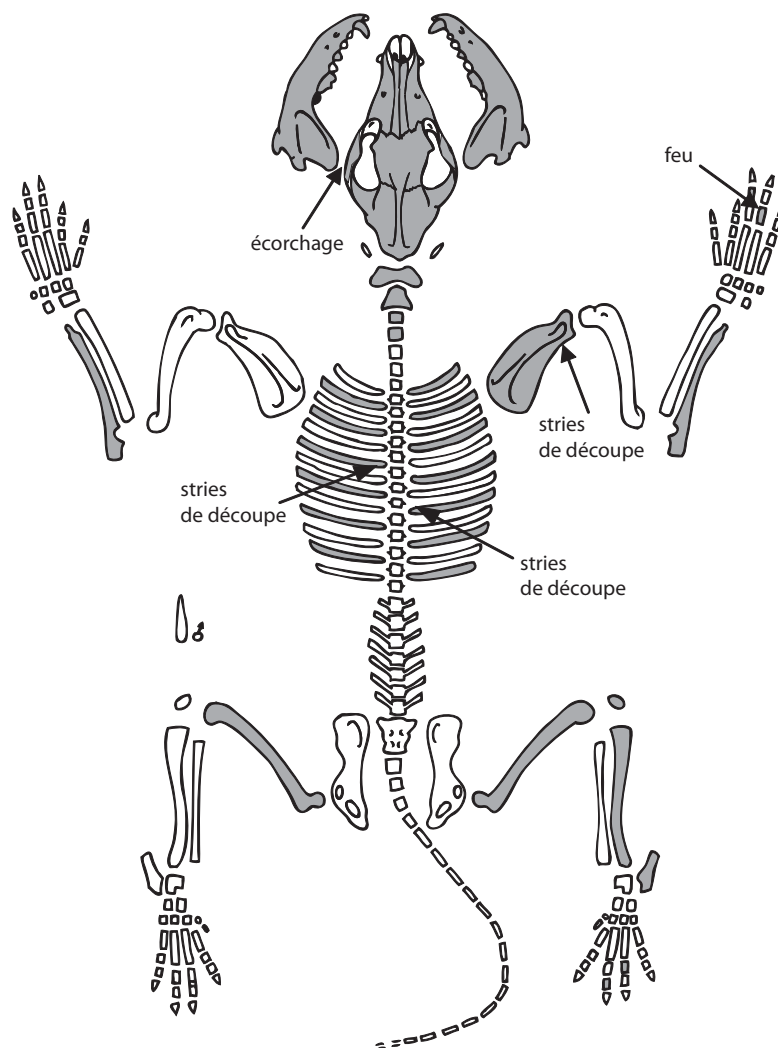
**Figure 412** - Le Clos de Roque, Saint-Maximin-la-Sainte-Baume (83). a : Fragment de mandibule droite de chien de la fosse 18 ; b : Représentation squelettique du jeune suinés de la fosse 21 (d'après dessin de Helmer 1987). Les parties squelettiques observées sont en gris (Clichés et DAO : E. Blaise).



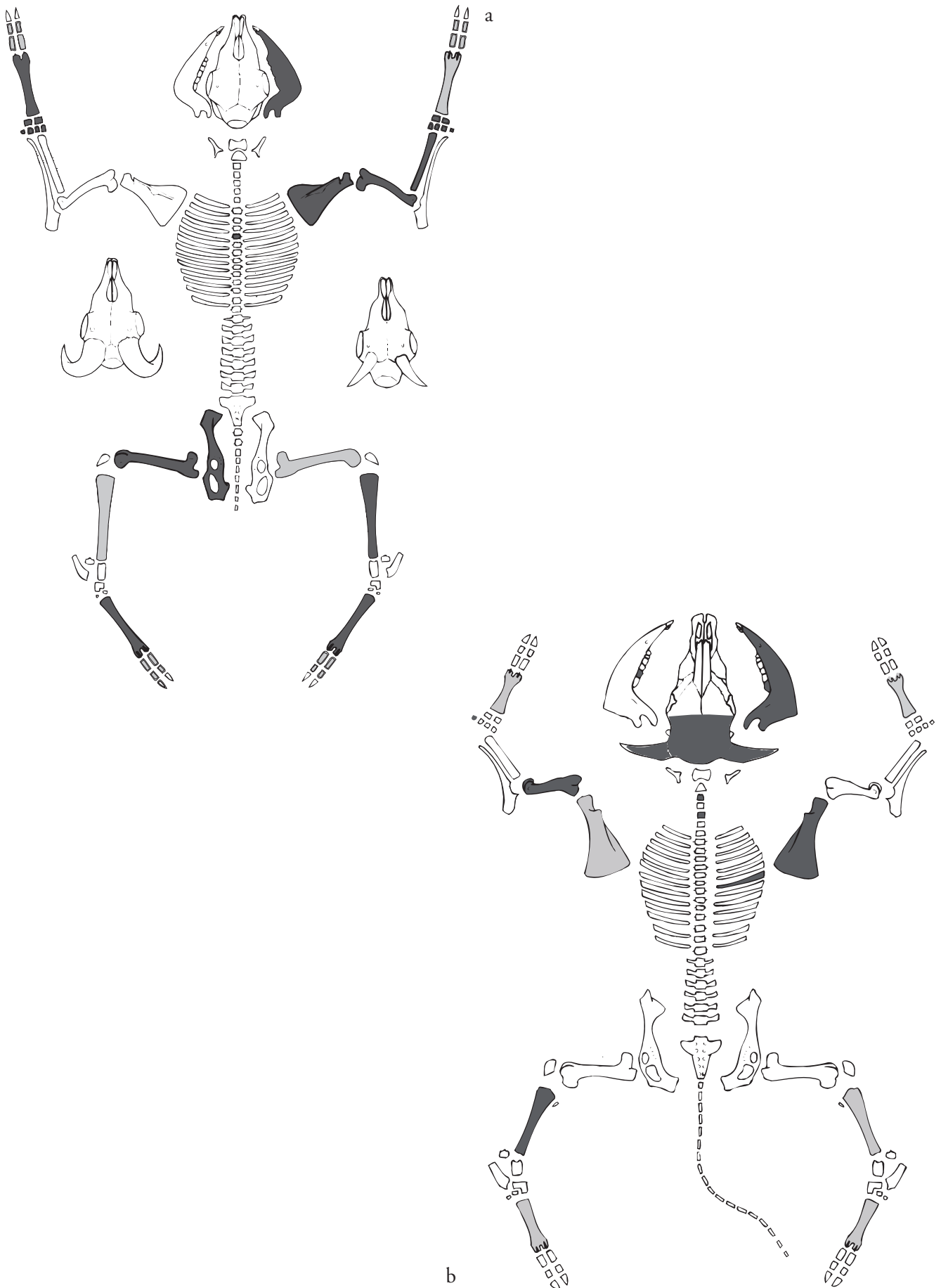
**Figure 413** - Le Clos de Roque, Saint-Maximin-la-Sainte-Baume (83). Représentation squelettique du bœuf et des caprinés domestiques de la fosse 1057 et localisation des traces observées (d'après dessin de Helmer 1987). a : Le bœuf ; b : Les caprinés domestiques. En gris foncé, les parties squelettiques observées et en gris clair, celles potentiellement présentes (DAO : E. Blaise).  
*Paléotime 2012*



**Figure 414** - Le Clos de Roque, Saint-Maximin-la-Sainte-Baume (83). Détermination et localisation des ossements schématisés des deux foetus de la structure 2006 (Clichés et DAO : E. Blaise).



**Figure 415** - Le Clos de Roque, Saint-Maximin-la-Sainte-Baume (83). Représentation squelettique des chiens de la fosse 2096 et localisation des traces observées (d'après dessin de Helmer 1987). Les parties squelettiques observées sont en gris (DAO : E. Blaise).



**Figure 416** - Le Clos de Roque, Saint-Maximin-la-Sainte-Baume (83). Représentation squelettique des caprinés et des bovins de la structure 2319 (d'après dessin de Helmer 1987). a : Les caprinés domestiques ; b : Le boeuf. En gris foncé, les parties squelettiques observées et en gris clair, celles potentiellement présentes (DAO : E. Blaise).  
748

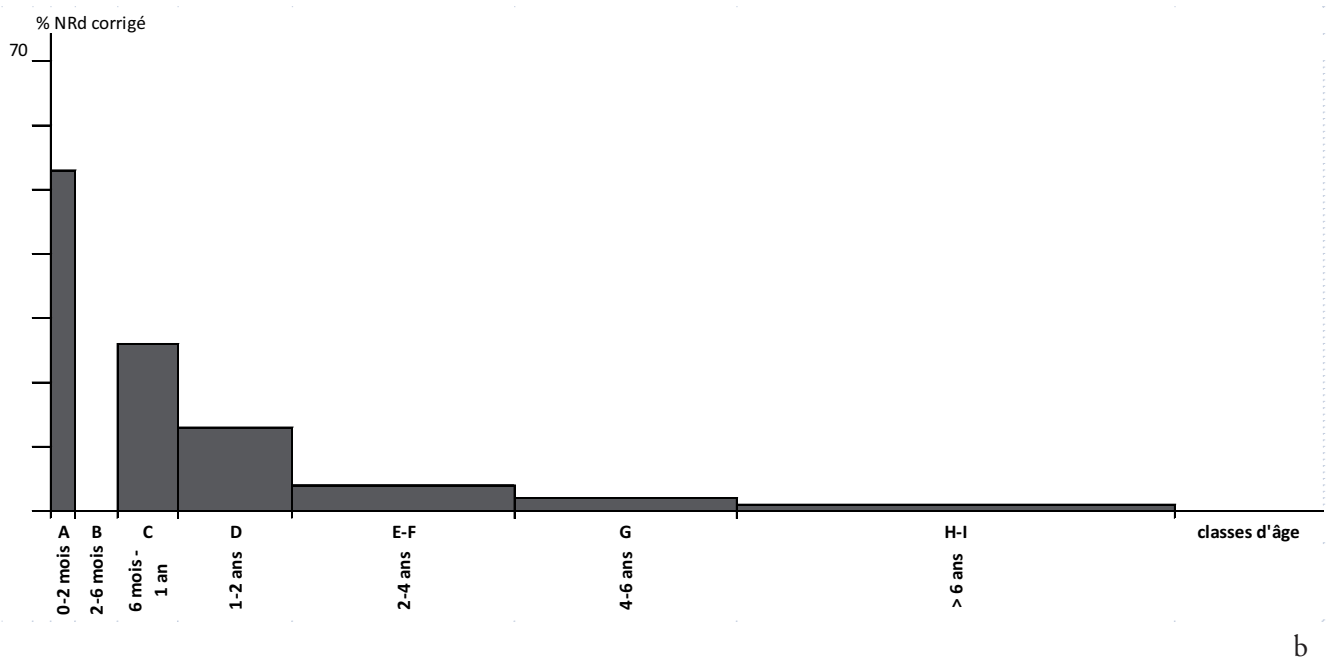
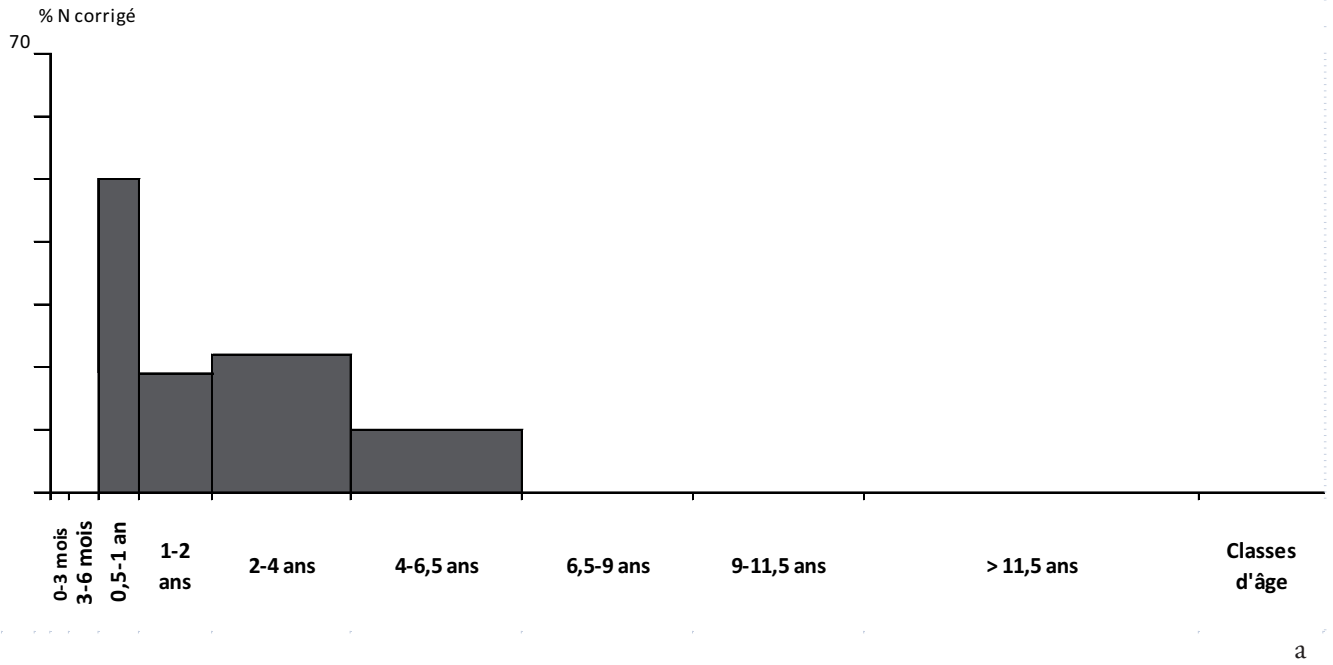


Figure 417 - Le Clos de Roque, Saint-Maximin-la-Sainte-Baume (83). a : Profil d'abattage des bœufs du Néolithique moyen I VBQ, N = 18 ; b : Profil d'abattage des caprinés domestiques de la 2<sup>ème</sup> phase d'occupation du Néolithique final, N = 12 (DAO : E. Blaise).



a



b

**Figure 418** - Le Clos de Roque, Saint-Maximin-la-Sainte-Baume (83). a : Vue générale de la structure FS23-US1702 ; b : structure ST2205 (Clichés : F. Laurier 2010 ; M. Remicourt).





c



d



a



b



e

**Figure 419** - Le Clos de Roque, Saint-Maximin-la-Sainte-Baume (83). Individu FS23-US1702 : a. tartre sur les dents maxillaires ; b. tartre sur les dents mandibulaires ; c. hyperostose poreuse crânienne ; d. hyperostose poreuse crânienne ; e : *cribra orbitalia* (Clichés : A. Schmitt).



a



b

**Figure 420** - Le Clos de Roque, Saint-Maximin-la-Sainte-Baume (83). Vues générales de la structure ST2209 (Clichés : M. Remicourt).



a

b



c

**Figure 421** - Le Clos de Roque, Saint-Maximin-la-Sainte-Baume (83). Individu ST2209 : a. inhumation ; b. tartre sur les dents maxillaires ; c. usure des dents antérieures mandibulaires (Clichés : A. Schmitt et M. Remicourt).



a



b

**Figure 422** - Le Clos de Roque, Saint-Maximin-la-Sainte-Baume (83). Vue générale (a) et inhumation (b) de la structure ST2215 (Clichés : M. Remicourt).



**Figure 423** - Le Clos de Roque, Saint-Maximin-la-Sainte-Baume (83). Individu ST2215 : mise à plat des restes osseux (Clichés : M. Remicourt).



a



b

**Figure 424** - Le Clos de Roque, Saint-Maximin-la-Sainte-Baume (83). Vue générale (a) et dépôt osseux humain (b) de la structure ST2224 (Clichés : M. Remicourt).



**Figure 425** - Le Clos de Roque, Saint-Maximin-la-Sainte-Baume (83). Bois imbibés retrouvés dans le puits ST 2096 (identifiants de prélèvement n° 50, 61 et 64 (Clichés : M. Remicourt).

Diagramme anthracologique du Clos de Roques

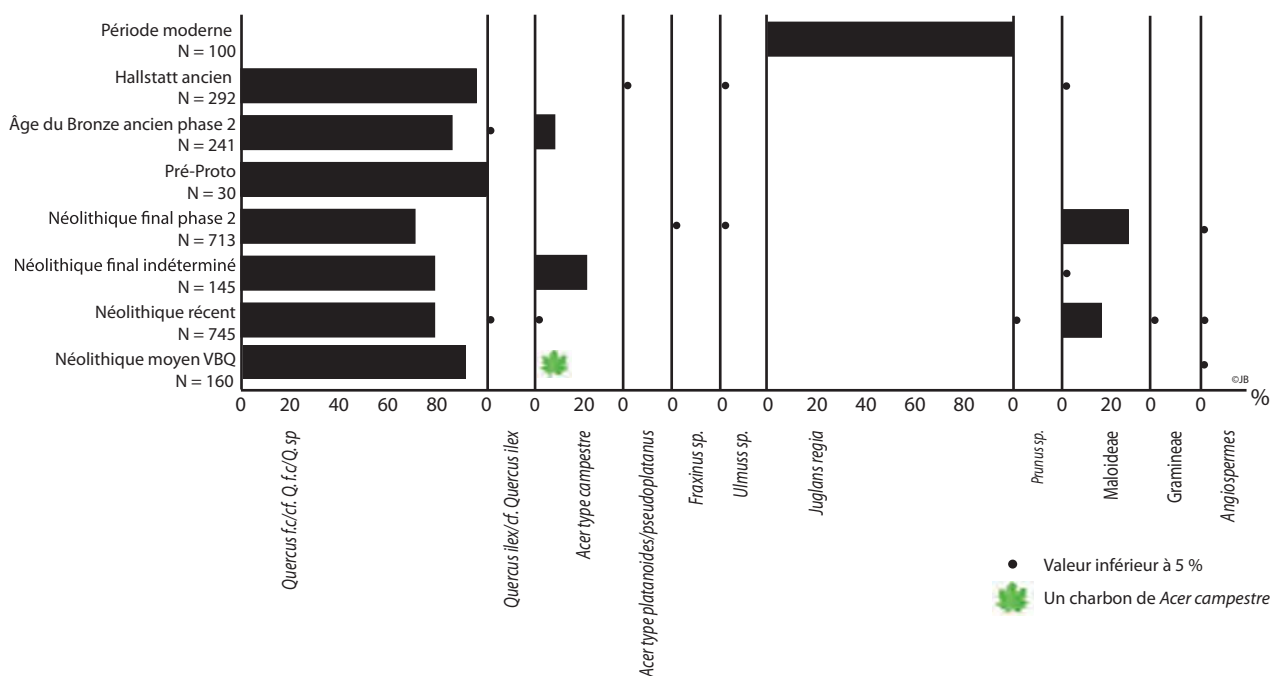


Figure 426 - Le Clos de Roque, Saint-Maximin-la-Sainte-Baume (83). Diagramme anthracologique du Clos de Roque. Les effectifs inférieurs à 30 ne sont pas convertis en pourcentage afin de ne pas biaiser les données (DAO : J. Battentier).



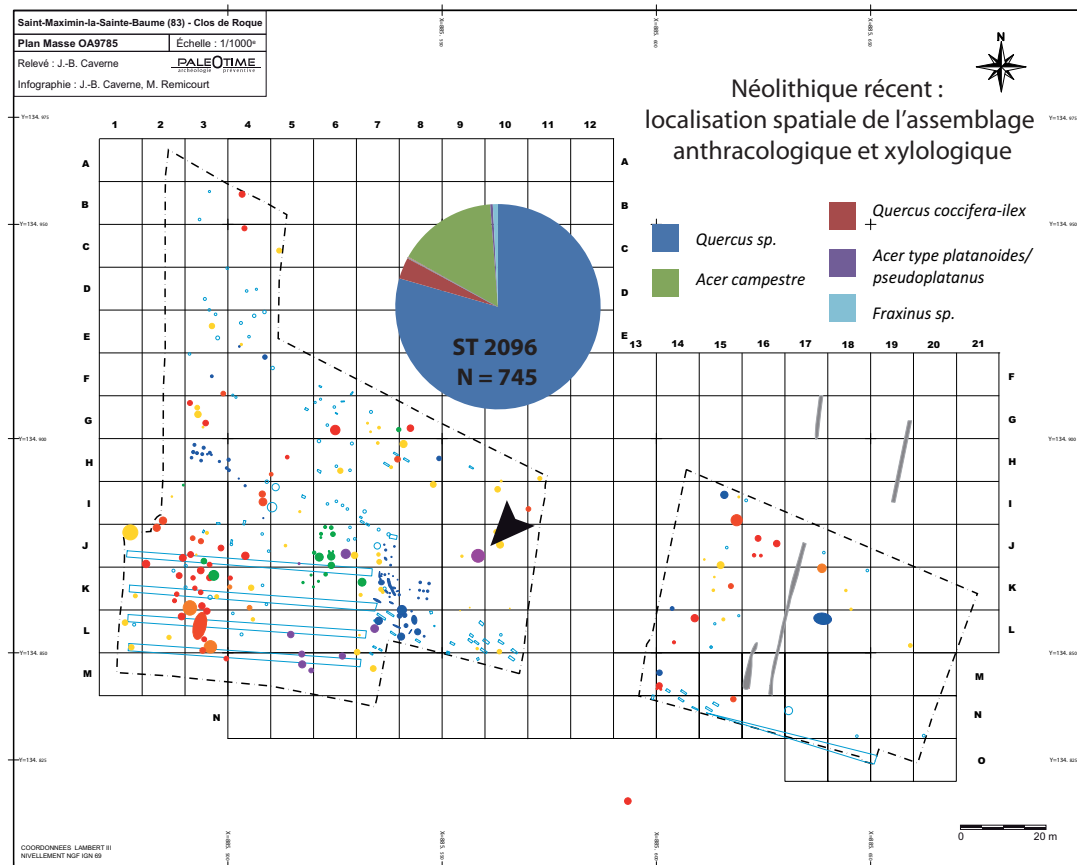
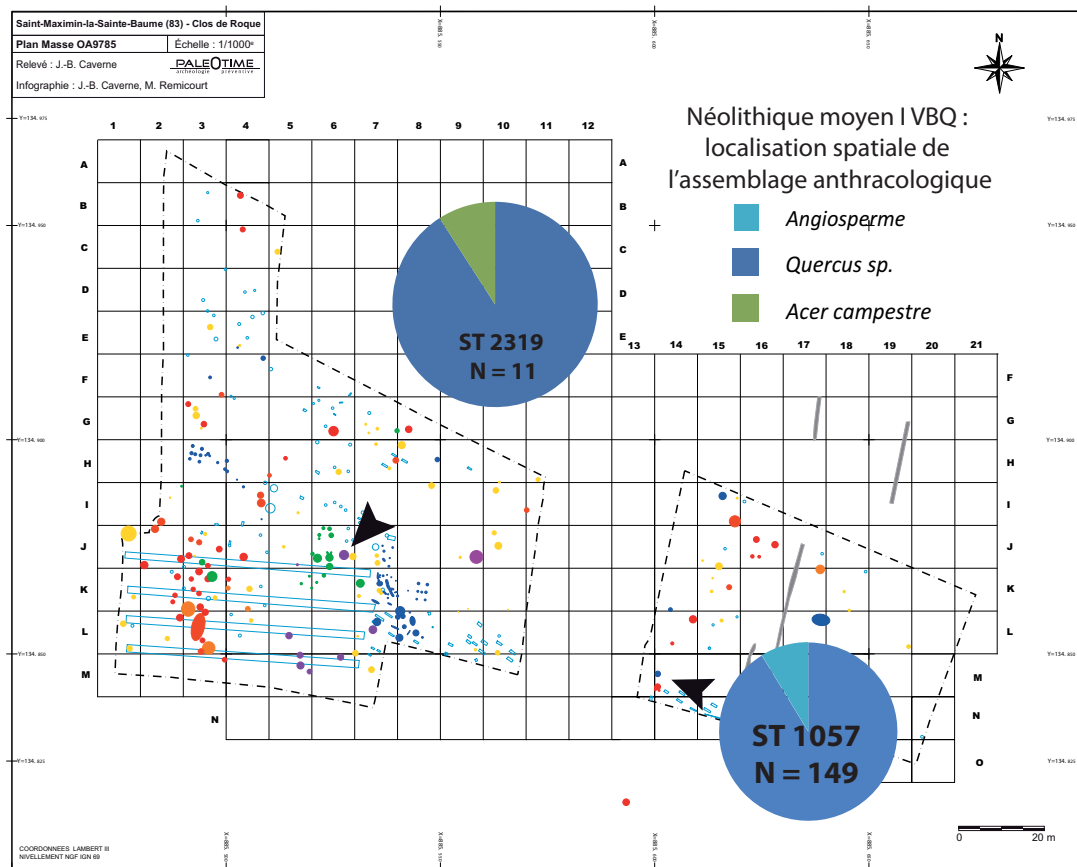


Figure 427 - Le Clos de Roque, Saint-Maximin-la-Sainte-Baume (83). Localisation spatiale de l'assemblage anthracologique. a. (haut) : Néolithique moyen I ; b. (bas) : Néolithique récent (DAO : J. Battentier).

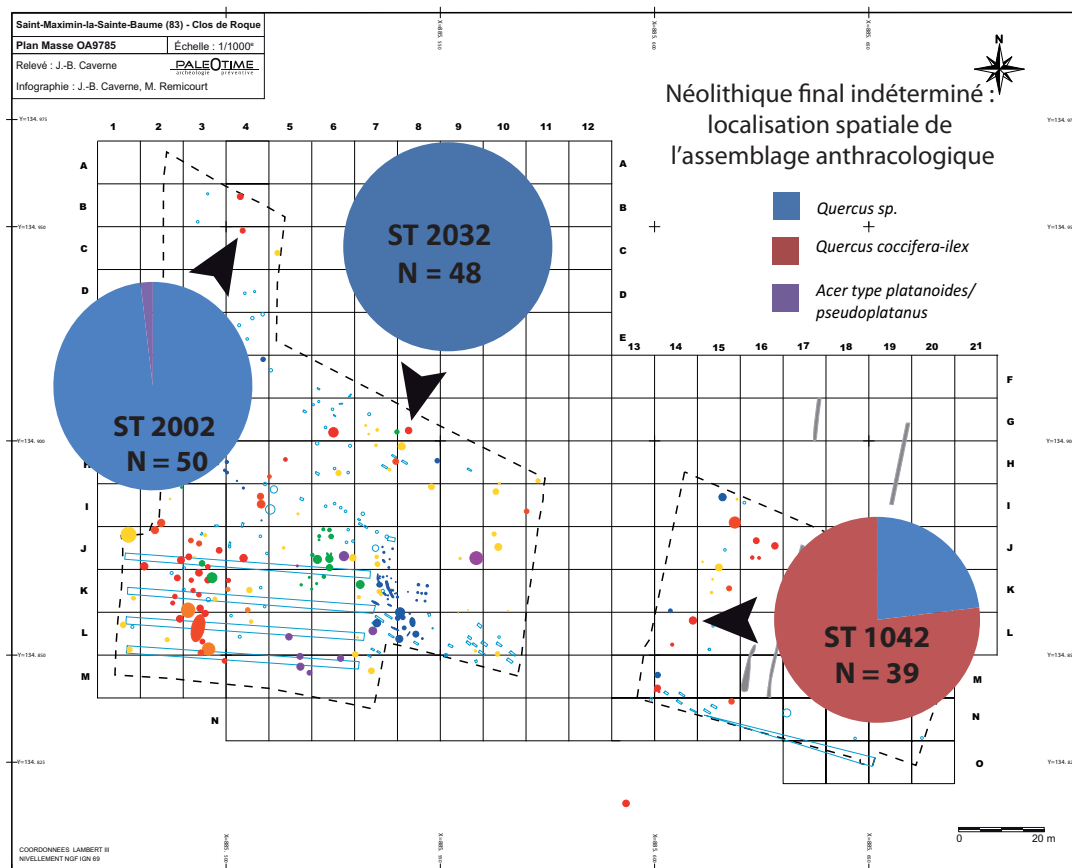
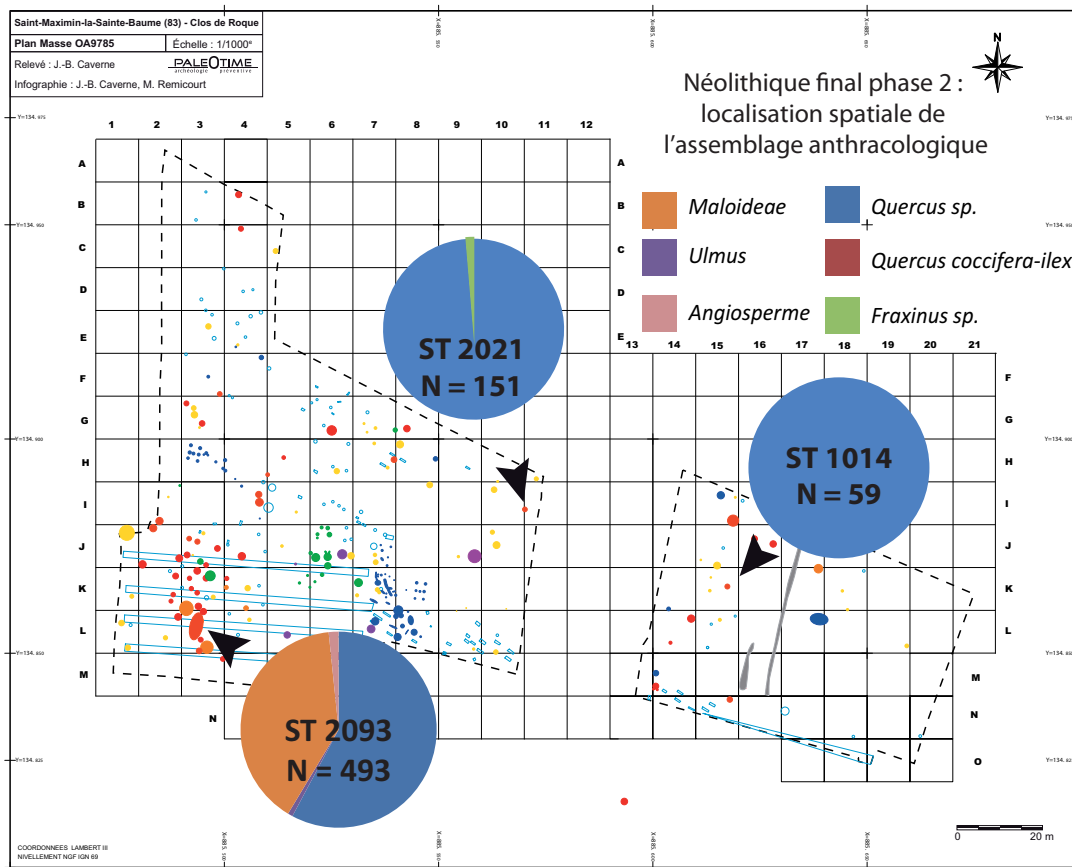


Figure 428 - Le Clos de Roque, Saint-Maximin-la-Sainte-Baume (83). Localisation spatiale de l'assemblage anthracologique. a. (haut) : Néolithique final phase 2 ; b. (bas) : Néolithique final ind. (DAO : J. Battentier).

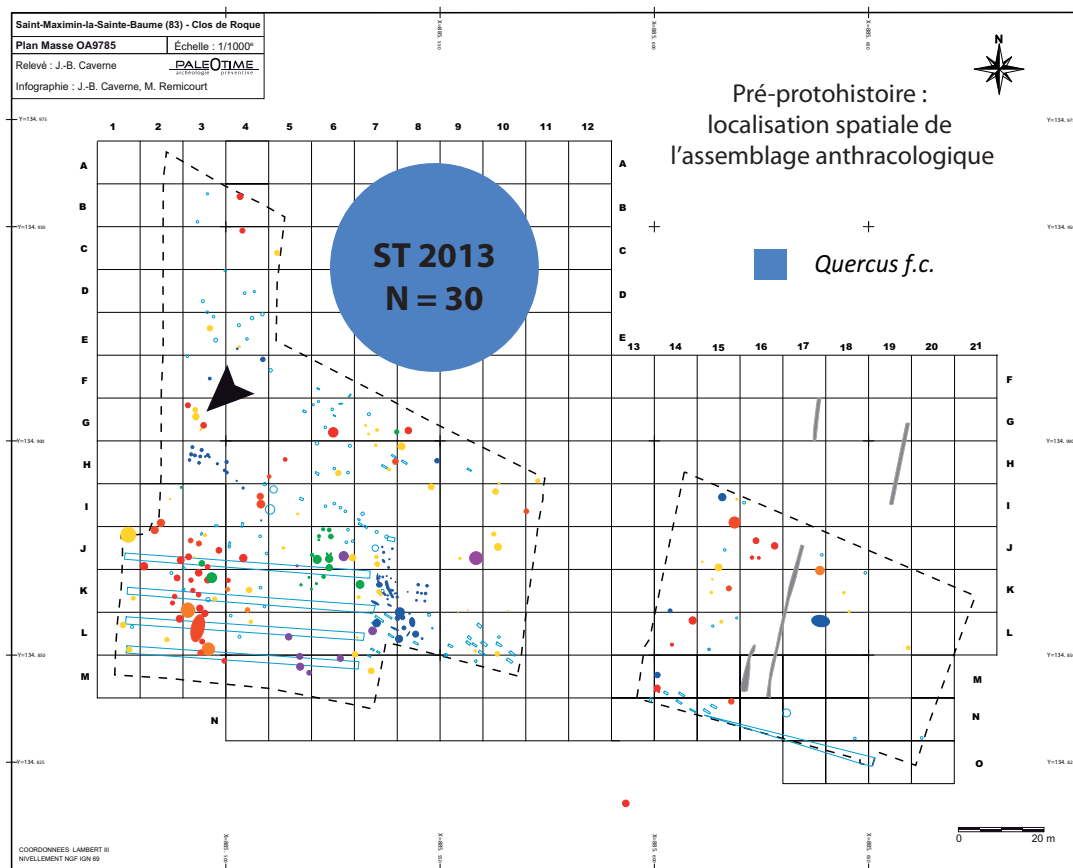
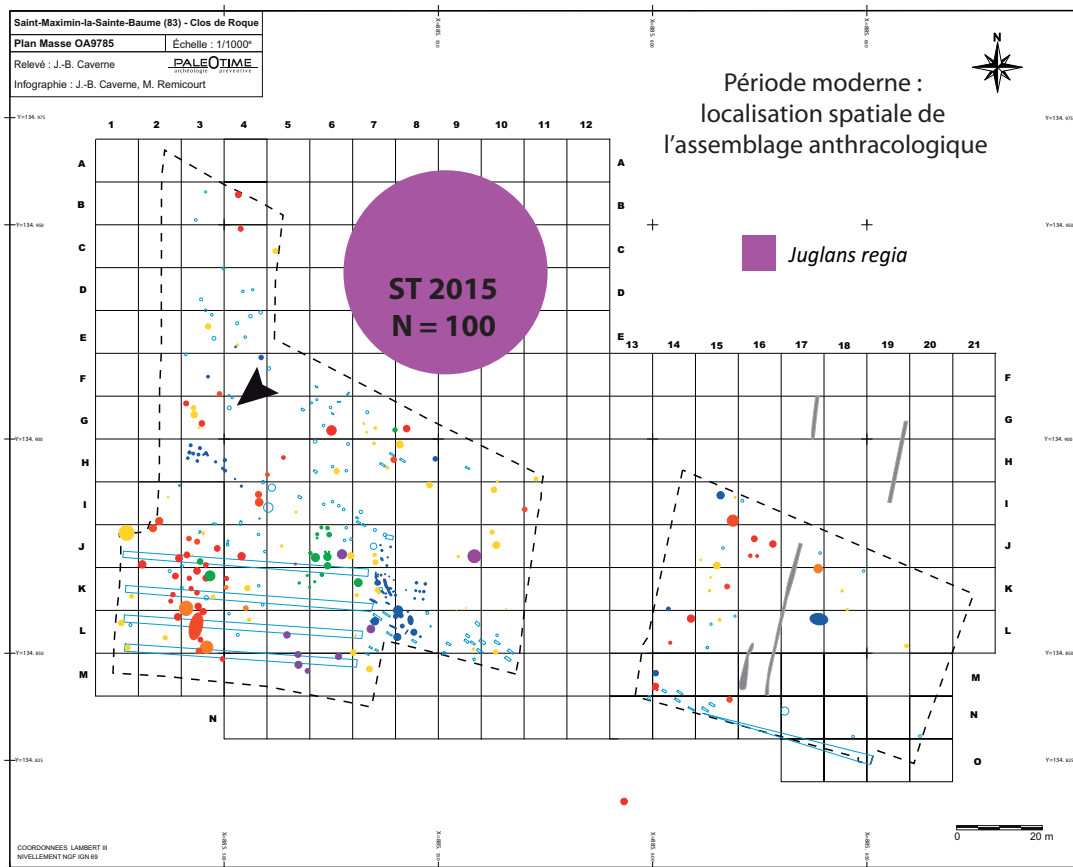


Figure 429 - Le Clos de Roque, Saint-Maximin-la-Sainte-Baume (83). Localisation spatiale de l'assemblage anthracologique. a. (haut) : période moderne ; b. (bas) : Pré ou protohistoire (DAO : J. Battentier).

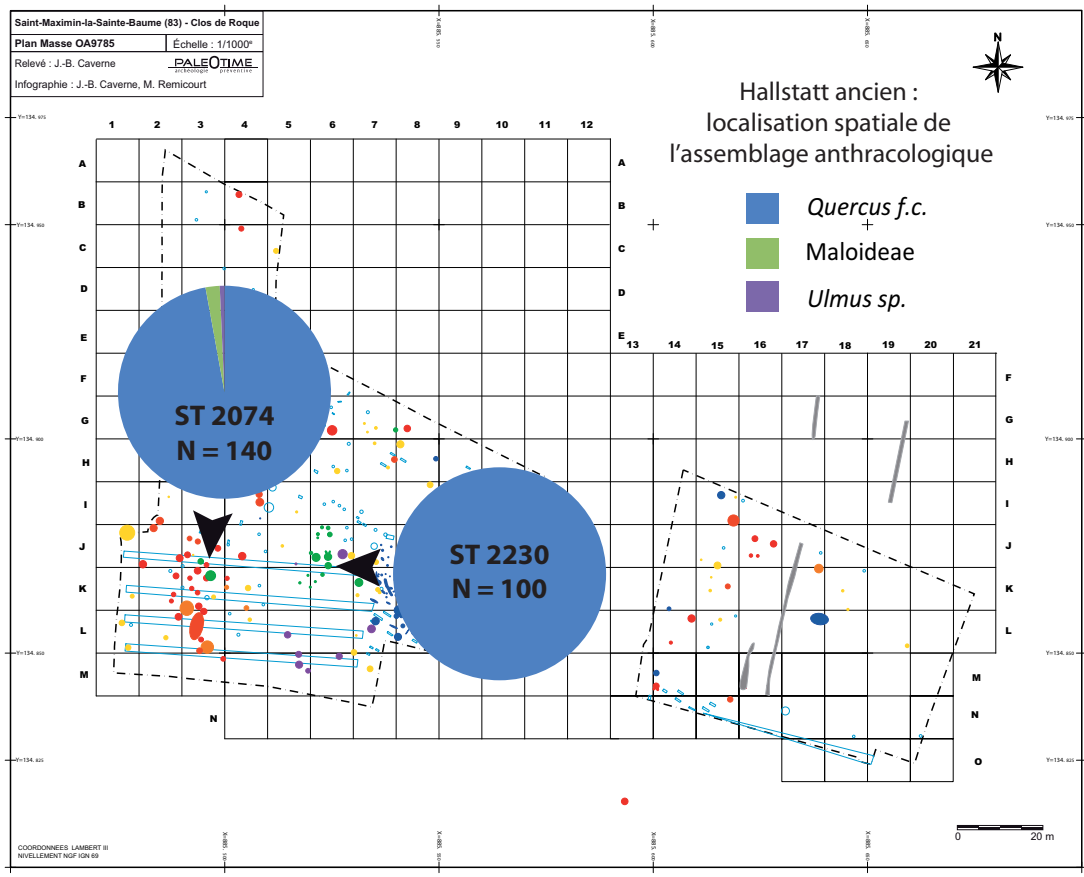
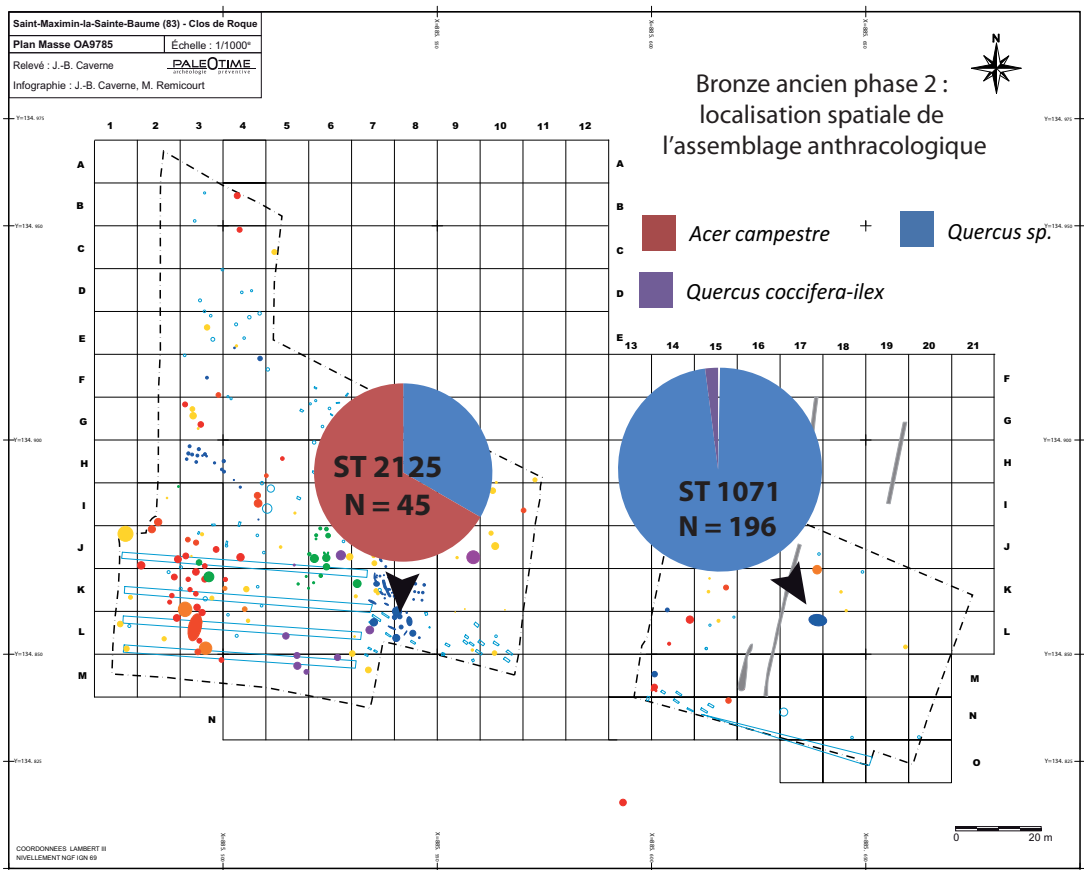
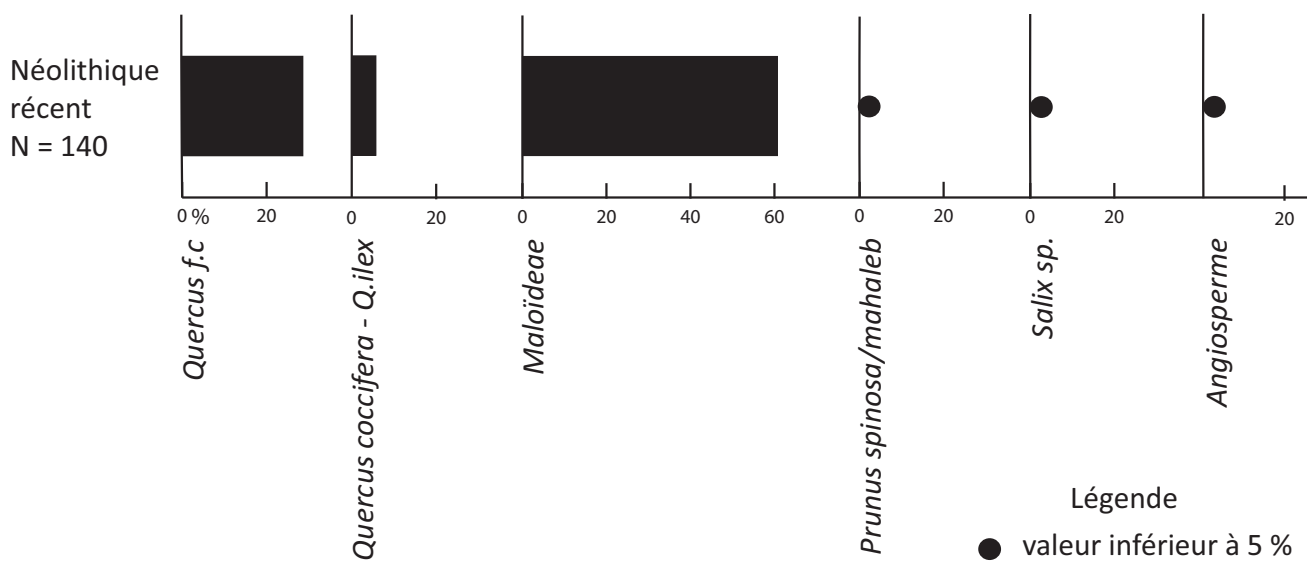


Figure 430 - Le Clos de Roque, Saint-Maximin-la-Sainte-Baume (83). Localisation spatiale de l'assemblage anthracologique. a. (haut) : Bronze ancien phase 2 ; b. (bas) : Hallstatt ancien (DAO : J. Battentier).

## Diagramme xylogique du Clos de Roques



**Figure 431** - Le Clos de Roque, Saint-Maximin-la-Sainte-Baume (83). L-Diagramme xylogique du Clos de Roque pour le Néolithique récent (DAO : J. Battentier).



**Figure 432** - Le Clos de Roque, Saint-Maximin-la-Sainte-Baume (83). Vestiges de planches en chêne découvertes dans la ST1071 (Cliché : M. Remicourt).



a : ensemble de graines de plantes sauvages provenant du fond du puits ST2096 du Clos-de-Roque : *Fumaria officinalis*, *Viola sp.*, *Sambucus ebulus*, *Euphorbia*, *Chenopodium*, etc.

b : *rubus idaeus*

c : *crataegus monogyna*

d : *prunus spinosa*

**Figure 433** - Le Clos de Roque, Saint-Maximin-la-Sainte-Baume (83). Restes carpologiques découverts dans le puits ST2096 (Clichés et DAO : L. Martin).







